

GM 57684

CAMPAGNE 1980 ANNEXE #1 - MINUTES DE TERRAIN, FICHES D'AFFLEUREMENTS, PROJET MONTS OTISH

Documents complémentaires

Additional Files



Licence



Licence

Cette première page a été ajoutée
au document et ne fait pas partie du
rapport tel que soumis par les auteurs.

Énergie et Ressources
naturelles

Québec 

PROJET MONTS OTISH

CAMPAGNE 1980

ANNEXE #1 - MINUTES DE TERRAIN

FICHES D'AFFLEUREMENTS

CAHIER #1a

MRN-GÉOINFORMATION 2000

GM 57684

LISTE DES SYMBOLES UTILISES POUR L'ETE 1980

PAR LES GEOLOGUES

(le chiffre 2 précédant l'initiale signifie l'année 1980)

B : Jean Beaudin
J : Robert St-Jean
K : Yves Rougerie
L : Serge Lavoie
M : Claude Marcotte
N : Marc Simard
O : Olivier Simard
P : Patrice Caumartin
S : Bernard Soyer
T : Daniel Tremblay
V : Malcolm Gent
Y : Antoine Yassa

TABLE DES MATIERES
DES ANNEXES

CAHIER #1a

CHAPITRE 1 - PROPRIETE "G"

- 1.1 Coupes de la propriété "G"
 - . Plan #1a, Carte géologique "G" Nord 1:10,000
 - . Plan #1b, Carte géologique "G" Sud 1:10,000
 - . Plan #1c, Colonne stratigraphique 1: 2,000
 - . Plan #1d, Coupes/Stations "G" Nord 1:10,000
 - . Plan #1e, Coupes/Stations "G" Sud 1:10,000

- 1.2 Géologie de détail de l'anomalie A-8
 - . Plan #2, Carte géologique 1:500

- 1.3 Vérification des anomalies 2A-16, 2A-17, 2A-5

- 1.4 Coupes à l'Ouest de la propriété "G"

- 1.5 Géologie-Radiométrie fine de l'anomalie A-62
 - . Plan #3a, Radiométrie fine (10x10m).
Données brutes-zonéographie 1:1,000
 - . Plan #3b, Carte des formations superficielles
Relevé des anomalies minérales de la lithologie
1:1,000
 - . Plan #3c, Radiométrie fine (10x10m)
Données corrigées, effet de vol déduit
 - . Plan #3d, Géologie fine

TABLE DES MATIERES
DES ANNEXES

CAHIER #1b

CHAPITRE 1 - SECTEUR "G" EST

- 1.1 Coupes du secteur "G" Est
 - . Plan #4a, Carte géologique 1:15,840
 - . Plan #4b, Colonne stratigraphique "G" Est 1:2,000
 - . Plan #4c, Coupes/Stations 1:15,840

- 1.2 Géologie de détail de l'Anomalie 2A-53
 - . Plan #5a, Carte géologique 1:500
 - . Plan #5b, Plan compteur 1:500

CHAPITRE 2 - SECTEUR 2A-23

- 2.1 Coupes du secteur 2A-23
 - . Plan #6a, Carte géologique 1:15,840
 - . Plan #6b, Colonne stratigraphique 2A-23 1:2,000

CHAPITRE 3 - SECTEUR LAC KERVESO

- 3.1 Coupes secteur Lac Kerveso
 - . Plan #7a, Carte géologique 1:15,840
 - . Plan #7b, Colonne stratigraphique 1:2,000

TABLE DES MATIERES
DES ANNEXES

CAHIER #1c

CHAPITRE 1 - PROPRIETES "S" ET "L" ET SECTEUR DU LAC GASCHET

- 1.1 Coupes des propriétés "S" et "L"
 - . Plan #8a, Carte géologique 1:10,000
 - . Plan #8b, Carte géologique de détail 1:1,000
 - . Plan #8c, Colonne stratigraphique 1:2,000
 - . Plan #8d, Coupes/Stations 1:10,000

- 1.2 Coupes du secteur du Lac Gaschet
 - . Plan #9a, Carte géologique 1:15,840
 - . Plan #9b, Colonne stratigraphique 1:2,000

- 1.3 Vérifications des Anomalies A-29, 2A-41

CHAPITRE 2 - SECTEUR DE LA BORDURE NORD

- 2.1 Coupes du Secteur Bordure Nord
 - . Plan #10a, Carte géologique 1:31,680
 - . Plan #10b, Colonne stratigraphique 1:2,000
 - . Plan #10c, Coupes/Stations 1:31,680

CHAPITRE 3 - ETUDES GEOLOGIQUES DANS DIFFERENTS SECTEURS DU BASSIN D'OTISH

- 3.1 Etude de J. Beaudin sur l'axe de Mistassini-Pluto
- 3.2 Péribonca du Nord-Est du Bassin
- 3.3 Sous-bassin de l'Indicateur

CHAPITRE 4 - VERIFICATIONS D'ANOMALIES

- 4.1 Vérification du vol 2B-15; zone de géochimie #10, Anomalie 2A-66
- 4.2 Vérification de la zone de géochimie #15, Anomalies 2A-69, 2A-70

4.3 Vérification Indice Babcock

CHAPITRE 5 - VISITES DE POINTS D'INTERET

5.1 Visite de points d'intérêt du 13 juillet avec H. Knipping et D. Faure

5.2 Visite des Indices "S" et "L" et échantillonnage pour étude métallogénique, F. Ruhlmann

CHAPITRE 6 - SONDAGE DU LAC LAPARRE

. Plan #11, Colonne stratigraphique 1:2,000

PROJET: MONTS OTISH

P. Caumartin
 Y. Bisson
 R. St-Jean

FICHE D'AFFLEUREMENT

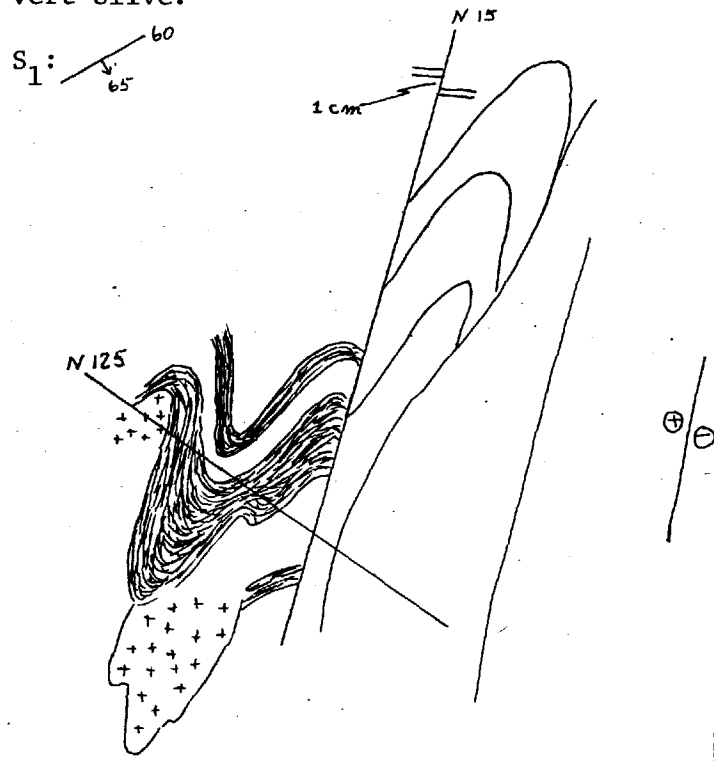
DATE: 13.6.80

LOCALISATION: Q64362-210

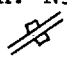
STATISTIQUE: Coupe 1 (G.sud)

KM DE COUPE: 1.0

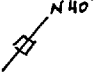
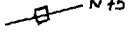
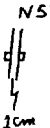
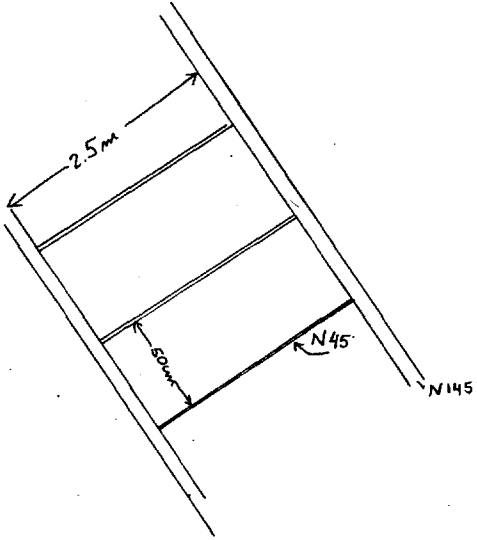
KM RADIOMETRE:

STATION	RA SPP2	DESCRIPTION	FORMATION	ECHAN- TILLON	ANALYSE
2J1	50	<p>Affleurement 15x3 m. Gneiss quartzo-feldspathique. Migmatitique à 10% d'anatexie, de couleur grise à gris blanchâtre. Altération de limonite en surface.</p> <p>En certains endroits, on observe des lentilles de migmatite de composition granitique contenant peu de minéraux mafiques.</p> <p>Le gneiss en tant que tel consiste en des cristaux de quartz et de feldspaths cataclasés dans une "matrice" chloriteuse. On observe aussi des enclaves ou restites de roches originellement mafiques. Ces restites montrent une migration de certains éléments, ce qui s'observe sur l'échantillon par des zones de couleur verte à vert olive.</p> 	Socle		

Statistiques Coupe 1 (G sud)

STATION	RA SPP2	DESCRIPTION	FORMATION	ECHAN- TILLON	ANALYSE
2J2	50	<p>Affleurement assez mauvais sur la berge du ruisseau 1 x 3 m, semblable à 2J1.</p> <p>Gneiss quartzo-feldspathique hétérogranulaire. Présence de concentration de minéraux chloriteux. Composition approximative:</p> <ul style="list-style-type: none"> - 45% feldspaths - 45% quartz - 10% mafiques. <p>On observe une altération de limonite sur toute la surface de l'affleurement.</p> <p>Fracturation: N55</p> <p style="text-align: center;">  <u>verticale</u> 1/m. </p>	Socle Archéen		
2J3	60-75	<p>Bon affleurement 4x2x2 m. Gneiss granitique de couleur rose très prononcé, dû à la grande quantité de feldspaths. Composition:</p> <ul style="list-style-type: none"> - 60% feldspaths roses - 40% quartz - très peu de minéraux mafiques. <p>Les cristaux de quartz sont souvent aplatis. Il y a aussi présence de veinules de quartz dans les plans S₁.</p>			
2J4	Max. 750 cps	<p>Dans une anatexite leucocrate (leptinitique), une restite de couleur brune de 7 x 10 cm, chloritisée, ayant une direction d'aplatissement de N30°E.</p> <p>Présence d'une altération de limonite et peut-être de manganite. R.A. max. 750 cps directement sur la restite.</p>	Socle Archéen		
2J5	75 max. 150	<p>Affleurement le long d'un escarpement, longueur 50 m, hauteur 2-3 m. Gneiss granitique (anatexite) rosé contenant peu de ferromagnésiens (il semble y avoir ségrégation de</p>	Socle Archéen		

Statistiques Coupe 1 (G sud)

STATION	RA SPP2	DESCRIPTION	FORMATION	ECHAN- TILLON	ANALYSE
		<p>ferromagnésiens à l'intérieur de lentilles ou poches situées le long des plans de gneissosité,</p> <p>Faille selon:  N40°</p> <p>Faille secondaire selon:  N75°</p> <p> N5° 1cm</p> <p></p>			

FICHE D'AFFLEUREMENT

DATE: 13/6/80

LOCALISATION: Photo aérienne Q64 362 10

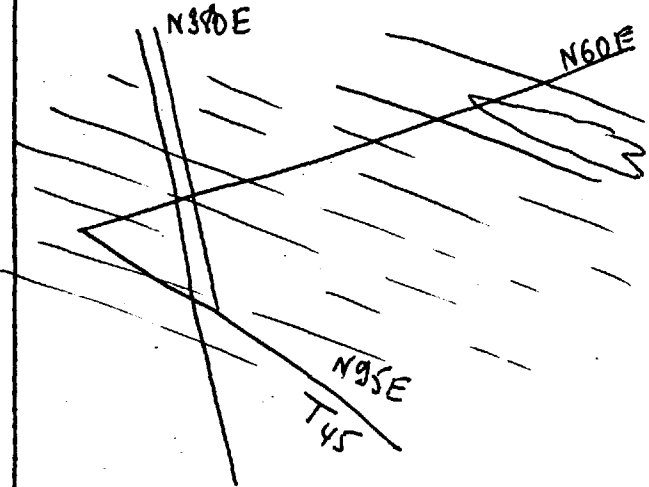
STATISTIQUE: Coupe 1

KM DE COUPE: 1.0

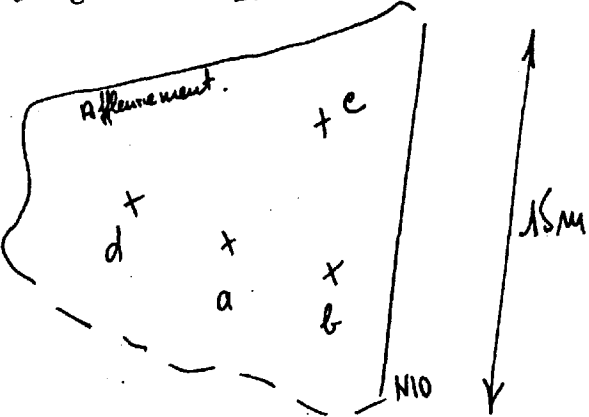
KM RADIOMETRE: 1.0

STATION	RA SPP2	DESCRIPTION	FORMATION	ECHAN- TILLON	ANALYSE
2P1	50	<p>Affleurement? 2 m x 5 m. Anatexite à grain fin à moyen (quartz-feldspath-biotite chloritisée) présentant deux plis décimétriques.</p> <p>leucosome quartzo-feldspathique en coeur de pli</p> <p>direction N170, plongement 75S de la charnière</p> <p>Cataclase généralisée.</p>	Socle	2P1a	
2P2	30	<p>Affleurement? 2 x 2 m. Gabbro à structure doléritique, grain de 3 à 5 mm.</p>	Socle 4		
2P3 ↓ anomalie 2A3	1400	<p>Dans une anatexite cataclasée présentant:</p> <ul style="list-style-type: none"> - des zones de cisaillement N60 pendage vertical - des lentilles de quartz gris bien cristallisé N160 plus ou moins parallèles à des fractures ouvertes. <p>Une anomalie 2A3 ponctuelle (1 dm²) atteint 1400 c/s. La forme de la tache anormale est allongée suivant l'orientation du support (N45E). Pour le reste, rien ne différencie l'anomalie du fond de la roche qui est constitué de matériel quartzo-feldspathique avec de la chlorite sombre en fins éléments.</p>	Socle 2	2P3a	U Th 794 146

Statistiques Coupe 1

STATION	RA SPP2	DESCRIPTION	FORMATION	ECHAN- TILLON	ANALYSE
2P4	65	Affleurement tabulaire 10 x 20 m. de migmatite claire orientée N75E, fracturée. 	Socle 1		
2P5		Escarpement N70°E, pendage 70°N présentant un rejet topographique de 3 m sur une longueur de 25 m, le compartiment N étant surbaissé.			
	150 c/s	1) Sur le compartiment sud, un bloc de 4 m ³ de granite à grain moyen, essentiellement quartzofeldspathique, fortement hématisé et cataclaté, présentant des cisaillements soulignés par:			
	200/ 400	a) des phénomènes de quartzification → faciès épisyénitique caverneux à feldspath-chlorite,			
	200/ 400	b) selon des zones peut-être plus laminées: des géodes dans un matériau très hématisé. L'intérieur des cavités est tapissé de limonite.			
	200	2) Sur le miroir d'escarpement, une plage active décimétrique d'épisyénite (microcline-chlorite). Ici encore, hématisation et chloritisation.			

Statistiques Coupe 1

STATION	RA SPP2	DESCRIPTION	FORMATION	ECHAN- TILLON	ANALYSE
2P6 ↓ Anomalie 2A4		<p data-bbox="472 363 1087 499">Un affleurement de 100 m² environ, limité à l'est par un escarpement N10, pendage 60E. Compartiment E surbaissé (longueur 15 m).</p>  <p data-bbox="472 926 1075 989">4 anomalies dans un faciès granitique leucocrate rosé <u>sans fraction micacée</u></p> <p data-bbox="343 1052 1058 1146">1050 c/s a) Un lit (épaisseur 5 cm, longueur 30 cm) N75°E en voie d'épisyénitisation (fortement carié).</p> <p data-bbox="343 1178 1058 1241">350 c/s b) Dans le prolongement du précédent, 2 m plus à l'est. Rien de visible.</p> <p data-bbox="343 1272 1058 1335">1050 c/s c) Dans un granite orienté, cataclaté N45°E, un filonnet de quartz N115°E.</p> <p data-bbox="806 1545 1075 1577">(tournez, s.v.p.)</p>			

Statistiques Coupe 1

STATION	RA SPP2	DESCRIPTION	FORMATION	ECHAN- TILLON	ANALYSE
	550 c/s	<p>habo di'colori, verdâtre</p> <p>quartz</p> <p>chlorite</p> <p>1050 c/s SPP2</p> <p>N4SE</p> <p>Craquellements selon la schistosité limoniteuse.</p> <p>N4SE</p> <p>grandes natures</p> <p>d) Anomalie de même type que a).</p>			

PROJET: MONTS OTISH

P. Caumartin
Y. Bisson
R. St-Jean

FICHE D'AFFLEUREMENT

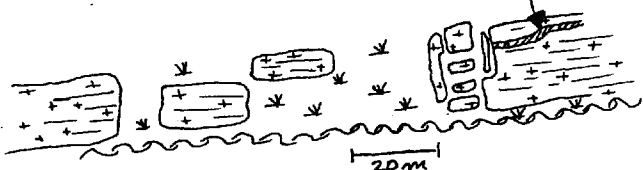
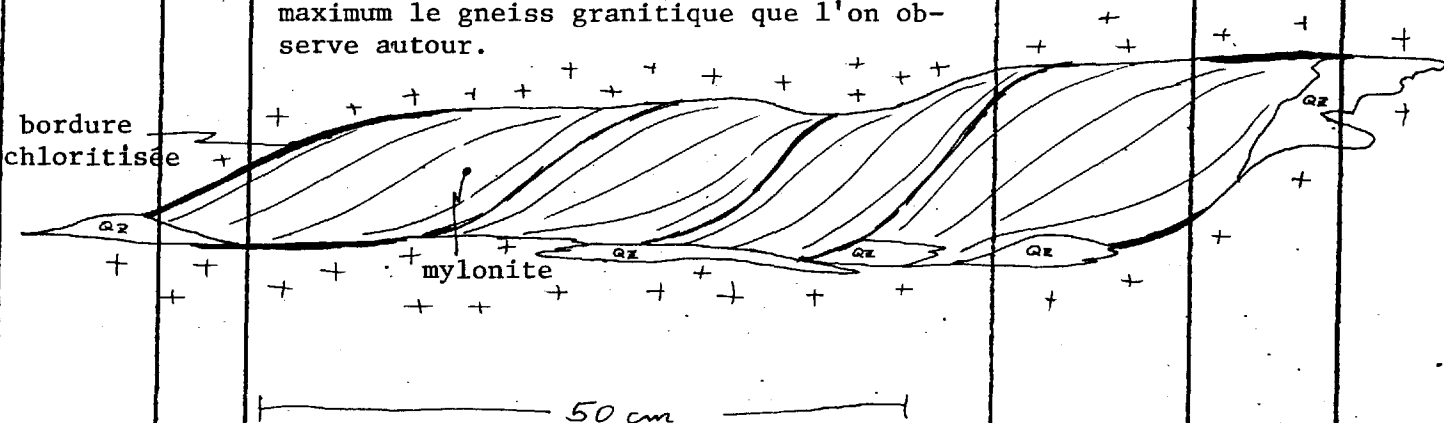
DATE: 14.6.80

LOCALISATION: Q64362-210

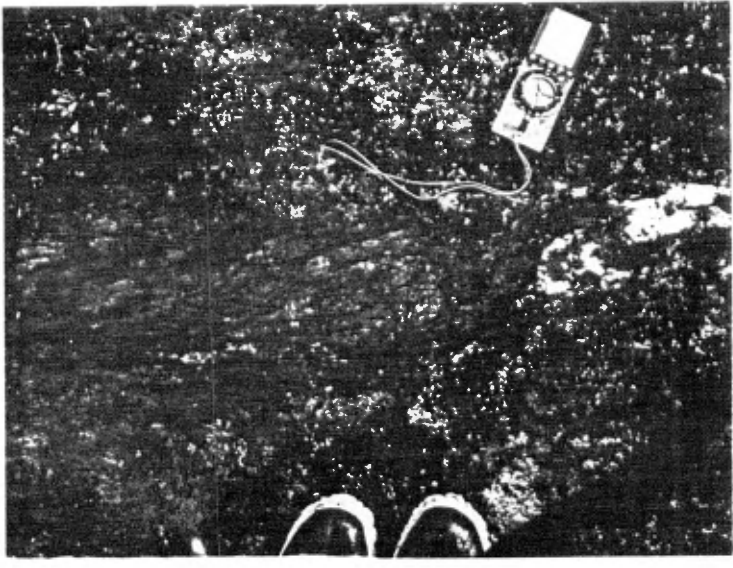
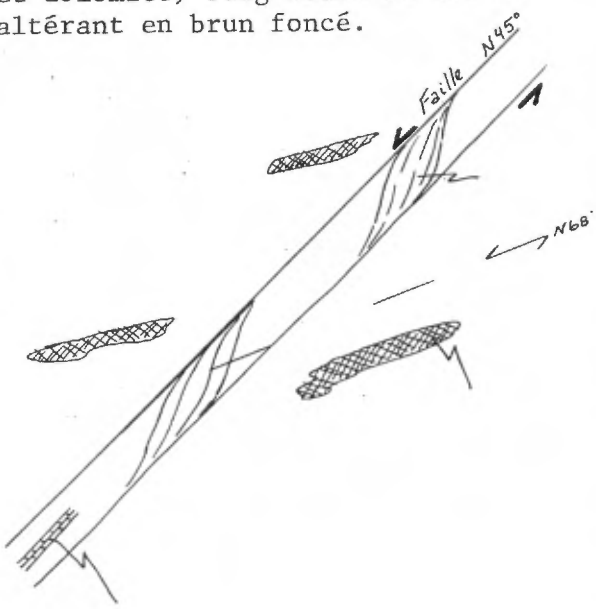
STATISTIQUE: Coupe 1, suite (G sud)

KM DE COUPE: 1.1

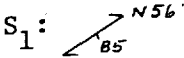
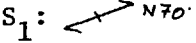
KM RADIOMETRE:

STATION	RA SPP2	DESCRIPTION	FORMATION	ECHAN- TILLON	ANALYSE
2J5 (suite)		<p>A quelques mètres de la faille principale décrite le 13 juin, à la station 2J5, on observe de très belles structures de tectonique sous forme de "poissons"</p>  <p>Système de faille principal axe N45°E. Schistosité ou gneissosité N68°E Direction de l'ensemble mylonitisé N52°E.</p> <p>Les poissons se trouvent dans la zone de cisaillement très intense qui mylonise au maximum le gneiss granitique que l'on observe autour.</p>  <p>bordure chloritisée</p> <p>mylonite</p> <p>QZ</p> <p>50 cm</p>			

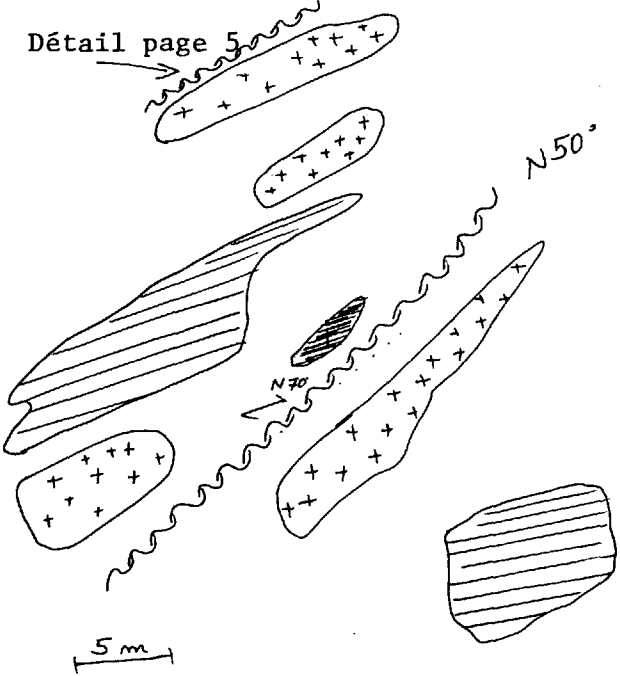



Statistiques Coupe 1 (G sud)

STATION	RA SP.	DESCRIPTION	FORMATION	ECHAN- TILLON	ANALYSE
				<p>Photographie du poisson tectonique de l'affleurement 2J5 (la boussole pointe vers le nord géographique)</p>	
		<p>Près des poissons, on observe des enclaves de biotite chloritisée faisant environ 75 cm, contenant un peu de carbonates (calcite et peut-être dolomite).</p> <p>N.B.: Dans les plans de faille, on a des concrétions de carbonates (calcite et dolomite) réagissant au HCl et altérant en brun foncé.</p> 			

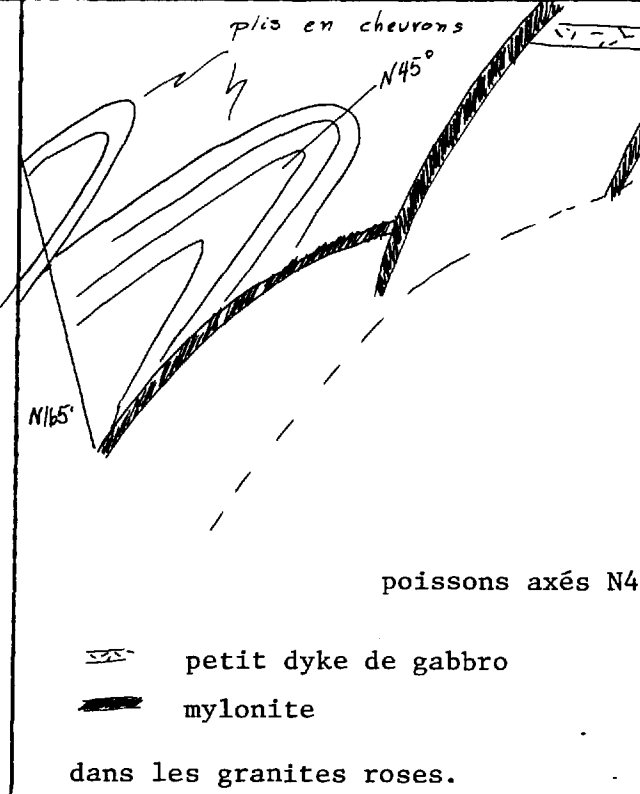
Statistiques Coupe 1 (G sud)

STATION	RA SPP2	DESCRIPTION	FORMATION	ECHAN- TILLON	ANALYSE
2J6	65-70	<p>Affleurement continu d'anatexite de composition granitique, contenant beaucoup de quartz et de feldspaths rouge orangé, ainsi que beaucoup de biotite et de chlorite. Présence de quelques quartz noirs; le débit se fait facilement selon les plans de gneissosité où se concentre la biotite.</p> <p>La fracturation est intense selon $N60^{\circ}$.</p> <p>S_1: </p>	Socle Archéen	2J6a	
2J7	75	<p>Affleurement approx. 20 x 20 m. Gneiss quartzo-feldspathique de couleur gris verdâtre. Gneiss oillé contenant beaucoup de quartz et quartz noirs, feldspaths, biotite et biotite chloritisée. Altération de limonite en surface.</p> <p>La gneissosité est très évidente.</p> <p>S_1: </p> <p>Il semble y avoir une relation entre le granite et la pegmatite et les failles.</p> <p>Le gneiss granitique rouge hématisé semble près de la faille et on semble passer au gneiss blanc lorsque l'on s'éloigne de la faille.</p>		2J7a 2J7b 2J7c	

Statistiques Coupe 1 (G sud)

STATION	RA SPP2	DESCRIPTION	FORMATION	ECHAN- TILLON	ANALYSE
2J7 (suite)		<p>Détail page 5</p>  <p>5 m</p> <p>N50°</p> <p>N70°</p> <ul style="list-style-type: none">  gneiss granitique ocellé  gneiss granitique rose orangé laminé  gneiss granitique rosé laminé <p>Le granite semble se retrouver près des failles où des jus oxydants auraient amené beaucoup de fer et beaucoup de chaleur afin de provoquer l'anatexie du gneiss.</p> <p>Le dynamométamorphisme semble être très présent.</p>			

Statistiques Coupe 1 (G sud)

STATION	RA SPP2	DESCRIPTION	FORMATION	ECHAN- TILLON	ANALYSE
2J7 (suite)		 <p>plis en chevrons</p> <p>N45°</p> <p>N165°</p> <p>poissons axés N45-50°</p> <p>— petit dyke de gabbro</p> <p>— mylonite</p> <p>dans les granites roses.</p>			

FICHE D'AFFLEUREMENT


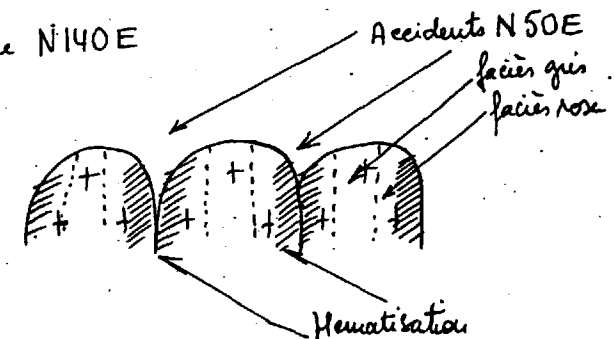
DATE: 14/6/80

LOCALISATION: Photo aérienne Q64 362 210

STATISTIQUE: Coupe 1

KM DE COUPE: 1.1

KM RADIOMETRE: 1.1

STATION	RA SPP2	DESCRIPTION	FORMATION	ECHAN- TILLON	ANALYSE
2P6 (suite)	600	<p>Nouvelle anomalie dans un granite rose sans rien de particulier. A proximité:</p> <ul style="list-style-type: none"> - Enclave basique schisteuse (chlorite) N74°E, pendage 70°N. - 1 filon de quartz (épaisseur 2 cm) gris bien cristallisé N60°, pendage 40°N, présentant des stries N140 dont le sens atteste un rejet inverse. 	Socle		
2P7	75	<p>Pégmatite graphique. Allongement des cristaux N55°E, couleur rose à rouge.</p> <p>Mise au point sur la rubéfaction des anatexites:</p> <p>L'affleurement 2P7 (15 x 40 m) est découpé par un réseau de fractures N50° de pas plurimétrique: le faciès hématisé borde ces fractures.</p> <p>Coupe N140E</p> 			

Statistiques Coupe 1

STATION	RA SPP2	DESCRIPTION	FORMATION	ECHAN- TILLON	ANALYSE
	60-65 + granite 35-40 + gabbro	Divers affleurements de gabbro de forme lenticulaire (30 cm x 70 cm) soit: - parallèles à la schistosité (N55°) - légèrement obliques (N75 à 85°)	4		
	55-60	Gros affleurement de gabbro (5 x 3 m). Gabbro plissé formant deux anticlinaux N47°E, à pendage fort redressé vers le nord, dans des anatexies de même orientation. <u>Pétrographie.</u> Le gabbro apparaît rubané. Alternance de niveaux clairs feldspathiques et de niveaux vert sombre amphiboliques et chloritisés, centimétriques à décimétriques. <u>Structure.</u> Plissé, il est injecté par des matériaux quartzofeldspathiques pegmatitiques qui: - le corrodent et l'oblitérent dans sa périphérie - s'injectent parallèlement au rubanement - occupent les charnières. Voir schéma p.3.	4		

Statistiques Coupe 1

injection pegmatitique, fort plissement gabbro

STATION	RA SPP2	DESCRIPTION	FORMATION	ECHAN- TILLON	ANALYSE
<p>injection pegmatitiques post-plissement-gabbro.</p> <p>quartz</p> <p>gabbro</p> <p>mobilisat quartzo- feldspathique cataclase</p>		<p>Comparer avec affleurements 2P1 et 2P7.</p> <p>→ La direction des plis du gabbro est parallèle à celle des migmatites et d'une partie des failles: N45-55°E. Mise en place avant cette phase de plissement P₂, laquelle semble s'accompagner d'une fusion partielle à l'origine des exsudats pegmatitiques.</p> <p>Ces gabbros sont-ils les mêmes que ceux qui traversent les séries du bassin d'Otish? Dans l'affirmative, quel est l'équivalent dans le bassin de la phase P₂? Autrement dit, P₂ est-elle ante-bassin ou post-bassin?</p>	<p>4</p>	<p>cassures N290, pendage 50N à jeu dextre, amorties dans le granite, portant des stries N180°</p> <p><i>viduit 15 fin</i></p>	

Statistiques Coupe 1

STATION	RA SPP2	DESCRIPTION	FORMATION	ECHAN- TILLON	ANALYSE
2P8	70	Anatexites plissées (plans axiaux N45°E) à proximité d'une faille N45°E. Non loin, un filonnet de quartz N60° recoupe un gneiss N25-30E	1		
2P9	200 ↓ 1,000 c/s	Une vingtaine de boulders de granite hématisé et cataclasé. Nombreux accidents limonitiques caverneux.	23		

PROJET: MONTS OTISH

FICHE D'AFFLEUREMENT

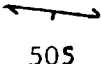


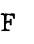

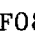
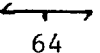

DATE: Le 13 juin 1980

LOCALISATION: G - Photo 362-210 (socle au sud de G) 2C2

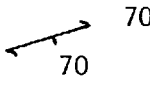
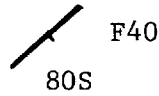
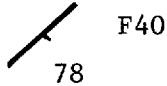
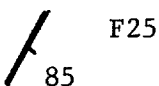

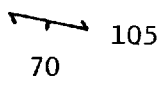
STATISTIQUE:

KM DE COUPE: 1 X 3.65 km

KM RADIOMETRE: 3 X 3.65 km

STATION	RA SPP2	DESCRIPTION	FORMATION	ECHAN- TILLON	ANALYSE
2B1	85	80% de Gneiss Quartz (40) - Fds (60) légèrement migmatisé (recristallisation d'anatexie) de granulométrie 3 à 8mm. Occasionnellement de plus de 1cm. Feldspath blanc.	Socle 1		
	75	20% de Gneiss Quartz (85%) - Biotite (15%) gris clair altéré brun rouille (oxydation fer de biotite). Le gneiss micacé en ruban, en enclave, et en lamination.  105 faiblement plissoté 505	1		
2B2		Idem 2B1  190 densité locale: 4 Pli polyphasé en lentille, quasi-ptygmatitique	Socle 1		
2B3		Idem 2B1 Faille mineure (ouverte) avec veine de Quartz discontinu.  48E  F 15  57  F08  91 64  64 67	1		

Statistiques

STATION	RA SPP2	DESCRIPTION	FORMATION	ECHAN- TILLON	ANALYSE
2B4	75cps	Granito-gneiss lité. Quartz-feldspath blanc-feldspath rose. Granulométrie 0.5 à 1.5 cm.	Socle 1		
2B5		Idem 2B1 	1		
2B6		Idem 2B1. Longueur >5m. F mineure (sens: crochonnement de la S ₁)  Mylonitisation épaisse de 5cm dans plan de faille.  Mylonitisation sur 10 cm dans plan de faille.  Plissement décimétrique P ₂ . Axe L ₂ : 	1		
2B7	85cps 100cps Niveau pegma- tite ≈200cps	Idem 2B1. Affleurement épars et difforme peu fracturé. 	1		

PROJET: MONTIS OTISH

Claude Marcotte

Jean Beaudin

Aline Morin

FICHE D'AFFLEUREMENT

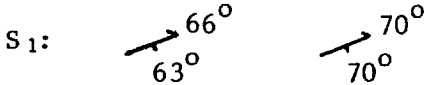

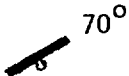
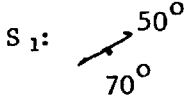
DATE: 14 juin 1980

LOCALISATION: Q64372-198 Photo 1:15,000

STATISTIQUE: Coupe 2C-3

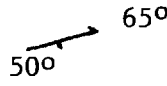
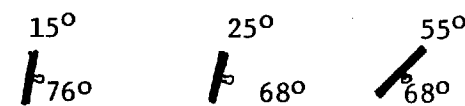
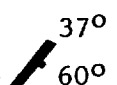
KM DE COUPE: 3,3 km.

KM RADIOMETRE: 3,3 km. x 3

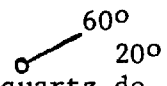
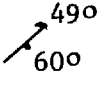
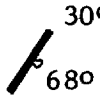
STATION	RA SPP2	DESCRIPTION	FORMATION	ECHAN- TILLON	ANALYSE
2M1	100- 125 cps 75 cps	<p>Gneiss quartzo-feldspathique (20% quartz 50% feldspath K rose, 30% feldspath blanc).</p> <p>Passées pegmatitiques (Ex. 0,5 à 3 cm) quartzo-feldspathiques.</p> <p>Enclaves de Gneiss micacé à grains fins. Enclaves de l'ordre du mètre. Présence de veinules de quartz de quelques millimètres de largeur par 0,3 à 0,5 m. de longueur.</p> <p>S₁: </p> <p>Plissements soulignés par partie de mo- bilisats quartzitiques. Dans le prolonge- ment de S₁. Rubanement très bien déve- loppé dans les zones plissées.</p> <p></p> <p>Faïlle mineure: </p>	Socle		
2M2	85 cps	<p>IDEM 2M1 - Gneiss quartzo-feldspathique. Pourcentage de gneiss micacé plus impor- tant sur une partie de l'affleurement (6 m²).</p> <p>Plissements polyphasés.</p> <p>S₁:  avec de nombreuses va- riations de direction.</p>	Socle		
				2M2a	U / Th. 674 N.D.

14 juin 1980

Statistiques

STATION	RA SPP2	DESCRIPTION	FORMATION	ECHAN-TILLON	ANALYSE
2M3	85 cps (quelques points à 120 cps)	IDEM 2M1 : Gneiss quartzo-feldspathique.	Socle		
2M4	150-200 cps	<p>Granite rose (30% quartz, 70% feldspath K rose) essentiellement quartz feldspathique.</p> <p>Grains de l'ordre de 0,5 à 1,5 cm. Contient quelques veines et amas quartzitiques.</p> <p>. Granite peut avoir subi hématisation à proximité des zones fortement tectonisées.</p> <p>S₁ : Peu pénétratif </p> <p>Nombreuses failles mineures avec granite bréchique et hématisé à proximité des plans de faille.</p> <p></p>	Socle		
	750 cps	<p>Bloc anomal de l'ordre du mètre.</p> <p>Anguleux, sub-en-place. Composé de granite broyé et injecté de diabase qui contient des fragments millimétriques de granite.</p> <p>. Dyke mineur injecté, 20 cm. de largeur.</p> <p>Dyke </p> <p>limité par microfaille.</p>		2M4A	

Statistiques

STATION	RA SPP2	DESCRIPTION	FORMATION	ECHAN- TILLON	ANALYSE
2M5	35 cps	<p>Filon gabbroïque de 2,50 m. de large recoupant le Granite Rose (au nord) et le Gneiss quartzo-feldspathique (au sud) → lui-même ceinturé par une deuxième injection gabbroïque.</p> <p>Gabbro finement grenu avec allongement préférentiel des cristaux.</p> <p>Linéation minéralogique </p> <p>Contient fines veines de quartz de multiples directions.</p> <p>N.B. Gabbro peut représenter 5% de l'affleurement total.</p>	Socle		
	75-80 cps (qqes 200 cps)	<p>Granite Rose - IDEM à 2M4</p> <p>Gneiss quartzo-feldspathique, IDEM à 2M1. Très rubanné. S1 développée</p> <p>Densité 15. </p> <p>Faille majeure avec granite transformé en Gneiss ocellé.</p> <p> Longueur de faille + de 10 m.</p>			
2M6	25 cps	Gabbro massif Grande surface d'affleurement	Socle		
2M7	25 cps	Gabbro massif Prolongement de la zone d'affleurement 2M6.	Socle		
2M8	100 cps	Gneiss quartzo-feldspathique - IDEM à <u>2B1</u> - Blanc	Socle		
2M9	80- 100 cps	Gneiss quartzo-feldspathique blanc - IDEM à <u>2B1</u>	Socle		

PROJET: MONTS OTISH
 Yolande Bisson
 Patrice Caumartin
 Robert St-Jean

FICHE D'AFFLEUREMENT

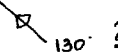
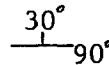
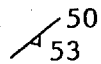
DATE: 16.6.80

LOCALISATION: Q64372-198

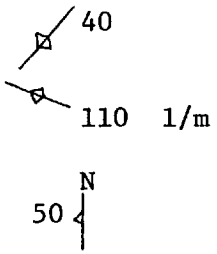
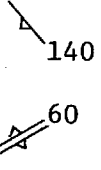
STATISTIQUE: Coupe 4 (G sud)

KM DE COUPE: 2.24

KM DE RADIOMETRIE: 4.5

STATION	RA SPP2	DESCRIPTION	FORMATION	ECHAN-TILLON	ANALYSE
2J8	15-20	<p>Affleurement traversant la rivière. Gabbro gris foncé verdâtre à grain moyen. 40-45% feldspaths, 55-60% minéraux foncés, pyrite, chlorite.</p> <p>Dimension maximum des cristaux: 1.5 cm. Fracturation:  130° ?</p> <p>Il semble y avoir un litage  30° 90°</p>			
2J9	85-100	<p>1. Subaffleurement de gneiss à biotite. Très pyriteux. Gneissosité difficilement mesurable (car subaffleurant) (semble être $S_1 \leftarrow 80^\circ$)</p>	Socle	2J9c	
	90-100	<p>2. Granite rose à grain moyen. Quartz 60-65%, feldspaths 35-40% roses à orangés, peu de mafiques, massif. R.A. max. sur zone à limonite.</p> <p>Fracturation  50 53</p> <p>Passées pegmatitiques et aplitiques se voient intimement.</p> <p>La différence entre la composition du gneiss et celle du granite ne permet pas l'hypothèse de l'anatexie des gneiss en granite.</p> <p>Nous sommes en présence d'un granite intrusif dans les gneiss, ceci s'étant probablement produit en profondeur.</p>	Socle		
	125	<p>3. Granite pegmatitique rose, massif. Quartz: 30%, feldspaths roses: 65%,</p>			

Statistiques Coupe 4 (G sud)

STATION	RA SPP2	DESCRIPTION	FORMATION	ECHAN- TILLON	ANALYSE
2J9 (suite)		ferromagnésiens: 5%. Devient localement plus riche en ferromagnésiens. On n'observe aucune foliation dans les granites alors que les gneiss sont très plissés et foliés. Les gneiss semblent se retrouver sous forme de lambeaux dans un massif de granite intrusif.	Fracturation	N140	
2J10	20	Affleurement de 100 m x 10 x 10 le long d'un escarpement. Gabbro de couleur gris verdâtre. Feldspaths: 60%. Ferromagnésiens: 40%. Fracturation importante dans à peu près toutes les directions.	Gabbro		
2J11	20-25	Affleurement à peu près continu de 150 x 50 x 10 m. Gabbro gris vert, grain moyen à fin, très faillé et mylonitisé par endroits. 			
2J12		Affleurement de gabbro, idem 2J11. Très fracturé localement. Poissons selon 20 2 à 10/m remplies de chlorite. 	Gabbro		
		ouverte de 2 à 3 cm. Pyroxènes (diopside?) et une pâte très felsique.			

FICHE D'AFFLEUREMENT

DATE: 16/6/80

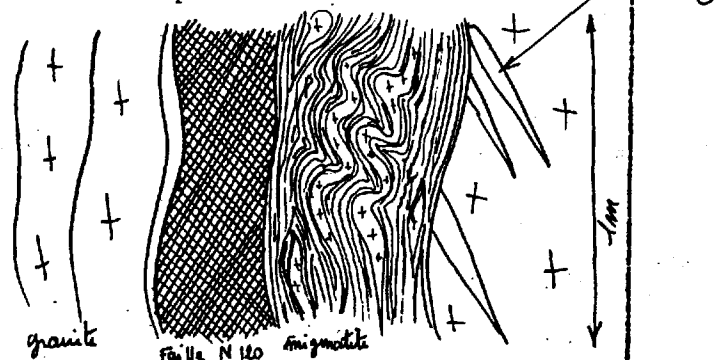
LOCALISATION: Q64 372 198

STATISTIQUE: Coupe 4

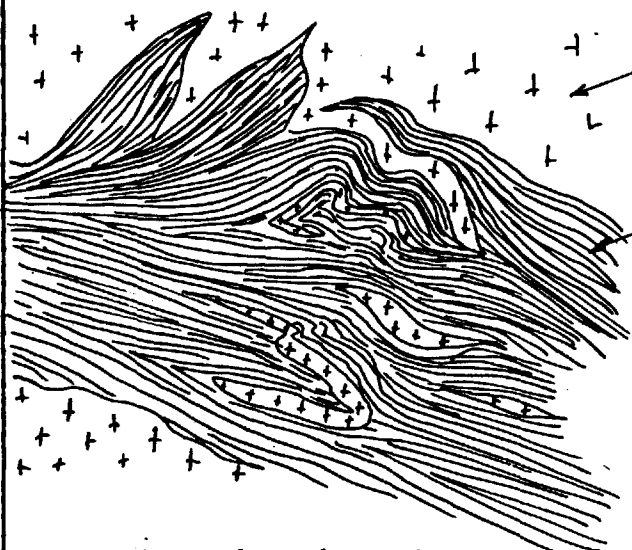
KM DE COUPE: 2.24

KM RADIOMETRE: 2.24

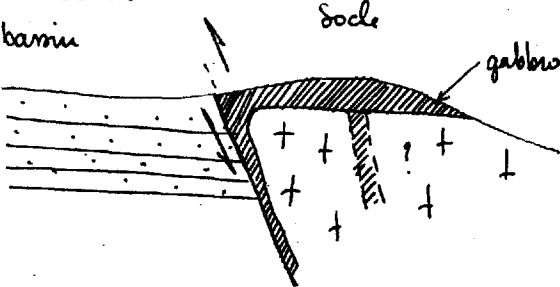
STATION	RA SPP2	DESCRIPTION	FORMATION	ECHAN- TILLON	ANALYSE
2P9	15	Affleurement de gabbro 10 x 10 m. Grain fin, orienté N136°, pendage 60°, litage peu net. 20 m plus au sud, gabbro plus feldspathique à structure équante.			
2P10	85	Granite rose à rouge isotrope, sans mica, à granulométrie grossière; intrudé par un gabbro selon un contact normal EW. Vingt mètres à l'ouest, granite rose de même type présentant une enclave de gneiss quartzitique, à biotite chloritisée, bordée par une faille parallèle N120°.			
2P11	200	Granite rose grossier sans mica passant insensiblement à des faciès porphyroïdes (individus pouvant atteindre 8 cm) voire pegmatitiques interrompus par des bouffées aplitiques. Ce faciès atteste le caractère intrusif du granite dans cette zone; ces différenciations dans la granulométrie étant caractéristiques de coupes granitiques.	Socle		
2P12	90	Gneiss à grain fin, biotitique, intrudé par le granite rose.			



Statistiques Coupe 4

STATION	RA SPP2	DESCRIPTION	FORMATION	ECHAN-TILLON	ANALYSE
	1,50m	 <p>Les orientations du gneiss sont diverses N20, N90, N140, N180 et suggèrent, à l'échelle de l'affleurement, l'existence ante-intrusion d'un vaste pli (10 m de rayon) dans les structures métamorphiques.</p>	<p>granite.</p> <p>gneiss migmatitique.</p> <p>N180</p>		
2P13	25	<p>Gabbro présentant un rubanement N100-60 sud surmonté par un faciès à nodules (4 x 3 cm).</p> <p>- Structure de refroidissement?</p> <p>- Brèche contemporaine de la mise en place?</p>			
2P14	20	<p>Gabbro à grain fin à moyen, très fortement diaclasé selon N135, pendage vertical N 60, pendage 60N N 20, pendage 50N, ce qui produit un débit en polygones losangiques décimétriques.</p>			
2P15	50	<p>Faille majeure inverse N180°, pendage 70°E marquant le contact gabbro du socle - séries sédimentaires du bassin d'Otish.</p> <p>La formation sédimentaire à l'ouest est intensément broyée (poissons centimétriques à décimétriques), la</p>			

Statistiques Coupe 4

STATION	RA SPP2	DESCRIPTION	FORMATION	ECHAN- TILLON	ANALYSE
		<p>faille étant plus volontiers développée dans le compartiment sédimentaire.</p> <p>La formation sédimentaire est un grès subarkosique bleu à galets volants de quartz, il s'agit d'un faciès évolué, <u>en aucun cas appartenant au conglomérat de base</u>, ce qui atteste à la faveur de la faille, un affaissement du bassin.</p>  <p>Il est à noter que le gabbro apparaît relativement peu affecté par la tectonique.</p> <p>(photo)</p> <p>Photo d'une paroi verticale</p>			

Statistiques Coupe 4

STATION	RA SPP2	DESCRIPTION	FORMATION	ECHAN- TILLON	ANALYSE
2P16	15-25	Affleurement continu sur pratiquement toute la traverse nord, de gabbro isotrope à granulométrie variable et débit planaire: sill s'étant mis en place dans des conditions calmes.			

PROJET: MONTS OTISH

FICHE D'AFFLEUREMENT

DATE: 17 juin 1980

LOCALISATION: Orthophoto "G" Sud

STATISTIQUE: Coupe No 5 - P. Caumartin, F. Perron, S. Lavoie

KM DE COUPE: 2,5 km.

KM RADIOMETRE: 2,5 km.

STATION	RA SPP2	DESCRIPTION	FORMATION	ECHAN- TILLON	ANALYSE
2L-3	50	<p>Bloc de conglomérat polygénique, supposé- ment le conglomérat de base du groupe d'Otish.</p> <p>Galets centimétriques à décimétriques très arrondis, jointifs.</p> <p>55-50% : granite quartzo-feldspathique; 35-30% : galets allongés de métavolcani- tes basiques centimétriques; 15-20% : cailloux de quartz très arrondis.</p> <p>Matrice 30% orientée, grés-feldspathique localement grossière, chloriteuse et pyri- teuse = grès verdâtre à vert, grain gros- sier à fin.</p>			
2L-4	25 N-120° N-180°	<p>Gabbro frais d'Otish, joints à N-120, N-180. Grain moyen, plagioclase en petits "laths".</p>			
2L-5	20 N-90° N-320° N-90°	<p>Gabbro d'Otish, très dioritique, grain moyen en bordure, et évolue rapidement vers des faciès nettement plus gabbroïque.</p> <p>2L-5a : Gabbro d'Otish, faciès dioritique, 30-40% feldspath.</p> <p>2L-5b : Gabbro d'Otish typique, grain moyen.</p>		2L-5a	
2L-6	25	IDEM.			

Statistiques

STATION	RA SPP2	DESCRIPTION	FORMATION	ECHAN- TILLON	ANALYSE
2L-7	25	<p>Gabbro très grossier, variolé sur le flanc Est de la faille; il est en position sub-horizontale avec un pendage de 10° à 15° vers l'Est.</p> <p>Le gabbro fait au moins 30 mètres d'épaisseur et possiblement le double.</p> <p>Au pied de la falaise, un conglomérat polygénique, IDEM à 2L-3, quoique beaucoup plus tectonisé.</p> <p>Faille N-25° à pendage 55° vers l'Est. Le côté est remonté par rapport au côté Ouest qui contient les grès.</p> <p>Le conglomérat semble sous le gabbro.</p> <p>Schistosité dans le conglomérat N-45°-70° E.</p> <p>Joints dans le gabbro.</p> <p>Coins tectoniques pris dans la faille de bordure socle-bassin. Répétition décamétrique de bloc de gabbro-conglomérat. Débit en plaquettes dans le gabbro selon les plans N.0°-S.6° E.</p> <p>Cigares tectoniques dans gabbro N-64°-30°. Veines de quartz N-10°-44° E.</p>			
2L8	75-100	<p>Grès arkosique conglomératique, très grossier. Cailloux de quartz épars. Faciès fortement recristallisé. Nous sommes du côté Ouest de la faille. Le faciès conglomératique ressemble beaucoup aux faciès minéralisés de l'anomalie A-44°.</p> <p>2L-8a : Grès arkosique conglomératique à cailloux de quartz épars.</p>		2L-8a	

Statistiques

STATION	RA SPP2	DESCRIPTION	FORMATION	ECHAN- TILLON	ANALYSE
2L-9	60	<p>Conglomérat polygénique IDEM à 2L-3. Dans le plan de fracture, le conglomérat affleure sur une épaisseur de plus de 5 mètres; il est surmonté de gabbro variolé très grossier.</p> <p>La stratification du conglomérat, plan d'allongement maximal des galets, est N-40°-56°.</p>			
2L-10	45-50	<p>Grès grossier quartzitique dans la vallée structurale. Le grès présente un débit tectonique en plaquettes centimétriques, orienté N.0°, 60°E. La faille est à quelques mètres à l'Est.</p>			
2L-11	25	Gabbro.			
2L-12	75	<p>Bloc - Conglomérat polygénique à matrice arkosique très grossière. Cailloux de quartz arrondis centimétriques. Feldspath anguleux recristallisé.</p> <p>2L-12a : Conglomérat.</p>		2L-12a	
2L-13	25	} Gabbro d'Otish frais.			
2L-14	25				

FICHE D'AFFLEUREMENT

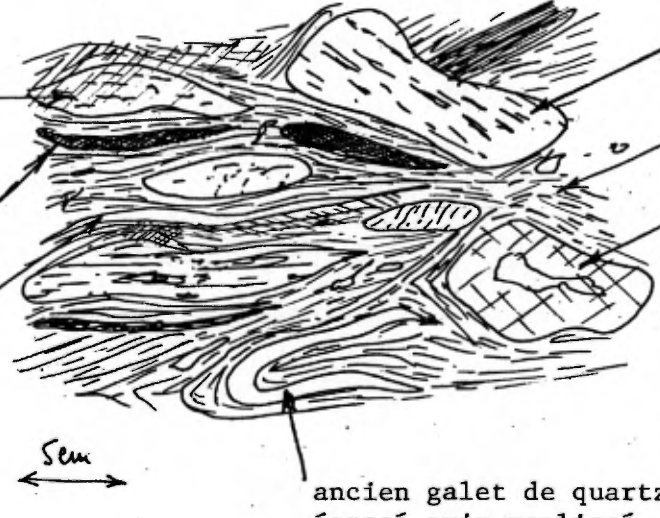
DATE: 17/6/80

LOCALISATION: Carte aérienne 1/15,680:64 372 198

STATISTIQUE: 2C5

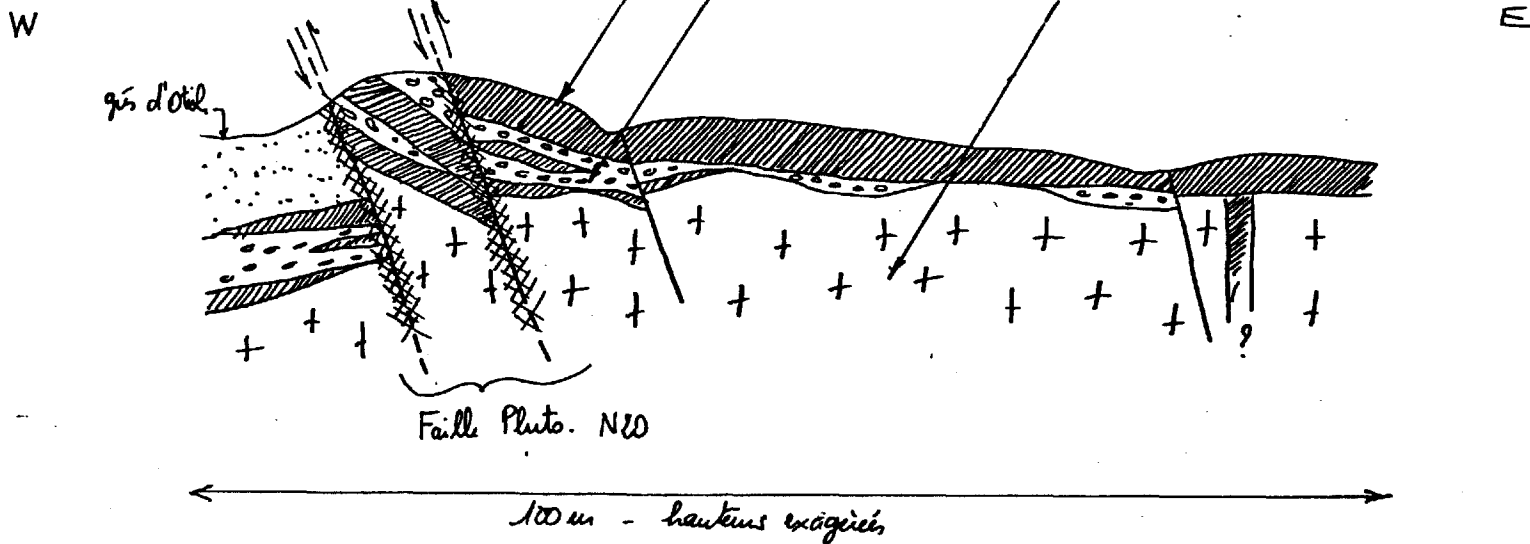
KM DE COUPE: 2.5

KM RADIOMETRE: 2.5

STATION	RA SPP2	DESCRIPTION	FORMATION	ECHAN-TILLON	ANALYSE
2P17	15	Gabbro à grain moyen assez clair. Non loin (20 m à l'ouest), pierres volantes anguleuses d'un gabbro fortement cataclasé.			
2P18	20	Gabbro massif cisailé par des fractures N20 à N40, maille métrique, pendage 20 à 40°, induisant des poissons métriques. Plus à l'ouest, faciès au diaclasage en "pelure d'oignon".			
2P19	40	Conglomérat ou granite cataclasé? Faciès feldspathique rose, localement très chloriteux (voir dessin). En fait, le tout très nébuleux.			
<p>fantôme de galet plus feldspathique écrasé en flammèches</p> <p>ancien galet volcanique basique</p> <p>galet de quartz écrasé</p>		 <p>galet orienté obliquement par rapport à la schistosité</p> <p>matrice très fine, chloriteuse localement ultramylonitique</p> <p>feldspath monocristallin recrystallisé sur un galet feldspathique</p> <p>ancien galet de quartz écrasé puis replissé</p>			

Statistiques 2C5

STATION	RA SPP2	DESCRIPTION	FORMATION	ECHAN- TILLON	ANALYSE
2P20	25	<p>La présence des fantômes feldspathiques dont certains à schistosité interne oblique par rapport à la schistosité produite par la cataclase permet de trancher en faveur d'une hypothèse conglomératique, à savoir conglomérat de base feldspathique à galets essentiellement granitiques.</p> <p>Gabbro à grain moyen clair, feldspathique (diorite?) présentant un débit planaire étendu: N20 à pendage E de 10 à 20°. Ceci incite à penser qu'il s'agit d'un sill.</p> <p>D'autre part, le faible pendage E accreditte l'idée d'un basculement du socle vers l'est (contemporain du paroxysme de la faille Pluto?).</p>			
Conclusion sur la coupe					



PROJET: Monts Otish

FICHE D'AFFLEUREMENT

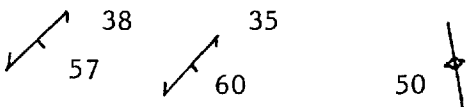
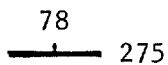



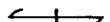
DATE: 16 juin 1980 2C-6

LOCALISATION: Photo 1/15840 372-197

STATISTIQUE:

KM DE COUPE: 3.5 km

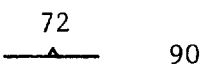
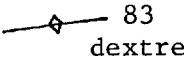
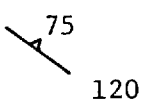
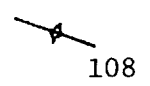
KM RADIOMETRE: 3 X 3.5km = 10.5

STATION	RA SPP2	DESCRIPTION	FORMATION	ECHAN- TILLON	ANALYSE
2B8	100- 120 points 200- 500	Granito-gneiss rose à blanchâtre avec quartz vitreux, feldspath rose et pas de mica (hornblende en traces). Veine de quartz épaisse 7cm. 	Socle idem 2M4		
2B9 cf. 79V41 Nord	80 à 100	Granito-gneiss blanc cisailé, parfois mylonitisé avec lentille oeuillée de mobilisat quartzo-feldspathique, redevient granite rose pâle 6 mètres au nord de la faille. Faille majeure 275-78 à stries verticales. 	Socle idem 2B1 1		U, Th 1,6 113
Faille		Mylonite à séricite vert clair pâle sur 1.5 mètre au sud de la faille. Veines de quartz L: 4m ép.: 20cm  100 10cm  95 3cm  95			
Sud	80- 100	Granito-gneiss blanc très feldspathique (sans mica) à leucosome pegmatitique et à altération verdâtre (?)	1		
Sud- Ouest	50- 80	Granito-gneiss blanc avec enclaves lenticulaires de diorite quartzique (?) cisailé Plan allongement lentille.  90	1		

Statistiques

STATION	RA SPP2	DESCRIPTION	FORMATION	ECHAN- TILLON	ANALYSE
2B9		<p><u>Anomalie</u></p> <p>Dans la zone d'intersection de plusieurs micro-fractures.</p> <p style="text-align: center;"> </p> <p>Direction majeure</p> <p>Alignement de 6000 cps et 3000 cps.</p> <p>Deuxième zone nettement alignée sur</p> <p style="text-align: center;"> </p> <p>en placage sur le plan allant de 500 à 1750 à 500.</p>	Socle	Anomale 400cps	oui
2B10	25	<p>Gabbro à grain de 2 à 3 mm de feldspath et pyroxène légèrement chloritisé.</p> <p style="text-align: center;"> </p> <p>chloritisé</p>	Otish 21		
2B11	25	<p>Gabbro idem.</p> <p style="text-align: center;"> </p> <p>Diaclase</p> <p>Enormément de blocs de conglomérat de base dans le ruisseau.</p>	Otish 21		
2B12	25	<p>Gabbro idem</p> <p>Majeur </p> <p>Majeur 140</p> <p>Mineur 35</p>	Otish 21		

Statistiques

STATION	RA SPP2	DESCRIPTION	FORMATION	ECHAN- TILLON	ANALYSE
2B13		Gabbro idem.	Otish 21		
2B14	150- 200	Granite rose sans mica. Le gabbro des affleurements précédent repose en sill sur ce granite.	Socle		
2B15	150- 200	Granite rose sans mica avec passées pegmatitiques. S ₁ grossier  Mineur 	Socle		
2B16		Gabbro idem.	Otish 21		
2B17					
2B18					
2B19					
2B20					
2B21		Gabbro à grain fin massif (1-2mm) non orienté. Veine de quartz de 20cm bordé de 1cm de chlorite.  Veine de quartz épais de 8cm. 	Otish 21		

FICHE D'AFFLEUREMENT


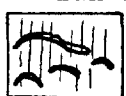
DATE: 17 juin 1980

LOCALISATION: Coupe géologique (vérification structurale)

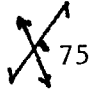
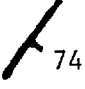
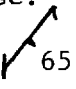
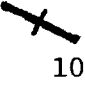
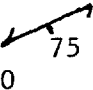
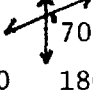
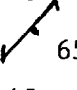
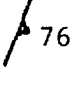
STATISTIQUE: 2C-7

KM DE COUPE: 2,1 km

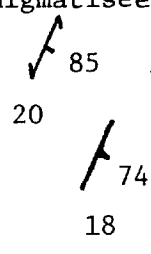
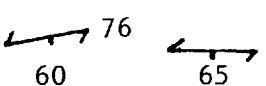

KM RADIOMETRE: 2,1 km

STATION	RA SPP2	DESCRIPTION	FORMATION	ECHAN- TILLON	ANALYSE
2B22	100- 150 Côté est rivière	<p>Granito-gneiss blanc migmatisé (rubané 1 cm à >30 cm pour le quartz-feldspath, lamine micacée 0.5 à 4 cm, à part des enclaves).</p> <p>Gneiss micacé gris (quartz, biotite 75%, phlogopite ?) en lamines très micacées ou en enclaves plus quartziques (25%).</p> <p>Une lentille de gabbro cisailé avec réorientation des minéraux mafiques.</p> <p>Gneissosité striée.</p> <p>Bloc est chevauchant</p> <p>Coupe  Plan S. </p> <p>162-60</p> <p>Localement 2 gneissosités se recoupent</p> <p>Linéation de crénelations</p> <p>Gneissosité</p> <p>Stries</p> <p>dans gabbro</p> <p>Linéation minéralogique</p>	Socle 1		

Statistiques

STATION	RA SPP2	DESCRIPTION	FORMATION	ECHAN- TILLON	ANALYSE
2B22 suite		<p>Gneissosité moins développée (ancienne ?)</p>  <p>75 Stries</p> <p>35 165-51</p> <p>Faille mineure  74</p> <p>35</p> <p>Granite blanc à rosé, très peu mig- matisé.</p>  <p>65</p> <p>40</p>  <p>105 Faille mineure</p> <p>Note: La faille du lac Pluto semble emprunter ici les plans de la gneissosité.</p>	1		
2B23	100 cps	<p>Granito-gneiss blanc avec lentille de gneiss micacé (20%) IDEM à 2B22 W.</p> <p>Très peu migmatisé.</p>  <p>75</p> <p>60</p>  <p>70</p> <p>50 180-60 stries</p> <p>Migmatisation locale</p>  <p>65</p> <p>40</p>	1		
2B24	100- 150	<p>Granite rose (quartz, feldspath blanc, feldspath rose) légèrement schistosé ou massif avec passée blanchâtre et lentille de gabbro schistosé (ancien)</p> <p>Joints mineurs  76</p> <p>25</p>	2		

Statistiques

STATION	RA SPP2	DESCRIPTION	FORMATION	ECHAN- TILLON	ANALYSE
2B25		<p>Granito-gneiss blanc avec enclave peu migmatisée.</p>  <p>Veine de quartz épaisse de 10 cm de quartz,</p> <p>faillée par une petite faille</p> <p>Bloc sud remonté selon le déplacement de la veine de quartz.</p>	Socle		
2B26		Granito-gneiss, IDEM au précédent.	1		
2B27	50 cps	<p>Conglomérat polygénique cisailé à fragment de 5 à 30 cm. Fragment de granite rose, granite blanc, quartzite, volcanique acide ?, pélite verte et rouge, quartz de veine blanc.</p> <p>Matrice de grauwacke cisailé (grès, feldspath, quartz, chlorite, séricite ?).</p>  <p>Certains blocs sont allongés dans schistosité</p>	Conglomérat de base à fragment granitique 7		
2B28	50-80 Ano. 2700 Battement 400- 500	<p>Conglomérat polygénique IDEM au précédent.</p> <p>Anomalie 2A7. Microfracture centimétrique avec zone de battement rubéfié (hématisé) d'une trentaine de centimètres.</p>  <p>D'autres points rubéfiés sur l'affleurement n'étaient pas anomaux.</p>	Conglomérat 7		

PROJET: MONTS OTISH

FICHE D'AFFLEUREMENT

DATE: 17/6/80, 18/6/80

LOCALISATION: "G" sud

STATISTIQUE: 2C-8

KM DE COUPE: 3.910



KM RADIOMETRE: 11.730

STATION	RA SPP2	DESCRIPTION	FORMATION	ECHAN- TILLON	ANALYSE
2V1 (photo)	40-65	Basal conglomerate. Polygenetic ortho-conglomerate. Cobbles to pebbles in size of quartz, diorite, metabasalt, metarhyolite, etc. Matrix consists of a medium grained greywacke. Most of the cobbles and pebbles are well rounded but slightly flattened by metamorphism. The matrix is very immature, consisting of 55% medium grained, subangular to subrounded quartz, 20% feldspar (subangular to subrounded) and 25% sericite and chlorite. Outcrop is 10 m. thick, 70 m. long by 25 m. wide.	Indicateur	↗ 064, 59	
2V2	25	Medium grained gabbro with a poorly developed schistosity.	Gabbro d'Otish	↘ 316, 87 ↗ 059, 87	
2V3	170- 350 max.	Medium grained, poorly foliated granite.	Socle	↔ 082, 49	
2V4	40-65	Basal conglomerate idem 2V1. Contact granite-basal conglomerate is extremely sharp with no chemical nor hydrothermal alteration of either along contact. Conglomerate more pebbly in size with slightly more quartz in the matrix along with far more abundant volcanic pebbles.	Indicateur d'Otish		
2V5	125- 150	Idem 2V3.	Socle		

Statistiques Coupe 8

STATION	RA SPP2	DESCRIPTION	FORMATION	ECHAN- TILLON	ANALYSE
2V6 (photo)	45	Idem 2V1. Composed of cobbles (15-30 cm. long) in a very coarse grained matrix (35% quartz, 45% feldspar, 20% chlorite and sericite). Cobbles are composed primarily of granite and pegmatite. The area contains several outcrops showing throughout a poly-genetic orthoconglomerate with a coarse to microconglomerate matrix of greywacke composition. There are different phases of pebble size. When the rudite is large, there tends to be less volcanic pebbles and more acid intrusive cobbles. Bedding is undefinable although there is evidence of variation in pebble and cobble sizes (possibly channels).	Indicateur	→ 083,46	
2V7	45	Idem 2V6. Fuschite is present in some pebbles. Matrix (15% of rx.) has approx. 30% Fe-Mg minerals and is coarse grained.	Indicateur	→ 081,57	
2V8	60-75	Microconglomerate (subarkosic). 10% quartz pebbles (subrounded to rounded), 10% angular feldspar pebbles, 15% angular to subrounded feldspar (pink); medium to very coarse grained, 40% quartz (subrounded to subangular), medium to very coarse grained, 25% green sericitic matrix.	Indicateur	2V8	
2V9	35	Small outcrop of 4 mm. grain size diabasic gabbro.	Gabbro d'Otish.		
2V10	45	Abundant large boulders of basal conglomerate.	Overburden (Indicateur)		

Statistiques Coupe 8

STATION	RA SPP2	DESCRIPTION	FORMATION	ECHAN- TILLON	ANALYSE
2V1					
2V7					



2 V 4



2 V 6

PROJET: MONTS OTISH

Malcolm Gent
Claude Marcotte
Yolande BissonFICHE D'AFFLEUREMENT

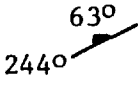


DATE: 17 juin 1980

LOCALISATION: Photo 1:15,000 : No Q64372-196

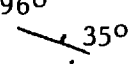
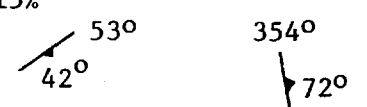
STATISTIQUE: Coupe 2C-8

KM DE COUPE: 3,91 km

KM RADIOMETRE:

STATION	RA SPP2	DESCRIPTION	FORMATION	ECHAN- TILLON	ANALYSE
2M11	25- 30 cps	Gabbro massif. Diaclases bien développées 	Gr. Otish		
2M12	25- 40 cps	Gabbro - IDEM A 2M11 Schistosité:  Fracturation: 82 170°	Gr. Otish		
2M13	50- 60 cps	Conglomérat de base. Polymicte, caillou % 80% et +, de granite rose, diorite, matériel volcanique basal- tique, quartzite, fuschite (- de 1%). Matrice quartzeuse, % - de 15%, avec ma- tériel chloriteux, ferro-magnésien à grains fins (1 mm.) → Grauwacke quartzeux ? Schistosité développée dans la matrice 	Indicateur		
	60 cps	A 15 mètres au W-N-W de l'affleurement dé- crit, on distingue un changement notable dans la séquence. On passe du conglomérat de base typique à une Arkose lithique/li- tharénite feldspathique. Les galets sont absents, les grains sont anguleux à sub- anguleux de l'ordre de 1 à 2 mm.		2M13	

Statistiques

STATION	RA SPP2	DESCRIPTION	FORMATION	ECHAN- TILLON	ANALYSE
		<p>La zone de transition ± franche dé-terminerait un plan de stratification de direction approximative</p> <p>296°  35°</p> <p>% grains de quartz : 45% grains de feldspath : 50% Matrice ± 5% matériel chloriteux. couleur verte (muscovite ≈ 1%) interstitiel. Ce faciès représenterait un rebord de chenal d'érosion.</p>			
2M14	85 cps	<p>Microconglomérat à cailloux de quartz sub-anguleux avec une deuxième classe granulométrique arénitique, de catégorie arkosique, (40% feldspath, 60% quartz), avec kaolinisation des feldspaths (altération couleur rouille).</p> <p>Matrice 15% composée de quartz recristallisé et matériel sériciteux à aspect verdâtre...</p> <p>Cailloux 25-30% Fraction arénitique 55-65% Matrice 10-15%</p> <p>Diaclases: </p> <p>A l'échelle de l'affleurement (6 m.²) on note des passées plus conglomératiques (à + > % de cailloux de quartz) la variation peut jouer dans le 10%.</p>	Indicateur		

FICHE D'AFFLEUREMENT

DATE: 18.06.80

LOCALISATION: Q64 372 198

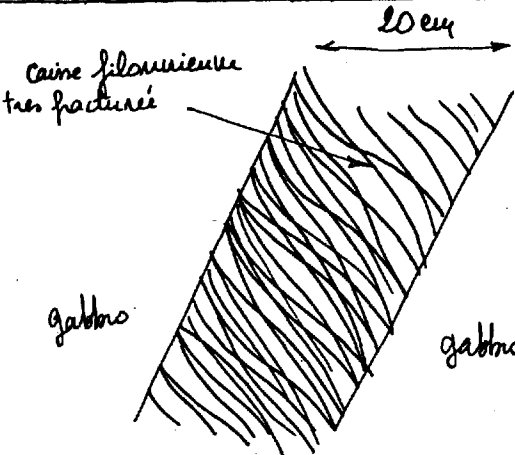
STATISTIQUE: Coupe 2C9

KM DE COUPE: 3

KM RADIOMETRE: 3

STATION	RA SPP2	DESCRIPTION	FORMATION	ECHAN- TILLON	ANALYSE
2P21	20-25	Gabbro à grain moyen, tectonisé (faces striées localement N330-20S) Foliations N180, 10E N160, 30E N180, 20E.	Socle		
2P22	20	Gabbro à grain moyen très feldspathique. Foliations N60, 5-10N N35, 5W. Diaclase NS 70°S.			
2P23	25	a) Filon quartzo-feldspathique dans un gabbro à grain moyen <u>très clair</u> . N180 subvertical. Le gabbro développe aux épontes une auréole réactionnelle (gros cristaux ferromagnésiens aplatis, perpendiculaires au filon). Reliquat non digéré par le gabbro. La puissance du filon est environ de 20 cm. b) Dans le même faciès, un filon volcanique? Roche de couleur verte à texture vitreuse. Direction N120, vertical.	Socle		

Statistiques Coupe 2C9

STATION	RA SPP2	DESCRIPTION	FORMATION	ECHAN- TILLON	ANALYSE
		 <p>Aucune réaction du gabbro aux épon- tes → filon postérieur à la mise en place du gabbro.</p>			
2P24	60-70	<p>Conglomérat de base à galets quasi jointifs (80% granite, 15% volcanites 5% quartz) et 80% de matrice. Les galets sont très arrondis et peuvent atteindre 40 cm de longueur. Stratification So à l'affleurement (4-5 m ϕ) subhorizontale.</p>			
2P25	70	<p>Microconglomérat subarkosique re- cristallisé (quant à la silice du moins). Très grossier: les éléments constitutifs peuvent atteindre le centimètre: quelques galets de quartz centimétriques flottent ça et là. La couleur est beige à ocre clair.</p>	Indicateur		

FICHE D'AFFLEUREMENT

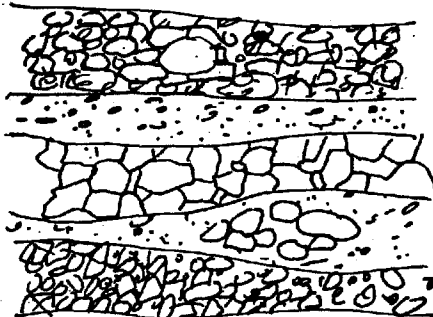
DATE: 19/6/80

LOCALISATION: Q64 372 198

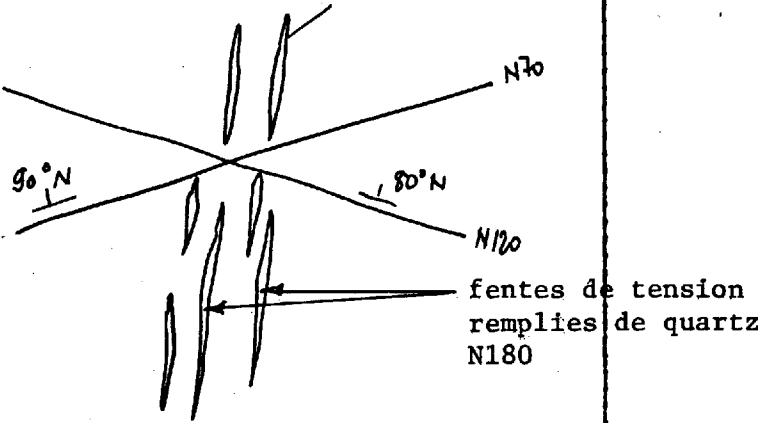
STATISTIQUE: Coupe 2C10

KM DE COUPE: 2.7

KM RADIOMETRE: 2.7

STATION	RA SPP2	DESCRIPTION	FORMATION	ECHAN- TILLON	ANALYSE
2P26	80- 100	<p>Microconglomérat feldspathique(10% F) à granules anguleux.</p> <ul style="list-style-type: none"> - Granulométrie 0.5 à 5 mm. - Couleur blanc verdâtre. - Litage marqué par un film millimétrique jaune vert. <p>Certains de ces lits divergent de la description générique, à savoir:</p> <p>Lits clairs d'un vert plus net d'une arénite subarkosique claire poreuse pouvant présenter des concentrations de granules arrondis volants de quartz hyalin.</p> <p>Lits plus volontiers limoniteux de microconglomérat subarkosique à granulométrie plus grossière (5 à 15 mm).</p> <div style="display: flex; align-items: center; margin: 10px 0;">  <div style="margin-left: 20px;"> <p>0.5 → 1.5 mm</p> <p>5 → 15 mm</p> <p>< 2 mm</p> <p>0.5 - 1.5 mm</p> </div> </div> <p>L'affleurement à stratification subhorizontale présente un système de fracturation nettement visible:</p>	Indicateur		


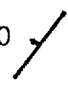
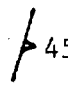
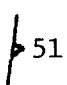
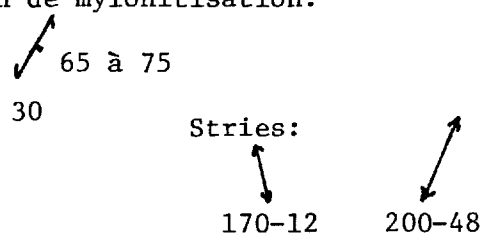
Statistiques Coupe 2C10

STATION	RA SPP2	DESCRIPTION	FORMATION	ECHAN- TILLON	ANALYSE
2P27	100	 <p>Plan de stratification N120, Microconglomérat feldspathique. Feld. (5 à 10%).</p> <ul style="list-style-type: none"> - La granulométrie oscille entre 2 et 5 mm. - Blanc unicolore. - Pas de granules volants. - Feldspaths fréquemment limoniteux et kaolinisés, - Recristallisation de la fraction quartzeuse de la roche, 			
2P28	90	<p>Sur le versant ouest de la faille Pluto, les bancs de microconglomérats affleurent avec un plan de stratification So; N100, pendage 10N. De bas en haut, 3 bancs:</p> <p>a) Banc métrique de microconglomérat subarkosique blanc verdâtre à feldspaths limoniteux.</p> <ul style="list-style-type: none"> - La granulométrie est assez resserrée (1-5 mm). - Peu ou pas de granules volants. 	10 N100		
	80	<p>b) Banc décimétrique de microconglomérat subarkosique blanc verdâtre.</p> <ul style="list-style-type: none"> - Granulométrie plus grossière (2-10 mm). 	8		

Statistiques Coupe 2C10

STATION	RA SPP2	DESCRIPTION	FORMATION	ECHAN- TILLON	ANALYSE
	100	<p>- Granules volants de quartz gris.</p> <p>c) Banc massif d'au moins 5 m de puissance, composition de même type que celui décrit en a), avec localement des amandes à granules volants arrondis.</p>			

Statistiques

STATION	RA SPP2	DESCRIPTION	FORMATION	ECHAN- TILLON	ANALYSE
2B31		Fracturation amygdalaire: Principale: Secondaire:  de moindre importance			
2B32	80- 100	Grès identique à 2B29. 50  Fracturation majeure sub- 228 parallèle au linéament-fail- le de Pluto. 45  51  10 05			
2B33	50	Conglomérat de base extrêmement ci- saillé avec bloc granitique et autre de 5 à 30 cm. Plan de mylonitisation:  Stries: 170-12 200-48	5		
2B34	35	Gabbro peu tectonisé. Fracturation sub-parallèle au plan de déposition ? 35 Faille Pluto direction ≈N-20, penda- ge 65 à 75. Mouvement: chevauche- ment senestre.			

PROJET: MONTS OTISH

FICHE D'AFFLEUREMENT

DATE: 19/6/80, 20/6/80

LOCALISATION: "G" sud

STATISTIQUE: 2C-12

KM DE COUPE: 5.8

KM RADIOMETRE: 8.1

STATION	RA SPP2	DESCRIPTION	FORMATION	ECHAN- TILLON	ANALYSE
2V11	65	Boulder moraine. Abundant, moderate to well rounded boulders consisting primarily of 1) green subarkose to arkose, coarse to microconglomerate granulometry; 2) pink orthoquartzites, frequently well rounded (medium grained); 3) white subarkose, medium to coarse grained with red spots (hematitic); 4) well rounded boulders of gabbro d'Otish; 5) few boulders of porphyritic, foliated pink granitic migmatite.	Overburden (Indicateur)		
2V12	65	Far more abundant pink orthoquartzite boulders, one boulder 3 m. x 6 m. x 6 m. (probably very local) of bedded pink and white, well rounded, mature orthoquartzite (with recrystallization of grains).	Overburden (Indicateur)		
2V13	65	White very coarse grained to microconglomeratic arkose and subarkose. Moderately sorted.	"		
2V14	60	Idem 2V13 but fleshy salmon in colour. Feldspar grains vary from very fresh to strongly altered. Some red hematitic spots are present.	"	2V14	
2V15	65	Idem 2V13.	"		
2V16	65	White subarkose predominates. It is moderately sorted, varies from medium grained to very coarse grained; there are beds of strongly foliated fine grained quartzite. There are also a few floating pebbles.	"		

Statistiques Coupe 11

STATION	RA SPP2	DESCRIPTION	FORMATION	ECHAN- TILLON	ANALYSE
2V17	65	Fine to medium grained, pink coloured subarkose. The grains are moderately well rounded with approx. 12% feldspar, 78% quartz and 10% silica cement. Feldspar grains are particularly salmon coloured.	Overburden (Indicateur)		
2V18	70	Predominantly a medium to coarse grained white arkose with some red spots still present. There are still very few quartz pebbles although there are some microconglomeratic phases. Pink laminated quartzites are becoming more frequent. A stronger foliation is present in most boulders.	"		
2V19	60	Suboutcrops of greenish-white, microconglomeratic subarkose. The grains are poorly sorted, varying in size from 0.2 mm to 1.6 cm. The feldspar grains are extremely angular while many of the quartz grains have well saturated boundaries, suggesting a certain degree of recrystallization. The larger grains (>2 mm.) are well rounded to subangular. Feldspar grains are white and dusty, indicating strong kaolinitization.	Indicateur	2V19	
2V20	45-50	Predominantly white subarkose with only about 7% feldspar. Sorting is fair, the grains are medium sized and subrounded. Foliation is less pronounced than at 2V18 and 2V19.	Overburden (Indicateur)		
2V21	45-55	Medium grained, white orthoquartzite with feldspathic cement (recrystallized kaoline?). The sediment is mature with good sorting and well rounded grains.	"		

Statistiques Coupe 11

STATION	RA SPP2	DESCRIPTION	FORMATION	ECHAN- TILLON	ANALYSE
2V22	60	Reappearance of very coarse grained to microconglomeratic subarkose. It is white, with moderate to poor grain sorting. There are no floating pebbles.	Overburden (Indicateur)		
2V23	45	White, massive, medium to coarse grained orthoquartzite with silica cement.	Overburden (Indicateur)		
2V24	75	Coarse to very coarse grained, moderately sorted, white subarkose. Feldspar grains are generally white but sometimes pink. A few floating quartz pebbles are also present.	Overburden (Indicateur)		
2V25	65-70	Idem 2V24 but pink coloured. There are conglomeratic and microconglomeratic layers. Some layers are laminated. There is a definite progression to hematitic subarkoses. Some blocks of laminated, medium to fine grained, green and pink orthoquartzite of local origin (large and angular) are present.	Overburden (Indicateur)	2V25	
2V26	60	Suboutcrop. Medium grained, moderately sorted, beige-white subarkose with approx. 6% feldspar. Grains are subrounded to subangular. Ripple marks are common.	Indicateur		
2V27	75-95, max. 425 c/s	Microconglomerate with abundant paraconglomerate and floating pebble layers. The rock on a whole is composed of 20% floating quartz pebbles, 25% 3 mm. to 0.2 mm. feldspar (angular to subangular) grains. 35% coarse grained quartz and 30% green sericitic matrix. Areas of higher RA are located in small quartz pebble oligomictic paraconglomerate channels and are most certainly related to primary concentration of thorium. There is also a	Indicateur 323,87 085,51		

Statistiques Coupe 11

STATION	RA SPP2	DESCRIPTION	FORMATION	ECHAN- TILLON	ANALYSE
2V28	75 c/s, max. 500 c/s	poorly developed foliation. A very immature, poorly sorted sediment probably at the base of the 1st or 2nd sequence of the Indicateur formation. Idem 2V27. Subarkose composition.	Indicateur ↳ 186,85 ?/ 033,26 Ψ 175		
2V29	80	Very coarse grained subarkose with abundant floating pebbles and microconglomerate bands. A very strong foliation is present. 1-5% arkose, 5% floating quartz pebbles, 65% quartz and 15% matrix (green). The foliation is strong and there appears to be strong recrystallization and deformation of the grains. The rock is massive and shows no bedding. Green microconglomeratic subarkose.	Indicateur ↳ 002,87 ↘ 128,90 ↗ 065,27		
2V30	60	Extremely large, angular block of laminated, poorly sorted, pink orthoquartzite with red, silty layers. Grain size varies from fine to coarse. Cement is feldspathic. Blocks of coarse grained, green subarkose and arkose similar to 2V29 but somewhat more maturely sorted. Also blocks of green feldspathic sandstone with red silty layers present (medium to coarse grained).	Overburden (Indicateur)		
2V31	50-55	Mixed boulders of 1) medium to coarse grained green-white feldspathic sandstone and subarkose	"		

Statistiques

Coupe 11

STATION	RA SPP2	DESCRIPTION	FORMATION	ECHAN- TILLON	ANALYSE
2V32	50	<p>2) laminated green and pink-red orthoquartzite (medium grained).</p> <p>Laminated green and pink-red orthoquartzites and feldspathic sandstones as well as boulders of <u>white feldspathic to subarkosic sandstones</u>. Also two boulders of very coarse grained gabbro. Sediments are probably of a back-levy type. There are a few (>2%) floating quartz pebbles.</p> <p>The green and pink-red laminated orthoquartzites have a green matrix while the feldspar in the green laminae are pink with a white to pale green rim, thus indicating a secondary reduction of the more permeable beds or a growth of unaltered feldspar on top of altered primary grains.</p>	Overburden (Indicateur)	2V32	
2V33	45	<p>Massive, white and medium grained, well rounded orthoquartzite. Moderately foliated. Also a fair amount of gabbro boulders, "feldspathic grès" (medium to very coarse grained) boulders.</p>	Overburden (Indicateur)		
2V34	30	Abundant gabbro boulders medium to coarse grained	Overburden (Gabbro d'Otish)		
2V35	20-25	Gabbro, medium grained. Some pyrrhotite present. Slightly magnetic.	Gabbro d'Otish	151,53	
2V36	25, max. 1400 c/s Gabbro 950 c/s	<p>Idem 2V35, but with potassic contamination of plagioclase and abundant fractures filled with epidote.</p> <p>Mineralization epidote-albitite on epidote-105/90 vein. 500-950 c/s, a lot of albitite pyrrhotite crystals present. Vein is over 3 m. long and 2-4 cm. wide with epidote on the edge.</p>	Gabbro d'Otish	<p>17,65 313,84 329,85</p> <p>2V36b</p>	

Statistiques Coupe 11

STATION	RA SPP2	DESCRIPTION	FORMATION	ECHAN- TILLON	ANALYSE
		<p>Gabbro is also mineralized but there is no evident fracture plane present.</p> <p>The gabbro has been epidotized, particularly along fractures as well as in irregular patches along with some hematization of plagioclase.</p>			

PROJET: MONTS OTISH

Malcolm Gent
Claude Marcotte
Yolande BissonFICHE D'AFFLEUREMENT

DATE: 19 juin 1980

LOCALISATION: 5760000 m.N. 326000 m.E.

STATISTIQUE: Coupe 2C-12

KM DE COUPE:

KM RADIOMETRE:

STATION	RA SPP2	DESCRIPTION	FORMATION	ECHAN- TILLON	ANALYSE
2M15	50- 55 cps	Bloc de: Microconglomérat à cailloux quartzeux. Cailloux anguleux, flottant isolément ou en agrégats essentiellement quartzeux. Matrice quartzeuse (95%) à grains grossiers anguleux...	Indicateur		
2M16	55- 60 cps	Bloc de: Sub-arkose litée à grains grossiers et grains fins formant des bandes millimétri- ques à centimétriques. Grains sub-arrondis à sub-anguleux. Présence de quelques grains d'hématisation. Feldspath K rose 20% Quartz 80%	Indicateur		
2M17	30 cps	Bloc de: Quartzite blanc à lits centimétriques commandés par des changements granulomé- triques. Grains sub-anguleux à sub-arron- dis variant de 0,5 à 2,0 mm. Grains jointifs, recristallisation aux pour- tours des grains. 95% Quartz 5% Feldspath K rose Schistosité se développe aux surfaces in- tercouches.	Indicateur		
2M18	50 cps	Bloc de: Quartzite blanc à grains moyens à fins Quelques passées grossières. Grains sub- anguleux (grossiers) et jointifs. Aspect massif. Pratiquement purement quartzeuse.	Indicateur		

Statistiques

STATION	RA SPP2	DESCRIPTION	FORMATION	ECHAN- TILLON	ANALYSE
2M19	60 cps	<p>Bloc de: Quartzite rose, d'aspect massif à grains fins à moyens, sub-anguleux, nombreux points d'hématisation (1 à 2%). Passées de grains grossiers (5%) discontinues. Laminations millimétriques à centimétriques apparentes sur une dizaine de centimètres.</p>	Indicateur		
2M20	60-80 cps	<p>Bloc de: Quartzite blanc à grains fins à moyens, anguleux, passées grossières nombreuses, très mauvais tri. Cailloux de quartz présents de 5 à 10% peut s'élever selon les blocs observés et change l'appellation → conglomérat à cailloux de quartz. Quelques blocs contiennent un % variant de 5 à 10% de feldspath K rose et feldspath blanc avec kaolinisation → sub-arkoses à cailloux de quartz.</p>	Indicateur		
2M21	70-80 cps	<p>Bloc de: Sub-arkoses à feldspaths blancs (15%) avec kaolinisation. Grains de quartz 1 à 2 mm. sub-anguleux peuvent contenir des passées microconglomératiques (grains de quartz 4 mm. à 5 mm.).</p>	Indicateur		
2M22	65-75 cps	<p>Bloc de: Sub-arkoses rosées 15% feldspath rose K avec laminations de couleur rouge vin plus ou moins continues. Grains sub-anguleux. Passées de grains grossiers de quartz sub-anguleux.</p>	Indicateur		

PROJET: MONTS OTISH

Malcolm Gent
Claude Marcotte
Yolande BissonFICHE D'AFFLEUREMENT


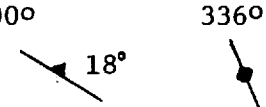
DATE: 20 juin 1980

LOCALISATION: 5761 000 m.N. 325,000 m.E.

STATISTIQUE: Coupe 2C-12

KM DE COUPE: 3,1 km.

KM RADIOMETRE: 3,5 km.

STATION	RA SPP2	DESCRIPTION	FORMATION	ECHAN- TILLON	ANALYSE
2M25	75- 85 cps	Grès feldspathique à passées microconglomératiques. Fraction arénitique contient jusqu'à 10% de feldspaths blancs, certains altérés, d'autres frais. Grains anguleux à sub-anguleux. Fraction rudite: cailloux de quartz sub-anguleux de 1 à 2 cm. montrant des fractures à l'échelle des grains, (80-85% des rudites). Cailloux de feldspath blanc et feldspath rose K (10 à 15%), la plupart frais mais fracturés. 3530 Diaclasses: 	Indicateur		
2M26	80 cps	IDEM à 2M25 3000 Diaclasses: 	Indicateur		
2M27	70 cps qqes points à 150 175 cps	IDEM à 2M25 - 2M26	Indicateur		

Statistiques

STATION	RA SPP2	DESCRIPTION	FORMATION	ECHAN- TILLON	ANALYSE
2M28	75 cps	Bloc de grès feldspathique rose % de feldspath est \pm 5%. Grains fins à moyens, sub-anguleux. Laminations de couleur rose foncé à rouge vin contenant matériel beaucoup plus fin (taille des silts ...) Points d'hématisation.	Indicateur		
2M29	70 cps	Bloc de: Grès feldspathique grossier à passées microconglomératiques. Contient 5 à 10% de feldspaths blancs (% variable à l'échelle du bloc). dans la fraction arénitique grossière. Fraction rudite: 90% quartzites sub- arrondis. 10% feldspaths blancs et roses.	Indicateur		
2M30	40 cps	Bloc de: Quartzite blanc à grains moyens sub- anguleux, à sub-arrondis. Quelques (\approx 2 à 3%) grains de feldspaths roses. Aspect massif. Blocs très gros et très anguleux do- minant en nombre dans un champ de blocs. % de blocs de Gabbro augmente vers l'ouest	Indicateur		
2M31	25-35 cps	Gabbro massif peu fracturé.	Gr. OTISH		

PROJET: MONTS OTISH

FICHE D'AFFLEUREMENT

DATE: 20 juin 1980

LOCALISATION: Orthophoto "G" sud

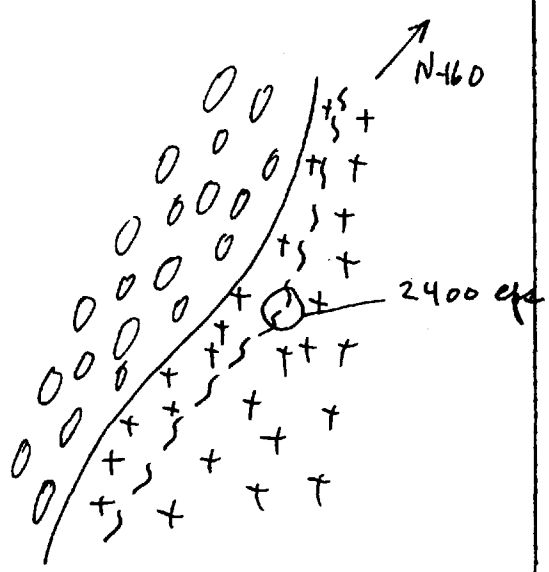
STATISTIQUE: Coupe 2C-13 P. Caumartin, S. Lavoie, F. Perron

KM DE COUPE: 2 km

KM RADIOMETRE: 2 km

STATION	RA SPP2	DESCRIPTION	FORMATION	ECHAN- TILLON	ANALYSE
2L-36 IDEM à 2B-27	100- 125 N-50 / 70°	<p>2L-36a: Conglomérat polygénique de base, surmonté de grès sale arkosique. Fragments de feldspaths authigènes, détritiques, frais non altérés.</p> <p>Granite rose d'anataxie, très homogène, frais, syntectonique; chloritisation près de la faille N-20°:</p> <p>Clivage dans le granite.</p> <p>Contact gneiss blanc de socle et granite rose d'anataxie.</p> <p>2L-36b: Granite rose d'anataxie à 950 cps. Le bloc est une épisyénite et contient une enclave de gabbro.</p> <p>2L-36c: Granite rose d'anataxie contenant une xénolite de conglomérat de base ?</p> <p>Le granite rose d'anataxie intrude le socle selon un axe N-45°, N-50°, lame verticale à sub-verticale décamétrique à hectamétrique.</p>		<p>2L-36a</p> <p>2L-36b</p> <p>2L-36c</p>	<p>Ref.</p> <p>U / Th</p> <p>à couper U / Th 29.0 563</p>

Statistiques

STATION	RA SPP2	DESCRIPTION	FORMATION	ECHAN- TILLON	ANALYSE
2S-4	2400	<p>Anomalie très ponctuelle dans le granite rose d'anataxie à un carrefour de faille sub-v verticale N-40° et N-70°, 80°E.</p>  <p>2S14a: Echantillon de la zone à 2400 Le granite rose d'anataxie est donc post sédiments Otish.</p>		2S-14a	U / Th.
2M-1a	400	<p>Anomalie très ponctuelle dans un joint N-140°. L'encaissant est une arkose verte dans les conglomérats et micro-conglomérats à cailloux de quartz.</p> <p>2N-1a: Arkose verte minéralisée sur fracture; le banc d'arkoses fait près d'un mètre de puissance.</p>		2M-1a	U / Th.

Statistiques

STATION	RA SPP2	DESCRIPTION	FORMATION	ECHAN- TILLON	ANALYSE
<u>Note 1:</u>		Les granites roses d'anataxie intrusifs dans l'axe de la faille Pluto sont de petites tailles. Ils témoignent d'une anataxie locale de peu d'ampleur, concentrée dans les principaux axes de fracturation. Les corps granitiques sont hectamétriques tout au plus.			
<u>Note 2:</u>		<p>Les grès du bassin présentent dans leur premier niveau, des variations très constantes et régulières; les passages se font du conglomérat de base polygénique aux conglomérats arkosiques à cailloux de quartz; puis viennent les microconglomérats arkosiques à cailloux épars, lesquels sont interlités d'arkose verte à grain moyen.</p> <p>La séquence se poursuit par des grès grossiers sub-arkosiques à feldspathiques; le feldspath devient fin et se situe en matrice; il est souvent kaolinisé, blanc laiteux.</p> <p>On note quelques récurrences conglomératiques, mais leur matrice est nettement plus gréseuse et même parfois quartzitique.</p>			

Mont

DATE: 20/6/80

LOCALISATION: Q64 372 198

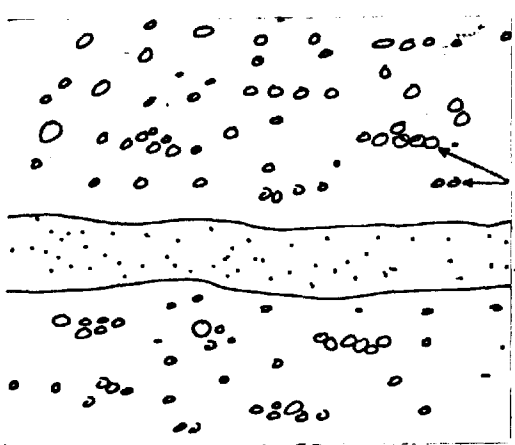
STATISTIQUE: Coupe 2C13

KM DE COUPE: 2

KM RADIOMETRE: 2

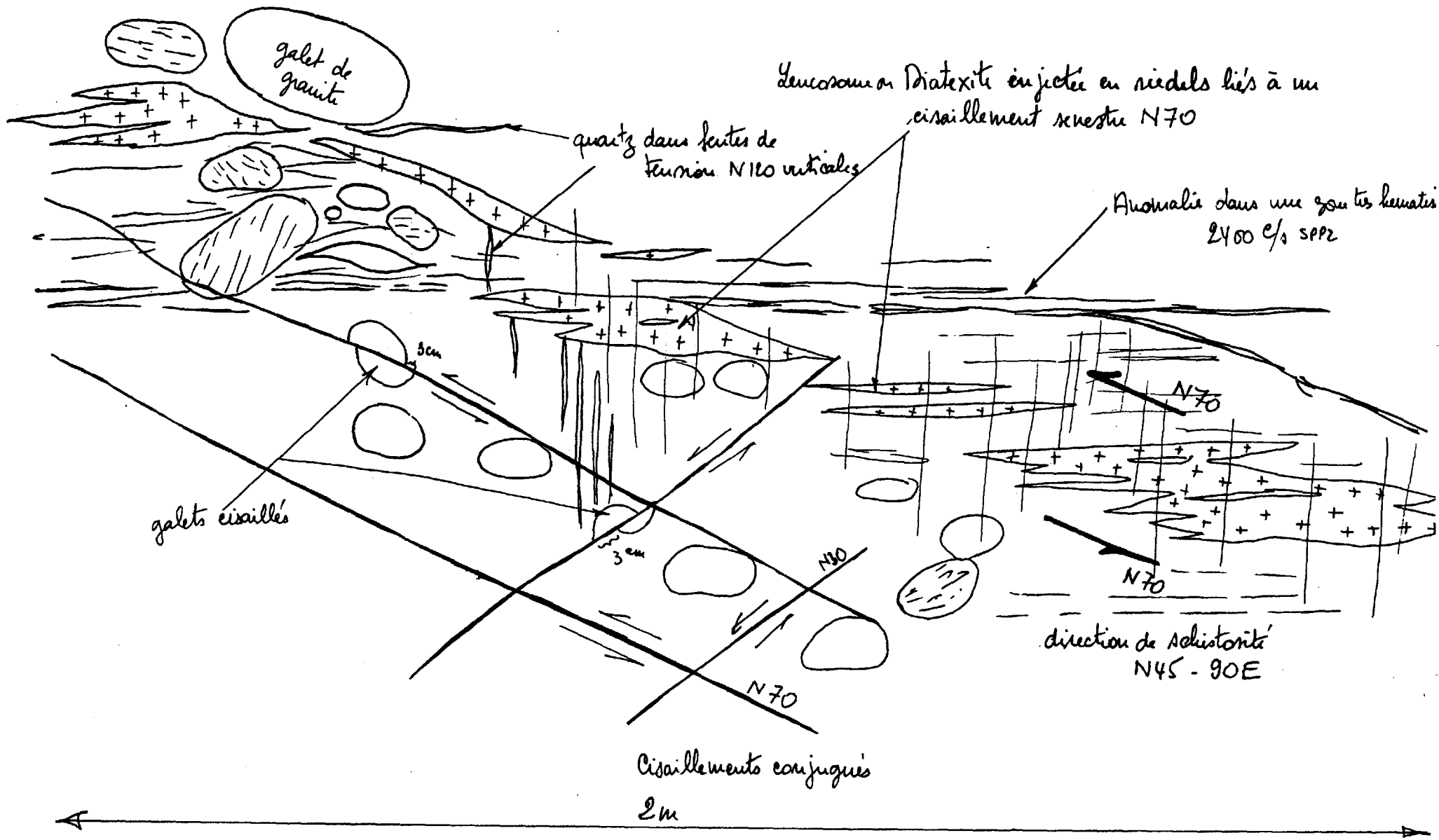
STATION	RA SPP2	DESCRIPTION	FORMATION	ECHAN-TILLON	ANALYSE
2P29	90	<p>Granite eutectique rouge sans mica, au grain moyen à grossier, présentant:</p> <p>a) Un filon de quartz N10,80E b) Une enclave de 15x10 m de gneiss à biotite associé à un gabbro N55-60,80E, soit la séquence suivante: <u>Séquence d'est en ouest:</u></p> <p>Latéralement, à proximité de l'interface gabbro-anatexite: dans le granite(?), une restite de conglomérat de base à la faveur d'une faille décimétrique N70.</p>			U Th 58.6 612
	950	<p>c) Une épiisyénite entourant une enclave gabbroïque, faciès très rubéfié.</p>			
2P30	75-90 (125)	<p>Conglomérat arkosique à granules de quartz en banc massif. Au sein de ce niveau, un lit décimétrique (20 cm) d'arénite arkosique (60% Feld.) poreuse* à grain moyen.</p>	Indicateur 6		U Th 5.2 142
					<p>* La porosité ne viendrait-elle pas de la faible quantité de quartz? → Non-recristallisation de la roche comme pour les subarkoses de la bordure sud.</p>

Statistiques Coupe 2C13

STATION	RA SPP2	DESCRIPTION	FORMATION	ECHAN-TILLON	ANALYSE
		 <p>conglomérat 75-90 c/s } qtz: 7-20 mm } feldspath: 4-12 m (plusieurs } en gros granules Arénite 150-160 c/s</p> <p>Orientation de la stratification: N50-80W</p>			
2P31	70 c/s	Grès feldspathique (5 à 15% feld.) verdâtre, grain moyen (puissance 2-3 m), encadré par un microconglomérat subarkosique. Stratification So N60-40N.			
2P32	70-75	Microconglomérat subarkosique verdâtre aux feldspaths altérés. Granules de quartz gris ne dépassant pas 5 mm. Plan de stratification: N80, 28N porteur de ripple marks (plan de rides N55 dont l'orientation atteste une venue du courant du SE: N145. Plan de diaclases; N30-40E, N100-85S, N40-10W, N160 vertical.			
2P33	60	a) Grès grossier feldspathique verdâtre N80-17N. b) Banc métrique d'un conglomérat arkosique à granules de quartz N90-16N			U Th 6.0 59
2P34	75-80	Dans un conglomérat arkosique initialement verdâtre, deux phénomènes: - Une dissolution des feldspaths laissant des pores millimétriques.			

Statistiques Coupe 2C13

STATION	RA SPP2	DESCRIPTION	FORMATION	ECHAN- TILLON	ANALYSE
		<p>- <u>Un dépôt d'hématite</u> (et de quartz?) à la faveur de <u>fissures</u> intra-stratification à partir desquelles l'hématite diffuse dans la roche par bouffées.</p> <p>Ces phénomènes sont cantonnés à un banc métrique, entouré par des niveaux verdâtres de conglomérats subarkosiques. L'interprétation suivante peut être avancée.</p> <p>1) Ce phénomène est épigénétique, le niveau ayant été percolé par des solutions en dernier ressort oxydantes.</p> <p>2) Il se limite à ce niveau en raison de l'ampleur de la fraction feldspathique, sa dissolution liminaire ayant créé une forte porosité.</p> <p><u>Un plan de diaclase N27, 68E.</u></p> <p><u>Conclusion sur la traverse:</u></p> <p>1) <u>Dans le socle:</u></p> <p>Un fait important est dégagé: la granitisation "granite rose sans mica" résultant d'une anatexie partielle à basse température est <u>postérieure au dépôt du bassin-voire des intrusions gabbroïques.</u> La liaison intime avec la faille Pluto incite à placer cette anatexie lors de l'épisode Grenville. Ceci est manifeste sur la station 2P29, plus encore sur 2S4. Il apparaît que le conglomérat de base est intrudé par un leucosome de granite rose selon un riedel N70E formé de relais N45 selon la schistosité du conglomérat (intra-faille Pluto).</p> <p>Voir schéma page suivante :</p>			



Station 254 : enfouissement de base injecté de diatexites.

Statistiques Coupe 2C13

STATION	RA SPP2	DESCRIPTION	FORMATION	ECHAN- TILLON	ANALYSE
		<p>2) <u>Dans le bassin:</u></p> <p>a) Les premiers niveaux surmontant le conglomérat de base sont nettement représentatifs d'un milieu réducteur; la couleur <u>uniformément</u> verdâtre des interfaces argileuses va dans ce sens et amène à penser que les conditions réductrices étaient précoces, voire primaires.</p> <p>b) Dans l'ensemble, les conditions qui président à la sédimentation sont stables: succession de faciès détritiques grossiers à fraction feldspathique conséquente. Cependant, de la base au centre de la série, une tendance à la réduction du ratio Feldspath/Quartz se dessine nettement; plus haut, cette évolution est interrompue par une reprise de sédimentation plus grossière et plus arkosique.</p> <p>c) Pour la partie supérieure de la série, une oxydation secondaire prend de plus en plus d'importance..</p>			

FICHE D'AFFLEUREMENT

DATE: 21/6/80

LOCALISATION: Q64 372 198

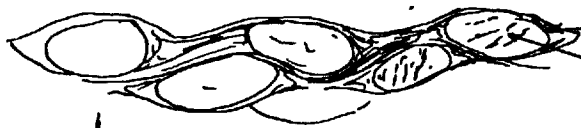
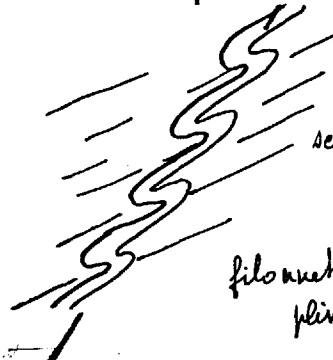
STATISTIQUE: Coupe 2C13

KM DE COUPE: 1.5

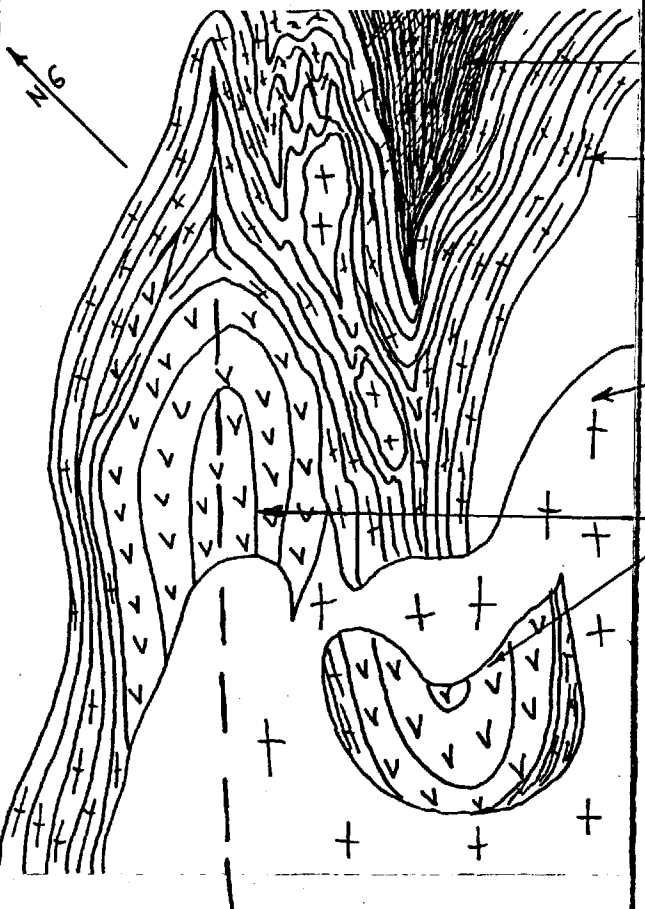
KM RADIOMETRE: 1.5

STATION	RA SPP2	DESCRIPTION	FORMATION	ECHAN- TILLON	ANALYSE
		<p>Un complément d'étude est consacré à la transition bassin-socle à la faveur de la faille Pluto N20E.</p> <p>Les structures pétrographiques en cause sont orientées à l'intérieur d'un éventail N20-N80E; il convient de les aborder selon une coupe N130E.</p> <p>D'ouest en est, la succession d'affleurements est la suivante:</p> <p><u>Le conglomérat de base</u> (traversée à l'affleurement :20 m.) Il s'agit d'un faciès polymictique dont la description pétrographique est déjà établie dans d'autres affleurements; nous retiendrons plutôt les caractéristiques structurales:</p> <ol style="list-style-type: none"> 1) L'orientation générale de la schistosité est N20E pour un pendage 50-60E. 2) Cette schistosité s'accroît vers l'est: la matrice devient de plus en plus cisailée, les galets prennent une allure pisciforme. Le milieu n'a plus un comportement élastique, mais n'est pas encore plastique. 3) L'hématite est générale cependant que dans la matrice les feldspaths deviennent prépondérants lorsqu'on se dirige vers l'est (grain:2-5 mm.). <p><u>Le contact conglomérat-granite.</u> Le passage se fait imperceptiblement, la recristallisation de la matrice continûment dans un champ de contraintes, jusqu'à obtention d'une roche entièrement granitisée où le faciès initial conglomératique est difficilement sensible. Les parties moins aisément assimilables présentent une</p>			

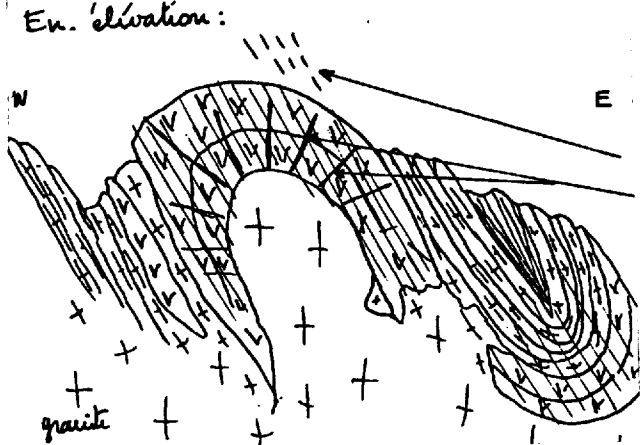
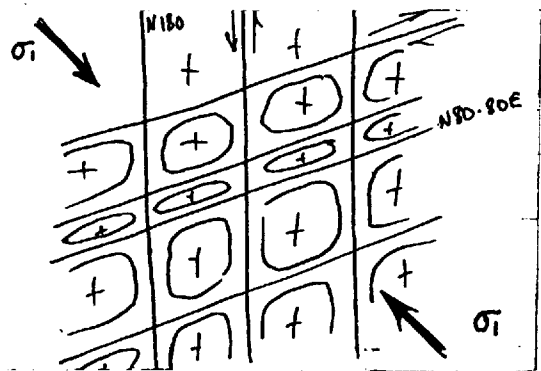
Statistiques Coupe 2C13

STATION	RA SPP2	DESCRIPTION	FORMATION	ECHAN- TILLON	ANALYSE	
		<p>granitisation grain fin-moyen (matrice-galets basiques), les galets granitiques sont isotropes au grain grossier (10-25 mm).</p> <p><u>Le granite syntectonique</u> (quelques mètres). Il s'agit d'un faciès orienté N40SSE à texture oieillée.</p>  <p>film fin de chlorite + quartz matériel quartzo-feldspathique</p> <p>grandeur nature</p> <p>Ici encore, il convient de noter que le phénomène se produit à la limite entre le domaine plastique et élastique (les feldspaths sont élastiques, les quartz plastiques). La rubéfaction est ici intense.</p> <p><u>Le granite isotrope rubéfié.</u> Il s'agit d'un faciès à texture localement isotrope et structure grenue homogène à grain grossier (centimétrique), l'hématisation est intense. Pas de mica.</p> <p>Localement, on peut observer des volumes métriques épi-syé-nitisés caractérisés par un départ du quartz et son remplacement par du feldspath, le tout est accompagné d'une rubéfaction intense.</p> <p><u>Donc, anatexie commençante associée à des phénomènes métasomatiques (épi-syé-nite).</u></p> <p><u>Le granito-gneiss plissé rosé N50E, 65E</u> Graduellement, le granite pâlit cependant que des faciès migmatitiques sont de plus en plus fréquents.</p>				
				 <p>schistose N40</p> <p>filonnet de quartz plim'</p>		

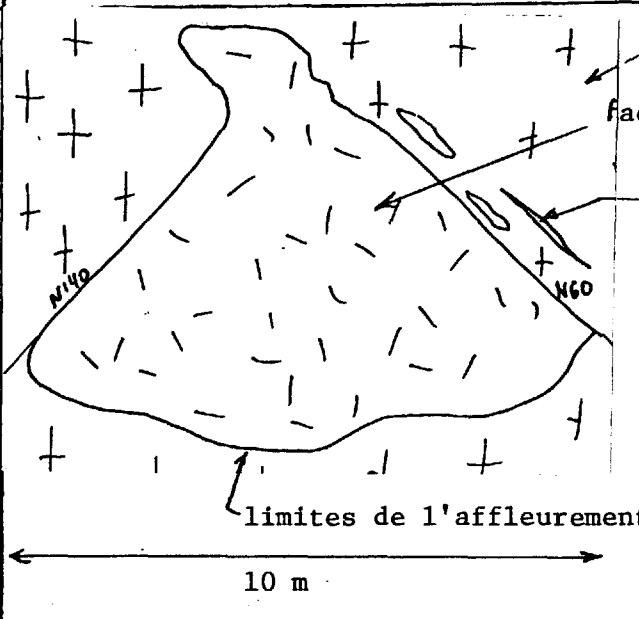
Statistiques Coupe 2C13

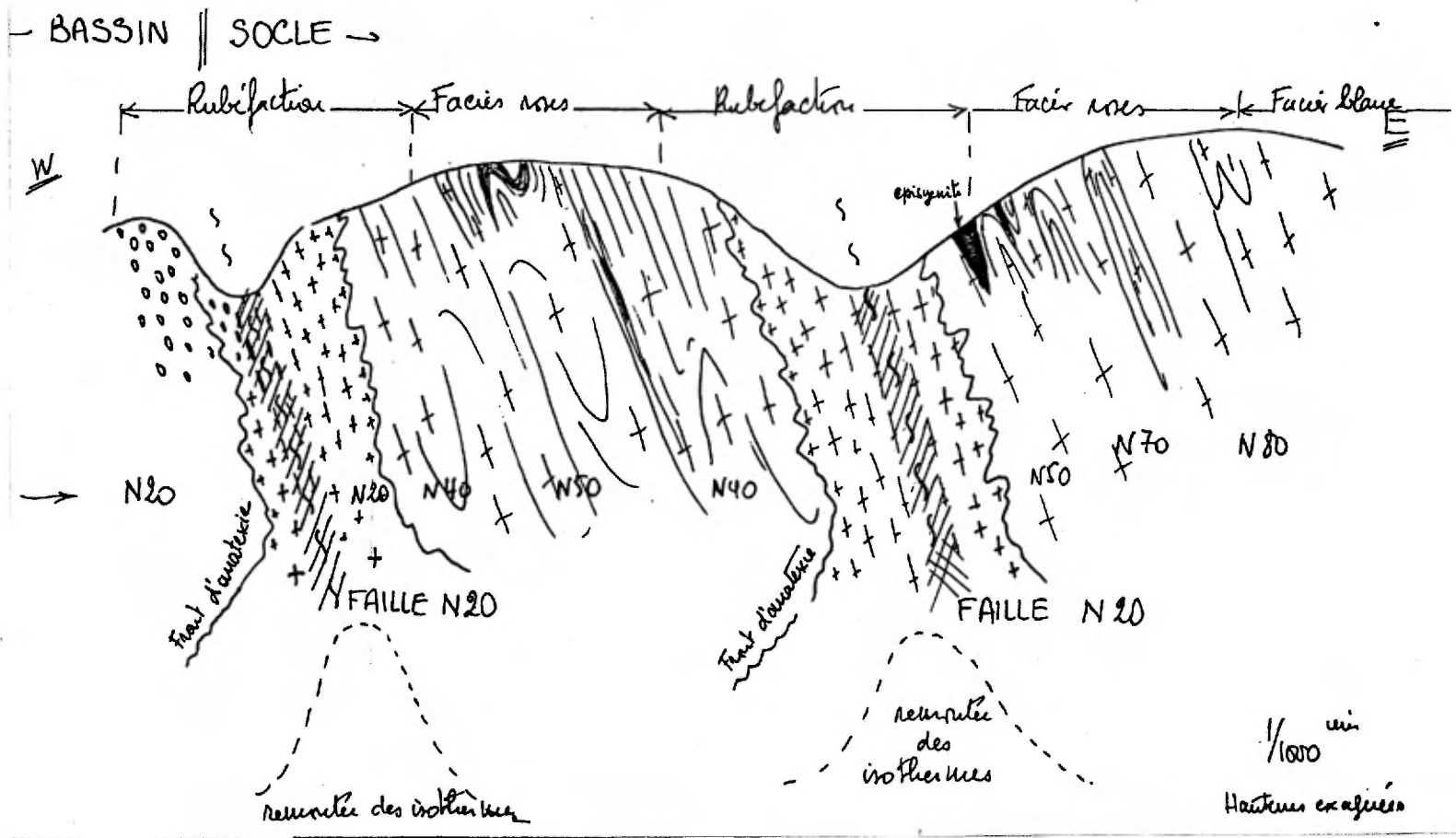
STATION	RA SPP2	DESCRIPTION	FORMATION	ECHAN- TILLON	ANALYSE
		<p>Les migmatites se présentent comme une alternance de bancs quartzofeldspathiques clairs (3 à 8 cm d'épaisseur) et de lits phylliteux (1 mm à 2 cm). Les plis sont fréquents, déversés vers l'ouest, les axes plongeant vers le nord (20 à 30° sans doute).</p> <p>Le matériel phylliteux est essentiellement chloritisé. Localement, un affleurement de gabbro ante-bassin:</p>  <p style="text-align: center;">N50-60E - plongement de l'axe du pli: 20°N</p> <p style="text-align: center;">8 m</p> <p style="text-align: center;">- Plan de coupe -</p>			

Statistiques Coupe 2C13

STATION	RA SPP2	DESCRIPTION	FORMATION	ECHAN- TILLON	ANALYSE
	150-300 (750)	<p>En. 'élévation:</p>  <p>Plus à l'est, sur un affleurement de granite, deux systèmes conjugués de diaclases: N180,85E - sénestres N180,80S - dextres</p>  <p>(dans ce domaine, des filons de quartz) sont rencontrés N70-N80, pendage 80E.</p> <p>De nouveau, granite rubéfié. Après une dépression dans la topographie sans doute contrôlée par une faille N20-30E, la rubéfaction du granite reprend cependant que les témoins de migmatites restent nombreux, voire augmentent. Dans ce domaine, les directions rencontrées sont entre N70 et N80E, avec un pendage plus redressé 80E, l'axe du pli plongeant de 30° vers le nord.</p> <p>A ce niveau, un très bel affleurement d'épisyénite feldspathique très hématisée est mis en évidence.</p>			

Statistiques Coupe 2C13

STATION	RA SPP2	DESCRIPTION	FORMATION	ECHAN- TILLON	ANALYSE
		<p>Le mouvement propre est élevé (150-300 c/s) et peut atteindre, sur de petites fractures hématisées, 750 c/s.</p> <p>Le phénomène, remarquable par sa dimension, présente une surface visible de 60 m².</p> <p>En conclusion à cette étude, il apparaît acquis que la bordure sud du bassin, à la faveur de la faille Pluton et de la discontinuité socle-bassin, a été le siège de fusions partielles locales, liées sans doute à des mouvements de fluides de haute température, fluides riches en alcalins (épisyénite).</p>			



Coupe synthétique

PROJET: MONTS OTISH

FICHE D'AFFLEUREMENT

DATE: 21/6/80

LOCALISATION: "G" sud

STATISTIQUE: 2C-15

KM DE COUPE: 2.383

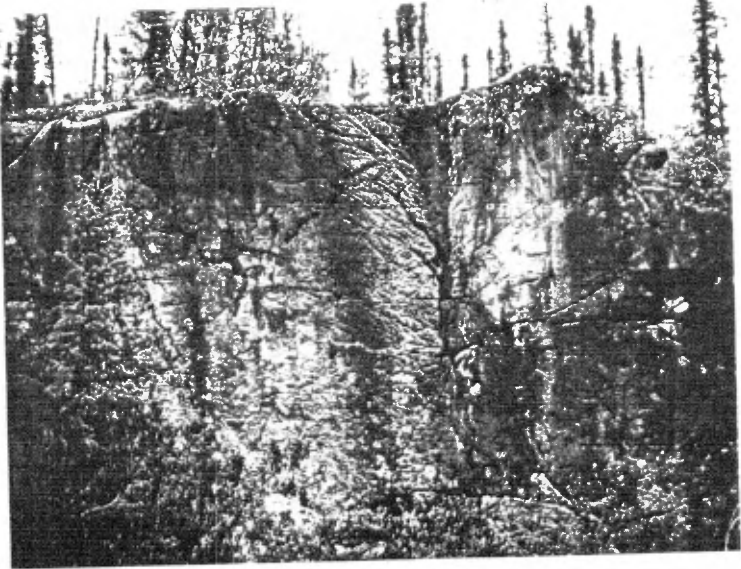
KM RADIOMETRE: 7.449

STATION	RA SPP2	DESCRIPTION	FORMATION	ECHAN- TILLON	ANALYSE
2V37	55- 100	Medium to coarse grained, red biotite-chlorite anatectic granite. Foliation is very poorly developed. Xenoliths (possibly of basal conglomerate) are rare and composed primarily of intermediate rock with areas of biotite and chlorite.	Socle ↙ 061,?	2V37	
2V38	20	Boulders (many >4 x 2 x 2 m.) of intermediate gabbro are very common and their angularity suggests a very local source.	Overburden (Gabbro d'Otish)		
2V39	20	Idem 2V39 but two boulders of mylonite and breccia with large 2 cm. crystals of calcite. Chalcopyrite (?) is also present.		2V39	
2V40	60-80 400 max.	A lot of foliated red granite boulders. Lenticular lenses of biotite are common.	Overburden (Socle)		
2V41	60- 160	Idem 2V37 but lenses (frequently flattened ovals) and bands of biotite and biotite rich granite in a biotitic granite are quite common. Small folds are also present.	Socle 034,73 140,77	2V41	
2V42	60- 375	Well developed gneissic migmatite with centimetric to metric banding of granitic leucosome and intermediate differentiates with virtually pure biotite rims. There are many sporadic areas of high RA. The areas of high RA are frequently the biotitic layers between the leucosomes and differentiates. Other areas of high RA are restricted to the leucosomes. The mafic to intermediate bands are of gabbroic composition with only very thin bands of plagioclase leucosomes developed in them. Their border	Socle (gneissic migmatite) ↙ 034,73 ↘ 333,87		

Statistiques Coupe 15

STATION	RA SPP2	DESCRIPTION	FORMATION	ECHAN- TILLON	ANALYSE
2V43	80, 2100 max.	of biotite and the thin bands of biotite differentiate indicate that the degree of metamorphism was relatively low or that there was a gradual retrograde metamorphism towards the end of the orogenesis. The gneiss is relatively undisturbed by folding. Biotitic, gneissic migmatite of granitic composition. Mineralization is in a band of biotite and red orthoclase adjacent a pure biotite band. The mineralization occurs over 2.5 m. and is 10 cm. thick but is rather punctual and probably thorium.	Socle (migmatite) 009,54 2A-18	2V43	2A18 U/Th 264 U: 264ppm Th 812ppm U/Th=0.325
2V44	100- 180	Idem 2V43.	Socle (migmatite) 040,49		
2V45	25	Contact gabbro-gneissic migmatite. The gabbro is weakly foliated, fine grained at the contact and rapidly coarse grained towards the centre. The migmatite becomes increasingly mafic towards the contact.	Gabbro et Socle 040,50 073,79 024,90		
2V46	20-25	Medium grained gabbro in contact with intermediate to mafic gneissic migmatite. Gneiss becomes increasingly basic towards the contact and bands of mafic material are frequently very angular whereas near the river the bands are extremely lenticular. The migmatite could be a zone of fault breccia and fluid rich sediments which were most susceptible to metamorphism. The gabbro where unfractured was dry and being mafic, unaffected by the metamorphism. The gabbro was faulted before being completely solidified, along 051,80 (see photo). There are several of these structures spaced at approxim. 5 m. intervals. The uplift was to the northwest.	Gabbro d'Otish 051,80 353,27 126,90 051,80		

Statistiques Coupe 15

STATION	RA SPP2	DESCRIPTION	FORMATION	ECHAN- TILLON	ANALYSE
		 <p data-bbox="409 972 519 1003">2V46</p>			

PROJET: MONTS OTISH

Malcolm Gent
Claude Marcotte
Yolande BissonFICHE D'AFFLEUREMENT

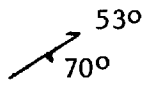
DATE: 21 juin 1980

LOCALISATION: 5,757,000 m.N. 327,000 m.E.

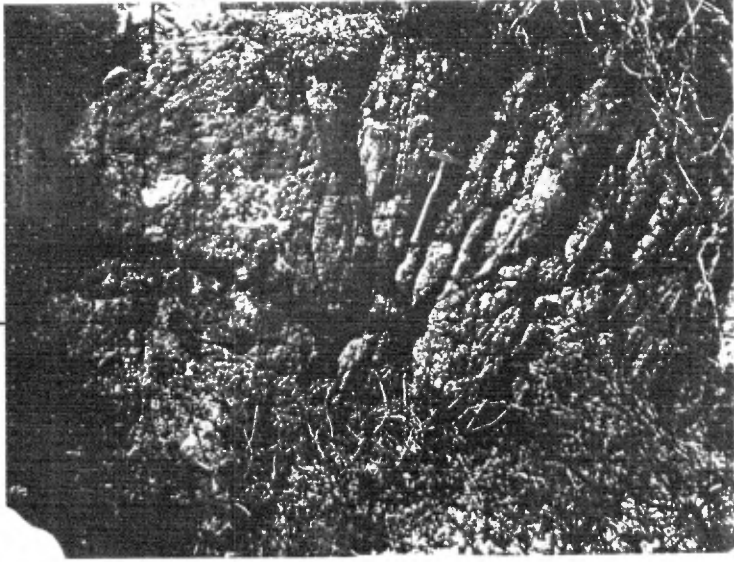
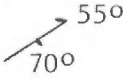
STATISTIQUE: Coupe 2C-15

KM DE COUPE: 7,1 km.

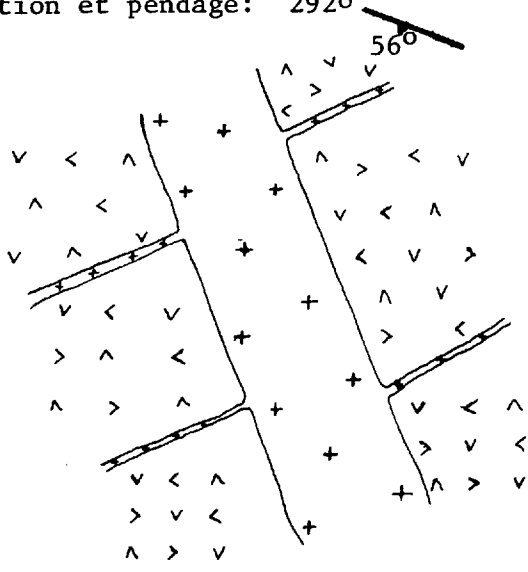
KM RADIOMETRE:

STATION	RA SPP2	DESCRIPTION	FORMATION	ECHAN- TILLON	ANALYSE
2M32	75 cps pts à 200 cps	Blocs d'arkoses et sub-arkoses à cailloux de quartz. Feldspaths blancs, grains sub-anguleux. 15% de blocs de gabbro.	Indicateur		
2M33	a) 110 cps b) 125 cps c) 35 cps	Blocs de: a) Granite rose, b) Gneiss migmatisé et c) Gabbros.	Socle(a & b) ↓ Gr. Otish (c)		
2M34	150- 200	Migmatite litée (Gneiss fortement migmatisé) à bandes quartzo-feldspathiques à texture pegmatitique en bandes de 5 cm. d'épaisseur intercalées avec minces bandes micacées. Foliation:  On retrouve plusieurs points chauds ponctuels à 750 cps; quelques points à 1100 cps.	Socle		
2M35	150 cps	Contact entre granite rose à l'est et migmatite à l'ouest. Granite rose massif à phénocristaux de feldspath rose K. Migmatite litée avec alternance de bandes quartzo-feldspathiques et bandes micacées. cf. Photo page suivante	Socle		

Statistiques

STATION	RA SF	DN	ECHAN- TILLON	ANALYSE
Granite rose massif 125 cps				Gneiss migmatisé lité 125-150 cps avec points à 200 cps
2M36	75 cps 110 cps	<p>Photo prise du NORD</p> 	Socle	Gneiss migmatisé contenant jusqu'à 50% d'enclaves de gneiss à biotite. Mobilisat quartzo-feldspathique en bandes discontinues peu épaisses, contortionnées.
2M37	25 cps	Gabbro massif peu tectonisé.	Gr. OTISH	
2M38	25 cps	IDEM : Gabbro	Gr. OTISH	
2M39	25 cps	IDEM : Gabbro	Gr. OTISH	

Statistiques

STATION	RA SPP2	DESCRIPTION	FORMATION	ECHAN- TILLON	ANALYSE
2M40	30 cps 80- 100 cps 100 cps	<p>Zone de contact entre une enclave gneissique et gabbro massif.</p> <p><u>Au Nord:</u> Le gabbro massif est traversé par un filon quartzo-feldspathique de 20 cm. d'épaisseur. 3580</p> <p>Le gabbro est traversé en plus, de nombreux filonnets de 0,5 à 1 cm. d'épaisseur qui partent du filon quartzo-feldspathique perpendiculairement à celui-ci. Leur direction et pendage: 2920</p>  <p style="text-align: center;">1 : 10x.</p> <p>On retrouve à 1,5 m. à l'est, des bandes décimétriques de gneiss migmatisé. Bandes quartzo-feldspathiques avec abondance de feldspaths roses K. A 10 m. au sud, on retrouve un autre affleurement de gneiss, lui aussi ceinturé de gabbro.</p>	Gr. OTISH		
2M41	30 cps	Gabbro massif - IDEM à 2M38 - 39	Gr. OTISH		

PROJET: MONTS OTISH

Claude Marcotte
Serge GenestFICHE D'AFFLEUREMENT

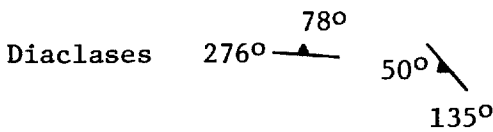
DATE: 23 juin 1980

LOCALISATION: 5,758,000 m.N. 324,500 m.E.

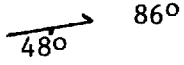
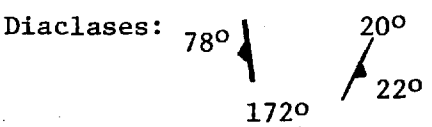
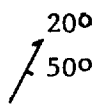
STATISTIQUE: 2C-17

KM DE COUPE: 3,5 km.


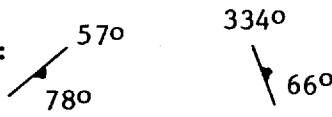
KM RADIOMETRE: 3,5 km.

STATION	RA SPP2	DESCRIPTION	FORMATION	ECHAN- TILLON	ANALYSE
2M42	40 cps	Bloc de quartzite blanc à grains grossiers sub-anguleux.	Indicateur		
2M43	30 cps	Gabbro massif à grains moyens, pas de foliation observable.	Gr. OTISH		
2M44	30 cps	IDEM à 2M43 - Gabbro 	Gr. OTISH		
2M45	60 cps	Bloc de conglomérat de base polygénique à cailloux de gneiss et granite, peu de matrice qui elle, est très arkosique, grossière.	Indicateur		
2M46	110 cps	Bloc de gneiss migmatisé, quartzo-feldspathique.	Socle		
2M47	80 cps	Bloc de conglomérat de base IDEM à 2M45.	Indicateur		
2M48	70 cps	Bloc de conglomérat polygénique à cailloux de quartz, feldspath, à matrice quartzitique, arénitique, grossière ($\approx 2\text{mm.}$) à ciment phylliteux, schisteux.	Indicateur		

Statistiques

STATION	RA SPP2	DESCRIPTION	FORMATION	ECHAN-TILLON	ANALYSE
2M49	125-150 cps	Bloc de gneiss quartzo-feldspathique.	Socle		
2M50	125 cps	IDEM à 2M49 - Gneiss quartzo-feldspathique.	Socle		
2M51	80 cps qqes points à 125 cps	Bloc de conglomérat à cailloux de quartz matrice quartzitique à grains grossiers (1 à 2 mm.).			
2M52	75 cps	Blocs d'Arkoses microconglomératiques vertes.	Indicateur		
2M53	60-80 cps	<p>Affleurement conglomérat à cailloux de quartz et métavolcaniques (en proportion 90% quartz, 10% volcaniques). Sub-arrondis. Fraction rudite représente 40% de la roche. Matrice arkosique avec feldspaths interstitiels. Développement d'une schistosité avec début d'alignement de grains de quartz de la matrice.</p> <p>S₁: </p> <p>Diaclases: </p> <p>Vers l'ouest, à 10 mètres, le conglomérat devient plus tectonisé. Le matériel schisteux est bien plus développé (prend jusqu'à 15%-20% de la roche); beaucoup d'hématisation sur les cailloux de quartz. La schistosité est beaucoup plus développée et de direction N020°/50°.</p> <p></p>	Indicateur		

Statistiques

STATION	RA SPP2	DESCRIPTION	FORMATION	ECHAN- TILLON	ANALYSE
		<p>Le plan de fracture est de même di- rection que les diaclases 172°. (sub- verticale).</p>  <p>(fracture ouverte)</p>			
2M54	85 cps	<p>Arkoses microconglomératiques vertes à cailloux de quartz de 1 à 2 cm. Schistosité beaucoup moins développée que sur 2M53.</p>	Indicateur		
2M55	90 cps	IDEM à 2M54.	Indicateur		
2M56	25 cps	<p>Grabbo massif.</p> <p>Diaclases:</p> 	Gr. OTISH		

PROJET: MONTS OTISH

FICHE D'AFFLEUREMENT

DATE: 23/6/80

LOCALISATION: "G" Sud

STATISTIQUE: 2C-19

KM DE COUPE: 3.2

KM RADIOMETRE: 6.4

STATION	RA SPP2	DESCRIPTION	FORMATION	ECHAN- TILLON	ANALYSE
2V47	55	Well banded, leucocratic biotite-migmatite boulders.	Overburden (Socle)		
2V48	45	Basal conglomerate and partially mature form of basal conglomerate as a polymictic paraconglomerate of predominantly quartz pebbles with some pebbles of volcanics and granite. The matrix is strongly foliated and very sericitic.	Overburden (Indicateur)		
2V49	25	Medium grained gabbro, fresh and untectonized. Probably in basement rock.	Gabbro d'Otish / 045,90 / 110,75		
2V50	35-55	Boulders of leucocratic migmatite (more tectonized than on coupe 15) and basal conglomerate.	Overburden (socle & Indicateur)		
2V51	55	Large boulders of: 1) medium to very coarse grained feldspathic sandstone, approx. 10% feldspar with abundant polymictic floating pebbles (3-4 cm). 2) Subarkosic microconglomerate with a few floating quartz pebbles.	"		
2V52	55	Large boulders of subarkosic microconglomerate with a few floating quartz pebbles.	"		

Statistiques Coupe 19

STATION	RA SPP2	DESCRIPTION	FORMATION	ECHAN- TILLON	ANALYSE
2V53	60-100	Large 4 x 3 x 1 m. boulder of tightly folded migmatite (biotitic and leucocratic).	Overburden (Socle)		
2V54	45- 300	Boulder of green polyconglomeratic feldspathic sandstone (very coarse grained), 10% feldspar.	Overburden (Indicateur)		
2V55	45- 250	Boulders of strongly foliated basal conglomerate. The cobbles are slightly flattened and stretched, especially the volcanic pebbles. There is strong foliation developed and there is recrystallization of the feldspars and biotite as well as large grains of sericite present. Also a possible pebble of arkose present. Areas of high RA seem to be in the matrix.	Overburden (Indicateur)	2V55	L.M.
2V56	75-100	Boulder field of basal conglomerate. Moderate to poorly foliated.	Overburden (Indicateur)	2V55b	
2V57	125	Pegmatitic migmatite. Very leucocratic.	Socle		
2V58	125- 150	Microconglomerate (greywacke - lithic) Abundant pebbles of pegmatite very similar to 2V57.	Overburden (Indicateur)		
2V59	100- 250	Basal conglomerate with abundant quartz pebbles and cobbles as well as strongly sericitized intermediate volcanic pebbles. The matrix is strongly sericitized. Majority of the boulders though are polymictic orthoconglomerates with a coarse grained greywacke matrix.	Overburden (Indicateur)	2V59	
2V60	125	Idem 2V59 but very large boulders (8 x 4 x 5 m) of green arkosic greywacke microconglomerate. Many of the pebbles are euhedral zoned crystals.	Overburden (Indicateur)	2V60	

Statistiques Coupe 19

STATION	RA SPP2	DESCRIPTION	FORMATION	ECHAN- TILLON	ANALYSE
		The feldspars have been reduced by secondary processes.			
2V61	75-150	Idem 2V59 but sericitic quartz pebbles and cobbles predominate.	Overburden (Indicateur)		
2V62	75-150	Idem 2V56. Abundant polymictic orthoconglomerate with coarse to medium grained matrix.	Overburden (Indicateur)		
2V63	75-150	Idem 2V61.	Overburden (Indicateur)		
2V64	60	Foliated biotite granite porphyry boulder.	Overburden (Socle)	2V64a	
2V65	80-150	Also reddish polymictic orthoconglomerate boulder.	Overburden (Indicateur)	2V65	
2V66	100	Idem 2V61 but paraconglomerate with pebbles only. Matrix is mottled red and green.		2V66	
2V67	75-125	Microconglomeratic subarkose boulders becoming more predominant although boulders such as 2V62 and 2V61 are still present.	Overburden (Indicateur)		
2V68	100-150	Polymictic orthoconglomerate (basal conglomerate) approx. 50% of well rounded to rounded quartz pebbles, 10% volcanic pebbles (strongly sericitized and foliated). Quartz pebbles are white, orange and pink. A few cobbles are present. Towards the top there is a medium grained green greywacke which weathers red.	Indicateur (outcrop) 315,20 025,90 140,90 061,52		
2V69	50	A few boulders of microconglomeratic feldspathic sandstone and feldspathic microconglomerate (moderately foliated)	Overburden (Indicateur)		

FICHE D'AFFLEUREMENT

DATE: 23/6/80

LOCALISATION: Q64 264 214

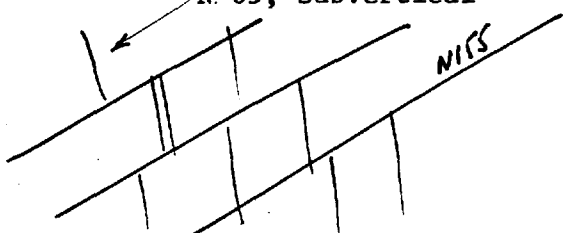
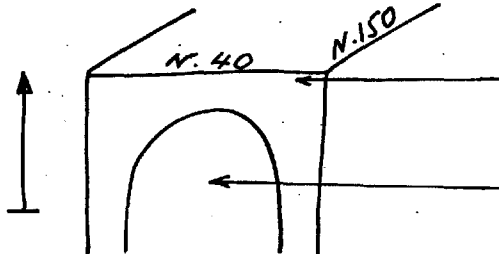
STATISTIQUE: Coupe 2C20

KM DE COUPE: 4.9

KM RADIOMETRE: 4.9

STATION	RA SPP2	DESCRIPTION	FORMATION	ECHAN- TILLON	ANALYSE
2P35	30 (c/s)	Boulders de grès subarkosique: grès rose clair légèrement limoniteux.			
2P36	40 (c/s)	<p>Boulders de grès feldspathique à quartzitique rose, présentant des alternances de lits centimétriques:</p> <ul style="list-style-type: none"> - D'une part, rose foncé à grain fin, soit les 3/4 de la roche - D'autre part, rose très clair à blanc-vert, au grain grossier (1/4 de la roche). <p>La liaison du faciès oxydé avec des horizons fins témoigne à priori pour une hématisation primaire. Cependant, des phénomènes évidents d'hématisation secondaire ressortent: ce sont obliquement par rapport à la stratification <u>des plans de dissolution suivis de redéposition de silice rouge brique amorphe.</u></p>			
2P37	35	Boulders. Orthoquartzite à grain grossier blanc rose. Débit décimétrique.			
2P38	55-60	<p>Banc métrique massif N20,16S d'un microconglomérat subarkosique rose. Diaclasage N60 vertical.</p> <p><u>20 m plus à l'est:</u> Un même microconglomérat subarkosique N15-22S, présentant les diaclases suivants: N160, 83S N145, subvertical N85, subvertical.</p> <p><u>20 m plus à l'est:</u> Grès grossier subarkosique vert clair, N35-20S. Schistosité: N54,30S, Diaclasage N160, subvertical.</p>			

Statistiques Coupe 2C20

STATION	RA SPP2	DESCRIPTION	FORMATION	ECHAN- TILLON	ANALYSE
2P39	120 70 100	<p>Plan oriental d'un pli N25. Diaclasage: N155, facile, dextre, subvertical N. 65, subvertical</p>  <p>Dans le plan de stratification, plusieurs faciès en auréole sont visibles, ce sont:</p> <ul style="list-style-type: none"> - un grès fin arkosique verdâtre - un microconglomérat arkosique rosé - un conglomérat arkosique à matrice gris vert et en amandes rosées. <p>L'allure du pli atteste une structure ouverte (rayon de courbure de 20 m).</p> <p>10 m plus à l'est, un affleurement massif de grès grossier arkosique N22,25E présente, selon les polyèdres engendrés par le système de diaclases N40 vertical, N150 vertical, les variations de couleur suivantes:</p> 			
		<p>microconglomérat</p> <p>grès grossier</p>	<p>périphérie rosée, à feldspaths franchement rubéfiés</p> <p>coeur vert clair à feldspaths légèrement rosés à ocre</p>		
2P40	90	<p>Sur la butte, axe de pli N16 vertical à plongement 11°E (sans doute terminaison périclinale). La roche est un microconglomérat arkosique rose.</p>			

Statistiques

Coupe 2C20

STATION	RA SPP2	DESCRIPTION	FORMATION	ECHAN- TILLON	ANALYSE
2P41	80	<p>Microconglomérat subarkosique présentant de nombreux granules volants, couleur blanc vert, avec feldspaths rosissants.</p> <p>N155-26E ?</p> <p>Diaclasage: N170 subvertical N72-85S.</p> <p>10 m plus à l'est, dans un grès subarkosique (N19-23E), dépôt calcédonieux rouge brique de 1 dm² à la faveur d'un diaclasage (N75, subvertical (N170, subvertical).</p>			

PROJET: MONTS OTISH

FICHE D'AFFLEUREMENT

DATE: 23 juin 1980

LOCALISATION: Orthophoto "G" Nord

STATISTIQUE: Coupe 2C-21, S. Lavoie, Y. Bisson

KM DE COUPE: 5,2 km.

KM RADIOMETRE: 10,4 km.

STATION	RA SPP2	DESCRIPTION	FORMATION	ECHAN- TILLON	ANALYSE
2L-37	50- 75	Sub-arkose blanche à rosée à cailloux épars de quartz (centimétrique $\frac{1}{2}$ à 2 cm) sub-anguleux. Le quartz, 80-85% de la roche, est grossier, sous-arrondi, très clair. Le feldspath est blanc interstitiel entre le quartz. La roche est apparemment recristallisée.	10		
2L-38	50- 60	Blocs (4 ou 5) métriques sous-anguleux sur moraine. Grès feldspathique grossier, quelques cailloux épars de quartz blanc rosé, couleur donnée par les feldspaths et quartz roses.	"		
2L-39	30- 40	Blocs sur moraine arrondis à sous-anguleux, métriques à centimétriques. Lithologies très variées. La dominante est celle de 2L-38, grès feldspathique grossier.	"		
		Le faciès sub-arkosique est très altéré, les feldspaths sont kaolinisés, blanc laiteux.	10		
		Grès feldspathique rose laminé, grain moyen. Orthoquartzite vert laminé à tache ocre.	13 15		

Statistiques

STATION	RA SPP2	DESCRIPTION	FORMATION	ECHAN- TILLON	ANALYSE
2L-40	40-50	Blocs arrondis sur moraine, plusieurs blocs de taille métrique. Faciès dominant, orthoquartzite grossier, à cailloux épars de quartz. Feldspath altéré blanc. Blocs d'orthoquartzite laminé blanc verdâtre; des feldspaths très fins soulignent la stratification.	14 15		
2L-41	30-35	Orthoquartzite rose laminé, moraine en blocs métriques anguleux sur moraine, début de la pente.	15		
2L-42	25-30	Quelques blocs en flanc de coteau et replat à mi-pente d'un orthoquartzite blanc rosé, grossier.	14		
2L-43	70	Affleurement en flanc de coteau. Nombreux blocs d'éboulis. Sub-arkose blanc rosé, grossière, granule de quartz. Feldspath blanc à pêche, évidence de recristallisation. Roche très massive. 2L-43a : Sub-arkose blanc rosé, grain de feldspath sub-arrondi contenant du quartz.	10	2L-43a	Réf.
2L-44	40-60	Sub-arkose grossière blanc rosé, recristallisée, galets et cailloux épars de quartz. Jante d'hématisation rouge autour des passées plus arkosiques. Forme d'ellipse a) 3 cm, b) 2 cm, jante $\frac{1}{2}$ cm d'épaisseur.	10		


Statistiques

STATION	RA SPP2	DESCRIPTION	FORMATION	ECHAN- TILLON	ANALYSE
2L-44	suite $\frac{18^\circ}{N-270^\circ}$	Stratification, banc métrique 1 à 1.50 mm.	11		
2L-45	70-75 $\frac{N-70^\circ}{/}$	Grès feldspathique grossier à cailloux épars. Le grès apparaît originellement vert et sa teinte rosée lui a été conférée par la suite au cours de la recristallisation et de l'hématisation. Clivage intercouche N-70°, S.E., peu développé, peu pénétrant.	11		
2L-46	$\frac{N-10^\circ}{/40^\circ}$	IDEM à 2L-45; cailloux et galets centimétriques 3 à 5 cm, très arrondis. Même phénomène de recristallisation et d'oxydation, hématisation rouge en plaques sur les feldspaths. Clivage dans un interlit plus fin, arkosique.	11		
2L-47	40 $\frac{N-108^\circ}{/15^\circ}$	Niveau conglomératique, orthoconglomérat dans une sub-arkose, donc verdâtre, grain moyen comportant des taches d'hématisation. Les galets du conglomérat sont très arrondis, de 5 à 15 cm; ils sont jointifs et se détachent de la matrice. Stratification en banc métrique, 1 à 1,50 m, passe en descendant à des grès feldspathiques laminés roses et blancs. Clivage intercouche mal développé à N-20°.	10 13		

Statistiques

STATION	RA SPP2	DESCRIPTION	FORMATION	ECHAN- TILLON	ANALYSE
2L-48	30-40	<p>Orthoquartzite laminé, blanc à mauve, grain moyen. (2L-48a) Massive, en banc métrique, la stratification mesurée est <u>1</u> à l'axe du pli, zone de charnière.</p> <p>Ces quartzites sont stratifiquement en-dessous des grès feldspathiques blancs à grès ^{grès} conglomératiques.</p> <p>2L-48b : Grès poreux, matrice entièrement dissoute passablement dolomitique.</p> <p>Ce faciès apparaît sur un banc de quartzite blanc laminé; ce lit "dolomitique" est au coeur d'un chenal; son épaisseur est de 15 cm.</p> <p>Clivage intercouche N.80°.</p>		2L-48a	Réf.
2L-49	25	Orthoquartzite blanc laminé millimétrique.			
2L-50	40	Grès feldspathique blanc à granule de quartz; stratification sub-horizontale.			
2L-51	55	Grès feldspathique blanc massif; joints à N-65° à tous les 5 cm.			
2L-52	60	Orthoquartzite blanc rosé, grain moyen à grossier; phénomène d'oxydation tardive, hématisation en plage rouge, souvent plus feldspathique ou chert rouge. Cailloux épars de quartz.			

Statistiques

STATION	RA SPP2	DESCRIPTION	FORMATION	ECHAN- TILLON	ANALYSE
2L-52	suite	<p>Stratification entrecroisée de grande taille.</p>  <p>Pte de R.A. à 200 cps.</p>			
2L-53	50	Grès feldspathique, grain moyen à gros, granules et cailloux de quartz, plage et granules hématisées rouges.			
2L-54	50	Sub-arkose conglomératique, faciès microconglomératique; granules et cailloux de quartz.			
2L-55	50	Microconglomérat à granule et cailloux. Composition sub-arkosique.			
2L-56	900	Bloc de grès à faciès ocre. Activité élevée sur faciès ocre et fracture. Le bloc est couvert par plus de 30 cm de mousse.			

PROJET: MONTS OTISH

Claude Marcotte
Serge GenestFICHE D'AFFLEUREMENT

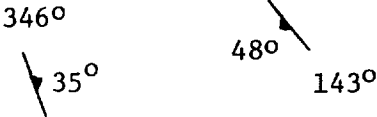
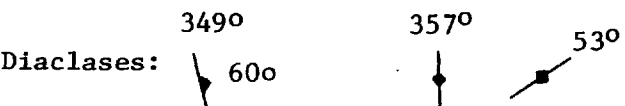
DATE: 24 juin 1980

LOCALISATION: 5,765,000 m.N. 326,000 m.E.

STATISTIQUE: 2C-22

KM DE COUPE: 3,4 km

KM RADIOMETRE: 3,4 km.

STATION	RA SPP2	DESCRIPTION	FORMATION	ECHAN- TILLON	ANALYSE
2M57	25 cps	Gabbro massif. Diaclasses: 	Gr. OTISH		
2M58	60 cps	Gros blocs anguleux décamétriques. Blocs de sub-arkoses microconglomératiques verdâtres. Cailloux de quartz (1cm.) sub-arrondis. On note à l'échelle des blocs et de la région immédiate (100 m.) un changement de % du feldspath; on peut passer des sub-arkoses aux arkoses, quelquefois le nombre de cailloux de quartz peut varier. On peut parler de passées conglomératiques.	Indicateur		
2M59	30 cps	Blocs de quartzites blancs, massifs, à grains fins.	Indicateur		
2M60	30 cps	Quartzites blancs IDEM à 2M59.	Indicateur		
2M61	65 cps	Affleurement de grès feldspathique à la limite de l'orthoquartzite. (\pm 5% de feldspaths blancs avec traces de feldspaths roses), \approx 10% de cailloux de quartz (1 cm.) sub-anguleux. Diaclasses: 	Indicateur		

Statistiques

STATION	RA SPP2	DESCRIPTION	FORMATION	ECHAN- TILLON	ANALYSE
2M62	85 cps	Blocs de sub-arkoses roses laminées à bandes rouge vin à granulométrie très fine. Ces bandes peuvent atteindre 50 cm. d'épaisseur (une série de bandes centimétriques regroupées en un ensemble laminé).	Indicateur		
2M63	90 cps	Conglomérat à cailloux de quartz matrice arkosique avec kaolinisation des feldspaths. Les galets quartzeux sont sub-arrondis.	Indicateur		

PROJET: MONTS OTISH

FICHE D'AFFLEUREMENT

DATE: 24/6/80

LOCALISATION: "G" sud

STATISTIQUE: Coupe 2C23

KM DE COUPE: 3.0

KM RADIOMETRE: 3.0

STATION	RA SPP2	DESCRIPTION	FORMATION	ECHAN- TILLON	ANALYSE
2V70	25	Medium grained gabbro. Massive, unaltered and very poorly fractured.	Gabbro d'Otish 151,67 89,83		
2V71	100	Medium to coarse grained, beige microconglomeratic orthoquartzite. There is less than 2% feldspar, a slight red hematitic mottling in spots. A few quartz pebbles (max. 1.5 cm. across) are present. The orthoquartzite is recrystallized with well sutured grains. There is a layer of microconglomeratic phyllitic very fine grained laminated orthoquartzite.	Indicateur 146,54 056,84 056,43 107,10		
2V72	60-75	Pink to beige conglomeratic orthoquartzite. Grain size varies from medium to very coarse, the grains are recrystallized (well sutured). Pink quartz grains and pebbles are common. There are only a few approx. 2% floating pebbles but more abundant microconglomeratic beds.	Indicateur 121,10 043,90 138,90 018,31		
2V73	60	Pink to beige, medium to coarse grained microconglomeratic orthoquartzite. There is less than 2% medium grained feldspar grains, 2% quartz pebbles and a few completely kaolinized feldspar pebbles.	Indicateur 082,80 +		
2V74	60	Medium grained orthoquartzite. Idem 2V73. Cross bedded stratification present.	Indicateur X bedded strat. 343 →		

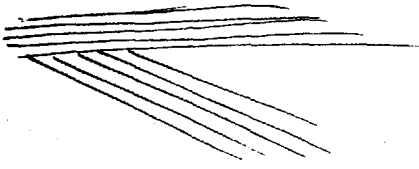
Statistiques Coupe 2C23

STATION	RA SPP2	DESCRIPTION	FORMATION	ECHAN- TILLON	ANALYSE
2V75	65	Feldspathic green-white microconglomerate. Approx. 10% green matrix, 12% feldspar, 3% floating pebbles and 75% quartz. Polymictic grains of red quartz.	Indicateur Ψ 118		
2V76	50	Feldspathic sandstone. Medium grained, pink, with 10% intensely kaolinized feldspar grains. The sorting is good and the grains moderately well saturated. A moderately well developed foliation is present. There is also laminated layers, sometimes hematitic.	Indicateur (Suboutcrop)		

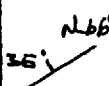
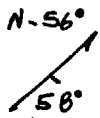
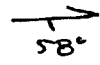
Statistiques

STATION	RA SPP2	DESCRIPTION	FORMATION	ECHAN- TILLON	ANALYSE
2L-57	suite	<p>et le grès dans la zone de fracture est plutôt verdâtre. Les points les plus actifs sont ocre.</p> <p>2L-57a: Echantillon de la zone anormale à 2200 cps.</p> <p>Au sommet de l'affleurement, ce sont des orthoquartzites laminés, blancs et verts.</p> <p>Multitude de joints siliceux verdis ^{millimétrique} (2 à 4), à N-45-50.</p>		2L-57a	U. Th 171.5
2L-58	40-45	<p>Sur le replat, sous-affleurement d'orthoquartzite rose massif, parfois laminé mauve et rose; quelques plages d'argilités rouges en placage sur les grès.</p> <p>Dans les grès roses à mauves, les faciès les plus fins sont rouge vif tandis que les plus grossiers sont décolorés, blancs à rosés. La réduction apparaît donc tardive dans les grès.</p>			
2L-59	40-50 N. 300° 34°	<p>Orthoquartzite rose, quelquefois laminé rose et blanc, grain moyen à fin en position sub-horizontale d'après les laminations rouges, mais selon N-300°, 34° selon les bancs.</p>			
	900	<p>Bloc à 900 cps, tache 60 cm de côté sur un bloc de grès feldspathique blanc verdâtre à passées conglomératiques.</p>			

Statistiques

STATION	RA SPP2	DESCRIPTION	FORMATION	ECHAN- TILLON	ANALYSE
2L-60	50-60	<p>Grès feldspathique grossier à granules et cailloux de quartz. Cailloux rouges de silt à clivage bien marqué, massif, stratification indéterminée. Galet rouge sous-arrondi de siltstone rouge; nous sommes donc dans le 2ième cycle du groupe d'Otish.</p> <p>2L-60a: Cailloux rouges dans grès feldspathique grossier légèrement conglomératique.</p> <p>En descendant vers le lac, le grès devient très grossier, sub-arkosique; feldspath blanc laiteux, taches d'hématisation, galets et cailloux de quartz, quartzite épars; silt et mudstone verts diagénétiques.</p>			
2L-61	40	<p>Nombreux blocs de taille métrique, anguleux. Orthoquartzite laminé rouge et blanc. Stratification entrecroisée, tabular cross-bedding.</p> 			
2L-62	70-75 1500	<p>Bloc de grès feldspathique blanc à cailloux épars de quartz.</p> <p>Bloc de sub-arkose anormale sur une surface de 60 cm x 30 cm.</p>			
2L-63	70-75 N-70° N-40° 50° N-230°	<p>Au sommet de l'affleurement sur le replat, grès sub-arkosique grossier, localement conglomératique; cailloux et galets de quartz arrondis, esquilles d'argilite rouge.</p>			

Statistiques

STATION	RA SPP2	DESCRIPTION	FORMATION	ECHAN- TILLON	ANALYSE
2L-63	suite	2L-63a: Microconglomérat à cailloux épars de quartz ainsi que cailloux anguleux de quartz mauve laminé, possiblement un bon exemple des premiers sédiments de la série. Feldspath rose relativement frais de socle.		2L-63a	Réf.
2L-64	75-80 	Grès sub-arkosique blanc, grain moyen, feldspath altéré rose. Passée conglomératique et d'arkose fine verte. Cailloux épars de quartz.			
2L-65	75-90  	Sub-arkose microconglomératique blanche, schistosée; passée conglomératique à cailloux de quartz, galets et cailloux épars. Phénomène d'oxydation rouge, hématisation. Passées nettement arkosiques; feldspath altéré, pêche à rosé.			
<u>NOTE:</u>		La faille à N-50° présente sur la gauche, un compartiment effondré où affleurent les grès du deuxième cycle, dans lesquels on reconnaît des cailloux de quartzite laminé mauve et blanc, et de siltstone rouge à orange. Du côté sud de la faille, la schistosité est plus marquée; les sub-arkoses blanches contiennent de nombreuses passées conglomératiques, ortho et para-conglomérats à cailloux de quartz sans cailloux de sédiments d'Otish.			

FICHE D'AFFLEUREMENT

DATE: 24/6/80

LOCALISATION: Q64 362 44

STATISTIQUE: Coupe 2C24

KM DE COUPE: 1.6

KM RADIOMETRE: 1.6

STATION	RA SPP2	DESCRIPTION	FORMATION	ECHAN-TILLON	ANALYSE
2P42	50	<p>Microconglomérat arkosique-hématisé finement, aux feldspaths limoniteux. La matrice arkosique possède une granulométrie de 1 à 5 mm et supporte des granules de 5 à 10 mm de feldspath et quartz. De rares galets flottants de quartz.</p> <p>Le banc forme une corniche d'une puissance décamétrique (10-15 m). Plusieurs affleurements selon la même courbe de niveau.</p>			
2P43	60	Grès grossier subarkosique. Subhorizontal. Faciès oxydé.			
2P44	500-2500	Un train de boulders (une douzaine).			
		(voir schéma p.2)			

Statistiques Coupe 2C24

STATION	RA SPP2	DESCRIPTION	FORMATION	ECHAN-TILLON	ANALYSE
<p>The diagram is a geological cross-section showing several rock units. From top to bottom, the units are: <ul style="list-style-type: none"> A unit labeled N60 with an elevation of 1300'. A unit labeled N60 with an elevation of 1600'. A unit labeled N50 with an elevation of 900'. A unit labeled N60 with an elevation of 1050'. A unit labeled N340 with an elevation of 1700'. A unit labeled N104 with an elevation of 1400'. A unit labeled N356 with an elevation of 1100'. A unit labeled N320 with an elevation of 1100'. A unit labeled N340 with an elevation of 1100'. A dashed line labeled 'ES M' runs through the units. A north arrow is located at the bottom right of the diagram. </p>					

Statistiques Coupe 2C24

STATION	RA SPP2	DESCRIPTION	FORMATION	ECHAN- TILLON	ANALYSE
		<p>Blocs anguleux de 0,70 m à 1,50 m de long d'arénite, grain moyen arkosique, verte.</p> <p>L'activité sur chaque bloc oscille, par endroits, entre 500 et 2500 c/s: Pas de contrôle structural mais plutôt une imprégnation.</p> <p>Le train de boulders suit deux directions:</p> <ul style="list-style-type: none">- l'une prédominante, N340, longue de 25 m- l'autre secondaire, N100, décimétrique.			

Statistiques

STATION	RA SPP2	DESCRIPTION	FORMATION	ECHAN- TILLON	ANALYSE
2L-17	35-45 N.45° / 56°	<p>Conglomérat de base, massif, très homogène, dans la composition des galets qui sont très arrondis. En coupe verticale, leur grand axe est debout et l'allongement N-82°; matrice évolue vers des faciès clairs, grès grossier gris à vert. 2L-17a.</p> <p>Le clivage dans le conglomérat est N-45°-56° E.</p> <p>En se déplaçant vers l'ouest, le conglomérat devient de plus en plus tectonisé, clivage pénétrant N-55°-50° SE.</p>		2L-17a	
2L-18	30 à 100	<p>Champ de blocs métriques, anguleux, possiblement peu déplacés et donc représentatif des lithologies sous-jacentes.</p> <p>Les lithologies observées sur blocs:</p> <ol style="list-style-type: none"> 1) Conglomérat à cailloux de quartz, cailloux et granules 25% sous-arrondis et sous-anguleux dans une matrice arkosique microconglomératique. 2) Micro-conglomérat à cailloux épars de quartz, matrice blanc-verdâtre grossière. 3) Arkose blanche à gros grain. 4) Grès feldspathique grossier, grains sous-arrondis à arrondis. <p>La distribution des blocs et affleurements suggère fortement que la transition conglomérat de base, grès et conglomérat d'Otish est progressive et rapide. On peut penser que les niveaux de quartzite apparaissent dès le début de la séquence, dans les "plaines de débordement" d'épandage en bordure des grands chenaux.</p>			

Statistiques

STATION	RA SPP2	DESCRIPTION	FORMATION	ECHAN- TILLON	ANALYSE
2L-18	suite	Près du lac, plusieurs blocs de grès laminé, grossier, rosé, avec les grains rouges et saumon, la matrice de ce grès est nettement feldspathique. Voir 2L-18a.		2L-18a	
2L-19	50- 100	Progression dans les blocs des faciès quartzitiques, grain moyen ou faciès arkosique blanc-verdâtre, grain grossier. Les arkoses ont des feldspaths roses (?)		2L-19a	
2L-20	35-50	Conglomérat de base.			
2L-21	150- 5000	Anomalie visitée par J. Beaudin, A-37 - 1979. Minéraux de Pb sur fracture N-54 ^o N-170 ^o , U sur fractures N-124, 70 ^o N, N-80 ^o 2L-21a : Méta-arkose minéralisée 2L-21b : Pb dans fractures 2L-21c : La migmatite rubannée est orientée N-110 ^o , effet de rétro-morphose. L'ensemble original est une série de grès et arkoses contenant les volcanites basiques ou des pélites.		Témoin	
			Bi	Pb Mb	U Th Y
			N.D.	1200 2900	650 295 6
			N.D.	145 410	201 136 6

PROJET: MONTS OTISH

Jean Beaudin
Alain Girard

FICHE D'AFFLEUREMENT

DATE: 24 juin 1980

LOCALISATION: Photo Q64362-150 (1/15840)

STATISTIQUE: 2C-29

KM DE COUPE: 2,45 km

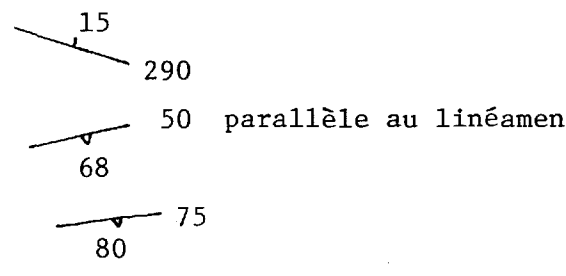
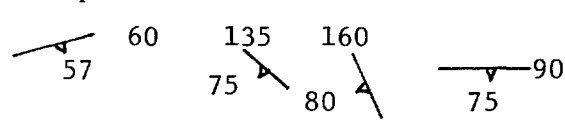
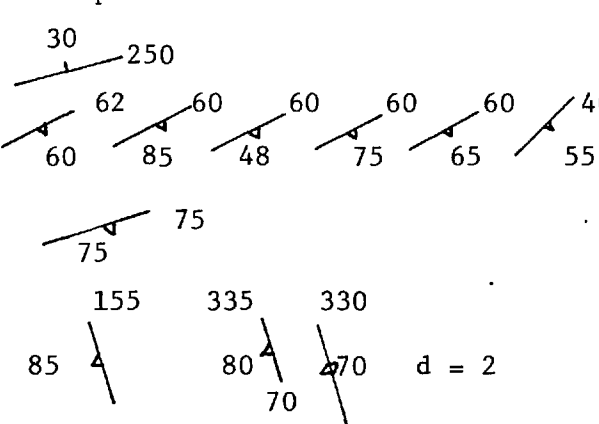
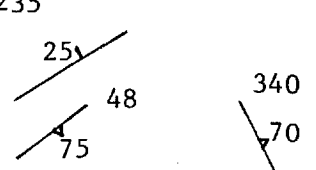
KM RADIOMETRE: 2 x 2,45 km

STATION	RA SPP2	DESCRIPTION	FORMATION	ECHAN- TILLON	ANALYSE
2B97	75- 100	<p>Sub-arkose à arkose blanche à grain gros- sier (microconglomérat) et à passée conglo- mérique (cailloux) devenant au sommet du banc (2 mètres), des grès feldspathiques.</p> <p>Tous les systèmes de fractures observées sont de longues fractures, sans cisaille- ment apparent ou sans veine de quartz, très peu striés. Ils ondulent légèrement à gran- de échelle et se rapprochent plutôt des pa- raclases.</p>	10		
2B98		<p>Lithologie IDEM 2B97</p> <p>VOIR PHOTO</p> <p>Le marteau est orienté approximativement N-S tête vers le N. Les différences de densité s'observent nettement. Sur le sys- tème N-195, les Riedel (??) semblent dex- tres.</p>	10		

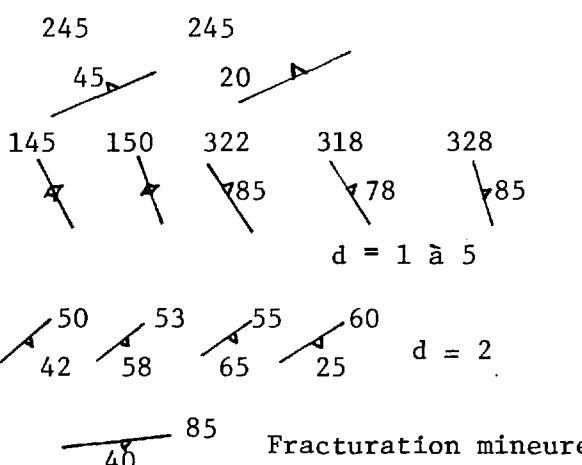
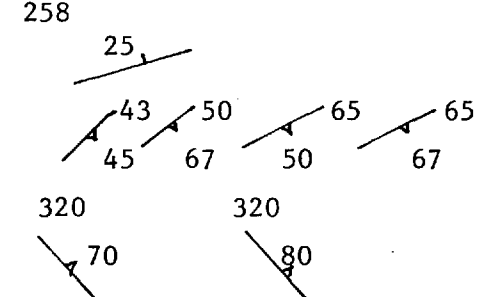
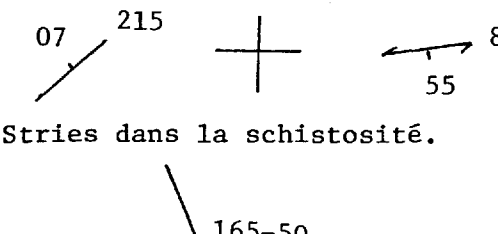
Statistiques

STATION	RA SPP2	DESCRIPTION	FORMATION	ECHAN- TILLON	ANALYSE
2B98 suite		<p>Le système N-53, parallèle au linéament-faille, est un des moins bien développés.</p> <div data-bbox="254 652 977 1212" style="text-align: center;"> </div>			
2B99		<p>Grès feldspathique blanc verdâtre à fragment occasionnel de quartzite rouge (grain 1-2 mm) occasionnellement microconglomératique, passant à des orthoquartzites.</p> <p>Cet affleurement est éloigné de la zone de faille-linéament mais il possède les mêmes directions de fracturation et selon les mêmes densités.</p> <div data-bbox="346 1688 939 2061" style="text-align: center;"> <p>05 225 22 230</p> <p>45 50 d = 2 sub-parallèle au linéament-faille</p> <p>145 80 150 80 d = 2</p> <p>25 55 d = 4</p> </div>	11		

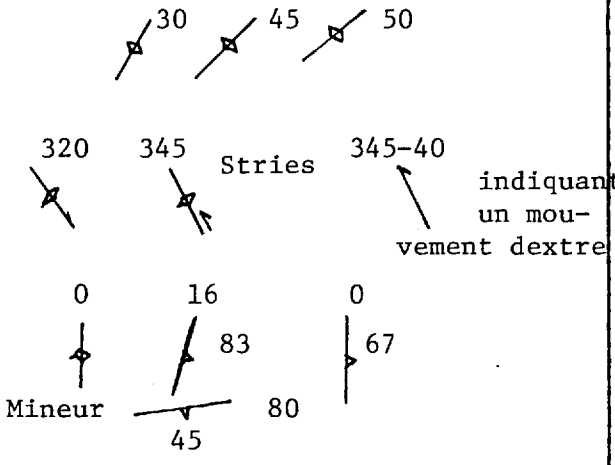
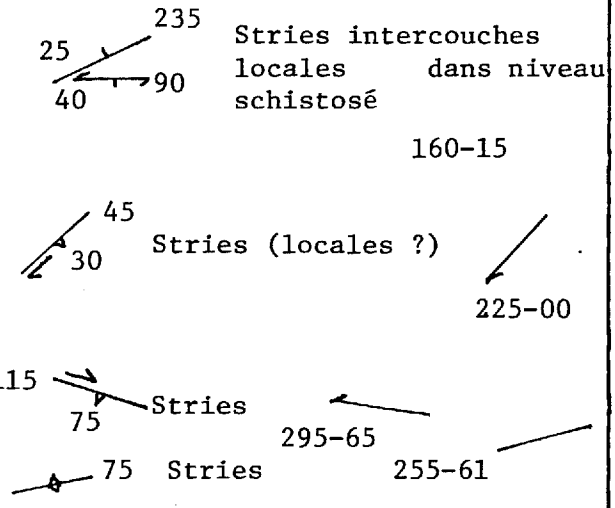
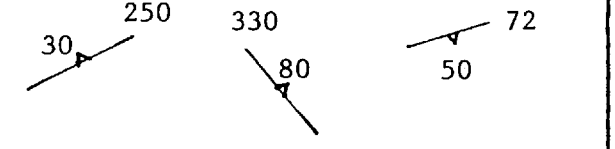
Statistiques

STATION	RA SPP2	DESCRIPTION	FORMATION	ECHAN- TILLON	ANALYSE
2B100		Grès feldspathique à sub-arkose rose microconglomératique, peu schisteux. 	11		
2B101		IDEM précédent 	11		
2B102		IDEM précédent 	11		
2B103	75- 100	Microconglomérat arkosique à feldspath rouge (granulométrie 2 à 5 mm) en banc massif. 	8		

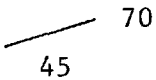
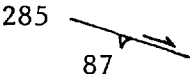

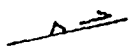
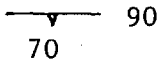
Statistiques

STATION	RA SPP2	DESCRIPTION	FORMATION	ECHAN- TILLON	ANALYSE
2B104		<p>Microconglomérat à feldspath rouge de 2 mm à 1 cm, en banc localement chenalisant.</p>  <p>245 245 45 20 145 150 322 318 328 785 78 85 d = 1 à 5 50 53 55 60 42 58 65 25 d = 2 85 40 Fracturation mineure</p>	8		
2B105	75 à 125	<p>IDEM précédent</p>  <p>258 25 43 50 65 65 45 67 50 67 320 320 70 80</p>	8		
2B106		<p>Arkose blanche très feldspathique et sans feldspaths rouges, très schistosée. L'augmentation de la schistosité est peut-être liée au chevauchement du bloc sud.</p>  <p>07 215 80 55 Stries dans la schistosité. 165-50</p>	10		

Statistiques

STATION	RA SPP2	DESCRIPTION	FORMATION	ECHAN- TILLON	ANALYSE
2B106 suite		<p>On semble avoir changé de niveau stratigraphique: le bloc sud est plus près de la base de la séquence.</p> 			
2B107		<p>IDEM 2B106</p> 	10		
2B108		<p>IDEM 2B104</p> 	8		

Statistiques

STATION	RA SPP2	DESCRIPTION	FORMATION	ECHAN- TILLON	ANALYSE
2B109		<p>IDEM 2B107</p> <p>  </p> <p>  </p> <p>  </p> <p>  </p> <p> Stries 15-03 / ? 285-65 ← 293-62 ← 265-36 ← </p>	10		
2B110		<p>IDEM 2B109</p> <p>  </p>	10		

PROJET: MONTS OTISH

Jean Beaudin
Aline Morin

FICHE D'AFFLEUREMENT

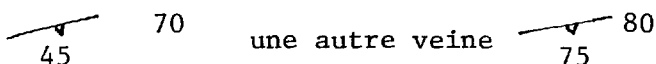
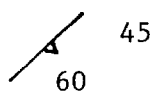
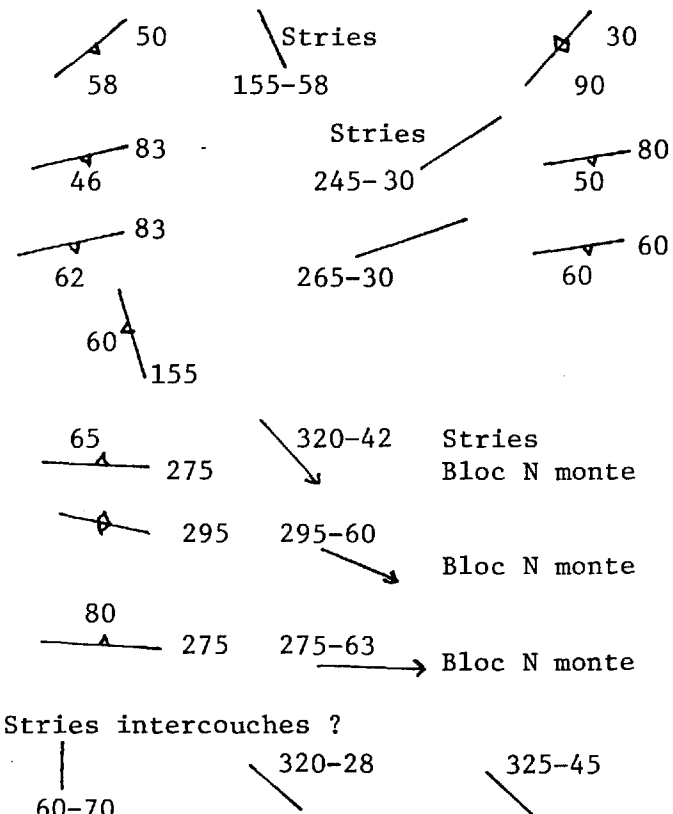
DATE: 26 juin 1980

LOCALISATION: Photo Q64362-150 (1/15,840)

STATISTIQUE: 2C-29

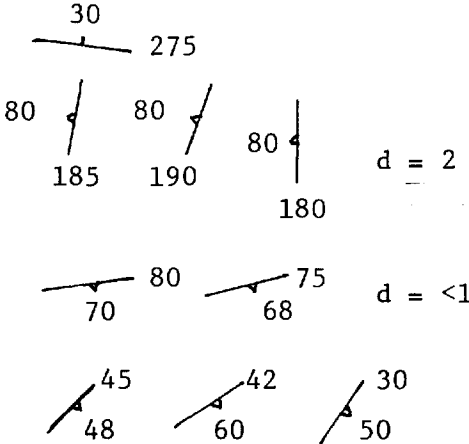
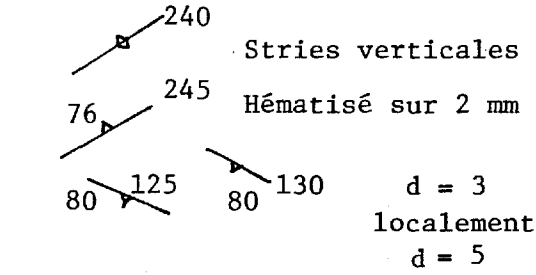
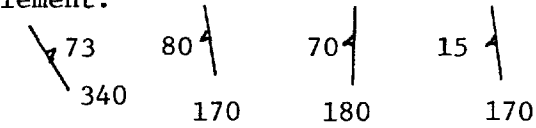
KM DE COUPE: 4,9 km

KM RADIOMETRE: 2 x 4,9 km

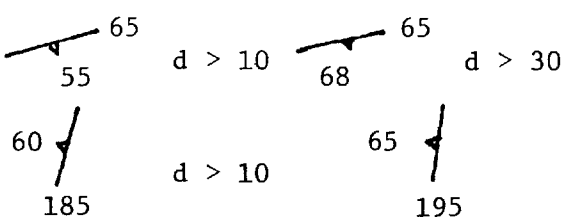
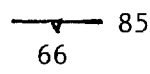
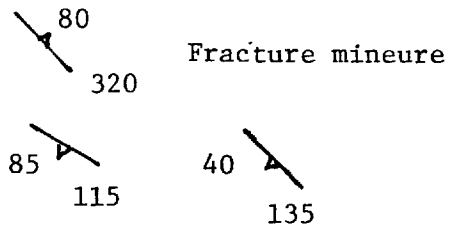
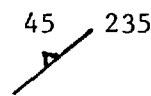
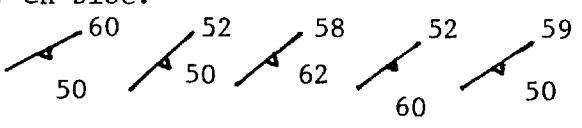
STATION	RA SPP2	DESCRIPTION	FORMATION	ECHAN- TILLON	ANALYSE
2B110 suite		<p>Sub-arkose à arkose à feldspath blanc (localement fragment de pélite rouge). Hématitisation secondaire peu importante, en taches.</p> <p>Quatre veines de quartz 1 cm x (30 cm ?)</p>  <p>Trois veines de quartz 1 cm x (30 cm)</p>  <p>Fracturation majeure sub-parallèle au linéament.</p>  <p>Stries intercouches ?</p>	10	Echantillon Témoin de quartz en croissance libre	

d = n/1 mètre

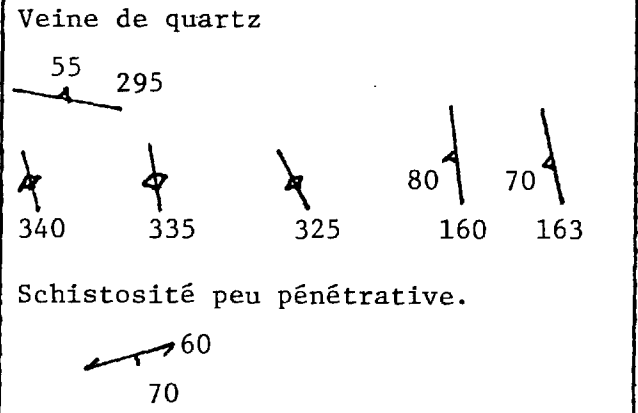
Statistiques

STATION	RA SPP2	DESCRIPTION	FORMATION	ECHAN- TILLON	ANALYSE
2B111	≈ 100	<p>Sub-arkose à feldspath rouge et blanc et à fragment de quartzite rouge, légèrement recristallisé.</p> 	10		
2B112		<p>Arkose gris verdâtre à feldspath rose et blanc.</p> 	10		
2B113		<p>IDEM 2B114. en plus grossier cisaillement.</p>  <p>Zone fracturée, fortement hématisée et broyée: le linéament est une faille dans laquelle les fluides ont circulé.</p>	10		

Statistiques

STATION	RA SPP2	DESCRIPTION	FORMATION	ECHAN- TILLON	ANALYSE
2B114		<p>Arkose blanche à feldspath blanc (1-2 mm) et à matrice feldspathique. Echantillon d'une zone de brèche tectonique: des fragments de grès dans une pâte quartzeuse recristallisée. Deux zones (20 cm et 10 cm) par plusieurs mètres. Directement au noeud tectonique de rencontre entre le linéament N-170 et le linéament N-55.</p> <p>La densité de fracturation y est très élevée, débitant la roche en jeu de cartes losangiques.</p>  <p>Plan de la zone de brèche tectonique.</p>  <p>Fracture mineure</p>  <p>Veine de quartz de plus de 50 cm.</p> 	10	Témoïn 2B114-B Brèche 2B114-A	
2B115	100	<p>Arkose à feldspath blanc (30%) micro-conglomératique très fracturée et peu schisteuse. Débit tectonique normal en bloc.</p> 	10		

Statistiques

STATION	RA SPP2	DESCRIPTION	FORMATION	ECHAN- TILLON	ANALYSE
2B115 suite		<p>Veine de quartz</p>  <p>Schistosité peu pénétrative.</p>			

PROJET: MONTS OTISH

S. Genest
R. St-Jean

FICHE D'AFFLEUREMENT

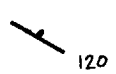
DATE: 26 juin 1980

LOCALISATION: Q-64362-208 66318-39

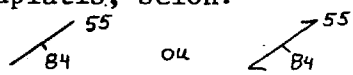
STATISTIQUE: Coupe 30 - Propriété "G"

KM DE COUPE: 4,7 km

KM RADIOMETRE:

STATION	RA SPP2	DESCRIPTION	FORMATION	ECHAN- TILLON	ANALYSE
2J-50		Sub-affleurement de sub-arkose verte, grain très grossier, microconglomératique à cailloux de quartz et feldspaths.	Indicateur		
2J-51		Sub-affleurement de grès feldspathique gris pâle, rougeâtre.	Indicateur		
2J-52		Sub-affleurement sur bloc de 8 m ³ , grès feldspathique rouge et gris, microconglomératique à granule de quartz. ≈ 5% feldspaths Laminations d'hématite.	Indicateur		
2J-53		Affleurement 1.5 x 10 m. Gabbro, grain fin très altéré. Faille:  120	Indicateur		
2J-54		Boulder 4-5 m ³ . Grès feldspathique ≈ 5% feldspath blanc rougeâtre. Laminations d'hématite.			

Statistiques

STATION	RA SPP2	DESCRIPTION	FORMATION	ECHAN- TILLON	ANALYSE
2J-55		Gros bloc anguleux 4 x 2 x 2 m sub-arkose rouge violacé à beige. Grain moyen. Le bloc contient en réalité deux types de roches où l'arénite sub-arkosique rouge violacé est prédominante. On observe aussi une arénite sub-arkosique microconglomératique beige. - grain moyen et granules de quartz bien arrondis.	Indicateur		
2J-56	125- 150	Bloc 2 m ³ de grès feldspathique conglomératique à "poches" de conglomérat couleur verdâtre.	Indicateur		
2J-57		Bloc 5 x 2 x 2 m arkose conglomératique blanche, grain grossier, tri très mauvais. Cailloux sub-arrondis de quartz semblent être un peu recristallisés.	Indicateur		
2J-58		Blocs de grès feldspathique blanc, grains grossiers conglomératiques à cailloux de quartz ≈ 2.5 à 3 cm. Laminations rouges.	Indicateur		
2J-59	100- 150	Affleurement continu sur 60 à 80 m de longueur. Conglomérat de base (paraconglomérat polygénique) à cailloux et galets ϕ jusqu'à 15 cm de: - gneiss granitique, - volcanite acide et basique ? - quartz. Les cailloux sont tous bien arrondis et semblent aplatis, selon: 	Indicateur	2J-59a b	

Statistiques

STATION	RA SPP2	DESCRIPTION	FORMATION	ECHAN- TILLON	ANALYSE
2J-59 suite		La matrice est constituée d'arénite de composition sub-arkosique. Feldspath 20% Lithique 10% Quartz 70% Epaisseur observable \approx 20 m.			
2J-60	100- 200	Sub-affleurement, paraconglomérat oligomictite à cailloux de quartz de couleur rouge orange. Cailloux ϕ 3 cm sub-anguleux à sub-arrondis. Matrice arkosique à feldspaths roses. Présence de muscovite et surtout de <u>magnétite</u> en grande quantité.	Indicateur	2J-60a	Lame mince
2J-61		Sub-affleurement de granite rose.	Socle		
2J-62	100 max. 400	Sub-affleurement de paraconglomérat oligomictite à cailloux de quartz. Cailloux sub-arrondis, matrice de grès feldspathique.	Indicateur		
2J-63	450	Bloc de sublitharénite conglomératique de couleur gris vert à cailloux de quartz. R.A. maximum sur zone limonitisée; présence de magnétite.	Indicateur		
2J-64		Bloc 3-4 m ³ d'arénite sub-arkosique, \approx 15% feldspaths de couleur blanche à grain moyen.	Indicateur		

Statistiques

STATION	RA SPP2	DESCRIPTION	FORMATION	ECHAN- TILLON	ANALYSE
2J-65	700 cps	Bloc 4 m ³ d'arénite de composition grès feldspathique conglomératique de couleur beige. Granulométrie: moyen à cailloux sub-arrondis à sub-anguleux de quartz. R.A. maximum sur une petite fracture brune.	Indicateur	2J-65a	
2J-66		Bloc de grès feldspathique, 8% de feldspaths de couleur blanche; granulométrie moyenne; assez massif.	Indicateur		
2J-67		Bloc d'arénite de composition ortho-quartzite blanc; granulométrie moyenne, tri mauvais, à grains très arrondis.	Indicateur		

PROJET: MONT OTISH

Claude Marcotte
Francis PerronFICHE D'AFFLEUREMENT

DATE: 26 juin 1980

LOCALISATION: 5,759,000 m.N. 326,000 m.E.

STATISTIQUE: 2C-31

KM DE COUPE: 4,0 km.

KM RADIOMETRE: 4,0 km.

STATION	RA SPP2	DESCRIPTION	FORMATION	ECHAN- TILLON	ANALYSE
2M64	75 cps	Blocs sub-arkoses blanches à grains gros- siers à cailloux de quartz flottants. Feldspaths 15%, kaolinisés.	Indicateur		
2M65	75 cps	IDEM - Blocs sub-arkoses.	Indicateur		
2M66	50 cps	Blocs sub-arkoses rosées à laminations rou- geâtres irrégulières. Quartz grains moyens sub-anguleux. Feldspaths kaolinisés de granulométrie plus fine.	Indicateur		
2M67	60 cps	Champ de blocs sub-arkoses IDEM à 2M64. - 10 à 15% de blocs de gabbro.	Indicateur		
2M68	70 cps	Blocs sub-arkoses blanches IDEM à 2M64.	Indicateur		
2M69	80 cps	Sub-arkoses microconglomératiques avec traces de feldspaths roses K. Grains de la fraction arénitique, grossiers (2 mm.) Feldspaths blancs kaolinisés.	Indicateur		

PROJET: MONTS OTISH

FICHE D'AFFLEUREMENT


DATE: 26 juin 1980.

LOCALISATION: Orthophoto du "G"

STATISTIQUE: Coupe 2C-32, S. Lavoie, Y. Bisson, P. Caumartin.

KM DE COUPE: 1,95 km

KM RADIOMETRE: 1,95 km

STATION	RA SPP2	DESCRIPTION	FORMATION	ECHAN- TILLON	ANALYSE
2L-66	60- 70 N-235° 40°	<p>Arkose blanc verdâtre, grain moyen à fin, effet tectonique poussé, veine de quartz de 30 à 40 cm dans le grès.</p> <p>Veine de quartz N-60, 50° N., un mètre d'épaisseur, portant des traces d'hématisation.</p> <p>Débit en plaquette, imposé par la tectonique N-60, 70° S.E., N-180, 90°. Ce débit meurt assez rapidement au loin de la faille; l'arkose est blanche, laminée, avec des passées verdâtres.</p>			
2P-45	75- 95	<p>Microconglomérat blanc verdâtre arkosique, cailloux de quartz 1 à 2 cm perdus dans la masse et en petits morceaux conglomératiques, passées. Stries N-120, 40° plus fines, arkosiques. Les feldspaths sont très altérés, limonitisés, couleur ocre.</p> <p>Plis en "box fold" N-73°, 15°, 18°</p>  <p>Cette forme de plis suggère que le côté sud s'est effondré.</p> <p>Vue de l'est \parallel à N-73°.</p>			
2L-67	80- 90	<p>Microconglomérat arkosique, feldspath ± altéré rose, polygénique, galet rouge de silt et de quartzite rose, cailloux de quartz.</p>			

Statistiques

STATION	RA SPP2	DESCRIPTION	FORMATION	ECHAN- TILLON	ANALYSE
2L-67	suite	Sur l'azimut 303°, 0-350, grès du premier cycle, arkose conglomératique évoluant vers des grès feldspathiques et d'orthoquartzite grossier. 350-750, blocs sur moraine de sédiments du 2ième cycle.			
2L-68	70-80	Sub-arkose blanche à grain moyen, interlitée de grès feldspathique lité ou laminé.			
2P-49	80-90	Conglomérat sub-arkosique à galet mou d'argilite beige délavé, légèrement oxydée. Conglomérat à cailloux de quartz centimétriques 1 à 2 cm, paraconglomérat polygénique.			
	500	2P-49a: Zone anormale à 500 cps sur joint N-80°-48°. Les galets et cailloux de quartz qui étaient ronds à l'origine sont maintenant polygonaux, évidence de recristallisation. Photo F ₁ , F ₂ et F ₃ sur conglomérat à galet d'argilite beige.		2P-49a	U. Th.
2P-50	60-75	2P-50a: Conglomérat arkosique blanc rosé à galet de quartzite; lame mince dans galet pour déterminer son origine.		2P-50a	L.M.
2P-52	75-80 N-64° 18°	Grès feldspathique à sub-arkose rose, grain moyen, interlits d'argilite rouge (Ra-110). Stratification N-64, 18° N.W.			

Statistiques

STATION	RA SPP2	DESCRIPTION	FORMATION	ECHAN- TILLON	ANALYSE
2P-52		Stries N-110° 18°, pli anticlinal à N-15, N-16, plongeant très légèrement vers le N → sommet de la colline; pli très ouvert, longueur d'onde de 4 à 5 mètres.			

FICHE D'AFFLEUREMENT

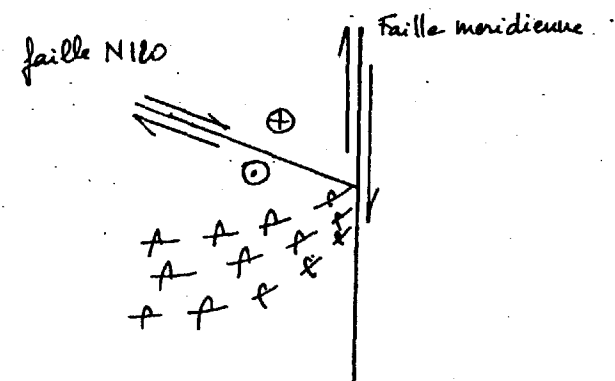
DATE: 26 juin 1980

LOCALISATION: Q 64 362 151

STATISTIQUE: Coupe 2C32

KM DE COUPE: 1.95

KM RADIOMETRE: 1.95

STATION	RA SPP2	DESCRIPTION	FORMATION	ECHAN- TILLON	ANALYSE
2P45	90- 200	<p>Microconglomérat arkosique vert, massif. (puissance 15 m). L'affleurement est une falaise limitée à l'est par une faille méridienne, au nord par une faille N120.</p> <p>Le mouvement de la faille N120 subverticale est matérialisé par:</p> <ul style="list-style-type: none"> - un système de stries (cannelures) N125, 65S - un "cigare" boudiné N65, 50E. <p>Donc, compartiment sud s'élevant par rapport au compartiment nord, avec une faible composante décrochante dextre.</p> <p>Sur le bord sud: un filon de quartz N62, 80S. Des diaclases N30, 70S. Sur ce même compartiment rehaussé, des plis métriques à décamétriques, plus ou moins déjetés vers le nord (interprétation difficile, le support étant très massif). Ces plis sont d'orientation N65, le plan axial lui-même plissé plongeant à 65° vers le sud; cependant, aux abords de la faille méridienne, un phénomène de rebroussement peut être observé, les plis passant à N30.</p> 			

Statistiques Coupe 2C32

STATION	RA SPP2	DESCRIPTION	FORMATION	ECHAN- TILLON	ANALYSE
2P46	150-200	Grès arkosique vert, "feuilleté". Stratifications N50,30N, schistosité N50,50W.			
2P47	60	Grès arkosique et microconglomérat arkosique vert.			
2P48	60	Grès feldspathique hématisé, massif. Système de diaclases N50 subvertical et pendage 20S, N40 subvertical. Stratifications subhorizontales N80, 5N.			
2P49	70	Paraconglomérat subarkosique polygè- nique à matrice vert clair recristal- lisée, caractérisé par la présence de galets mous d'argilite crème. Strati- fications N87,9N. Les galets argi- leux n'ont pas une direction cons- tante.			
		Le système de diaclases le plus général est N145 subvertical, N15 subvertical.			
	500	A la faveur d'une diaclase N24, une activité de 500 c/s. Quelques carac- téristiques pétrographiques: La présence de ségrégations sphériques quartzeuses, hématisées, de 5 à 20 mm - soit très hématisées et microcristal- lines à bord franc - soit des agrégats de petits cris- taux millimétriques de quartz et de feldspaths rubéfiés.			
		Non loin de l'affleurement, un boulder présent sur une de ses faces dans le plan de stratification de l'argilite rouge centimétrique à fentes de des- siccation remplies de quartz.			
2P50	90	Alternances sur fond de microcon- glomérat arkosique de passées métri- ques de conglomérat arkosique à cailloux de quartz et de grès arko- sique grossier. La couleur de fond		2P50a	

Statistiques Coupe 2C32

STATION	RA SPP2	DESCRIPTION	FORMATION	ECHAN- TILLON	ANALYSE
	3000	<p>cesse d'être verte comme précédemment pour tendre de plus en plus à être limoniteuse.</p> <p>L'ensemble fait une épaisseur à l'affleurement de 15 m.</p> <p>Dans ce contexte, une anomalie de 1500 à 3000 c/s étroitement liée (sur 10 cm d'épaisseur) à la stratification (58,16N), en l'espèce, sur un fond de grès feldspathique grossier à moyen, gris-miel, des passées centimétriques continues de grès hématisé.</p> <p>Cette activité sur faciès très oxydé présenté, au spectromètre, un équilibre de l'anomalie thorifère.</p>		2P50b	
2P51	60	<p>Microconglomérat subarkosique oxydé dans la masse, couleur saumon. Massif 607 m. Stratification N20, 20N?</p>			
2P52		<p>Grès feldspathique rose à niveaux décimétriques (10 à 40 cm) d'argilite très hématisée à fentes verticales à remplissage de quartz clair. L'ensemble est ondulé en plis N20, 7N ponctués de stries N110 attestant une poussée venue du sud-est.</p>			

PROJET: MONTS OTISH

FICHE D'AFFLEUREMENT

DATE: 27 juin 1980

LOCALISATION: Orthophoto "G" N.

STATISTIQUE: Coupe 2C-33, S. Lavoie, Y. Bisson

KM DE COUPE: 3,9 km

KM RADIOMETRE: 3,9 km

STATION	RA SPP2	DESCRIPTION	FORMATION	ECHAN- TILLON	ANALYSE
2L-69	25 14° N-52° N-76° N-132° N-190°	Orthoquartzite laminé rose, massif, très homogène; lamination millimétrique. Joints N-76°, N-132° Striès glaciaires et cannelures N-190°. 2R6-56: Echantillon de ruisseau.			
2L-70	60	Blocs sur moraine. Sub-arkose grossière conglomératique, taches d'hématisation rouge vif. Cailloux de quartz; feldspath altéré rose à pêche.			
2L-71	25- 35 N-36° 12°	Orthoquartzite rose, laminations hématitiques sub-parallèles à la stratification.			
2L-72	50- 55	Sous-affleurement. Blocs anguleux de grès feldspathique blanc rosé, grain moyen à gros. Cailloux de quartz étiré, taches d'hématisation. 2L-72a: Conglomérat à microconglomérat sub-arkosique à galet mou d'argilite saumon et galet de quartzite mauve laminé.		2L-72a	Réf.

Statistiques

STATION	RA SPP2	DESCRIPTION	FORMATION	ECHAN- TILLON	ANALYSE
2L-73	50-75	<p>Sub-arkose grossière conglomératique, conglomérat polygénique à galets mous anguleux à sous-arrondis, de sédiments du groupe d'Otish.</p> <p>Les cailloux de quartz dominant largement. Les passées conglomératiques sont très arkosiques; cailloux d'arkose rouge et saumon, de quartzite gris et mauve.</p> <p>2L-73a: Conglomérat polygénique de ravinement en bloc.</p>		2L-73a	Réf.
2L-74	25-30	Moraine délavée en bordure d'un lac ou marécage; une partie de cette moraine est un felsenmer (blocs très anguleux d'orthoquartzites sous-laminés; blocs de très grande taille).			
2L-75	50	<p>Blocs ± anguleux d'arkose conglomératique, grain grossier, galets et cailloux de quartzite et d'argilite saumon.</p> <p>2L-75a:</p>			

PROJET: MONTS OTISH

R. St-Jean
S. Genest

FICHE D'AFFLEUREMENT

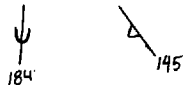
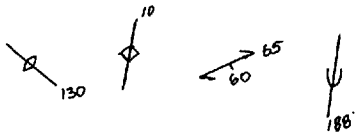
DATE: 27 juin 1980

LOCALISATION: Q-64362-208-209

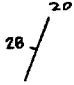
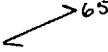
STATISTIQUE: Coupe 34 - Propriété "G"

KM DE COUPE: 3,3 km

KM RADIOMETRE: 6,6 km

STATION	RA SPP2	DESCRIPTION	FORMATION	ECHAN- TILLON	ANALYSE
2J-68	100	Affleurement près du petit lac; sub-arkose conglomératique verdâtre, ≈ 20% feldspaths, arénite grossière; très massif; cailloux de quartz. Litage difficile à voir. 	Indicateur	2J-68a	
2J-69		Bloc de sub-arkose blanc rosé.	Indicateur	2J-69a	
2J-70	60- 75	Affleurement 50 x 10 m. Grès feldspathique gris à gris vert, à grains grossiers; tri très mauvais; conglomératique; à cailloux de quartz. 	Indicateur		
2J-71		Champ de blocs; sub-arkose blanche conglo- mératique. Feldspaths recristallisés.	Indicateur		

Statistiques

STATION	RA SPP2	DESCRIPTION	FORMATION	ECHAN- TILLON	ANALYSE
2J-72	55- 60	Champ de blocs; grès feldspathique blanc, feldspaths recristallisés, grains grossiers à moyens, à cailloux de quartz, schistosés.	Indicateur		
2J-73		Bloc de sub-arkose blanche à grains grossiers, tri mauvais, hématisée sur certains blocs.	Indicateur		
2J-74		Blocs de grès feldspathique rose, moyen à grossier, tri mauvais.	Indicateur		
2J-75		Bloc dans un champ de blocs, grès feldspathique, ≈ 5% feldspaths; granulométrie moyenne à grossière. - microconglomératique à cailloux de quartz; - quelques feldspaths roses.	Indicateur		
2J-76	25-30	Affleurement de gabbro à grain grossier, très pyriteux et placage de gabbro ? Litage: 	Indicateur	2J-76a	
2J-77		Affleurement de gneiss blanc.  IDEM station B-26.			

PROJET: MONTS OTISH

Claude Marcotte
Francis PerronFICHE D'AFFLEUREMENT

DATE: 27 juin 1980

LOCALISATION: 5,759,000 m.N. 328,000 m.E.

STATISTIQUE: 2C-35

KM DE COUPE: 4,51 km.

KM RADIOMETRE: 4,51 km.

STATION	RA SPP2	DESCRIPTION	FORMATION	ECHAN- TILLON	ANALYSE
2M70	25 cps	Gabbro massif à grains moyens. Diaclase: 270° $\xrightarrow{20^{\circ}}$	Gr. OTISH		
2M71	25 cps	Gabbro massif IDEM à 2M70.	Gr. OTISH		
2M72	110 cps	Gneiss quartzo-feldspathique, migmatites litées. Le gneiss est essentiellement quartzo-feldspathique, à texture "pegmatitique" avec 30% de feldspath rose K. On a des parties litées à lits quartzo-feldspathiques séparés par de minces interlits schisteux (biotite).... A certains endroits, le % de feldspath rose augmente; on passerait à un granite rose, mais qui serait compris à l'intérieur de la séquence gneiss et migmatite (c'est-à-dire que les parties à fort % de feldspath n'ont pas d'extension). Foliation (Schistosité) \nearrow 57° 68°	Socle		

PROJET: MONTS OTISH

FICHE D'AFFLEUREMENT

DATE: 27/6/80

LOCALISATION: Q 64 362 42

STATISTIQUE: 2C36

KM DE COUPE: 2.5

KM RADIOMETRE: 2.5

STATION	RA SPP2	DESCRIPTION	FORMATION	ECHAN-TILLON	ANALYSE
2P53	50-100	<p>Conglomérat arkosique hématisé (rose saumon) à feldspaths très colorés. Massif. Stratification N60,4°N.</p> <p>20 m plus au sud, pli plat N30°. Amplitude décimétrique. Associé à un système de diaclases N70,70S, N170 subvertical cassure ouvertes N110 (direction de la poussée).</p> <p>30 m plus au sud, système de diaclases N65°, N24 subvertical N128,70W.</p>			
2P54	50	<p>Microconglomérat arkosique à agrégats lie-de-vin. Les feldspaths sont roses ainsi que pour le faciès précédent. Cependant qu'apparaissent des agrégats (2 à 8 mm) de cristaux millimétriques quartzo-feldspathiques.</p> <p>Dans ce contexte, pli ouvert N23 s'ennoyant au nord (6°).</p>			

flanc nord diaclasé

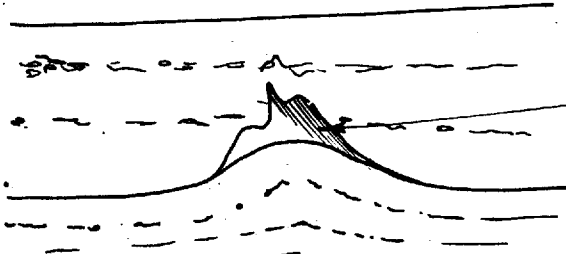
N193
N23
N23.6N

flanc sud non diaclasé
- schistosité
- à stries N125.




Poussée du SE (N125)

4m

Statistiques 2C36

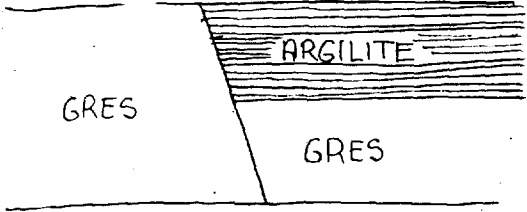

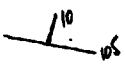
STATION	RA SPP2	DESCRIPTION	FORMATION	ECHAN- TILLON	ANALYSE
2P55	70	Grès subarkosique fin, à rubanement centimétrique à galets rouges.			
2P56	100	<p>Microconglomérat rose clair à stratification nette (alternance de niveaux fins et grossiers). Filon de quartz pratiquement dans le plan de stratification (n100-5N). Argilite encapuchonnant une ride intraformationnelle.</p>  <p>Diaclasage: N185 subvertical N120, 80S.</p>			
2P57	70	Microconglomérat subarkosique recristallisé, massif. Couleur de fond de la roche: verdâtre, limonitisée. Présence de galets hématisés de calcédoine. Un niveau de dissolution des feldspaths (puissance 10 cm) est orienté N20-20S.			
2P58	60	<p>Grès grossier subarkosique blanc laiteux, au débit caractéristique en plaques issues des diaclasages N165, 80W et de la stratification N80, 80S et de la stratification N106, 11N.</p> <p>Fuseau intercouche orienté N35.</p>			

Statistiques 2C36

STATION	RA SPP2	DESCRIPTION	FORMATION	ECHAN- TILLON	ANALYSE
2P59	65	Grès feldspathique à grain grossier, rubané (2-3 cm), couleur rose très pâle. Puissance 6 m. Stratification: N100,16E.			
2P60	50	Microconglomérat arkosique à galets de quartz, couleur rose clair à ocre. Galets rouges. Stratification N60,4N.			
2P61	75-90	Grès arkosique au rubanement de 5 à 10 cm, rose clair, à niveau d'argilite lie-de-vin centimétrique, présentant des fentes de dessiccation remplies partiellement par du grès du banc qui le surmonte. Stratification: N44,9N. Schistosité: N73, attestant une compression venant du SE orientée N163.			
2P62	35	Arénite orthoquartzitique rose clair, laminée finement. Grain fin. Stratification subhorizontale.			
2P63	50	Grès à grain grossier blanc feldspathique aux feldspaths altérés ou rose clair (puissance 1 m) au sein d'un conglomérat arkosique hématisé rose saumon, massif, très puissant. Plis ouverts, dissymétriques, N16, pendage 4N, possédant sur son flanc est des stries N122.			
2P64	50	Microconglomérat arkosique rose clair.			

Statistiques

2C36

STATION	RA SPP2	DESCRIPTION	FORMATION	ECHAN- TILLON	ANALYSE
2P65	100	<p>Grès à grain fin subarkosique, présentant une alternance de niveaux décimétriques vert clair et rose. Argilite lie-de-vin limitée par fracture intraformationnelle N156, 80E (puissance 0.40 m).</p>  <p>Stratification: N96,28N.</p>			
2P66	100-150	<p>Alternance de bancs massifs de grès grossiers et microconglomérats arkosiques à subarkosiques, avec de fréquentes taches décimétriques à métriques limoniteuses.</p> <p>Localement, une lentille de plusieurs mètres de grès feldspathique. Grain fin à moyen présentant une très fine lamination (pas 5 mm), couleur rose saumon.</p>			
2P67	50	<p>Banc métrique de quartz blanc laiteux feldspathique cristallin, à débit fin. A la base, une veine de quartz blanc, cristallin, épaisseur 4 cm. N35,40N.</p>			
2P68	60	<p>Conglomérat arkosique rose saumon.</p>			
2P69	35	<p>Orthoquartzite rose laminé, à grain fin. Stratification: N105, 10N.</p>			

PROJET: MONTS OTISH

R. St-Jean
S. Genest

FICHE D'AFFLEUREMENT

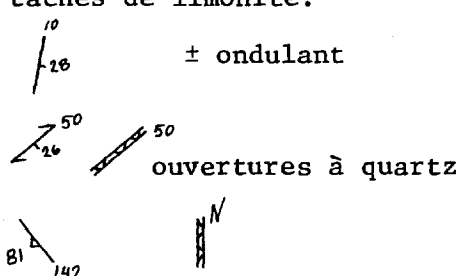
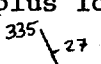
DATE: 28 juin 1980

LOCALISATION: "G" Nord

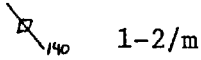



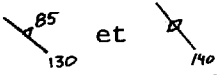

STATISTIQUE: Coupe 38

KM DE COUPE: 2,5 km

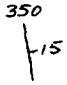
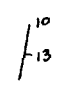
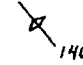
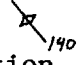
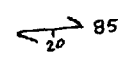
KM RADIOMETRE:

STATION	RA SPP2	DESCRIPTION	FORMATION	ECHAN- TILLON	ANALYSE
2J-78	35- 40	Bloc, sub-arkose rose, \approx 15 à 20% de feldspaths recristallisés, taches d'hématite et de limonite, petites zones cavernueuses.	Indicateur		
2J-79	45	Bloc \approx 1.5 m ³ . Orthoquartzite blanc-rose, granulométrie moyenne à fine, tri bon; assez massif; rubanement rouge d'hématite.	Indicateur		
2J-80	25- 30	Affleurement à peu près continu. Orthoquartzite rose à rubanement d'hématite; quelques taches de limonite. Litage:  ± ondulant ouvertures à quartz Un peu plus loin on a  ± ondulé; chenalisant. Les bancs sont centimétriques à décimétriques.	Indicateur		
2J-81	40	Affleurement de sub-arkose conglomératique rose, \approx 20 à 25% de feldspaths. Granulométrie grossière, tri très mauvais.	Indicateur		

Statistiques

STATION	RA SPP2	DESCRIPTION	FORMATION	ECHAN- TILLON	ANALYSE
2J-81 suite		<p>Les feldspaths sont très altérés et kaolinisés. Conglomératique à cailloux de quartz, quartzite à rubanement d'hématite, fragments de siltstone. Les cailloux font jusqu'à 10 cm.</p> <p style="text-align: center;">  </p> <p>Ouvertures remplies de quartz. </p> <p style="text-align: center;">  </p>			
2J-82	35	<p>Affleurement. Grès feldspathique conglomératique et <u>orthoquartzite</u> conglomératique.</p> <p>→ Le grès feldspathique semble être en lentilles dans l'orthoquartzite.</p> <p>Orthoquartzite à granulométrie moyenne. Grès feldspathique à granulométrie grossière.</p> <p>→ Les petits chenaux sont plus conglomératiques.</p> <p>Cailloux épars de quartz et quartzite.</p> <p style="text-align: center;">  </p> <p style="text-align: center;">  </p> <p style="text-align: center;">  </p>	Indicateur		

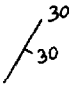
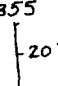
Statistiques

STATION	RA SPP2	DESCRIPTION	FORMATION	ECHAN- TILLON	ANALYSE
2J-83	55	<p>Affleurement. Grès feldspathique rose à cailloux de quartz, quartzite, galets mous ? (siltstone).</p> <p>Granulométrie moyenne à grossière.</p> <p>Cailloux jusqu'à 8 cm sub-arrondis; hématisation ± prononcée;</p> <p>→ variation latérale de la quantité de conglomérat;</p> <p>il y a passage plus ou moins net entre les grès feldspathiques conglomératiques et les grès feldspathiques.</p> <p>Bancs métriques:</p> <p> (litage ou pente structurale ?)</p> <p> litage ravinant par endroit</p> <p>litage parfois difficile à voir</p> <p></p>	Indicateur		
2J-84	125	<p>Affleurement à peu près continu de grès feldspathique <u>peu</u> conglomératique; granulométrie moyenne; feldspaths partiellement recristallisés; taches d'hématite.</p> <p>Lentille d'argilite rouge lie-de-vin 2.5 m x 1.0 m. très fracturée dans un grès moyen à grossier.</p> <p>Les fractures selon  montrent une décoloration de l'argilite de rouge violacé à orangé.</p> <p>S₁ dans grès avoisinant </p> <p>latéralement on trouve des galets mous d'argile et des passées conglomératiques.</p>	Indicateur		

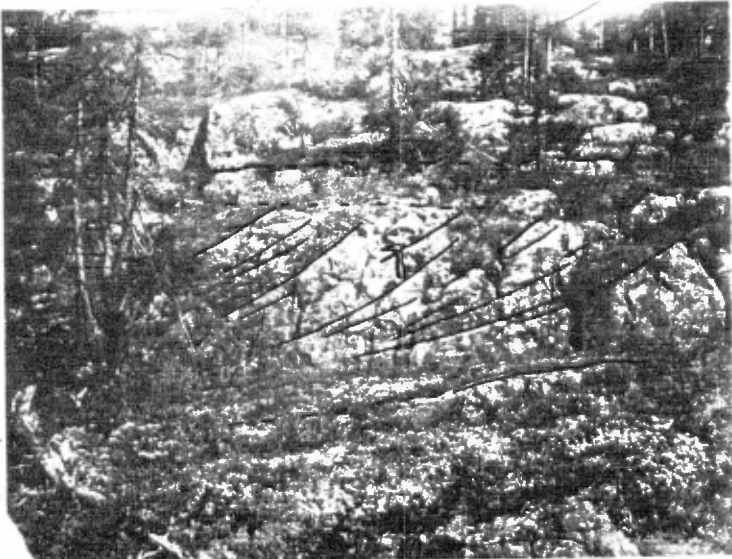

Statistiques

STATION	RA SPP2	DESCRIPTION	FORMATION	ECHAN-TILLON	ANALYSE
2J-85	55	<p>Affleurement de sub-arkose conglomératique de couleur rosée.</p> <p>20 à 25% de feldspaths très gros et très altérés, recristallisés ? quelques feldspaths roses.</p> <p>Tri mauvais; granulométrie grossière, conglomératique à cailloux de quartz et quartzite, diamètre ϕ jusqu'à 10 cm.</p>	Indicateur		
2J-86	50	<p>Affleurement.</p> <p>Grès feldspathique beige à rosé devenant conglomératique vers la base.</p> <p>→ base: arkose conglomératique à cailloux de quartz, quartzite, semble devenir plus chenalisant vers la base.</p> <p>Colonne schématique:</p>	Indicateur	2J-86a	
2J-87	30-35	<p>Affleurement.</p> <p>Orthoquartzite blanc à taches d'hématite.</p> <p>Belles cuillères et structures sédimentaires difficilement mesurables.</p>	Indicateur	2J-87a	

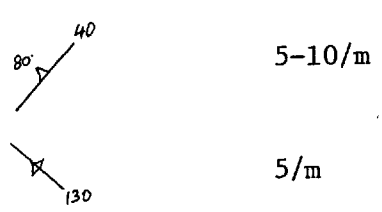
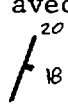
Statistiques

STATION	RA SPP2	DESCRIPTION	FORMATION	ECHAN- TILLON	ANALYSE
2J-87 suite		<p>Cet affleurement montre une séquence d'orthoquartzite très épaisse et parfois très hématisée.</p>  <p>Il semble y avoir passage d'un milieu fluviatile au haut de la séquence à deltaïque au bas de la séquence.</p>		2J-87b	
2J-88		<p>Affleurement. Orthoquartzite rosé devenant vert vers le sommet des bancs, devenant plus induré (quartzite) vers la base. Présence de rides, stratification entrecroisée. Laminae alternant rouges et vertes.</p> 	Indicateur		
2J-89		<p>On a passage à une série de bancs montrant de très grandes cuillères planes de delta ou de chenal très larges et très inclinées. L'inclinaison forte résulte en partie d'un phénomène de plissement.</p>	Indicateur	2J-89a	

Statistiques

STATION	RA SPP2	DESCRIPTION	FORMATION	ECHAN- TILLON	ANALYSE
		 <p><i>cuilleres de chemin</i></p>	Station 2J-89		
		 <p><i>Stratifications obliques de cuillère</i></p>	Station 2J-89		

Statistiques

STATION	RA SPP2	DESCRIPTION	FORMATION	ECHAN- TILLON	ANALYSE
2J-89 suite		<p>Orthoquartzite rose et laminé rose et vert (échant. 2J-89a), très fracturé localement selon</p>  <p>5-10/m</p> <p>5/m</p> <p>plan de faille avec placages de quartz.</p>  <p>20 18</p> <p>Zones très très hématisées à grès violet (échant. 2J-89b) montrant de belles stratifications obliques de cuillères (voir photo)</p>	Indicateur	2J-89a	
				2J-89b	

PROJET: MONTS OTISH

Claude Marcotte
Francis PerronFICHE D'AFFLEUREMENT

DATE: 28 juin 1980

LOCALISATION: G-Nord

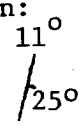
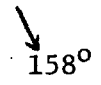
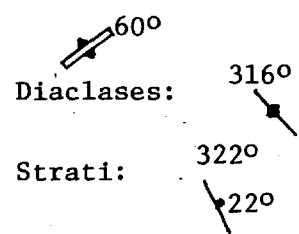
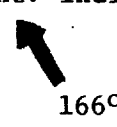

STATISTIQUE: 2C-39

KM DE COUPE: 2,5 km


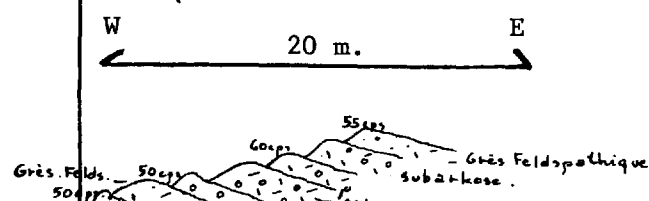
KM RADIOMETRE:

STATION	RA SPP2	DESCRIPTION	FORMATION	ECHAN- TILLON	ANALYSE
2M73	80 cps	Blocs de sub-arkoses roses à grains grossiers de quartz sub-anguleux à sub-arrondis. Les feldspaths sont de taille plus petite, quasiment interstitiels, kaolinisés. Traces de feldspaths roses. Cailloux flottants de quartz (2 à 3 cm.) sub-arrondis. (- de 5%)	Indicateur		
2M74	30 cps	Bloc de quartzite à bandes rouges. Nombreux points d'hématisation. Grains fins à moyens avec recristallisation des grains.	Indicateur		
2M75	45 cps	Affleurement de quartzite blanc hématisé (sous forme de bandes et de points). Grains de quartz fins avec passées de recristallisation où les quartz sont grossiers. 2 plans d'hématisation encadrant une bande de quartz grisâtre, grains grossiers. $\begin{array}{c} 16^\circ \\ / \\ 18^\circ \end{array}$ Passées limonitiques présentes mais ne changent pas au 5PP2. Diaclases: 338° 35° \swarrow \swarrow Présence de Jaspe (?) rouge vif...	Indicateur		

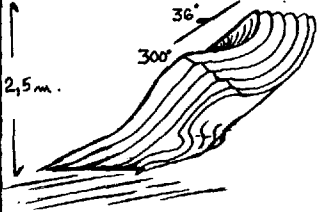
Statistiques

STATION	RA SPP2	DESCRIPTION	FORMATION	ECHAN-TILLON	ANALYSE
2M76	40 cps	<p>IDEM à 2M75 - Quartzite rougeâtre. % d'hématisation est plus élevé sous forme de multiples grains d'hématisation disséminés. Bandes rouges centimétriques, très rapprochées et séparées par des bandes rosées.</p> <p>Stratification:</p> 	Indicateur		
2M77	40 cps	<p>IDEM - Quartzite blanc et rouge. Nombreuses recristallisations de plages de quartz aux surfaces inter-couches avec stries:</p>  <p>Nombreuses veinules de quartz approximativement perpendiculaires aux stries et probablement reliées aux phénomènes de tension lors du plissement.</p>  <p>Diaclasses: 316°</p> <p>Strati: 322° 22°</p> <p>Rides de Courant: indiquant un courant venant du</p> 	Indicateur		
2M78	50 cps	<p>Sub-arkoses avec cailloux de quartzite flottants arrondis de 2 à 5 cm. de longueur. On note des fragments de feldspaths roses dans la fraction arénitique; les grains sont grossiers, sub-anguleux.</p>  <p>Diaclasses: 308° 52°</p>	Indicateur		

Statistiques

STATION	RA SPP2	DESCRIPTION	FORMATION	ECHAN-TILLON	ANALYSE
2M79	60 cps	Grès feldspathique avec grains de feldspaths roses; grains de quartz sub-arrondis. Moins de 1% de cailloux de quartz flottants.	Indicateur		
2M80	50 cps	Sub-arkoses avec feldspaths interstitiels dans la fraction arénitique; les fragments feldspathiques de la fraction rudite sont kaolinisés. Les grains de quartz sont sub-arrondis; cailloux flottants de quartz 4 à 8 cm. de taille, quelques cailloux d'argilite, couleur brique. On peut retrouver 1 à 2% de petits fragments d'argilite dans la fraction arénitique.	Indicateur		
2M81	75 cps	Arkoses à passées microconglomératiques, à grains sub-arrondis (quartz). Fragments de feldspaths frais et fragments d'argilite rouge. (Fraction arénitique). La matrice devient schisteuse par endroit.... Diaclasses: 305° 	Indicateur		
2M82	70 cps	IDEM à 2M81 - Arkoses	Indicateur		
2M83		Présence d'un cycle de sédimentation s'étendant sur une vingtaine de mètres. 			

Statistiques

STATION	RA SPP2	DESCRIPTION	FORMATION	ECHAN- TILLON	ANALYSE
2M85	55 cps	<p>Quartzite rose et blanc. Bancs de <u>2 à 3 m. d'épaisseur</u> de «<u>mégarides</u>»</p>  <p>Au-dessus et au-dessous dans la sé- quence stratigraphique, les pendages et directions reprennent leur direc- tion NNW-NNE à faible pendage.</p> <p>Cette zone de mégarides sous forme de cuillères emboutées peut s'étendre sur une centaine de mètres de lar- geur.</p>	Indicateur		
2M86	60 cps	Grès feldspathique avec points d'hé- matisation. Nombreuses traces laissées par le départ de cailloux ce qui donne un aspect poreux à la roche.	Indicateur		
2M87	75 cps	Arkoses à cailloux flottants. Beau- coup de fragments de feldspaths roses frais. Passées microconglomératiques inter- calées avec bancs à granulométrie plus fine.	Indicateur		
2M88	75 cps	IDEM à 2M87 - Arkoses	Indicateur		

Statistiques

STATION	RA SPP2	DESCRIPTION	FORMATION	ECHAN- TILLON	ANALYSE
2M89	55 cps	Grès feldspathique à grains moyens, teinte verdâtre avec quelques lits presque quartzitiques intercalés.	Indicateur		
2M90	70 cps	Arkoses - IDEM à 2M88	Indicateur		
2M91	70 cps	Arkose avec passage conglomératique Plan de galets alignés. Strati: $\begin{array}{c} 18^\circ \\ / \\ 12^\circ \end{array}$	Indicateur		

FICHE D'AFFLEUREMENT

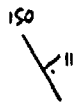
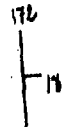
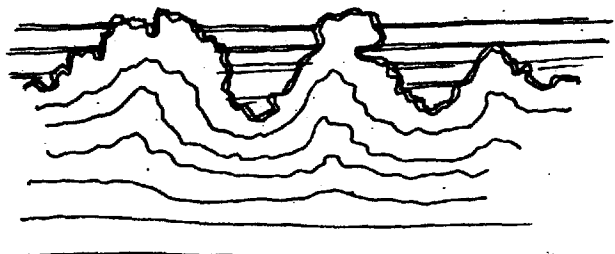
DATE: 28/6/80

LOCALISATION: "G" Nord

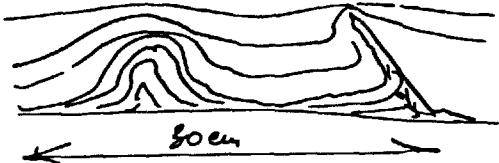
STATISTIQUE: 2C40

KM DE COUPE: 2.8

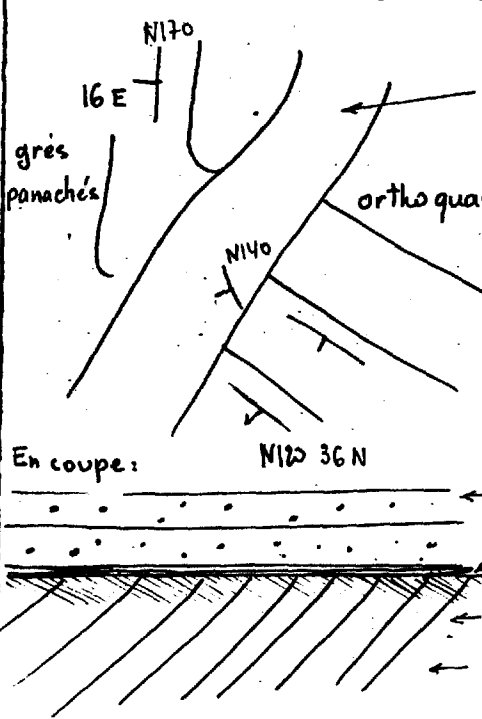
KM RADIOMETRE: 2.8

STATION	RA SPP2	DESCRIPTION	FORMATION	ECHAN- TILLON	ANALYSE
2P70	30	Boulders d'orthoquartzite à grain fin, gris clair-lie de vin, rubané (2 cm), à filets rouges plus ou moins concordants avec la stratification.			
2P71	35	Orthoquartzites en place, identiques à l'affleurement 2P70. So: N150-11E. Diaclases: N200 vertical.	150 		
2P72	40-60	Banc massif d'orthoquartzite blanc laiteux, légèrement rosé. Clivage stratigraphique tous les 40 cm sud. Grain fin. Phénomènes de recristallisation. Présence de stratifications obliques. So: N172, 18SE, Si: N48, 30SE dans interfaces des bancs. Diaclasage facile N140.	172 		
2P73	40	Orthoquartzite rose clair, massif, au laminage centimétrique. Présence toujours nette de filets rouges plus ou moins parallèles à la stratification, arborescence intrusive dans la stratification supérieure. 	litage 2 cm <i>frondeuse naturelle</i>		

Statistiques Coupe 2C40

STATION	RA SPP2	DESCRIPTION	FORMATION	ECHAN- TILLON	ANALYSE
		<p>A la base du banc, un niveau "lie-de-vin", plus sombre, transition perurbée: plis intraformationnels</p> 			
2P74	40	<p>Microconglomérat feldspathique rose à esquilles d'argilite. Présence assez générale des galets flottants de quartz (longueur 8 cm). So: N170. Diaclase de densité 6 sur plusieurs mètres: N130. Ondulation d'axe N25 de rythme: 5 m.</p>			
2P75	50	<p>Microconglomérat arkosique rose clair. So: N170 plissé/ondulé selon un axe N28, pendage 10N (7 ondulations pour 100 m), amplitude moyenne 50 cm.</p> <p>Diaclase flanc E: N60 N140°.</p> <p>Veine de quartz blanc laiteux variant de 5 à 10 cm sur 10 m, N110, 30°N.</p>			
2P76	50	<p>Conglomérat subarkosique à agrégats rouges, de couleur rose très pâle.</p>			
2P77	70	<p>Grès grossier arkosique rose très pâle, avec localement une différenciation en grès très fin (puissance 0.60 m). So: N20°.</p> <p>Diaclasage: N120 N45°.</p>			
2P78	60	<p>Grès grossier arkosique "panaché" vert et rose, laminé. So: N175, 14E.</p>			

Statistiques Coupe 2C40

STATION	RA SPP2	DESCRIPTION	FORMATION	ECHAN- TILLON	ANALYSE
2P79	70	Faciès "panaché" vert-rose: grès grossier à galets roses centimétriques à décimétriques, et microconglomérats massifs. So: N180-15E.			
2P80	50	Grès feldspathiques "panachés" vert clair-lie-de-vin, présentant des laminations fines. Présence fréquente de "taches" centimétriques rouge "lie-de-vin"; de même, filets de même nature, plus ou moins parallèles à la stratification dans les niveaux "lie-de-vin" (les plus fins).			
2P81	50	Grès feldspathiques blancs (pain de sucre) à très fines passées roses. So: N180-17S.			
2P82		<p>Discontinuité stratigraphique ?</p>  <p>plan de la discontinuité occupé par du quartz blanc (épaisseur 4 cm) strié N140°</p> <p>grès "panachés"</p> <p>orthoquartzites</p> <p>En coupe: N120 36 N</p> <p>grès "panachés"</p> <p>interface quartzeuse (quartz blanc)</p> <p>orthoquartzite verdie au contact des grès verts</p> <p>orthoquartzite rose non laminé</p>			

Statistiques Coupe 2C40

STATION	RA SPP2	DESCRIPTION	FORMATION	ECHAN- TILLON	ANALYSE
	50	<p>L'unité supérieure A est un grès quartzitique à feldspathique panaché (vert-rose), laminé (millimètre au centimètre). A la base, 10-20 cm de niveaux schistosés. So: N170-18S.</p> <p>L'unité inférieure B est un orthoquartzite rose recristallisé.</p> <p>Chevauchement? - Trop faible importance de l'interface quartzreuse, quartzites non affectés.</p> <p>Mégarides? Cependant, comment expliquer la présence au sein de ces quartzites de plissements N120?.</p>			
2P83		Le même affleurement que 2P84 environ 100 m au nord.			
2P84	70	<p>Microconglomérat subarkosique à matrice verte et feldspaths roses, localement limoniteux.</p> <p>So: N170,15S. Plissements N20°.</p> <p>Tout redevient comme avant l'affleurement 2P82. Les faciès deviennent de plus en plus réduits au fur et à mesure que l'on descend dans la série.</p>			
2P85	60	<p>Microconglomérat arkosique vert. Plis N26°.</p>			

PROJET: MONTS OTISH

Jean Beaudin
Yves Rougerie

FICHE D'AFFLEUREMENT

DATE: 27 juin 1980

LOCALISATION: Photo aérienne 1/15,840 Q64364-215, propriété G, 2C41

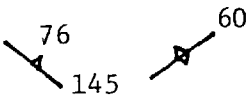
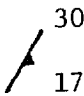
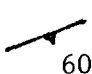
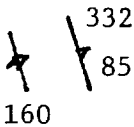
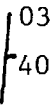
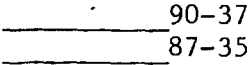
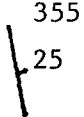
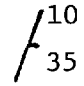
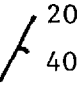
STATISTIQUE:

KM DE COUPE: 2.7

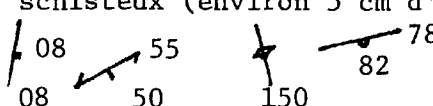
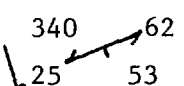
KM RADIOMETRE: 2 x 2.7 km

STATION	RA SPP2	DESCRIPTION	FORMATION	ECHAN-TILLON	ANALYSE
2B116	50	<p>Grès feldspathique microconglomératique à fragments quartzitiques rouges et à galets de quartz flottant.</p> <p>En se déplaçant vers l'est</p> <p>Fracturation majeure</p> <p>62 longueur >10 m 60 densité <1</p> <p>mais parallèle au linéament photo</p> <p>70 82 densité: 2 330 330</p> <p>Fracturation mineure</p> <p>90 80 215 70</p> <p>Côté sud du linéament</p> <p>85 215 40 258</p>	11		
2B117	50	<p>Quartzite à grès faiblement feldspathique rose pâle, avec fragments de quartz rose.</p> <p>30 15 Vers Est 22 318</p> <p>Placage de quartz blanc (.5 cm) dans l'intercouche sans cisaillement adjacent, non amygdalaire et non plissé. A comparer avec les intercouches près de Kerveso.</p>	14		

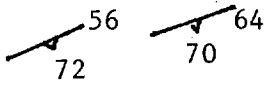
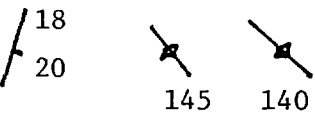
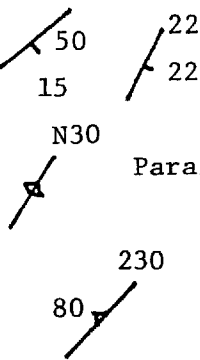
Statistiques

STATION	RA SPP2	DESCRIPTION	FORMATION	ECHAN- TILLON	ANALYSE
2B118	50 max. 100- 150 sur N160°	<p>Alignement de l'affleurement N035°.</p>  <p>Quartzite rose pâle à blanche.</p>  <p>70 Parallèle aux linéaments</p>  <p>332 Fracturation secondaire</p>  <p>Un peu plus à l'est:</p>  <p>Très belles stries intercouches de quartz blanc sur quartzite rose, près du linéament N70°</p>  <p>Banc supérieur monte</p> <p>Les fractures N160° atteignent fréquemment 100-150 cps</p> 	14		
2B119		<p>Quartzite à fragments d'argilite rouge (anguleux et difforme, de 5 à 10 cm) et à quartz arrondis. Microconglomératique.</p>  <p>Stries 100-(30 à 35)</p>  <p>Stries 108-35</p> <p>Le banc supérieur monte</p>	14		

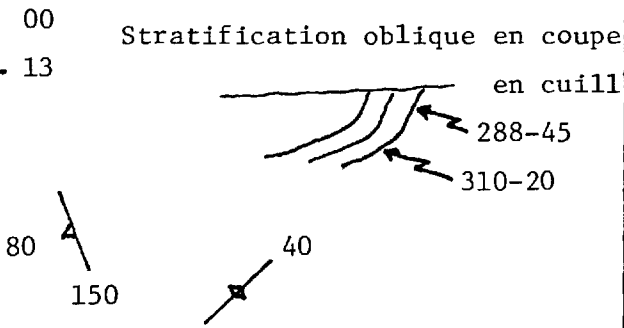
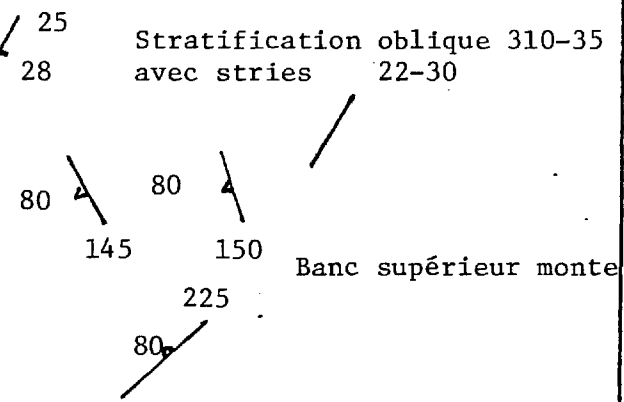
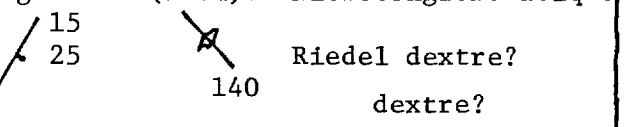
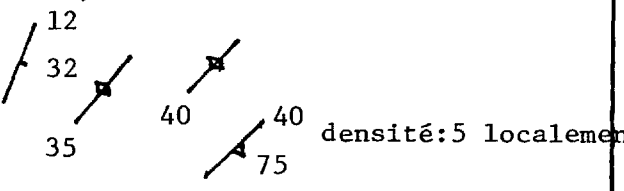
Statistiques

STATION	RA SPP2	DESCRIPTION	FORMATION	ECHAN- TILLON	ANALYSE
2B120		<p>Quartzite à fragments d'argilite rouge (petits et grands). Granulométrie 1 à 3 mm. Galet arrondi, isolé, de quartz blanc.</p> <p>Niveau de siltstone rouge très schisteux (environ 5 cm d'épaisseur)</p>  <p>Axe et plissement majeur sont d'axe approximativement N30°, probablement relié aux failles du socle (tectonique épidermique).</p>	16		
2B121		<p>Quartzite blanc à rose, fragments rougeâtres. Grain: 1 à 3 mm. Un peu de cailloux isolés de quartz arrondi et de pélite difforme.</p>  <p>Linéament d'alignement de l'affleurement N28°.</p>	16		

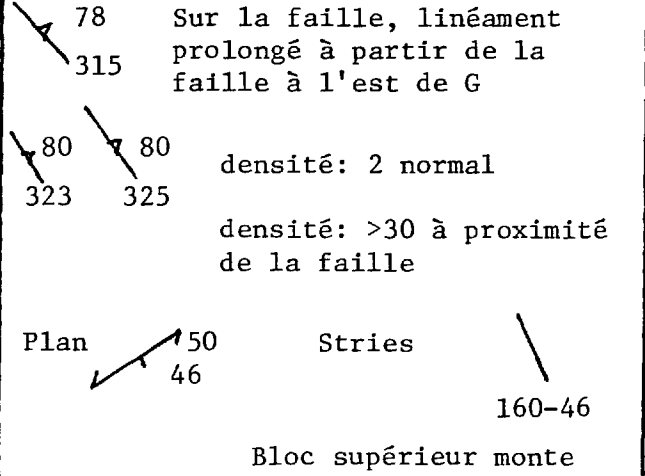
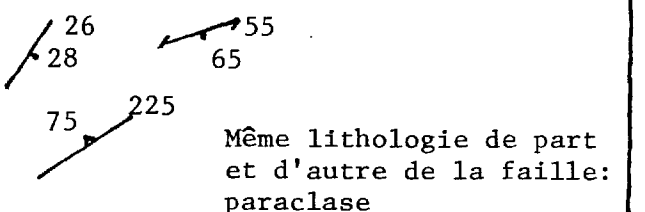

Statistiques

STATION	RA SPP2	DESCRIPTION	FORMATION	ECHAN- TILLON	ANALYSE
2B122		 <p>Plus à l'ouest: 35 25</p> <p>On soupçonne la présence d'un synforme secondaire dans le creux entre les affleurements.</p> <p>Quartzite rouge à violet avec intercouche et zone fracturée à matrice lessivée (poreuse), avec mégastratification oblique métrique (plan moyen 310-27). On observe un caillou isolé de quelques cm.</p>  <p>3 cm le long de la fracture lessivée et poreuse</p> <p>Topographiquement et structuralement, nous descendons la stratigraphie. Or, l'affleurement actuel semble plus haut dans la séquence. Ceci implique deux hypothèses:</p> <ol style="list-style-type: none"> 1- Un linéament faille N30° sépare les deux affleurements 122 et 123. 2- Il existe des mini-cycles positifs à l'intérieur de la séquence (arkose, grès feldspathique, quartzite, pélite). 	14		
2B123	75	<p>Arkose microconglomératique (2 à 5 mm) blanche avec 30% de feldspaths blancs.</p>  <p>Stries intercouches 135-08</p> <p>Parallèle aux linéaments</p>	10		

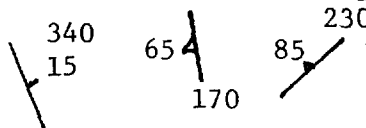
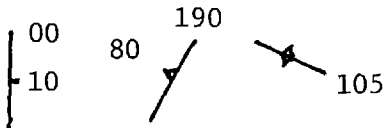
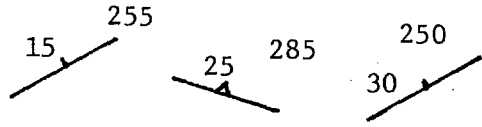
Statistiques

STATION	RA SPP2	DESCRIPTION	FORMATION	ECHAN-TILLON	ANALYSE
2B124		<p>Idem 2B122, mais avec des stratifications obliques de plus de 2 mètres.</p>  <p>00 13 Stratification oblique en coupe en cuillère 288-45 310-20 80 150 40</p>	14		
2B125		<p>Idem précédent.</p>  <p>25 28 Stratification oblique 310-35 avec stries 22-30 80 80 145 150 225 80 Banc supérieur monte</p>	14		
2B126		<p>Arkose rose pâle à feldspaths blancs (30%) et fragments pélitiques rougeâtres (5 cm). Microconglomératique</p>  <p>15 25 140 Riedel dextre? dextre?</p>	10		
2B127		<p>Quartzite rose laminé rouge et blanc en lits rubanés. Grain 1 à 2 mm. Quelques niveaux de pélites vertes très minces (pélites rouges réduites?). Très schisteux.</p>  <p>12 32 35 40 75 densité:5 localement</p>	16		

Statistiques

STATION	RA SPP2	DESCRIPTION	FORMATION	ECHAN- TILLON	ANALYSE
		 <p>78 315 Sur la faille, linéament prolongé à partir de la faille à l'est de G</p> <p>80 323 80 325 densité: 2 normal densité: >30 à proximité de la faille</p> <p>Plan 50 46 Stries 160-46 Bloc supérieur monte</p>			
2B128		<p>Idem précédent.</p> <p>Position de la faille linéament densité: >30 de fracturation</p>  <p>26 28 55 65 75 225</p> <p>Même lithologie de part et d'autre de la faille: paraclase</p>	16		
2B129		<p>Idem précédent.</p>  <p>14 20 140 45</p>	16		

Statistiques

STATION	RA SPP2	DESCRIPTION	FORMATION	ECHAN- TILLON	ANALYSE
2B130		Quartzite laminé rouge et blanc 	16		
2B131		Quartzite blanc, faiblement feldspathique. Grain fin. Non laminé. 	14		
2B132		Quartzite laminé rouge et blanc. Pli du nord vers le sud  <p style="text-align: center;">(à compléter)</p>	16		

PROJET: MONTS OTISH

Jean Beaudin
Yves Rougerie

FICHE D'AFFLEUREMENT

DATE: 28 juin 1980

LOCALISATION: Photo aérienne, 1/15,840, Q64364-215, propriété G, 2C41

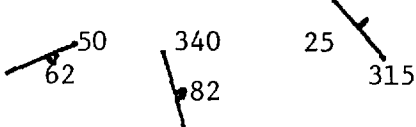
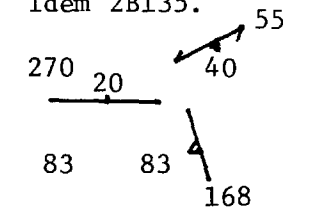
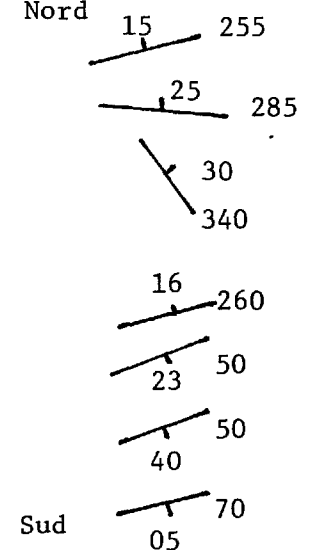
STATISTIQUE:

KM DE COUPE: 3.4

KM RADIOMETRE: 2 x 5.2 km

STATION	RA SPP2	DESCRIPTION	FORMATION	ECHAN- TILLON	ANALYSE
2B133	50	Subarkose blanche microconglomératique (2 à 4 mm) à feldspaths blancs et rares petits fragments de quartzite rouge. 320 28 330 densité: 1	10		
2B134		Arkose blanche (2-5 mm) à feldspaths blancs et fragments de quartzite rose (10%). Du nord vers le sud sur 50 m, on observe une ondulation liée à la faille EW 220 80 82 60 20 355 155 70 cisailé sur 15 cm 25 115 45 55 70 72 cisaillement et fractures densité: >10 Zone de charnière? 10 145 330 15 120 55 85 fractures densité: >10 lié à la faille EW 145 fractures densité: >10 à proximité de la faille N160°	10		
2B135		Quartzite rouge et blanc, laminé Nord 12 275 Sud 25 290	16		

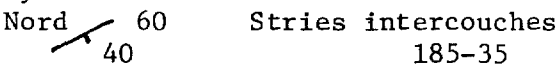
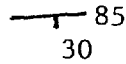
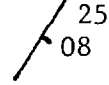
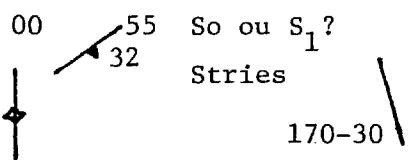
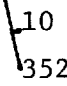
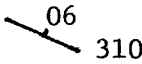
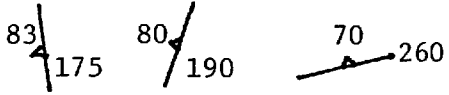
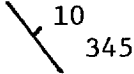
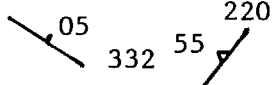
Statistiques

STATION	RA SPP2	DESCRIPTION	FORMATION	ECHAN- TILLON	ANALYSE
2B136		<p>Paraconglomérat (oligomicte) arkosique (2 mm à 1 cm) à galet isolé de quartz blanc arrondi. Cet affleurement arkosique repose nettement sur des quartzites laminés.</p> 	6		
2B137		<p>Idem 2B135.</p> 	16		
2B138		<p>Idem 2B135 mais en banc massif avec des mégastratifications obliques. Anticlinal</p> <p>Nord</p>  <p>Sud</p> <p>Autres mesures dans le même secteur</p> <p>Nord 15 Nord 340 270 16</p> <p>Sud 68 Sud 05 30 310</p> <p>Dans les stratifications obliques, on relève des stries.</p>	16		

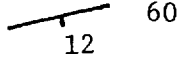
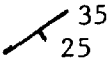
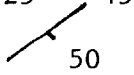
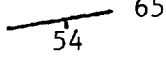




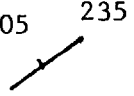
Statistiques

STATION	RA SPP2	DESCRIPTION	FORMATION	ECHAN- TILLON	ANALYSE
2B139	40	<p>Stratifications obliques</p> <p>55 270 55 280 50 275</p> <p>Anciennes 65-25 Anciennes 75-45 Nouvelles 20-50 Anciennes 80-52 Nouvelles 10-45</p> <p>Banc supérieur monte</p> <p>Fracturation majeure</p> <p>70 85 58 82 60 165 80 150 80 130</p> <p>mineure 72 250 78 245 possiblement liée au pli</p> <p>Gabbro d'Otish, introduit en cheminée ou dyke à intersection de deux zones de fractures majeures (N160 et N65°), extrêmement cisailé par les mouvements tardifs.</p> <p>Fracturation majeure cisailante (amande tectonique)</p> <p>12 densité:>30</p> <p>Fracturation secondaire</p> <p>85 90 55 105 densité:3</p> <p>Fractures mineures très rares</p> <p>20 280</p>	21		

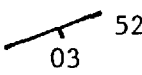

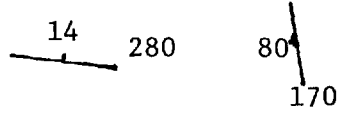
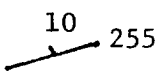
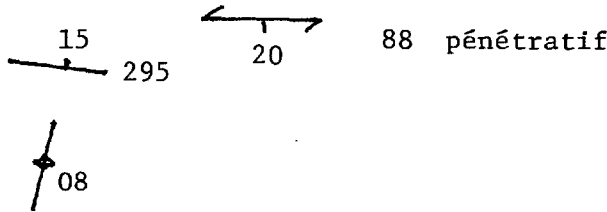
Statistiques

STATION	RA SPP2	DESCRIPTION	FORMATION	ECHAN- TILLON	ANALYSE
2B140		<p>Idem 2B138. Synforme liée à la faille</p> <p>Nord </p> <p></p> <p></p> <p>On note que le plan intercouche et même occasionnellement les stratifications obliques sont remplis de quartz en placages, peu strié.</p> <p></p> <p>So ou S₁? Stries</p>	16		
2B141		<p>Arkose blanc rosâtre à feldspath rose (40%), microconglomératique (3 mm à 1 cm) avec des traces de fragments de quartzite rouges.</p> <p>Nord </p> <p>Sud </p> <p>Fracturation</p> <p></p>	10		
2B142	75 cps	<p>Idem 2B141.</p> <p></p>	10		
2B143		<p>Quartzite rose pâle à rouge, plus ou moins laminé et à fragment de quartzite rouge.</p> <p></p>	16		

Statistiques

STATION	RA SPP2	DESCRIPTION	FORMATION	ECHAN- TILLON	ANALYSE
2B144		<p>Quartzite rose et blanc, laminé rouge. Anticlinal lié au linéament au nord des lacs.</p> <p>Nord  60 12</p> <p> 35 25</p> <p> 45 50</p> <p>Sud  65 54</p> <p>Stries intercouches 155-54</p> <p>Zone extrêmement fracturée en bordure du linéament.</p> <p> 72 Accompagnée de fentes ouvertes remplies de quartz. 45 qtz</p> <p> 45 qtz</p>	16		
2B145		<p>Arkose gris clair vert pâle à feldspath blanc (30%) (1-2 mm) et à passée de granule de quartz blanc arrondi.</p> <p>Environ à la mi-hauteur de la falaise on passe à des quartzites blancs puis au sommet, à des quartzites roses laminés.</p> <p> 65 85</p> <p>d > 2  165</p> <p>d = 1</p>	10		
2B146		<p>Arkose microconglomératique vert pâle à feldspath blanc (20%) quartz blanc et rose.</p> <p> 05 235</p>	10		

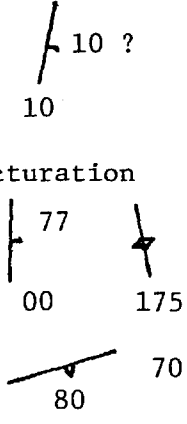
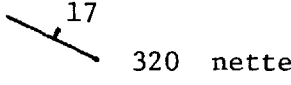
Statistiques

STATION	RA SPP2	DESCRIPTION	FORMATION	ECHAN- TILLON	ANALYSE
2B147		Idem 2B146. 	10		
2B148		Idem 2B147. 	10		
2B149		Idem 2B148, mais plus schisteuse. 	10		
2B150		Quartzite rouge et blanc avec lamina- tions obliques. Quartz et hématite (0.5 à 1 mm). 	15		Photo
2B151		Arkose blanche très schisteuse, à feldspath blanc (porphyroblastique) de 2 à 5 mm. 	10		

Statistiques

STATION	RA SPP2	DESCRIPTION	FORMATION	ECHAN- TILLON	ANALYSE
2B152		<p>Sub-arkose à fragments de quartzite rouge et feldspath rose saumon (2-5mm).</p>	10		
2B153		<p>Grès feldspathique à sub-arkose à feldspath blanc saumon (10-20%) (1-2 mm).</p> <p>Stratigraphiquement plus haut que l'indice.</p>	11		
2B154		<p>Idem 2B153.</p> <p>Nord</p> <p>Sud</p> <p>La stratification est réduite par la répétition des surfaces à distance: elle est très difficile à observer.</p>	11		
2B155		<p>Sub-arkose blanche.</p> <p>Nord</p> <p>Sud</p>	10		

Statistiques

STATION	RA SPP2	DESCRIPTION	FORMATION	ECHAN- TILLON	ANALYSE
2B156		<p>Sub-arkose blanche à fragments de quartz rouge, à matrice feldspathique, massive, faiblement schisteuse.</p>  <p>10 ? 10</p> <p>Fracturation</p> <p>77 00</p> <p>175</p> <p>70 80</p> <p>parallèle au linéament</p> <p>parallèle au linéament</p>	10		
2B157		<p>Idem précédent.</p>  <p>17 320 nette</p> <p>La zone entre les deux linéaments N160 semble ondulée et à faible pendage, E ou NE.</p>	10		

PROJET: MONTS OTISH

FICHE D'AFFLEUREMENT

DATE: 30 juin 1980

LOCALISATION: "G" Sud 64362-206-207

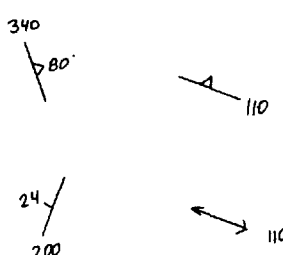
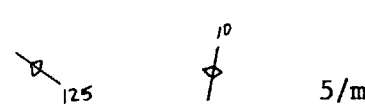
STATISTIQUE: Coupe 42

KM DE COUPE: 4,5 km

KM RADIOMETRE:

STATION	RA SPP2	DESCRIPTION	FORMATION	ECHAN- TILLON	ANALYSE
2J-90	55	Gros bloc anguleux, 5-6 m ³ anguleux. Sub-arkose conglomératique verte à cailloux de quartz sub-arrondis. ≈ 20% de feldspaths recristallisés, roche schistosée. Tri: très mauvais. Arrondi: moyen à mauvais.	Indicateur		
2J-91		Affleurement ?? (mal exposé) ≈ IDEM station 2J-90.	Indicateur		
2J-92		Bloc ± anguleux; microconglomérat sub-arko- sique gris. 15-20% feldspaths plus ou moins recristal- lisés. - conglomératique à cailloux de quartz.	Indicateur	2J-92a	
2J-93	75- 100	Gros bloc anguleux dans le ruisseau. Grès feldspathique blanc à laminations d'hématite rouge. Granulométrie: moyenne Arrondi: moyen Tri: moyen à bon Altération: ocre	Indicateur		

Statistiques

STATION	RA SPP2	DESCRIPTION	FORMATION	ECHAN- TILLON	ANALYSE
2J-94	35-40	<p>Affleurement continu. Gabbro, grain de 5-10 mm.</p>  <p>Stratifications obliques??</p>	Gabbro		
2J-95	35	Gabbro	Gabbro		
2J-96	35	<p>Gabbro</p> 	Gabbro		
2J-97		Gabbro altéré et cisailé.	Gabbro		
2J-98	250	Bloc arrondi; arénite sub-feldspathique blanche, feldspaths recristallisés; conglomératique à cailloux de quartz; taches ocre.	Indicateur		

Statistiques

STATION	RA SPP2	DESCRIPTION	FORMATION	ECHAN- TILLON	ANALYSE
2J-99	70- 75	<p>Gros bloc ± arrondi; arénite, subarkose rouge; ≈ 15% de feldspaths rouges; granulométrie moyenne à fine.</p> <p>Fraction moyenne: passées de granules de quartz. Tri très mauvais.</p> <p>Fraction fine: tri moyen, très hématisée.</p> <p>Il semble y avoir granoclassement.</p>	Indicateur		

PROJET: MONTS OTISH

Claude Marcotte

FICHE D'AFFLEUREMENT

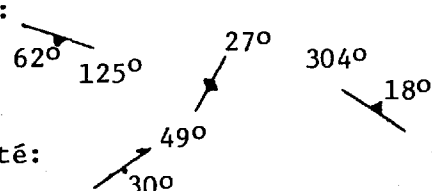
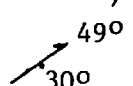
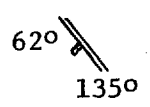
DATE: 30 juin 1980

LOCALISATION: 5,759,500 m.N. 324,000 m.E.

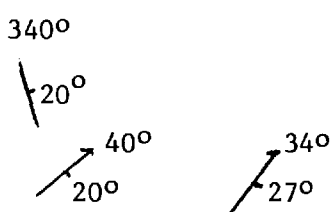
STATISTIQUE: 2C-43

KM DE COUPE: 2,25 km.

KM RADIOMETRE: 2,25 km.

STATION	RA SPP2	DESCRIPTION	FORMATION	ECHAN- TILLON	ANALYSE
2M92	75 à 120 cps	<p>Conglomérat de base polymicte avec 80% de cailloux de quartz (de la fraction rudite totale). + de cailloux de métavolcaniques, fuschite ($\pm 1\%$). Les cailloux sont sub-arrondis, de taille très variable (2 à 20 cm.).</p> <p>Les cailloux de métavolcaniques sont à demi digérés; les contours sont beaucoup moins contrastés.</p> <p>La matrice est très schisteuse, de couleur verdâtre à chlorite, séricite, faisant le contour des cailloux.</p> <p>Le pourcentage de cailloux peut atteindre 50% de la roche par endroit; il est généralement représenté dans les 30-35%.</p> <p>Dans la zone tectonisée au SE, l'hématisation est très forte, colorant la matrice au rouge complètement.</p> <p>Diaclases:</p>  <p>Schistosité:</p>  <p>Dans le plan de faille ouvert, de direction</p> 	Indicateur		

Statistiques

STATION	RA SPP2	DESCRIPTION	FORMATION	ECHAN- TILLON	ANALYSE
2M93	65 cps	Diaclases: 340°  Schistosité: 40° 27° Gneiss quartzo-feldspathique blanc à grains grossiers. Feldspaths blancs bien cristallisés. Quelques veinules de quartz sans direction déterminée.	Socle		
2M94	100 cps	Gneiss quartzo-feldspathique migmatisé, rose et blanc. 30% Feldspaths roses 30% Feldspaths blancs 40% Quartz Quelques poches pegmatitiques.	Socle		
2M95	90 cps	Gneiss migmatisé - IDEM à 2M94.	Socle		
2M96	90 cps	Gneiss migmatisé - IDEM à 2M94.	Socle		
2M97	65 cps	Gneiss quartzo-feldspathique blanc. IDEM à 2M93.	Socle		

PROJET: MONTS OTISH

FICHE D'AFFLEUREMENT

DATE: 19 juin 1980

LOCALISATION: Orthophoto "G" sud

STATISTIQUE: Coupe 2-C44(suite) de 2C 26

KM DE COUPE: 3,1 km

KM RADIOMETRE: 6,2 km

STATION	RA SPP2	DESCRIPTION	FORMATION	ECHAN- TILLON	ANALYSE
2L-22	75- 100	<p>Champ de blocs métriques anguleux. Paraconglomérat à cailloux de quartz arrondis à sous-arrondis, 15 à 25% de cailloux.</p> <p>La matrice est une arkose très grossière, "microconglomérat". Les feldspaths sont blanc laiteux, kaolinisés. Le quartz est arrondi à sous-arrondi, très clair.</p> <p>Clivage peu pénétrant sur quelques blocs. La roche est blanc-verdâtre; quelques feldspaths fortement altérés 1/2 mm de côté sont parfois très anguleux prismatiques et à d'autres occasions, sous-arrondis: voir 2L-22a, cailloux de quartzite, grès rosé, grain fin.</p>		2L-22a	
2L-23	25- 50	<p>Blocs: sub-arkose grossière, blanche à verdâtre, à cailloux épars de quartz. Certains feldspaths sont roses (microcline ?)</p> <p>Passées d'arkoses blanches à grains moyens, quelques grains roses (quartz ?).</p>			
2L-24	75- 100 25-35	<p>Paraconglomérat, matrice est sub-arkosique; quelques feldspaths frais, 1 cm de côté, apparaissant détritiques.</p> <p>Blocs sur moraine sableuse, donc peut être éloignée de leur source.</p>			

Statistiques

STATION	RA SPP2	DESCRIPTION	FORMATION	ECHAN- TILLON	ANALYSE
2L-25	50-110	<p>Paraconglomérat, IDEM à 2L-22, matrice sub-arkosique bordement gréseux (90% de quartz), grain grossier.</p> <p>Quelques cailloux de quartzite et de chert rouges, très arrondis, taille 1 à 1½ cm.</p> <p>Champ de blocs immense sur moraine et de gélifraction.</p>			
2L-26	50-60	<p>Paraconglomérat à cailloux de quartz, 2 à 5 cm, de forme ellipsoïdale. Matrice grossière riche en quartz, 90-95%, un peu de feldspath blanc.</p> <p>Ce conglomérat, très peu feldspathique, ressemble davantage à ceux de l'anomalie No 44.</p> <p>L'affleurement fait 10 m x 3 m; il est allongé en direction N-90°; le paraconglomérat est massif, la stratification probable donnée par un interlit de grès N-80,8°S.</p> <p>2L-26a: Matrice grossière très gréseuse du paraconglomérat.</p> <p>Un champ de blocs immense prolonge l'affleurement vers l'ouest; même lithologie.</p>		2L-26a	
2L-27	70-70	<p>Sous-affleurement en blocs métriques à décamétriques, très anguleux.</p> <p>Sub-arkose blanche, quelques faciès rosés, grain moyen à gros. Feldspath blanc 10 à 15%, surtout interstitiel entre les grains de quartz. Le quartz est clair, sous-arrondi à sous-anguleux. Quelques grains rouges à rosés qui semblent être du quartz. Quelques cailloux de quartz ½ à 1 cm.</p>			

Statistiques

STATION	RA SPP2	DESCRIPTION	FORMATION	ECHAN- TILLON	ANALYSE
2L-27	suite	<p>2L-27a: Sub-arkose blanche à rosée.</p> <p>2L-27b: Sub-arkose blanche laminée apparaît être un faciès plus évolué que la sub-arkose massive.</p> <p>Le passage des paraconglomérats aux sub-arkoses blanches se fait à proximité du ruisseau.</p>		<p>2L-27a</p> <p>2L-27b</p>	
2L-28	100- 125	2L-28a: Sub-arkose blanc rosée, grain moyen, fond géochimique des grès.		2L-28a	U / Th
2L-29	50-60	<p>Blocs métriques à décamétriques sur moraine.</p> <p>Arkose grossière blanc rosée à beige. Passées conglomératiques à cailloux de quarts, 10 à 20 cm de puissance, 25 à 35% de cailloux 1 à 2 cm.</p>			
2L-30	70-75	Vallée dans fluvio-glaciaire, plusieurs blocs décamétriques de sub-arkoses à grains moyens, couleur rosée.			
2L-31	50-75	Blocs de sub-arkose rose, parfois conglomératique, grain moyen à gros.			

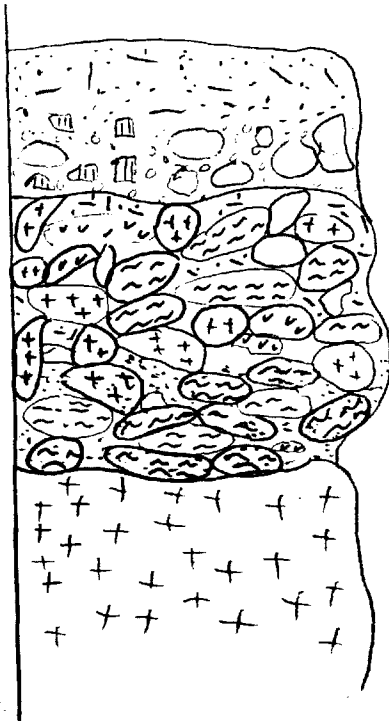
Statistiques

STATION	RA SPP2	DESCRIPTION	FORMATION	ECHAN- TILLON	ANALYSE
2L-32	50	Grès feldspathique, ^{blanc} rose 2 à 5% de feldspath. Roche très massive en blocs décamétriques à métriques.			
2L-33	50-70	IDEM à 2L-32.			
2L-34	50	Microconglomérat à grès très grossier, cailloux épars de quartz et cailloux rouges de quartzite et chert. Les cailloux représentent de 5 à 15% de la roche; parfois des passées à 50% de cailloux de quartz avec une matrice très quartzitique. Ce microconglomérat marque la transition entre les arkoses conglomératiques et les sub-arkoses blanches à rosées.			
2L-35	25-40	Microconglomérat, IDEM à 2L-34; matrice sub-arkosique et cailloux rouges d'orthoquartzites et feldspaths détritiques.			

Stratigraphie schématique du conglomérat de base.

Voir stations 2L-3, 2L-15, 16, 17, 18, 20, 2L-36.

Echelle verticale : 1 cm = 10 m
1:1000



FICHE D'AFFLEUREMENT


DATE: 30/6/80

LOCALISATION: "G" nord, Q64363-216

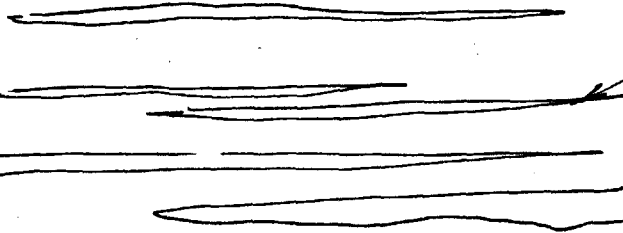
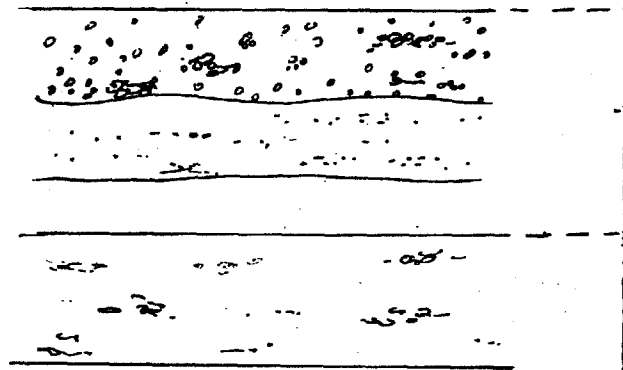
STATISTIQUE: 2C46

KM DE COUPE: 1.3

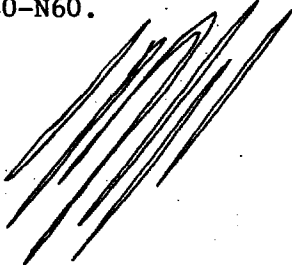
KM RADIOMETRE: 1.3

STATION	RA SPP2	DESCRIPTION	FORMATION	ECHAN- TILLON	ANALYSE
2P86	50- 100	<p>Grès panaché (vert-rose-lie-de-vin) arkosique, visible selon deux plans de failles mineures (distants de 1 m): (N45-44N stries N166,40°N (N34-50N stries N165,41°N.</p> <p>So: N50,11S. Schistosité: N62,28S.</p> 	failles inverses sénestres		
2P87	50	Banc de 1.60 m de grès subarkosique blanc, à grain moyen, débit selon la stratification tous les 5 cm (grès blanc à plaquettes - cf. affleurement 2P58). So: N160,3E.			
2P88	50-80	Faciès identique à celui de la station 2P86, cependant plus laminé et plus sombre. So: N176,8E.			
2P89	40	Grès subarkosique blanc débité en dalles de 3 à 5 cm d'épaisseur selon la stratification: grès blanc à plaquettes. Litage net.			

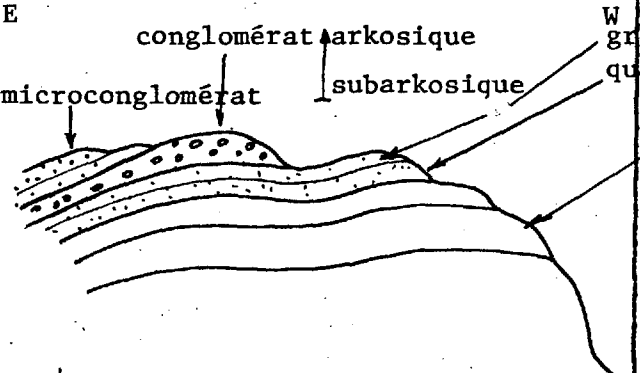
Statistiques 2046

STATION	RA SPP2	DESCRIPTION	FORMATION	ECHAN- TILLON	ANALYSE
		 <p>(grandeur nature)</p> <p>Des faciès de dissolution des feldspaths sont fréquents, donnant un grès caveurneux. So: N350, 8E.</p>	lits de microconglomérat quartzitique		
2P89 bis	60	Grès feldspathique panaché, finement laminé. So: N180 subhorizontal, stries glaciaires N190.			
2P90	70-100	<p>Une falaise haute de 25 m comportant:</p> <ul style="list-style-type: none"> - à la base, un faciès rose limoniteux, au débit de 1 à 5 décimètres (hauteur totale: 7.8 m); - au-dessus (17 m), un ensemble plus massif (bancs atteignant 2 à 3 m), de couleur verte.  <p>Le faciès de base est un microconglomérat arkosique.</p> <p>Au sein du faciès vert, une progression se dégage:</p> <ul style="list-style-type: none"> - à la base, un grès vert clair, alternance très fine (jusqu'au millimètre) de niveaux feldspathiques vert 	<p>17 m</p> <p>8 m</p>	<p>conglomérats 8 m microconglomérats, 5 m grès, 4 m.</p>	<p>faciès vert</p> <p>faciès ocre</p>

Statistiques 2C46

STATION	RA SPP2	DESCRIPTION	FORMATION	ECHAN- TILLON	ANALYSE
		<p>clair-gris, à passées microconglomératiques sporadiques et de niveaux quartzitiques recristallisés, blancs. So: N30,8E.</p> <p>- Au-dessus, des microconglomérats feldspathiques verts, légèrement limoniteux à la base.</p> <p>- Puis, 3 bancs métriques de conglomérats feldspathiques verts (à feldspaths roses).</p> <p>Un des bancs présente une altération marquée des feldspaths: dissolution et création de cavités.</p> <p>- Enfin (2 m), un conglomérat feldspathique à galets de quartz (8 mm à 8 cm) subarrondis jointifs (quasi pas de matrice): orthoconglomérat, présentant localement de fines passées arkosiques gréseuses, très vertes.</p>			
2P91	60	Grès subarkosique, grain moyen, subhorizontal, puissance 2 m.			
2P92	100- 150	<p>Orthoquartzites panachés (rubanement vert-lie-de-vin) So: N20,19E (surface très gauchie), fréquemment traversés de quartz blanc en fins réseaux N45-N40-N60.</p>  <p>Diaclases N95 N75 (forte densité:14 au m)</p>			

Statistiques 2C46

STATION	RA SPP2	DESCRIPTION	FORMATION	ECHAN- TILLON	ANALYSE	
2P93	65	Microconglomérat subarkosique rose. So: N70, 45S N70, 20S. Stries N165, du sud au nord.				
2P94	60	Conglomérat arkosique rose en posi- tion anticlinale (pli N20).				
2P95	70	Contact microconglomérat rose sub- arkosique (20% feldspaths), avec un grès panaché schistosé subarkosique, non pas laminé mais en amandes (ver- tes pour un grain grossier à moyen, dans une matrice rose lie-de-vin. So: N20, 3E.				
						
2P96	70	Microconglomérat subarkosique vert, limoniteux localement. Granulomé- trie: 2-5 mm. So: N33, 14E.				
2P97	60-100	Plissement N70 dans un microconglo- mérat subarkosique vert.				

PROJET: MONTS OTISH

Claude Marcotte
Yolande BissonFICHE D'AFFLEUREMENT

DATE: 1er juillet 1980

LOCALISATION: G-Sud
5,762,000 m.N. à 5,761,000

STATISTIQUE: 2C-47

KM DE COUPE: 5,06 km.

KM RADIOMETRE: 5,06 km.

STATION	RA SPP2	DESCRIPTION	FORMATION	ECHAN- TILLON	ANALYSE
2M98	65 cps	Blocs de grès feldspathique blanc, à grains moyens, sub-arrondis (peut-être à la limite de l'orthoquartzite). Traces de grains de quartz rougeâtre, hématisés. Feldspaths interstitiels ou très kaolinisés.	Indicateur		
2M99	80 cps	Blocs de sub-arkoses verdâtres à cailloux de quartz flottants (taille 2 à 3 cm. sub-arrondis). Feldspaths recristallisés de 2 à 3 cm. de taille, très frais par endroit. Fraction arénitique sub-arkosique avec feldspaths interstitiels. Grains de quartz grossiers sub-arrondis.	Indicateur		
2M100	55 à	Blocs de grès feldspathique, rosés, à bandes rougeâtres. Nombreux points d'hématisation et altération rouille des feldspaths. Grains de taille moyenne (\approx 1 mm.) avec passées de grains grossiers sub-arrondis.	Indicateur		
2M101	50 cps	Blocs de grès feldspathique grossiers à grains de quartz hématisés (5%). Certains blocs sont à classer dans les sub-arkoses avec des recristallisations de feldspaths de la taille des rudites.	Indicateur		
2M102	50 cps	Blocs - IDEM à 2M101 - Sub-arkoses.	Indicateur		

Statistiques

STATION	RA SPP2	DESCRIPTION	FORMATION	ECHAN- TILLON	ANALYSE
2M103	70 cps	Blocs de grès feldspathique à passées microconglomératiques.	Indicateur		
2M104	80 cps	Blocs de grès feldspathique, roses, à lits rouge lie-de-vin. plus pélitiques, formant des bandes plus ou moins continues, d'épaisseur centimétrique.	Indicateur		

FICHE D'AFFLEUREMENT

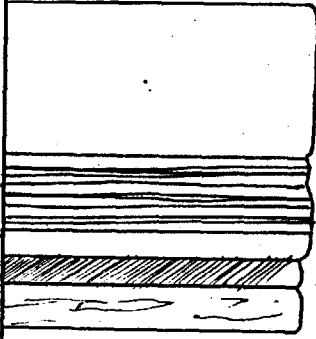
DATE: 1/7/80

LOCALISATION: Q64364

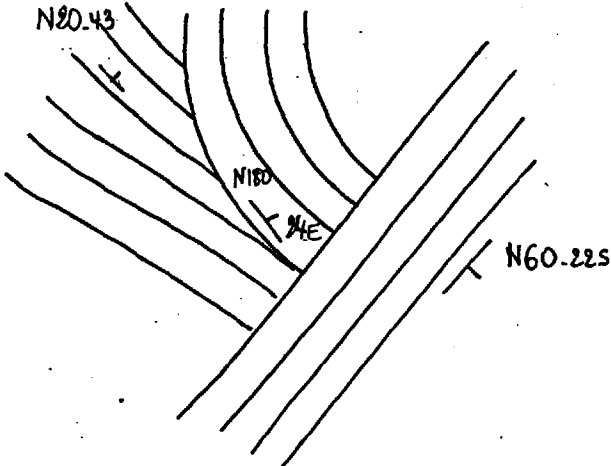
STATISTIQUE: 2C48

KM DE COUPE:

KM RADIOMETRE:

STATION	RA SPP2	DESCRIPTION	FORMATION	ECHAN- TILLON	ANALYSE
2P98	85 50	Lentilles de grès arkosique (6 m) vert, à galets flottants, dans un microconglomérat rose subarkosique. So: N60.			
2P99	50	Microconglomérat subarkosique à gros cristaux de feldspath rose (cm).			
2P100	50	Grès feldspathique à grain moyen, rose très pâle. Pli N60.			
2P101	35-40	<p>- Un mètre d'orthoquartzite rose, grain moyen à grossier homogène, massif à sphérules (8 mm) violettes: cristaux arrondis, cavité de dissolution (faciès poreux). S₁: N40, 25E.</p> <p>- Orthoquartzites laminés, grain fin à moyen. Alternance de lames blanches et rose-lie-de-vin. So: N10 à 20, 22 à 24E.</p>  <p>50 cm à fantôme rose clair</p> <p>15 cm</p> <p>7 cm blanc</p> <p>7 cm massif, rose</p> <p>10 cm blanc à filets roses</p>			
2P102	85	Orthoquartzite massif blanc, à petits sphérules (pois) rose clair. 3 à 4% de feldspaths totalement altérés en argile ocre à blanche, grain grossier.			

Statistiques 2C48

STATION	RA SPP2	DESCRIPTION	FORMATION	ECHAN- TILLON	ANALYSE
2P103	35	Banc massif métrique d'orthoquartzite rose-rouge, grain grossier, avec très peu de feldspaths. - Un niveau de galets de quartz blanc. - Une interface feldspathique verte, à grain moyen (quelques centimètres). So: N40, 26E.			
2P104	20-25	Orthoquartzite blanc laiteux-rose, à stratification entrecroisée, d'ordre centimétrique. Recristallisation nette donnant un aspect massif.			
2P105	50-60	1.50 m d'orthoquartzite laminé rose, à lits de grès subarkosique, grain moyen vert clair. Lamination fine présentant des phénomènes secondaires d'hématisation. 1.50 m d'orthoquartzite massif, rose clair, grain moyen, avec presque 5% de feldspaths à grain fin. Présence de granules d'argilite lie-de-vin. So: N15, 23E.			
2P106	35	Orthoquartzite rose laminé, grain moyen à fin (puissance 2.50 m), appartenant à une lentille à stratifications obliques. So: N148, 38NE.			
2P107	35	Lentille présentant des stratifications obliques plurimétriques. 			

Statistiques 2C48

STATION	RA SPP2	DESCRIPTION	FORMATION	ECHAN- TILLON	ANALYSE
2P108	25	Au-dessus de la lentille à stratifications obliques, selon un So N140: orthoquartzites laminés roses et blanc, à grain grossier plus ou moins arrondi.			
2P109	35-40	Orthoquartzite blanc translucide, grain moyen. Aucune couleur. Très peu d'impuretés. So: N10,14E. Puis, graduellement vers le sommet, lamination avec niveaux verts, stratifications entrecroisées.			
2P110	35	Orthoquartzite rose-rouge laminé, avec de très petits lits blancs, grain moyen, puissance: 60 cm. Puis, orthoquartzite blanc, laminé, avec de vagues passées roses, d'autres verdâtres. So: N155,10.			
2P111	35	Orthoquartzite laminé rose-lie-de-vin, grain moyen, présentant un niveau d'argillite lie-de-vin. ϕ 8 cm. So: N30,12E, S1: N40,50E.			
2P112	30	Orthoquartzite blanc orre, légèrement rubané, au grain moyen arrondi.			
2P113	20	Orthoquartzite rose, grain moyen laminé à passées lie-de-vin et fins lits au grain grossier gris foncé.			
2P114	30	Orthoquartzite blanc, grain moyen à fin, à petites taches roses.			
2P115	55-60	Microconglomérat arkosique à 25% de feldspaths, grain 1 à 8 mm. Feldspaths blancs, altérés. So: N170,23E.			

PROJET: MONTS OTISH

F. Perron
R. St-Jean

FICHE D'AFFLEUREMENT

DATE: 1er juillet 1980

LOCALISATION: "G" Sud

STATISTIQUE: Coupe 49

KM DE COUPE: 5,9 km

KM RADIOMETRE:

STATION	RA SPP2	DESCRIPTION	FORMATION	ECHAN- TILLON	ANALYSE
2J-100	55	Bloc anguleux, grès feldspathique blanc verdâtre, granulométrie moyenne. ≈ 10% de feldspaths recristallisés.	Indicateur		
2J-101	50	Bloc 4 m ³ ; arénite sub-arkosique rose à laminations d'hématite rouge. Granulométrie moyenne; tri moyen à mauvais. 20% de feldspaths partiellement recristallisés.	Indicateur		
2J-102	60- 65	Bloc anguleux 4.5 m ³ ; grès feldspathique rouge; environ 15% de feldspaths; belles laminations rouge violacé dans la fraction à granulométrie fine. La fraction grossière est de couleur blanc verdâtre.	Indicateur		
2J-103	75- 100	Gros bloc sub-affleurant? 7 à 8 m ³ de grès feldspathique gris. Environ 15% de feldspaths altérés, plus ou moins recristallisés. Tri moyen; sub-arrondi à sub-anguleux; passées microconglomératiques.	Indicateur		

Statistiques

STATION	RA SPP2	DESCRIPTION	FORMATION	ECHAN- TILLON	ANALYSE
2J-104	55	Gros blocs ± anguleux; sub-arkose blanche, légèrement rosée par endroit. Environ 15-20% de feldspaths dans la matrice (plus ou moins recristalli- sés). Granulométrie moyenne; tri moyen.	Indicateur		
2J-105	55-60	Gros bloc sub-en-place de grès felds- pathique blanc; - tri bon - sub-arrondi Environ 10 à 15% de feldspaths re- cristallisés.	Indicateur		
2J-106	45	Petit affleurement (mal exposé) 2 x 3 m. Arkose gris vert. Environ 25% de feldspaths (plus ou moins recristallisés). Granulométrie grossière; tri moyen. N ??	Indicateur		
2J-107	75- 250 max.	Petit affleurement 1 x 3 m. Arkose gris verdâtre. Environ 25% de feldspaths (partielle- ment recristallisés). Granulométrie moyenne à grossière; tri mauvais. Conglomératique à cailloux de quartz (sub-anguleux).	Indicateur		

Statistiques

STATION	RA SPP2	DESCRIPTION	FORMATION	ECHAN- TILLON	ANALYSE
2J-108	75-100	Bloc anguleux, 5 m ³ ; grès feldspathique gris (réduit). Environ 15% de feldspaths en matrice; - tri moyen à mauvais; - sub-anguleux; - microconglomératique à granules de quartz.	Indicateur		
2J-109	60	Sub-affleurement ou affleurement ? Grès feldspathique gris. Environ 15% de feldspaths recristallisés. - tri très mauvais; - sub-arrondi à sub-anguleux; - microconglomératique à conglomératique à cailloux de quartz.	Indicateur		

PROJET: MONTS OTISH

R. St-Jean
F. Perron

FICHE D'AFFLEUREMENT

DATE: 2 juillet 1980

LOCALISATION: "G" Sud - Photos Q-64372 200, 201, 202

STATISTIQUE: Coupe 2C-50

KM DE COUPE: 3,7 km

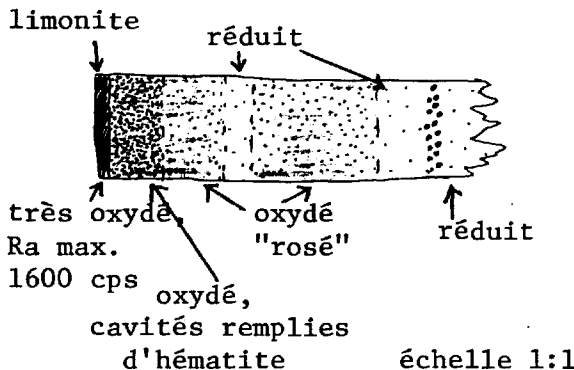
KM RADIOMETRE:

STATION	RA SPP2	DESCRIPTION	FORMATION	ECHAN- TILLON	ANALYSE
2J-110	50	Bloc plus ou moins anguleux; arénite sub-arkosique blanche. 20-25% de feldspaths plus ou moins recristallisés.	Indicateur		
2J-111	55	Blocs plus ou moins anguleux; grès feldspathique rosé. Environ 10-15% de feldspaths recristallisés. Rubanement d'hématite rouge; passées silteuses rouges; conglomérat à cailloux de quartz.	Indicateur		
2J-112	60	Gros blocs sub-affleurants ? 8-9 m ³ ; arénite sub-arkosique rosée, à taches ocre. 15 à 20% de feldspaths recristallisés. Granulométrie moyenne; tri: bon à moyen.	Indicateur		
2J-113	60 à 100	Gros blocs sub-affleurants, 5 m ³ ; arénite sub-arkosique blanc rosé. Environ 15 à 20% de feldspaths plus ou moins recristallisés. Conglomératique à cailloux de quartz et feldspaths. Tri très mauvais; sub-arrondis à sub-anguleux.	Indicateur	2J-113a	

Statistiques

STATION	RA SPP2	DESCRIPTION	FORMATION	ECHAN- TILLON	ANALYSE
2J-114	55	Gros bloc plus ou moins anguleux; arénite sub-arkosique blanche à ru- banement d'hématite. Environ 20% de feldspaths plus ou moins recristallisés. Granulométrie grossière; sub-arron- dis. Conglomératique à cailloux de quartz sub-arrondis; gros fragments de felds- paths.	Indicateur		
2J-115	75 max. 450	Gros bloc 5-6 m ³ . ≈ IDEM station 2J-114.	Indicateur		
2J-116	55-60	Gros bloc anguleux 10-15 m ³ ; grès feldspathique blanc; environ 10% de feldspaths recristallisés. Granulométrie grossière; Tri mauvais; Sub-arrondis. Conglomératique à cailloux de quartz (jusqu'à 2.5 cm).	Indicateur	2J-116a	
2J-117 (2A-30)	90 <u>1600</u> max.	Bloc sub-arrondi ≈ 2 m ³ ; arénite sub- arkosique. > 15% de feldspaths. Granulométrie moyenne à passées mil- limétriques de grès grossier. Tri: moyen à mauvais. Sub-arrondi à sub-anguleux.	Indicateur	2J-117a	

Statistiques

STATION	RA SPP2	DESCRIPTION	FORMATION	ECHAN- TILLON	ANALYSE
2J-117 suite		<p>Grès réduit devenant oxydé près de la fracture où on observe la R.A. maximale.</p>  <p>échelle 1:1</p>	Indicateur	2J-117a	
2J-118	55 à 300	<p>Bloc plus ou moins arrondi; arénite, arkose grise. 25% de feldspaths plus ou moins recristallisés. Granulométrie grossière; Tri très mauvais.</p> <p>Conglomératique à cailloux de quartz de 3 cm de diamètre.</p> <p>R.A. maximale sur taches ocre et autour des cailloux.</p>	Indicateur		
2J-119	60-35	<p>Bloc 3 m³; arénite, sub-arkose gris vert. Environ 15% de feldspaths partiellement recristallisés.</p> <p>Granulométrie moyenne à grossière; Tri mauvais.</p> <p>R.A. maximale sur zone très schistosée et très broyée; gros feldspaths recristallisés.</p>	Indicateur		

Statistiques

STATION	RA SPP2	DESCRIPTION	FORMATION	ECHAN- TILLON	ANALYSE
2J-120	50-70	Gros bloc 4 m ³ sub-anguleux; arénite de grès feldspathique gris. Environ 5 à 10% de feldspaths. Granulométrie moyenne. Passées de 1 à 4 cm d'argilite rouge à jaune montrant de belles cassures de dessiccations. L'argilite est très schistosée.	Indicateur	2J-120a	
2J-121 (2A-31)	50 à 1500	Gros bloc ≈ 5 m ³ d'arénite, d'arkose verte. Environ 25% de feldspaths. Granulométrie moyenne à grossière. La R.A. est maximale sur un point dans une zone très broyée, mylonitisée. - présence de séricite.	Indicateur	2J-121a	
2J-122 (2A-14)	1250	Bloc sub-affleurant IDEM 2J-18	Indicateur		
2J-123 (2A-14)	1100	Bloc sub-affleurant IDEM 2J-18			
2J-124 (2A-14)	85	Bloc sub-affleurant IDEM 2J-18 (voir croquis de localisation avec les minutes de terrain de la coupe numéro 14)		2J-124a b c	
2J-125 (2A-23)	9500	Bloc sub-en-place; composition pétrographique; ≈ identique à la station 2J-39. R.A. maximale sur tache oxydée.	Indicateur		

Statistiques

STATION	RA SPP2	DESCRIPTION	FORMATION	ECHAN- TILLON	ANALYSE
2J-126 (2A-23)	>5000	Bloc sub-en-place; composition pétro- graphique; ≈ identique à la station 2J-39. R.A. maximale dans l'eau.	Indicateur		

PROJET: MONTS OTISH
 Claude Marcotte
 Yolande Bisson

FICHE D'AFFLEUREMENT

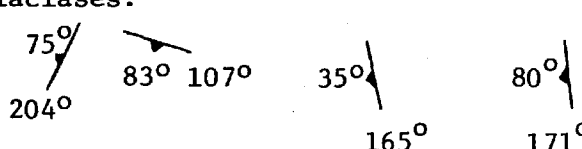
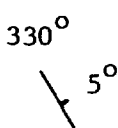
DATE: 2 juillet 1980

LOCALISATION: G-Sud

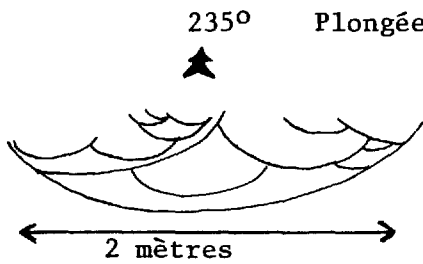
STATISTIQUE: 2C-51

KM DE COUPE: 3,255 km.

KM RADIOMETRE: 3,255 km.

STATION	RA SPP2	DESCRIPTION	FORMATION	ECHAN- TILLON	ANALYSE
2M105	75 cps	Blocs de grès feldspathiques grossiers à passées microconglomératiques et cailloux de quartz flottants (- de 5%). Traces de grains grossiers de quartz rosé (1 à 2%). Grains sub-arrondis. Feldspaths interstitiels (1 mm.).	Indicateur		
2M106	60 cps	Blocs de grès feldspathique, presque sub-arkosique, avec feldspaths recristallisés de 1 cm. de largeur, très frais.	Indicateur		
2M107	75 cps plus points 110 cps	Affleurement grès feldspathiques grossiers à cailloux de quartz flottants (5 à 10%). Grains sub-arrondis (quartz). Feldspaths recristallisés, très frais, de 0,5 à 1,5 cm. Quelques passées microconglomératiques. Diaclases:  Stratification prise sur lit conglomératique. 	Indicateur		

Statistiques

STATION	RA SPP2	DESCRIPTION	FORMATION	ECHAN- TILLON	ANALYSE
2M108	80 cps	<p>Grès feldspathique à grains moyens, granulométrie plus homogène que celle des affleurements précédents. Cailloux de quartz flottants (- de 5%).</p> <p>Chenaux sédimentaires entrecroisés</p> <p style="text-align: center;">235° Plongée 40°</p>  <p>Stratification prise sur lit conglomératique.</p> <p style="text-align: center;">350°</p> <p style="text-align: center;"> 18°</p>	Indicateur		

PROJET: MONTS OTISH

FICHE D'AFFLEUREMENT

DATE: 2/7/80

LOCALISATION: "G" nord

STATISTIQUE: 2C#52

KM DE COUPE: 3.4

KM RADIOMETRE: 6.8

STATION	RA SPP2	DESCRIPTION	FORMATION	ECHAN-TILLON	ANALYSE
2V97	55-75	1.5 m. thick outcrop of pinkish beige coarse grained orthoquartzite (microconglomeratic) with a feldspathic or kaoline cement that grades laterally north to very coarse grained subarkose and feldspathic sandstone microconglomerate (of the same composition). There are abundant floating quartz pebbles and cobbles as well as some arkose pebbles. Beds are 0.5 to 1 m. thick and microconglomerate beds are 18-20 cm. thick. Maximum cobble size is 18 cm. The lateral variation occurs over a distance of 6-10 m.	Indicateur ↘ 160,5 ↘ 310,85 ↘ 220,90 ↘ 124,46		
2V98	50	Mature, laminated pink and white medium grained orthoquartzite. 3% hematite stained feldspar grains. Pink layers tend to be slightly finer grained with approx.10% matrix, as compared to 5% in the white bands. Cement is silica. Cross-bedded lenses 30 cm. high by approx.2.5 m. long.	Indicateur ↘ 177,6 approx. ↘ 340 ↘ 340,90 ↘ 250,70		
2V99	40-50	Laminated, cross-bedded, medium grained ping and green orthoquartzite. The orthoquartzite is idem 2V100 but with a few finer layers. There is some irregular blebs of secondary mauve hematite staining, which sometimes appears to be derived from silty horizons.	Indicateur ↘ 137,9 ↘ 190 to 270 av.220 ↘ 220,90 ↘ 083,62 ↘ 100,80		
2V100	45	Pink, fine to medium grained, saccharoidal orthoquartzite with spots of secondary hematite stains. The rock is massive (might be the equivalent of the tabular cross-bedded orthoquartzite on the hill "G" Nord.	Indicateur ↘ 338,48		

Statistiques 2C#52

STATION	RA SPP2	DESCRIPTION	FORMATION	ECHAN- TILLON	ANALYSE
2V101	30	Pink-white, medium grained orthoquartzite with a few mauve hematitic spots. The rock is impermeable with all the grains well saturated.	Indicateur / 130,90 / 020,80		
2V102	25	Laminated red, green, white and sometimes mauve fine (red) and medium grained orthoquartzite. Cross-bedding and cross-ripple laminations are present. The cement in all layers is kaoline and feldspar (sometimes sericitized). The red bands are finer grained with some silt while the white bands have very little matrix. There are mauve layers which are argillaceous. Outcrop is 4 m. thick.	Indicateur / 150,18 / 086,52		
2V103	25	Idem 2V102.	Indicateur		
2V104	30	Idem 2V103.	Indicateur		
2V105	35	5 m. thick massive pink-white, medium grained orthoquartzite with silica cement grading to feldspathic cement at the top. The rock is very mature.	Indicateur ψ 189 Quartz stringer 198,47 / 180,80		
2V106	35	Massive Fm. Thick beds (totalling 8 m.) of laminated pink and white medium grained orthoquartzite underlays 2V107. There are secondary white reduction spots present. The cement is kaoline.	/ 190,90 / 200,70 / 320,90 / 344,45		
2V107	35	Idem 2V108 (suboutcrop)	Indicateur		

Statistiques

2C#52

STATION	RA SPP2	DESCRIPTION	FORMATION	ECHAN- TILLON	ANALYSE
2V108	35-40	* Idem 2V107. Fine to medium grained with a kaoline cement. The rock is more foliated than at 2V108 but there are reduction spots as well. A few fine quartz stringers are present to the east of the outcrop. 5 m. thick exposure.	Indicateur 140,70 050,60 quartz stringers 198,83		
2V109	60	Feldspathic, beige microconglomeratic very coarse grained sandstone (similar to 2V99). A few quartz pebbles are present.	Indicateur		
2V110	35	Massive white-pink, medium grained orthoquartzite.	Indicateur 160,70		
2V111	35	Idem 2V110.	Indicateur		
2V112	35	Idem 2V111.	Indicateur		
2V113	35	Idem 2V112. 5 m. thickness exposed. Laminated pink, white and mauve (more silty bands).	Indicateur		
2V114	35-50	Massive (3 m. thick) pink-white, medium grained orthoquartzite with silica cement. There are abundant dark red secondary hematitic spots (av. 1 cm. across).	Indicateur 215,57 040,66 310,70		
2V115	35	Fine to medium grained, very finely laminated pink orthoquartzite. Laminations are millimetric. The cement is silica. 100% quartz. It is a very mature sediment.	Indicateur		

PROJET: MONTS OTISH

FICHE D'AFFLEUREMENT

DATE: 2/7/80

LOCALISATION: "G" nord, Q64364

STATISTIQUE: 2C53

KM DE COUPE:

KM RADIOMETRE:

STATION	RA SPP2	DESCRIPTION	FORMATION	ECHAN- TILLON	ANALYSE
2P116	60	Grès vert clair à fines laminations rosées quartzitiques. Puissance 5 m.			
2P117	100	- Lit décimétrique de grès arkosique vert, grain moyen. - Orthoquartzite rose laminé, grain grossier translucide. ϕ 2 m. - Orthoquartzite blanc laiteux à passées floues roses, puissance 4 m, avec, en tête, une lentille à stratifications obliques.			
2P118	70	Contact quartzites roses laminés à passées microconglomératiques (puissance 4 m) et microconglomérat subarkosique à 20% de feldspaths roses ou altérés. Couleur beige. Granulométrie 2-5 mm.			
2P119	80	Microconglomérat vert, localement ocreux, avec, à la base, un conglomérat (10 cm) à galets subarrondis (2-8 cm), à matrice de grès très grossier, vert (2 mm).			
2P120	80	Grès très grossier subarkosique vert (4 m).			
2P121	50-60	Microconglomérat subarkosique vert à feldspaths altérés.			
2P122	60	Microconglomérat feldspathique blanc ocre.			
2P123	50-60	Orthoquartzite rose à passées sombres lie-de-vin.			

Statistiques 2C53

STATION	RA SPP2	DESCRIPTION	FORMATION	ECHAN- TILLON	ANALYSE
2P124	70-75	Orthoquartzite rose laminé au grain-grossier, avec localement, plus ou moins parallèlement à la stratification, des phénomènes d'hématisation. Puissance 7-8 m. So: N20,11E. Diaclasage: N148 subvertical N 56,30W.			
2P125	50	Microconglomérat ocre-rose arkosique, à granules rouge-lie-de-vin (argilite?).			
2P126	50	Contact quartzite sur microconglomérat gris-rose à laminations fantômes, grain moyen.			
2P127	60	Grès grossier feldspathique (10% feldspaths), grain 1-2 mm. Fines laminations roses.			
2P128	40	Grès blanc à "pois roses": Grès feldspathique au grain grossier caverneux à dissolution des feldspaths. Puissance 2.50 m.			
2P129	40	Grès feldspathique rose laminé (lits verts). Puissance 2 m, débit stratigraphique 5-10 cm. So: N80,10E.			
	45	Au-dessus, orthoquartzite rose homogène N120,42N à stratifications obliques sur précédentes (stries N15), grain moyen arrondi recristallisé. Puissance 3 m.			
2P130	45	Orthoquartzite grain fin, lie-de-vin, massif, passant insensiblement à des stratifications obliques à quartzite lie-de-vin grossièrement laminé. So: N140,32N.			

Statistiques 2053

STATION	RA SPP2	DESCRIPTION	FORMATION	ECHAN- TILLON	ANALYSE
2P131	40	Fin du faciès précédent surmonté par un orthoquartzite blanc à grain moyen, à laminations de grès feldspathiques verts, grain grossier. Des taches (diamètre supérieur à 2 cm) hématisées.			
2P132	40	Orthoquartzite rubané rose ocre, très finement laminé, à petits lits verts (centimétriques).			
2P133	35	Orthoquartzite rose laminé (laminage centimétrique), grain moyen. So: N20, 15E. Présentant des phénomènes d'hématisation secondaire plus ou moins parallèlement à la stratigraphie.			
2P134	50	Microconglomérat rose arkosique à taches rouges. Grain 2-5 mm.			
2P135	50	Microconglomérat rose arkosique à: passées de grès feldspathique, conglomérats arkosiques.			
2P136	50-60	Grès subarkosique rose à lits limoniteux, grain très grossier (1-2 mm), petites taches roses hématisées.			
2P137	50-100	Microconglomérat rose, arkosique à galets roses. Sur un niveau plus gréseux et vert clair, des anomalies liées à des diaclases: N78, 500 c/s N140, 250 c/s.			

FICHE D'AFFLEUREMENT

P. Caumartin
S. Genest

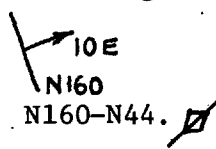


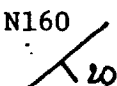
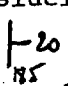
DATE: 4.07.80

LOCALISATION: "G" sud


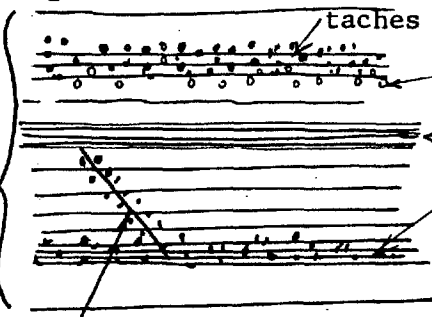
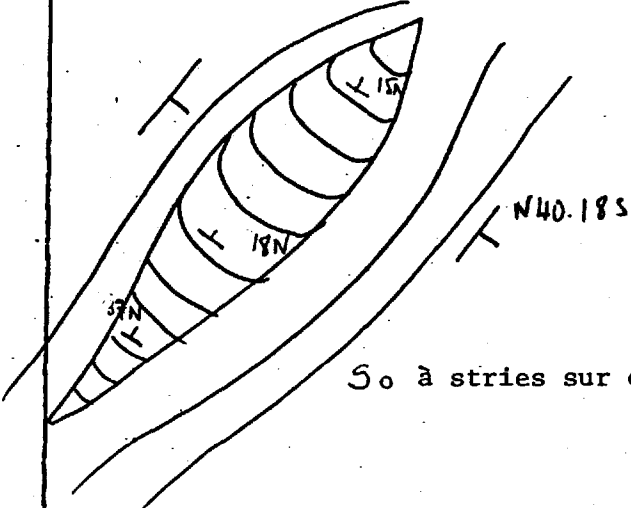
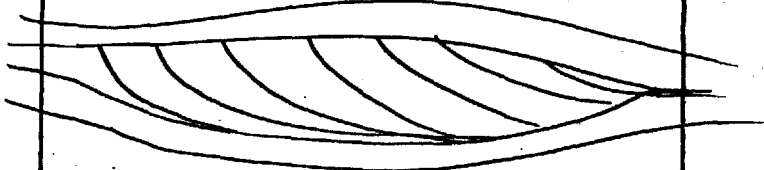
STATISTIQUE: Coupe 2C54

KM DE COUPE: 3

KM RADIOMETRE: 3

STATION	RA SPP2	DESCRIPTION	FORMATION	ECHAN- TILLON	ANALYSE
2P138	45	<p>Microconglomérat feldspathique rose à granules rouges hématisés (calcédoine?). So: </p> <p>Fracture postérieure cisailante N20. Schistosité S₁: N70,30E. Pli (amplitude 0.5 m, longueur d'onde 7 m). N28, plongement 5N.</p> <p>N183 stries glaciaires: </p>			
2P139	40	<p>Banc hémimétrique de grès feldspathique grossier, rose-lie-de-vin, à galets flottants de quartz. So:</p> <p>Diaclases parfaites N145 </p>			
2P140	40	<p>Grès feldspathique rose-lie-de-vin laminé à passées lie-de-vin foncé, grain moyen. So: N160 </p> <p>Diaclasage parfait: N45 (1 à 2/m) N140</p>			
2P141	30	<p>Quartzite rose à grain moyen translucide et recristallisé. So: N185,20E </p> <p>présentant des niveaux décimétriques de grès feldspathique schistosé en position de dépression.</p> <p>Morphologie en cuesta:</p>			

Statistiques Coupe 2C54

STATION	RA SPP2	DESCRIPTION	FORMATION	ECHAN- TILLON	ANALYSE
2P142	25.	<p>- barre d'orthoquartzite - dépression de grès feldspathiques.</p> <p>S₁ à veinules de quartz blanc.</p> <p>N70. </p> <p>Quartzite laminé blanc, à "pois roses". Grain moyen, recristallisé selon une mégaride.</p>  <p>fracture intraformationnelle N156</p> <p>Dimension du faciès à stratification oblique: 100 m long x 30 m large.</p>  <p>En coupe</p> 			

Statistiques

2054

STATION	RA SPP2	DESCRIPTION	FORMATION	ECHAN- TILLON	ANALYSE
2P143	45	Orthoquartzite beige à grain fin. Puissance 0.60 m, massif. So: N15,21E. S ₁ (quartz blanc): N40-49E.			
2P144	60	Grès feldspathique rose, massif.			
2P145	50	Grès feldspathique rose. So: N160, formant un pli N90! plongement 10SE. (Flanc NE à stries N160 (quartz blanc) N60 (Flanc SE à disclases N134.			
2P146	60	Microconglomérat feldspathique rose, à passées de microconglomérat subarkosique. So: N160 S ₁ : N90 (quartz blanc). Stries glaciaires N30 et N180 Escarpement N100 → faille. Pas de stries mais le pli N90 (2P145) peut y trouver son origine.			
2P147	45	Microconglomérat subarkosique rose, à galets roses et esquilles d'argilite à la faveur d'un niveau conglomératique de quelques centimètres. Taches rouges d'agrégats hématisés. So: N190 -36E avec des stries de quartz blanc N120. Galets de grès centimétriques.			
2P148	50	Grès feldspathique à grain moyen, rose.			
2P149	50	Microconglomérat rose à granules roses. Ondulations N35.			
2P150	50	Conglomérat arkosique! Puissance: 3 m. Galets de quartz gris: 5-30 cm! galets rouges. Couleur de fond vert limoniteux mais oxydation secondaire (hématisation). So: N180,3E -3E			

Statistiques 2C54

STATION	RA SPP2	DESCRIPTION	FORMATION	ECHAN- TILLON	ANALYSE
	35	Au-dessus: orthoquartzites roses, translucides, à grain moyen, formant un banc de 3 m à stratifications obliques: mégaride. So: N136,29N (Interface quartzite-conglomérat <u>laminée tectoniquement</u> - feuillets - à stries N150 du nord au sud)			
	70	Au-dessous: orthoquartzite laminé, alternativement rose et vert. So: N180. A la faveur d'un lit verdâtre: MP de 70 c/s.			
2P151	25	Mégaride. Au-dessus: quartzite rose-lie-de-vin laminé. Rides: quartzite rose vif (rougeâtre), grain fin recristallisé, à débit 5-15 cm. So: N115,43N			
2P152	50	Microconglomérat rose arkosique, présentant un niveau conglomératique à galets (3-8 cm).			
2P153	35	Contact microconglomérat subarkosique avec un grès feldspathique panaché rose-lie-de-vin et vert.			
2P154	50-60	Microconglomérat subarkosique à feldspaths roses surmonté par un grès blanc subarkosique.			
2P155	50	Microconglomérat arkosique vert surmontant un orthoquartzite (± feldspathique) blanc verdâtre à rosâtre. So: N176,20E.			

Statistiques 2C54

STATION	RA SPP2	DESCRIPTION	FORMATION	ECHAN- TILLON	ANALYSE
2P156	60	Conglomérat vert clair subarkosique, sous-jacent à un microconglomérat arkosique vert à feldspaths ocre, puissance 5 m.			
2P157	50	Grès vert subarkosique, grain moyen, puissance 4 m, avec intercalations de grès feldspathique blanc.			

PROJET: MONTS OTISH

FICHE D'AFFLEUREMENT

DATE: 4/7/80

LOCALISATION: "G" Nord

STATISTIQUE: 2C#55


KM DE COUPE: 1.68

KM RADIOMETRE: 3.36

STATION	RA SPP2	DESCRIPTION	FORMATION	ECHAN- TILLON	ANALYSE
2V116	35	Pink to beige microconglomeratic feldspathic sandstone. Approx. 20% feldspathic matrix. Grains are moderately well rounded and coarse to very coarse in size.	Overburden (Indicateur)		
2V117	70- 100	A subarkosic polygenetic green ortho-microconglomerate. Grains are subangular to subrounded, there is approx. 7% matrix, approx. 3% polygenetic floating pebbles (<5 cm), some of which may be sedimentary red silty orthoquartzites. There are moderately large quartz vugs and euhedral quartz filling in 250,80 fractures. Many of the pebbles are angular, suggesting a rapid and violent mode of deposition.	Indicateur / 290,80 / 250,80 with quartz tension filling		
2V118	35-40	A foliated coarse grained feldspathic sandstone with: approx. 20% green sericitic matrix, approx. 10% salmon pink kaolinized feldspar grains, <1% floating quartz pebbles.	Indicateur / 082,56 / 304,85 / 191,84		
2V119	30	Medium grained, strongly fractured, almost sheared outcrop of gabbro with hematite staining in all fractures as well as quartz tension filling in the 289,57 fractures.	Gabbro d'Otish / + / 289,57 hem+Qtz filling		

Statistiques

2C#55

STATION	RA SPP2	DESCRIPTION	FORMATION	ECHAN- TILLON	ANALYSE
					
2V120	75	<p>The dyke has a maximum width of about 15 m. Strike of the dyke is probably 065°.</p> <p>On either side of the gabbro dyke there is sediment. 2V120 is a coarse to very coarse grained subarkose (15% white feldspar) with floating pebbles. The matrix (6%) is green but some of the feldspar grains are salmon coloured and kaolinized. The quartz grains are subrounded.</p>	<p>Indicateur</p> <p> $\begin{matrix} + \\ \swarrow \\ \searrow \end{matrix} \begin{matrix} 040,70 \\ 100,80 \\ 170,90 \\ 340,10 \end{matrix}$ </p>	2V120	
2V121	85-90	<p>It is a cobble arkosic green micro-conglomerate. Cobbles vary up to 20 cm. and are of well rounded quartz. There are also pebbles of graphic granite. There is 30% of pink-white kaolinized feldspars, 25% green sericitic matrix and 45% subrounded to subangular quartz grains.</p> <p>Outcrops 2V121 and 2V120 are separated by 3 m. but of sufficient difference to indicate that there may be a fault between the two.</p>	<p>Indicateur</p> <p> $\begin{matrix} \swarrow \\ \searrow \end{matrix} \begin{matrix} 336,90 \\ 254,60 \end{matrix}$ </p>		

Statistiques

2C#55

STATION	RA SPP2	DESCRIPTION	FORMATION	ECHAN- TILLON	ANALYSE
2V122	60	Coarse grained pink arkose. The feldspar (27%) grains are white and well kaolinized. There are irregular red, hematitic spots. The quartz grains are rounded to subrounded. There is <5% matrix. There are a few polygenetic floating pebbles. There is a very poorly developed schistosity.	Indicateur ↙ 058,77		
2V123	50-70	A 5 m. thick sequence which at the base is a cobbly arkosic microconglomerate idem 2V121 that grades up into a arkosic microconglomerate. The last 20 cm. as well as a few phases in the strata are medium grained white orthoquartzites.	Indicateur ↙ 262,12 ↙ 102,12 ↙ 064,66 ↙ 144,88		
2V124	45->50	A 8 m. thick sequence of arkosic greenish microconglomerate which is cross-bedded and approx. 6 m. thick and is overlain by approx. 1 m. of fine to medium grained feldspathic pink sandstone. This is in turn overlain by 1 m. of fine to medium grained poorly laminated pink (with a few green bands) of orthoquartzite which is mineralized for 2 m. (1 cm. thick) and has hematitic staining along the bedding which where unstained is green.	Indicateur ↙ 032,10 ↗ 240 ↙ 260,80 ↙ 218,80 ↙ 105,67		
2V125		2V124 is overlain by a heterogenic arkosic pink microconglomerate with polymictic floating pebbles. There are medium grained feldspathic sandstone and coarse grained subarkose facies present. The rock is very massive with >2 m. bedding.	Indicateur ↙ 090,64 ↗ 132		
2V126	55-70	Coarse grained microconglomeratic green arkose and green arkosic microconglomerate. Pebbles are polygenetic. Approx. 20% green sericitic matrix. Quartz grains are subrounded.	Indicateur ↙ 160,85 ↙ 200,61		

PROJET: MONTS OTISH

R. St-Jean
F. Perron

FICHE D'AFFLEUREMENT

DATE: 4 juillet 1980

LOCALISATION: "G" Sud

STATISTIQUE: Coupe 2C-56

KM DE COUPE: 5,2 km

KM RADIOMETRE:

STATION	RA SPP2	DESCRIPTION	FORMATION	ECHAN- TILLON	ANALYSE
2J-127	50	Bloc anguleux d'arénite sub-arkosique rose à laminations de siltite rouge lie-de-vin. Environ 15 à 20% de feldspaths orangés, interstitiels, altérés. Granulométrie moyenne. Microconglomératique à cailloux de quartz.	Indicateur		
2J-128	45	Gros bloc 5 à 7 m ³ anguleux, dans un champ de blocs. Arénite sub-arkosique légèrement rosée. Environ 20% de feldspaths (mielleux). Tri moyen. Granulométrie moyenne à grossière. Sub-arrondi à sub-anguleux.	Indicateur		
2J-129	55	Très gros bloc sub-en-place 15 à 20 m ³ . Arénite sub-arkosique ou grès feldspathique rosé. Environ 15% de feldspaths légèrement oxydés. Granulométrie moyenne. Tri bon à moyen. Arrondi.	Indicateur		
2J-130	75- 100	Très gros blocs sub-en-place, plus de 20 m ³ . Arénite, grès feldspathique blanc. Granulométrie moyenne. Tri moyen. Sub-arrondi.	Indicateur		

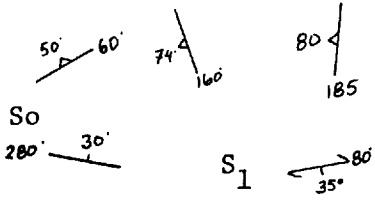
Statistiques

STATION	RA SPP2	DESCRIPTION	FORMATION	ECHAN- TILLON	ANALYSE
2J-130 suite		10 à 15% de feldspaths plus ou moins recristallisés, altérés. Microconglomératique à cailloux de quartz.			
2J-131	65	Gros bloc sub-anguleux; <u>sub-arkose</u> ou arkose beige. Environ 20 à 25% de feldspaths. Granulométrie moyenne à fine. Sub-arrondi à sub-anguleux. Tri moyen à bon. Microconglomératique à cailloux de quartz très arrondis. Laminations d'hématite rouge.	Indicateur	2J-131a	
2J-132	50-60	Gros bloc 4 à 5 m ³ sub-arrondi. <u>Orthoquartzite</u> et grès feldspathiques roses à lamination d'hématite; grains sub-arrondis. Tri: bon Granulométrie moyenne.	Indicateur		
2J-133	30	Gros blocs 3-4 m ³ ; <u>orthoquartzite rose</u> à rubanement centimétrique d'hématite rouge vermillon. Arénite très "propre", très bien triée. Très peu de feldspaths, grains sub-anguleux à sub-arrondis.	Indicateur	2J-133a	

Statistiques

STATION	RA SPP2	DESCRIPTION	FORMATION	ECHAN- TILLON	ANALYSE
2J-134	50- 55	Gros blocs sub-en-place 4 à 6 m ³ . Arénite sub-arkosique <u>verte</u> ; environ 15 à 20% de feldspaths altérés et non altérés. Granulométrie moyenne. Tri très mauvais. Conglomératique à cailloux de quartz, quartzite, siltite.	Indicateur		
2J-135	55	Dans le champ de blocs: blocs angu- leux de grès feldspathique <u>vert</u> ; en- viron 10% de feldspaths. Granulométrie moyenne à fine. Tri: bon Arrondi: bon Bandes de couleur verte plus accen- tuées.	Indicateur		
2J-136	90- 100 max. 400	Dans le champ de blocs: blocs assez anguleux 2-5 m ³ . Paraconglomérat "polymicte" <u>vert</u> à cailloux de quartz et feldspaths re- cristallisés. Matrice de grès grossier; gros felds- paths recristallisés; cailloux de 3-4 cm aplatis. R.A. maximale sur tache ocre.	Indicateur		
2J-137		Affleurement discontinu 15 x 15 m. Sub-arkose <u>verte</u> ; environ 15% de felds- paths. Tri très mauvais. Granulométrie grossière à moyenne. Conglomératique à cailloux de quartz. Feldspaths recristallisés. Taches ocre. Très schistosés.	Indicateur	2J-137a	

Statistiques

STATION	RA SPP2	DESCRIPTION	FORMATION	ECHAN- TILLON	ANALYSE
2J-137 suite		Cailloux aplatis d'après la schistosité. 			
2J-138	120- 300	Petit affleurement 3 x 2 m. Paraconglomérat oligomictite vert à cailloux de quartz \approx IDEM 2J-137, et de feldspaths; cailloux 3-4 cm. Les quartz sont sub-anguleux à sub-arrondis et les feldspaths sub-anguleux. Les feldspaths sont altérés, blancs. Matrice de sub-arkose à arkose; taches ocre, à granulométrie moyenne.	Indicateur	2J-138a	

PROJET: MONTS OTISH

Claude Marcotte
Yolande BissonFICHE D'AFFLEUREMENT

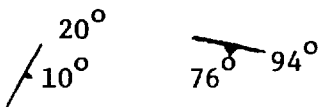
DATE: 4 juillet 1980

LOCALISATION: Orthophoto G-Sud

STATISTIQUE: 2C-57

KM DE COUPE: 3,1 km.

KM RADIOMETRE: 3,1 km.

STATION	RA SPP2	DESCRIPTION	FORMATION	ECHAN- TILLON	ANALYSE
2M109	55- 60 cps	Blocs de grès feldspathique grossier à pas- sées microconglomératiques et recristalli- sation de feldspaths blancs (taille 0,5 à 1 cm.). ± 5% de grains de quartz rosé. Traces de limonitisation des feldspaths par endroit.	Indicateur		
2M110	60- 65 cps 100 à 150 cps péli- tes	Blocs de sub-arkoses rosées en bandes péli- tiques rouges, lie-de-vin, décimétriques massifs, suivis de lits centimétriques ir- réguliers. Ces lits contiennent des grains de quarts non jointifs, sub-arrondis de 1,5 mm. en moyenne. Passées plus quartzitiques dans la frac- tion arénitique.	Indicateur		
2M111	70 cps	Affleurement - Sub-arkoses à lits péli- tiques rouges - IDEM à 2M110. 	Indicateur		
2M112	70 cps	Blocs sub-arkoses à lits pélitiques. IDEM à 2M110 - 2M111.	Indicateur		

Statistiques

STATION	RA SPP2	DESCRIPTION	FORMATION	ECHAN- TILLON	ANALYSE
2M113	60 cps	Affleurement - Grès feldspathique à bandes centimétriques d'hématisation espacées une de l'autre (1 à 2 mm.). Grains moyens sub-arrondis, granulométrie plus homogène que 2M110 à 112. Présence de grains de feldspaths rosés. 07° / 13°	Indicateur		
2M114	50 cps	Grès feldspathique à feldspaths recristallisés (0,5 à 1 cm.). Quelques cailloux de quartz flottants regroupés en agrégats (cailloux non jointifs représentent ± 5% de la roche). Traces de cailloux d'argilite rouge. Grains de quartz (arénites) sub-arrondis. 1 à 2% de grains de quartz rosé.	Indicateur		
2M115	RA max 1400 cps ponc- tuel 1000 à - 500 cps zone de bat- tements 125 cps normal bruit de fond	Blocs anomaux. Arkoses microconglomératiques à pas-sées conglomératiques. Cailloux de quartz sub-arrondis de 2 à 5 cm. Grains de quartz (arénites) sub-arrondis à anguleux, mauvais tri. Ciment ocre enrobe les grains dans la zone anormale.	Indicateur		

Statistiques

STATION	RA SPP2	DESCRIPTION	FORMATION	ECHAN- TILLON	ANALYSE
2M116	RA max 950 cps 500 cps zone de batte- ments 125 cps bruit de fond	Arkoses microconglomératiques. IDEM à 2M115. Dans la zone anormale, les grains sont plus fins et essentiellement aréni- tiques.	Indicateur		

PROJET: MONTS OTISH

F. Perron
R. St-Jean

FICHE D'AFFLEUREMENT

DATE: 5 juillet 1980

LOCALISATION: "G" Sud

STATISTIQUE: Coupe 2C-58

KM DE COUPE: 3,9 km

KM RADIOMETRE:

STATION	RA SPP2	DESCRIPTION	FORMATION	ECHAN- TILLON	ANALYSE
2J-139	55	Felsenmeer ou éboulis; arénite sub-arkosique blanche; environ 20% de feldspaths rouges; gros feldspaths recristallisés. Granulométrie moyenne.	Indicateur		
2J-140	55	Felsenmeer. Blocs anguleux environ 5 m ³ ; sub-arkose blanche; environ 20% de feldspaths. Granulométrie moyenne à grossière.	Indicateur		
2J-141	50	Champ de boulders; très gros blocs 8 à 10 m ³ ; arénite sub-arkosique oxydée; environ 15 à 20% de feldspaths plus ou moins recristallisés; rubanement d'hématite rouge; galets mous rouges.	Indicateur		
2J-142	60- 100	Gros blocs sub-affleurants; sub-arkose blanche; environ 15% de feldspaths. Granulométrie moyenne à grossière; taches ocre.	Indicateur		
2J-143	55	Gros blocs sub-affleurants, anguleux. Arkose blanche à rouge, oxydée. Environ 25% de feldspaths rouges et blancs recristallisés. Granulométrie moyenne.	Indicateur		

Statistiques

STATION	RA SPP2	DESCRIPTION	FORMATION	ECHAN- TILLON	ANALYSE
2J-143 suite		Conglomératique à cailloux de quartz.			
2J-144	50 max. 400	Sub-affleurement de blocs; sub-arkose blanche; environ 20% de feldspaths altérés. Granulométrie moyenne à grossière. Conglomératique à cailloux de quartz.	Indicateur		
2J-145	45-50	Champ de blocs anguleux, environ 5 m ³ . Grès feldspathique rose; environ 5% de feldspaths interstitiels altérés. Granulométrie moyenne. Tri: bon. Rubanement d'hématite rouge.	Indicateur		
2J-146		Champ de blocs anguleux 5 m ³ . ≈ IDEM 2J-145.	Indicateur		

PROJET: MONTS OTISH

Yolande Bisson
Claude MarcotteFICHE D'AFFLEUREMENT

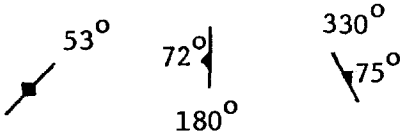
DATE: 5 juillet 1980

LOCALISATION: Orthophoto G-Sud

STATISTIQUE: 2C-59

KM DE COUPE: 4,5 km.

KM RADIOMETRE: 4,5 km.

STATION	RA SPP2	DESCRIPTION	FORMATION	ECHAN- TILLON	ANALYSE
2M117	Max. 950 cps Bat- te- ments 500- 600 cps Mouv. pro- pre 250 cps	Bloc anomal métrique. Sub-arkose grossière, avec remplissage ocre de fractures. Matériel plus fin et pulvérulent dans la zone active.	Indicateur		
2M118	100 cps	Affleurement d'arkose microconglomératique avec passées conglomératiques...cailloux de quartz arrondis à anguleux (40%) de 3 cm en moyenne. Feldspaths recristallisés (0,5 cm.) Diaclasses: 	Indicateur		
2M119	100 cps	Blocs de grès feldspathique blanc et rose avec quelques galets d'argilite. Feldspaths recristallisés. ± 1% de grains de quartz rosé. Grains sub-anguleux.	Indicateur		

Statistiques

STATION	RA SPP2	DESCRIPTION	FORMATION	ECHAN- TILLON	ANALYSE
2M120	45 cps	Quartzite rose et blanc à granulométrie homogène, grains moyens ($\pm 1,0$ mm.). Bandes rosées abondantes, centimétriques à décimétriques peu espacées.	Indicateur		
2M121	Max. 950 cps Battements 700 cps Mouv. propre 250- 300 cps	Bloc anomal métrique. Sub-arkose à passées conglomératiques. Altération ocre sur une des faces dans un matériel pulvérulent.	Indicateur		
2M122	Max. 2500 cps Battements 2000 cps Mouv. propre 300 cps	Bloc anomal. Arkose microconglomératique. Zone anormale située sur une face étendue 1 m. x 70 cm. se poursuit dans des plans de fracture.	Indicateur	2M-122	
2M123 2M124	1000 1500	Deux autres blocs à 20 m.E. et Om.N représentent 100,1500 cps. 1 à 90 m. E. 3,500 cps.			
2M125	3500	Les trois (3) sont des arkoses microconglomératiques.		2M-125	U/Th

PROJET: MONTS OTISH

P. Caumartin
S. Genest

FICHE D'AFFLEUREMENT


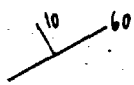


DATE: 5.7.80

LOCALISATION: "G" nord

STATISTIQUE: Coupe 2C61

KM DE GEOLOGIE: 1.7


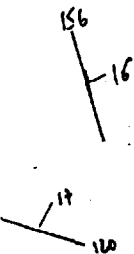
KM RADIOMETRE: 1.7

STATION	RA SPP2	DESCRIPTION	FORMATION	ECHAN- TILLON	ANALYSE
2P158	45	Microconglomérat subarkosique vert clair, grain 2.5 mm. Feldspaths blancs. Au-dessus, grès arkosique vert, grain grossier. Diaclasage parfait N175,70N. So: N111,7N			
2P159	40	Grès feldspathique blanc verdâtre, massif, grain moyen, puissance 1.50 m. Grès subarkosique vert clair.			
2P160	60	Microconglomérat arkosique à subarkosique vert clair, à galets flottants de quartz blanc. Puissance 2 m.			
	65	Au-dessus, grès subarkosique vert clair. So: N60,10N.			
2P161		Microconglomérat vert clair. So: N164,11E. Stries glaciaires N183.			
2P162	50	Grès subarkosique à grain grossier, couleur vert clair. Galets flottants de quartz blanc. Quelques grains oxydés (hématisés).			
2P163	50	Contact microconglomérat arkosique-grès très grossier arkosique. Couleur vert clair avec présence de galets rouges et, localement, des phénomènes de limonitisation. So: N56,8N.			

Statistiques Coupe 2C61

STATION	RA SPP2	DESCRIPTION	FORMATION	ECHAN- TILLON	ANALYSE
2P164	65	Grès grossier arkosique, rose pâle.			
2P165	65	Microconglomérat subarkosique rose, à galets volants rouge-rose (grain 2-4 mm).			
2P166	45	Grès rose subarkosique, grain grossier.			
2P167	40	Microconglomérat arkosique vert. Limonitisé localement.			
2P168	45	Grès grossier subarkosique vert, présentant quelques cristaux de quartz rose et des feldspaths ocre.			
2P169	100-160	Grès vert subarkosique, plus ou moins limonitique, grain 1-2 mm.			
2P170		<p>Affleurement "G".</p> <p><u>Versant oriental</u></p> <p>Du sommet à la base:</p> <ul style="list-style-type: none"> - Microconglomérat vert arkosique, à gros feldspaths roses (1-2 cm de diamètre), puissance 2.50 m. So: N53,22N - Conglomérat arkosique à galets de quartz blanc (1.50 m). - Microconglomérat vert (0.50 m), puis grès arkosique à gros cristaux de feldspath rose (1.50 m). So: N141,20E. - Grès arkosique vert. N173,18E (1 m) - Grès arkosique vert. N168,14E (1.50 m) 			

Statistiques Coupe 2C61

STATION	RA SPP2	DESCRIPTION	FORMATION	ECHAN- TILLON	ANALYSE
		<ul style="list-style-type: none"> - Microconglomérat vert. N20,14E, . 2.40 m - Plus au sud: microconglomérat vert- rose. So: N158,30E, puis conglo- mérat vert rose. 			
		<u>Versant occidental</u>			
		<ul style="list-style-type: none"> - Orthoquartzite blanc rosé, laminé, N174,15E - Orthoquartzite blanc rosé, laminé, N46,14N (1 mégaride) - Orthoquartzite rose, laminé, N28,19N 4.60 m - Grès arkosique rose (0.20 m) - Microconglomérat arkosique rose (au moins 1 m), N30,20N - Conglomérat arkosique vert plus ou moins hématisé (0.50 m), surmonté par un microconglomérat arkosique vert, hématisé (1.50 m). So: N156,16E. - Microconglomérat et grès arkosique vert, N120,17E. 			

PROJET: MONTS OTISH

P. Caumartin

FICHE D'AFFLEUREMENT

DATE: 7.07.80

LOCALISATION: "G" nord

STATISTIQUE: 2C62

KM DE GEOLOGIE: 2.100 km

KM RADIOMETRE: 2.100

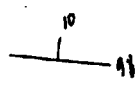
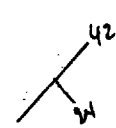
STATION	RA SPP2	DESCRIPTION	FORMATION	ECHAN- TILLON	ANALYSE
2P171	45	Grès subarkosique vert à feldspaths et galets hématisés. Passées décimétriques de microconglomérat arkosique vert-rose.			
2P172	60	Microconglomérat vert arkosique (30% feldspaths), grain 1-6 mm. Feldspaths blanc-rose. Limonitisation. Plus bas, conglomérat subarkosique vert, avec hématisation des feldspaths, galets de quartz blanc et grès rose. So: horizontale.			
2P173	25	Orthoquartzite blanc et rose, lité (1-5 cm) présentant des cavités de dissolution hématisées. Roche injectée de quartz blanc en filons millimétriques. So: N62,15N. Diaclases N146. Quartz blanc N44,85N.			
2P174	35	Orthoquartzite laminé blanc-rose, grain moyen, présentant les mêmes injections de quartz blanc (7 à 8 filons au m). N46,80N à stries vertical. So: N80,8N.			
2P175	40-45	Orthoquartzite rose, assez massif. So: N118,10N.			
2P176	70-100	Felsenmeer dans un grès arkosique au débit en plaquettes, grain moyen, couleur vert panaché rose.			
2P177	40-50	Orthoquartzite rose, massif, à bancs de grès subarkosiques verts. So: N23,13N. Diaclase: N36, 80S.			

5 62

8 80

13 25

Statistiques 2C62

STATION	RA SPP2	DESCRIPTION	FORMATION	ECHAN- TILLON	ANALYSE
2P178	50 (180)	Microconglomérat arkosique vert, à passées conglomératiques, présentant des galets de quartz et de grès rose.			
2P179	50	Microconglomérat arkosique vert clair. So: N98,10N.			
2P180	70-100	Microconglomérat arkosique vert, à granules de quartz, grain grossier.			
2P181	50 70-100	Grès feldspathique à grain fin, vert clair, surmontant des quartzites blanc-rose (puissance 1 m). So: N96,8N lesquels surmontent des grès feldspathiques à grain moyen, verts, à laminations floues, rosées (puissance 6M).			
2P182	60	Microconglomérat arkosique vert en plaquettes. So: N42,24S.			
2P183	100- 250	Conglomérat subarkosique vert à granules de quartz blanc. So: N80,8N.			
2P184	60	Microconglomérat subarkosique vert. So: N25,3N.			
2P185	50	Grès grossier subarkosique, en plaquettes, blanc verdâtre.			
2P186	60	Même faciès que précédemment, plus actif. Stratification horizontale.			
2P187	60	Grès feldspathique vert clair, panaché de rose (cf. 2P184).			

PROJET: MONTS OTISH

Claude Marcotte
Francis PerronFICHE D'AFFLEUREMENT

DATE: 7 juillet 1980

LOCALISATION: Orthophoto G-Sud Limite Nord

STATISTIQUE: 2C-63

KM DE COUPE: 3,41 km.

KM RADIOMETRE: 3,41 km.

STATION	RA SPP2	DESCRIPTION	FORMATION	ECHAN- TILLON	ANALYSE
2M127	100 cps	Bloc de grès feldspathique rose à grains moyens, sub-arrondis. Bandes centimétriques de couleur lie-de- vin représentant des hématisations plus importantes. Ces bandes sont mineures. Stratification est soulignée par un litage fin qu'on devine grâce à l'érosion diffé- rentielle (niveaux plus quartzitiques et plus feldspathiques) ainsi que par les différents niveaux d'hématisation.	Indicateur		
2M128	85 cps	Bloc d'arkoses microconglomératiques roses à feldspaths recristallisés. 5% de fragments de quartz rosé. Cailloux flottants de quartz sub-arrondis (5 à 10%) de taille moyenne 3 cm.	Indicateur		
2M129	80 cps	Bloc d'arkoses grossières rosées à felds- paths recristallisés. Cailloux de quartz flottants sub-arrondis avec quelques amas de grains de quartz rosé. Point d'hématisation. Grains sub-anguleux à sub-arrondis.	Indicateur		
2M130	50 cps	Bloc de grès feldspathique (à la limite du quartzite rose et blanc). Grains moyens sub-arrondis.	Indicateur		

PROJET: MONTS OTISH

S. Lavoie
A. Yassa

FICHE D'AFFLEUREMENT

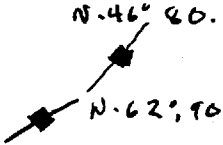
DATE: 7 juillet 1980

LOCALISATION: Orthophoto "G" sud

STATISTIQUE: Coupe 2C-64

KM DE COUPE: 1,9 km

KM RADIOMETRE: 1,9 km - A. Morin
S. Lavoie, pas de SPP2

STATION	RA SPP2	DESCRIPTION	FORMATION	ECHAN- TILLON	ANALYSE
2S-4	60- 70	<p>Conglomérat de base envahi par des giclées du granite rose leucocrate.</p> <p>Plans de cassure N-304, 90°, N-40°, 80.</p> <p>Les giclées de matériel d'anatexie sont orientées N-46°.</p> <p>Plans de cassures: N-62, 90 N-46, 80</p>  <p>Les mobilisats quart- zo-feldspathiques à grain fin sont à N-62°</p> <p>N-120° 84° joints de refroidissements. Densité 30 au mètre.</p> <p>Le corps du mobilisat granitique est à N-45°.</p> <p>L'affleurement à l'ouest de 25.4 semble contenir des galets du granite d'anatexie dans le conglomérat de base.</p> <p>N-220° N-308 Fractures à N-220°, 90 N-308.</p> <p>2L-86a: Galet de granite rose d'anatexie dans le conglomérat de base?</p>			
2L-87a	50 N-30° 75°	<p>Affleurement de conglomérat de base schis- tosé écrasé, orienté à N-30, 75° E.</p> <p>Quelques galets arrondis de granite rose leucocrate ressemble terriblement au grani- te d'anatexie supposéement post-bassin.</p>		2L-86a	L.M.

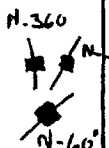
Statistiques

STATION	RA SPP2	DESCRIPTION	FORMATION	ECHAN- TILLON	ANALYSE
2L-88	100- 150 N-6° N-40° 28° N-14° 60° N-320° 60°	<p>Granite rose intrusif, orienté à N-48°.</p> <p>Plan de fracture N-06° particulièrement bien développé.</p> <p>Le granite leucocrate est parfois grossier, parfois fin; au pied de l'escarpement. On sent la granitisation sans toutefois observer des "xénolites" du conglomérat de base ou des grès.</p> <p>Les effets de la granitisation sont: l'apparition de "leucosomes" pegmatitiques en lentille orientée N-60°. Fantômes de la roche hôte au profit de laquelle la granitisation s'effectue.</p> <p>Schistosité N-40, 28°.</p> <p>Fractures: N. 320°, 60° - Densité 14 N. 14°, 60° - Densité 20</p> <p>La composition du granite change latéralement et devient très orientée avec des passées pegmatitiques.</p> <p>2L-88a: Granite rose pegmatitique ou très grossier.</p> <p>2L-88b: Granite rose fin orienté N-60°.</p>		2L-88a 2L-88b	L.M. L.M.
2L-89	30-40 N-40° 45°	<p>Migmatite du socle, blanche, contenant un xénolite énorme de gabbro pré-Otish.</p> <p>Le gabbro est plissé avec des migmatites blanches N-45, 40; plongement vers le N. Il est injecté de dyke de pegmatite du granite rose leucocrate.</p> <p>Migmatites orientées.</p> <p>Le granite rose leucocrate semble toujours intrudé selon N-40°, N-45°.</p>			

Statistiques

STATION	RA SPP2	DESCRIPTION	FORMATION	ECHAN- TILLON	ANALYSE
2L-90	125- 120	A proximité d'une faille N-20°, le granite rose leucocrate apparaît de nouveau en une masse compacte orientée N-45°, N-50°. Cette masse est débitée en bloc métrique à décimétrique par des fractures N-60° sub-verticales. 2L-90a: Granite rose leucocrate.			
2L-91	60	Migmatites blanches à restites de gneiss à Bio.			
2L-92	125	Affleurement de granite rose à ferromagnésien, masse orientée N-45°, débit selon N-358. Syénite rose composée exclusivement de feldspath rose et de ferromagnésien. Mâches de pyrite et arches ^{cu b es} altérées. 2L-92a: Syénite rose grossière. 2L-92b: Granite rose à grain fin Bio ou Amph? 2L-92c: Granite rose à gros grain. Joints N-160° et N.S.		2L-92a 2L-92b 2L-92c	L.M. L.M.
2L-93	125	Granite rose à ferromagnésien en interstices entre les grains de quartz. Les ferromagnésiens sont altérés, chloritisés. 2L-93a: Granite rose, ferromagnésien interstitiel entre les grains de feldspath. Ils sont chloritisés. R 21-61h: Petit ruisseau dans marécage; matériel argileux beige à brun.		2L-93a	L.M.

Statistiques

STATION	RA SPP2	DESCRIPTION	FORMATION	ECHAN- TILLON	ANALYSE
2L-94	125	<p>Migmatites très évoluées, schleiren et restites à N-85, N-110°.</p> <p>Plis migmatitiques sub-verticaux à N-62°.</p> <p>Migmatite à migmatite nébulitique dont les faciès les plus clairs sont semblables (?) aux granites roses leucocrates.</p> <p>2L-94a: Mobilisat clair dans les migmatites blanches du socle; ce faciès apparente ceux des granites roses leucocrates qui sont cependant plus saumon. Cette couleur saumon est-elle due à une hématisation à proximité de la faille?</p> <p>Ce mobilisat est riche en quartz. Comparer la composition minéralogique à celle des granites leucocrates.</p>		2L-94a	L.M.
2L-95	140- 130	<p>Granite rose du socle, grain moyen à fin. Le granite affleure en masse relativement homogène, il est en bas-relief, les affleurements allongés selon N-60°.</p> <p>Quelques restites de gneiss à N-90° et N-60°, peu de Schleirens.</p> <p>Le granite contient 15 à 20% de quartz, 5 à 15% de biotite chloritisé et 60 à 70% de feldspath dont un certain nombre est rose.</p> <p>Diaclasses 360, 60, N-36 sub-verticales.</p>			

Statistiques

STATION	RA SPP2	DESCRIPTION	FORMATION	ECHAN- TILLON	ANALYSE
2L-96	100	<p>Granite rose du socle, grain moyen, restite \pm digénée à N-100 et N-90°.</p> <p>Débit du granite selon des fractures N-S.</p> <p>Quelques passées pegmatitiques quartzo-feldspathiques.</p> <p>Les ferromagnésiens sont chloritisés et certains feldspaths épidotisés.</p>			
2L-97	100	<p>Granite rose leucocrate du socle, un peu de biotite chloritisé, grain moyen à fin, quelques faciès pegmatitiques.</p> <p>Pourrait être IDEM le granite rose d'anatexie post-bassin. Alors ce dernier serait pré-bassin et il aurait été fortement modifié sur failles N-20 et N-0°.</p> <p>Le granite rose contient beaucoup de restites de gneiss \pm digérées; il est tabulaire dans la masse et souvent les creux représentent des paragneiss blancs moins migmatisés.</p>			
2L-97	100	<p>Granite blanc du socle, granite migmatitique, orienté N-100°; plusieurs schleirens soulignant l'orientation N-100°. Très fortement quartzitique.</p>			
2L-98	30	<p>Gabbro dioritique, grain moyen à fin, frais, gris vert en banc massif (2 à 3 m d'épaisseur) incliné de 5 à 15° vers l'ouest. Le gabbro est en position sub-horizontale, filon couche intrudé au niveau socle-couverture.</p>			

PROJET: MONTS OTISH

A. Morin

FICHE D'AFFLEUREMENT

DATE: 9 juillet 1980

LOCALISATION: Orthophoto "G" sud, photo 1:15,000 Q-66318-38

STATISTIQUE: Coupe 2C-66

KM DE COUPE: 1,5 km

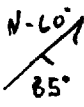
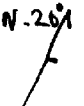

KM RADIOMETRE: 1,5 km

STATION	RA SPP2	DESCRIPTION	FORMATION	ECHAN- TILLON	ANALYSE
2L-99	100- 160 <i>N-60°</i>	<p>Paragneiss du socle migmatisé et graniti- sé. La gneissosité est toujours visible, orientée à N-60°. L'affleurement est un bloc immense anguleux, légèrement déplacé de son substratum par effet de gélifrac- tion.</p> <p><i>gneiss</i> Le grossier est grossier, gris rosé à tex- ture porphyroblastique, les feldspaths ro- ses sont de taille $\frac{1}{2}$ à 1 cm de forme ellip- soïdale suggérant une texture de gneiss oeillé.</p> <p>Les feldspaths roses noformés constituent de 10 à 20% de la roche. Les feldspaths blanc verdâtre 30 à 50%, le quartz 15 à 25% et le reste est une biotite verdâtre altérée (chlorite ?).</p> <p>2L-99a: Gneiss oeillé.</p>		2L-99a	Réf.
2L-100	100- 150 3000	<p>Plusieurs blocs métriques anguleux du gra- nite rose d'anatexie, grain moyen à gros. Le granite est localement épi-syé-nitisé (faciès à 3000), très fracturé et schisto- sé.</p> <p>Néanmoins, le granite a un caractère migma- titique très poussé (photo 11) et serait probablement anti-bassin. Son caractère de rubéfaction et fracturation est possi- blement lié à des événements tardifs post- bassin une ^{en} relation avec la faille de Mis- tassini-Pluto.</p>			

Statistiques

STATION	RA SPP2	DESCRIPTION	FORMATION	ECHAN- TILLON	ANALYSE
		<p>2L-100a: Granite rose d'anatexie localement épisyénitisé.</p> <p>Tout le quartz est reconcentré dans une veine avec les ferromagnésiens. Le granite est définitivement orienté, très altéré, très rubéfié.</p> <p>Plis migmatitiques dans le granite rose d'anatexie.</p> <p>Du point de départ, les blocs peuvent être suivis en direction N-280-290° sur 200 mètres environ, puis leur direction s'infléchit vers le S.W. à N-230°.</p> <p>Vers l'est, les blocs sont plus petits, très fracturés, rubéfiés, et le quartz souvent en veine d'exsudation.</p>		2L-100a	Réf.
2L-101	60 N-62° 58	<p>Granite migmatitique du socle; il est ocre, grain moyen, schleirens de quartz biotitique, restites. Il est orienté à N-62,58°.</p> <p>Passées pegmatitiques très leucocrates, roses, IDEM, granite rose quoique moins rubéfié.</p>			
2L-102	60-75 125- 200 80	<p>Granite rose migmatitique à biotite et localement à amphibole.</p> <p>Vers le nord, le granite rose passe aux migmatites blanches très évoluées comportant de nombreux restes de grains à biotite. Plis migmatitiques à N-45° sub-verticaux.</p> <p>La zone la plus active est localisée au contact plus ou moins graduel entre le granite rose et les migmatites blanches relativement évoluées. Plus au nord, les migmatites ont une activité de 80 cps.</p>			

Statistiques

STATION	RA SPP2	DESCRIPTION	FORMATION	ECHAN- TILLON	ANALYSE
2L-103	110 	Dans la rivière, à la pointe nord de l'affleurement 2L-102, on passe aux migmatites rubannées orientées N-60°-85° E, les bandes sont de 2 à 5 cm de largeur.			
2L-104	1000 150 	Anomalie, migmatites rubannées orientées N-20° de la pointe du lac. Leucosome quartzitique, feldspathique en bande de 2 à 5 cm de largeur. En remontant sur N-20 jusqu'à 250 mètres, les migmatites intermédiaires sont généralement orientées N-20° avec un pendage vers l'est, plusieurs points à 200, 500 et 600 cps.			
2L-105		Migmatites rubannées à N-60°; leucosome rose quartzitique, feldspathique à N-40°.			
2L-106		Gabbro d'Otish.			
2L-107		Contact gabbro d'Otish-socle à N-160°, pendage de 70° vers le sud-ouest.			
2L-108	200	Blocs anguleux métriques de granite rose d'anatexie orienté N-40°, très altéré, fracturé; reste de gneiss à biotite très rubéfiée.			

Statistiques

STATION	RA SPP2	DESCRIPTION	FORMATION	ECHAN- TILLON	ANALYSE
2L-109	70 N-55	<p>Conglomérat arkosique schistosé, grain moyen à gros, recristallisa- tion très poussée.</p> <p>N-55°, schistosité. Ce conglomérat marque probablement la transition entre le conglomérat de base (vol- canique d'après D. Faure) et les grès d'Otish ou Indicateur.</p>			

PROJET: MONTS OTISH

FICHE D'AFFLEUREMENT


DATE: 8/7/80

LOCALISATION:

STATISTIQUE: 2C#67

KM DE COUPE: 3.2

KM RADIOMETRE: 6.4

STATION	RA SPP2	DESCRIPTION	FORMATION	ECHAN- TILLON	ANALYSE
2V144	50	<p>Green, polygenetic, arkosic microconglomerate with floating pebbles of quartz. There is approximately 15% sericitic matrix. Quartz pebbles are white and pink. There are also pebbles of green argillite and red siltstone. Quartz stringers form a "en échelon" sigmoidal pattern between quartz stringers oriented 054° to 060°.</p> 	<p>Indicateur ↘ 314,25° to 35° ↘ 064,87 ↘ 136,88 Ψ197</p>		
2V145	60 50	<p>Laminated dark red orthoquartzite (fine grained) which grades up to laminated pink, white and mauve and finally to laminated green and white.</p> <p>Cross-bedding is up to 35 cm. high.</p> <p>Basically a laminated pink orthoquartzite.</p>	<p>Indicateur ↘ 292,20 ↘ 070,21 ↘ 140,90 ↘ 040,66 ↘ 172 qtz. st. ↘ 225,61</p>		

Statistiques 2C#67

STATION	RA SPP2	DESCRIPTION	FORMATION	ECHAN- TILLON	ANALYSE
2V146	45	Idem 2V145. Red and mauve secondary spots are more common but laminations grade from red-mauve to pink and red and finally green and white. There is approx.5-10% matrix.	Indicateur ↙ 316,25 ↙ 059,85 ↙ 135,88		
2V147	45	Massive poorly laminated pink to marine orthoquartzite with occasional thin beds or chips of red argillite and thin bands of red hematitic siltstone. There is intense fracturing along the N230° and N123° fractures along with secondary reduction along these fractures. There is also very abundant red spots of hematite and when these occur, the orthoquartzite is black to gray. There are small 5 x20 cm. cross-bedding and cross-ripple laminations. The quartz grains are well rounded and fine grained in size.	Indicateur ↙ 230,85 ↙ 123,83 ↗ 025	2V147	
2V148	55	Coarse grained, polygenetic microconglomeratic subarkosic sandstone. There are floating pebbles of arkose siltstone, red and green argillite. The rock is coloured, a pinkish green-beige. The quartz grains are subrounded to subangular. The feldspar grains are very kaolinized and frequently hematized. The subarkose has a microconglomerate phase approx. 2 m.thick, after which the sediment is feldspathic but with more polygenetic pebbles.	Indicateur ↙ 240,87 ↙ 145,90 (> 7/ m.) ↗ 188 ψ 188 ↙ 078,36		
2V149	45-55	A pink feldspathic sandstone which grades up to a orthoquartzite with approx.15% matrix of feldspar. Floating polygenetic pebbles are common.			

Statistiques 2C#67

STATION	RA SPP2	DESCRIPTION	FORMATION	ECHAN- TILLON	ANALYSE
2V150	50-150 (132)	<p>Pink, coarse grained arkose and arkosic microconglomerate. The feldspar grains have been extremely kaolinized. Quartz grains are sub-angular to subrounded. There are abundant polygenetic floating pebbles.</p> <p>N145° fractures vary in intensity from 1/m to 20/m.</p> <p>The area was a channel. There are large quartz and sedimentary cobbles along with plates of red and green argillite which have been partially reduced. The rock is very poorly sorted.</p>	<p>Indicateur</p> <p>↙ 344,16</p> <p>↘ 150-132,90 common,</p> <p>↗ 075,23</p> <p>↘ 237,82</p>		
2V151		<p>Pink, fine to medium grained orthoquartzites (silica cement). Occasionally there are syngenetic folds and breccia (fanglomerate) ripples indicate a current direction of 343° while cross-bedding a direction of 030°. The facies grades up to a laminated purple, red and pink orthoquartzite with silt being present in the purple phases and there is some slumping features.</p> <p>This in turn grades to a white-pink, fairly massive orthoquartzite.</p>	<p>Indicateur</p> <p>↙ 346,13</p> <p>↗ 031</p> <p>↘ 145,84</p> <p>↘ 090,20</p> <p>axis dip of 61%</p> <p>↙ 343</p> <p>↘ 320,0</p> <p>↗ 056,54 with quartz stringers</p> <p>15</p>		

PROJET: MONTS OTISH

Claude Marcotte
Francis PerronFICHE D'AFFLEUREMENT

DATE: 8 juillet 1980

LOCALISATION: G-Sud Limite Nord

STATISTIQUE: 2C-68

KM DE COUPE: 2,2 km.

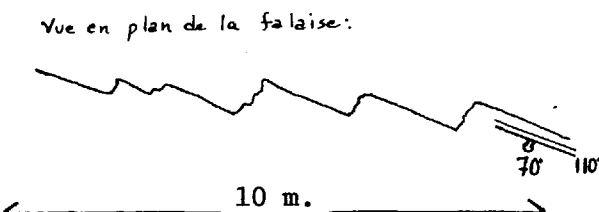
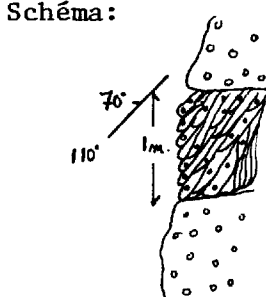
KM RADIOMETRE:

STATION	RA SPP2	DESCRIPTION	FORMATION	ECHAN- TILLON	ANALYSE
2M131	100- 110 cps	<p>Sub-arkoses rosées et violacées en bancs métriques, alternant avec des bancs décimétriques de grès feldspathique blanc verdâtre, à passées hématisées (couleur rouille).</p> <p>Grains grossiers (1 à 2 mm.) sub-arrondis feldspaths non recristallisés de taille arénitique moyenne (± 1 mm.).</p> <p>Litage est apparent par endroit, surtout dans les sub-arkoses violacées. Il est traduit par des passées millimétriques plus quartzitiques et plus grossières.</p> <p>Hématisation sous forme de "coating" sur les grains et sous forme de plusieurs points disséminés.</p> <p>Strati: 352°</p> <p>Diaclases: 5° 142° 148° 63° 68° 201° 192°</p>	Indicateur		
2M132	100 cps	<p>Grès feldspathique blanc à grains grossiers, sub-arrondis.</p> <p>Passées d'hématisation en bandes millimétriques et en amas (faciès mineur).</p> <p>Au sommet des bancs, on aperçoit des cailloux de quartz flottants (- de 5%).</p>	Indicateur		

Statistiques

STATION	RA SPP2	DESCRIPTION	FORMATION	ECHAN- TILLON	ANALYSE
2M133	90 cps	Grès feldspathique rosé à grains grossiers, sub-arrondis. - de 5% de cailloux flottants. Strati: 329° $\swarrow 20^{\circ}$	Indicateur		
2M134	75 cps	Grès feldspathique IDEM à 2M133. Au sommet des bancs (métriques), la granulométrie est plus fine et présence de bandes millimétriques d'hématisation alternantes sur 10 cm.	Indicateur		
2M135	100 cps	Grès feldspathique rosé et violacé à passées microconglomératiques. Strati: 302° $\swarrow 11^{\circ}$	Indicateur		
2M136	110 cps	Grès feldspathique grossier, rosé avec passées d'hématisation, surmonté de bandes d'argilite rouge de 3 cm. d'épaisseur alternant avec des couches de grès feldspathique grossier verdâtre, le tout sur 20 cm. Présence de belles fentes de dessiccation polygonales. La schistosité est très bien développée dans ces argilites. Strati: 309° $\swarrow 18^{\circ}$ Schistosité: 55° $\swarrow 40^{\circ}$	Indicateur		
	75 cps	L'argilite est surmontée de bancs de grès feldspathiques rosés presque quartzitiques, avec quelques cailloux flottants de quartz (au niveau 2 mètres au-dessus de l'argilite).			



Statistiques

STATION	RA SPP2	DESCRIPTION	FORMATION	ECHAN- TILLON	ANALYSE
2M137	100 cps	Grès feldspathique rose, à grains grossiers - IDEM à 2M136.	Indicateur		
2M138	70 cps	<p>Arkoses grossières à passées micro-conglomératiques de teinte rosée à ocre, en bancs métriques. Hématisation poussée à certains endroits → teinte les feldspaths d'une couleur orangée rougeâtre.</p> <p>Cailloux flottants de quartz blanc ou rouge, de taille variable (2 à 5 cm.), arrondis.</p> <p>Feldspaths recristallisés; certains peuvent atteindre 2 cm. à certains endroits (très local).</p> <p>La zone d'affleurement est déterminée par une zone de faille de direction N.110°/70°-75° avec plusieurs reprises en escalier.</p> <p><i>Vue en plan de la faille:</i></p>  <p>On note à certains endroits des recristallisations importantes. Les grains de quartz sont coalescents, les feldspaths très gros.</p> <p>Dans certains bancs, on note une tectonisation poussée transformant la roche d'un banc massif en un amas de lentilles centimétriques avec grains recristallisés.</p> <p>Schéma:</p> 	Indicateur		

Statistiques

STATION	RA SPP2	DESCRIPTION	FORMATION	ECHAN- TILLON	ANALYSE
2M138	suite	<p>La schistosité générale qui y est développée est parallèle à la direction du plan de faille. On note aussi des stries intercouches..</p> <p style="text-align: center;">$154^{\circ} / 22^{\circ}$ SSE.</p> <p>Stratification prise à une surface intercouche, 324°</p> <p style="text-align: center;">$\swarrow 20^{\circ}$</p> <p>Schistosité bien développée sur une surface intercouche,</p> <p style="text-align: center;">$\nearrow 50$ 30°</p> <p>Diaclases: 72° (réseau orthogonal à la fracturation principale) 200°</p>			
2M139	75 cps	<p>Arkoses et sub-arkoses rosées grossières à passées microconglomératiques et cailloux de quartz flottants. Grains arénitiques sub-anguleux à sub-arrondis. Feldspaths altérés et limonitisés dans certaines zones ocre (ces zones ne choquent pas).</p> <p>Diaclases: 15°</p> <p style="text-align: center;">$\swarrow 70^{\circ}$ $\searrow 140^{\circ}$</p>	Indicateur		
2M140	100 cps	<p>Grès feldspathique rosé contenant peu de feldspath (est parfois à la limite de la quartzite); à grains moyens sub-arrondis.</p> <p>On note quelques passées plus feldspathiques (max. $\pm 10\%$) surtout dans le ciment; très peu de feldspaths en grains.</p>	Indicateur		

Statistiques

STATION	RA SPP2	DESCRIPTION	FORMATION	ECHAN- TILLON	ANALYSE
2M140	suite	<p>Disparition des cailloux flottants; le passage des arkoses microconglomératiques aux grès feldspathiques est franc et net; on le voit en plusieurs endroits.</p> <p>Grès feldspathique rose  ↑</p> <p>Arkoses  ↓</p> <p style="text-align: center;">2 m.</p>			

PROJET: MONTS OTISH

Yolande Bisson
Aline Morin
Robert St-Jean

FICHE D'AFFLEUREMENT

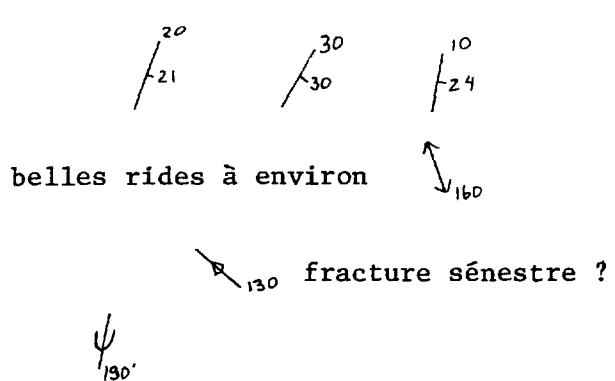
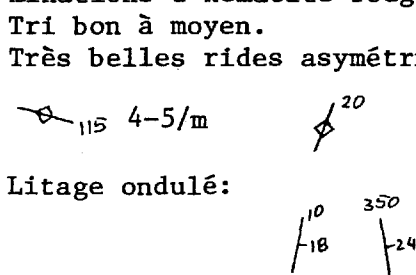
DATE: 11 juillet 1980

LOCALISATION: "G" Nord

STATISTIQUE: Coupe 2C-69


KM DE COUPE: 2,5 km

KM RADIOMETRE:

STATION	RA SPP2	DESCRIPTION	FORMATION	ECHAN- TILLON	ANALYSE
2J-147	25- 30	<p>Affleurement près du ruisseau. Orthoquartzite rose à rubanement rouge vif qui n'est pas toujours parallèle à la strati- fication.</p> <p>Stratification ondulée; grain moyen.</p>  <p>belles rides à environ</p> <p>fracture sénestre ?</p> <p>quelques passées métriques, plus feldspa- thiques.</p>	Indicateur		
2J-148	25- 30	<p>Affleurement d'orthoquartzite rose à la- minations d'hématite rouge vif; grain moyen. Tri bon à moyen.</p> <p>Très belles rides asymétriques.</p>  <p>Litage ondulé:</p>	Indicateur		

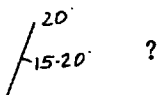
Statistiques

STATION	RA SPP2	DESCRIPTION	FORMATION	ECHAN- TILLON	ANALYSE
2J-149	30	<p>Affleurement d'orthoquartzite blanc à grain moyen; passages à deux granulométries; stratifications obliques. Passées très poreuses.</p> <p>Voir photo.</p> <p>Stratigraphiquement sous 2J-148</p>	Indicateur	2J-149a	

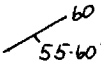
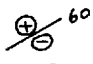
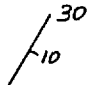


Station 2J-149

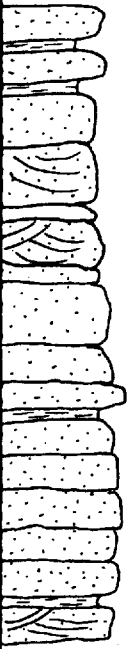
Statistiques

STATION	RA SPP2	DESCRIPTION	FORMATION	ECHAN- TILLON	ANALYSE
2J-150		Sub-affleurement d'orthoquartzite blanc à rose, très oxydé; taches centimétriques d'hématite rouge; laminae très poreuses stratigraphiquement sous 2J-149.	Indicateur	2J-150a	
2J-151	50	Affleurement 2 m de hauteur; arkose rose; environ 25% de feldspaths recristallisés, rouges; bancs lenticulaires (chenaux ?) semblent un peu plus grossiers légèrement microconglomératiques, à cailloux de quartz passant à une sub-arkose vers le sommet.	Indicateur	2J-151a	
2J-152	45- 50	Affleurement au-dessus de 2J-151. Sub-arkose rose à cailloux flottants de quartz de ϕ 12 cm. Environ 20% de feldspaths, grain grossier à moyen; tri mauvais; hématisé en taches éparses de 5 à 10 cm. Cailloux d'argilite rouge et de quartzite rose. Litage difficile à voir. 	Indicateur		
2J-153	40	Affleurement ?? Orthoquartzite rose et vert à grain moyen; un peu plus loin, orthoquartzite rouge très hématisé.	Indicateur		

Statistiques

STATION	RA SPP2	DESCRIPTION	FORMATION	ECHAN- TILLON	ANALYSE
2J-154	40	<p>Affleurement environ 10 m d'épais- seur. <u>Orthoquartzite rose à rubanement d'hé- matite noire.</u> Grain moyen; parfois très peu cimenté Tri bon; quartz parfois recristalli- sé, très fracturé selon N-50°, avec ouvertures remplies de quartz.</p> <p>devient plus rouge (moins noir) vers le sommet; devient plus vert et beau- coup moins oxydé près des failles.</p> <p> slickenslides donnent un mouvement  fuschite près du plan de faille.</p> <p>Le quartzite noir semble être plus ou moins relié à la faille.</p>	Indicateur	2J-154a b	
2J-155		<p>Affleurement continu, environ 30-40 m d'épaisseur.</p> <p>Alternances de traces mé- triques rouges et vertes (épidote ?) par endroit; → grès feldspathique ro- se à rouge.</p> <p></p> <p>Failles interlits, che- naux.</p>	Indicateur	2J-155b	

Statistiques

STATION	RA SPP2	DESCRIPTION	FORMATION	ECHAN- TILLON	ANALYSE
2J-155 suite	45	 <p>Orthoquartzite avec un peu de feldspaths, très poreux, cavités remplies d'hématite et de limonite.</p> <p>Orthoquartzite rouge lie-de-vin, très oxydé et avec fuschite par endroit, surmonté de 5 cm d'argillite tectonique verte.</p> <p>Petite faille interlit, plan de faille $300, 15$ strie selon 5 le bloc du dessus ayant glissé vers le nord.</p>	Indicateur		
2J-156 (2A-45)	>1500 max.	<p>Bloc sub-anguleux 0.8 m³; sub-arkose verte; environ 15-20% de feldspaths plus ou moins recristallisés, un peu schistosés.</p> <p>Microconglomératique à cailloux de quartz; tri mauvais; grain grossier. R.A. maximale sur tache ocre.</p>	Indicateur	2J-156a b c	U. Th.

PROJET: MONTS OTISH

R. St-Jean
Y. Bisson

FICHE D'AFFLEUREMENT

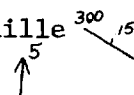
DATE: 13 juillet 1980

LOCALISATION: "G" Nord

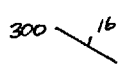
STATISTIQUE: Coupe 2C-69 (suite)

KM DE COUPE:

KM RADIOMETRE:

STATION	RA SPP2	DESCRIPTION	FORMATION	ECHAN-TILLON	ANALYSE
2J-155		Reprise de l'affleurement 2J-155. Détail de la colonne stratigraphique de la base au sommet.	Indicateur		
	125	1 m: Sub-arkose rose; 20-25% feldspaths; galets mous brun orangé; très fracturé selon Trou: 1 m.	Indicateur		
	55	1.5 m: Orthoquartzite rouge lie-de-vin très très oxydé; lamination de fuschite; petite faille interlit; plan de faille  stries faille normale	Indicateur		
		5 cm d'argilite verte au-dessus du plan de faille.	Indicateur		
		.6 m: Grès feldspathique vert; environ 15% feldspaths, grain grossier, tri mauvais; passant latéralement à du grès feldspathique rose. - chenalissant	Indicateur		
		2 m: Grès feldspathique; environ 15% de feldspaths <u>rouges</u> ; conglomératique à cailloux de quartz; chenalissant, granoclasement normal, grain grossier à moyen, galets mous brun orangé, petites géodes à hématite parfois blanche, parfois rouge.	Indicateur		
	1.5 m: Orthoquartzite à ciment feldspathique; environ 5% de feldspaths; - différent de l'arénite sous-jacente. Rubanement rose faible et rubanement de fuschite. Tri mauvais, grain moyen. Trou: 1.5 m.	Indicateur			

Statistiques

STATION	RA SPP2	DESCRIPTION	FORMATION	ECHAN- TILLON	ANALYSE
2J-155 suite		<p>0.7 m: Orthoquartzite rose, grain moyen.</p> <p>1 cm d'arénite silteuse verte entre deux bancs.</p> <p>1.5 m: Orthoquartzite à ciment très feldspathique, rose à beige; - essentiellement oxydé Galets mous rouges et bruns.</p> <p>5 cm d'arénite silteuse donnant la stratification</p>  <p>1.5 m d'orthoquartzite à ciment très feldspathique rose à beige; essentiellement oxydé; galets mous rouges et bruns.</p> <p>Il semble y avoir un passage latéral à un faciès contenant beaucoup de fuschite; détail de la colonne stratigraphique de la base vers le sommet.</p>	<p>Indicateur</p> <p>Indicateur</p> <p>Indicateur</p> <p>Indicateur</p>		
2J-157		<p>30 cm d'orthoquartzite à ciment feldspathique gris vert à nodules d'hématite.</p> <p>2 m: Grès feldspathique rose, très grossier, conglomératique à cailloux de quartz; granoclasement normal. - <u>chenalisant</u> Taches de fuschite.</p> <p>1 m d'orthoquartzite à ciment feldspathique rose et vert; tri mauvais; grain moyen, taches de fuschite.</p>	<p>Indicateur</p> <p>Indicateur</p> <p>Indicateur</p>	2J-157a	

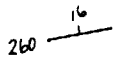
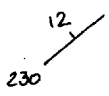
Statistiques

STATION	RA SPP2	DESCRIPTION	FORMATION	ECHAN- TILLON	ANALYSE
2J-157 suite		60 cm de grès feldspathique; environ 15% de feldspaths verdâtres; fines laminae 1 mm, taches d'hématite, feldspaths kaolinisés roses; fuschite, lits de 10 cm; stratifications obliques. Passées d'arénite vert "serpentine" avec de fines lentilles d'hématite - devenant nettement plus vertes et plus fluviatiles vers l'ouest.	Indicateur		
		1.5 m d'orthoquartzite à ciment feldspathique blanc grisâtre, massif, devenant rougeâtre.	Indicateur		
		60 cm: Grès feldspathique gris foncé; nodules d'hématite; feldspaths altérés, rouges.	Indicateur		
		1 m: IDEM mais avec taches de fuschite.	Indicateur		
		1.0 m d'arénite silteuse verte (grès feldspathique ?)	Indicateur		
		1.0 m d'arénite fine, verte; taches rouges (grès feldspathique ?)	Indicateur		
		15 cm d'arénite silteuse verte (grès feldspathique ?)	Indicateur		
		25 cm d'arénite silteuse verte (grès feldspathique ?), à granules d'arénite grossière.	Indicateur		
	50	2.5 m: trois (3) lits de grès feldspathique noir, très hématisé à la base, devenant finement laminé en rouge puis presque blanc au sommet de chaque lit.	Indicateur		


Statistiques

STATION	RA SPP2	DESCRIPTION	FORMATION	ECHAN- TILLON	ANALYSE
2J-158		<p>Colonne stratigraphique de la falaise, de bas en haut.</p> <p>4.5 m de grès feldspathique blanc à rose; environ 5-10% feldspaths; grain moyen; hématisation discontinue; hématisation "à pois".</p> <p>2 m de grès feldspathique blanc rosé, environ 15% feldspaths, grain grossier à moyen, gros galets d'argile rouge; passées conglomératiques. Chenalisant - Taches d'hématite.</p> <p>3 M de grès feldspathique rosé; 5-10% de feldspaths; finement lité (millimétrique), grain moyen à fin, à passées plus grossières.</p> <p>Lentilles d'arénite fine, silteuse, verte, discontinue.</p> <p>3 m d'orthoquartzite rouge, grain moyen; tri mauvais; très hématisé par endroit.</p> <p>5 cm d'arénite fine, silteuse, blanc verdâtre.</p> <p>1 m d'orthoquartzite à ciment feldspathique <u>blanc</u>.</p> <p>Trou: 1.5 m.</p> <p>2 m d'orthoquartzite rose saumon, très très propre; tri très bon; fractures remplies de quartz géodes. Passées grossières et très très poreuses s'effritant très facilement.</p> <p>Stries de glissement intercouches:</p> <div style="text-align: center; margin-top: 20px;"> <p>plan de faille₂₆₇ ³⁸ ↑</p> <p>stries ↑ ³⁵⁴</p> <p>faille inverse</p> </div>	<p>Indicateur</p> <p>Indicateur</p> <p>Indicateur</p> <p>Indicateur</p> <p>Indicateur</p> <p>Indicateur</p> <p>Indicateur</p> <p>Indicateur</p>	<p>2J-158a b c</p>	

Statistiques

STATION	RA SPP2	DESCRIPTION	FORMATION	ECHAN- TILLON	ANALYSE
2J-158 suite		3 m d'orthoquartzite rouge bien lamini- né; grain moyen à fin. <div style="text-align: center;">  </div> Tri très bon.	Indicateur		
		2.5 m de "brèche intraformationnelle" dans une arénite orthoquartzitique rose; très très friable, à gros frag- ments (2-4 cm) d'arénite du banc sous- jacent.	Indicateur	2J-158d	
		2.5 m trou.			
		3.0 m d'orthoquartzite rouge à rose, massif avec fractures remplies de quartz.	Indicateur		
	45-50	2 m d'orthoquartzite rouge à ciment feldspathique; fines laminations d'hé- matite. - Zones à hématisation plus prononcée. Trou de 1 m.	Indicateur		
		1 m d'orthoquartzite rouge, grain moyen.	Indicateur		
		Trou 3 m (entre les deux lacs)	Indicateur		
		3 m d'orthoquartzite rose montrant de belles stratifications redressées; lits de 5 cm alternant avec lits très très friables (semblable à la "brèche intraformationnelle"); lits très friables → altérations de limonite.	Indicateur		
		3.5 m d'orthoquartzite à ciment felds- pathique rose; lentilles plus oxydées.	Indicateur		
2J-159		Orthoquartzite à ciment feldspathique rose saumon, 2 m d'épaisseur. <div style="text-align: center;">  </div>	Indicateur		

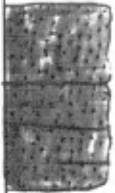
Statistiques

STATION	RA SPP2	DESCRIPTION	FORMATION	ECHAN- TILLON	ANALYSE
2J-160		Orthoquartzite rouge, 10% de ciment feldspathique à laminae vertes; grain fin à moyen.	Indicateur		
2J-161	30	Orthoquartzite rose, 3 m d'épaisseur; lits 1 cm à 10 cm; stratifications obliques; fractures ouvertes remplies de quartz.	Indicateur		
2J-162	40-45	Orthoquartzite rose à ciment feldspathique (moins de 5%); passées très très poreuses et non cimentées. Voir 2J-158 - plus ou moins chenalisant.	Indicateur		
2J-163		Section stratigraphique au bord du lac, de bas en haut. 2 m d'orthoquartzite rosé à pois d'hématite rouge; gros galets 10-15 cm d'argilite rouge. 4.5 m d'orthoquartzite rose à rouge à ciment feldspathique (10% de ciment!). Chenalissant - lits de 10 cm très fracturés selon  petit lit de 2 cm vertical. 1 m d'orthoquartzite à ciment feldspathique rose saumon, très massif. Trou 1 m. 2 m d'orthoquartzite rose, massif. 3 m d'orthoquartzite blanc à ciment feldspathique à pois d'hématite devenant rosé vers le sommet.	Indicateur Indicateur Indicateur Indicateur Indicateur		

Statistiques

STATION	RA SPP2	DESCRIPTION	FORMATION	ECHAN- TILLON	ANALYSE
2J-164		Orthoquartzite rose à lamination d'hématite plus rouge.	Indicateur		
2J-165		Orthoquartzite rose sous orthoquartzite rose à zone très poreuse ≈ IDEM 2J-162 ("brèche intraformationnelle"); tache d'hématite plus foncée.	Indicateur		

2J158



2J162



2J163



1:200

2J155

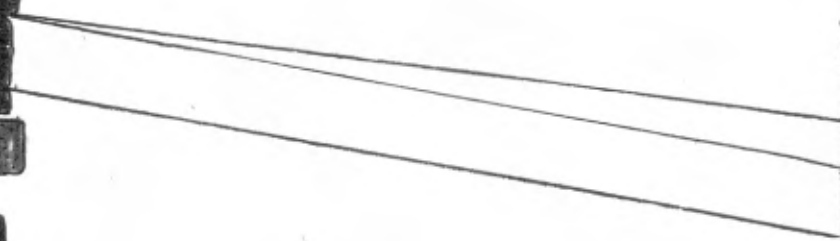


1m

2J157



hem
hem
hem



orthogneiss am. feld 916
 " " sil 915
 Gneiss feld 917

1:200



PROJET: MONTS OTISH

Claude Marcotte
Francis PerronFICHE D'AFFLEUREMENT

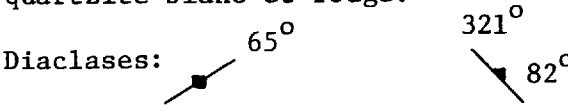
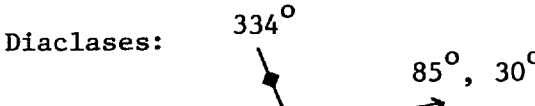
DATE: 11 juillet 1980

LOCALISATION: G-Nord

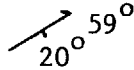
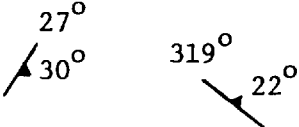
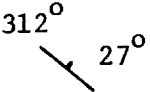
STATISTIQUE: Coupe: 2C-70

KM DE COUPE: 3,75 km.

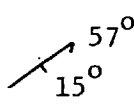
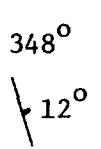
KM RADIOMETRE:

STATION	RA SPP2	DESCRIPTION	FORMATION	ECHAN- TILLON	ANALYSE
2M141	50 cps	Grès feldspathique à granulométrie hétérogène, poches grossières, parties presque schisteuses (mineures). Peut atteindre la sub-arkose. Esquilles d'argilite rouge et de quartzite rouge. Galets flottants 1 à 2% gros, arrondis, de quartzite blanc et rouge. Diaclasses: 	Indicateur		
	80 cps	Quelques bancs décimétriques plus quartzitiques, blanchâtres à grains fins et moyens.			
2M142	55 cps	Grès feldspathique, IDEM à 2M141.	Indicateur		
2M143	50 cps	Grès feldspathique grossier à passées microconglomératiques. Diaclasses: 	Indicateur		
2M144	55 cps	Grès feldspathique grossier à granulométrie hétérogène, IDEM à 2M141. Toujours grains de quartz rouges et grains d'argilite. Cailloux flottants, principalement quartzitiques, quelques galets de faciès plus arkosiques, d'autres à granulométrie fine.	Indicateur		

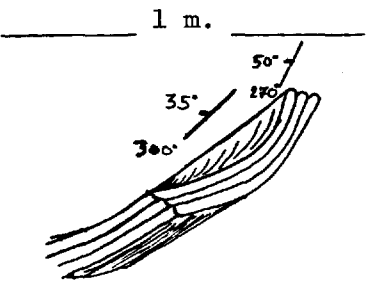
Statistiques

STATION	RA SPP2	DESCRIPTION	FORMATION	ECHAN- TILLON	ANALYSE
2M144	suite	Surfaces intercouches à schistosité ± développée.  Diaclasses: 			
2M145	60 cps	Sub-arkose grossière à passées micro- conglomératiques, grains de felds- path recristallisés, blancs. Grains et cailloux de quartz rosé, grains anguleux, cailloux sub-arron- dis à sub-anguleux. Passée d'argilite couleur pêche souli- gne la stratification. 	Indicateur		
2M146	65 cps	Grès feldspathique rosé, IDEM à 2M141.	Indicateur		
2M147	65 cps	IDEM à 2M141 - Grès feldspathique.	Indicateur		
2M148	100 cps	Grès feldspathique à la limite du quartzite, à grains moyens. Présence de cailloux flottants (1 à 2%) principalement quartzitiques, quelques cailloux arkosiques. Grains de quartz rosés et grains d'ar- gilite.	Indicateur		


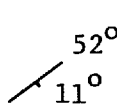
Statistiques

STATION	RA SPP2	DESCRIPTION	FORMATION	ECHAN- TILLON	ANALYSE
2M149	100 cps	Grès feldspathique à grains moyens qui passe au sommet du banc à une argilite fine mauve avec schistosité bien développée.  Toujours la présence de grains rouges quartzitiques et argileux dans le grès (Grosueur 1,0 m.).	Indicateur		
2M150	50 cps	Arkoses microconglomératiques à feldspaths recristallisés. Cailloux flottants abondants varient de 10 à 20%. Composition quartzitique principalement. Fragments, grains rouges de quartz et argilite. Stratification: 	Indicateur		
2M151	60 cps	Quartzite blanc moucheté de rouge (points d'hématisation diffuse sur 1 centimètre de diamètre, disséminés dans la roche). Les laminations apparaissent à 1,5 mètre du sommet. Ce sont des petites laminations rosées, centimétriques mineures. On peut voir un peu de feldspath occasionnellement. Après une dizaine de mètres, on note l'apparition de laminations rouges lie-de-vin à granulométrie fine. L'hématisation est de plus en plus importante à mesure que l'on descend dans la séquence.	Indicateur		

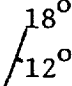
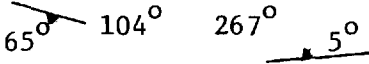
Statistiques

STATION	RA SPP2	DESCRIPTION	FORMATION	ECHAN- TILLON	ANALYSE
2M152	25 cps	<p>Quartzite blanc tabulaire en couches d'épaisseur peu variable, de 8 à 10 cm., à grains fins. Les couches sont continues, retroussées; il n'y a pas d'entrecroisements ni troncatures.</p> 	Indicateur		
	50 cps	<p>A quelques mètres en descendant dans la séquence, on retourne à des quartzites blancs mouchetés de taches d'hématisation avec grains grossiers. La stratification donnée par les laminations est de nouveau légèrement pentée vers l'Est.</p>			
2M153	55 cps	<p>Grès feldspathique à grains moyens de couleur rose (hématisation), passées à grains grossiers à feldspaths recristallisés couleur pêche (rosé). Présence de grains de quartz roses.</p>	Indicateur		
2M154	70 cps	<p>Sub-arkoses microconglomératiques à cailloux flottants à feldspaths recristallisés couleur pêche (rosés).</p>	Indicateur		

Statistiques

STATION	RA SPP2	DESCRIPTION	FORMATION	ECHAN-TILLON	ANALYSE
2M155	70 cps 70 cps	<p>Zone de contact entre les sub-arkoses microconglomératiques, IDEM à 2M54, et quartzite laminé rose et blanc. La schistosité au contact est ± développée. Le contact est franc mais non planaire, il est plutôt ondulant.</p> 	Indicateur		
2M156	60 cps	Grès feldspathique presque sub-arkosique à cailloux flottants. Les feldspaths sont recristallisés et teintés.	Indicateur		
2M157	50 cps	Grès feldspathique à grains moyens à grossiers avec passées hématisées de couleur rosée à granulométrie plus fine, schistosées.	Indicateur		
2M158	75-80 cps	<p>Grès feldspathique laminé, rose et blanc. Linéations grises aussi présentes; quelques bancs presque quartzitiques (mineurs).</p> <p>Stratification ?? </p> <p>prise sur laminations.</p>	Indicateur		

Statistiques

STATION	RA SPP2	DESCRIPTION	FORMATION	ECHAN- TILLON	ANALYSE
2M159	100- 125 cps	<p>Série de sub-arkoses microconglomératiques et grès feldspathiques alternant sur une dizaine de mètres, à feldspaths recristallisés et cailloux quartzeux flottants passant brusquement à des sub-arkoses grossières, microconglomératiques verdâtres à feldspaths blancs.</p> <p>Stratification: </p> <p>La zone d'affleurement, une falaise, est délimitée par une faille. N-S. sub-verticale.</p> <p>Diaclases: </p>	Indicateur		
2M160	65 cps	Sur-arkoses microconglomératiques avec beaucoup de fragments rougeâtres quartzeux.	Indicateur		
2M161	30 cps	Quartzite blanc et rose laminé avec fort pourcentage d'hématisation.	Indicateur		

PROJET: MONTS OTISH

Claude Marcotte
Francis PerronFICHE D'AFFLEUREMENT

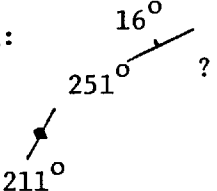
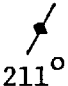
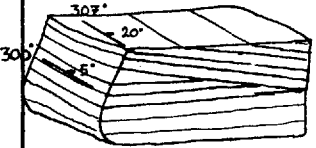
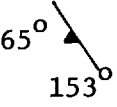
DATE: 13 juillet 1980

LOCALISATION: Orthophoto G-Nord

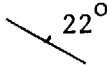
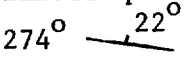
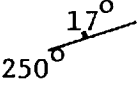
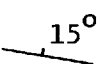
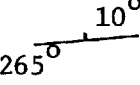

STATISTIQUE: Coupe: 2C-71

KM DE COUPE: 4,85 km.

KM RADIOMETRE:

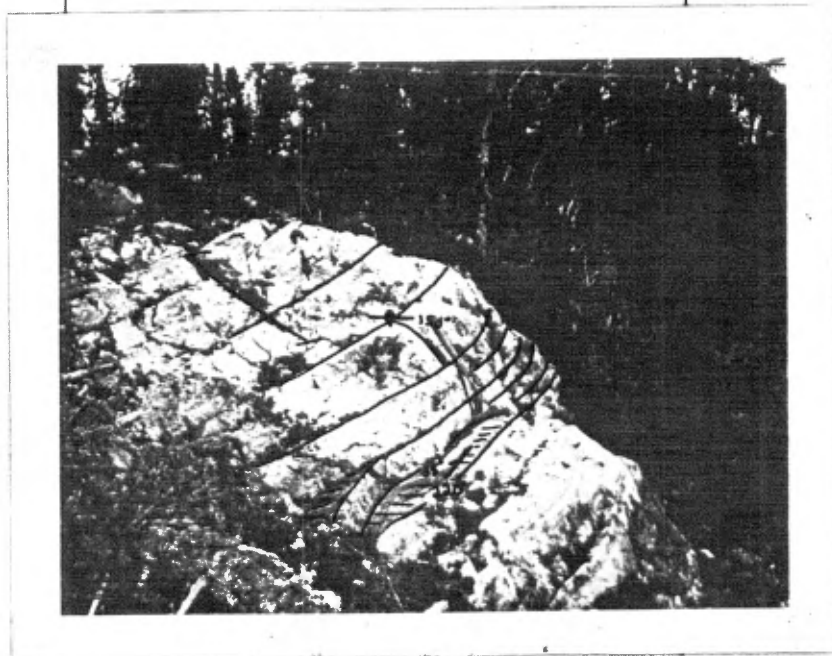
STATION	RA SPP2	DESCRIPTION	FORMATION	ECHAN- TILLON	ANALYSE
2M162	35 cps	<p>Quartzite rosé laminé, à bandes centimétriques rosées avec quelques passées rouges.</p> <p>Stratification:</p>  <p>Diaclases:</p> 	Indicateur		
2M163	35 cps	<p>Quartzite blanc rosé à laminations entrecroisées; points d'hématite disséminés donnent une allure mouchetée.</p> <p>Grains moyens à grossiers, poreux par endroit; grains de quartz rouges et grains d'argilite.</p>  <p>1 m.</p> <p>Diaclases:</p> 	Indicateur		
2M164	950 cps	<p>Bloc - Grès feldspathique grossier à passées microconglomératiques et cailloux de quartz flottants.</p> <p>Point chaud ponctuel.</p> <p>Mouvement propre 150 cps.</p>	Indicateur		

Statistiques

STATION	RA SPP2	DESCRIPTION	FORMATION	ECHAN-TILLON	ANALYSE
2M165	35 cps	<p>Quartzite rose laminé, IDEM à 2M162</p> <p>Stratification: 292°</p> 	Indicateur		
2M166	55 cps 40 cps 60 cps	<p>Quartzite rose laminé avec bandes millimétriques lie-de-vin,</p>  <p>sous une quartzite rose avec un peu moins de laminations (40 cps) avec ni grains et ni texture.</p> <p>Les deux bancs sont séparés par une bande de grès grossier blanchâtre à verdâtre choquant à 60 cps et de 4 à 5 cm d'épaisseur.</p> 	Indicateur		
2M167	35 cps	<p>Quartzite rose laminé.</p> <p>Les laminations roses sont en relief en général (moins feldspathique, donc plus solide ?).</p> <p>On note la présence de rares agrégats de grains de quartz de couleur orange en saillie dans la roche. Ils sont de taille centimétrique.</p> 	Indicateur		
2M168	35 cps	<p>Quartzite rose laminé, hématisation ocre, rouge foncé; laminations discontinues, ondulantes ne suivant pas la stratification, annoncent le quartzite rouge.</p> <p>Stratification: 10°</p>  <p>Diaclases: 310°</p> 	Indicateur		

Statistiques

STATION	RA SPP2	DESCRIPTION	FORMATION	ECHAN- TILLON	ANALYSE
2M168	suite	Directement au-dessus, on retrouve les quartzites à débit tabulaire et fort pendage de couleur rouge avec intercouches à recristallisation quartzitique blanche.			
2M169	30 cps	Quartzite rouge à laminations millimétriques à grains rouges. Stratification: 276° 18° Diaclasses: 65° 153°	Indicateur		
2M170	35 cps	Quartzite rose tabulaire en bancs de 4 à 5 cm. d'épaisseur, massifs, avec en général, deux laminations rouges par banc, avec intercouche recristallisée blanche.	Indicateur		



Statistiques

STATION	RA SPP2	DESCRIPTION	FORMATION	ECHAN- TILLON	ANALYSE
2M171	90 cps	Sub-arkoses microconglomératiques rosées à cailloux de quartz flottants à fragments de quartzite rosé et feldspaths recristallisés.	Indicateur		

PROJET: MONTS OTISH

FICHE D'AFFLEUREMENT

DATE: 11.7.80

LOCALISATION: "G" nord

STATISTIQUE: 2C#72

KM DE COUPE: 3.84

KM RADIOMETRE: 7.68

STATION	RA SPP2	DESCRIPTION	FORMATION	ECHAN- TILLON	ANALYSE
2V152	45-65 max. 850	White feldspathic sandstone which is usually medium grained but varies up to very coarse grained. The boulders are very large, avg. 5-15 m. ³ in size. There are red oxidation spots, floating polygenetic pebbles and no evidence of cross-bedding. One boulder with red and green argillite (20 cm. thick) was observed. 850 c/s is in a medium grained feldspathic green sandstone with 25-35% sericitic matrix. The feldspar grains have been totally altered and leached with limonitic kaoline remaining.	Overburden (Indicateur)		
2V153	50	Coarse to very coarse grained, pink feldspathic sandstone with floating polygenetic pebbles. Sorting is fairly poor, quartz grains are subangular to subrounded and the cement is feldspathic. Bedding is massive and several meters thick. There are more arkosic phases which are microconglomeratic as well as orthoquartzites with feldspathic cement than at 2V-152.	Indicateur / 125,17 / 060,42 / 079,90 Ψ 166 / 337,71		
2V154		There are symmetrical ripples on the surface of some beds.	Indicateur		
2V155	50	Idem 2V154. There appears to be large channels present but with only a few pebbles present.			
2V156	65	Green arkosic microconglomerate with only a few floating pebbles. It lenses out rapidly and has been eroded by the pink feldspathic sandstone phase.	Indicateur / 160,4 / 020,78 } major / 180,90 } / 090,80 minor		

Statistiques 2C#72

STATION	RA SPP2	DESCRIPTION	FORMATION	ECHAN- TILLON	ANALYSE
2V157	50	Pink-white, medium grained feldspathic sandstone which grades up to massive white orthoquartzite.	Indicateur ↘ 040,80 (10 cm. displacement) ↙ 105,85		
2V158	55	<p>Large scale trough.</p> <p>Predominantly coarse grained feldspathic sandstone with subarkosic and arkosic phases.</p> <p>There are some floating polygenetic pebbles present.</p>	<p>Indicateur</p> <p>↗ SW to W ↗ 290°</p> <p>↙ 105,14 ↙ 138,39</p> <p>↗ 318</p> <p>↙ 020,79 ↙ 135,90 ↙ 079,69</p>		
2V159	55	Coarse grained subarkose. The feldspar grains are white and kaolinized while the quartz grains are rounded to subangular and pinkish beige. The rock is well foliated.	Indicateur		
2V160	50	A well foliated, greenish white, medium grained sandstone overlying coarse grained subarkose which has floating pebbles of which approx. 80% are of sedimentary origin, including green shales, arkoses and feldspathic sandstones. Many of the pebbles have a red rim indicating that hematite has been leached out of the feldspathic matrix.	<p>Indicateur</p> <p>↙ 077,25</p> <p>↗ 006</p> <p>↙ 134,77 ↙ 137,87</p>		

Statistiques 2C#72

STATION	RA SPP2	DESCRIPTION	FORMATION	ECHAN- TILLON	ANALYSE
2V161	45-50	<p>Green medium to coarse grained feldspathic sandstone with microconglomeratic phases. There are two sets of bedding, the lower horizontal and the other 180°, 11. Assuming the upper to be a cross-bedding trough, the current direction would be 270°. There are a few floating quartz pebbles. Sedimentary pebbles are rare but present.</p>	<p>Indicateur</p> <p>↗ 270 ↗ 330</p> <p>+000,00 ↘ 060,90 ↘ 020,90 ↘ 130,80</p> <p>↘ 070,90 ↘ 070,79</p>		
2V162	50-100	<p>Mottled pink and green coarse to medium grained feldspathic sandstone with floating pebbles of granite, quartz, orthoquartzite and arkose.</p> <p>Arkosic pebbles produce a 8 mm. zone of green matrix while the rest tends to be spotted with red grains of feldspar and feldspathic cement.</p>	<p>Indicateur</p>	<p>2V-162 2V-1622 2V-1623</p>	<p>L.M. L.M. L.M.</p>

PROJET: MONTS OTISH

FICHE D'AFFLEUREMENT

DATE: 13/7/80

LOCALISATION: "G" nord

STATISTIQUE: 2C#73

KM DE COUPE: 5.0

KM RADIOMETRE: 10.0

STATION	RA SPP2	DESCRIPTION	FORMATION	ECHAN- TILLON	ANALYSE
2V163	35	Felsenmeer of pink orthoquartzite, medium grained, well sorted with round grains. The rock is laminated both by grain size and intensity of pink colour (and sometimes white beds), cross-bedding and cross-ripple lamination is rare.	Indicateur		
2V164	30	Medium to fine grained, white and pink orthoquartzite with silica cement and in between some laminations, feldspathic cement. Some cross-bedding is present. The tri is excellent and the grains are very mature.	Indicateur ↙ 283,51 ↗ 035 ↘ 058,90		

PROJET: MONTS OTISH

FICHE D'AFFLEUREMENT

DATE: 14/7/80

LOCALISATION: "G" nord

STATISTIQUE: 2C#74

KM DE COUPE: 4.7

KM RADIOMETRE: 9.4

STATION	RA SPP2	DESCRIPTION	FORMATION	ECHAN- TILLON	ANALYSE
2V165	55	Very coarse grained, salmon coloured, microconglomeratic arkose. The feldspars are natural coloured but have been kaolinized and lack fresh surfaces (in some cases, they have been totally leached away). Approx. 35% orthoclase present in a very poorly sorted rock.	Indicateur 329,61		
2V166	60	Arkosic white microconglomerate with very rare floating pebbles. The rock is a beige-white and the grains rarely exceed 4 mm. in size and average 1-2 mm. The beds are massive and exceed 2.5 m. in thickness. The microconglomerate has up to 50% feldspar, it grades up to a coarse grained subarkose, then medium grained feldspathic sandstone and finally to orthoquartzite. The beds vary from 10 m. thick for a complete sequence to >25 cm. for incomplete sequences. There are sedimentary pebbles present.	Indicateur 265,11 059,67 142,90 028,73	2V166	
2V167	30-75	Greenish to white orthoquartzite with irregular pink phases. The sediment varies in maturity from good to moderate. The grain size at the base is medium but grades upwards to a laminated two grain size (coarse and very fine) orthoquartzite. Usually the cement is feldspathic. The feldspathic content increases sharply towards the top of the unit but remains as a cement rather than detritic content.	Indicateur 232,85 017,90 283,67 182		
2V168	55-65	Feldspathic beige sandstone (coarse grained) with beds of floating pebbles probably of minor channels.	Indicateur		

Statistiques 2C#74

STATION	RA SPP2	DESCRIPTION	FORMATION	ECHAN- TILLON	ANALYSE
2V169	60	Microconglomeratic, very coarse grained arkose idem 2V165 except a little more mature.	Indicateur		
2V170	60	Idem 2V169.	Indicateur		
2V171	55	Arkosic green microconglomerate with pink-orange feldspar idem 2V166. Outcrop is very small.	Indicateur		
2V172	55	Idem 2V171.	Indicateur		
2V173	50	Small outcrop of microconglomeratic greenish subarkose. The grains are subrounded to subangular and the tri is poor. Floating pebbles are rare.	Indicateur		
2V174	35	Laminated green and pink ortho-quartzites. The sediments have occasional bands of floating pebbles. The orthoquartzite is fairly mature with well rounded fine grains of quartz. The cement is predominantly feldspathic but silica cement is present in the more mature sediments.	Indicateur ✓ 120,83		
2V175	65	Idem 2V166 (graded beds of arkosic microconglomerate to coarse grained subarkose to medium grained feldspathic sandstone and orthoquartzite). Cross-bedding is extremely poorly developed. Beds are very massive (>2m.).	Indicateur ✓ 056,60 ✓ 145,82 ✓ 282,18		
2V176	55	Massive, white very coarse grained subarkose with polygenetic fragments (including sediment). The quartz and feldspar grains are subrounded. The N143 joints are strong and up to 4 /m. There are no sedimentary structures evident.	Indicateur ✓ 325,12 ✓ 044,85 ✓ 143,90 ✓ 136,75 ✓ 094,79		

Statistiques

2C#74

STATION	RA SPP2	DESCRIPTION	FORMATION	ECHAN- TILLON	ANALYSE
2V177	65	Idem 2V166 and 2V175.	Indicateur		
2V178	50	Idem 2V167 and 2V174. Massive white orthoquartzite, medium grained with silica cement. Laminated with some cross-bedding. There are a few areas with bright hematite spots. Towards the top of the exposure, it is more feldspathic, at least there is more matrix.	Indicateur \swarrow 265,13 \swarrow 147,90 \swarrow 052,57 \nearrow 083 Ψ 187		
2V179	40	1 m. thick bed of fine grained pink feldspathic sandstone.	Indicateur		
2V180	45	Laminated bright pink-red and white medium grained orthoquartzite. There is some cross-bedding and cross-ripple laminations.	Indicateur		
2V181	70	Laminated orthoquartzite, usually medium grained with cross-bedding (av. 10-30 cm. high). Laminations are denoted by variations in colours of pink red and white and in cement. There is laminated cross-bedding of silica and feldspathic cemented orthoquartzite. There are also large $\frac{1}{2}$ to 1 m. spots of secondary hematite staining.	Indicateur \swarrow 033,8 \nearrow 348 \swarrow 150,90		

PROJET: MONTS OTISH

P. Caumartin
A. Girard

FICHE D'AFFLEUREMENT


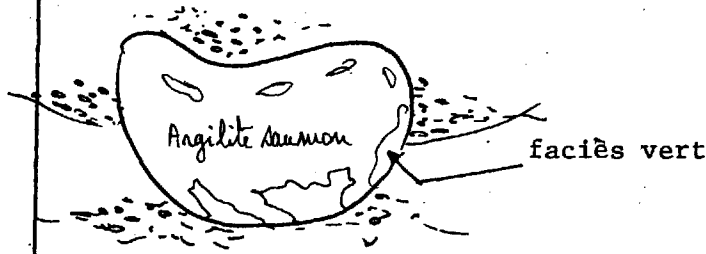

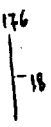
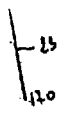
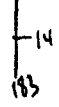
DATE: 11.7.80

LOCALISATION: "G" nord


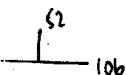
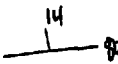
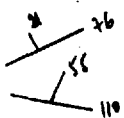
STATISTIQUE: 2C75

KM DE COUPE:

KM RADIOMETRE:

STATION	RA SPP2	DESCRIPTION	FORMATION	ECHAN- TILLON	ANALYSE
2P197	50	Grès grossier feldspathique à granules flottants de feldspath et quartz rose. So: N160,8E			
2P198	50	Microconglomérat subarkosique rose, localement vert, à galets flottants de quartz blanc et de quartzite rose. Présence d'esquilles d'argilite rose saumon panaché.			
					
2P199	40-60	Microconglomérat subarkosique rose reposant sur un grès grossier subarkosique rose, avec une interface schistosée. Présence de galets flottants hématisés. So: N194,05E S ₁ : N63,30S			
2P200	50	Microconglomérat arkosique (granulométrie 2-5 mm) à galets flottants. Couleur rose. So: N168,11E. 10 m plus loin: So: N176,18E.			
2P201	60	Grès à grain moyen feldspathique, vert. Massif, surmontant un microconglomérat subarkosique vert. So: N170,23E.			
2P202	55	Grès à grain moyen feldspathique, vert. So: N183,14E.			

Statistiques 2C75

STATION	RA SPP2	DESCRIPTION	FORMATION	ECHAN- TILLON	ANALYSE
2P203	50	Microconglomérat arkosique vert, sur- monté par un grès arkosique vert.			
2P204	55	Grès vert subarkosique. So: N126,23N.			
2P205	50	Grès subarkosique rosé. So: N96,26N.			
2P206	50	Microconglomérat arkosique surmon- tant un microconglomérat subarkosique (puissance 5 m).			
2P207	50 30	Sous un microconglomérat subarkosique rosé, So: N149,9E, un grès feldspa- thique verdâtre, puis un orthoquartzite blanc à "pois hématisés" à strati- fications très redressées et débit 5 cm (type "megaride"). So: N106,52N.			
2P208	125	Grès arkosique très fin et vert sous une So N80,14N. Microconglomérat subarkosique rose.			
2P209	50	Sous 1 ^{er} orthoquartzite blanc à "pois hématisés" (φ: 3 m), un grès feldspa- thique verdâtre, puis un orthoquartzite lie-de-vin, finement laminé.			
2P210	50	Microconglomérat arkosique grossier, surmontant un grès feldspathique rosé. Deux faciès affectés par le prolongement de l'accident méridien parallèle de celui du "G", seul le microconglomérat présentant des stries granuleuses.			
2P211		Contact conglomérat vert à galets de quartz blanc-quartzite blanc (type "mégaride").	So N76,21N So N110-55N		

P. Caumartin
A. Girard

FICHE D'AFFLEUREMENT

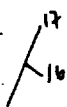
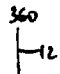
DATE: 13.7.80

LOCALISATION: "G" Nord

STATISTIQUE: 2C76

KM DE GEOLOGIE: 6.5


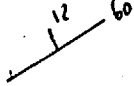
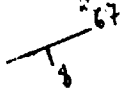
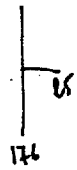
KM DE RADIOMETRIE: 6.5

STATION	RA SPP2	DESCRIPTION	FORMATION	ECHAN- TILLON	ANALYSE
2P212	35	<p>Orthoquartzite blanc rosé, plus ou moins massif, à laminations fantômes. Puis, au sommet: 10 cm de grès feldspathique, grain grossier, laminé, servant de transition à un niveau de quartzites rose-lie-de-vin, finement laminé, présentant une hématisation secondaire dentelée sur la stratification. So: N22,8SE.</p> <p>Au-dessous (sans que la transition soit visible, faute d'affleurements), orthoquartzite blanc rosé, grain moyen translucide, très légèrement lité. So: N17,16SE. Stries glaciaires: N30. </p> <p>50 m plus à l'ouest (au-dessous), orthoquartzite rose finement laminé, à grain moyen à fin (dont grains d'hématite) translucide, puis 10 cm de grès feldspathique laminé et orthoquartzite lie-de-vin laminé à interfaces d'hématite.</p>			
2P213	50-60 (Th) 70	<p>Orthoquartzite blanc (pain de sucre), légèrement translucide et rosé (30 cm). Passages de grès feldspathique grossier surmontés par des quartzites blancs, grain grossier à nettes laminations secondaires d'hématite rouge.</p> <p>Présence de plus en plus fréquente de niveaux laminés.  So: N360,12E S₁: N68,30S.</p>			

Statistiques 2C76

STATION	RA SPP2	DESCRIPTION	FORMATION	ECHAN- TILLON	ANALYSE
2P214	50	Subaffleurement de microconglomérat feldspathique rose vif à rares galets flottants de quartz gris. Présence fréquente de grains grossiers hématisés.			
2P215	40	Microconglomérat subarkosique au grain régulier, 2-4 mm, vert clair, avec des granules de quartz rose.			
2P216	60	Conglomérat subarkosique vert, à granules de quartz (3-8 cm). Nombreux quartz roses.			
2P217	60	Microconglomérat arkosique (grain 2-5 mm) à feldspaths altérés rose saumon, grain homogène. Localement, granules de quartz blanc laiteux et roses. So: N167,3E.			
2P218	35	Orthoquartzite blanc rosé à lames floues épaisses (5-8 cm), plus rosées. So: N10,30E. Stratifications légèrement obliques. Localement, le faciès est plus rouge. Granulométrie bimodale: grain grossier grain fin.			
2P219	50/85	Contacts. A la base, grès feldspathique laminé rose (un peu comme l'orthoquartzite précédent) (plus rouge, plus opaque). Puis, un conglomérat (dix cm) vert à galets de quartzite rose et quartz gris. Puis, grès grossier subarkosique (30 cm) rose. Enfin, microconglomérat homogène (4-6 mm de granulométrie) rose. So: subhorizontale.			

Statistiques 2C76

STATION	RA SPP2	DESCRIPTION	FORMATION	ECHAN- TILLON	ANALYSE
2P220	40-50	Microconglomérat arkosique rose, identique à celui du 2P214. So: N60,12W.			
2P221	40-50	Grès grossier arkosique rose. So: N60,12W			
2P222	50-60	Grès grossier subarkosique blanc rosé à galets rares. So: N67,8S. Au-dessus, microconglomérat subarkosique vert.			
2P223	35	Orthoquartzite blanc à pois roses (pain de sucre), surmonté par un horizon décimétrique, rose laminé-lie-de-vin. Au-dessus, orthoquartzite blanc, pain de sucre, à grains de quartz hématisés (très rares). So: N176,25E.			

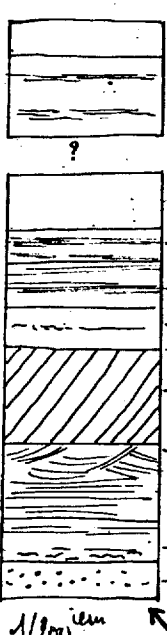
DATE: 14.7.80

LOCALISATION: "G" Nord

STATISTIQUE: Coupe 2C77

KM DE GEOLOGIE: 5

KM RADIOMETRE:

STATION	RA SPP2	DESCRIPTION	FORMATION	ECHAN- TILLON	ANALYSE
2P224	75- 120	Station de boulders anguleux. Grès gros- siers subarkosiques blanc-gris. Feldspaths blancs, très altérés. Quelques grains de quartz rose.			
2P225	60	Grès grain moyen feldspathique vert, passant progressivement (niveaux à galets) à un grès à grain grossier subarkosique vert. Présence de formes oblongues à péri- phérie rose et coeur crème gréseux. - anciens galets? - phénomènes rédox? Stratification subhorizontale.			
2P226	60	Grès subarkosique à grain grossier vert, à petites taches d'hématisation.			
2P227	35	Orthoquartzites:			
sommet		 <ul style="list-style-type: none"> - Rose saumon, légèrement laminé. Au sommet, lits hématisés. Fentes de dessiccation. - Lie-de-vin, laminé à hématisation diapirique rouge, grain moyen. Présence de grains d'hématite (grains fins). Aspect fin. - Beige, à laminations roses, grain moyen, débit décimétrique - Rose saumon, laminé, à stratifications légèrement obliques, gr.mo - Rose-lie-de-vin, débit centimétrique, même faciès qu'au-dessus - Rose-lie-de-vin, finement laminé, à passées feldspathiques, interface rouge discordant. - "Mégaride", débit 5-10 cm. Rose pâle à rares pois hématisés, grain moyen. So: N116,22N. Extension latérale 100 m. - Rose, à laminations rouges, plus ou moins nettes. Grain fin. Hématisation diapirique sur la stratigraphie. Entrecroisements faibles. Lentilles feldspathiques. - Grès feldspathique alternant avec des orthoquartzites (10 cm) - Laminations rouge-rose. Gr.moyen. Hématisation secondaire diapirisant la stratigraphie. Ripple marks NS. - Blanc-rose, avec des points et rares pois hématisés. Léger litage. Stries NS dans le quartz blanc. 			

PROJET: MONTS OTISH

Claude Marcotte
Aline MorinFICHE D'AFFLEUREMENT

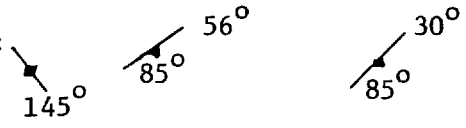
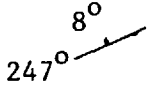
DATE: 17 juillet 1980

LOCALISATION: Coupe: 2C-79

STATISTIQUE: Orthophoto G-Nord

KM DE COUPE: 1,825 km

KM RADIOMETRE:

STATION	RA SPP2	DESCRIPTION	FORMATION	ECHAN- TILLON	ANALYSE
2M172	50 cps	Arkose microconglomératique à feldspaths recristallisés rosés. Cailloux de quartz flottants ($\pm 5\%$) sub-arrondis de taille centimétrique.	Indicateur		
2M173	60 cps	Arkose microconglomératique, IDEM à 2M172. Passages conglomératiques. Diaclasses:  Stratification: 	Indicateur		
2M174	50 cps	Arkose microconglomératique, IDEM à 2M172-173.	Indicateur		
2M175	65 cps	Sub-arkose grossière, cailloux flottants quartzeux, sub-arrondis.	Indicateur		
2M176	50 cps	Sub-arkose grossière, IDEM à 2M175. Recristallisation de feldspaths et de quartz.	Indicateur		

PROJET: MONTS OTISH

Patrice Caumartin
Yolande Bisson

FICHE D'AFFLEUREMENT

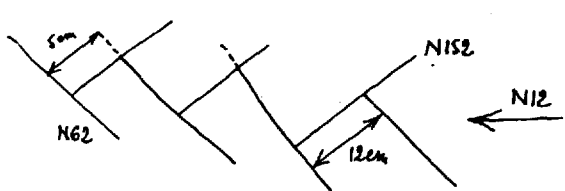
DATE: 16.7.80

LOCALISATION: "G" nord

STATISTIQUE: Coupe 2C80

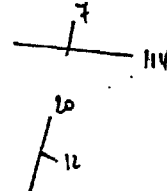
KM DE GEOLOGIE: 4

KM RADIOMETRE: 4

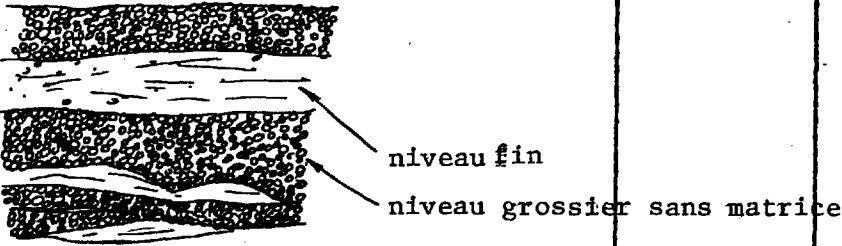
STATION	RA SPP2	DESCRIPTION	FORMATION	ECHAN- TILLON	ANALYSE
2P228	50- 100	<p>Grès feldspathique finement lité: - matériel feldspathique fin et rose - matériel quartzeux, grossier, vert. So: N130,15E.</p> <p>A la base de l'affleurement, de petits lits d'argilite rougeâtre alternent avec des films rouges hématisés. Fractures en échelons.</p> 			
2P229	50	<p>Grès subarkosique, grain moyen à fin, blanc légèrement rosé. Stries glaciaires: N10</p>	N10 ↘		
2P330		<p>Du sommet de la butte à la base, la succession suivante selon la stratigraphie So: N114,10E.</p>			

Statistiques Coupe 2C80

STATION	RA SPP2	DESCRIPTION	FORMATION	ECHAN-TILLON	ANALYSE
	50/60	Grès subarkosique blanc rose.			
	90/100	Grès feldspathique à niveaux d'argilite rose saumon.			
	60	<p>↑ Subarkosique</p> <p>Grès grossier blanc, à débit "en plaquettes".</p> <p>↓ Arkosique</p>			
	100/125	Grès feldspathique, à grain fin à moyen, matrice fine, sans doute subarkosique à arkosique. Nombreuses laminations, alternativement vert clair à roses, ponctuées par des lits centimétriques d'argilite rouge.			
	50	<p>↑ Subarkosique</p> <p>Grès finement lité, cf. 2P228</p> <p>↓ Feldspathique</p>			
	50/60	Grès à grain moyen, feldspathique, blanc.			
	60/70	Grès subarkosique à arkosique, grain moyen à fin, verdâtre très clair, finement laminé.			
		Grès subarkosique à arkosique, grain grossier, granules volants			
		Microconglomérat blanc subarkosique			
		1/200ième			
2P231		Corniche avec, de haut en bas:			
	10 m	<ul style="list-style-type: none"> - grès subarkosique blanc - grès panaché subarkosique à feldspathique - grès grossier, saumon, subarkosique 			
2P232		Microconglomerats subarkosiques et feldspathiques, blanc-rose, localement ocre, avec taches d'hématisation. So: N114, 7E.			
2P233	80-90	Grès feldspathique vert-rose panaché. So: N20, 12SE.			



Statistiques

STATION	RA SPP2	DESCRIPTION	FORMATION	ECHAN- TILLON	ANALYSE
2P234	50-60	<p data-bbox="469 415 1067 541">Grès très finement laminé rose-mauve, composé de lits d'orthoquartzite, grossier ravinant des lits à grain fin feldspathique.</p>  <p data-bbox="852 722 1009 751">niveau fin</p> <p data-bbox="852 772 1306 802">niveau grossier sans matrice</p> <p data-bbox="624 884 868 913"><u>grandeur nature</u></p>			

Patrice Caumartin
Yolande Bisson

FICHE D'AFFLEUREMENT

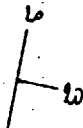
DATE: 17.7.80

LOCALISATION: "G" nord

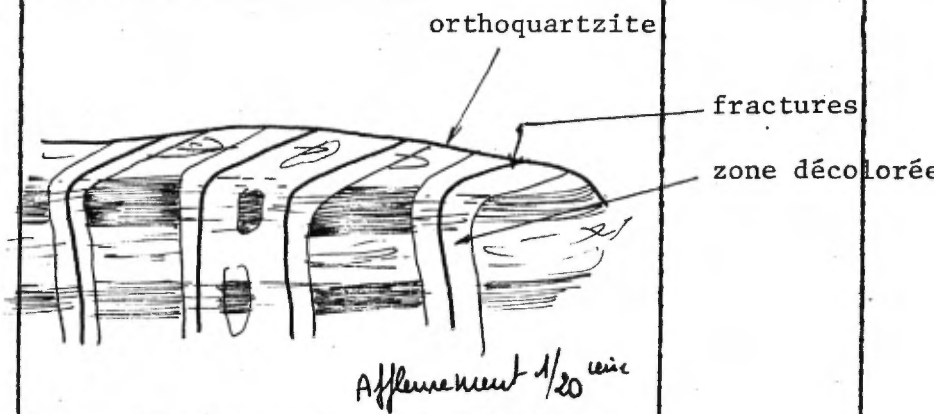
STATISTIQUE: 2C81

KM DE GEOLOGIE: 6.7

KM DE RADIOMETRIE: 6.7

STATION	RA SPP2	DESCRIPTION	FORMATION	ECHAN- TILLON	ANALYSE
2P235	80- 100	<p>Station de boulders anguleux, de grande taille (6 à 60 m³), verts, comprenant 3 types de granulométrie.</p> <p>- <u>Arénitiques</u></p> <p>Blocs les plus importants, subarkosiques à feldspathiques, à ciment sans doute arkosique vert, présentant de fines laminations hématisées et localement des interfaces de fuchsite.</p> <p>- <u>Faciès microconglomératique</u></p> <p>Subarkosique à feldspathique à rares galets roses (quartzite ou calcédoine?)</p> <p>- <u>Conglomérat à galets et granules de quartz blanc</u>. Encore là, les granules et galets roses sont rares (<5%). Le ciment est grossier subarkosique (la puissance du conglomérat est inférieure au mètre, si l'on en juge par l'allure des boulders).</p>			
2P236		<p>Orthoquartzite laminé violet-lie-de-vin, à fines stratifications obliques. So: N20, 20E.</p> <p>Fractures N120 verticales, de part et d'autre desquelles la roche est décolorée sur plusieurs centimètres.</p>			

Statistiques Coupe 2C81

STATION	RA SPP2	DESCRIPTION	FORMATION	ECHAN- TILLON	ANALYSE
		 <p>orthoquartzite</p> <p>fractures</p> <p>zone décolorée</p> <p><i>Affleurement 1/20 cm</i></p>			
2P237	60-100	Boulders de conglomérat arkosique vert, puissance 50 cm. Galets de quartz gris et, pour une faible partie, de galets roses.			
2P238	50-60	Microconglomérat subarkosique vert à galets de quartz gris. Localement: hématisations. So: N20, 20E.			
2P239	50-70	Grès à grain grossier, feldspathique vert.			
2P240	70-125	Falaise de grès feldspathique panaché (laminations alternativement vert clair et roses). Présence de stratifications entrecroisées. Fuchsité dans certains horizons verts. Puissance du faciès: 5 m à l'affleurement.			

PROJET: MONTS OTISH

FICHE D'AFFLEUREMENT

DATE: 21/7/80

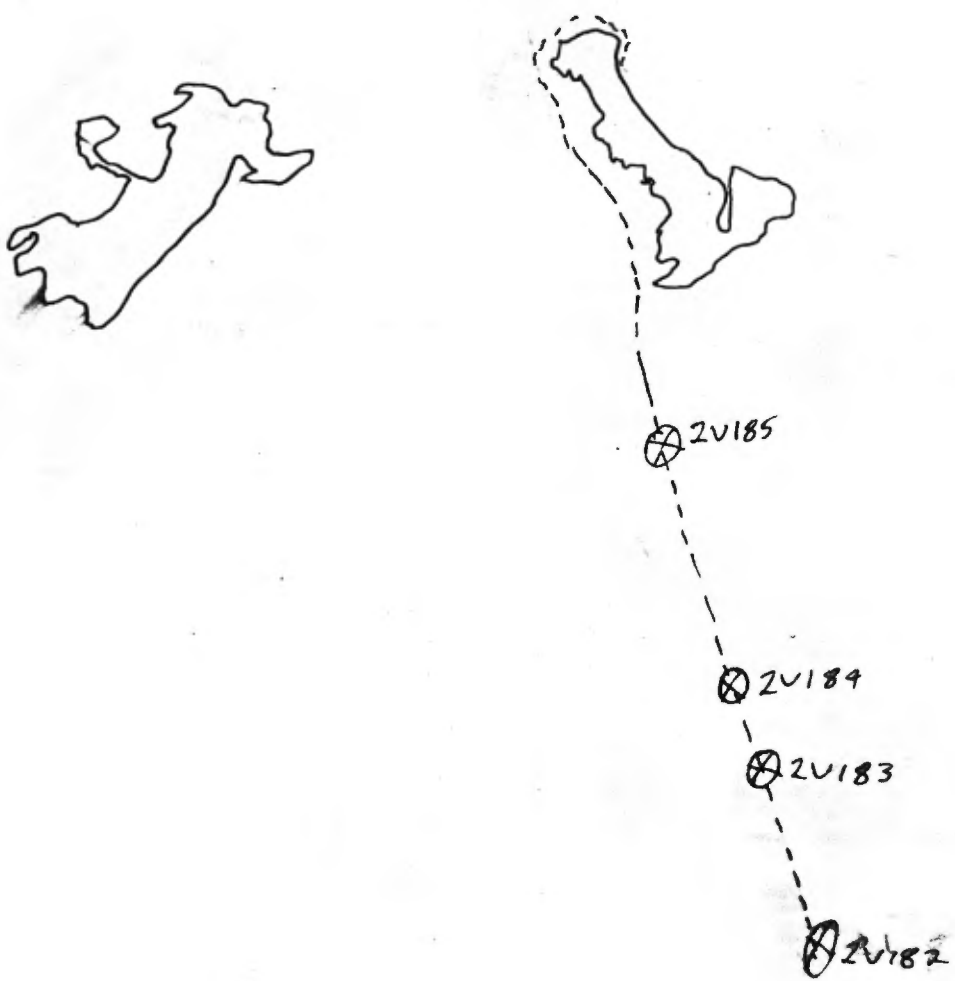
LOCALISATION: Photo Q66318-86

STATISTIQUE: 2C#87

KM DE COUPE: 2.3

KM RADIOMETRE: 4.6

STATION	RA SPP2	DESCRIPTION	FORMATION	ECHAN- TILLON	ANALYSE
2V182	35	A few small well rounded boulders of biotitic foliated dacite? and well sheared basalt or gabbro.	Overburden (Socle)		
2V183	60-80	Boulders are predominantly white feldspathic sandstones and pink orthoquartzites (frequently well laminated). Occasionally there are boulders of green conglomeratic (quartz pebbles) arkoses.	Overburden (Indicateur)		
2V184	60-80	Idem 2V183 but there are pebbles of volcanic rock in the green conglomeratic arkoses. It is very similar to the upper part of the basal conglomerate strata.	Overburden (Indicateur)		
2V185	50	Green to white, fine to medium grained feldspathic sandstone. When green, there is up to -5% matrix. Grains are fairly well sorted, subangular to subrounded. Occasionally there are symmetrical ripple marks.	Overburden (Indicateur)		
<p><u>Conclusions:</u> Contact basin-basement is between 2V182 and 2V183. The basement might be metavolcanic. The structure on the air-photo might be that of folded and faulted sediments but moraine is very thick</p>					



Q66318

86

PROJET: MONTS OTISH

Serge Lavoie
Yolande Bisson

FICHE D'AFFLEUREMENT

DATE: 26 juillet 1980

LOCALISATION: Propriété "G", Orthophoto "G" N.

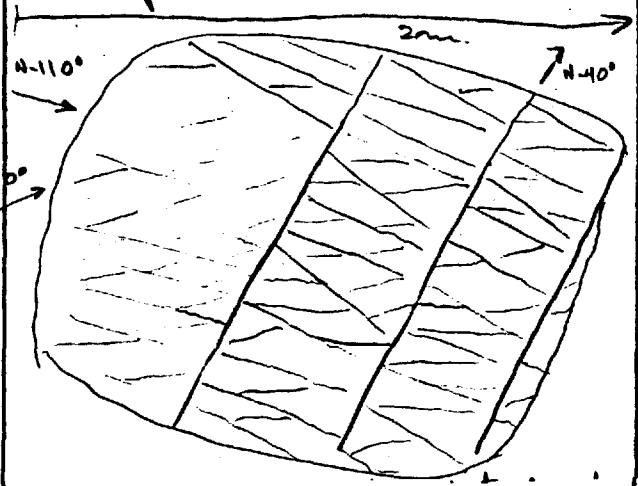
STATISTIQUE: Coupe 2C-101

KM DE COUPE: 1,4 km

KM RADIOMETRE: 1,4 km

STATION	RA SPP2	DESCRIPTION	FORMATION	ECHAN- TILLON	ANALYSE
		Positionnement des blocs de K ^o asalite, départ L.R. 50 + 00, 12 + 40 E, Direction 187°, 165 m, 2 ^s -1. Départ de 2 ^s -2, Direction 165 + 180 = 345° 25 m - S.D. 3 29 m - S.M. 2 34 m - S.O. 2 59 m - sur 265°, 2 ^s -1, 11 mètres sur 89°.			
2L-193	40 20° N-270	Direction N-345°, 80 m. Quartzite rose laminé, grain moyen à fin, lamination millimétrique, bancs massifs.			
2L-194	40 N-245 34°	IDEM à 2L-193.			
2L-195	80- 90- 100 22° N-204	Conglomérat polygénitique du "G", niveau à gros cailloux arrondis, galets épars, cail- loux rouges de quartzite et cailloux mous d'arkose, matrice fortement arkosique, feldspath blanc laiteux.			

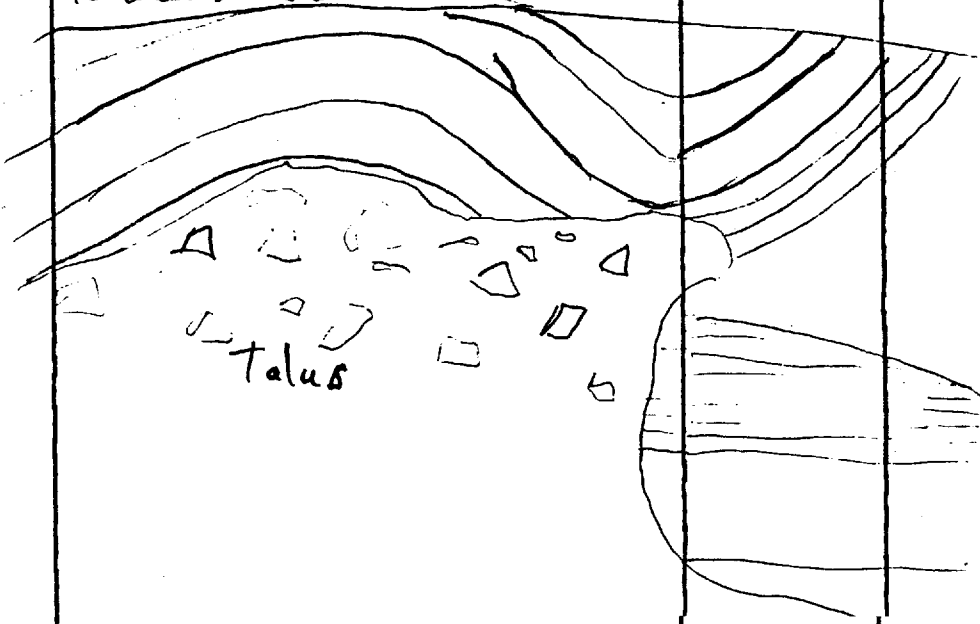
Statistiques

STATION	RA SPP2	DESCRIPTION	FORMATION	ECHAN- TILLON	ANALYSE
2L-195 suite		Des niveaux arkosiques à grain fin semblent débiter la séquence qui devient par la suite, plus conglomératique.			
2L-196	40	<p>Sur 345, ligne de base à 160 m, <i>gâteau</i> 11 + 75</p> <p>Petit affleurement décimétrique de gabbro d'Otish. Le gabbro est à grain moyen, relativement frais. Le gabbro est débité en polygones inégaux, de taille centimétrique, par des joints N-38°, 75 E, N-80°, 90°, N-110° et N-140°. La série N-40° et N-80° est la plus abondante.</p>  <p>Matériel siliceux fin introduit un peu au hasard, mais surtout selon N-100°, poche d'hématite 5 à 6 cm de diamètre, géode.</p> <p>Le conglomérat arkosique est déjà l'encaissant du gabbro.</p>			

Statistiques

STATION	RA SPP2	DESCRIPTION	FORMATION	ECHAN- TILLON	ANALYSE
2L-197	80-90 <i>200/100</i>	Microconglomérat arkosique à sub-arkosique, à cailloux et galets épars de quartz. Quelques cailloux rouges. Les feldspaths sont altérés blanc laiteux à pêche. Des joints à N-100, 110° débitent l'affleurement en blocs décimétriques, centimétriques à métriques.			
2L-198	100-150 Ptes à 400 et 200	Conglomérat à cailloux centimétriques de quartz et quelques cailloux de la série des Otish. Cailloux 1 à 2 cm, matrice grossière fortement arkosique. Débit tectonique par joints N-150°. Schistosité pénétrante N-65, 60°. Interlits d'arkose blanc verdâtre, à grain fin, massifs, en position sub-horizontale. 2L-198a: Arkose blanc verdâtre fine. Etude au spectromètre. Analyse U. Th. F. géochimique. <i>Rapport U/Th 0.98</i>		2L-198a	<i>0.6/4</i> U. Th.
2L-199	90-100 <i>0-34°</i> <i>10°</i>	Conglomérat à microconglomérat arkosique à feldspathique; niveau de paraconglomérat, cailloux épars. 2L-199a: Galet rouge dans arkose. 2L-199b: Arkose laminée à fuschite.		2L-199a 2L-199b	L.M. Réf.

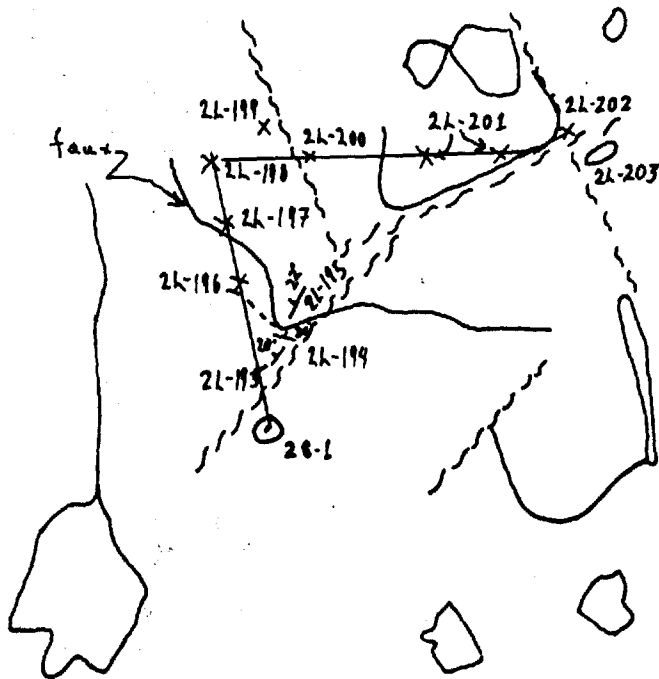
Statistiques

STATION	RA SPP2	DESCRIPTION	FORMATION	ECHAN- TILLON	ANALYSE
2L-200	50-60	Orthoquartzite blanc à matrice feldspathique, grain moyen à fin, massif, sans structure sédimentaire, faciès ocre et faciès hématisé sur plan de fracture majeure à N-160°.			
2L-201	50-90	Des grès feldspathiques ou orthoquartzite blanc, on passe progressivement à des bancs de conglomérats et microconglomérats à matrice arkosique, teinte rosée, nature polygénique, cailloux et granules rouges d'arkose et de quartz blanc, interlits de quartzite rose laminé, mais toujours en passage très progressif.			
2L-202	50	<p>Suite d'orthoquartzite et grès feldspathiques dessinent une suite synclinale anticlinale selon une coupe N-150°-330°.</p> <p>Les grès feldspathiques sont vacuolaires.</p> <p>Falaise de 15 à 20 mètres.</p> <p><i>Falaises de 15 à 20 mètres.</i></p> 			

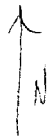
Statistiques

STATION	RA SPP2	DESCRIPTION	FORMATION	ECHAN- TILLON	ANALYSE
2L- ² 303	2530 N-310° / 75° N-160° 65°	Gabbro altéré, chloriteux, fracturé par des systèmes à N-40° et N-20°; affleurement très couvert, quelques joints à N-100-N-110°. La faille N-160° recoupe le gabbro; le compartiment "W" s'est effondré. ^{ou} Manches de pyrite, le gabbro est relativement altéré mais moins que 2L-196. 2L-203a: Gabbro d'Otish altéré, tectonisé, grain moyen à fin.		2L-203a	Réf.

COURC 2C-101



Orthophoto S' Nord



Positionnement des blocs
à Késolite, A-44.

Echelle 1:1000

• 28-1

St.

• SB2

• SH2

• SB3

• 28-2

PROJET: MONTS OTISH
 Serge Lavoie
 Francis Perron

FICHE D'AFFLEUREMENT

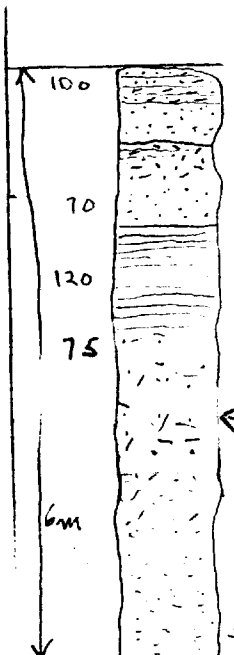
DATE: 30 juillet 1980

LOCALISATION: Orthophoto "G" Nord


STATISTIQUE: Coupe 2C-106

KM DE COUPE: 3,6 km

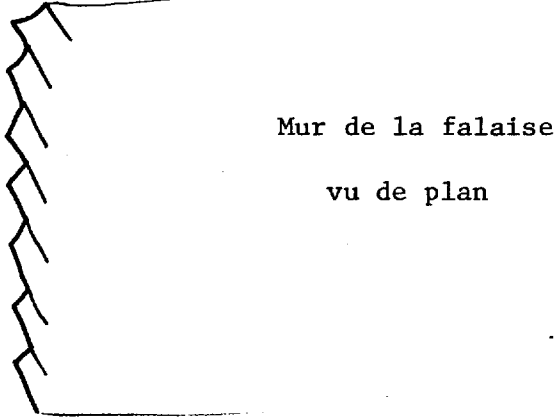
KM RADIOMETRE: 3,6 km

STATION	RA SPP2	DESCRIPTION	FORMATION	ECHAN- TILLON	ANALYSE
2L-215	100- 110 N. 190° 110°	 <p>Sub-arkose blanche, grain moyen à fin, débit en plaquettes 5 à 6 cm. Interlit de grès quartzitique, grain moyen, faciès hématisé de façon irrégulière, série panachée.</p> <p>La sub-arkose est laminée, grain moyen à fin, teinte beige; à l'affleurement, roche très poreuse, phénomène de dissolution.</p> <p>Sub-arkose beige à ocre, grain moyen à gros, feldspath rose, hématisation irrégulière ll et oblique à la stratification. Passées microconglomératiques.</p> <p>Grès feldspathique blanc rosé, grain moyen.</p>			
2L-216	70- 90	<p>Falaise abrupte de 10 mètres, mettant en passage très progressif, des sub-arkoses blanc à rosé, et des grès feldspathiques blancs. Le grès comporte des interlits 5 à 10 cm de sub-arkose et arkose et de petits niveaux de microconglomérats 1 à 2 cm, relativement quartzitiques.</p>			

Statistiques

STATION	RA SPP2	DESCRIPTION	FORMATION	ECHAN- TILLON	ANALYSE
2L-216 suite		 <p>Le débit en plaquettes est irrégulier; on passe insensiblement d'un banc massif à des grès en plaquettes de 5 à 7 cm. Laminations roses irrégulières témoignant des phénomènes d'hématisation et limonitisation.</p> <p>La stratification est quasi-horizontale.</p>			
2L-217	80	<p>Microconglomérat sub-arkosique, grain grossier comportant plusieurs niveaux de paraconglomérat à cailloux de quartz, et cailloux rouges de chalcédoine.</p> <p>Ces niveaux font de 5 à 10 cm d'épaisseur. Cailloux et galets épars de quartz. Les quartzs sont arrondis à anguleux.</p> <p>Stratification quasi-horizontale.</p> <p>Les feldspaths sont altérés, beige à rosé.</p>			
2L-218	100	<p>Séquence de sub-arkose blanche laminée, massive et localement débit en plaquettes, IDEM à 2L-215.</p> <p>Photo 2, F4, montrant la régularité des bancs.</p> <p>Stratification sub-horizontale.</p> <p>Début de la série panachée.</p>			

Statistiques

STATION	RA SPP2	DESCRIPTION	FORMATION	ECHAN- TILLON	ANALYSE
2L-219	80 N-0° ★	<p>Microconglomérat sub-arkosique, comportant quelques niveaux mineurs de paraconglomérats à cailloux de quartz et galets épars, IDEM à 2L-217.</p> <p>Feldspath saumon.</p> <p>Plan de fracture N-360° avec hématisation.</p> <p>Le plan de la falaise est à N-0° avec un débit selon N-352°, 354°.</p>  <p>Mur de la falaise vu de plan</p>			
	N-24° 15°	<p>Interlits d'arkose verte, 5 à 7 cm, recoupés par des veines de quartz.</p> <p>Alternance des faciès quartzitiques grossiers et sub-arkosiques, cailloux épars moins abondants vers le sommet de la falaise. Variation de faciès très progressive.</p>			
2L-220	80-110	<p>Suite de petits affleurements en flanc de colline. Arkose grossière blanc noir à cailloux épars de quartz.</p> <p>Feldspath rose et taches d'hématisation rouges.</p>			
2L-221	60-65	<p>Orthoquartzite laminé blanc rosé, laminations irrégulières, grain moyen.</p>			

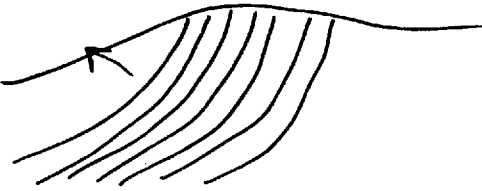
Statistiques

STATION	RA SPP2	DESCRIPTION	FORMATION	ECHAN- TILLON	ANALYSE
2L-222	60-70	<p>Microconglomérat polygénique semblable à celui du "G". Cailloux rouges, cailloux de quartz, cailloux mous d'arkose et de quartzite, galets et esquilles d'argilite.</p> <p>Les cailloux forment de 20 à 25% du paraconglomérat; ils sont arrondis à sous-anguleux, de taille centimétrique 1 à 2 cm.</p> <p>La matrice est une arkose grossière à feldspath saumon.</p>			
2L-223	70-80	<p>Barre d'orthoquartzite laminé rose; cette barre fait environ 50 m de largeur, son expression topographique est forte (voir orthophoto; le pendage est à l'est de 25 à 40°.</p> <p>L'orthoquartzite est flanqué du conglomérat polygénique de l'indice "G", le contact est très brusque entre le conglomérat et les orthoquartzites laminés.</p> <p>Les photos 4 et 5, F4, montrent le haut caractère d'hétérogénéité des quartzites laminés.</p> <p>a) dans la granulométrie; b) dans la stratification; c) dans les structures crossbedding, petits chenaux de quartz blanc.</p> <p>Les laminations blanches millimétriques sont plus grossières que les roses.</p>			
2L-224	60	<p>IDEM à 2L-223. Coupe de 100 m perpendiculaire au quartzite laminé blanc et rose, localement à stratification très redressée.</p>			

Statistiques

STATION	RA SPP2	DESCRIPTION	FORMATION	ECHAN- TILLON	ANALYSE
2L-224	suite	<p>Photo #6 présente le conglomérat ou microconglomérat polygénique, lequel se caractérise par la nature de ses cailloux, granules et galets.</p> <ul style="list-style-type: none"> . quartz . quartzite rouge . quartzite laminé . chalcédoine . et cailloux mous d'argilite rouge. <p>La texture de sa matrice fortement arkosique, feldspath altéré blanc laiteux ou saumon.</p> <p>L'hétérogénéité dans la distribution des faciès, microconglomérats, conglomérats, arkoses vertes et sub-arkoses.</p>			
2L-225	40-50 2-35 18'	<p>Quartzite rose laminé très hétérogène dans sa granulométrie et composition.</p> <p>On passe progressivement des conglomérats et microconglomérats polygéniques aux orthoquartzites roses laminés, IDEM 2L-223.</p> <p>Le passage se fait sur 125 m en direction N-88° de 2L-224 par l'intermédiaire de sub-arkose et grès feldspathique à cailloux épars; les cailloux d'argilite rouge sont particulièrement abondant dans les faciès plus fins, feldspathiques.</p>			
2L-226	25	<p>Barre de quartzite rose saumon, mégaride, à stratification très redressée à l'intérieur des quartzites laminés roses et les grès feldspathiques blancs.</p> <p>L'orthoquartzite se débite en plaquettes.</p>			

Statistiques

STATION	RA SPP2	DESCRIPTION	FORMATION	ECHAN- TILLON	ANALYSE
2L-226	suite d-320° / 42°	<p>Photo #7: vue verticale du S.W. d'une mégaride faisant 2 à 3 mètres de puissance. Habituellement, les mégarides sont coincées entre les bancs de quartzites à N-20,10°E. et leur puissance est inférieure à 1 m.</p> <p>En coupe verticale, les feuillets sont concaves vers le haut.</p> 			
2L-227	40-50 62-100 BL-2 60	<p>Sub-arkose blanche à galets épars de quartz. Passage progressif de quartz blanc laminé ou sub-arkose.</p> <p>La sub-arkose porte des niveaux de microconglomérat et conglomérat qui ressemblent à ceux de l'indice "G". Cependant cette sub-arkose est caractérisée par la présence de gros galets arrondis de quartz, 5 à 15 cm; une composition variable de l'arkose au grès feldspathique, une couleur blanche à rosée, imposée par de petits points rosés de quartz et de feldspath.</p>			
2L-228	60	<p>Sub-arkose blanche à points roses et galets épars de quartz, niveaux de paraconglomérats polygéniques. IDEM à 2L-227.</p>			

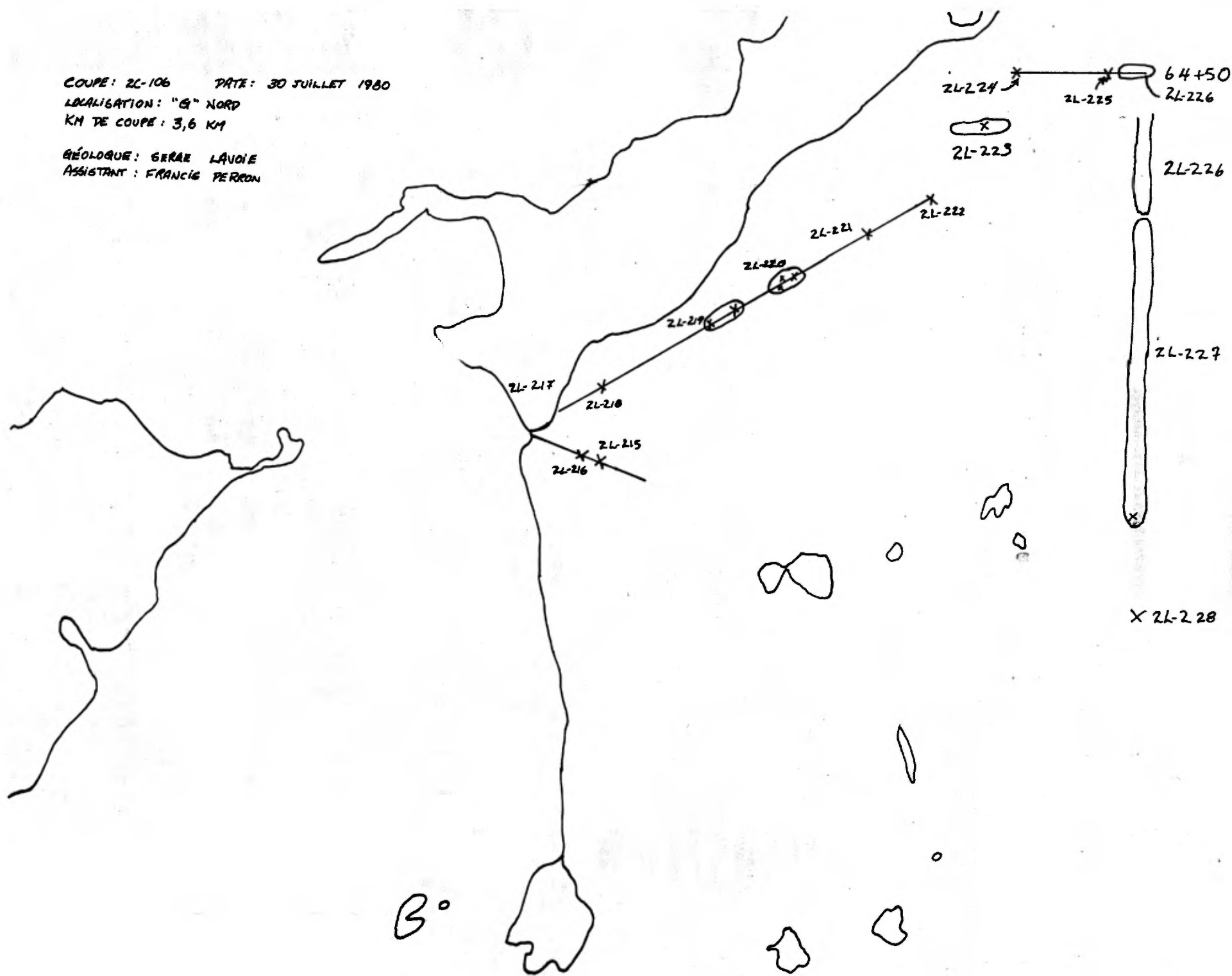
COUPE: 2L-106 DATE: 30 JUILLET 1980

LOCALISATION: "G" NORD

KM DE COUPE: 3,6 KM

GÉOLOGUE: GERAR LAVIE

ASSISTANT: FRANCIS PERON



FICHE D'AFFLEUREMENT

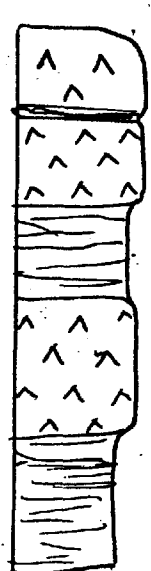
DATE: 1.8.80

LOCALISATION: Q64321, nord de propriété "G", Gabbro nord camp

STATISTIQUE: Coupe 2C110

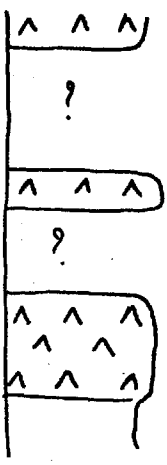
KM DE COUPE: 4.5

KM RADIOMETRE: 4.5

STATION	RA SPP2	DESCRIPTION	FORMATION	ECHAN-TILLON	ANALYSE
2P265	30-40	Subaffleurement? Gabbros surmont grès: <i>surmontant</i> - Gabbros frais, très grossiers (>5 mm) à feldspaths en individus allongés, texture doléritique. - Orthoquartzite à grain moyen à grossier, massif. De rares grains roses.			
2P266	40-60	Grès feldspathique finement laminé, grain moyen à grossier, gris à blanc verdâtre, à stratifications entrecroisées (décimétriques).			
2P267	40-60	Falaise  So: N120, 14NE.			

14
No

Statistiques Coupe 2C110

STATION	RA SPP2	DESCRIPTION	FORMATION	ECHAN- TILLON	ANALYSE
2P268	15m	 <p>Falaise</p> <p>Gabbro</p> <p>Gabbro</p> <p>Grès grossier, subarkosique</p>			
2P269	40	Gabbro.			
2P270	40-50	Eboulis de gabbro et grès à grain grossier feldspathique.			

PROJET: MONTS OTISH

Serge Lavoie

Aline Morin.

FICHE D'AFFLEUREMENT

DATE: 5 août 1980

LOCALISATION: Orthophoto "G" Nord

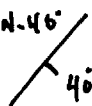
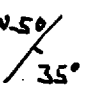
STATISTIQUE: Coupe 2C-~~45~~ 115

KM DE COUPE: 3,8 km

KM RADIOMETRE: 3,8 km

STATION	RA SPP2	DESCRIPTION	FORMATION	ECHAN- TILLON	ANALYSE
2L-229	75	Microconglomérat arkosique, blanc verdâtre, 5 à 10% de cailloux centimétriques, $\frac{1}{2}$ à 1 cm, quelques-uns à 5 à 10 cm de quartz, arrondis à sous-anguleux. <ul style="list-style-type: none">. cailloux rouges de quartz. cailloux mous d'arkose Banc massif métrique. Escarpement de 10 mètres. La composition du microconglomérat est hétérogène, passées quartzitiques et sub-arkosiques.			
2L-230	50- 75 <i>N-68</i> <i>17°</i>	Orthoquartzite verdâtre, grès moyen passe latéralement à un orthoquartzite laminé à grès moyen (laminé avec les pois mauves). Stratification entrecroisée, cuillère orientée N-70° avec un plongement de 17°. 2L-230a: Orthoquartzite verte à 80 SPP2, fond géochimique.		2L-230a	3/14 U. Th.
2L-231	80- 90 <i>22</i> <i>N-337</i>	Microconglomérat polygénique identique à 2L-229; grès rouge et grès beige d'argilite, feldspath altéré de couleur saumon. Stratification N-337° avec un pendage de 22.			

Statistiques

STATION	RA SPP2	DESCRIPTION	FORMATION	ECHAN- TILLON	ANALYSE
2L-232	75	IDEM 2L-231, sauf que le faciès est plus quartzitique.			
2L-233		Sub-arkose blanche, grain moyen à gros. Cailloux et galets épars de quartz. Tache d'hématisation rouge vif. Le passage de sub-arkose au microconglomérat est graduel.			
2L-234	60 	Sub-arkose blanche, grain moyen à niveau conglomératique de 5 à 10 cm d'épaisseur. Hématisation locale plus ou moins parallèle à la stratification.			
2L-235	60-70 	Orthoquartzite blanc laminé, grain moyen, banc massif.			
2L-236	90	Sub-arkose blanche à grain moyen, à niveau conglomératique, granules et cailloux de quartz.			
2L-237	70-90	Sub-arkose blanc-rosé, grain moyen. Cailloux épars de quartz, granules rouges, banc massif.			

Statistiques

STATION	RA SPP2	DESCRIPTION	FORMATION	ECHAN- TILLON	ANALYSE
2L-238		<p>Contact entre la sub-arkose blanc-rosé et de l'orthoquartzite laminé. Le passage entre les deux se fait par l'intermédiaire d'un grès feldspathique dont l'épaisseur maximum est d'un mètre.</p> <p>Vers le sommet, la sub-arkose renferme plusieurs niveaux de paraconglomérats polygéniques.</p> <p>Cailloux et granules de quartz, cailloux rouges d'arkose et de chalcédoine.</p> <p>La matrice de ces niveaux conglomératiques est grossière et fortement arkosique.</p>			
	50-70	Dans la sub-arkose, le sommet des bancs est souvent conglomératique.			
	50	Orthoquartzite blanc-rosé à matrice feldspathique, 5-10%.			
	N-25° / 17°	Stratification N-25°, pendage 17°.			
		A l'intérieur d'orthoquartzites, il y a des niveaux de conglomérats polygéniques contenant beaucoup d'esquilles d'argilite rouge.			
2L-239		<p>Microconglomérat polygénique fortement arkosique.</p> <p>Cailloux et galets épars de quartz. Galets et cailloux rouges, feldspath altéré blanc-rosé.</p> <p>Quelques passées nettement conglomératiques. Le passage des orthoquartzites aux microconglomérats se fait par l'intermédiaire d'une sub-arkose de grain moyen.</p>			
2L-240	25-30	Orthoquartzite rose massif, grain moyen à fin.			

Statistiques

STATION	RA SPP2	DESCRIPTION	FORMATION	ECHAN- TILLON	ANALYSE
2L-241	45-50 346° / 22°	Orthoquartzite rose laminé, grain moyen à fin. Stratification N-346°, pendage 22°; stratifications entrecroisées, rides de courant.			
2L-242	75	Sub-arkose blanche à grain grossier; cailloux épars de quartz et cailloux rouges; la sub-arkose a un caractère polygénique.			
2L-243	65-75	Sub-arkose à grès feldspathique, grain moyen très massif, cailloux et galets épars de quartz.			
2L-244	25-30 N-290° / 18°	Grès feldspathique rosé, grain fin massif, passé progressivement à l'orthoquartzite laminé. Débit en plaquette, feuillet, plan orienté N-290°, pendage 18°.			

PROJET: MONTS OTISH
Jean Beaudin

FICHE D'AFFLEUREMENT

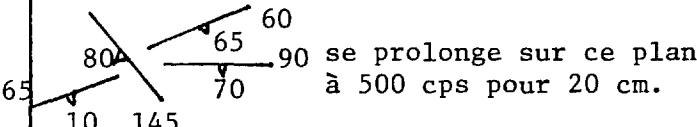
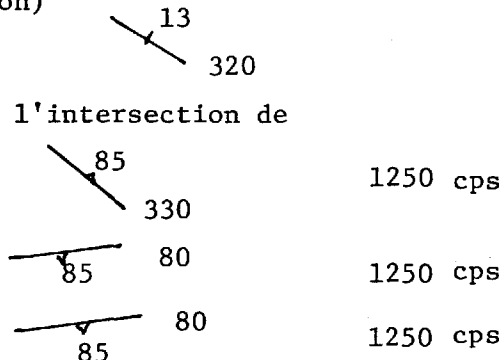
DATE: 4 juillet 1980

LOCALISATION: Q64364-215

STATISTIQUE:

KM DE COUPE: 2,25 km

KM RADIOMETRE: 2,25 km

STATION	RA SPP2	DESCRIPTION	FORMATION	ECHAN- TILLON	ANALYSE
2B206	2500 max. 75	<p>Anomalie sur affleurement 2500 cps sur in- tersection de fracture.</p>  <p>se prolonge sur ce plan à 500 cps pour 20 cm.</p> <p>sub-parallèle à la schistosité;</p> <p>Grès feldspathique blanc, altéré, ocre, de 0.5 à 1.0 mm.</p> <p>Anomalie à 40 pieds à l'est de VYT-31.</p>	11		
2B207	1250 max. 75	<p>Arkose microconglomératique (1-3 mm) à feldspath porphyroblaste. Altérée, ocre.</p> <p>Trois points à 1250 cps sur un plan de 30 cm par 30 cm à 800 cps.</p> <p>Plan majeur (sub-parallèle à la stratifi- cation)</p>  <p>et à l'intersection de</p> <p>1250 cps</p> <p>1250 cps</p> <p>1250 cps</p> <p>Anomalie à 25 pieds au N de VYT-48.</p>	10		

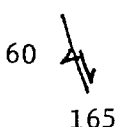
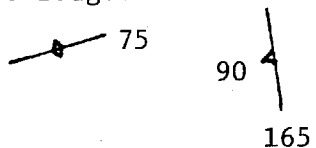

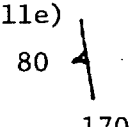
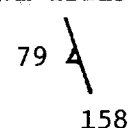
Statistiques

STATION	RA SPP2	DESCRIPTION	FORMATION	ECHAN- TILLON	ANALYSE
2B208	1500 2000 2200	<p>Arkose grossière (1 à 4 mm) verdâtre altérée ocre selon le plan de stratification. Feldspath blanc porphyroblastique. L'anomalie se prolonge sous la mousse à 2 mètres. 1500</p> <p>Les anomalies ponctuelles 2000 2200</p> <p>s'alignent sur le plan de fracture schisteux, 85 ↙ 175</p> <p>à son intersection avec le plan de la stratification.</p> <p>05 — 270 (mesure difficile et incertaine ?)</p> <p>A 40 pieds sur N-230 de VYT-10.</p>	10		
2B209	2000	<p>Idem 208. Anomalie à l'intersection de la stratification, 15 ↙ 280 et de la fracture. 75 ↘ 175</p> <p>Altération ocre orangé foncé. Prolongement possible de l'anomalie A-8 (à 70 pieds, direction N-175 au sud de A-8.</p>	10		
2B210	35	<p>Quartzite blanc laminé altéré <u>vert pomme</u> (fuchsite) selon le plan de stratification surtout et partiellement selon fracture.</p> <p>20 ↙ 265 65 ↘ 135</p>	16		
2B211		<p>Quartzite blanc laminé rouge.</p> <p>10 ↙ ? 87 ↘ 68 332 170 85</p>	16		

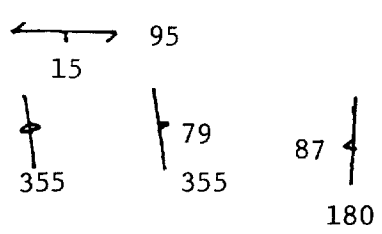
Statistiques

STATION	RA SPP2	DESCRIPTION	FORMATION	ECHAN- TILLON	ANALYSE
2B212		<p>Idem précédent, mais avec en plus du quartzite noir lié à la faille.</p> <p>Schistosité intercouche, altérée vert pomme.</p> <p>Hématisation lit par lit et irrégulière près de la faille.</p>	16	Echantillon témoin	
2B177 <u>suite</u>		<p>Quartzite rouge et blanc laminé avec mégaride et stratification partiellement entrecroisée.</p> <p>Fuchsite en placage et en amas sur fractures.</p>	16		
2B213	>75 40	<p>Paraconglomérat subarkosique avec fragments épars de plus de 20 cm.</p> <p>Feldspath rouge 5; feldspath blanc 5; feldspath saumon 10; fragments de quartz 70. (Stratification oblique)</p> <p>A la base, quartzite blanc et rouge laminé.</p>	7		

Statistiques

STATION	RA SPP2	DESCRIPTION	FORMATION	ECHAN- TILLON	ANALYSE
2B213 suite		Fracturation  (dextre avec rejet maximal de 10 mètres ?)			
2B214		Arkose gris verdâtre à feldspath blanc (1-3 cm) à fragments de quartzite rouge. 	10		
2B215		Idem, mais avec des feldspaths rosés. 	10		
2B216		Quartzite blanc recristallisé (par faille) 	14		
2B217		Idem 2B215, conglomératique. 	10		

Statistiques

STATION	RA SPP2	DESCRIPTION	FORMATION	ECHAN- TILLON	ANALYSE
2B218		<p>Arkose conglomératique à feldspath blanc porphyroblastique. Grès gris verdâtre avec fragment isolé de plus de 3 à 5 cm.</p> 	10		

PROJET: MONTS OTISH

Jean Beaudin
Yves Rougerie

FICHE D'AFFLEUREMENT

DATE: 30 juin 1980

LOCALISATION: G, Photo 1/15,840 Nos Q-64264-215

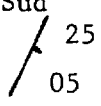
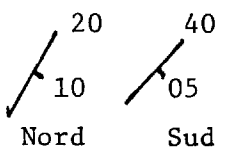
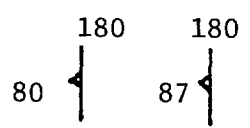
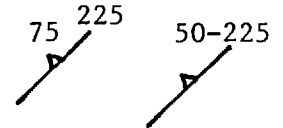
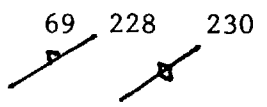
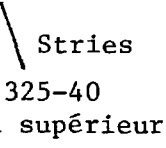
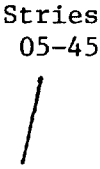

STATISTIQUE:

KM DE COUPE: 2,9 km

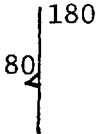
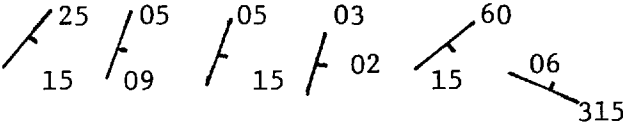
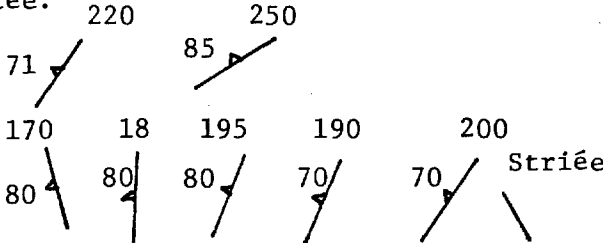
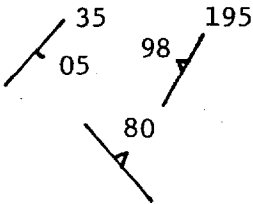
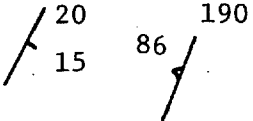
KM RADIOMETRE: 2 x 2,9 km

STATION	RA SPP2	DESCRIPTION	FORMATION	ECHAN- TILLON	ANALYSE
2B158	50	<p>Subarkose à arkose blanche (20-30% de feldspath blanc) de grain 2-5 mm. Les feldspaths blancs, porphyroblastiques sont parfois altérés ocre. Par-dessus, on retrouve une arkose verdâtre, à grain fin de 0.5 à 1 mm.</p> <p>Fracturation majeure parallèle au linéament.</p>	10		
2B159	50- 75	<p>Subarkose gris verdâtre (15-20% de feldspath blanc altéré) à grain de 0.5 à 1.0 mm, en banc de 30 cm à 1 mètre, à lamines verdâtres.</p> <p>Nord</p>	10		

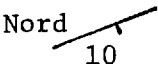
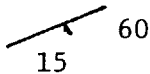
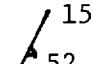
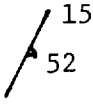

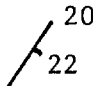
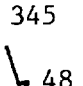
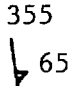
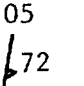
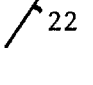
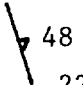
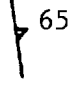
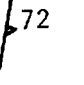
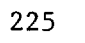

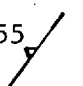
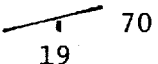
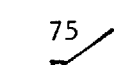

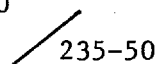
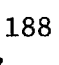
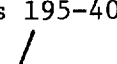
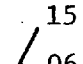
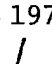
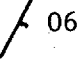

Statistiques

STATION	RA SPP2	DESCRIPTION	FORMATION	ECHAN- TILLON	ANALYSE
2B159 suite		<p>Sud  25 05</p> <p>passée altérée selon la stratification surtout et en placage sur les fractures N-90. Peu actif: 125</p>			
2B160		<p>Arkose laminée rouge en banc métrique sur quartzite laminé (effet d'altération rouge ?)</p> <p>  </p> <p>Fracturation moyenne parallèle au linéament.</p> <p>  </p> <p>Fracturation secondaire, striée.</p> <p>  </p> <p>  </p> <p>  </p> <p>  </p> <p>  </p> <p>Interprétation hypothétique</p> <p>Ce plan secondaire est lessivé et il y a de l'hématite diffuse et de l'altération ocre.</p>	10		

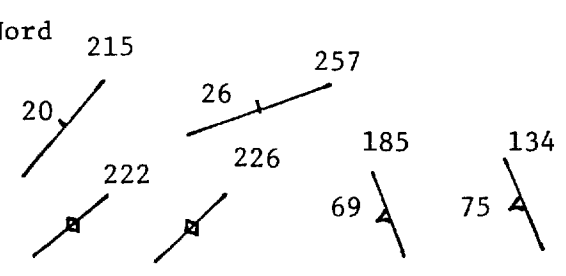
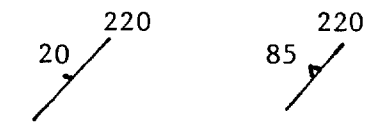
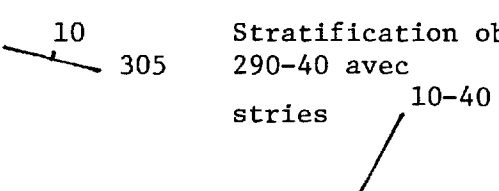
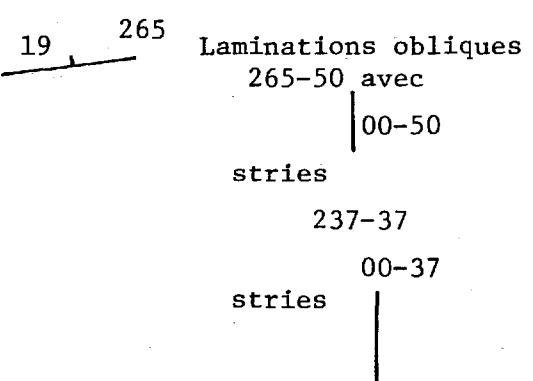
Statistiques

STATION	RA SPP2	DESCRIPTION	FORMATION	ECHAN-TILLON	ANALYSE
2B161		Idem précédent, avec altération lie-de-vin et délavage beige. 	10		
2B162		Idem précédent, sans la teinte rouge.  Stratification nette fortement délitée.  Striée 320-68 Bloc W monte	10		
2B163		Arkose à feldspath blanc (altéré ocre occasionnellement) (30%) (2-4 mm) bien litée, bien laminée vert pâle mais avec lamines rouges occasionnelles. 	10		
2B164		Arkose à feldspath blanc microconglomératique (2 mm à 1 cm) 	10		

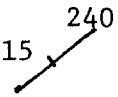
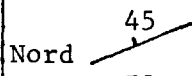
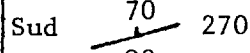
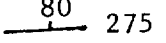
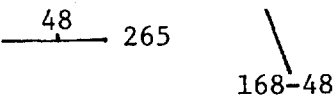
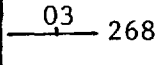
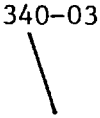
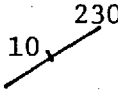
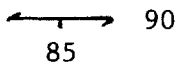
Statistiques

STATION	RA SPP2	DESCRIPTION	FORMATION	ECHAN- TILLON	ANALYSE
2B165		Idem 2B160. Nord  Sud  60  150  52  150 Majeur d = 2	10		
2B166	50	Subarkose blanche (20% feldspath blanc) à matrice feldspathique, en banc bien lité et bien laminé (rouge à l'occasion).  20  345  355  05  22  48  65  72 217  225  65  55 Striée 320-50 Bloc NW monte	10		
2B167		Idem précédent.  70 19  75 220 Stries 330-70  200  235-50 bien striée 60  188 75  195-40 Bloc N monte, confirme le mouvement dextre	10		
2B168	<50	Idem précédent.  15  197  06 83  83	10		


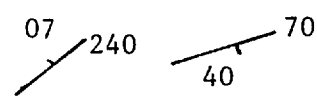
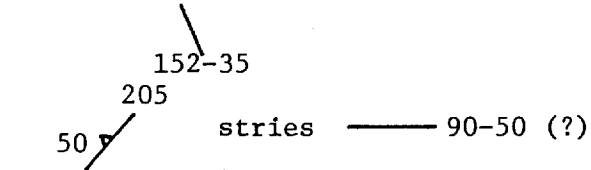
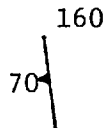
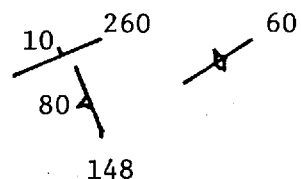
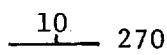
Statistiques

STATION	RA SPP2	DESCRIPTION	FORMATION	ECHAN- TILLON	ANALYSE
2B169	<50	<p>Quartzite blanc laminé rouge, bien lité avec stratifications obliques.</p> <p>Nord</p> 	16		
2B170	<50	<p>Idem précédent, mais plus rose et rouge.</p> 	16		
2B171	<50	<p>Idem précédent, mais rose saumon.</p> <p>Stratification oblique 290-40 avec stries</p> 	16		
2B172	<50	<p>Quartzite rose saumon avec des laminations obliques faisant alterner des lamines rouges et blanches. Souvent la base du banc est oxydée (rouge) et son sommet réduit (vert).</p> <p>Laminations obliques 265-50 avec stries</p> 	15		

Statistiques

STATION	RA SPP2	DESCRIPTION	FORMATION	ECHAN- TILLON	ANALYSE
2B173		<p>Idem précédent. Les stratifications obliques sont plis- sées tectoniquement (non pas synsédi- mentaires).</p>  <p>Pli dans laminations <u>obliques</u>.</p>    <p>Laminations <u>obliques</u> striées.</p>  <p>Tache d'hématite ronde.</p>	15		
2B174		<p>Idem précédent.</p>  	15		
2B175		<p>Quartzite blanc à rose pâle laminé rouge avec stratification oblique. Schisteux.</p>   <p>Lamination oblique 242-36. Les lami- nations obliques sont constituées de laminations de quartzite blanc résis- tant et d'un grès poudreux délavé, tout ceci à proximité d'un linéament N-55.</p>	16-15		

Statistiques

STATION	RA SPP2	DESCRIPTION	FORMATION	ECHAN- TILLON	ANALYSE
2B176		Idem 2B172.  Stratification oblique 290-26 avec stries 350-20 Linéament N-55 limitant la butte.	15		
2B177		Quartzite blanc laminé rose.  Laminations obliques 263-35.  stries — 90-50 (?) 160  Fracturation majeure dans le prolongement de la faille passant par l'indice princi- pal de G, accompagné, dans le quartzite, d'une teinte d'altération vert pomme à vert olive.	16		
2B178		Idem 2B177.  parallèle à un linéament	16		
2B179	60	Subarkose blanche à feldspath blanc porphyroblastique (2-5 mm) en lit de 2 mètres, sans stratification oblique apparente, typique du faciès de l'ano- malie principale G, avec des passées grossières (5 mm - 1 cm). 	10		

Statistiques

STATION	RA SPP2	DESCRIPTION	FORMATION	ECHAN- TILLON	ANALYSE
2B179 suite		Le faciès de l'indice repose sur du quartzite.			

PROJET: MONTS OTISH

FICHE D'AFFLEUREMENT

DATE:

LOCALISATION:

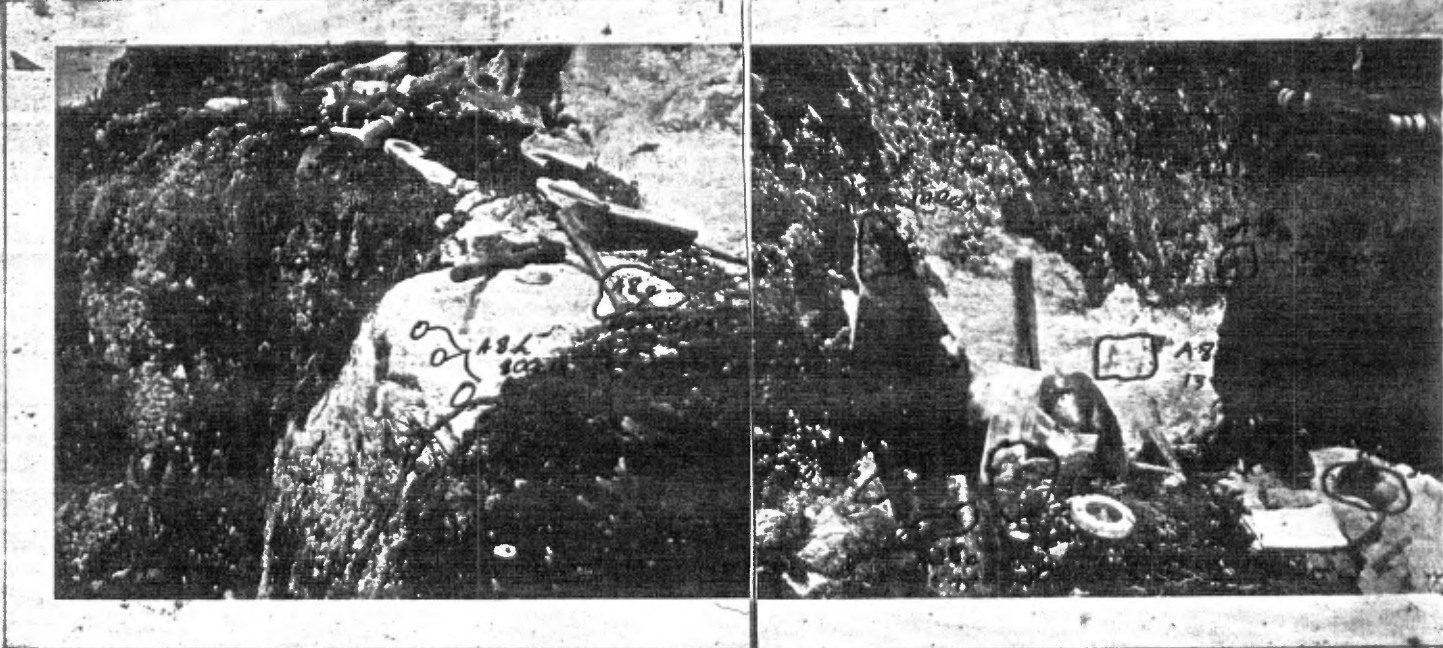
STATISTIQUE: Echantillonnage systématique de A8, VYT-40 et A46

KM DE COUPE:

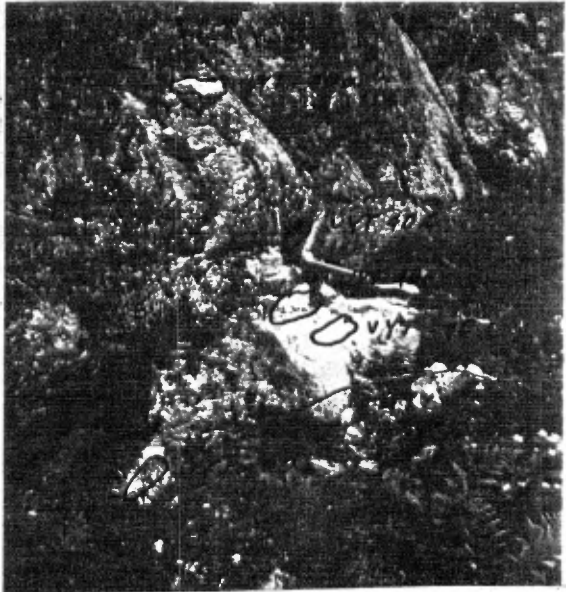
KM RADIOMETRE:

STATION	RA SPP2	DESCRIPTION	FORMATION	ECHAN- TILLON	ANALYSE
A8a	100	Green, microconglomeratic arkose, approx.25% matrix.	Indicateur	A8a	U: 6ppm Th: 15ppm U/Th:0.4
A8b	400	Green arkosic microconglomerate	Indicateur	A8b	
A8c	400	Oxidized facies of mineralized horizon.	Indicateur	A8c	
A8d	-	Contact between oxidized and non-oxidized mineralized zone.	Indicateur	A8d	
A8e	4000	Medium grained green subarkose.	Indicateur	A8e	U: 343ppm Th: 10ppm U/Th:34.3
A8f	13500	(Mineralized) green subarkose?, medium grained, approx.10% matrix.	Indicateur	A8f	U:1420ppm Th: 21ppm U/Th:67.6
A8g	3000	Very coarse grained subarkose (white).	Indicateur	A8g	U: 149ppm Th: 7ppm U/Th:21.3
A8h	800	Subarkosic, white microconglomerate.	Indicateur	A8h	
A8i	150	Medium grained, microconglomeratic, feldspathic sandstone. Feldspar grains are very fresh.	Indicateur	A8i	U: 305ppm Th: 88ppm U/Th: 0.4

Statistiques Echantillonnage systématique de A8, VYT-40 et A46

STATION	RA SPP2	DESCRIPTION	FORMATION	ECHAN- TILLON	ANALYSE
					
VYT-40a	150	Green microconglomeratic, very coarse grained arkose with white (kaolinized) and pink (fresh) feldspar.	Indicateur	VYT-40a	U: 3.7ppm Th: 10ppm U/Th: 0.4
VYT-40b	3300	Green, very immature subarkose. There is a large grain size variation. Approx. 25% matrix.	Indicateur	VYT-40b	U: 617ppm Th: 5 ppm U/Th: 123.4
VYT-40c	9000	Medium grained, dark green subarkose.	Indicateur	VYT-40c	U: 2320ppm Th: 4ppm U/Th: 56.4
VYT-40d	3300	Yellowish green, medium to coarse grained subarkose to feldspathic sandstone. The rock is particularly friable due to weak feldspathic cement.	Indicateur	VYT-40d	U: 114ppm Th: 56ppm U/Th: 2.0
VYT-40e	300	Fine to medium grained orthoquartzite (100% quartz) which grades in colour from pink up to green.	Indicateur	VYT-40e	U: 6.4ppm Th: 9 ppm U/Th: 0.7

Statistiques Echantillonnage systématique de A8, VYT-40 et A46

STATION	RA SPP2	DESCRIPTION	FORMATION	ECHAN- TILLON	ANALYSE
					
A46a	100	Very coarse grained, poorly sorted green subarkose (20% feldspar - white).	Indicateur	A46a	U: 8.3ppm Th: 8 ppm U/Th:1.0
A46b	140	Greenish white, microconglomeratic (approx.20%) subarkose. Approx.80% of pebbles are of feldspar.	Indicateur	A46b	
A46c	500	Yellowish green, very immature subarkose (microconglomeratic) cross-bedded with a medium grained, feldspathic sandstone.	Indicateur	A46c	U: 102ppm Th: 9 ppm U/Th: 11.3
A46d	150- 200	Idem A46b.	Indicateur	A46d	
A46e	350- 2000	Greenish white, feldspathic or subarkosic sandstone with occasional floating quartz and feldspar pebbles. The rock becomes brown towards the most mineralized area.	Indicateur	A46e	
A46f	270- 500	Idem A46e.	Indicateur	A46f	

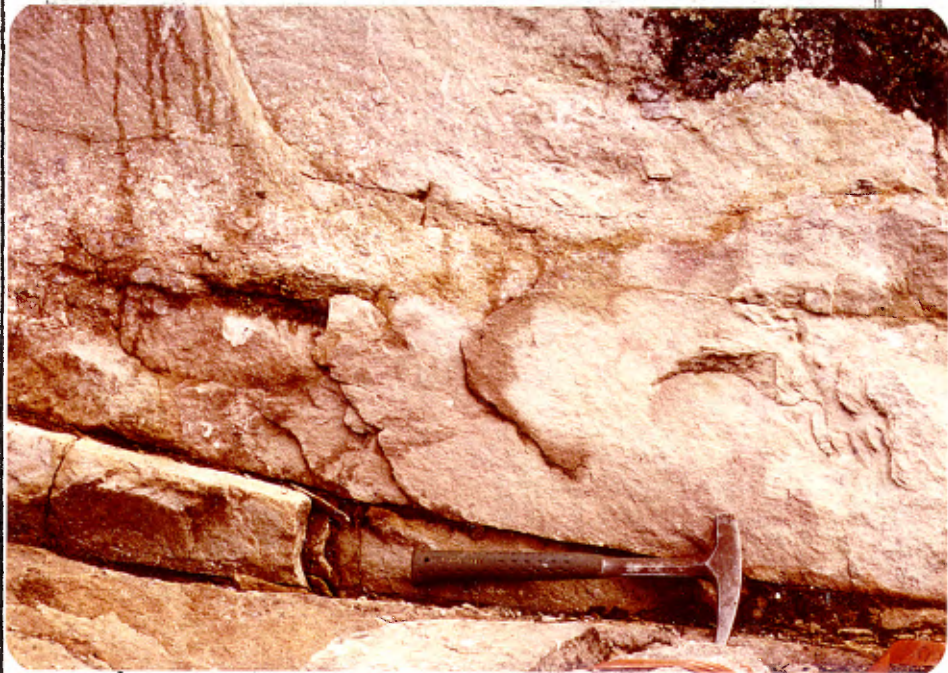
Statistiques

Echantillonnage systématique de A8, VYT-40 et A46

STATION	RA SPP2	DESCRIPTION	FORMATION	ECHAN-TILLON	ANALYSE
A46g	270-500	Idem A46b but approx.4% pebbles.	Indicateur	A46g	
A46h	3700	Green, immature, medium grained, microconglomeratic subarkose to arkose. Microconglomeratic fragments are predominantly of feldspar.	Indicateur	A46h	U: 640ppm Th: 5ppm U/Th:128.0



A 8



PROJET: MONTS OTISH

FICHE D'AFFLEUREMENT

DATE: 21 juin 1980

LOCALISATION: Propriété "G", A-34, 35. Voir fiche d'anomalie 2A-16, 2A-17.

STATISTIQUE: Vérification des anomalies découvertes par les prospecteurs.

KM DE COUPE:

KM RADIOMETRE:

STATION	RA SPP2	DESCRIPTION	FORMATION	ECHAN-TILLON	ANALYSE
2N-5	5000	Minéralisation aux confins de fractures. Principale N-160, 90° minéralisation sur 2 à 3 mètres. N-80°, 85°, moins importante minéralisation sur 1 mètre. Clivage pénétrant imposant une schistosité à la roche, séricitisation poussée. Schistosité.			
2N-6	3000	Minéralisation (même faciès) sur un plan N-128, 50°S. Tache centimétrique à métrique 7,5 m. vers l'est. Arkose blanche à galet épars de quartz. Fracture N-128° 3000 epe. 5000 epe. fracture N-160°			

Statistiques

STATION	RA SPP2	DESCRIPTION	FORMATION	ECHAN- TILLON	ANALYSE																								
2V-36	1600	<p>Anomalie dans gabbro:</p> <table> <tr> <td>Tc</td> <td>K</td> <td>U</td> <td>Th</td> </tr> <tr> <td>452</td> <td>16.3</td> <td>11.7</td> <td>13.4</td> </tr> <tr> <td>471</td> <td>11.9</td> <td>11.9</td> <td>16.8</td> </tr> </table> <p>Deuxième point 10 à 15, selon l'axe du gabbro:</p> <table> <tr> <td>325.7</td> <td>10.3</td> <td>7.4</td> <td>9.7</td> </tr> <tr> <td>320.0</td> <td>9.4</td> <td>6.1</td> <td>9.0</td> </tr> <tr> <td>Tc</td> <td>K</td> <td>U</td> <td>Th</td> </tr> </table> <p>Gabbro feldspathique non cisailé.</p>	Tc	K	U	Th	452	16.3	11.7	13.4	471	11.9	11.9	16.8	325.7	10.3	7.4	9.7	320.0	9.4	6.1	9.0	Tc	K	U	Th			
Tc	K	U	Th																										
452	16.3	11.7	13.4																										
471	11.9	11.9	16.8																										
325.7	10.3	7.4	9.7																										
320.0	9.4	6.1	9.0																										
Tc	K	U	Th																										
2T-2	2200	<table> <tr> <td>Tc</td> <td>K</td> <td>U</td> <td>Th</td> </tr> <tr> <td>912.5</td> <td>28.3</td> <td>21.2</td> <td>26.8</td> </tr> <tr> <td>923.3</td> <td>27.2</td> <td>21.2</td> <td>26.0</td> </tr> </table> <p>Faciès fin arkosique gris noir en chenal attaché à un bloc métrique sous-anguleux de conglomérat blanc à cailloux de quartz. Matrice grés-feldspathique grossière. Tache anormale 60 x 60 cm, conglomérat à 100.</p>	Tc	K	U	Th	912.5	28.3	21.2	26.8	923.3	27.2	21.2	26.0															
Tc	K	U	Th																										
912.5	28.3	21.2	26.8																										
923.3	27.2	21.2	26.0																										
2T-2	1500	<table> <tr> <td>Tc</td> <td>K</td> <td>U</td> <td>Th</td> </tr> <tr> <td>416</td> <td>19.</td> <td>9.2</td> <td>8.9</td> </tr> <tr> <td>414</td> <td>17.</td> <td>9.8</td> <td>10.5</td> </tr> </table>	Tc	K	U	Th	416	19.	9.2	8.9	414	17.	9.8	10.5															
Tc	K	U	Th																										
416	19.	9.2	8.9																										
414	17.	9.8	10.5																										

PROJET: MONTS OTISH

FICHE D'AFFLEUREMENT

DATE: 14 juin 1980

LOCALISATION: Orthophotographie "G" Sud

STATISTIQUE: Stations relevées au cours du positionnement de la frontière de la propriété "G"

KM DE COUPE:

KM RADIOMETRE:

STATION	RA SPP2	DESCRIPTION	FORMATION	ECHAN- TILLON	ANALYSE
2L-1	950 à 2700	Bloc de grès quartzitique grossier minéralisé en produits secondaires, jaune verdâtre. Voir anomalie 2A-5 2L-1b Témoin de l'échantillon 2L-1a		2L-1a 2L-1b	U. Th. 845 N.D. Témoin
2L-2	500 à 250	Bloc métrique (1,50 m. x 1,10 m. x 0,80 m.) reposant sur la moraine et non incorporé à celle-ci. Grès vert quartzitique d'activité 200 à 250 cps. Sur la paroi Est du bloc, un faciès grossier arkosé dont les principaux éléments sont les cailloux de quartz arrondis 1/2 à 1 cm. de diamètre, et des feldspaths blancs très anguleux, jusqu'à 1/2 cm. de côté. Ce faciès présente localement, une altération limonique de couleur ocre.			

PROJET: MONTS OTISH

FICHE D'AFFLEUREMENT

DATE:

LOCALISATION:

STATISTIQUE: Visite du conglomérat de base en bordure S.E. de la propriété "G".

KM DE COUPE:

KM RADIOMETRE:

STATION	RA SPP2	DESCRIPTION	FORMATION	ECHAN- TILLON	ANALYSE
2L-326	70	<p>Conglomérat oligonictique à cailloux de quartz; le conglomérat est écrasé, tectonisé.</p> <p>Nous sommes dans un caisson de faille, inverse; bloc 'E' a monté.</p> <p>La matrice du conglomérat est un grès feldspathique grossier, particulièrement riche en quartz.</p> <p>Le conglomérat est injecté de matériel quartzofeldspathique rose à rouge, IDEM à celui intrudé dans le conglomérat de base.</p> <p>Les injections ont tout au plus quelques millimètres de largeur.</p>			

PROJET: MONTS OTISH

FICHE D'AFFLEUREMENT

DATE: 5/7/80

LOCALISATION: "G" nord

STATISTIQUE: Coupe 2C#60

KM DE COUPE: 3.9

KM RADIOMETRE: 7.8

STATION	RA SPP2	DESCRIPTION	FORMATION	ECHAN- TILLON	ANALYSE
2V128	65	Beige, medium grained feldspathic sandstone. The quartz grains are well rounded & the feldspar grains are well kaolinized. There is a poor lamination with floating very coarse grains present. A well developed schistosity is also present. 15% matrix.	Indicateur ↙ 357,30 ↙ 047,45 ↙ 190,62		
2V129	75	Laminated green and pink, fine grained feldspathic sandstone, approx. 8% feldspar, 5% matrix. There are chips of pink silt, cross-ripple laminations. The quartz grains are well rounded.	Indicateur		
2V130	50	A feldspathic, pink microconglomerate that grades up to fine grained feldspathic and subarkose sandstone. The coarse facies have floating polygenetic pebbles (pre-dominantly quartz) and have been strongly leached so that almost all the feldspar has been removed.	Indicateur ↙ 200,80 ↙ 160,85		
2V131	60- 150	Massive, thick (2 m.) bedded feldspathic pink microconglomerate with vertical transition to medium grained feldspathic sandstone and subarkosic microconglomerate. There are large green pebbles of argillite present. The rock consists of a repetitive sequence of feldspathic sediments with a thick unit (approx. 1-3 m.) of polygenetic microconglomerate with floating polygenetic pebbles which grade up to a very coarse grained microconglomeratic feldspathic sandstone (0-1 m. thick) and sometimes with a 3 cm. thick very fine grained arkose (green) with floating coarse grains of quartz and feldspar. The matrix is sericitic. To the east, irregular large, hematitic stain blebs become more abundant. Cross-bedding is not evident.	Indicateur ↙ 053,22 ↙ 200,73 ↙ 120,90 ↙ 084,30 ↙ 343,85		

Statistiques Coupe 2C#60

STATION	RA SPP2	DESCRIPTION	FORMATION	ECHAN- TILLON	ANALYSE
2V132	60	White fine grained orthoquartzite with silty green 3 mm. thick layers, occasionally present. The outcrop is underlain by a subarkosic pebbly microconglomerate idem 2V133. The beds average 2 m. in thickness and are very massive with good laminations defined by grain size.	Indicateur / 020,23 / 186,64 / 288,80 / 216,70		
2V133	60- 125 max.	Idem 2V132 but with no microconglomerate at the base. The cement is feldspathic. Lamination is poorly developed, instead there are beds (approx. 3 cm. thick) which are greenish due to a slight silt content.	Indicateur ψ 183		
2V134	60	Medium to coarse grained green feldspathic sandstone, approx. 10% feldspar with 15% feldspathic cement. There are orthoquartzite phases.	Indicateur		
2V135	65-75	Green orthoquartzite idem 2V133 but with slightly more feldspathic cement (<15%).	Indicateur / 000,12 / 190,90 / 084,90		
2V136	40-45	Laminated pink and green orthoquartzite. The northern section of the bed has slumped with some beds deforming plasticly and others have formed a breccia. The slumping covers a length of at least 150 m.	Indicateur / 330,25 slumping / 316		
2V137	50	Laminated mauve, green and pink orthoquartzites, some feldspathic sandstone and silty orthoquartzites. Very small scale slumping (5-10 cm.) is common.	Indicateur / 066,68 / 012,15 / 152,84		

Statistiques Coupe 2C#60

STATION	RA SPP2	DESCRIPTION	FORMATION	ECHAN- TILLON	ANALYSE
2V138	45.	Laminated massive beds of green, pink and mauve orthoquartzites. Minor cross-bedding is present.	Indicateur ↗ 352 ↘ 000,28		
2V139	60	Green, very coarse grained micro-conglomeratic subarkose. Approx.15% white feldspar, approx.15% green sericitic matrix.	Indicateur ↘ 348,22 ↗ 340,80 ↘ 270,75		
2V140	70	Medium grained green feldspathic sandstone with polygenetic floating pebbles (or is a orthoquartzite with approx. 35% matrix of sericite). The quartz grains are well rounded, feldspar grains are now completely sericitized.	Indicateur Ψ 192 ↘ 080,90 ↗ 123,90	2V140	L.M.
2V141	70	Idem 2V140.	Indicateur		
2V142	75	Idem 2V140 except that there are quartz rich (fine grained) and microconglomeratic facies as well.	Indicateur ↘ 160,85 ↗ 260,80 ↘ 270,12		

PROJET: MONTS OTISH

P. Caumartin
Y. Rougerie

FICHE D'AFFLEUREMENT

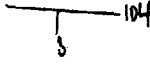
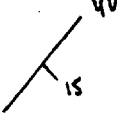
DATE: 8.7.80

LOCALISATION: "G" nord

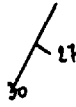
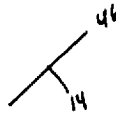
STATISTIQUE: Coupe 2C65

KM DE GEOLOGIE: 3.5

KM DE RADIOMETRIE: 3.5

STATION	RA SPP2	DESCRIPTION	FORMATION	ECHAN- TILLON	ANALYSE
2P188	40	Station de boulders. (très grosse dimension: plusieurs mètres cubes). Microconglomérat arkosique vert rosé à granules et galets flottants de quartz blanc et grès rose.			
2P189	60- 120	Felsenmeer de grès à grain grossier et microconglomérat subarkosique vert rosé, fréquemment limoniteux (notamment un bloc entièrement ocre).			
2P190	40	Grès feldspathique vert au grain grossier. So: N104,3S?, avec des plis N177,8E. En fait, la stratification très ondulée est difficile à évaluer.			
2P191	50- 100	Grès feldspathique vert clair, grain moyen, massif, à diaclasage à angles droits: découpage en cubes à arêtes vives (N20,N70). Une lamination floue se dégage.			
2P192	70- 100	Microconglomérat subarkosique vert (grain 2-5 mm) à galets flottants de quartz blanc et rares granules rose pâle. Deux systèmes de plis plus ou moins coalescents: N20,N40, pour une So générale N20,20E.			
2P193	50	Grès feldspathique vert clair, laminé, surmontant: - Un microconglomérat arkosique vert à feldspaths altérés blancs, à granules roses localement. So: N40,15S. - Au-dessous: Microconglomérat subarkosique			

Statistiques 2C65

STATION	RA SPP2	DESCRIPTION	FORMATION	ECHAN- TILLON	ANALYSE
		à niveaux conglomératiques (1 dm) à présence sporadique de granules de quartz rose.			
2P194	50	Microconglomérat arkosique vert.			
2P195	60	Grès arko-et subarkosique. So: N20, 26S. Stries glaciaires: N20. Au-dessous, grès feldspathique laminé vert à lits rose-lie-de-vin.			
2P196	70- 150	Grès feldspathique vert laminé lie-de-vin, passant graduellement à des quartzites laminés rose-blanc. So: N30,27SE.			
	35	Du sommet au pied de la falaise, les quartzites évoluent de rouge-lie-de- vin à blanc rosé, cependant qu'appa- raissent des stratifications entre- croisées décimétriques.			
2P197	35	Orthoquartzite rose laminé. So: N46,14S.			

PROJET: MONTS OTISH

Serge Lavoie
Alain Girard

FICHE D'AFFLEUREMENT

DATE: 17 juillet 1980

LOCALISATION: Orthophoto "G" N.

STATISTIQUE: Coupe 2C-78

KM DE COUPE: 3,3 km

KM RADIOMETRE: 3,3 km

STATION	RA SPP2	DESCRIPTION	FORMATION	ECHAN- TILLON	ANALYSE
2L-115	60	<p>Microconglomérat sub-arkosique gris blanc; localement, les feldspaths sont roses. Cailloux de quartz épars anguleux à arrondis, 1 à 4 cm de diamètre. Cailloux et granules de sédiments du groupe d'Otish. Banc massif 80 cm à 1.50 m.</p> <p><i>N-45°</i> <i>13°</i></p> <p>Dissolution partielle de feldspath. Schistosité ou clivage intercouche à N-45°-13° E.</p> <p><i>N-10°</i> <i>/</i></p> <p>Matrice siliceuse, feldspaths détritiques altérés rose rouge, tache d'hématisation. Stratification N-10°.</p> <p>Hématisation irrégulière imposant à la roche une couleur rouge.</p> <p>Latéralement sur 20 m, on passe d'un microconglomérat arkosique à sub-arkosique à un microconglomérat quartzitique à esquilles d'argilite beige.</p> <p>En descendant dans la topographie, le microconglomérat est plus gréseux, moins feldspathique et conglomératique.</p>			
2L-116	<i>N-25°</i> <i>/</i> <i>15°</i>	<p>Niveau d'argilite rouge à coeur beige; le niveau est de 25 à 30 cm d'épaisseur intercalé de grès feldspathique fin; le microconglomérat sur surmontent topographiquement les niveaux d'argilite, lesquels marquent la transition entre les orthoquartzites et les microconglomérats.</p> <p>Le niveau d'argilite et de grès peut être suivi sur plus de 100 mètres vers le sud.</p> <p>2L-116a: Niveau d'argilite rouge et beige intercalé de grès feldspathique blanc.</p>		2L-116a	Etude des argiles

Statistiques

STATION	RA SPP2	DESCRIPTION	FORMATION	ECHAN- TILLON	ANALYSE
2L-116	suite	Stries intercouches indiquant que les couches supérieures se déplacent vers l'ouest \downarrow à la stratification.			
2L-117	90-100	Grès feldspathique blanc, grain moyen, hématisation locale \pm selon la stratification. Le grès renferme des passées de microconglomérat feldspathique et des orthoquartzites; quelques minéraux de conglomérats à cailloux de quartz 3 à 5 cm d'épaisseur, cailloux arrondis à anguleux de 1 à 3 cm. Le grès feldspathique est homogène en granulométrie, le feldspath blanc apparaît surtout en matrice, quelques grains plus grossiers nettement litritiques. 2L-117a: Grès feldspathique blanc \pm laminé.		2L-117a	1.4, 4.0 \swarrow U Th. fond géo- chimique
2L-118	90-100	Le felsenm ^r en rupture de pe ⁿ te près du ruisseau est très représentatif de l'affleurement quelque 20 m plus à l'est. Grès feldspathique à sub-arkose blanche, grain moyen à fin, débit en plaque centimétrique (4 à 5 cm). Stratification entrecroisée et cuillères. 2L-118a: Sub-arkose blanche à grain <i>fin.</i>		2L-118a	1.4, 4.0 U Th. fond géo- chimique

Statistiques

STATION	RA SPP2	DESCRIPTION	FORMATION	ECHAN- TILLON	ANALYSE
2L-119	35-40 N. 354° 13° N. 330° 12°	<p>Microconglomérat sub-arkosique à galet épars de quartz. Feldspath blanc laiteux altéré, gros grain, parfois altéré rose à pêche. Quartz rose en petites taches.</p> <p>Banc massif, composition quartzitique à arkosique.</p> <p>Ce microconglomérat pourrait être au sommet de la série verte.</p> <p>Le sommet des bancs est conglomératique; cailloux de quartz anguleux, galets et cailloux de quartzite rose et de quartzite noir, très arrondis (possiblement pré-Otish).</p>			
2L-120	N. 37° 15°	<p>Microconglomérat sub-arkosique à cailloux épars de quartz et niveaux conglomératiques, hématisation ponctuelle, feldspaths altérés roses à rouge foncé, dissolution.</p> <p>Stratification mesurée à la pointe N.O. du lac.</p> <p>Niveau de conglomérat polygénique à matrice arkosique verte, cailloux arrondis à sous-anguleux de quartz, quartzite rouge et arkose blanche. Paraconglomérat bien trié dont les cailloux et galets représentent 30% de la roche.</p> <p>On a cependant aucune preuve que ces cailloux sont du groupe d'Otish.</p>			
2L-121 site de l'anoma- lie A-62	7500- 150 min.	<p>Site de l'anomalie A-62. L'anomalie apparaît liée à 2 ou 3 bancs d'arkose verte à galets de quartz et tache ocre. La minéralisation apparaît en tache centimétrique à métrique, selon la stratification, sur une hauteur de 3 à 4 m.</p>			

Statistiques

STATION	RA SPP2	DESCRIPTION	FORMATION	ECHAN- TILLON	ANALYSE
2L-121	suite				3510 / 29
	7500	2L-121a: Arkose verte à cailloux épars, faciès ocre minéralisé.		2L-121a	U. Th.
	400	2L-121b: Microconglomérat verdâtre 30 cm au-dessus du banc d'arkose.		2L-121b	5.9 / 5 U. Th.
	300	2L-121c: Microconglomérat à conglomérat terrigène. Etude de la matrice du conglomérat. Nature des granules et cailloux. Probablement un conglomérat de ravinement.		2L-121c	29.7 / 24 L.M.
		2L-121d: Microconglomérat terrigène de ravinement au-dessus des zones anormales.		2L-121d	1.0 / 29 U. Th.
		2L-121e: Orthoquartzite blanc laminé, grain moyen à fin, 2 à 3 mètres au-dessus de l'anomalie.		2L-121e	1.0 / 19 U. Th.
		Le chenal a une épaisseur de 3 à 4 mètres; il débute au niveau du lac et bute sur la base de quartzite.			
2L-122	60	Orthoquartzite blanc verdâtre massif, reposant au-dessus du conglomérat de ravinement, grain moyen, laminations millimétriques très régulières. Matrice 5 à 15% probablement feldspathique.			
	N. 358 20°	Stratification N-358°, 20°.			
2L-123	50	Conglomérat à microconglomérat arkosique, conglomérat de ravinement, casse autour des grains de quartz et non à travers comme le conglomérat de première série. IDEM: 2L-121			

Statistiques

STATION	RA SPP2	DESCRIPTION	FORMATION	ECHAN- TILLON	ANALYSE
2L-124	N. 358 ↑ 32° 1.18° / 15° Ra 60	<p>Quartzite laminé blanc à taches rouge lie-de-vin, hématitique, grain moyen. Stratification entrecroisée de grande taille, feuillets métriques en surface et de 5 à 8 cm d'épaisseur, apport sédimentaire du sud.</p> <p>Le quartzite renferme des cailloux et esquilles d'argilite. La photo #18 F₂ montre un caillou de dolomie dans le quartzite.</p> <p>2L-124a: Quartzite blanc, grain moyen.</p> <p>Feuillets concaves vers le bas.</p> <p>Stratification sur quartzite blanc laminé à 530 m à l'est du petit lac.</p> <p>Près du lac, le quartzite est à grain très fin, les laminations fines sont silteuses et argileuses.</p>		2L-124a	Réf.
2L-125	50	<p>Sub-arkose à grain grossier portant des galets épars de quartz très arrondis, 5 à 10 cm de côté; le jeu de faille pourrait nous avoir ramené? au niveau des arkoses conglomératiques de la série verte.</p> <p>Altération beige à ocre, quelques gros feldspaths prismatiques, ½ cm de côté.</p> <p>Dans la sub-arkose, interlit de silt et arkose fine verte.</p>			
2L-126	15-90	<p>Passage progressif des sub-arkoses à galets épars de quartz aux conglomérats arkosiques de l'indice "G"; situation identique aux stations 2L-120, 2L-121, galets mous d'argilite, d'arkose, de quartzite rose laminé.</p>			

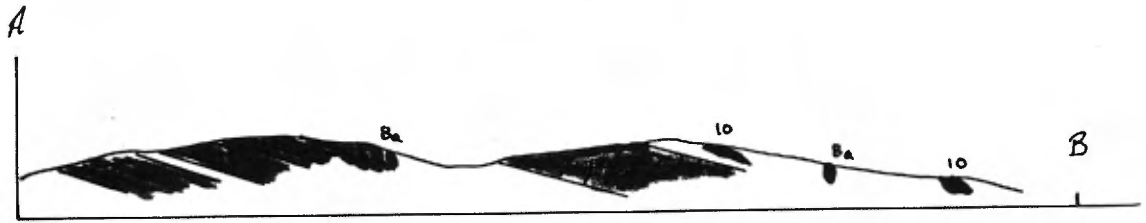
Statistiques

STATION	RA SPP2	DESCRIPTION	FORMATION	ECHAN- TILLON	ANALYSE
2L-127	60-70	Sub-arkose blanche à grain moyen à gros, massive et homogène, quelques points rouges. Quartz 80-85% homogène bien roulé, sous-arrondi à arrondi.			
2L-128	70-80	Felsenmer de blocs anguleux d'arkose et sub-arkose conglomératiques à galets épars de quartz; quelques cailloux de quartz et d'arkose, tache d'hématisation.			
2L-129	60	Sub-arkose blanche, grain moyen en galets (5 à 8 cm) arrondis, de quartz et d'arkose.			
2L-130	60	Sub-arkose blanche, grain moyen à fin, comportant quelques niveaux conglomératiques à gros galets de quartz très arrondis.			
	N-22° / 12°	Bancs massifs, stratification N-22°, 17E, très difficile à observer.			147/10.
		2L-130a: Sub-arkose fine, blanche.		2L-130a	U. Th.
Photo #19 F ₂		Photo #19: galet de quartzite rose dans conglomérat sub-arkosique grossier.			
2L-131	30	Grès feldspathique blanc ± laminé en banc métrique, tache d'hématisation rouge vin; grain moyen à fin. Galets épars d'argilite beige et chalcédoine chert beige. IDEM: 2L-124			

Statistiques

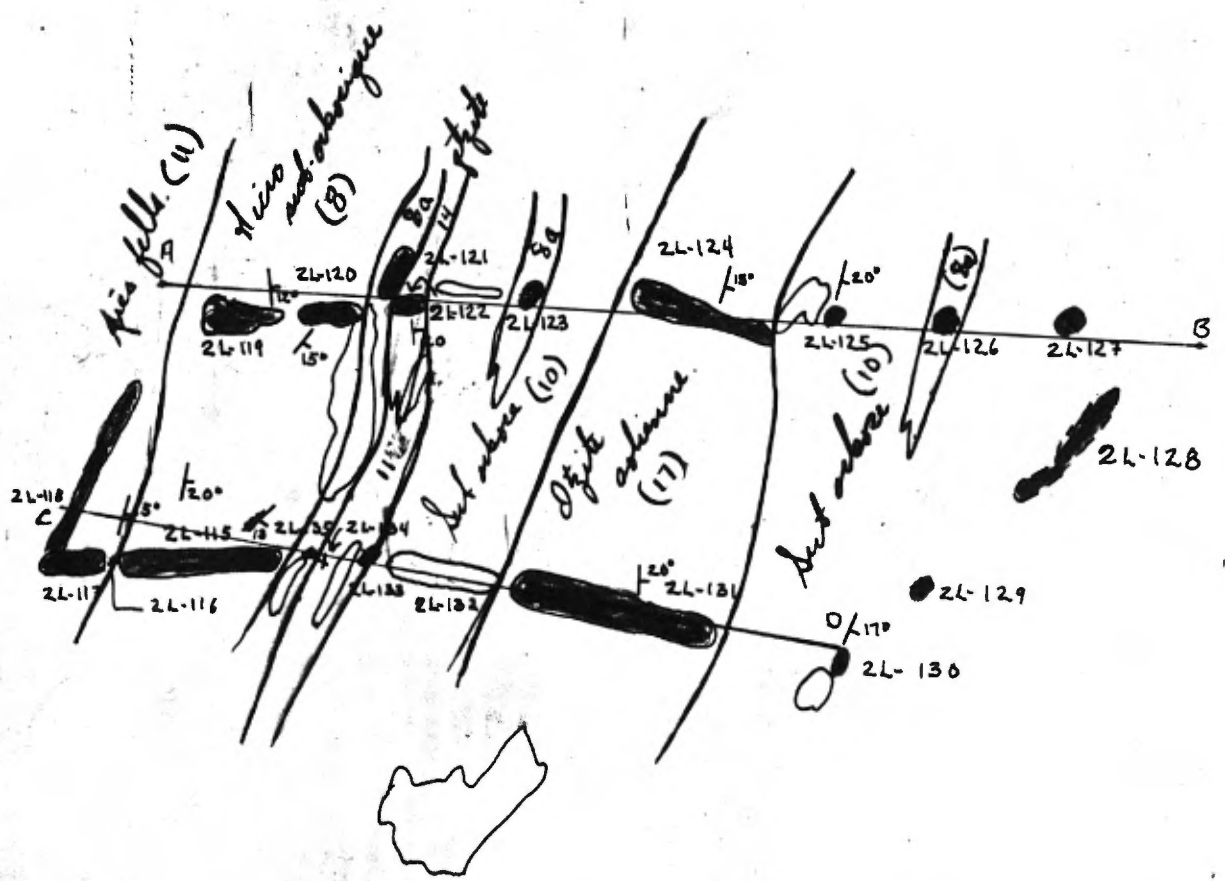
STATION	RA SPP2	DESCRIPTION	FORMATION	ECHAN- TILLON	ANALYSE
2L-132	70	Sub-arkose blanche, grain moyen à gros, niveaux de conglomérat à gros galets de quartz (5-10 cm), feldspath blanc laiteux en <i>cristaux</i> centimétriques $\frac{1}{2}$ à 1 cm de côté.			
2L-133	35-40	Grès feldspathique blanc, massif, grain moyen à fin; falaise de 5 m. Les grès blancs sont laminés légèrement, plus quartzitiques à la base de la série.			
2L-134	50	Grès feldspathique blanc, grain moyen à fin, massif. Le feldspath apparaît exclusivement en matrice. Celle-ci constitue de 5 à 15% de la roche.			
2L-135	75	Microconglomérat polygénique et arkosique, IDEM 2L-121, plus fin, moins arkosique. Cailloux et galets de quartz, quartzites rouges et shale. Hétérogène dans sa composition et dans sa granulométrie; quelques stratifications entrecroisées.			
	2000 2500	Bloc minéralisé découvert en 1979. Passage arkose-microconglomérat, faciès vert et faciès ocre. IDEM A-62.			

Coupe 2C-78



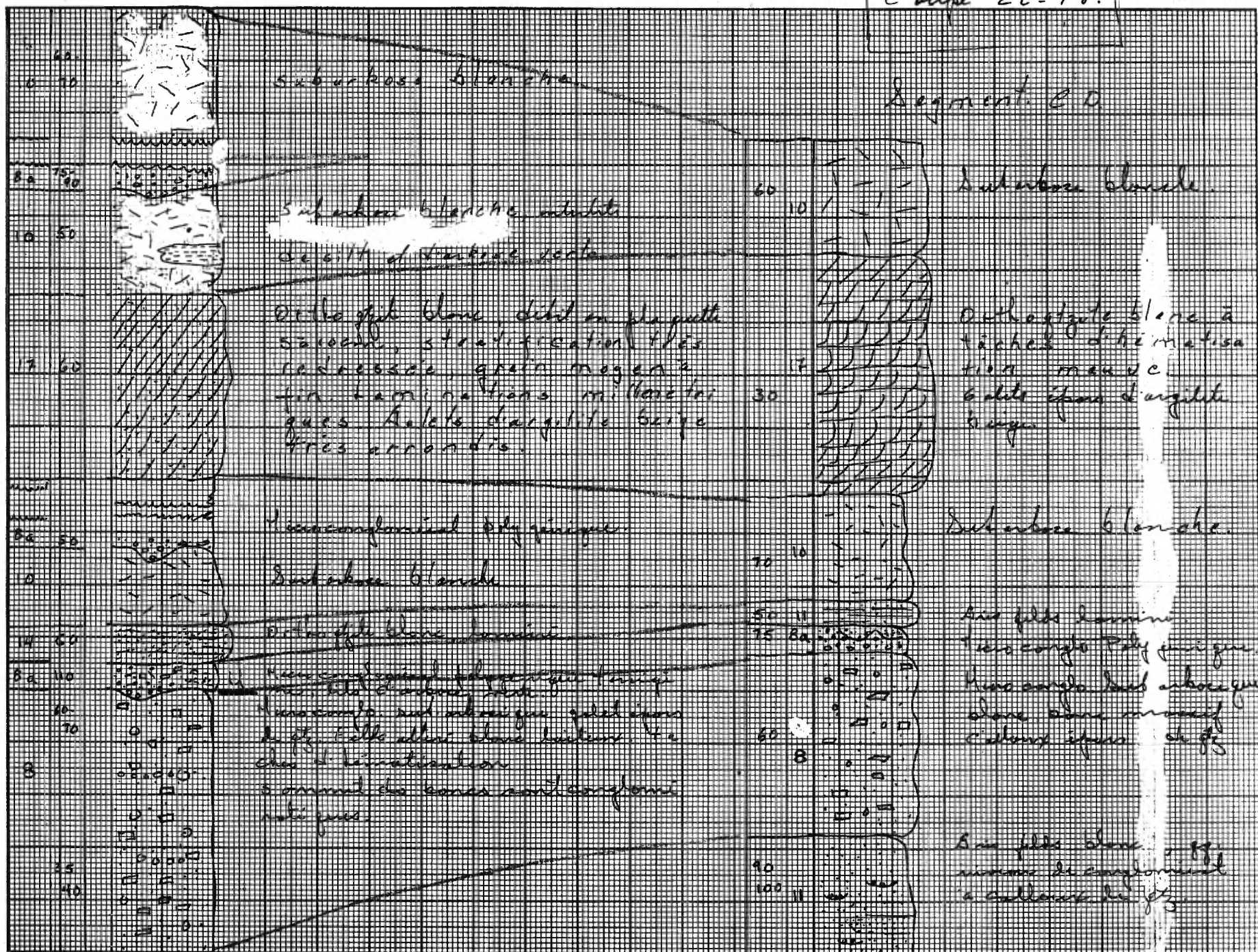
Echelle vert. > Echelle Hori } 1:10,000

Coupe 27-78.
17/07/80



Segment A.B

Coupe 2C-78.



Edelle 1:2000

PROJET: MONTS OTISH
 Serge Lavoie
 Alain Girard

FICHE D'AFFLEUREMENT

DATE: 20 juillet 1980

LOCALISATION: Hors propriété G 'W'

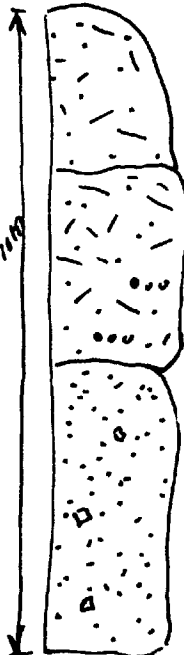
STATISTIQUE: Coupe 2C-85

KM DE COUPE: 3,6 km

KM RADIOMETRE: 3,6 km

STATION	RA SPP2	DESCRIPTION	FORMATION	ECHAN- TILLON	ANALYSE
2L-151	90- 125 N-32 28'	<p>Microconglomérat arkosique à niveaux de paraconglomérat polygénique. Bancs massifs; quelques interlits de sub-arkose blanche à grain moyen permettant des mesures de stratification N-32, 28°.</p> <p>2L-151a: Microconglomérat arkosique à niveau de conglomérat polygénique. Nature et origine des cailloux.</p> <p>Les niveaux de paraconglomérat renferment 85% de cailloux de quartz blanc, sous-arrondis à sous-anguleux.</p> <p>15%: cailloux rouges d'arkose et de quartzite; cailloux blancs d'arkose, galets de chalcidoine; galets d'argile.</p>		2L-151a	L.M.
2L-152	75- 100	<p>IDEM 2L-151, très massif, composition arkosique à sub-arkosique.</p> <p>Localement, les feldspaths sont roses à saumon.</p>			

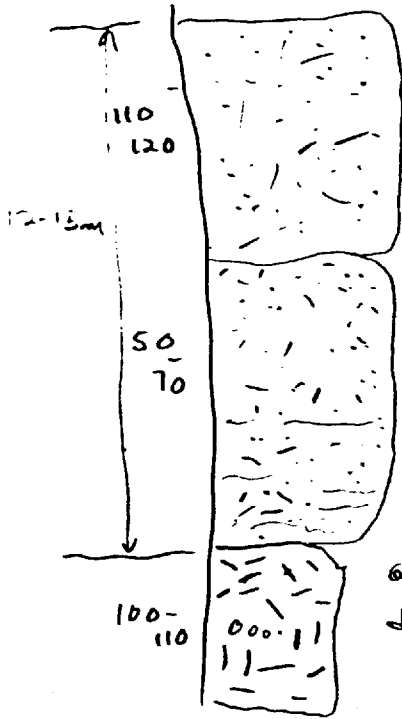
Statistiques

STATION	RA SPP2	DESCRIPTION	FORMATION	ECHAN- TILLON	ANALYSE
2L-153	50-60	 <p>Sub-arkose blanc rosé, grain grossier, cailloux et niveaux de conglomérat, stratification mal exprimée.</p> <p>Sub-arkose blanche, grain moyen, cailloux épars de quartz, cailloux rouges, passage très progressif ou grès feldspathique.</p> <p>Grès feldspathique blanc rosé, en banc massif, grain moyen à fin, cailloux anguleux de quartz.</p> <p>Quelques laminations et bandes d'oxydations rouges à roses ± 11 à la stratification.</p>			
2L-154	100- 125 pte à 200 <i>N. 30°</i> <i>-24°</i> <i>N. 68°</i> <i>316°</i> <i>N. 226°</i>	<p>Latéralement, on passe insensiblement à des arkoses grossières à niveaux de paraconglomérats polygéniques. Ces niveaux irréguliers ont une puissance de 5 à 15 cm et se suivent sur des distances de 10 à 15 m.</p> <p>Les alternances: grès feldspathique sub-arkose arkose</p> <p>sont habituellement selon la puissance des bancs, soit: 1 à 2 mètres.</p> <p>Jointes peu développés.</p> <p>Taches rouges d'hématisation, feldspath rose.</p>			
2L-155	100- 125	<p>IDEM 2L-154: Interlits métriques de grès grossier quartzitique.</p>			

Statistiques

STATION	RA SPP2	DESCRIPTION	FORMATION	ECHAN- TILLON	ANALYSE
2L-156	50-75 100- 125 4.20° -16°	Grès feldspathique blanc massif, grain moyen à fin, deux granulométries très massives, homogène, épaisseur minimale de 12 mètres. 2L-156a: Grès à sub-arkose blanc verdâtre, grain moyen à fin, actif 100-125. Détail de la colonne de stratification au verso.		2L-156a	32/22 U. Th.
2L-157	1800- 125	Bloc centimétrique très anguleux de sub-arkose blanche à faciès ocre, grain grossier, quelques cailloux de quartz. 2L-157a: U. Th. Bloc SO ₅ et SO ₆ ; les faciès rouges sont moins actifs que les faciès verts. Les blocs sont très anguleux et ne peuvent avoir leur source que dans des faciès arkosiques grossiers sus-joints . Dispositif comparable à celui de l'indice "G".		2L-157a	945/1 U. Th.
2L-158	50-60	Grès feldspathique blanc verdâtre, IDEM à 2L-156.			
2L-159	25-50 528 57	Quartzite pseudoéolienne à stratification très redressée, texture saccharoïde, matrice complètement dissoute, roche très poreuse blanche avec quelques taches mauves ou roses.			

2L-156



Gris felds blanc verdâtre massif grain fin

Gris felds blanc rose + lamini grain moyen

ardoise et sub ardoise blanc verdâtre grain grossier, loc
& laminations locales, felds rouge

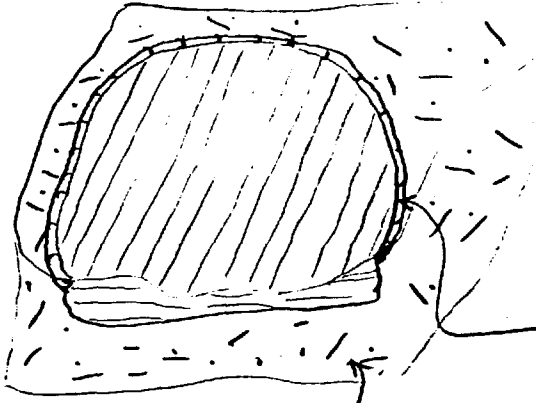
Statistiques

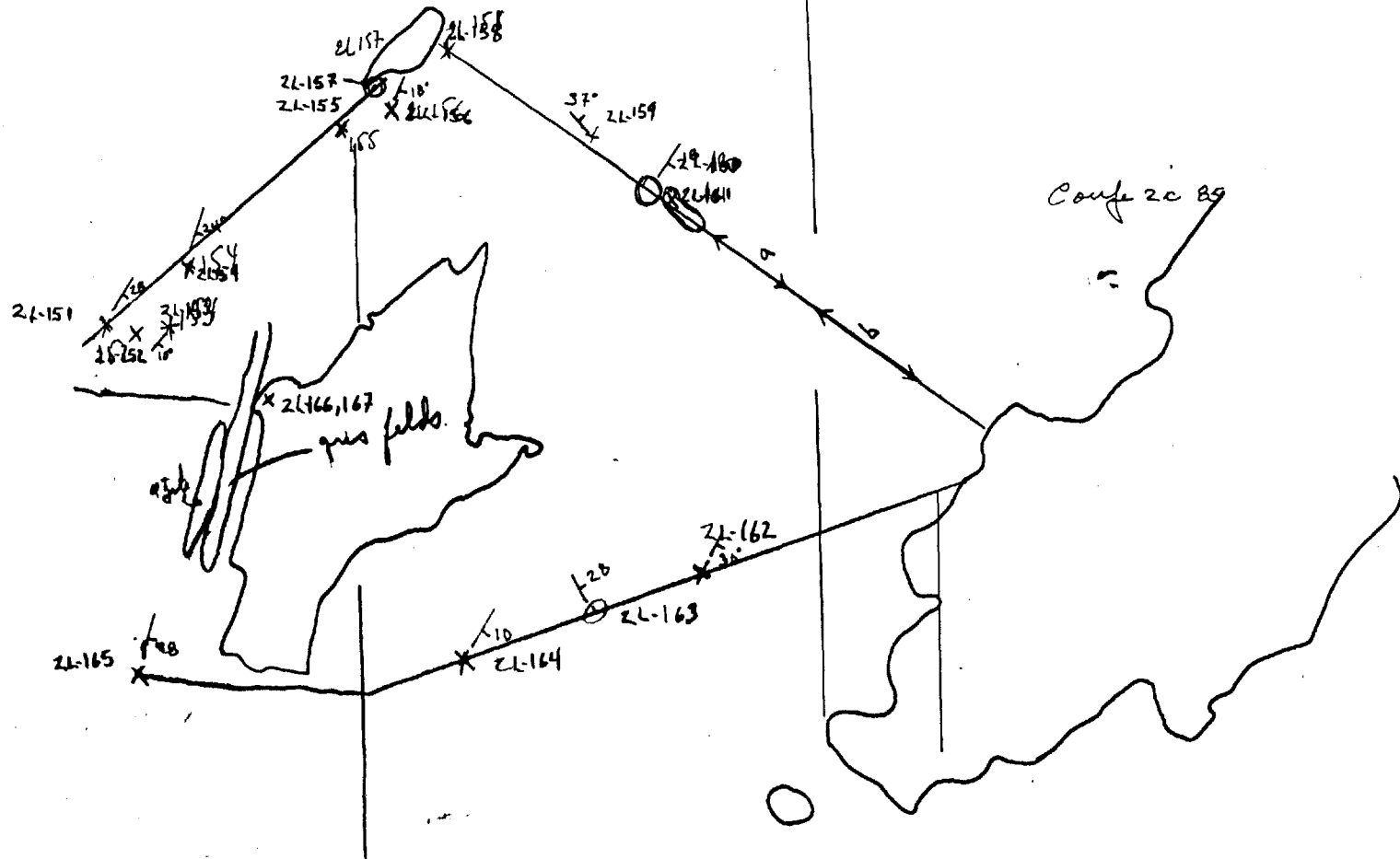
STATION	RA SPP2	DESCRIPTION	FORMATION	ECHAN- TILLON	ANALYSE
2L-160	25-40	Quartzite laminé rose et blanc en banc massif, laminations millimétriques.			
2L-161	60-70 150 ^g	<p>Sub-arkose blanche à rosée, grain moyen, massive, cailloux épars de quartz, tache d'hématisation.</p> <p>2L-161a: Bloc de grès feldspathique rose, grain moyen.</p> <p>En descendant la colline, la sub-arkose devient à grain fin sur le replat supérieur, les blocs dominants sont des orthoquartzites gris blanc très massifs, segment 2L-161a.</p> <p>Dans la pente, les blocs de sub-arkose redeviennent le faciès dominant 2L-161b.</p> <p>Sur le bord du lac, les blocs sont également une sub-arkose blanche à grain moyen, gros galet de quartz arrondi.</p>		2L-161a	135/140 U. Th.
2L-162	50-60 N-25° / 30°	<p>Sub-arkose blanche à rosée, quartz et feldspath roses, grain moyen à niveau de conglomérat et cailloux épars de quartz massif. Localement, la sub-arkose a un aspect de microconglomérat. Les blocs en flanc de côteau étaient des microconglomérats arkosiques.</p> <p>Stratification très mal exprimée.</p>			
2L-163	50-60 0.536 / 25°	<p>Grès feldspathique blanc, légèrement laminé, grain moyen.</p> <p>Stratification mal exprimée.</p> <p>Quelques galets et cailloux de quartz arrondis.</p>			

Statistiques

STATION	RA SPP2	DESCRIPTION	FORMATION	ECHAN- TILLON	ANALYSE
2L-164	40-45 N-30° 16° ↙	<p>Quartzite laminé, blanc et rose, rose et mauve, grain moyen à fin comportant des taches d'hématisation et des témoins d'un état antérieur d'oxydation.</p> <p>Joints N-333^o, densité 3.</p> <p>5 à 8% de matrice grés-feldspathique conférant à la roche un aspect de grès feldspathique. Ressemble en quelque sorte aux quartzites noirs, mais grain plus grossier.</p> <p>2L-164a: Grès feldspathique à orthoquartzite blanc à tache d'hématisation.</p> <p>2L-164b: Grès feldspathique gris mauve, laminé.</p> <p>2L-164c: Grès feldspathique laminé gris à mauve. Oxydes de fer.</p> <p>Le quartzite ou grès feldspathique est en banc massif, stratifications entrecroisées.</p> <p>Le grès ou quartzite mauve apparaît sur une épaisseur de 30 à 60 cm.</p>		2L-164a 2L-164b 2L-164c	L.M. L.M. L.M.
2L-165	90-110 N-15° 18° ↙	<p>Grès feldspathique blanc verdâtre, grain moyen à fin, massif, bancs métriques. Le feldspath blanc laiteux apparaît surtout en matrice du grès.</p> <p>Vers la base de l'escarpement, le grès devient fortement quartzitique. Orthoquartzite laminé, blanc et rose, irrégulier dans son hématisation.</p> <p>Lamination à fuchsite ± ll à la stratification.</p>			

Statistiques

STATION	RA SPP2	DESCRIPTION	FORMATION	ECHAN- TILLON	ANALYSE
2L-166	2000	<p>Bloc de l'anomalie A-61. Plage de grès feldspathique gris verdâtre à mauve, dans un grès feldspathique vert. Cette plage mesure 80 cm x 70 cm, et son épaisseur est de 5 cm. L'encaissant est de composition identique, mais sa couleur est verte. Bloc anguleux.</p>  <p><i>Le grès felds mauve à gris verdâtre est en dépression 2 à 3 cm par rapport au son encaissant</i></p> <p>Le grès feldspathique mauve à gris verdâtre est en dépression à 2 à 3 cm par rapport à son encaissant.</p>		<p>2L-166a</p> <p>2L-166b</p>	<p>44 / 1320</p> <p>U. Th.</p> <p>L.M.</p> <p>5.2 / 132</p> <p>U. Th.</p> <p>L.M.</p> <p><i>grès felds mauve à gris vert radioactif à 2000 cfs.</i></p> <p><i>2L-66a</i></p> <p><i>encaissant grès felds vert 200 cfs.</i></p> <p><i>2L-66b</i></p>
2L-167	1500	<p>Bloc de grès quartzitique grossier pJ et pO.</p> <p>2L-167a:</p> <p>2L-167b:</p>		<p>2L-167a</p>	<p>295/92</p>



ANOMALIE A-62 - ETUDES FINES

LOCALISATION - METHODES

L'indice A-62 est une dizaine d'anomalies uranifères en place (750.10,000 c/s SPP2) liées à des taches ou groupe de taches ocre décimétriques à métriques plus ou moins parallèles à la stratification.

Quatre jours sont consacrés à une étude fine à maille carrée décimétrique: relevé d'affleurement, radiométrie (du 6/8 au 9/8/80). A cette fin, deux lignes de base (l'une Est-Ouest, l'autre Nord-Sud en plusieurs tronçons) sont layonnées (500m) au droit des anomalies. A partir des repères définis par les lignes, des rubans marqueurs jalonnent une maille carrée 10 x 10 sur 4 hectares (200 x 200m).

L'ensemble de l'opération nécessite 12 hommes x jour (H.J.) répartis en 4 jours, soit:

- 4 H.J. pour le layonnage,
- 2 H.J. pour le jalonnement,
- 2 H.J. pour la géologie,
- 2 H.J. pour le relevé des formations superficielles,
- 2 H.J. pour la radiométrie

RESULTATS

La radiométrie

- Plan #3a - Données brutes

Sur un fond moyen de 30.35 c/s SPP2, 3 alignements positifs Nord-Sud dépassent 40 c/s et sont découpés selon des directions N130 et N35: l'alignement le plus à l'est correspond aux anomalies initiales, le plus occidental est à proximité du bloc thorifère 2T-53 et cerne une zone source active en place présentant les mêmes taches ocre plus ou moins parallèles à la stratification, cependant: thorifères.

- Plan #3b - Formations superficielles

Le plan est très contrasté où se juxtaposent tourbières, sols hydromorphes (30-100cm) et zones affleurantes.

Concentrations minérales dans la lithologie

Lors du relevé géologique, 3 types de concentrations minérales sont mises en évidence:

- Taches ocre: ce sont des sphéroïdes limoniteux plus ou moins diffus, décimétriques, quelquefois actifs (indices).
- Fuchsite: en bandes d'imprégnation plus ou moins parallèles à la stratification, ce phyllosilicate de chrome peut être d'extension métrique pour une puissance milli à centimétrique.
- Hématite/magnétite: la répartition est très locale mais n'affecte plus des plans mais des volumes métriques: le grès est alors porteur dans sa masse de petits cristaux d'oxydes (d'où aspect noirâtre de la roche).

Ces différentes minéralisations occupent la même aire de répartition, aire étroitement contrôlée par les fractures N130 et les mêmes alignements Nord-Sud radioactifs.

- Plan #3c

A partir de la carte des formations superficielles, l'effet de filtre du sol est évalué et corrigé (moyenne des mesures sur affleurement amenée au même niveau que celle des mesures sur sol). Le résultat est une carte où ressortent plus nettement des alignements méridiens, N135 et N30.

- Plan #3d - Géologie

La géologie fine confirme les grands traits dégagés dans les zonéographies précédentes.

- Une lithologie orientée Nord-sud pendant faiblement vers l'est.
- Un réseau de fractures subverticales N135.

La lithologie s'inscrit dans une séquence négative, avec de bas en haut: des grès feldspathiques envahis progressivement par des microconglomérats subarkosiques, pour un chenal microconglomératique à coeur arkosique, d'une centaine de mètres de large. Au-dessous brutalement, ravinant légèrement, s'impose un retour aux grès feldspathiques.

Minéralisations radioactives

Les minéralisations sont de deux types, bien tranchés chimiquement:

- à l'ouest (anomalies X - XI) thorifères,
- à l'est, uranifères,

quelque 20m les séparent dans la stratigraphie.

Les anomalies uranifères sont concentrées dans un chenal arkosique de part et d'autre d'un accident N135.

Les anomalies thorifères ont un contrôle sédimentaire peu net, elles sont décelées tant sur des faciès fins que sur des épisodes locaux à galets flottants. Par contre, elles aussi sont de part et d'autre de la même fracture N135.

A l'échelle de l'affleurement rien d'autre ne les différencie, ce sont les mêmes taches limonitiques actives.

Hypothèses métallogéniques

La cohabitation des deux types d'anomalies pose un problème. La fracture N135, nette dans la radiométrie, jalonnée par la fuchsite, les faciès ocre et les anomalies actives, atteste le passage d'une phase fluide. Cependant ce médium, s'il peut rendre compte de la présence de l'uranium, ne peut avoir déplacé le thorium. Ainsi faut-il chercher sur place la source des minéralisations.

Ainsi, ces deux types d'anomalies peuvent être d'origine sédimentaire (détritique dans un cas - chimique dans l'autre), leur proximité étant fortuite, mais ce serait peut-être trop négliger le rôle de l'accident N135.

Nous pencherons pour le scénario suivant:

- Une minéralisation urano-thorifère synsédimentaire, détritique dans des grès feldspathiques.
- Une fracturation ultérieure. N135 véhicule des solutions légèrement oxydantes qui déplacent l'uranium et enrichissent relativement le milieu en thorium.
- Plus haut, à la faveur d'un faciès plus poreux, éventuellement topochimiquement favorable, l'uranium déplacé est reprécipité.

Donc, séparation et déplacement de l'uranium sur courte distance à la faveur d'un fluide.

PROJET MONTS OTISH

CAMPAGNE 1980

ANNEXE #1 - MINUTES DE TERRAIN

CAHIER #2 - FICHES D'ANOMALIES

MRN-GÉOINFORMATION 2000

GM 57684

TABLE DES MATIERES

CAHIER #2

CHAPITRE 1 - ANOMALIES 1980

1.1 Fiches d'anomalies 2A-1 à 2A-83

CHAPITRE 2 - COMPLEMENT D'ETUDES, ANOMALIES 1979

2.1 Train de blocs Lac Banane, Indice "S"

2.2 Anomalie A-29

2.3 Anomalie A-37

2.4 Anomalies A-61 - 62 - 67

PROJET: MONTS OTISH

FICHE D'ANOMALIE AU SOL

(CROQUIS DE SITUATION OU TRANSPARENT PHOTO CI-JOINT)

ANOMALIE NO.: 2.A.1

AFFLEUREMENT

BLOC

PHOTO NO.: Q64364-216

MERCATOR: N - 5,768, - 375
E - 330, 270

DATE DE DECOUVERTE: 12 juin 1980

ORIGINE DE LA DECOUVERTE: Etude des boulders de A44

RA MOUVEMENT PROPRE (c/s SPP2): 50-80

RA MAXIMUM (c/s SPP2): > 15000 (Ra Min. 80c/s)

STATION NO.: 2S1

FORMATION: Indicateur

DESCRIPTION PETROGRAPHIQUE: Grès grossier à niveaux parfois plus arkosiques, recristallisé. Les grains sont de 2 à 4mm. Produits jaunes et verts autour des grains, en ciment. Le boulder de grande taille présente une arête arrondie, les autres étant vives. Il s'agit d'un bloc fragmenté, ayant probablement donné naissance aux autres boulders de cette région.

ANALYSE(S):

DESCRIPTION

BLOC:

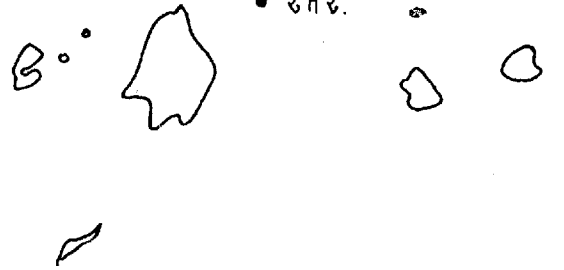
L cm	l cm	e cm	S	V	P	p	AP	IE	IS	IEB	AZIMUT L
227	190	130	547				1,60		0,731	2,5	N023

AFFLEUREMENT: Par endroits la recristallisation est telle que les quartz et les feldspath de très grande taille (2cm) confèrent un aspect conglomératique aux grès. On observe des minéraux métalliques noirs, ainsi que des petits minéraux verts (Cu?)

Même minéralisation que A44.



- 3A1
- 3A2



Q64362
-43

PROJET: MONTS OTISH

FICHE D'ANOMALIE AU SOL

(CROQUIS DE SITUATION OU TRANSPARENT PHOTO CI-JOINT)

ANOMALIE NO.: 2.A.2

AFFLEUREMENT

BLOC

PHOTO NO.: Q 64364-216

MERCATOR: N - 5,768,770

E - 330, 270

DATE DE DECOUVERTE: 13 juin 1980

ORIGINE DE LA DECOUVERTE: Etude des boulders de A44

RA MOUVEMENT PROPRE (c/s SPP2): 50-80

RA MAXIMUM (c/s SPP2): > 15,000

RA MINIMUM: 400

STATION NO.: 2S2

FORMATION: Indicateur

DESCRIPTION PETROGRAPHIQUE: Grès grossier à tendance conglomératique. 80% de Quartz environ, 10 à 15% de feldspath. Le reste étant la matrice ainsi que les produits jaunes et verts. L'aspect microconglomératique est dû en partie (ou en totalité), c'est à déterminer, à la recristallisation des Quartz et Feldspaths qui sont de grande taille (2cm).

ANALYSE(S):

DESCRIPTION

BLOC:

L	l	e	S	V	P	p	AP	IE	IS	IEB	AZIMUT L
36	33	17	86				2,02		0,624	2,9	N-350

AFFLEUREMENT: Il s'agit de la même recristallisation que les blocs de l'anomalie A44.

P.S. Localisation voir croquis de 2.A.1.

PROJET: MONTS OTISH

FICHE D'ANOMALIE AU SOL

(CROQUIS DE SITUATION OU TRANSPARENT PHOTO CI-JOINT)

ANOMALIE NO.: 2.A.4

AFFLEUREMENT

BLOC

PHOTO NO.: 64362-210

NTS: 22M14

DATE DE DECOUVERTE: 13 juin 1980

MERCATOR: 5,759,120
328,650

ORIGINE DE LA DECOUVERTE: Géologie socle propriété G

RA MOUVEMENT PROPRE (c/s SPP2): 60

RA MAXIMUM (c/s SPP2): 1050

STATION NO.: 2P6

FORMATION: socle

DESCRIPTION PETROGRAPHIQUE: granite (anatexite leucocrate) rosé, sans micas, (hormis de la chlorite dans les zones de cisaillement) très cataclasé

ANALYSE(S):

DESCRIPTION

<u>BLOC:</u>	L	l	e	S	V	P	p	AP	IE	IS	IEB	AZIMUT L

AFFLEUREMENT: Plusieurs points (4) de 1050 - 1050 - 350 et 550 cps. distants de quelques mètres les uns des autres.
- 2 anomalies liées à un niveau déquartzifié ponctuel (99 cm) 1050 - 550 c/s
- 1 anomalie liée à un filonnet de quartz
- 1 anomalie non rattachable à quelque chose de particulier.

PROJET: MONTS OTISH

FICHE D'ANOMALIE AU SOL

(CROQUIS DE SITUATION OU TRANSPARENT PHOTO CI-JOINT)

ANOMALIE NO.: 2A-5

AFFLEUREMENT

BLOC

PHOTO NO.: Orthophoto "G" sud

NTS: 2D3

DATE DE DECOUVERTE: Le 14 juin 1980

MERCATOR: N - 5,758,915
E - 323,525

ORIGINE DE LA DECOUVERTE: Positionnement de la frontière de la propriété "G"

RA MOUVEMENT PROPRE (c/s SPP2):

RA MAXIMUM (c/s SPP2): 2700

RA MINIMUM: 950

STATION NO.: 2L1

FORMATION: Grès quartzitique, localement feldspathique.

DESCRIPTION PETROGRAPHIQUE: Bloc de grès grossier, gris blanc à faciès ocre local. Le grès est composé de quartz arrondis à sous-arrondis en grain $\frac{1}{2}$ à 1 mm de diamètre, 85% à 90% de quartz. Feldspath blanc anguleux $\frac{1}{4}$ à $\frac{1}{2}$ mm en matrice du grès; feldspath rose de 1 à 2 mm.

ANALYSE(S):

U, Th sur échantillon 2L1a U Th

2L1a 845 ppm N.D.

DESCRIPTION

BLOC:

L cm	l cm	e cm	S	V	P	p	AP	IE	IS	IEB	AZIMUT L
36	26	17	79		96	76	1,82		0,675	3,5	N-140°

AFFLEUREMENT:

Note: Ce grès ressemble beaucoup aux faciès quartzitiques des blocs de l'anomalie A-34 et A-35. Comme pour eux, il s'agit d'un bloc bien encastré dans la moraine, sa surface portante étant plane et lisse tandis que le sommet du bloc est arrondi. L'axe d'allongement du bloc est en direction N-140. L'activité est uniformément répartie, quoique la surface inférieure apparaît plus active. Les minéralisations observées sont des produits secondaires verts à jaune verdâtre, des produits métalliques gris à gris bleu. Les produits jaunes se présentent en dissémination dans le grès et sur des petites fractures 0.5 mm X 2 cm. Le grès présente un aspect tectonisé envahissant, pénétrant, mais toujours à une échelle quasi microscopique.

PROJET: MONTS OTISH

FICHE D'ANOMALIE AU SOL

(CROQUIS DE SITUATION OU TRANSPARENT PHOTO CI-JOINT)

ANOMALIE NO.: 2A-7

AFFLEUREMENT

BLOC

PHOTO NO.: Q64372-200

MERCATOR: N - 5,760,805
E - 328,750

DATE DE DECOUVERTE: 17 juin 1980

ORIGINE DE LA DECOUVERTE: Etude des boulders de A32-A33

RA MOUVEMENT PROPRE (c/s SPP2): 70

RA MAXIMUM (c/s SPP2): 2700

STATION NO.: 2S4

FORMATION: Indicateur ? (conglomérat de base)

DESCRIPTION PETROGRAPHIQUE: Il s'agit d'une anomalie ponctuelle située sur une petite fracture N056, fermée et l'endroit anomal, la fracturation est très intense sur 5 cm. La fracture est fortement hématisée. L'ensemble de la roche dessine une tache rubéfiée au voisinage de l'anomalie.

ANALYSE(S):

2S-4a U, Th U - 142 ppm
2S-4b Témoin Th- 12169 ppm

DESCRIPTION

BLOC:

L	l	e	S	V	P	p	AP	IE	IS	IEB	AZIMUT L

AFFLEUREMENT: L'anomalie 2A-7 se situe dans le conglomérat de base. Le conglomérat est polymictique à galets toujours très arrondi de granite, rose ou blanc et de quartzite. Les galets sont de 5 à 35cm environ et dans une matrice gréseuse et chloriteuse..

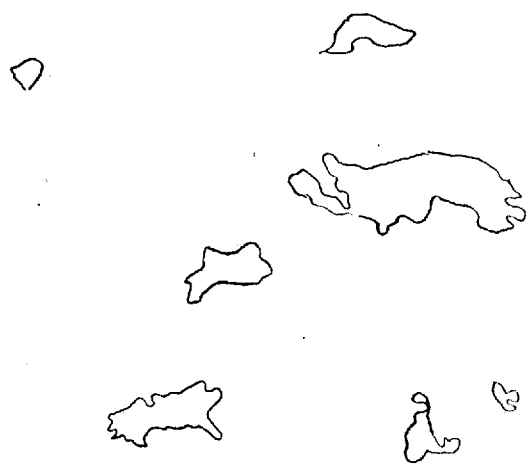
L'anomalie se situe dans le granite rose d'anatexie à un carrefour structural. Faille N-40° sub-verticale et faille N-70° 80E. Le point de rencontre des deux directions est le plus actif.

Ce bloc qui montre le contact intrusif du granite d'anatexie dans le conglomérat de base, est coincé dans l'expression de la faille Pluto ou son Riedel qui est orienté N-20° dans cette région.

Voir description de P. Caumartin pour plus amples descriptions.

Photos (3) Francis Perron.

Anomalie probablement Th, SPP2 montre une forte variation dans son comportement.



2A7

Q 64372-200

PROJET: MONTS OTISH

FICHE D'ANOMALIE AU SOL

(CROQUIS DE SITUATION OU TRANSPARENT PHOTO CI-JOINT)

ANOMALIE NO.: 2A-8

AFFLEUREMENT

BLOC

PHOTO NO.:

MERCATOR: N 5,761,570
E 328,770

DATE DE DECOUVERTE: 17 juin 1980

ORIGINE DE LA DECOUVERTE: Etude des boulders de A32 et A33

RA MOUVEMENT PROPRE (c/s SPP2): 125

RA MAXIMUM (c/s SPP2): 1000

RA MINIMUM: 75

STATION NO.: 2S5

FORMATION: Indicateur

DESCRIPTION PETROGRAPHIQUE: Il s'agit d'une anomalie très ponctuelle, et qui correspond à une fracture. On n'observe aucune minéralisation ni coloration au droit de l'anomalie. Le boulder appartient à un ensemble de très gros blocs: pratiquement en place..

ANALYSE(S):

DESCRIPTION

BLOC:

L	l	e	S	V	P	p	AP	IE	IS	IEB	AZINUT L

AFFLEUREMENT:

Le boulder est une orthoquartzite. Les grains de quartz de taille 1 à 2 mm sont pris dans un ciment siliceux. L'ensemble est recristallisé. Il n'y a aucun feldspath.



⊕ 2A8

PROJET: MONTS OTISH

FICHE D'ANOMALIE AU SOL

(CROQUIS DE SITUATION OU TRANSPARENT PHOTO CI-JOINT)

ANOMALIE NO.: 2A-9

AFFLEUREMENT

BLOC

PHOTO NO.: Q64368-83

MERCATOR: E 352,600
N 5,783,300

DATE DE DECOUVERTE: 1e 2 juillet 1980

ORIGINE DE LA DECOUVERTE: Vérification tectonique (J. Beaudin)

RA MOUVEMENT PROPRE (c/s SPP2):

RA MAXIMUM (c/s SPP2): 4500 ponctuel, plus de 1500 sur plan cisailé

STATION NO.: 2B-195

FORMATION: Gabbro d'Otish

DESCRIPTION PETROGRAPHIQUE: Gabbro extrêmement cisailé, entièrement chloritisé.
Le plan de cisaillement est actif \approx 1500 mais le point maximum se retrouve à proximité d'une veine de carbonate qui est complètement altérée. (Il ne reste que l'oxydation rouille des sulfures et le carbonate est dessous). Cet anomalie fait probablement partie du train de boulders conduisant

ANALYSE(S): aux anomalies principales S.

DESCRIPTION

BLOC:

L cm	l cm	e cm	S	V	P	p	AP	IE	IS	IEB	AZIMUT I.
24	18	9	51		59	48	40				N350

AFFLEUREMENT:

PROJET: MONTS OTISH

FICHE D'ANOMALIE AU SOL

(CROQUIS DE SITUATION OU TRANSPARENT PHOTO CI-JOINT)

ANOMALIE NO.: 2A-9 voir 2A-32 AFFLEUREMENT BLOC

PHOTO NO.: Q64368-83 NTS: E 352,600
N 5,783,300

DATE DE DECOUVERTE: Le 2 juillet 1980

ORIGINE DE LA DECOUVERTE: Reconnaissance tectonique de "S"

RA MOUVEMENT PROPRE (c/s SPP2):

RA MAXIMUM (c/s SPP2): 1800

STATION NO.: 2K-14 (2B-195) et ano. 2A-32

FORMATION: Gabbro des Otish

DESCRIPTION PETROGRAPHIQUE: Gabbro cisailé très schistosé, train de boulder "S"

Spectro U/Th: 9,9

ANALYSE(S):

DESCRIPTION

BLOC:

L cm	l cm	e cm	S	V	P	p	AP	IE	IS	IEB	AZIMUT L
17	15	8			42	37					

AFFLEUREMENT:

p: 32

PROJET: MONTS OTISH

FICHE D'ANOMALIE AU SOL

(CROQUIS DE SITUATION OU TRANSPARENT PHOTO CI-JOINT)

ANOMALIE NO.: 2A-9

AFFLEUREMENT

BLOC

PHOTO NO.: Q64368-83

NTS:

DATE DE DECOUVERTE: Le 2 juillet 1980

ORIGINE DE LA DECOUVERTE: Vérification tectonique (J. Beaudin)

RA MOUVEMENT PROPRE (c/s SPP2):

RA MAXIMUM (c/s SPP2): 3500 cps

STATION NO.: 2B-196

FORMATION: Gabbro d'Otish (Veine carbonaté)

DESCRIPTION PETROGRAPHIQUE: Echantillon complètement fragmenté (3 morceaux principaux) et extrêmement altéré d'une veine de carbonates avec un peu de matériel chloriteux (gabbro cisailé). Les carbonates frais ne sont identifiables que lorsque l'échantillon est brisé totalement. Altération brun rouille (oxydation des sulfures) et beige foncé (dolomie?). Il est incon-

ANALYSE(S): cevable que cet échantillon ait pu être transporté sur une longue distance.

DESCRIPTION

BLOC:

L	l	e	s	v	p	p	AP	IE	IS	IEB	AZIMUT L

AFFLEUREMENT:



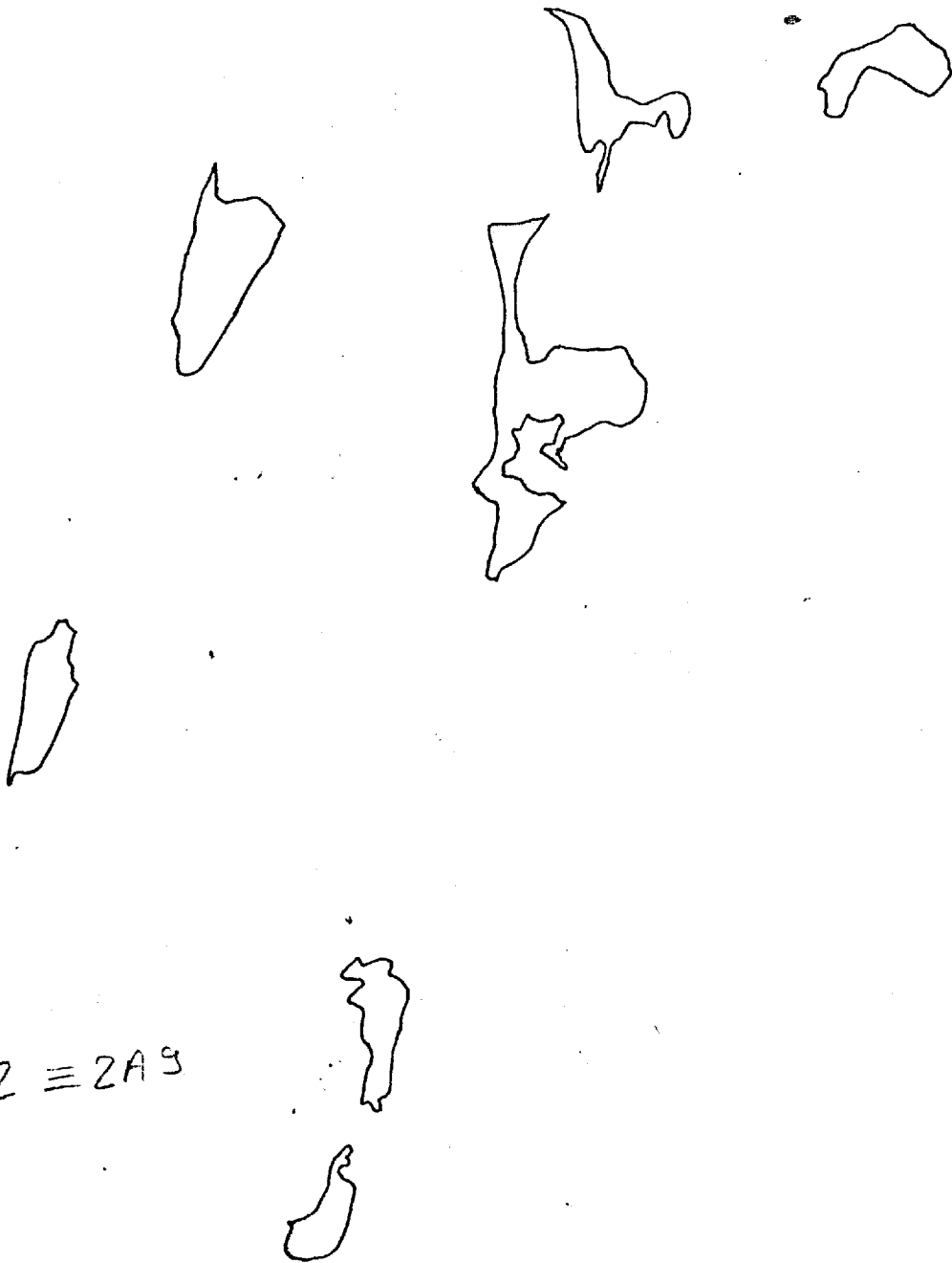
2B-195 ~~~~~ x x ~~~~~ 2B-196

Q 64368-83

2A3Z ≡ 2A9

2K-14 → 2K-15

Q64368-83



PROJET: MONTS OTISH

FICHE D'ANOMALIE AU SOL

(CROQUIS DE SITUATION OU TRANSPARENT PHOTO CI-JOINT)

ANOMALIE NO.: 2A-10

AFFLEUREMENT

BLOC

PHOTO NO.: 66318-38

MERCATOR: N - 5,758,010
E - 327,630

DATE DE DECOUVERTE: 1e 19 juin 1980

ORIGINE DE LA DECOUVERTE: Coupe Géologique Vérification tectonique (S. Genest, J. Beaudin)

RA MOUVEMENT PROPRE (c/s SPP2): 150

RA MAXIMUM (c/s SPP2): 1250

STATION NO.: 2B43

FORMATION: Socle granito-gneissique rose

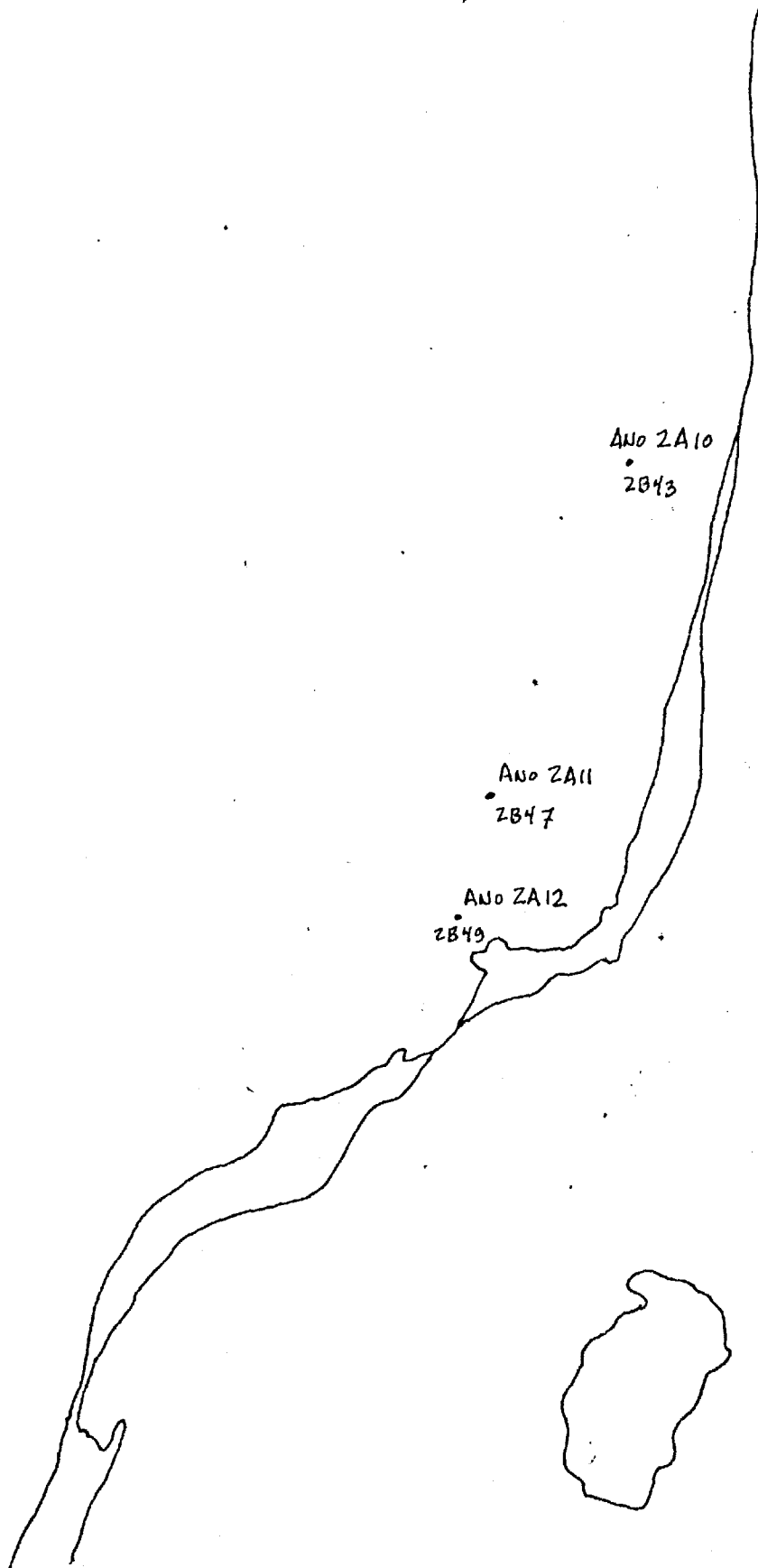
DESCRIPTION PETROGRAPHIQUE: Anomalie ponctuelle dans une passée pegmatitique rose cisailée par mica et micro-veine de quartz, 70% feldspath rose, quartz gris. Au environ quelques points 200, 1 point à 750 cps. A environ 50 mètres d'un sill de gabbro. Schistosité 15-90?. Un 2ième point anomal à 750 cps sur micro-fracture dans migmatité.

DESCRIPTION

BLOC:

L	l	e	S	V	P	p	AP	IE	IS	IEB	AZINUT L

AFFLEUREMENT: Au SW de la zone affleurante près du gabbro.



ANOMALIES SOGLE
ZA10, ZA11, ZA12

Orthoplan 1/10,000

Photo 1/15840

66318-38

PROJET: MONTS OTISH

FICHE D'ANOMALIE AU SOL

(CROQUIS DE SITUATION OU TRANSPARENT PHOTO CI-JOINT)

ANOMALIE NO.: 2A-11

AFFLEUREMENT

BLOC

PHOTO NO.: 66318-38

MERCATOR: N - 5,757, 550
E - 327,380

DATE DE DECOUVERTE: le 19 juin 1980

ORIGINE DE LA DECOUVERTE: Coupe tectonique (J. Beaudin, S. Genest)

RA MOUVEMENT PROPRE (c/s SPP2): 70-100

RA MAXIMUM (c/s SPP2): 1750

STATION NO.: 2B-47

FORMATION: Socle granito-gneissique à enclaves

DESCRIPTION PETROGRAPHIQUE: Anomalie sur fracture 39-90 au contact gneiss grossier blanc (Qtz Fds 2 à 5mm) et enclave (cf. échantillon) gneissique micacé. Anomalie sur 40 cm le long de la fracture. Tout l'affleurement présente de nombreuses anomalies entre 200 et 750 cps sur les zones cisailées. Cette anomalie et l'unité qui la contient est très semblable à l'anomalie 2A-10. Cette fracture est très près de la schistosité régionale N20-75. Autre anomalie 500-300 sur lm, cisaillement N40-90.

DESCRIPTION

BLOC:

L	l	e	s	v	p	p	AP	IE	IS	IEB	AZIMUT L

AFFLEUREMENT:

PROJET: MONTS OTISH

FICHE D'ANOMALIE AU SOL

(CROQUIS DE SITUATION OU TRANSPARENT PHOTO CI-JOINT)

ANOMALIE NO.: 2A-12

AFFLEUREMENT

BLOC

PHOTO NO.: 66318-38

MERCATOR: N - 5,757,385
E - 327,315

DATE DE DECOUVERTE: le 19 juin 1980

ORIGINE DE LA DECOUVERTE: Coupe tectonique

RA MOUVEMENT PROPRE (c/s SPP2): 100-150

RA MAXIMUM (c/s SPP2): 1250

STATION NO.: 2B-49

FORMATION:

DESCRIPTION PETROGRAPHIQUE: Socle granito-gneissique blanc à enclaves.

ANALYSE(S): 2B-49a U Th U/Th
 1950ppm 196ppm 9.9

DESCRIPTION

BLOC:

L	l	e	S	V	P	p	AP	IE	IS	IEB	AZIMUT L

AFFLEUREMENT: Lithologie similaire à 2B-43 et anomalie 2A-10. Il s'agit d'une bande anormale qui se suit sur une bonne distance 2B-43 à 2B-49 (700m).

PROJET: MONTS OTISH

FICHE D'ANOMALIE AU SOL

(CROQUIS DE SITUATION OU TRANSPARENT PHOTO CI-JOINT)

ANOMALIE NO.: 2A13

AFFLEUREMENT

BLOC

PHOTO NO.:

MERCATOR: E - 323,80
N - 576,940

DATE DE DECOUVERTE: le 20 juin 1980

ORIGINE DE LA DECOUVERTE: Coupe Géologique 2C-11

RA MOUVEMENT PROPRE (c/s SPP2): 25

RA MAXIMUM (c/s SPP2): 1600

STATION NO.: 2V-36

FORMATION: Gabbro d'Otish

DESCRIPTION PETROGRAPHIQUE:

2V-36a: Medium grained, slightly hematized. 1600 c/s max.

2V-36b: A sulphide bearing albitite vein with epidote on the edge 950 c/s max.

ANALYSE(S):

DESCRIPTION

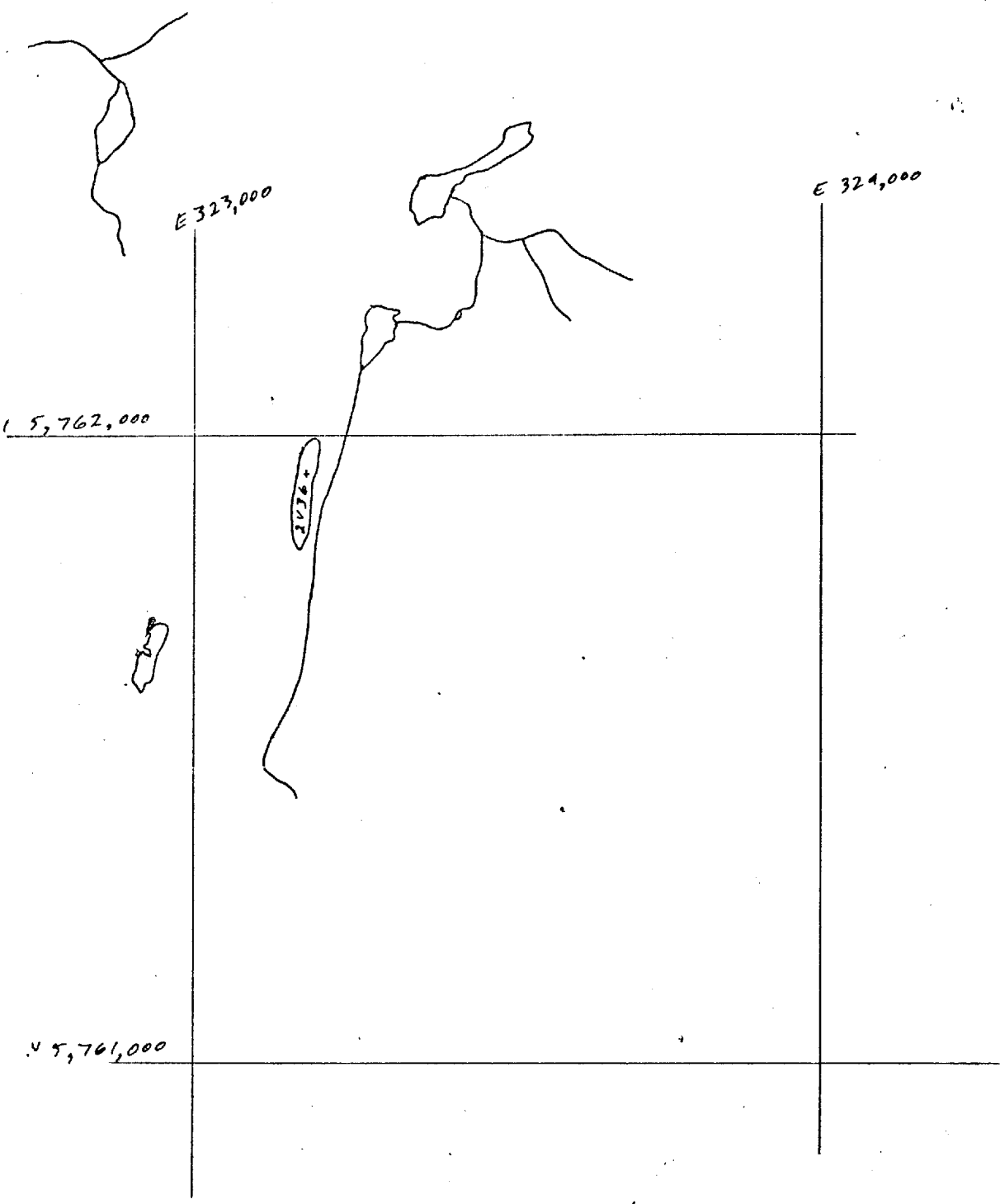
<u>BLOC:</u>	L	l	e	S	V	P	p	AP	IE	IS	IEB	AZIMUT L

AFFLEUREMENT: Massive (poorly fractured) medium grained gabbro. There is strong epidotization along fractures as well as irregularly in the mass. Irregular patches of gabbro are reddish due to hematization of the plagioclase.

	Tc	K	U	Th	U/Th
2V36	461.5	14.1	11.8	15.1	0.8

Deuxième point à 10-15 cm plus loin selon l'axe du gabbro:

	322.9	9.9	6.8	9.4	0.7
--	-------	-----	-----	-----	-----



PROJET: MONTS OTISH

FICHE D'ANOMALIE AU SOL

(CROQUIS DE SITUATION OU TRANSPARENT PHOTO CI-JOINT)

ANOMALIE NO.: 2A-14

AFFLEUREMENT

BLOCS

PHOTO NO.: Q64362-142

NTS: 23 D/3
52°5'; 71°17'

DATE DE DECOUVERTE: Le 20 juin 1980

ORIGINE DE LA DECOUVERTE: Prospection scintillométrique

RA MOUVEMENT PROPRE (c/s SPP2): 90

RA MAXIMUM (c/s SPP2): 1250, 1,250, 1,100 et plusieurs points > 500 cps

STATION NO.: 2J18, 2J122, 2J123, 2J124
(1250)(1250) (1100) (850) (cps)

FORMATION: Indicateur

DESCRIPTION PETROGRAPHIQUE: Plusieurs blocs de composition semblable. Grès feldspathique contenant environ Quartz 95%, feldspaths 5%. ϕ des grains: moyens à grossiers, tri mauvais, arrondi moyen, passées plus grossières. L'anomalie se trouve en association avec une altération de couleur ocre.

ANALYSE(S):	TC	K	U	Th	RA SPP2	U/Th
2J122	256.8	15.8	7.3	0.63	1,250	11.53
2J124	234.8	11.1	5.2	0.16	850	31.2
2J18	372.4	20.1	12.1	0.65	1,250	18.6
2J123	-	-	-	-	1,100	-

DESCRIPTION

BLOC:

L	l	e	S	V	P	p	AP	IE	IS	IEB	AZIMUT L

AFFLEUREMENT: 2J18d envoyé à l'analyse

U: 127ppm Th: 22ppm

FICHE D'AFFLEUREMENT (SUITE)

Le 2 août 1980

Statistiques Vérification blocs d'anomalie 2A-14

STATION	RA SPP2	DESCRIPTION					FORMATION	ECHAN- TILLON	ANALYSE
2K-50	1,200	Tc	K	U	Th	U/Th			
		331.5	18	11.8	0.6	19.7			
2K-52	1,500	Tc	K	U	Th	U/Th	2K-52a		
		379	24	9.5	1.1	8.6			
		2K52a	U: 96 ppm	Th: ND					
2K-51	1,250	Tc	K	U	Th	U/Th			
		452	247	15.2	1.2	12.9			
		3 blocs dans une moraine délavée; blocs centimétriques à métriques; grès feldspathique laminé à faciès ocre.							
2N-42	1,500	Spectromètre 10 _s							
		Tc	K	U	Th	U/Th			
		363	30.7	18.7	1.1	17.0			
		Grès feldspathique laminé à faciès ocre. Bloc sur moraine sous-anguleux Taille centimétrique.							
2T-49	1,800	Tc	K	U	Th	U/Th	2T-49a	U/Th: 708	
		670	31.7	27.2	1.6	16.7			
		Bloc sur moraine sous-arrondi. Grès feldspathique à faciès ocre 2T-49a							
		2T-49a	U: 708 ppm	Th: ND					

Le 16 août 1980

Statistiques

Vérification des blocs de l'anomalie 2A-14

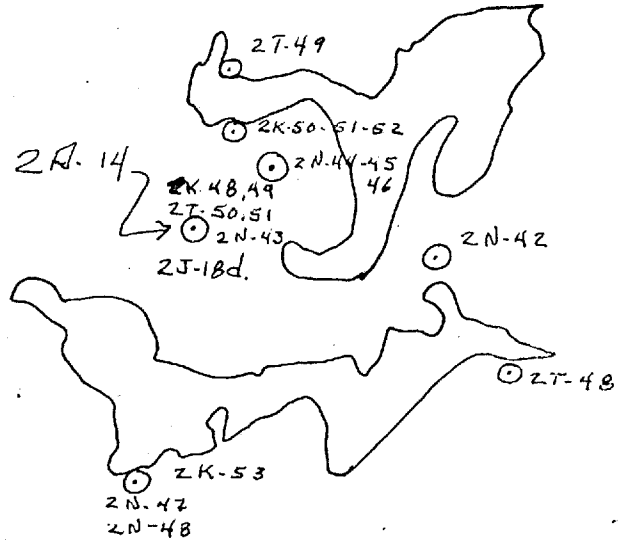
STATION	RA SPP2	DESCRIPTION	FORMATION	ECHAN- TILLON	ANALYSE
2K-70 Propriété "S"	2,500	Zone de contact gabbro grès. Roche altérée très laminée. 2K-70a		2K-70a	L.M.
2K-66 Propriété S	1,400	Idem 2K-70 contact grès-gabbro		2K-66	L.M.
2T-48	1,000 50	Grès feldspathique grain moyen à grossier, faciès ocre, schistosité bien développée. Sous-affleurement. Ce grès se situe à l'intérieur d'un faciès à deux granulométries. Microconglomérat quartzitique en lits millimétriques alternant avec des arkoses fines. Le grès grossier microconglomératique a un aspect lithique. Quartz - très anguleux, d'autres plus arrondis Grains rouges et de quartzite. 2T-48 - Grès feldspathique schistosé à faciès ocre		2T-48	U, Th U: 300ppm Th: 77ppm
2K-48	1,350	Sub-affleurement grès			
2T-50	1,300	Sub-arkosique à arkosique laminé,			
2N-43	1,000	deux granulométries, quartz arrondi			
2T-51	1,500	à sous-anguleux, tache rose à rouge,			
2K-49	1,250	aspect terrigène, faciès fin de matrice et en interlits millimétriques est nettement arkosique. Schistosé et fracturé. Photos 9 et 10 montrent la distribution du faciès ocre des grès, la 10 en particulier présente une distribution sélective de ces faciès ocre qui suivent la diaclase dans le sol mais s'arrêtent dans le faciès réduit.			

Statistiques

STATION	RA SPP2	DESCRIPTION	FORMATION	ECHAN- TILLON	ANALYSE
2N-44	2,500	Idem, blocs de grès à 2 granulométries, minéralisation sur faciès ocre 2N-44a 2N-44b Grès sub-arkosique à faciès ocre		2N-44a 2N-44b	Réf. U, Th U:1120ppm Th:383ppm
2N-45	1,700				
2N-46	1,000				
2N-47	1,600	Bloc de grès feldspathique fin, blanc verdâtre très poreux, portant des cristaux prismatiques dissous de taille millimétrique (cube de pyrite?). Bande millimétrique noire et taches noires, hématite spéculaire ? ou film organique sur quartz ? Beaux produits verts, en cristaux 2N-47a - Grès feldspathique fin, identification de la bande noire et minéraux prismatiques 2N-47b - Identification des minéraux prismatiques oxydés 2N-47c - Grès feldspathique minéralisé		2N-47a 2N-47b 2N-47c	L.M. L.M. U, Th U:244ppm Th:164ppm
2K-53	1,450				
2N-48	2,000				
2K-53	1,450				
2N-48	2,000	Bloc de microconglomérat oligomictique à matrice sub-arkosique, schistosité très pénétrante, quartz recristallisé 2N-48 - Possiblement <u>Th</u>		2N-48	U, Th U: 79ppm Th:1120ppm



Anomalous 2A-14



PROJET: MONTS OTISH

FICHE D'ANOMALIE AU SOL

(CROQUIS DE SITUATION OU TRANSPARENT PHOTO CI-JOINT)

ANOMALIE NO.: 2A-15

AFFLEUREMENT

BLOC

PHOTO NO.: Q64362-142

NTS: 23 D/3
52°01' - 71°17'

DATE DE DECOUVERTE: le 20 juin 1980

ORIGINE DE LA DECOUVERTE: prospection scintillométrique

RA MOUVEMENT PROPRE (c/s SPP2): -

RA MAXIMUM (c/s SPP2): > 2000 cps et un point à 750 cps

STATION NO.: 2J20

FORMATION: -

DESCRIPTION PETROGRAPHIQUE: Matière organique

ANALYSE(S): 2J-20 U Th
2J-20b 9300 ppm N.D. végétation anormale
2J-20c végétation non anormale

DESCRIPTION

BLOC:

L	l	e	S	V	P	p	AP	IE	IS	IEB	AZIMUT L

AFFLEUREMENT:



Q 64362
142

PROJET: MONTS OTISH

FICHE D'ANOMALIE AU SOL

(CROQUIS DE SITUATION OU TRANSPARENT PHOTO CI-JOINT)

ANOMALIE NO.: 2A-16 (A+B)

AFFLEUREMENT

BLOC

PHOTO NO.: Orthophoto "G" sud

DATE DE DECOUVERTE: Le 17 juin 1980

ORIGINE DE LA DECOUVERTE: Prospection au sol

RA MOUVEMENT PROPRE (c/s SPP2): 250-200

RA MAXIMUM (c/s SPP2): 2500

STATION NO.: 2T-1, 2T-2

FORMATION: Bloc de conglomérat à cailloux de quartz, comportant des interlits d'arkose fins.

DESCRIPTION PETROGRAPHIQUE: 2 blocs de taille métrique sub-anguleux, la faciès porteur est un conglomérat à cailloux de quartz, sa matrice est un grès feldspathique grossier à microconglomératique.

ANALYSE(S): U Th Témoin

2T-1a 325 ppm 5664 ppm 2T-1b

DESCRIPTION 2T-2a 20.3 ppm 880 ppm 2T-2b

BLOC:

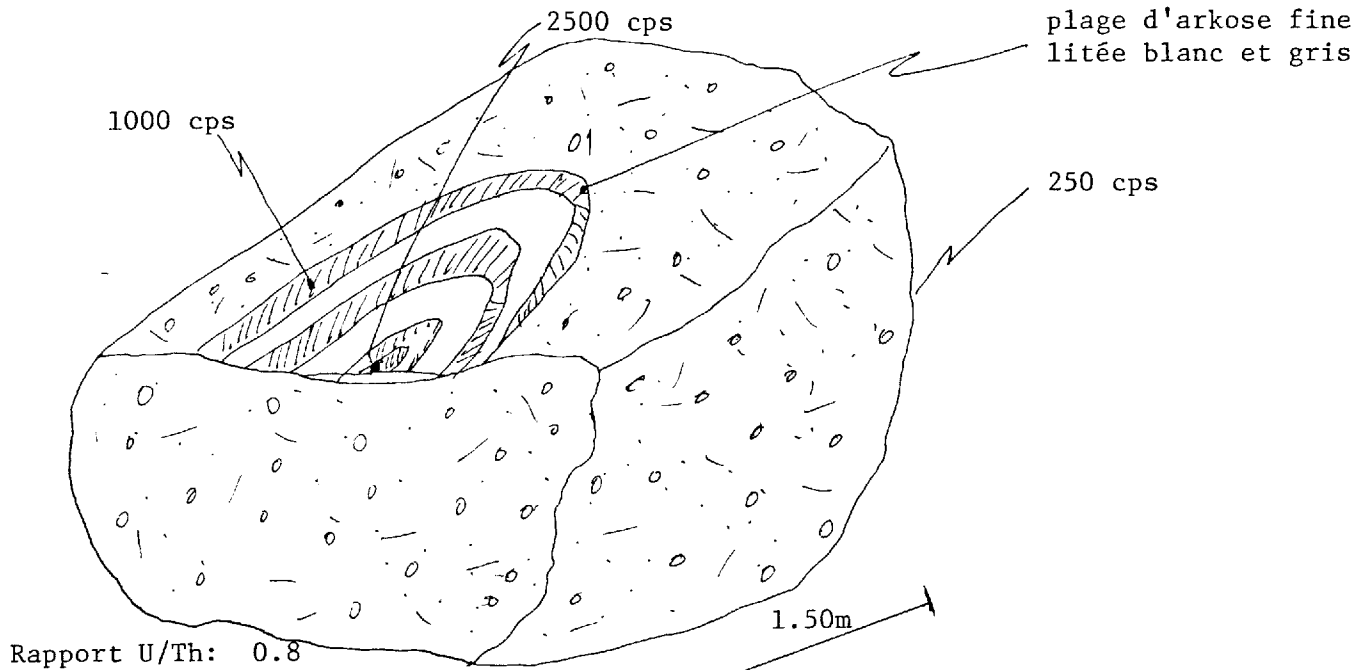
L	l	e	S	V	P	p	AP	IE	IS	IEB	AZIMUT L

AFFLEUREMENT: Champ de blocs épars sur moraine, les blocs sont très gros (métriques) donc probablement peu déplacés.

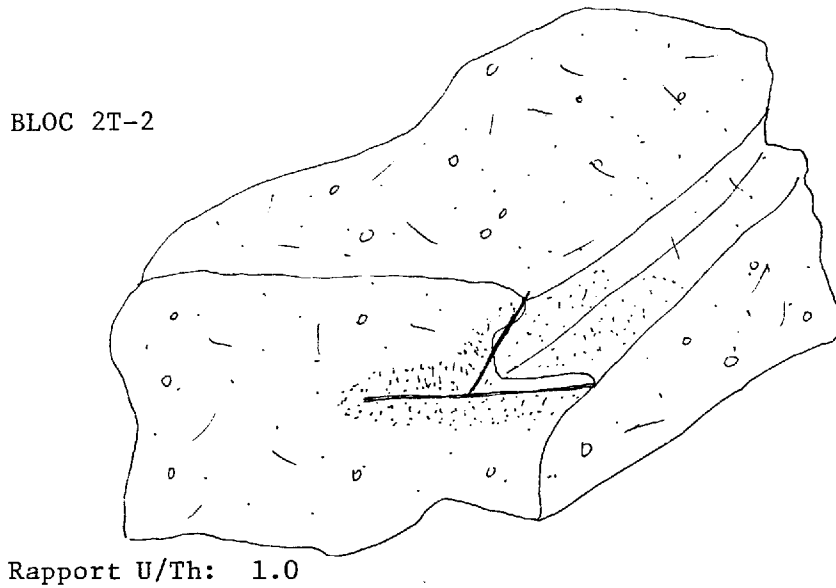
Bloc 2T-1: Le faciès anomal couvre une plage de 60 cm de côté sur le bloc pour une épaisseur de 4 à 5 cm. Il s'agit d'une arkose très fine, litée blanc et gris. Ce faciès fin apparaît comme un de chenal dans le conglomérat.

Bloc 2T-2: Même taille, même composition que 2T-1.

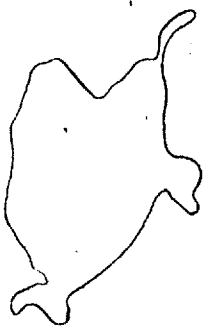
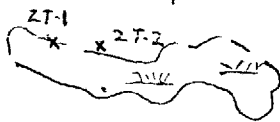
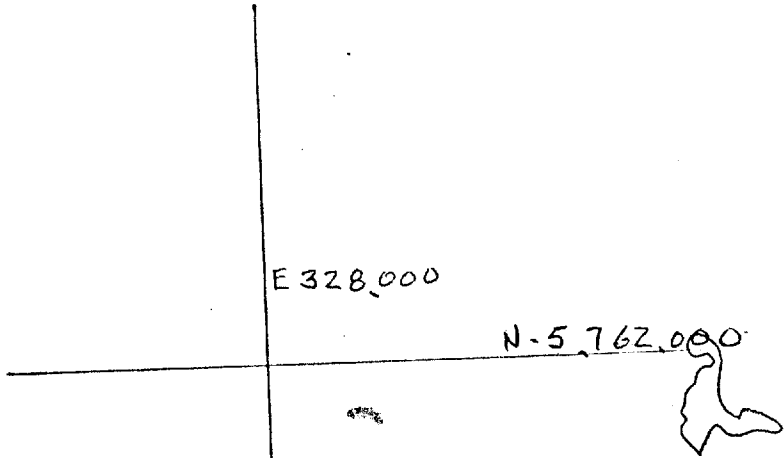
BLOC 2T-1



BLOC 2T-2



Bloc de conglomérat micro-conglomérat à matrice sub-arkosique. Le faciès anomal correspond à une limonitisation à proximité de joints étroits. L'activité s'étend de 5 à 15 cm de part d'autre du joint et la limonitisation attaque principalement les faciès plus fins plus arkosiques.



PROJET: MONTS OTISH

FICHE D'AFFLEUREMENT

DATE: 21 juin 1980

LOCALISATION: Propriété "G", A-34, 35. Voir fiche d'anomalie 2A-16, 2A-17.

STATISTIQUE: Vérification des anomalies découvertes par les prospecteurs.

KM DE COUPE:

KM RADIOMETRE:

STATION	RA SPP2	DESCRIPTION	FORMATION	ECHAN- TILLON	ANALYSE
2N-5	5000	Minéralisation aux confins de fractures. Principale N-160, 90° minéralisation sur 2 à 3 mètres. N-80°, 85°, moins importante minéralisa- tion sur 1 mètre. Clivage pénétrant imposant une schistosité à la roche, séricitisation poussée. Schistosité.			
2N-6	3000	Minéralisation (même faciès) sur un plan N-128, 50°S. Tache centimétrique à métri- que 7,5 m. vers l'est. Arkose blanche à galet épars de quartz. Fracture N-128° 3000 epe. 5000 epe. fracture N-160°			

Statistiques

STATION	RA SPP2	DESCRIPTION	FORMATION	ECHAN- TILLON	ANALYSE																								
2V-36	1600	<p>Anomalie dans gabbro:</p> <table> <tr> <td>Tc</td> <td>K</td> <td>U</td> <td>Th</td> </tr> <tr> <td>452</td> <td>16.3</td> <td>11.7</td> <td>13.4</td> </tr> <tr> <td>471</td> <td>11.9</td> <td>11.9</td> <td>16.8</td> </tr> </table> <p>Deuxième point 10 à 15, selon l'axe du gabbro:</p> <table> <tr> <td>325.7</td> <td>10.3</td> <td>7.4</td> <td>9.7</td> </tr> <tr> <td>320.0</td> <td>9.4</td> <td>6.1</td> <td>9.0</td> </tr> <tr> <td>Tc</td> <td>K</td> <td>U</td> <td>Th</td> </tr> </table> <p>Gabbro feldspathique non cisailé.</p>	Tc	K	U	Th	452	16.3	11.7	13.4	471	11.9	11.9	16.8	325.7	10.3	7.4	9.7	320.0	9.4	6.1	9.0	Tc	K	U	Th			
Tc	K	U	Th																										
452	16.3	11.7	13.4																										
471	11.9	11.9	16.8																										
325.7	10.3	7.4	9.7																										
320.0	9.4	6.1	9.0																										
Tc	K	U	Th																										
2T-2	2200	<table> <tr> <td>Tc</td> <td>K</td> <td>U</td> <td>Th</td> </tr> <tr> <td>912.5</td> <td>28.3</td> <td>21.2</td> <td>26.8</td> </tr> <tr> <td>923.3</td> <td>27.2</td> <td>21.2</td> <td>26.0</td> </tr> </table> <p>Faciès fin arkosique gris noir en chenal attaché à un bloc métrique sous-anguleux de conglomérat blanc à cailloux de quartz. Matrice gréso-feldspathique grossière. Tache anormale 60 x 60 cm, conglomérat à 100.</p>	Tc	K	U	Th	912.5	28.3	21.2	26.8	923.3	27.2	21.2	26.0															
Tc	K	U	Th																										
912.5	28.3	21.2	26.8																										
923.3	27.2	21.2	26.0																										
2T-2	1500	<table> <tr> <td>Tc</td> <td>K</td> <td>U</td> <td>Th</td> </tr> <tr> <td>416</td> <td>19.</td> <td>9.2</td> <td>8.9</td> </tr> <tr> <td>414</td> <td>17.</td> <td>9.8</td> <td>10.5</td> </tr> </table>	Tc	K	U	Th	416	19.	9.2	8.9	414	17.	9.8	10.5															
Tc	K	U	Th																										
416	19.	9.2	8.9																										
414	17.	9.8	10.5																										

PROJET: MONTS OTISH

FICHE D'ANOMALIE AU SOL

(CROQUIS DE SITUATION OU TRANSPARENT PHOTO CI-JOINT)

ANOMALIE NO.: 2A-17

AFFLEUREMENT

BLOC

PHOTO NO.: Orthophoto "G" sud

MERCATOR: N - 5,761,130
E - 328,830

DATE DE DECOUVERTE: Le 17 juin 1980

ORIGINE DE LA DECOUVERTE: Prospection au sol

RA MOUVEMENT PROPRE (c/s SPP2): 110, 120

RA MAXIMUM (c/s SPP2): 1000 (?)

STATION NO.: 2N-1

FORMATION: Arkose verte

DESCRIPTION PETROGRAPHIQUE: L'arkose verte à grain moyen forme un banc de 60 cm X 7 m à l'intérieur des micro conglomérats à cailloux de quartz; matrice grossière arkosique.

ANALYSE(S):

2N-1a	U	Th	U = 41.4	ppm
2N-1b	Témoin		Th = 454	ppm

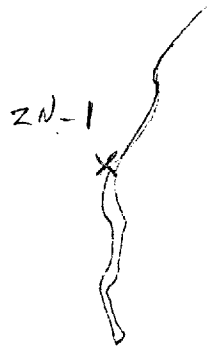
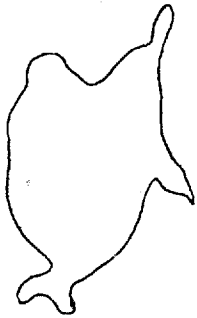
DESCRIPTION

BLOC:

L	l	e	S	V	P	p	AP	IE	IS	IEB	AZIMUT L

AFFLEUREMENT: L'anomalie se situe dans une arkose verte fine à moyenne. L'activité maximale 400 cps (SL) se situe sur un point très étroit N-140°, l'anomalie se poursuit sur 60 à 80cm le long de la fracture.

L'anomalie est probablement Th.



ortho photo "G" sud.

PROJET: MONTS OTISH

FICHE D'ANOMALIE AU SOL

(CROQUIS DE SITUATION OU TRANSPARENT PHOTO CI-JOINT)

ANOMALIE NO.: 2A-18

AFFLEUREMENT

BLOC

PHOTO NO.:

MERCATOR: N - 5,757,250
E - 327,100

DATE DE DECOUVERTE: Le 21 juin 1980

ORIGINE DE LA DECOUVERTE: Coupe Géologique #15

RA MOUVEMENT PROPRE (c/s SPP2): 80-150

RA MAXIMUM (c/s SPP2): 2100

STATION NO.: 2V-43

FORMATION: Socle-Gneiss a migmatite

DESCRIPTION PETROGRAPHIQUE: Well foliated, medium grained biotite & red orthoclase.

ANALYSE(S): U Th

2V-43a 264 ppm

DESCRIPTION

BLOC:

L	l	e	S	V	P	p	AP	IE	IS	IEB	AZIMUT L

AFFLEUREMENT: Analyse with spectrometer

Tc: 91.1

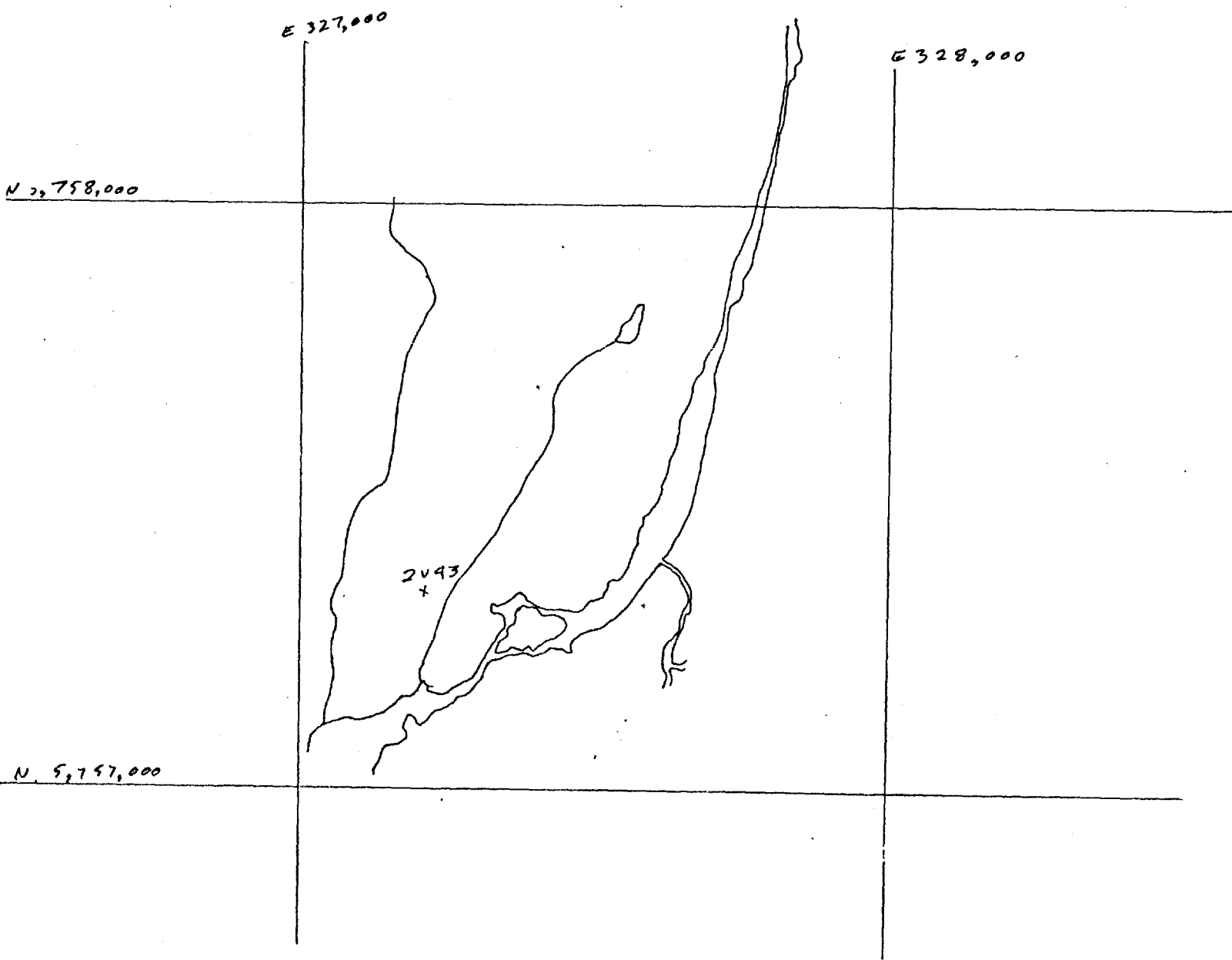
K: 5.5

U: 1.9

Th: 1.0

Mineralization is thorium (U/Th - 1.9)

The outcrop consists of well banded biotite granitic leucosomes with bands of biotite & biotite encasing a fine to medium grains gabbroic zones.



PROJET: MONTS OTISH

FICHE D'ANOMALIE AU SOL

(CROQUIS DE SITUATION OU TRANSPARENT PHOTO CI-JOINT)

ANOMALIE NO.: 2A-19

AFFLEUREMENT

BLOC

PHOTO NO.: Q64364-120

NTS: 52° 5'
70° 57'

DATE DE DECOUVERTE: le 20 juin 1980

ORIGINE DE LA DECOUVERTE: Boulder tracing région de A35.

RA MOUVEMENT PROPRE (c/s SPP2): -

RA MAXIMUM (c/s SPP2): 1800

RA MINIMUM: 650

STATION NO.: 2N2

FORMATION: Indicateur

DESCRIPTION PETROGRAPHIQUE: Quartzite très fine, massive, homogène. Les grains sont très fins (<à 0,5 mm). Couleur blanche translucide à gris clair (quartz fumés). Egalement quelques zones d'oxydation sur plan de fractures: coloration ocre. On remarque une légère pigmentation hématitique. Presque une orthoquartzite.

ANALYSE(S):

2N-2a

U

Th

U/Th

DESCRIPTION

674ppm

N.D.

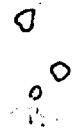
>674

BLOC:

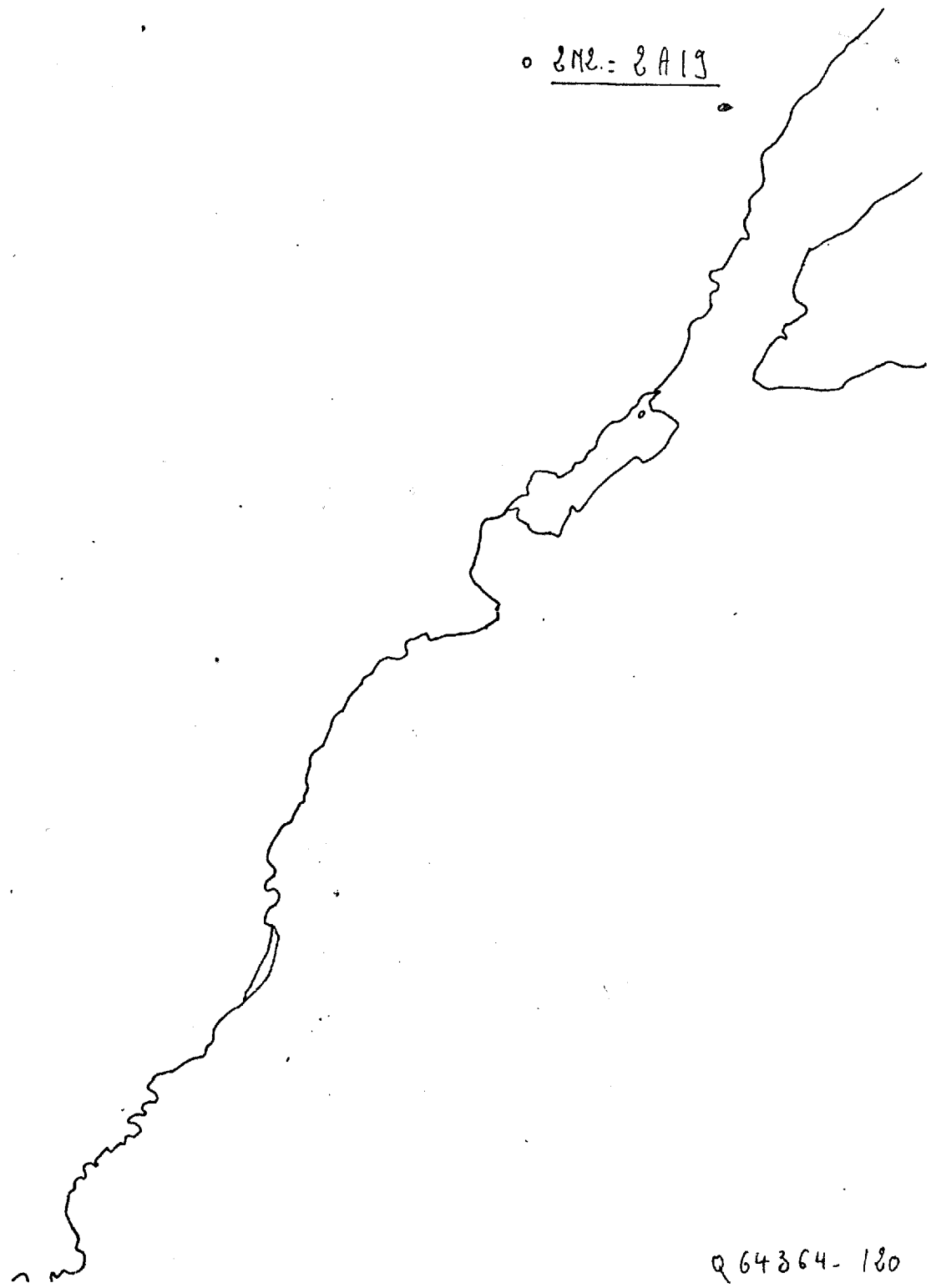
L	l	e	S	V	P	p	AP	IE	IS	IEB	AZIMUT L
43	35	10	88		120	81	3,9		0,405	1,2	N20

AFFLEUREMENT: La minéralisation dans cette quartzite est représentée par des produits verts. Ils sont disposés sur le plan d'une petite fracture, et ne semblent pas pénétrer la masse de la roche.

Le boulder est un morceau très angulaire. C'est un parallépipède parfait représentant un débit banc par banc. Les faces sont très planes et les arêtes vives.



o 2M2: 2A19



Q 64364-120

PROJET: MONTS OTISH

FICHE D'ANOMALIE AU SOL

(CROQUIS DE SITUATION OU TRANSPARENT PHOTO CI-JOINT)

ANOMALIE NO.: 2A-20

AFFLEUREMENT

BLOC

PHOTO NO.: Q64364-120

NTS: 52°,5'
70°,57'

DATE DE DECOUVERTE: le 20 juin 1980

ORIGINE DE LA DECOUVERTE: Boulder-tracing région de A35

RA MOUVEMENT PROPRE (c/s SPP2): -

RA MAXIMUM (c/s SPP2): 3400

RA MINIMUM: 450

STATION NO.: 2T6

FORMATION: Indicateur

DESCRIPTION PETROGRAPHIQUE: Quartzite très fine, massive, homogène. La taille des grains est inférieure à 0,5mm. Pratiquement une orthoquartzite, La couleur de la quartzite est parfois blanche, translucide, mais l'essentiel est gris sombre. Il y a quelques taches ocres et une légère pigmentation hématitique.

ANALYSE(S):

	U	Th	U/Th
2T-6a	1290 ppm	15 ppm	86

DESCRIPTION

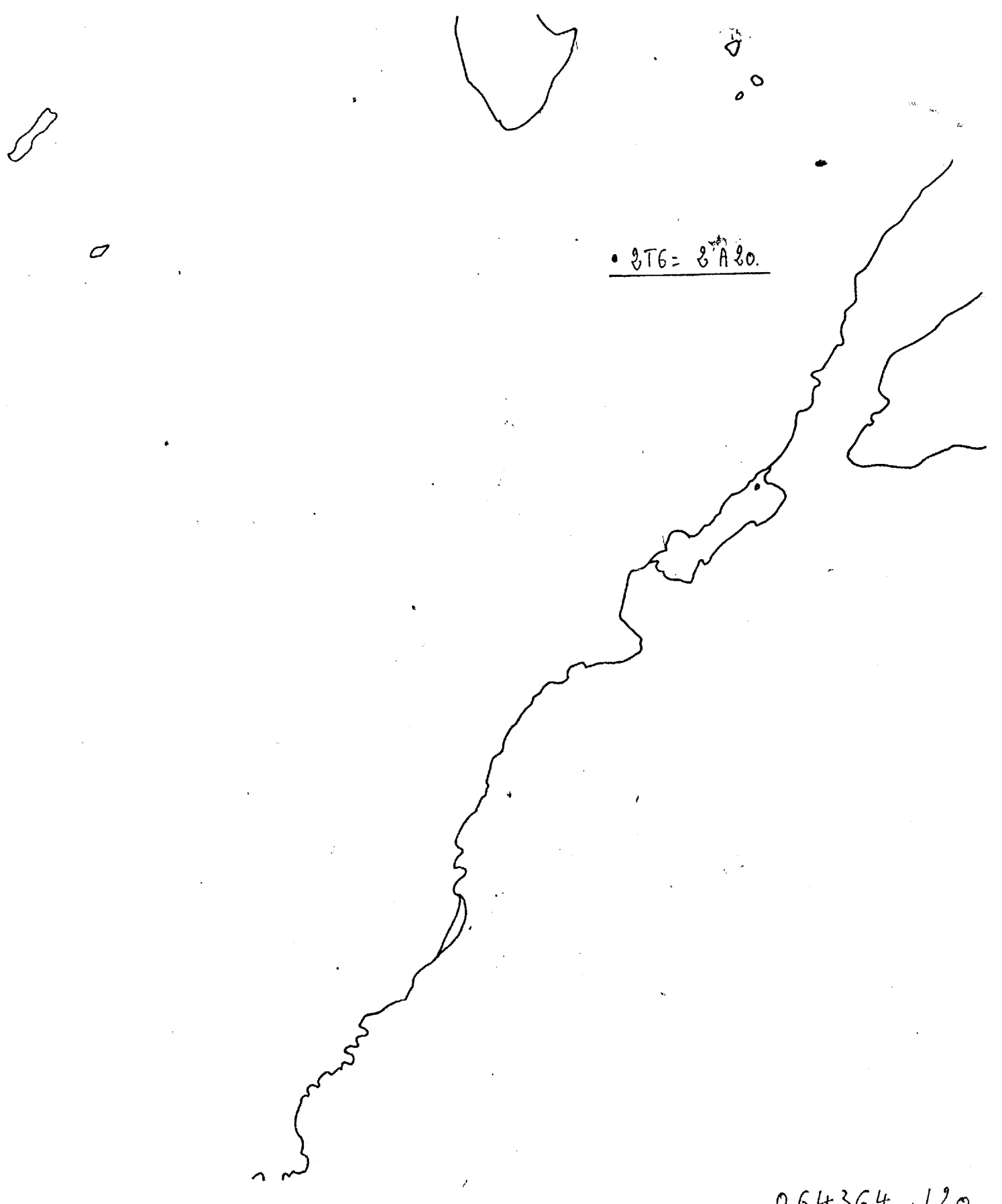
BLOC:

L	l	e	S	V	P	p	AP	IE	IS	IEB	AZIMUT L
64	37	27	130		166	91	1,90		0,663	1,3	N-330

AFFLEUREMENT: On remarque l'abondance des quartz fumés qui confèrent l'aspect sombre à la quartzite.

Minéralisation: des petits produits verts sont disséminés dans la masse de la roche. Ils sont peu visibles à l'oeil nu et à la différence de 2A-19, la minéralisation uranifère n'est piégée sur aucune fracture.

L'imprégnation uranifère dans une roche aussi fine témoigne de la vigueur du phénomène mobilisant les solutions uranifères.



• 2TG = 2A20.

Q64364-120.

PROJET: MONTS OTISH

FICHE D'ANOMALIE AU SOL

(CROQUIS DE SITUATION OU TRANSPARENT PHOTO CI-JOINT)

ANOMALIE NO.: 2A-21

AFFLEUREMENT

BLOC

PHOTO NO.:

MERCATOR: N 5,757, 160
E 327, 080

DATE DE DECOUVERTE: le 21 juin 1980

ORIGINE DE LA DECOUVERTE: Géologie coupe 2C-15

RA MOUVEMENT PROPRE (c/s SPP2): 150-200 cps

RA MAXIMUM (c/s SPP2): 1,100 cps

STATION NO.: 2M34

FORMATION: Gneiss migmatisé (post-bassin)

DESCRIPTION PETROGRAPHIQUE: Gneiss migmatisé très bien lité à bandes quartzo-feldspathiques à texture pegmatitique en bandes de 5 cm d'épaisseur avec minces interlits micacés.

ANALYSE(S): Foliation 53°
70° 53°/70°

DESCRIPTION

<u>BLOC:</u>	L	l	e	S	V	P	p	AP	IE	IS	IEB	AZIMUT L

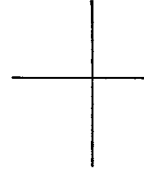
AFFLEUREMENT: Les points chauds ponctuels se retrouvent dispersés dans la roche, quelquefois à l'intersection de microfractures.

E 327,000

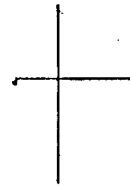


N 5,758,000

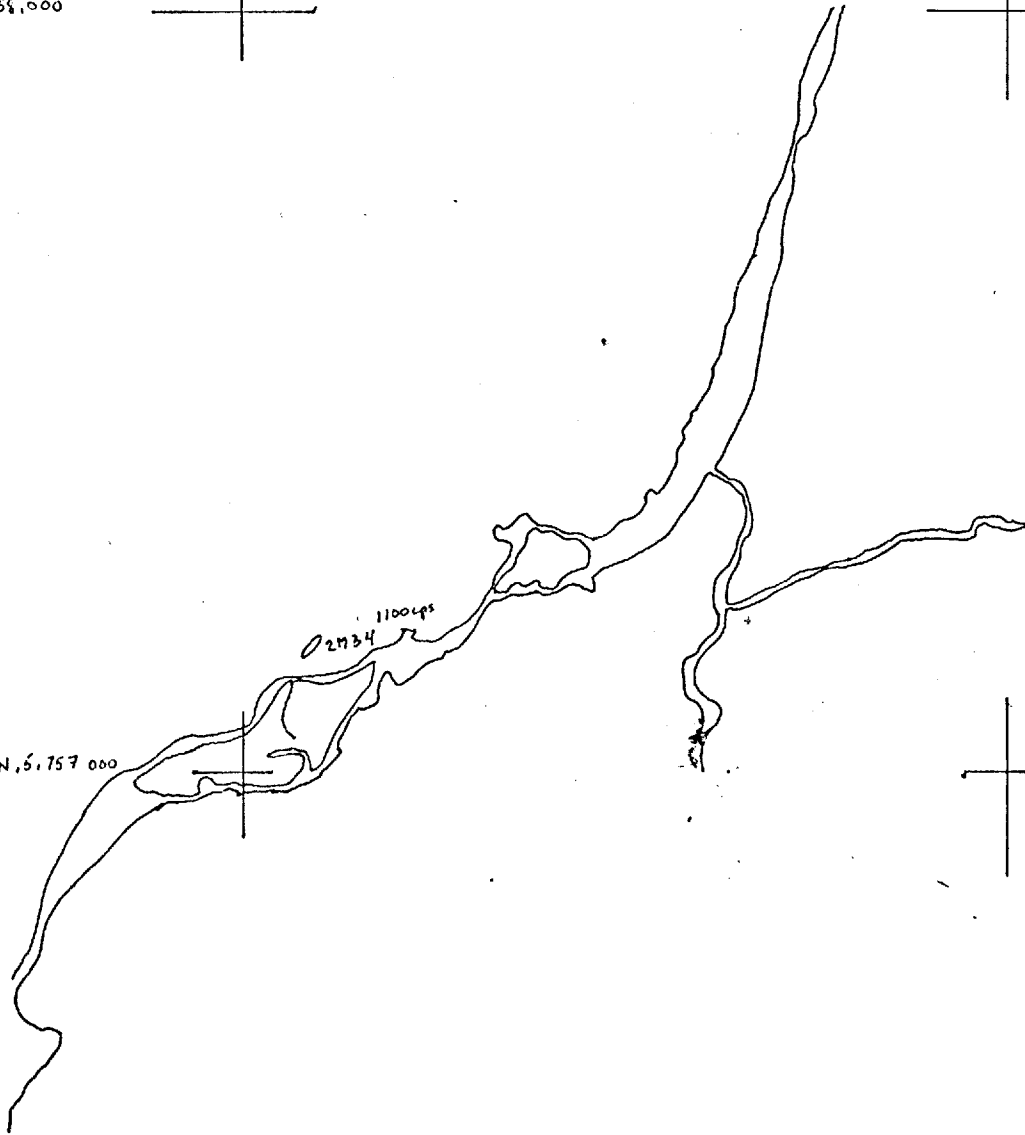
E 329,000



N, 5,757 000



1100495
02734



PROJET: MONTS OTISH

FICHE D'ANOMALIE AU SOL

(CROQUIS DE SITUATION OU TRANSPARENT PHOTO CI-JOINT)

ANOMALIE NO.: 2A-22

AFFLEUREMENT

BLOCS

PHOTO NO.: Q64362-138

NTS: 23D/3
52°30', 71°14'

DATE DE DECOUVERTE: Le 22 juin 1980

ORIGINE DE LA DECOUVERTE: Prospection scintillométrique

RA MOUVEMENT PROPRE (c/s SPP2):

RA MAXIMUM (c/s SPP2): 4,500, 5,000, 2,900

STATION NO.: 2J30, 2J31, 2J32 (hors propriété)

FORMATION: Indicateur

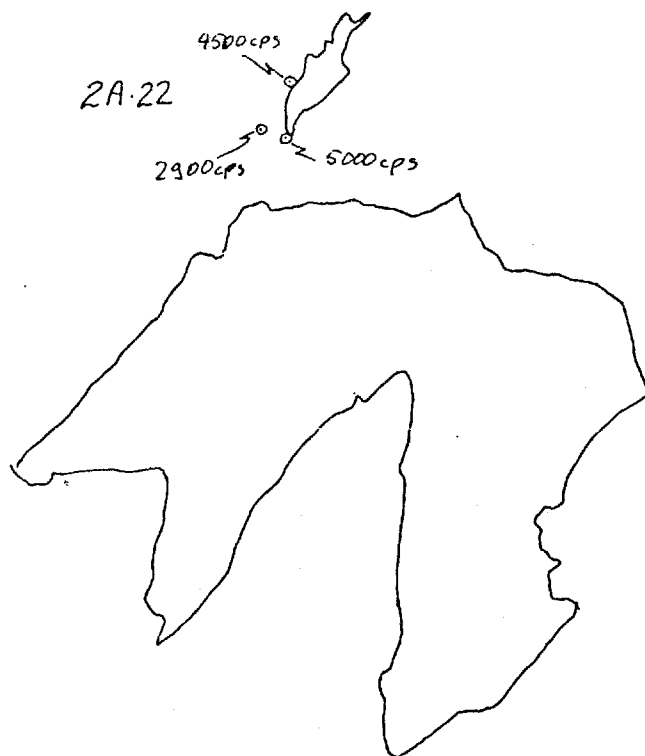
DESCRIPTION PETROGRAPHIQUE: Arkose conglomératique à cailloux de quartz.
30% feldspaths, 70% quartz de couleur blanc rosatée à grains grossiers et anguleux. Tri très mauvais, très recristallisé.
Taches ocre - RA max. autour de cailloux.

ANALYSE(S): Spectromètre	TC	K	U	Th	U/Th	CPS
2J30	2118	54.0	55.0	76.8	0.72	5,000
2J31	949	29.4	23.1	32.9	0.70	2,900
2J32	1473	50.4	36.2	46.7	0.77	4,500

DESCRIPTION

<u>BLOC:</u>	L cm	l cm	e cm	S	V	P	p	AP	IE	IS	IEB	AZIMUT L
2J30	40	29	20									

AFFLEUREMENT: Analyse 2J30a U: 98.2ppm; Th: 8695 ppm
2J30: envoyé pour étude métallogénique



Q64362-138

PROJET: MONTS OTISH

FICHE D'ANOMALIE AU SOL

(CROQUIS DE SITUATION OU TRANSPARENT PHOTO CI-JOINT)

ANOMALIE NO.: 2A-23

AFFLEUREMENT

BLOC

PHOTO NO.: Q64362-58

NTS: 23D/3
52°1' - 71°11'

DATE DE DECOUVERTE: Le 23 juin 1980

ORIGINE DE LA DECOUVERTE: Vérification d'anomalie aérienne

RA MOUVEMENT PROPRE (c/s SPP2): 200 cps

RA MAXIMUM (c/s SPP2): >15000 cps, 9500 et 5000

STATION NO.: 2J39 (hors propriété) 2J125 et 2J126

FORMATION: Indicateur

DESCRIPTION PETROGRAPHIQUE: Sub-arkose conglomératique partiellement recristallisée.
Approx. 20% feldspath, 80% quartz, grains grossiers, sub-anguleux à sub-arrondis.
Cailloux de quartz jusqu'à 3.5cm. Argilite noire contenant peu de quartz et peu de silt. Très schistosée.

ANALYSE(S):	U	Th	U/Th
2J-39a	5700 ppm	17 ppm	335.3
2J-39b	9100 ppm	38 ppm	239.5
2N-12b	728 ppm	44 ppm	16.5
DESCRIPTION 2N-12c	2900 ppm	4 pp,	725.0

BLOC:

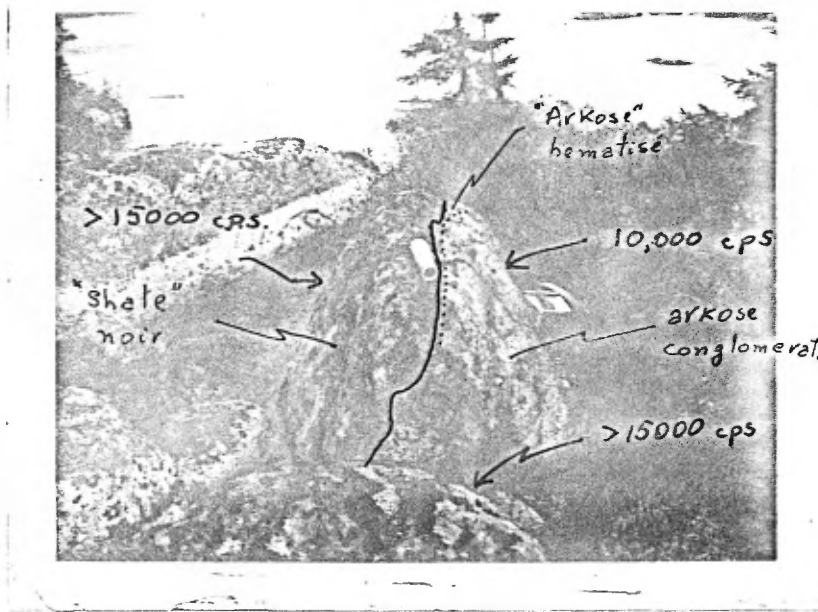
	L m	l m	e m	S	V	P	p	AP	IE	IS	IEB	AZIMUT L
2J-39	2.0	1.4	1.0									N-20

AFFLEUREMENT:

La sub-arkose est fortement hématisée près du contact avec l'argilite noire. On observe aussi une zone ocre dans la sub-arkose correspondant aux anomalies à >15000 cps. Une rapide prospection scintillométrique a permis de retrouver deux autres blocs à 9500 et >5000 cps SPP2.

ANOMALIE 23

STATION 2J-38



ANOMALIE 2A-23

PHYSIOGRAPHIE

L'anomalie 2A-23 est constituée d'une vingtaine de blocs radioactifs de taille centimétrique à métrique. Ces blocs appartiennent à une moraine délavée en bordure d'un lac. Le champ de bloc est orienté N10° et se prolonge sur une distance de 150 à 250 m. La lithologie dominante 60 à 70% (blocs très gros anguleux) est une arkose grossière schistosée à minéraux conglomératiques. Ces blocs constituent probablement un Felsenmeer sur lequel a été déposé une moraine qui fut par la suite lavée, le matériel fin transporté au loin. Les blocs étrangers sont principalement de gabbros en blocs très arrondis, des gneiss blancs du socle et quelques blocs de quartzite blanche. Des blocs très gros plus ou moins anguleux de quartzites roses laminées accompagnent le Felsenmeer. Nous serions donc au niveau de l'affleurement à proximité du contact arkose conglomératique-quartzite rose. Le train de boulders formé des blocs actifs s'étend sur 500 mètres environ suivant la direction N10°. La caractéristique principale de ces blocs: ils sont minéralisés de façon très ponctuelle, taches centimétriques sur des blocs de taille métrique.

PETROGRAPHIE

Les blocs actifs présentent tous le même faciès d'arkose blanche grossière à niveau conglomératique (cailloux de quartz 1 à 2 cm). Une forte schistosité pénètre la roche, les feldspaths blancs sont parfois phylliteux les cailloux de quartz étirés, des veines de quartz apparaissent en exsudation. Plusieurs des blocs porteurs de minéralisations présentent un interface détritique grossier (arkose conglo.) détritique fin (silt à argilite) ces bandes de matériaux fins peuvent avoir jusqu'à 30 cm d'épaisseur, elles sont très schistosées. De la fuchsite apparaît dans le schiste au contact avec la zone d'hématite profonde.

MINERALISATIONS

Deux blocs suffiront pour illustrer le contexte de ces minéralisations: 2J-39 et 2T-12.

Le bloc de 2J-39 se situe à la pointe sud du lac, relativement en tête du train de boulder. Il mesure 2 mètres de long, 1.40 m de large, 1.00 m d'épaisseur, son arête est orientée à N-20°.

Mesures prises sur le bloc

Contact schiste-arkose conгло. N20°-60W.

- Sur schiste noir: fractures fines millimétriques
N05°, 80E
N80°, 85N
schistosité: N32°, 68W

- Sur conglomérat:

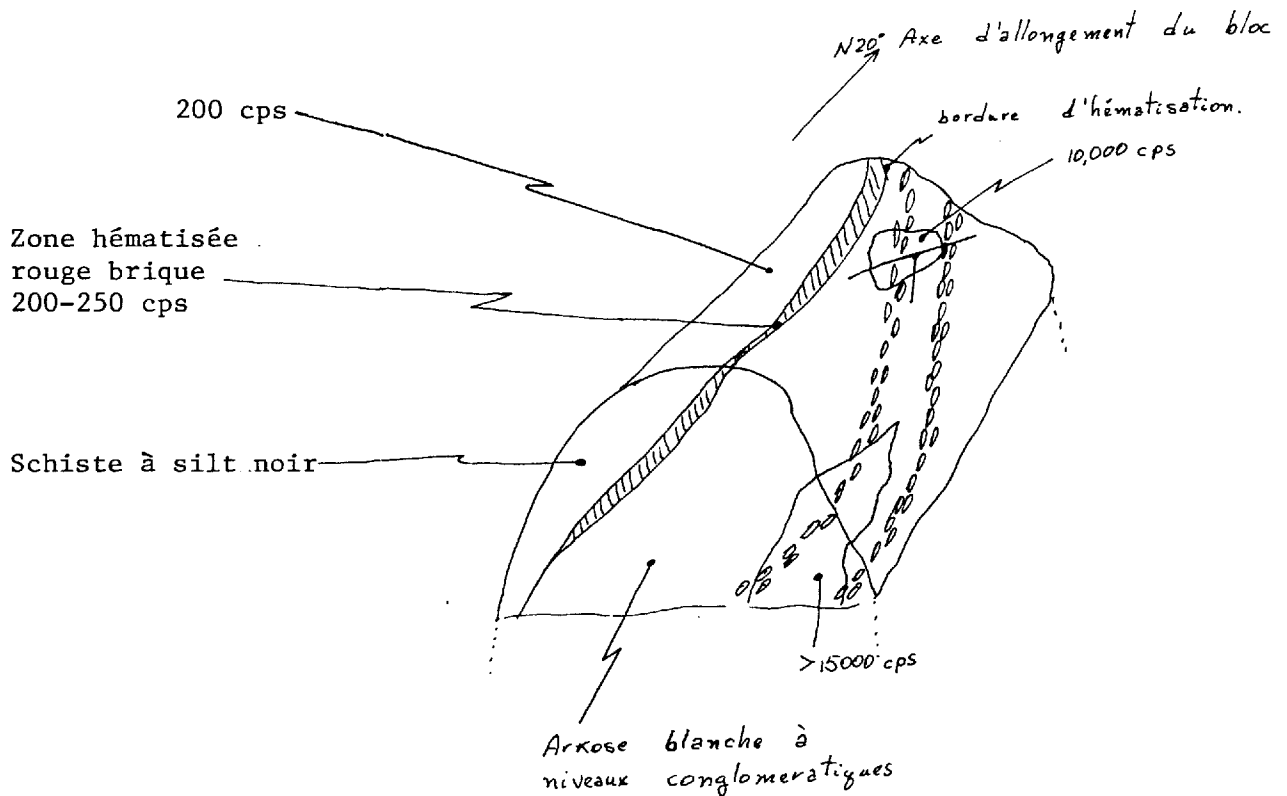
Stratification des niveaux de conglomérat à cailloux de quartz:
N20°, 56W

Schistosité très diffuse N-15 sub-vertical.

Plans minéralisés. Point arrière droit.

N20°, 42W sur 15 à 20 cm
N 4°, 28W

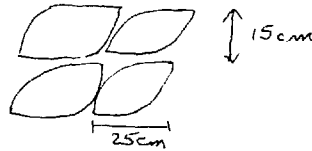
A l'arrière du bloc
15000, à proximité
du silt noir schisteux



La minéralisation apparaît en taches sporadiques sur le bloc, ces taches apparaissent à proximité de joints étroits fumés qui ont des directions diverses et se poursuivent sur 10 à 25 cm. Quelques fois la minéralisation semble avoir emprunté le plan de schistosité. Les taches actives (2) sont à plus de 50 cm du contact schiste noir arkose et apparemment il n'y a aucun lien entre les deux. Une bordure d'hématisation très forte marque le contact arkose-schiste noir.

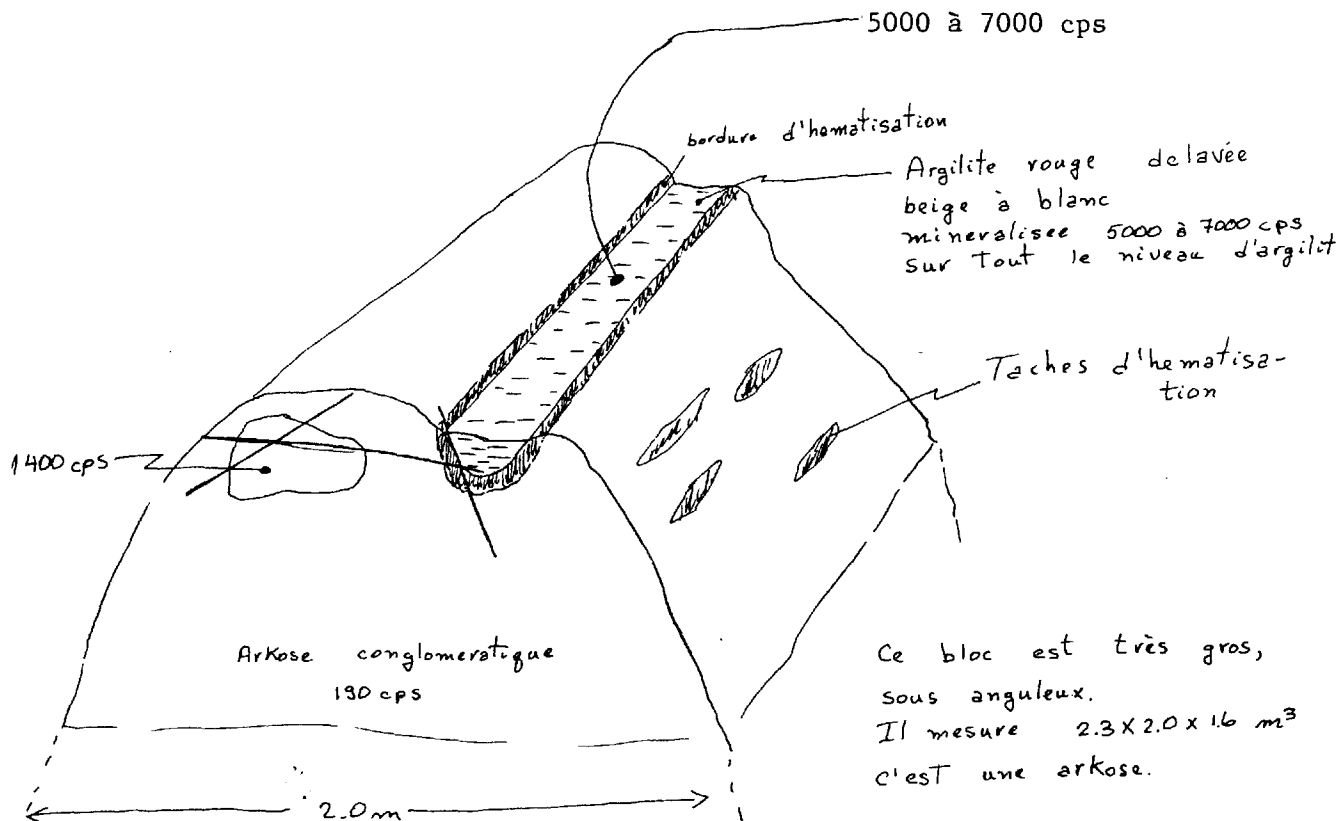
A l'arrière du bloc une tache sur fracture +15000 est à moins de 10 cm du contact schiste-arkose.

La roche est débitée en blocs centimétriques à bord curviligne et la minéralisation emprunte plus ou moins ces plans de faiblesses peu pénétrant.



La minéralisation s'exprime sous forme de produits secondaires verts, de produits jaunes et produits oranges tout porte à croire qu'il y a des produits noirs en "coating" sur le quartz qui est très noir. Les taches de quartz noir et possiblement "produits noirs" sont millimétriques et pénètrent le grès ou l'arkose à partir des plans de cassures, leur distribution apparaît erratique.

Bloc 2N-12, 14000 cps.



Bloc anguleux à sous-anguleux de grande taille 2,3 m X 2 m X 1.6 m.
Arkose blanche grain moyen à grossier niveaux conglomératiques,
cailloux de quartz étiré et cailloux de quartzite gris vert.

L'arkose contient sur toute la longueur du bloc un niveau d'argilite rose à beige très schisteuse délavée et contenant des restes d'une oxydation très poussée, développement de fuschite au contact arkose-argilite, une bordure d'hématisation marque le contact arkose-argilite.

La minéralisation dans un cas se présente de la même façon que sur 2J-39, minéralisation U sur plan de fractures dans l'arkose conglomératique sans rapport direct avec la séquence d'argilite rose.

Dans le second cas, la minéralisation du même type apparaît dans l'argile ou au contact arkose-argilite.

Echantillonnage:

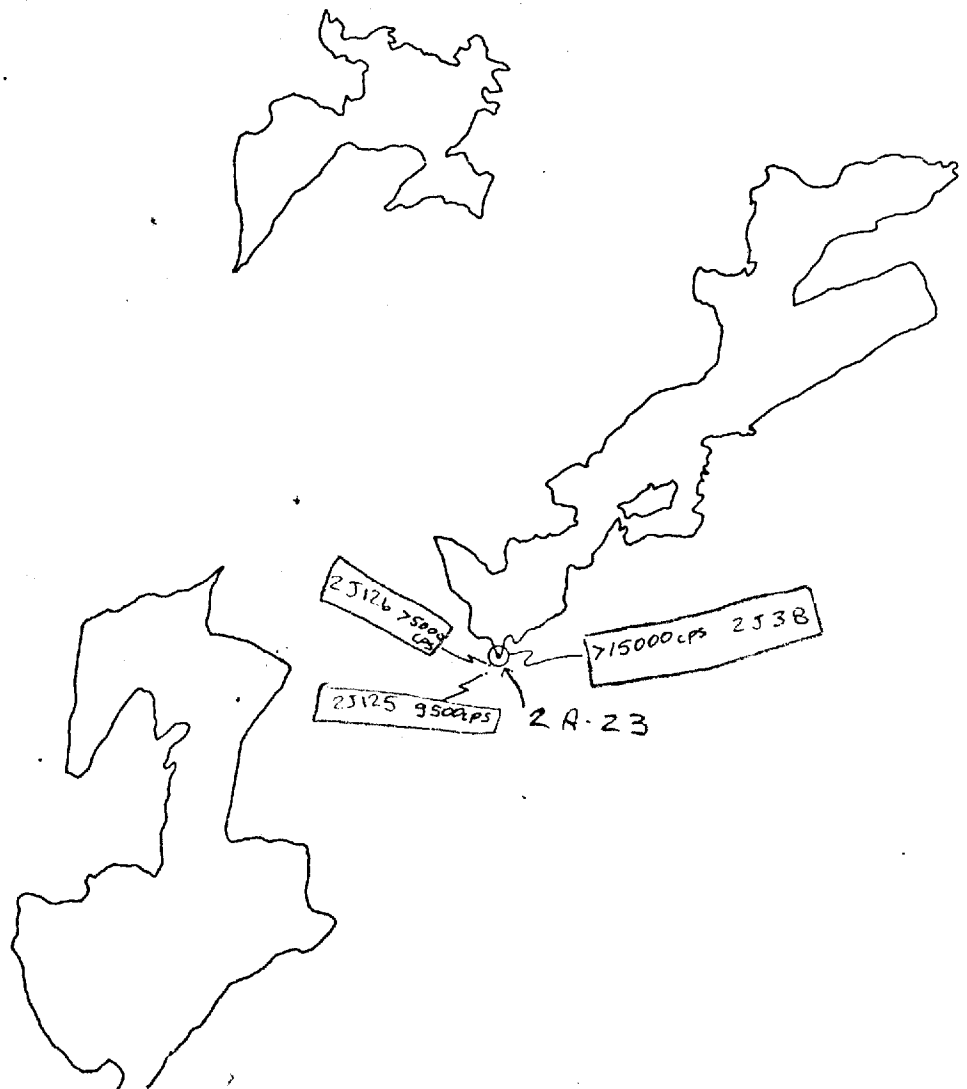
2J-39b	U, Th
2J-39c	Détermination minéralogique minéraux U
2J-39 c, e, f, g	Référence
2J-39 h,	Schiste noir silteux Référence
2N-12 a	Produits noirs ? et oranges Ref.
2N-12b	U, Th et témoin
2N-12c	U, Th et témoin, argilite rose à beige minéralisée
2N-12d	A couper pour étudier la distribution de la minéralisation au contact argilite-arkose

CONCLUSIONS

Nous sommes à proximité d'une minéralisation U primaire dans les grès. La présence des schistes noirs et d'argilite rose à beige délavée a-t-elle joué un rôle dans la mise en place de ces minéralisations? Elles sont de toutes façons épigéniques.

Les arkoses conglomératiques en blocs immenses, apparaissent comme le faciès porteur d'un faciès distinct minéralisé qui supporte mal le transport, les blocs ne sont minéralisés que sur une fraction infime de leur volume.

Ces blocs pourraient également être l'éponte d'une zone minéralisée sur fracture. Les minéralisations ponctuelles en taches ne seraient que le résidu de fluides minéralisateurs piégés sur de petites fractures dans le mur d'une fracture minéralisée.



PROJET: MONTS OTISH

FICHE D'ANOMALIE AU SOL

(CROQUIS DE SITUATION OU TRANSPARENT PHOTO CI-JOINT)

(Voir Anomalie 2A-25)

ANOMALIE NO.: 2A-24

AFFLEUREMENT

BLOC

PHOTO NO.: Orthophoto "G" Sud (Limite)

MERCATOR: N 5, 765, 530
E 331, 920

DATE DE DECOUVERTE: Le 24 juin 1980

ORIGINE DE LA DECOUVERTE: Coupe géologique 2C-24

RA MOUVEMENT PROPRE (c/s SPP2): 50-60

RA MAXIMUM (c/s SPP2): 2100

STATION NO.: 2L-57

FORMATION: Grès de l'Indicateur

DESCRIPTION PETROGRAPHIQUE: Orthoquartzite à grain fin, faciès ocre.

ANALYSE(S): 2L-57a

U	TH
17.1 ppm	5 ppm

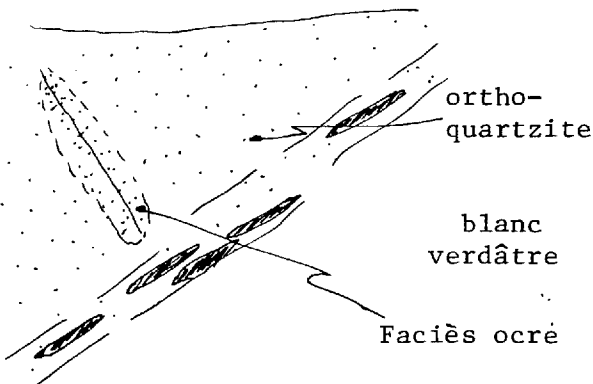
DESCRIPTION

BLOC:

L	1	e	S	V	P	p	AP	IE	IS	IEB	AZIMUT L

AFFLEUREMENT: Zone de fracture étroite à N240° dans un grès quartzitique fin, géodes millimétriques remplies de cristaux de quartz bien formés. L'hématite peu poussée affecte les grès sur une largeur de 5 à 10 cm.

La zone anormale s'associe à un joint à N340° fermé, d'une longueur de quelques mètres seulement, faciès ocre de part et d'autre de la fracture sur 30 à 40 cm.



PROJET: MONTS OTISH

FICHE D'ANOMALIE AU SOL

(CROQUIS DE SITUATION OU TRANSPARENT PHOTO CI-JOINT)

ANOMALIE NO.: 2A-25

AFFLEUREMENT

BLOC

PHOTO NO.: Orthophoto "G" Sud

MERCATOR: N 5, 765, 300
E 331, 325

DATE DE DECOUVERTE: Le 24 juin 1980

ORIGINE DE LA DECOUVERTE: Coupe 2C-24

RA MOUVEMENT PROPRE (c/s SPP2): 70-75

RA MAXIMUM (c/s SPP2): 1,500 cps 1,000 cps

STATION NO.: 2L-62, 2T15

FORMATION: Grès à faciès ocre

DESCRIPTION PETROGRAPHIQUE: Grès feldspathique à sub-arkosique (2L-62)
(2T-15) Sub-arkose blanche à grains fins

ANALYSE(S):	Spectromètre		C.T.	K.	U	Th	U/Th
		2L-62	497.4	25.6	16.4	1.0	16.4
		2T-15	367.7	16.3	916	0.3	32.0

<u>BLOC:</u>	L m	l m	e	S	V	P	p	AP	IE	IS	IEB	AZIMUT L
2T15	2.5	2										

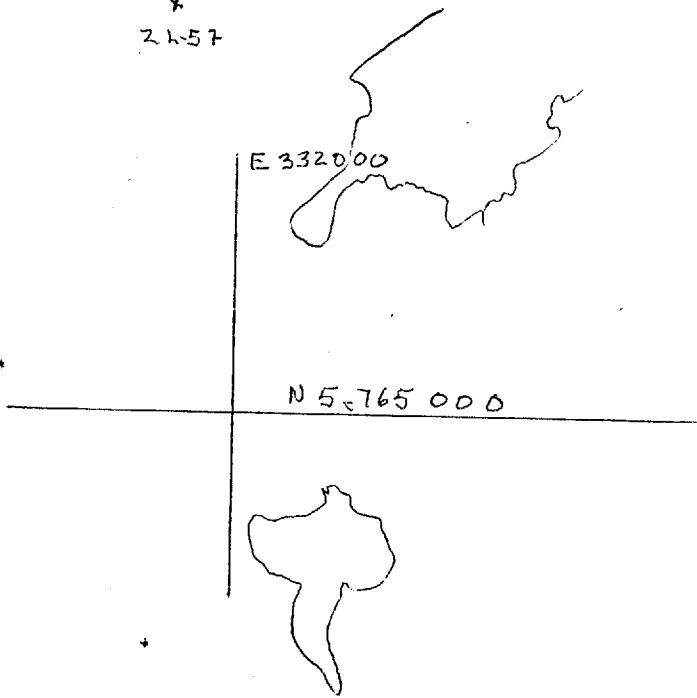
AFFLEUREMENT: 2L-62: Bloc de grande taille encastré profondément dans la mousse.
La surface anormale observée est de 60 à 80 cm X 20 à 30 cm.

2T-15: Gros blocs sub-angulaires.

2A-24

*
24-57

* 24-62
24-25



Orthophoto "A"
Echelle 1:10000

PROJET: MONTS OTISHFICHE D'ANOMALIE AU SOL(CROQUIS DE SITUATION OU TRANSPARENT PHOTO CI-JOINT)

ANOMALIE NO.: 2A-26

AFFLEUREMENT BLOC PHOTO NO.: Voir le positionnement fait par
B. SoyerNTS: 52°5'
70°57'

DATE DE DECOUVERTE: Le 20 juin 1980

ORIGINE DE LA DECOUVERTE: Boulder tracing sur A-34, A-35

RA MOUVEMENT PROPRE (c/s SPP2): 100

RA MAXIMUM (c/s SPP2): 6,000

STATION NO.: 2N-5, 2N-6

FORMATION: Indicateur

DESCRIPTION PETROGRAPHIQUE: Sub-arkose grossière conglomératique, cailloux et galets de quartz très arrondis perdus dans la masse. La sub-arkose est très tectonisée et schistosée, des phyllites soulignent la schistosité et confèrent à la roche un aspect lustré.

ANALYSE(S): 2n-6a

U	Th
568 ppm	35 ppm

DESCRIPTIONBLOC:

L	l	e	S	V	P	p	AP	IE	IS	IEB	AZIMUT L

AFFLEUREMENT: L'anomalie se situe sur un affleurement d'arkose et sub-arkose dans une vallée structurale orientée N-S. La minéralisation semble avoir diffusée dans la roche, à partir de fractures N-160, 90, 80, 85° et N-128° 50S, elle pénètre le grès de façon erratique en taches centimétriques 30 X 50, réparties apparemment au hasard sur l'affleurement. La minéralisation s'exprime sous forme de produits secondaires verts à jaunes distribués surtout dans le plan de schistosité et tout autour des galets de quartz.

Toute anisotropie dans la roche provoque le dépôt de l'Uranium. Une altération limonitique ocre pénètre la roche; angle avec la schistosité et sans contrôle évident.

Description de l'anomalie 2A-26

Physiographie

L'anomalie se situe en amont d'une vallée structurale déterminée ou commandée par une série de petites fractures en relais orientées N-130° et N160°. La vallée est élargie puisque l'effet des fractures s'additionne. L'affleurement est en bas relief par rapport à son environnement immédiat nettement plus quartzitique donnant de forts reliefs.

Minéralisation

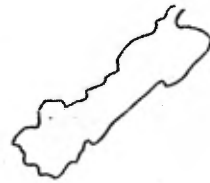
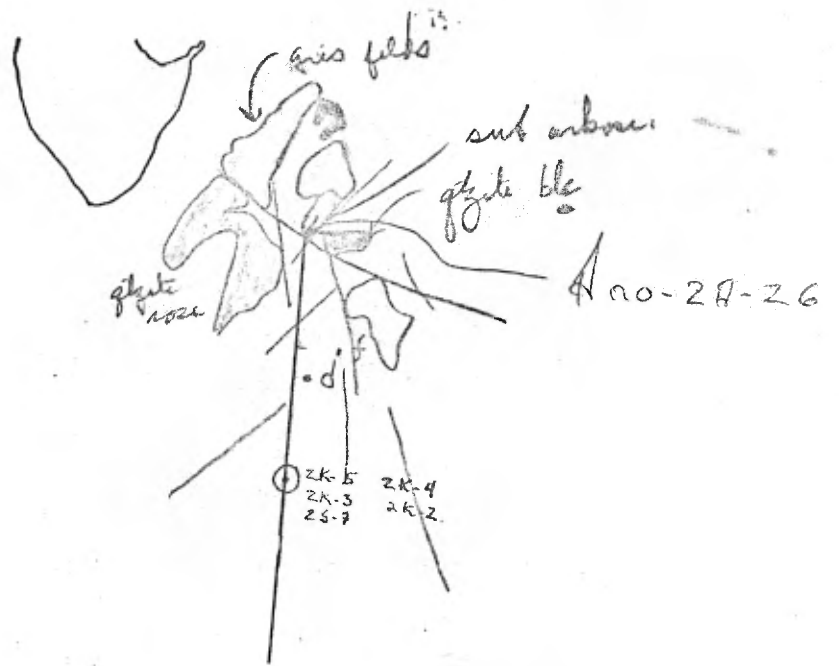
L'anomalie se situe dans des arkoses blanches schistosées à galets et cailloux épars de quartz. La minéralisation la plus abondante apparaît à la croisée d'une fracture N158° sub-verticale et N85, 62°N, le plan de schistosité N55-70°E et les plans accessoires N49-52°E sont également porteur de minéralisation. Une altération limonitique ocre diffuse à partir des fractures et pénètre la roche au hasard. A partir de ce point principal dont la RA max. fait 6,500 sur des taches centimétriques, on retrouve sur 60 mètres des points actifs de 500 à 3,000 cps. L'affleurement L-88 étudié à l'été 1979 exprime la fin de cette minéralisation. De l'autre côté de la fracture N128°, 75 mètres vers le Sud une anomalie à 450 cps se situe dans un kink band dans des quartzites roses très massives. Les minéralisations semblent donc avoir giclées de part et d'autre de l'accident N128°. Selon l'axe N176 un seul point à 450 cps fut découvert 30 mètres en amont de l'anomalie principale.

La minéralisation s'exprime sous forme de produits secondaires verts disséminés dans la roche. Cette sub-arkose se situe à proximité du contact avec les quartzites, la diffusion des solutions a été stoppée par le mur quasi imperméable des quartzites. La source des blocs quartzitiques et arkosiques est probablement voisine, le piégeage se faisant de façon distincte selon le milieu. Le quartz est noir, à proximité des fractures en diffusion dans les arkoses, les taches noires 1 cm X 1 cm contiennent surtout du quartz noir mais et aussi des minéraux à l'éclat plus ou moins métallique en mince film sur le quartz.

...

Les lithologies des blocs actifs sont représentatives du contexte général de l'anomalie. La minéralisation affecte plusieurs lithologies; arkose conglomératique, grès feldspathique, orthoquartzite blanche, rose et grès noir, orthoquartzite blanche massive. Ce phénomène ne peut s'expliquer que par une minéralisation épigénique sur fracture, laquelle met en contact des unités stratigraphiques nettement distinctes.

Dans le cas de l'anomalie 2A26, l'axe le plus minéralisé est orienté N130°, les axes N160 et N80° peuvent avoir joué un rôle dominant dans l'approvisionnement en fluides qui auraient butés sur la fracture N130°.



d- 2500 cfs. , gus arbores.

Q 64364
120.

PROJET: MONTS OTISH

FICHE D'ANOMALIE AU SOL

(CROQUIS DE SITUATION OU TRANSPARENT PHOTO CI-JOINT)

ANOMALIE NO.: 2A-27

AFFLEUREMENT

BLOC

PHOTO NO.: Q64362, 1/15,680

MERCATOR: N - 5, 766, 170
E - 331, 450

DATE DE DECOUVERTE: Le 24 juin 1980

ORIGINE DE LA DECOUVERTE: Géologie Coupe 2C24 "G" Nord

RA MOUVEMENT PROPRE (c/s SPP2): 100

RA MAXIMUM (c/s SPP2): 2,500

STATION NO.: 2P44, 2T27

FORMATION: Indicateur

DESCRIPTION PETROGRAPHIQUE: Boulders de grès arkosique à sub-arkosique vert à grain moyen à grossier dans lesquels une minéralisation (petits points de produits jaunes) est disséminé sans contrôle structural.

ANALYSE(S):

2P44f	U	Th
	62ppm	7ppm
2P44i	488ppm	10ppm

Spectro U/Th
2T27 48.8

DESCRIPTION (Voir feuille annexe)

BLOC:

L	l	e	S	V	P	p	AP	IE	IS	IEB	AZIMUT L

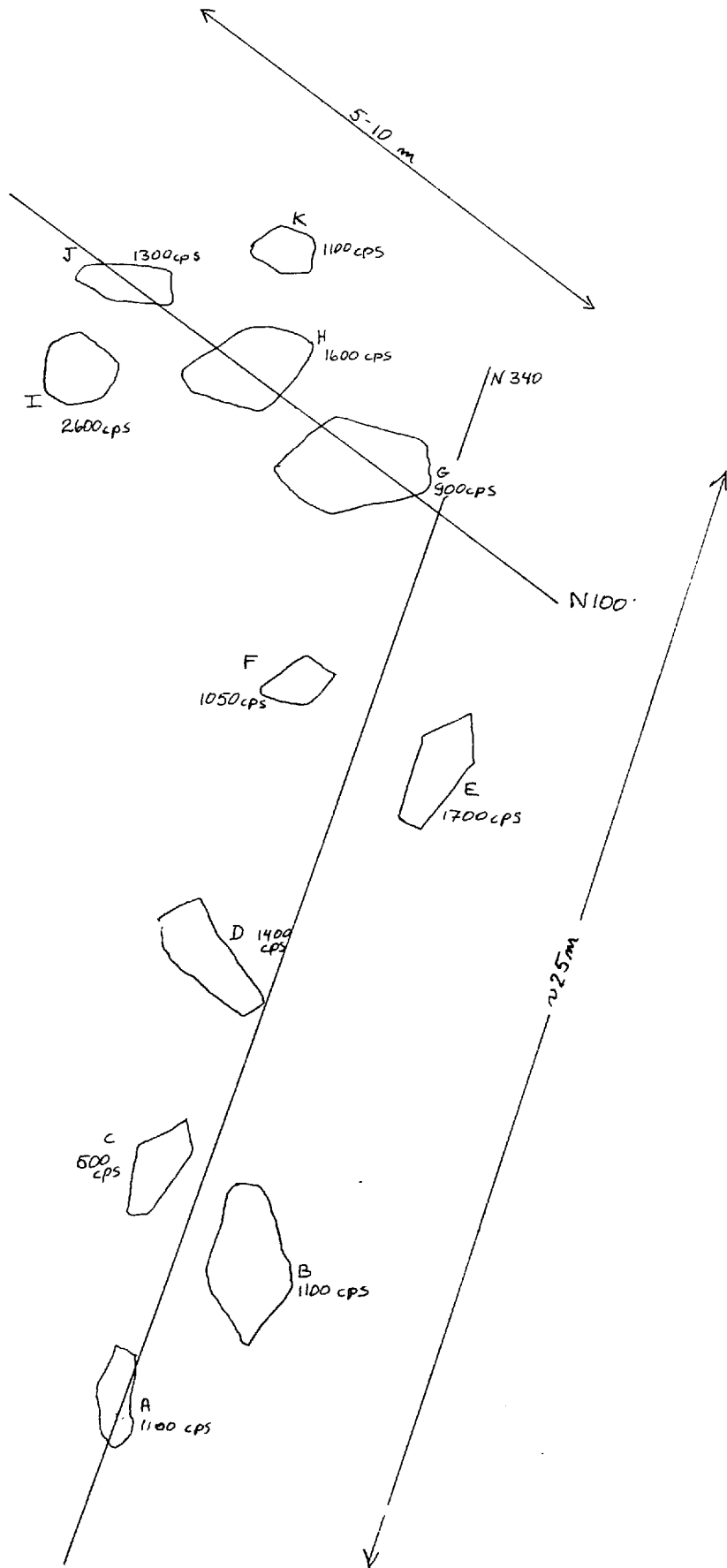
AFFLEUREMENT: Une douzaine de boulders selon deux directions:

- 1'une prédominants
- 1'autre secondaire N100 (décamétrique)

ETUDE AU SPECTROMETRE

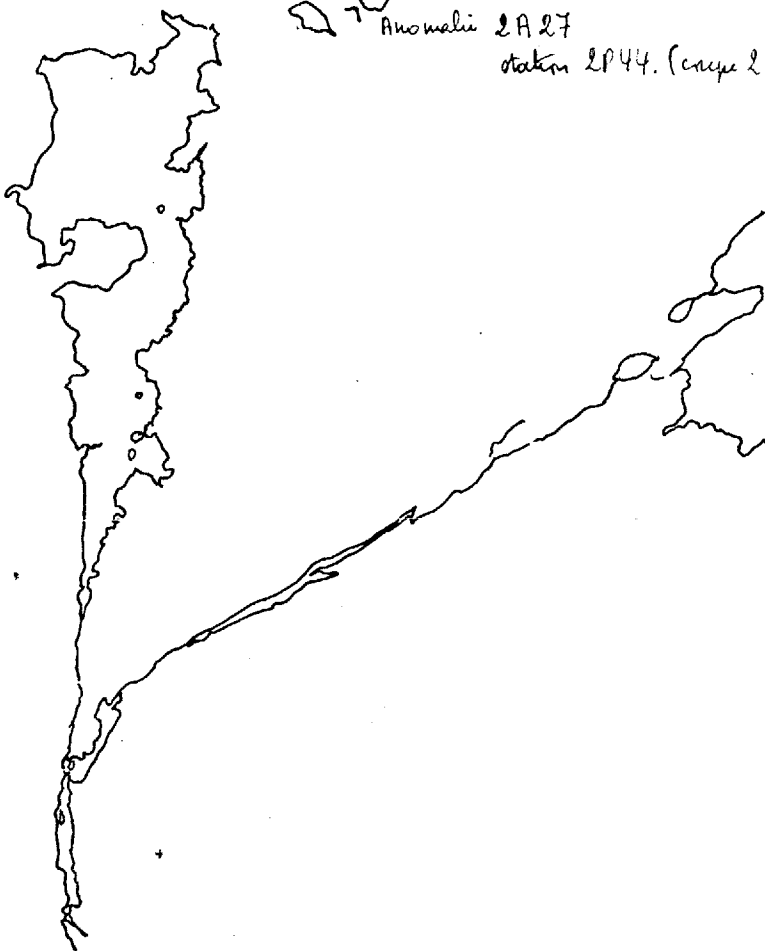
BOULDER	Tc	K	U	Th	U/Th
I	516.1	27.2	18.2	1.9	9.6
J	377.2	18.1	12.9	0.5	25.8
H	545.5	26.9	13.6	1.3	10.5
F	217.5	10.9	5.3	0.6	8.8

DISPERSION DES BLOCS





Anomali 2A27
stasiun 2P44. (cari 2C24)



24/6/80

Q64.362
101

PROJET: MONTS OTISH

FICHE D'ANOMALIE AU SOL

(CROQUIS DE SITUATION OU TRANSPARENT PHOTO CI-JOINT)

ANOMALIE NO.: 2A-28

AFFLEUREMENT

BLOC

PHOTO NO.: Q64362-151

MERCATOR: N- 5,765,670
E- 329-510

DATE DE DECOUVERTE: 26 juin 1980

ORIGINE DE LA DECOUVERTE: Géologie coupe 2C32

RA MOUVEMENT PROPRE (c/s SPP2): 100

RA MAXIMUM (c/s SPP2): 3,000 c/s SPP2

STATION NO.: 2P50

FORMATION: Indicateur

DESCRIPTION PETROGRAPHIQUE: Dans un contexte microconglomératique arkosique un niveau métrique de grès feldspathique gris miel, grain moyen à grossier présente des niveaux centimétriques continus de grès très hématisés actifs.

ANALYSE(S): U/Th - Minéralisation syngénétique ?

2P50b

U: 40,3 ppm

Th: 2745 ppm

DESCRIPTION

BLOC:

L	l	e	S	V	P	p	AP	IE	IS	IEB	AZIMUT L

AFFLEUREMENT:

Une falaise de différents faciès microconglomératiques arkosiques partant à la base d'un faciès vert en voie d'hématisation à un faciès largement hématisé au sommet. L'anomalie se situe à la fin de la première séquence mi oxydée-mi réduite. Le niveau est actif sur 10 cm centrés sur les niveaux les plus oxydés. La stratification est N58-16N. Aucun contrôle structural, l'activité est étroitement liée à la stratification.

Etude spectrométrique

U/Th \approx 1

Anomalie thorifère

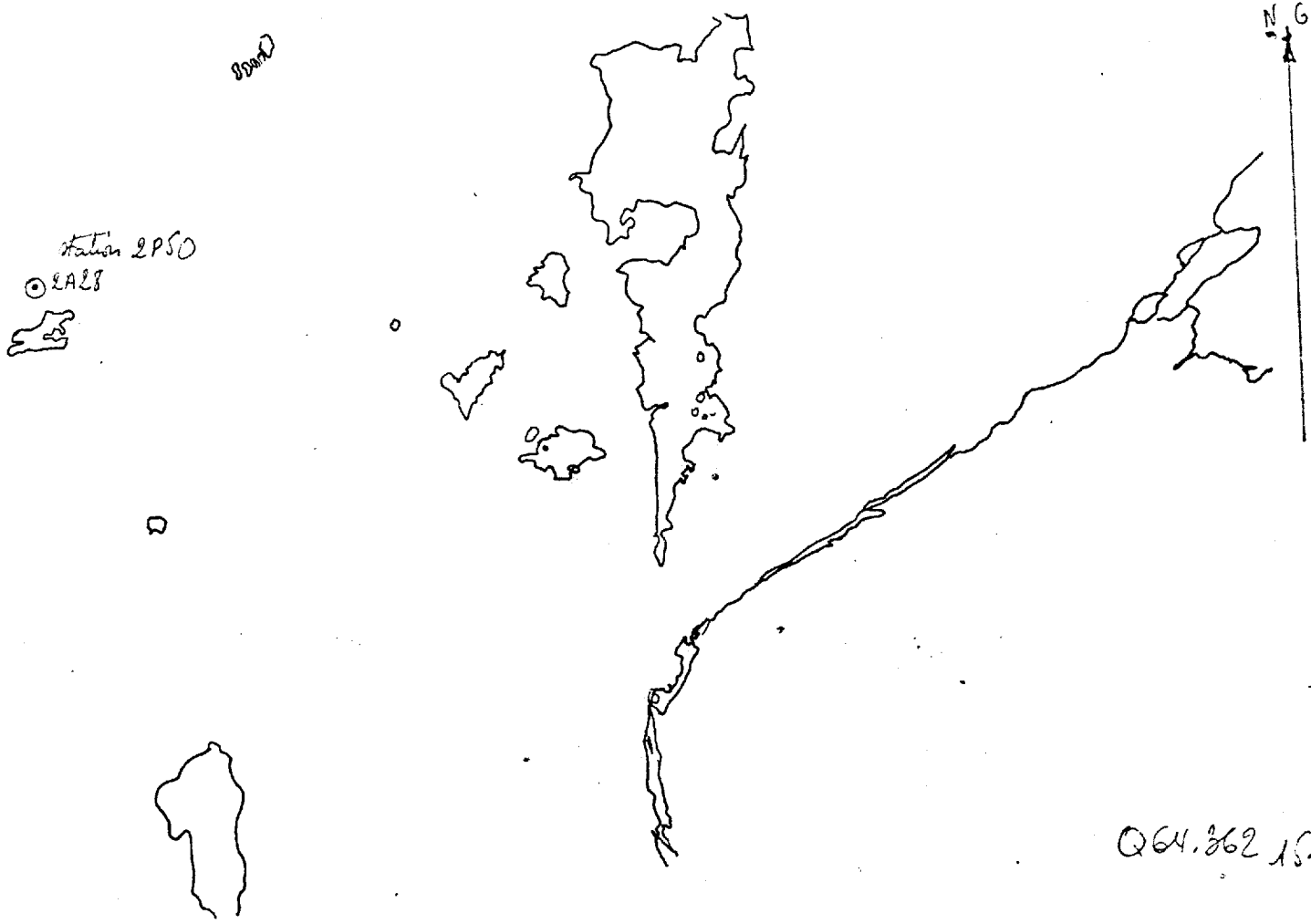
Station 2P50
LALB

3000

N G

le 26/6/80

Q64.262 151



PROJET: MONTS OTISH

FICHE D'ANOMALIE AU SOL

(CROQUIS DE SITUATION OU TRANSPARENT PHOTO CI-JOINT)

ANOMALIE NO.: 2A-29

AFFLEUREMENT

BLOC

PHOTO NO.: Q64368-83

MERCATOR: E 352,400
N 5,784,300

DATE DE DECOUVERTE: le 1er juillet

ORIGINE DE LA DECOUVERTE: Reconnaissance tectonique des indices de "S"

RA MOUVEMENT PROPRE (c/s SPP2): 500

RA MAXIMUM (c/s SPP2): 1200 cps

STATION NO.: 2B-184

FORMATION: Dyke associé au gabbro d'Otish

DESCRIPTION PETROGRAPHIQUE: Extrêmement altéré beige ocre. Matériel intrusif aphanitique gris noirâtre interprété comme étant de l'albitite selon nos études pétrographiques de l'année dernière. Le bloc est contrôlé par deux plans de fracturation (avec cisaillement) parallèles. Le bloc a été retrouvé par l'étude du prolongement de la zone anormale N135-145

ANALYSE(S): contenant tous les indices de "S".

DESCRIPTION

BLOC:

L cm	l cm	e cm	S	V	P	p (56)	AP	IE	IS	IEB	AZIMUT L
23	13	12			59	42				1.0	N135

AFFLEUREMENT:



26183
28184



ANO. S.

1/15840 Q64368-83

PROJET: MONTS OTISH

FICHE D'ANOMALIE AU SOL

(CROQUIS DE SITUATION OU TRANSPARENT PHOTO CI-JOINT)

ANOMALIE NO.: 2A-30

AFFLEUREMENT

BLOC

PHOTO NO.: Q64372-200 "G" Sud

NTS: 22M/13
N5762150
E32B150

DATE DE DECOUVERTE: Le 2 juillet 1980

ORIGINE DE LA DECOUVERTE: Prospection scintillométrique

RA MOUVEMENT PROPRE (c/s SPP2): 90

RA MAXIMUM (c/s SPP2): 1,600

STATION NO.: 2J117

FORMATION: Indicateur

DESCRIPTION PETROGRAPHIQUE: Arénite sub-arkosique environ 15% feldspaths.
Granulométrie: Tri moyen à passées millimétriques de grès grossiers
moyen à mauvais, grains sub-arrondis à sub-anguleux.
arénite réduite devenant oxydée près de la fracture où on
observe la RA maximale

ANALYSE(S): a) Spectrométrie TC K U Th U/Th
151.8 6.0 2.9 4.9 0.6 Thorifère

2J117a U Th
6.6ppm 321ppm

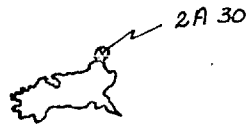
DESCRIPTION

BLOC:

L	l	e	S	V	P	p	AP	IE	IS	IEB	AZIMUT L

AFFLEUREMENT:

La RA maximale s'observe sur un niveau d'environ 3 mm d'épaisseur de siltite très oxydée de couleur rouge.
Parallèlement à la fracture oxydée on observe un rubanement de couleur rouge dont l'intensité diminue à mesure que l'on s'éloigne de la fracture.



Q 64372
200

PROJET: MONTS OTISH

FICHE D'ANOMALIE AU SOL

(CROQUIS DE SITUATION OU TRANSPARENT PHOTO CI-JOINT)

ANOMALIE NO.: 2A-31

AFFLEUREMENT

BLOC

PHOTO NO.: Q64372-200 "G" Sud

NTS: 22M/13

N 5,761,600

DATE DE DECOUVERTE: Le 2 juillet 1980

E 327,950

ORIGINE DE LA DECOUVERTE: Prospection scintillométrique

RA MOUVEMENT PROPRE (c/s SPP2): 50

RA MAXIMUM (c/s SPP2): 1,500

STATION NO.: 2J121

FORMATION: Indicateur

DESCRIPTION PETROGRAPHIQUE: Arénite arkosique vert environ 25% de feldspaths;
Granulométrie moyen à grossier;
La RA est maximale sur un point dans une zone très
broyée, mylonitisée. Présence de séricite.

ANALYSE(S): Pas d'échantillon: non récupérable

DESCRIPTION

<u>BLOC:</u>	L	l	e	S	V	P	p	AP	IE	IS	IEB	AZIMUT L

AFFLEUREMENT:



Q64372
200

PROJET: MONTS OTISH

FICHE D'ANOMALIE AU SOL

(CROQUIS DE SITUATION OU TRANSPARENT PHOTO CI-JOINT)

ANOMALIE NO.: 2A-32

AFFLEUREMENT

BLOC

PHOTO NO.: Q64368-83 voir 2A-9

MERCATOR: E 352,600
N 5,783,300

DATE DE DECOUVERTE: Le 2 juillet 1980

ORIGINE DE LA DECOUVERTE: Reconnaissance tectonique de "S"

RA MOUVEMENT PROPRE (c/s SPP2):

RA MAXIMUM (c/s SPP2): 7,000

STATION NO.: 2K-15

FORMATION: Veine carbonatée dans Gabbro d'Otish

DESCRIPTION PETROGRAPHIQUE: Fragment de bloc du train de boulder "S". Calcite (et albitite?) avec produits jaunes dans le périmètre fortement altéré. Présence de galène ou molybdénite.

Spectro: U/Th 19.64

ANALYSE(S):

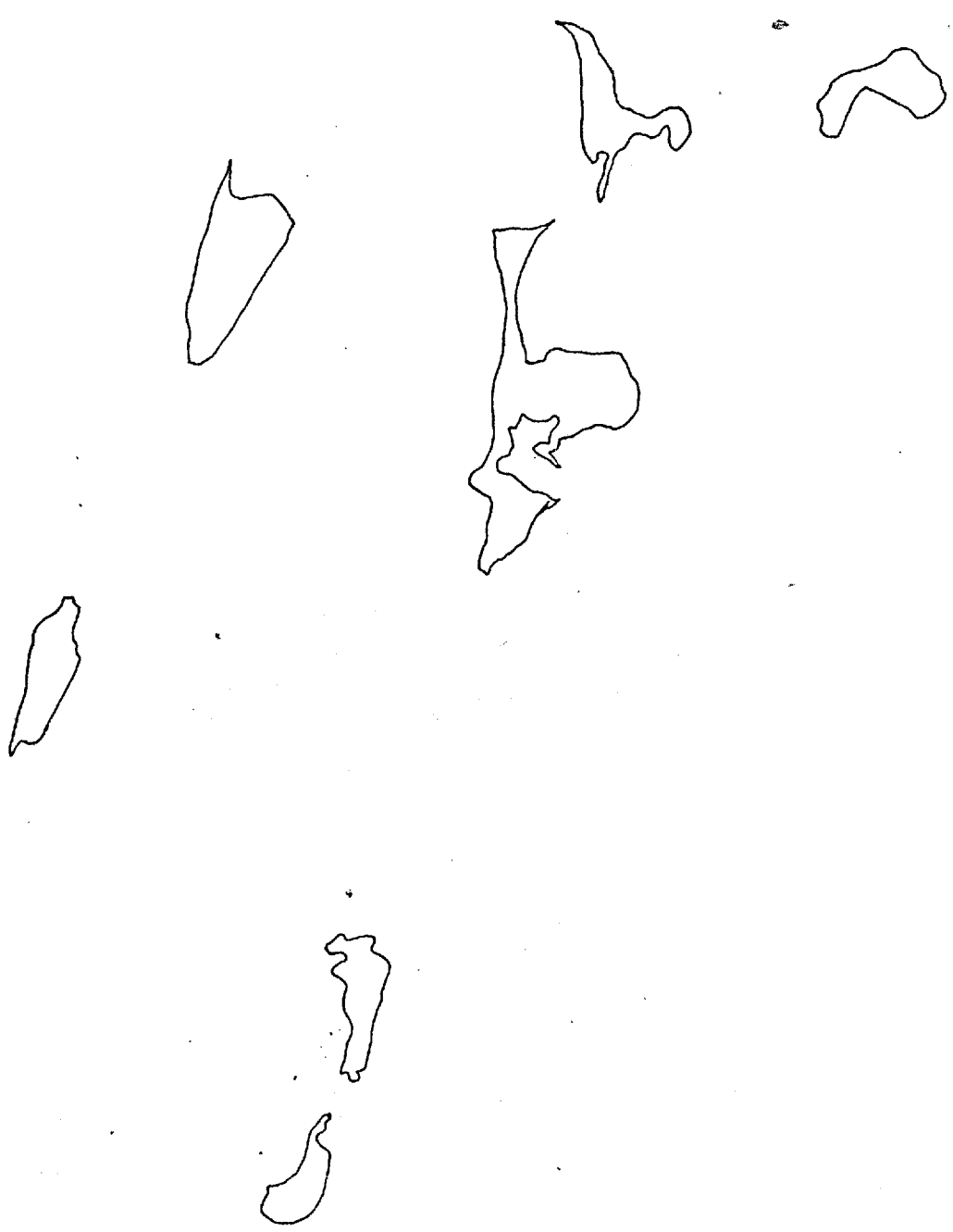
DESCRIPTION

BLOC:

L cm	l cm	e cm	S	V	P	p	AP	IE	IS	IEB	AZIMUT L
14	10	6			33	30					

AFFLEUREMENT:

p:22



2K-14
x ~ 2K-15

Q64368-83

PROJET: MONTS OTISH

FICHE D'ANOMALIE AU SOL

(CROQUIS DE SITUATION OU TRANSPARENT PHOTO CI-JOINT)

ANOMALIE NO.: 2A-33 AFFLEUREMENT BLOC "G" Nord

PHOTO NO.: Q64362-44, Orthophoto "G" Nord NTS: N 5,766,625
E 331,300

DATE DE DECOUVERTE: Le 1er juillet 1980

ORIGINE DE LA DECOUVERTE: Prospection radiométrique au sol

RA MOUVEMENT PROPRE (c/s SPP2): 75-80

RA MAXIMUM (c/s SPP2): Train de blocs constitués de 24 blocs, RA: 1,000 à 7,500 cps

STATION NO.: Voir liste jointe

FORMATION: Grès de l'Indicateur

DESCRIPTION PETROGRAPHIQUE: Deux lithologies particulièrement bien représentées:
1) 19 blocs de quartzite noir
2) 5 blocs de sub-arkose grossière conglomératique

ANALYSE(S): 2N-21a - U/Th: 2275/ND 2N-286 - U/Th: 1590/214
2T-17a - U/Th: 1180/10 2N-28b - E Minéralogique
2T-17a - E Minéralogique

DESCRIPTION

BLOC:

L	1	e	S	V	P	p	AP	IE	IS	IEB	AZIMUT L

BLOCS

Les quartzites sont généralement lités, laminations millimétriques (3 à 7 mm) grain moyen, grain grossier, parfois elles sont massives. La minéralisation se présente dans le plan de stratification sur une épaisseur de 1 à 5 cm couvrant en entier le plan de strati. Les plages minéralisées sont de taille centimétrique i.e. de la taille du bloc, les blocs sont fragmentés selon le plan de minéralisation. Il est donc impossible d'estimer l'épaisseur du quartzite minéralisé. Le quartzite minéralisé est vert, porte des taches d'hématite et de limonitisation. L'imprégnation de fuchsite se fait surtout selon le plan de strati, mais pénètre la roche de façon erratique au loin du contact grès minéralisé - grès stérile.

...

La transition aux quartzites verts minéralisés se fait par l'intermédiaire d'une bande d'hématite profonde de 15 à 20 cm d'épaisseur. Le quartzite noir porte des traces d'hématite et de réduction (taches blanches centimétriques) plus ou moins parallèles à la stratification.

Le second faciès minéralisé appartient au sub-arkose microconglomératique à cailloux épars de quartz et de quartzite rose à saumon. Une altération limonitique ocre a plus ou moins pénétré les grès, les faciès les plus fins sub-arkosiques sont généralement blanc verdâtre à beige verdâtre, des traces d'imprégnations de fuchsite pénètrent la roche, bande étroite rectiligne 1 à 2 mm de largeur. Les microconglomérats les mieux minéralisés 2N-28a sont très feldspathiques, les quartz sont anguleux à arrondis, le tri des grains est mauvais et ce microconglomérat suggère un chenal de ravinement dans les sédiments du groupe d'Otish.

Sur le quartzite noir, la minéralisation est uniformément distribuée dans le plan de strati., elle s'exprime par des produits jaunes et des produits secondaires verts. La zone minéralisée est poreuse, altérée, trace de dissolution, ces phénomènes sont probablement causés par un intempérisme contemporain? Les quartzites noirs massifs sont minéralisés en jet, cheminée centimétrique d'altération hématitique et limonitique qui pénètre le coeur du bloc, fractures ou joint très peu développés mais sûrement microfissures.

Dans les microconglomérats, la minéralisation apparaît disséminée dans la roche et sur des plans de joints ou de diaclases mineures.

Les blocs se situent sur le flanc Est d'une moraine latérale orientée N205. Une partie de la moraine fut délavée et les blocs souvent de taille centimétrique à métrique apparaissent à la brisure de pente, les blocs de quartzite noir sont sous-anguleux, cassés sur fractures, certains d'entre eux sont des fragments d'un seul et même bloc. Les blocs de sub-arkose microconglomératique sont de taille diverse métrique (1 m) à centimétrique. Les plus petits sont sous-arrondis, les angles aigus correspondent à des plans de fracture.

PROJET: MONTS OTISH

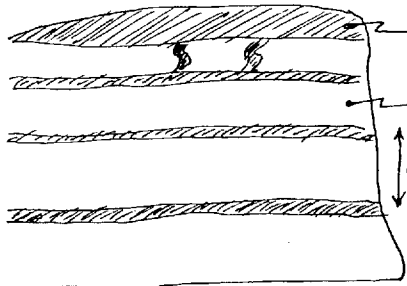
FICHE D'AFFLEUREMENT

DATE: Le 2 juillet 1980

LOCALISATION: Photo Q64362, G "N"

STATISTIQUE: Vérification des blocs G "N"

KM DE COUPE: KM RADIOMETRE:

STATION	RA SPP2	DESCRIPTION	FORMATION	ECHAN- TILLON	ANALYSE										
2T-17	3250	<table border="1"> <tr> <td>TC</td> <td>K</td> <td>U</td> <td>Th</td> <td>U/Th</td> </tr> <tr> <td>1205</td> <td>60.9</td> <td>45.3</td> <td>2.7</td> <td>16.6</td> </tr> </table> <p>Bloc sous anguleux dans une moraine délavée partiellement, 60 cm, 40 cm X 25 cm. Plusieurs des angles très aigus sont des plans de fractures.</p> <p>Quartzite laminé blanc rosé et noir. Quartz très arrondi, un peu de feldspath dans les laminations plus pâles. Les laminations à quartz noir sont généralement à grain plus fin, du quartz noir apparaît d'abord en tache sporadique un peu comme dans les séries panachées.</p>  <p>La roche est très lourde, nettement plus lourde que les quartzites normaux</p> <p>2T-17a Quartzite minéralisé vert bouteille 2T-17b Quartzite laminé rouge et noir stérile 2T-17c Quartzite vert bouteille minéralisé</p> <p>2T-17a U Th 1180 ppm 10 ppm</p>	TC	K	U	Th	U/Th	1205	60.9	45.3	2.7	16.6	En flanc de colline, les blocs sont surtout en rupture de pente.		
TC	K	U	Th	U/Th											
1205	60.9	45.3	2.7	16.6											
				2T-17a 2T-17b 2T-17c	U, Th L.M. L.M.										

Statistiques

STATION	RA SPP2	DESCRIPTION	FORMATION	ECHAN- TILLON	ANALYSE																
2N-18	1,500	<p>Idem 2T-17, cependant la zone verte minéralisée est parallèle au plan de stratification, hématisation et dissolution. La plage active est de 60X80 cm, elle est parallèle à la stratification.</p> <p>Bloc sous-anguleux métriques de quartzite noir lité à proximité de la minéralisation, le quartzite est rouge hématisé et dans la zone active il est très vert. La minéralisation est sub-parallèle à la stratification, le plan de décollement quartzite vert minéralisée et quartzite noir lité noir et rouge n'est pas strictement parallèle.</p>																			
2N-19	4,000	<p>Bloc métrique anguleux quartzite noir ayant subi plusieurs phases d'hématisation et de réduction. Photos 6 et 7 montrent la position de la strate minéralisée par rapport au faciès porteur des quartzites noirs laminés à tache blanche lessivée réduite.</p> <table border="1"> <thead> <tr> <th>TC</th> <th>K</th> <th>U</th> <th>Th</th> </tr> </thead> <tbody> <tr> <td>1114.6</td> <td>55.9</td> <td>42.9</td> <td>1.8</td> </tr> <tr> <td>1115.4</td> <td>54.5</td> <td>43.1</td> <td>2.2</td> </tr> <tr> <td></td> <td></td> <td></td> <td>2.6</td> </tr> </tbody> </table> <p>Les photos 8 et 9 montrent les patrons de réduction dans le quartzite noir.</p> <p>Photo 10 montre la pénétration de l'altération verte dans le quartzite blanc rosé fortement hématisé. Il semble que du quartzite noir on passe au quartzite minéralisé vert par l'intermédiaire d'une bande de 15 à 20 cm variolée hématisée. Dans le quartzite noir les taches de réduction (?) sont blanches (Photo #11).</p>	TC	K	U	Th	1114.6	55.9	42.9	1.8	1115.4	54.5	43.1	2.2				2.6			
TC	K	U	Th																		
1114.6	55.9	42.9	1.8																		
1115.4	54.5	43.1	2.2																		
			2.6																		

Statistiques

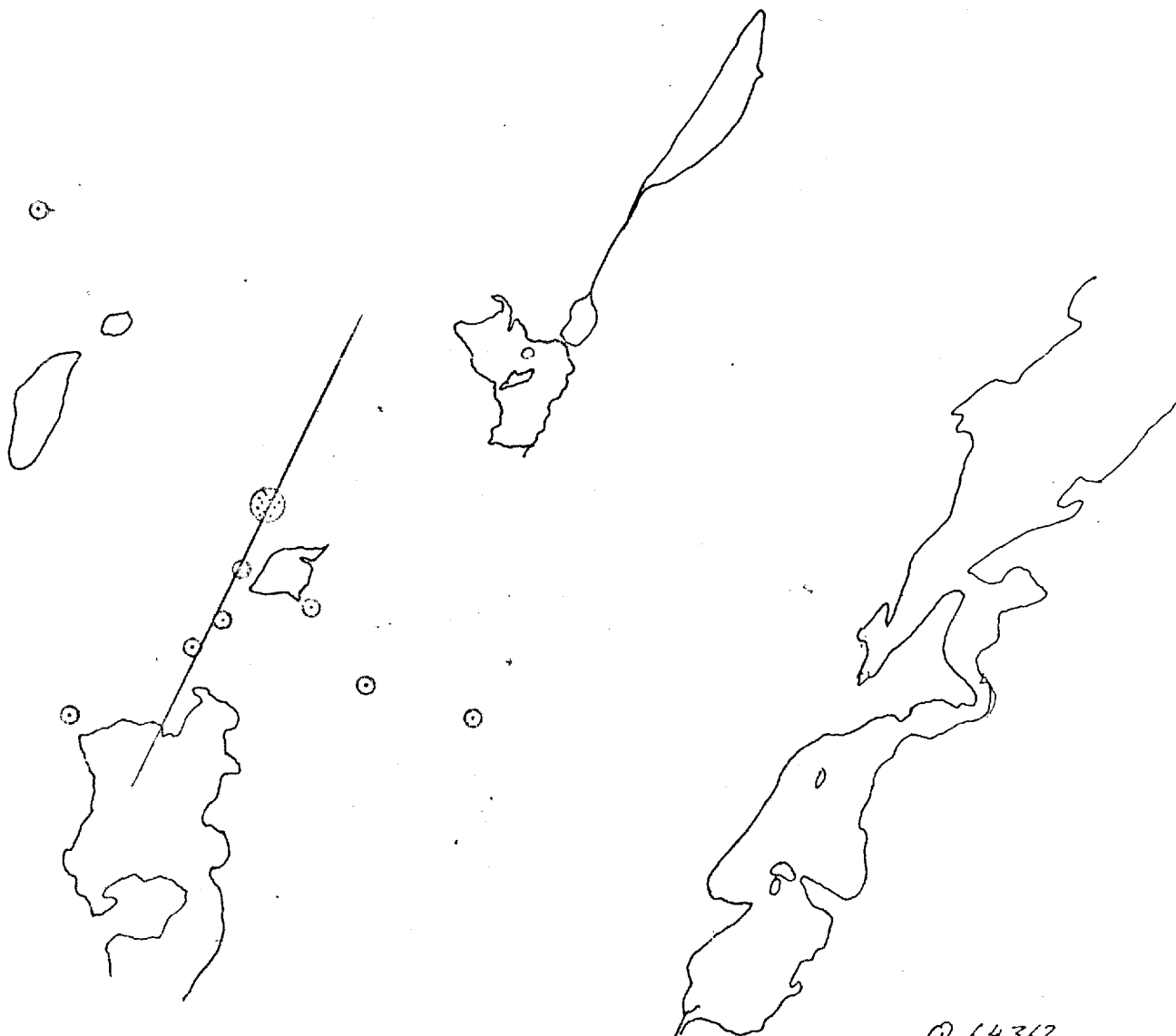
STATION	RA SPP2	DESCRIPTION	FORMATION	ECHAN- TILLON	ANALYSE									
2T-18	2,000	Même faciès.												
2N-21	4,000	Blocs sous-arrondis 80X60X40												
		<table border="1"> <thead> <tr> <th>TC</th> <th>K</th> <th>U</th> <th>Th</th> <th>U/Th</th> </tr> </thead> <tbody> <tr> <td>1123</td> <td>58.0</td> <td>40.9</td> <td>3.1</td> <td>13.2</td> </tr> </tbody> </table>	TC	K	U	Th	U/Th	1123	58.0	40.9	3.1	13.2		
TC	K	U	Th	U/Th										
1123	58.0	40.9	3.1	13.2										
		2N21a U: 2275 ppm Th: ND			U:2275ppm Th:ND									
		Les blocs sont orientés à N180 à N185°												
		20-21a Quartzite à grès feldspathique rose limonitisé, poreux		2N-21a	U, Th									
		2N-21b Idem témoin		2N-21b	Témoin									
		2N-21c Quartzite gris noir à tache hématite et limonite		2N-21c	Réf.									
		2N-21d Quartzite gris rosé tache de limonite, bien minéralisé		2N-21d	Réf.									
		Photos 12, 13 montrent la distribution de la minéralisation dans le bloc. La zone la plus limoniteuse est la plus minéralisée.												
		Les photos 14 et 15 présentent des phénomènes de dissolutions et remplissages qu'a subi le grès quartzitique.												
		Bloc centimétrique de quartzite gris noir massif, minéralisé sur les zones limonitisées altérées vacuolaires, le quartzite a un reflet verdâtre donné par des imprégnations de fuchsite en interstice du grès.												
		Grès nettement uranifère, produits sont jaunes et oranges (?)												
		2N-21c Quartzite gris noir massif fuchsite disséminée en matrice		2N-21c	Réf.									
2N-22	6,000	Idem 2N-21.												

Statistiques

STATION	RA SPP2	DESCRIPTION	FORMATION	ECHAN- TILLON	ANALYSE
2N-23	5,000	<p>Bloc sous anguleux fracturé. Quartzite noir limonitisé. Son activité varie de 500 à 5,000 chocs RA max. correspond à des zones limonitisées, évidence de dissolution et de position de matériel siliceux rouge brique.</p> <p>Photos 16, 17 et 18 présentent les différentes facettes de ce bloc. A priori, une période d'hématisation profonde semble avoir précédé la limonitisation qui accompagne la minéralisation. Ce quartzite est en fait mauve avec quelques taches vertes de fuchsite, habituellement les taches les plus actives.</p>			
2N-25	2,100	<p>Idem. Quartzite noir laminé avec passées fortement hématisées mauves. Minéralisation avec fuchsite sur plan de strati.</p> <p>2N-25a Passage quartzite noir et mauve ou faciès poreux minéralisé avec fuchsite</p> <p>A proximité un bloc de gabbro gris vert à grain moyen, massif et frais.</p>		2N-25a	Réf.
2N-26	2,500	Idem. 2N-25 plage minéralisée 40X60 cm. Bloc très anguleux centimétrique 80cm X 60 cm X 50 cm.			
2N-27	3,000	<p>Idem 2N-26, anguleux 1 m X 80 cm X 80 cm, plan minéralisé 4 à 5 cm d'épaisseur.</p> <p>Les photos 19 et 20 montrent la distribution des bandes noires et des bandes blanches et la zone de transition fortement hématisée 10 ou 20 cm avant la minéralisation localisée dans le quartzite vert à fuchsite.</p>			
2N-23	2,000	Idem 2N-27.			

Statistiques

STATION	RA SPP2	DESCRIPTION	FORMATION	ECHAN- TILLON	ANALYSE
2T-26	7,500	Plaquette de 30cmX15cmX4cm détachée probablement d'un bloc de quartzite noir. Le grès minéralisé est de couleur brune à ocre, trace de fuchsite, quartzite à grain moyen. 2T-26a Grès minéralisé à fuchsite 2T-26b Grès minéralisé à fuchsite		2T-26a 2T-26b	U, Th U, Th
2T-30	2,000	Bloc de grande taille, en deux morceaux. Grès grossier felds. mal trié, faciès ocre limoniteux, cailloux altérés de quartz. La surface à plus de 1,000 cps est de taille centimétrique 80X60X30 cm. Taille du bloc sous-arrondi. L-90 } 1-80 } Grand axe orienté N300° e-80 } Ces blocs, suite à l'érosion de la moraine, ont possiblement été déplacés et forment présentement un éboulis de pente.			
2N-29	1,000	Bloc d'arkose conglomératique faciès ocre, arrondis à sous-arrondis, niveau conglomératique recristallisation. L-65, 1-53 e-36 P-165, Pm-1.60 cm, Pp-27 Le bloc se situe pratiquement au sommet de la moraine.			
2K-29	1,100	Bloc arrondi bien enfoui de taille approximative 60cmX40cmXenv. 30 cm, partie du membre arkosique. Ce bloc est une sub-arkose à grains moyens à cailloux flottants de quartz ≈ 1 cm. Légère altération avec ocre au point le plus actif. Spectromètre Tc K U Th U/Th 301.4 14.0 9.7 0.6 16.2			



Q 64362
44

E 331.000

N. 358°

W-5,767,000



Positionnement.

2A-33.

21 blocs
Atsite N.

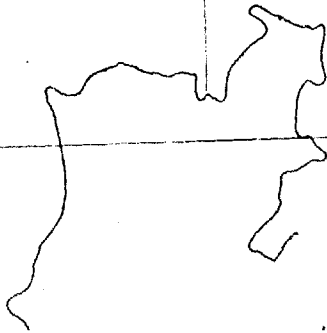
2N-28

2T-26

2N-27

2N-30

2N-24



Ortho photo S. nord.

Echelle 1:10,000

PROJET: MONTS OTISH

FICHE D'ANOMALIE AU SOL

(CROQUIS DE SITUATION OU TRANSPARENT PHOTO CI-JOINT)

ANOMALIE NO.: 2A34

AFFLEUREMENT

BLOC

PHOTO NO.:

NTS: 5,764,500 m N 326,950 m N

DATE DE DECOUVERTE: 4/07/80

ORIGINE DE LA DECOUVERTE: Prospection radiométrique au sol. Traverse 2C57

RA MOUVEMENT PROPRE (c/s SPP2): 125 cps

RA MAXIMUM (c/s SPP2): 1400 cps

STATION NO.: 2M115

FORMATION: Indicateur

DESCRIPTION PETROGRAPHIQUE: Arkose microconglomératique à passées conglomératiques, mal triée. Fraction arénitique; Grains de quartz subarrondis à anguleux. Ciment ocre enrobe les grains et les cailloux et teinte les feldspaths. Faciès ocre.

ANALYSE(S): 2M115, 1200 cps Ct K U Th U/Th
552.9 18.7 12.8 18.6 .69

DESCRIPTION

BLOC:

L	l	e	S	V	P	p	AP	IE	IS	IEB	AZIMUT L

AFFLEUREMENT: La zone anormale est de peu d'extension, 60 cm x 40 cm, sur une face du bloc, se prolongeant sur un plan de fracture sur 50 cm. La RA maximum est très ponctuelle à 1400 cps, la zone de battement à 1000 cps s'étend sur 30 cm. Le long du petit plan de fracture, la RA se maintient autour de 500 cps.

PROJET: MONTS OTISH

FICHE D'ANOMALIE AU SOL

(CROQUIS DE SITUATION OU TRANSPARENT PHOTO CI-JOINT)

ANOMALIE NO.: 2A34 (suite)

AFFLEUREMENT

BLOC

PHOTO NO.:

NTS:5,764,500 m N 327,150 m E

DATE DE DECOUVERTE: 4/07/80

ORIGINE DE LA DECOUVERTE: Prospection radiométrique au sol. 2C57 coupe.

RA MOUVEMENT PROPRE (c/s SPP2): 125 cps

RA MAXIMUM (c/s SPP2): 950 cps

STATION NO.: 2M116

FORMATION: Indicateur

DESCRIPTION PETROGRAPHIQUE: Idem à 2M115. Arkose microconglomératique, faciès ocre. La zone anormale se retrouve dans une zone arénitique de peu d'extension, faisant penser à un plaquage de 2₂cm d'épais le long d'une des faces du bloc. La surface couvre une centaine de cm² (10x10 cm).

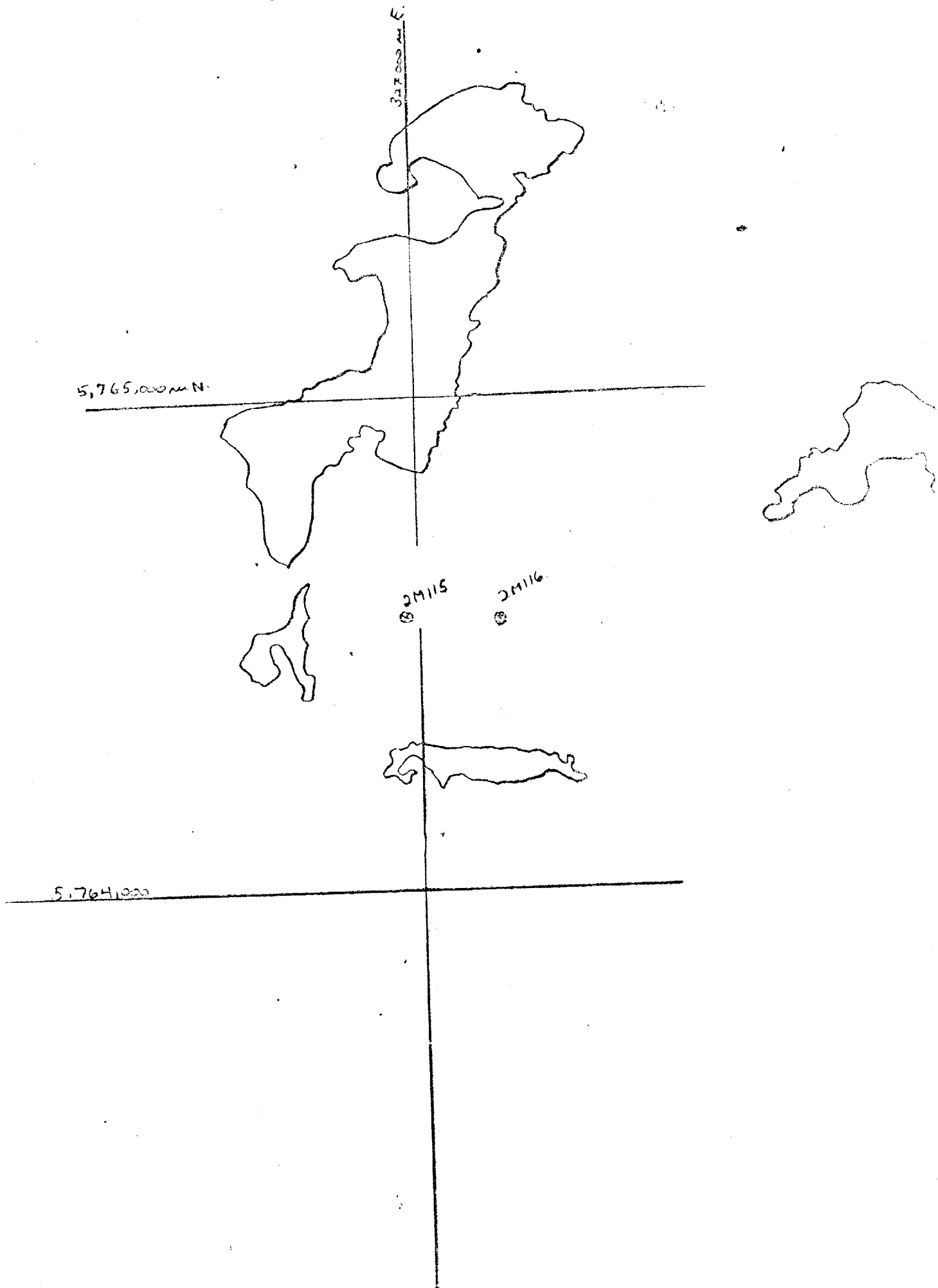
ANALYSE(S):

DESCRIPTION

BLOC:

L	l	e	S	V	P	p	AP	IE	IS	IEB	AZIMUT L

AFFLEUREMENT:



PROJET: MONTS OTISH

FICHE D'ANOMALIE AU SOL

(CROQUIS DE SITUATION OU TRANSPARENT PHOTO CI-JOINT)

ANOMALIE NO.: 2A35

AFFLEUREMENT

BLOC

PHOTO NO.: Q64364

NTS: N 5,764,500
E 327,150

DATE DE DECOUVERTE: 19.7.80

ORIGINE DE LA DECOUVERTE: Géologie hors permis, est du "G"

RA MOUVEMENT PROPRE (c/s SPP2): 60/150

RA MAXIMUM (c/s SPP2): 1200

STATION NO.: 2P241

FORMATION: Indicateur

DESCRIPTION PETROGRAPHIQUE: Grès grossier subarkosique rose (granulométrie 1-2 mm) présentant des niveaux erratiques conglomératiques à granules et galets de quartz blanc (rares individus roses). Ces niveaux plus grossiers sont limoniteux (miel), ils sont radioactifs.

ANALYSE(S): Spectrométrie Ct K U Th
141.7 4.6 3.2 4.4 Anomalie thorifère U/Th: 0.7

DESCRIPTION

<u>BLOC:</u>	L	l	e	s	v	P	p	AP	IE	IS	IEB	AZIMUT L

AFFLEUREMENT: L'affleurement s'étend sur plusieurs dizaines de mètres. L'activité est nettement liée aux passées conglomératiques limoniteuses qui agrémentent le grès grossier subarkosique rose (So: N100-24N). Aucun alignement ne ressort. A proximité, un accident EW (longueur 100-200 m, largeur 10 m, profondeur 10 m). Cf 2A53 et 2A58 pour positionnement.

Station 2P241, 900 cps SPP2: Tc K U Th U/Th
spectro: 238.1 10.9 5.5 5.4 1.0
Station 2P241, 1100 cps SPP2: 384.6 13.3 6.9 11.1 0.6

PROJET: MONTS OTISH

FICHE D'ANOMALIE AU SOL

(CROQUIS DE SITUATION OU TRANSPARENT PHOTO CI-JOINT)

ANOMALIE NO.: 2A36

AFFLEUREMENT

BLOC

PHOTO NO.: Q64362-50

NTS: hors propriété
52°02'
71°20'

DATE DE DECOUVERTE: 5.7.80

ORIGINE DE LA DECOUVERTE: vérification tectonique

RA MOUVEMENT PROPRE (c/s SPP2): 30 cps

RA MAXIMUM (c/s SPP2): 1600, 2000, 1200 cps

STATION NO.: ↑ ↑ ↑
2K-18, 2K-19, 2K-20, 2B-219, 2B-220

FORMATION: Gabbro des Otish

DESCRIPTION PETROGRAPHIQUE: Gabbro à faciès très grossier (cm)
RA maximum sur fractures N135 et N

Spectrométrie: U/Th: 1

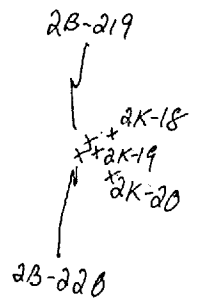
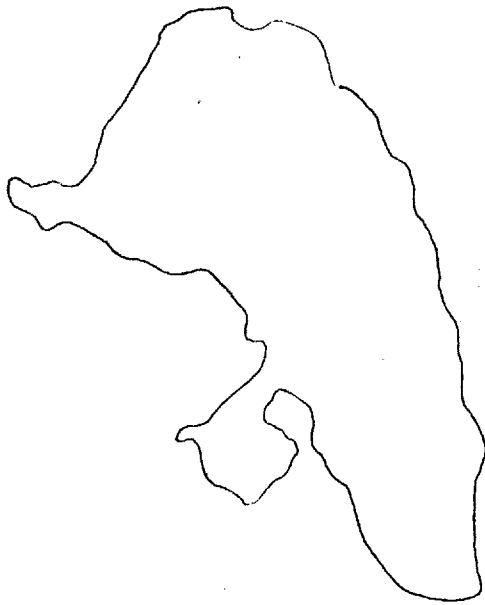
ANALYSE(S):

DESCRIPTION

BLOC:

L	l	e	S	V	P	p	AP	IE	IS	IEB	AZIMUT L

AFFLEUREMENT:



Q 64362-50

PROJET: MONTS OTISH

FICHE D'ANOMALIE AU SOL

(CROQUIS DE SITUATION OU TRANSPARENT PHOTO CI-JOINT)

ANOMALIE NO.: 2A-37

AFFLEUREMENT

BLOC

PHOTO NO.: Orthophoto propriété "G"

MERCATOR: N 5,771,875
E 330,200

DATE DE DECOUVERTE: 4.7.80

ORIGINE DE LA DECOUVERTE: Prospection "G" nord

RA MOUVEMENT PROPRE (c/s SPP2):

RA MAXIMUM (c/s SPP2): 1800

STATION NO.: 2K-16, 2K-17
↑

FORMATION: Indicateur

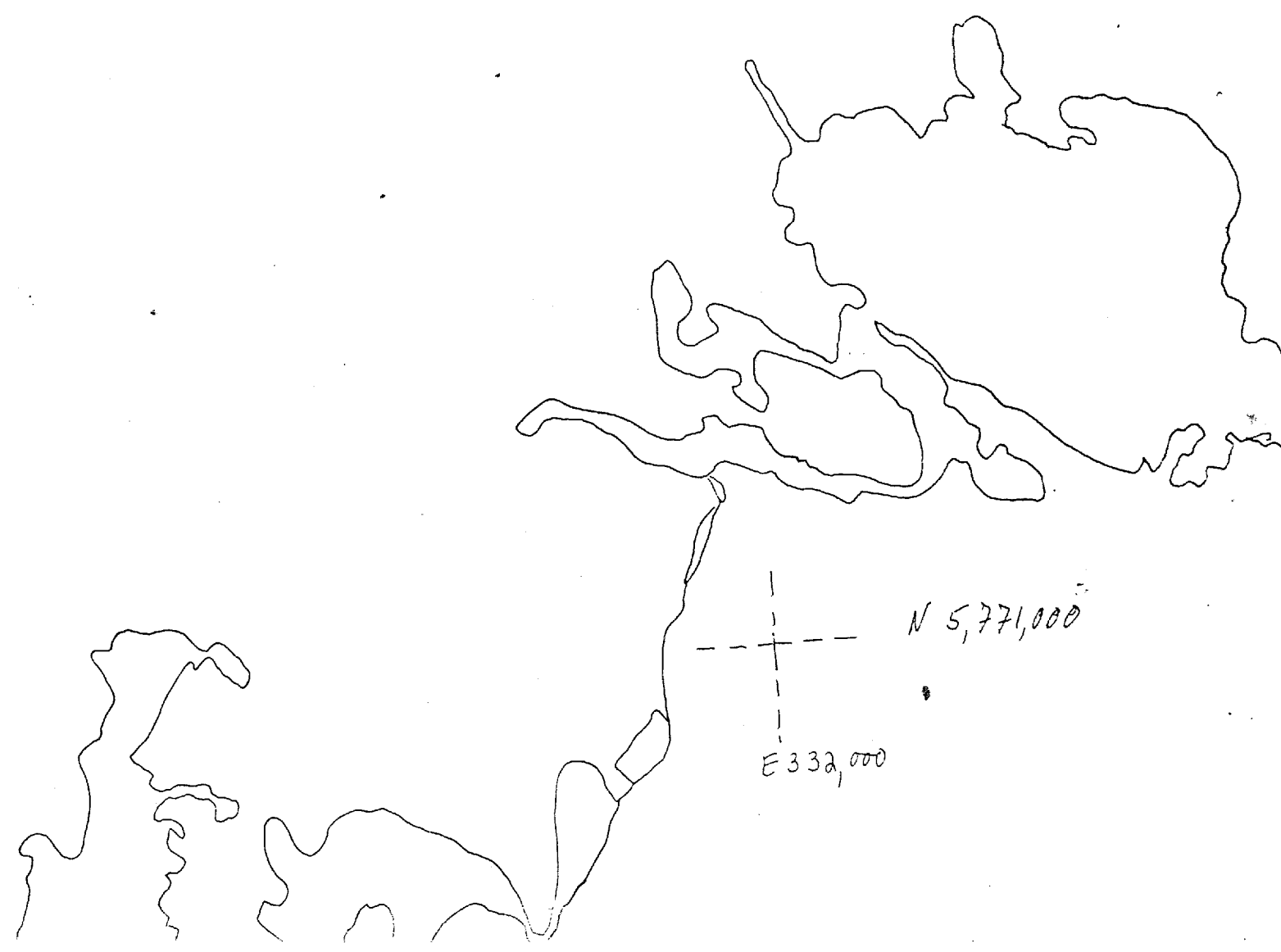
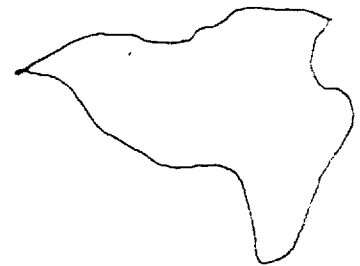
DESCRIPTION PETROGRAPHIQUE: Quartzite à faciès ocre
Spectrométrie: U/Th: 1

ANALYSE(S):

DESCRIPTION

<u>BLOC:</u> 2K-17	L cm	l cm	e cm	S	V	P	p	AP	IE	IS	IEB	AZIMUT L
	27	21	10			71	60				2 3	NO50

AFFLEUREMENT:



PROJET: MONTS OTISH

FICHE D'ANOMALIE AU SOL

(CROQUIS DE SITUATION OU TRANSPARENT PHOTO CI-JOINT)

ANOMALIE NO.: 2A-38

AFFLEUREMENT

BLOC

PHOTO NO.: Q64362-50

NTS:

DATE DE DECOUVERTE: 5.7.80

ORIGINE DE LA DECOUVERTE: vérification tectonique

RA MOUVEMENT PROPRE (c/s SPP2):

RA MAXIMUM (c/s SPP2): 1500 cps

STATION NO.: 2K-21

FORMATION: Indicateur

DESCRIPTION PETROGRAPHIQUE: Grès quartzeux microconglomératique à faciès ocre.

ANALYSE(S):

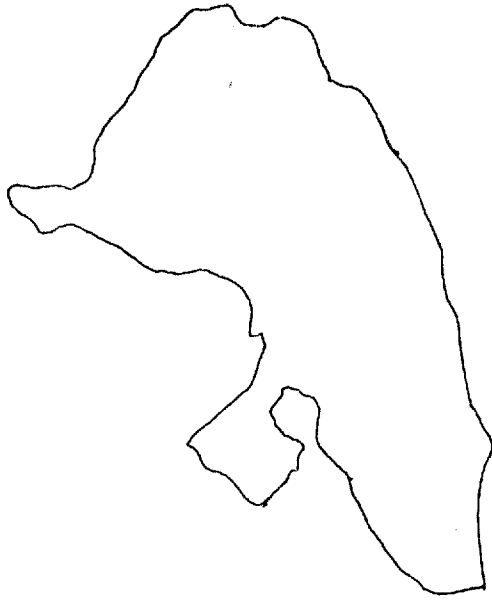
DESCRIPTION

BLOC:

L m	l m	e m	S	V	P	p	AP	IE	IS	IEB	AZIMUT L
1	0.3	0.3									N140°

AFFLEUREMENT:

Tc	K	U	Th	U/Th
296.3	9.4	7.6	10.1	0.8



x
2K-21



Q 64362-58

PROJET: MONTS OTISH

FICHE D'ANOMALIE AU SOL

(CROQUIS DE SITUATION OU TRANSPARENT PHOTO CI-JOINT)

ANOMALIE NO.: 2A-39

AFFLEUREMENT

BLOC

PHOTO NO.: Q64362-50

NTS: 52°02'
71°20'

DATE DE DECOUVERTE: 5.7.80

ORIGINE DE LA DECOUVERTE: Vérification tectonique

RA MOUVEMENT PROPRE (c/s SPP2): 35

RA MAXIMUM (c/s SPP2): 4500

STATION NO.: 2B-221

FORMATION: Gabbro d'Otish

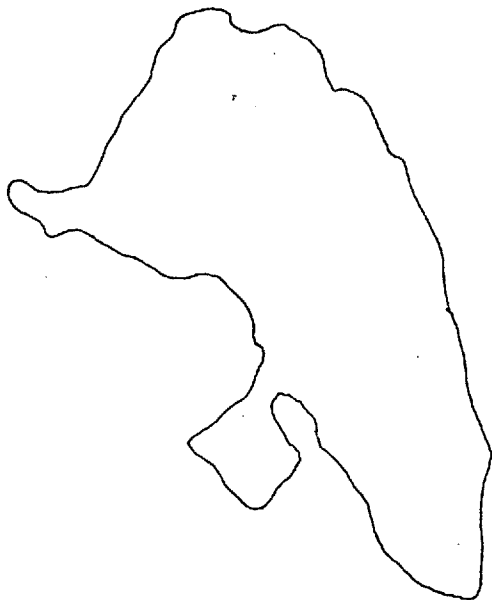
DESCRIPTION PETROGRAPHIQUE: Zone de cisaillement hématisée dans gabbro de direction N15°. Le reste de l'affleurement n'est pas tectonisé.

ANALYSE(S): Anomalie thorifère

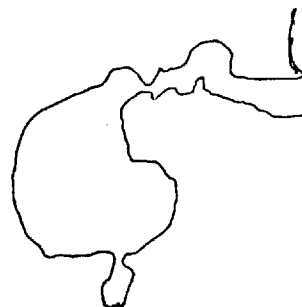
DESCRIPTION

<u>BLOC:</u>	L	l	e	S	V	P	p	AP	IE	IS	IEB	AZIMUT L

AFFLEUREMENT:



x₂
2B-221



PROJET: MONTS OTISH

FICHE D'ANOMALIE AU SOL

(CROQUIS DE SITUATION OU TRANSPARENT PHOTO CI-JOINT)

ANOMALIE NO.: 2A-40

AFFLEUREMENT

BLOC

PHOTO NO.: Orthophoto "G" nord

DATE DE DECOUVERTE: 5.07.80

ORIGINE DE LA DECOUVERTE: Prospection au sol

RA MOUVEMENT PROPRE (c/s SPP2): 55 cps

RA MAXIMUM (c/s SPP2): 2000 cps

STATION NO.: 2T-28 , 2T-29

FORMATION: Indicateur

DESCRIPTION PETROGRAPHIQUE: Grès feldspathique fin, pas de cailloux flottants en évidence. Minéralisation sur fracture.

ANALYSE(S):	Spectromètre:	Ct	K	U	Th	U/Th
	2T-28	713.3	20.2	18.5	24.2	0.77
	2T-29	679.5	16.8	19.7	22.8	0.87

DESCRIPTION

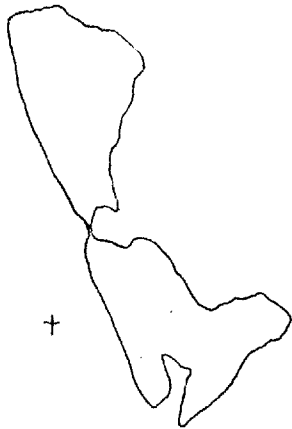
BLOC:

L	l	e	S	V	P	p	AP	IE	IS	IEB	AZIMUT L

AFFLEUREMENT: Affleurement de grès feldspathique de 7 m de long par 3 m de large avec So indistinct. Quelques fractures sans concentration notable. Les points actifs se retrouvent dans des diaclases orientées différemment.

N. 5, 77, 000

+



27-28
29



N. 5, 770, 000

+

E 330, 000

orthophoto "E" Nord

PROJET: MONTS OTISH

FICHE D'ANOMALIE AU SOL

(CROQUIS DE SITUATION OU TRANSPARENT PHOTO CI-JOINT)

ANOMALIE NO.: 2A-41

AFFLEUREMENT

BLOC

PHOTO NO.: Q64322-78, 1:15,000 hors permis

NTS: 52°12'
71°02'

DATE DE DECOUVERTE: 5.7.80

ORIGINE DE LA DECOUVERTE: Prospection héliportée, vérification des anomalies

RA MOUVEMENT PROPRE (c/s SPP2): plus de 15,000

RA MAXIMUM (c/s SPP2):

STATION NO.: 2L-79, 2L-80, 2L-81, 2L-82

FORMATION:

DESCRIPTION PETROGRAPHIQUE: Bloc de produits noirs (pechblende ou uraninite) sous arrondis 3 à 5 cm de côté. Produits jaunes en surface associés à des minéraux d'apparence métallique.

ANALYSE(S): 2K-26a Etude minéralogique pour identification de minéraux radioactifs.
2K-26b U, Th
2K-26b Etude minéralogique, identification des minéraux radioactifs, sulfures et carbonates

DESCRIPTION

BLOC:

L	l	e	S	V	P	p	AP	IE	IS	IEB	AZIMUT L

AFFLEUREMENT: Bloc de produits noirs et minéraux à patine gris métallique dans une moraine de fond bien tassée, dont les principaux blocs sont des gabbros très arrondis, des quartzites blancs, des grès arkosiques. Des blocs de grès dolomitique et d'argilite rouge sont anguleux, fortement tectonisés et broyés. Le sable de la moraine est très actif et atteint localement, sous la couche très oxydée noire à brun noir, de 5000 à 12000 cps. Les blocs de gabbro ont piégé l'uranium à leur surface extérieure (produits oranges). Les blocs de dolomie et argilite qui pourraient constituer l'affleurement (blocs très anguleux broyés) sont parfois radioactifs, 300 à 500 cps.

La zone anormale sur moraine couvre une surface de 350 m x 150 m. La moraine offre un paysage très plat, c'est une moraine bien tassée contenant à sa surface des blocs centimétriques de gabbros, grès arkosiques et quartzites, quelques blocs anguleux de dolomie et shale dolomitique. La couche très oxydée a une épaisseur de 25 cm, en-dessous le sable est gris-jaune et souvent très actif.

La minéralisation appartient à trois faciès distincts:

- Blocs centi à millimétriques de minerai massif, produits noirs et sulfures gris métallique. 14 de ces blocs ont été localisés en 2 jours de prospection.
- Blocs anguleux de grès dolomitique, 30 à 40 cm de côté, et plusieurs beaucoup plus petits, 10 à 15 cm. Minéralisation PJ, PN(?), sulfures et carbonates de Cu. Blocs jusqu'à 1200 cps.
- Blocs anguleux de 10 à 15 cm de côté, gabbros altérés, clivés. RA de 1000 à 5000 cps.

Il s'agit probablement d'une minéralisation épigénitique sur veine, le blocage se fait sur gabbro et la minéralisation diffuse dans l'encaissant. Les gabbros en affleurement, au voisinage de l'anomalie et plus à l'est 1 à 2 km, sont orientés à N70°; ils sont fortement épidotisés, les principales directions d'épidotisation sont N342°, ouverture sur 15 cm, 279° et 255°.

Il faut noter que les quelques affleurements de gabbro de la région suggèrent un patron structural conforme à celui des principaux indices "G" et 2A-26. Combinaison des fractures N20° et N160°, principaux véhicules des solutions, blocage sur N70° et N100° par l'effet d'un jeu de soulèvement, blocs du sud relevés et intrusion de gabbro selon N70°.

FICHE D'AFFLEUREMENT

DATE: 4.7.80

LOCALISATION: Photo 1:15,000 Q64322-79, Q64368-89

STATISTIQUE: Vol de radiométrie hélicoptérée, Vol 2B-5

KM DE COUPE:

KM RADIOMETRE:

STATION	RA SPP2	DESCRIPTION	FORMATION	ECHAN-TILLON	ANALYSE
2L-77		Affleurement massif de gabbro fortement altéré, épidotisé. Le gabbro est clair, vert pâle, grain moyen à gros, fortement épidotisé, abondantes mouches de sulfures. En photogéologie, le gabbro apparaît orienté N70°.			
		2L-77a Gabbro clair, dioritique, fortement épidotisé.		2L-77a	Ref.
2L-78	400-500	Bloc de dolomie gréseuse fracturé. Joints N172°, N200°. La colline de gabbro est orientée E-W.			
		Tc K U Th U/Th			
		161 10.1 5.6 0.3 18.7			

		176.0 3.8 6.8 0.3 22.7			
	500	2L-78a Echantillon de sable de la station 2L-78. RA max. 13000 cps. Sable très actif. Les gabbros en blocs très arrondis semblent avoir piégé l'U, produit orange à 500 cps. 2L-78a U: 763ppm Th: 60ppm		2L-78a	U Th
2L-79	+15,000	Bloc de pechblende ou produits noirs, semi-massif à massif. Le bloc est sous-arrondi de taille centimétrique, 3 à 5 cm de côté. Il fut découvert parmi les blocs de gabbro et quartzite très arrondis, à une profondeur de 60 à 70 cm dans la moraine sablonneuse et caillouteuse. Voir positionnement Géochimie de sol "2"		2L-79a 2L-79b (dolomie)	Postérité Echantilloné lors de géochimie de sol (Serge Genest)

Statistiques Vol de radiométrie hélicoptée, vol 2B-5

STATION	RA SPP2	DESCRIPTION	FORMATION	ECHAN- TILLON	ANALYSE
		2L-79a Bloc à ++15,000 cps.			
2L-80	+3000	Petits blocs très altérés, 3 à 4 cm de côté, découverts à 5 ou 6 cm de la surface de la moraine de fond.			
		2L-80a Blocs minéralisés, altération très poussée.		2L-80	non envoyé
2L-81	3500	Bloc centimétrique minéralisé, aplati, 15 cm de diamètre de surface, 4 à 5 cm d'épaisseur. Produits jaunes, produits oranges et produits noirs.			
		2L-81a Dolomie ou grès dolomitique			
2L-82	1500	Bloc minéralisé 3 à 4 cm de côté, semble être une arkose très altérée.			
		2L-82a Grès dolomitique.		2L-82a	Ref.
2L-83a	500	Bloc de dolomie gréseuse minéralisée. Produits oranges et produits noirs. Blocs découverts à quelques cm, 10-15, sous la moraine.			
		2L-83a Dolomie gréseuse sous des veines minéralisées (?). Pyrite dissoute, produits oranges, produits métalliques en placage.		2L-83a	non envoyé
2L-84	2000	Bloc anguleux centimétrique de dolomie altérée broyée, 15 cm x 8 cm x 3 cm, trouvé à 5 ou 6 cm sous la surface de mousse recouvrant cette moraine.			
		2L-84a		2L-84a	

Statistiques Blocs Prospecteurs 6.7.80

STATION	RA SPP2	DESCRIPTION	FORMATION	ECHAN- TILLON	ANALYSE
2K-22	8,000	Minéralisation		2K-25	
25	>15,000	en produits		26	
26	>15,000	noirs ... 2K26a U: 21500ppm Th: 994ppm		27	
27	>15,000	et sulfures			
23	6,000	dolomie gréseuse			
24	3,800				
2D-2	10,000	Minéralisation		2D-3	
3	>15,000	en produits		-5	
4	11,000	noirs et			
5	>15,000	sulfures			
1	?	Dolomie gréseuse			
2T-31	>15,000	Minéralisation en produits		2T-31	U: 140,000ppm Th: 10 ppm
33	>15,000	noirs et sulfures			
36	10,000			2T-36	
32	?				
34	4,500	Dolomie gréseuse			
35	2,000				
37	2,000				
2N-33	10,000	Minéralisation en produits			
40	>15,000	noirs et sulfures		2N-40	
31	5,000				
32	2,000				
34	1,400				
35	5,000	Dolomie gréseuse		2N-35	Résultats U: faussés
36	2,000				
37	1,000				
38	5,000				
39	4,500				

PROJET: MONTS OTISH

FICHE D'AFFLEUREMENT

DATE: 17 août 1980

LOCALISATION:

STATISTIQUE: Etude de l'indice "L"

KM DE COUPE:

KM RADIOMETRE:

STATION	RA SPP2	DESCRIPTION	FORMATION	ECHAN- TILLON	ANALYSE
2K-79	6500	Bloc sous-arrondi à anguleux, très altéré. Matériel siliceux, rubéfié, bréchique, idem aux albitites et brèches de l'indice "S". 2K-79: 3500 cps		2K-79	U, Th Lame Mince
2K-73	7000	Nodule 1 à 2 cm de diamètre, à proximité (3m) de 2K-79. Métal gris clair 80%, produits noirs 20%. Le métal gris clair est feuilleté, tectonisé, cisailé. 2K-73: nodule non vacuolaire		2K-73	U, Th
2K-74	7500	Gabbro cisailé, chloritisé, en éponte d'une veine minéralisée portant des P.O., des produits métalliques gris clair et des P.N. (?). Contexte de fort cisaillement et chloritisation. Gabbro altéré dioritique. 2K-74: A couper et étudier en métallogénie. Le petit champ de blocs avoisinant 2K-73 contient plusieurs blocs anguleux de gabbro altéré, cisailé, identique à ceux du "S".		2K-74	Etude métallogénique
2N-35	5000	Bloc plurimétrique anguleux. Brèche gréso-dolomitique, altération poussée, minéraux dissous prismatiques. 2N-35		2N-35	U, Th Lame Mince

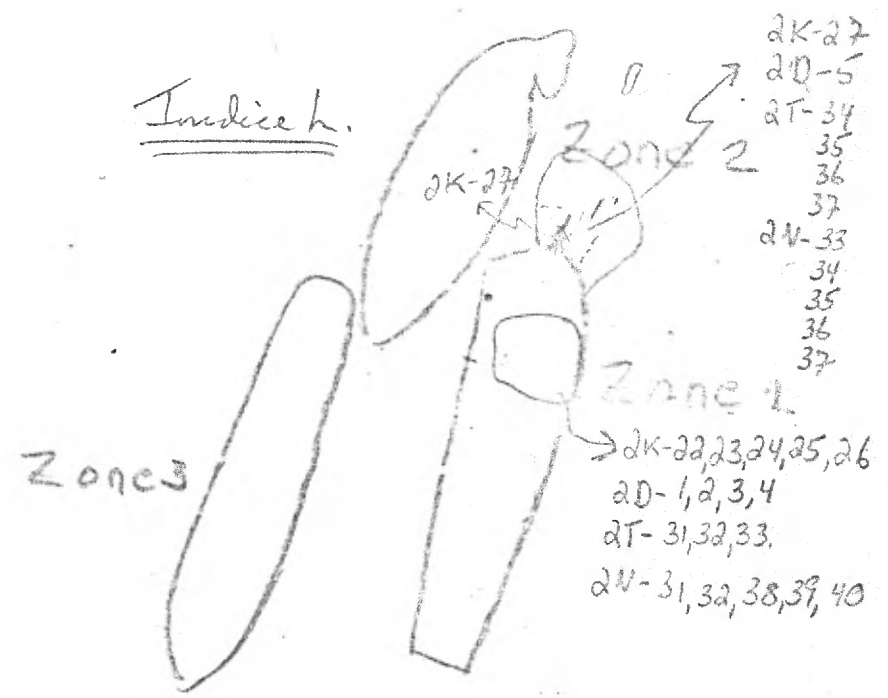
Statistiques Etude de l'indice "L"

STATION	RA SPP2	DESCRIPTION	FORMATION	ECHAN- TILLON	ANALYSE
2S-15	2500	Gabbro très altéré, vidé, texture extérieure conservée. 2S-15: Roche siliceuse très altérée.		2S-15a 2S-15	U, Th Lame Mince U, Th Lame Mince
2S-66	5000	Gabbro altéré, minéralisé. <u>Métal et P.N.</u>		2S-66	U, Th Lame Mince coupe

Priorité

- zones: 1
- +
- 2
- 3

Indices h.

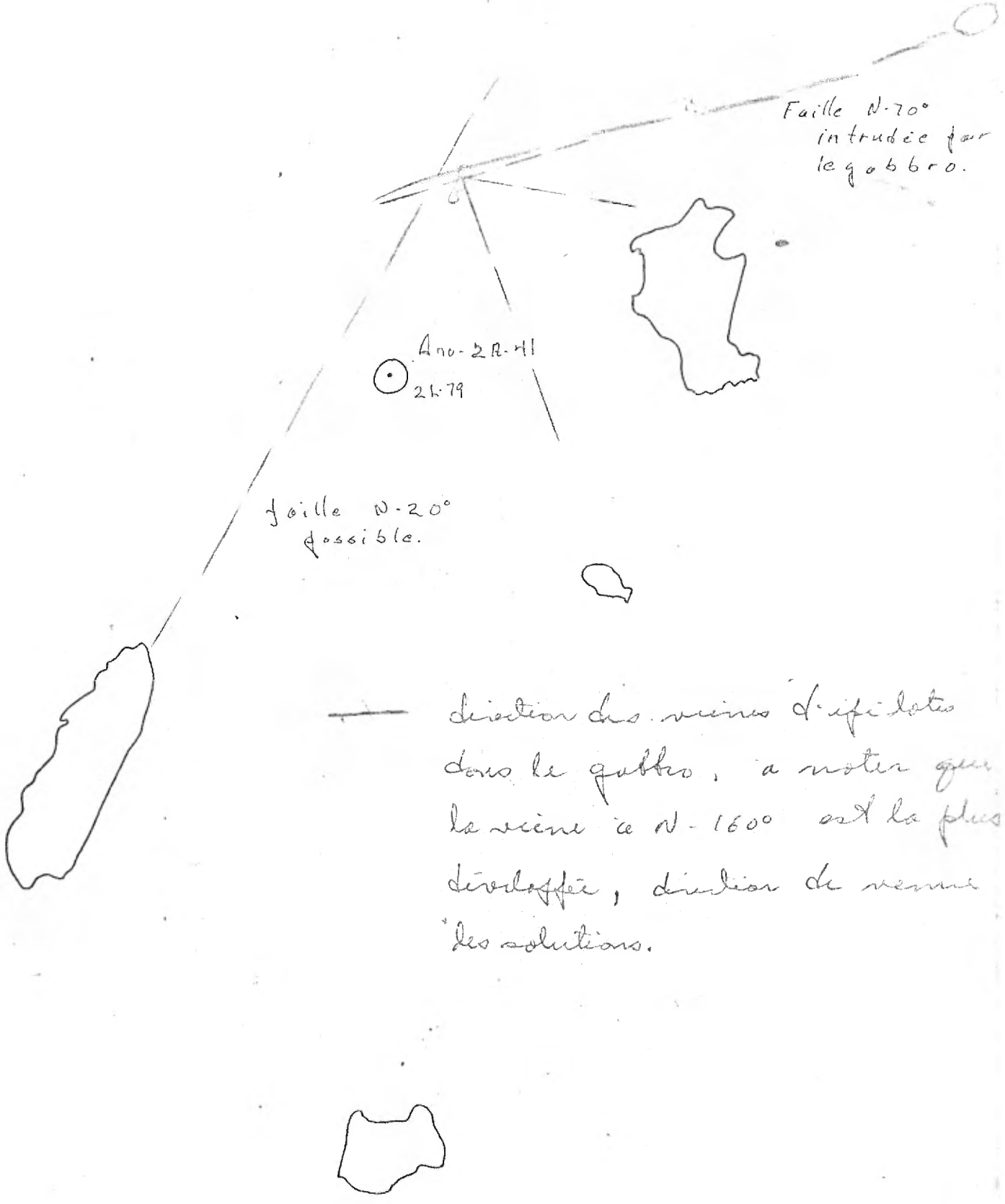


6 juillet, 1980

Marc Simard
 Daniel Tessier
 Rémi Blackburn
 Yves Rougerie
 Kilométrage: 1,5 km



P 64 322 73
 Q 64 322 78



PROJET: MONTS OTISH

FICHE D'ANOMALIE AU SOL

(CROQUIS DE SITUATION OU TRANSPARENT PHOTO CI-JOINT)

ANOMALIE NO.: 2A-42

AFFLEUREMENT

BLOC

PHOTO NO.: Propriété "G" sud

NTS: Mercator 5,764,280N
330,100E

DATE DE DECOUVERTE: 5.7.80

ORIGINE DE LA DECOUVERTE: Prospection au sol. Traverse 2C-59

RA MOUVEMENT PROPRE (c/s SPP2): 250-300 cps

RA MAXIMUM (c/s SPP2): 2600 cps

STATION NO.: 2M-122

FORMATION: Indicateur

DESCRIPTION PETROGRAPHIQUE: Arkose microconglomératique verdâtre à feldspaths recristallisés, grains de quartz subarrondis à subanguleux, mauvais tri. Passages plus fins. Zone anormale à altération ocre sur une des faces du bloc. L'anomalie sur une surface de 1 m X 70 cm, se poursuit sur un plan de fracture plongeant dans le bloc.

ANALYSE(S):

Spectrométrie:

				2M1226	2M1226
				Ct 660.9	652.4
				K 28.4	32.8
2AG-2	U: 132 ppm	Th: 55 ppm...L.M		U 21.1	23.9
2K-39	U: 560 ppm	Th: 175 ppm		Th 1.1	1.3

DESCRIPTION

BLOC:

L	l	e	S	V	P	p	AP	IE	IS	IEB	AZIMUT L

AFFLEUREMENT: RA max. 2600, s'étend dans le centre de la zone ocre sur une dizaine de cm. La zone de battement sur la majorité de la zone ocrée fait osciller le compteur entre 1800 et 2000 cps.

On note que, dans cette zone altérée, les feldspaths sont teintés (ils deviennent roses), que la roche peut être à granulométrie plus fine par endroits et qu'elle devient pulvérulente sous l'impact du marteau.

Bloc métrique: 2x3m d'arête, très anguleux. Zone anormale se situe sur une des faces (face sud) qui semble être une surface de fracture.

PROJET: MONTS OTISH

FICHE D'ANOMALIE AU SOL

(CROQUIS DE SITUATION OU TRANSPARENT PHOTO CI-JOINT)

ANOMALIE NO.: 2A-42

AFFLEUREMENT

BLOC

PHOTO NO.:

NTS:N-5,764,280
E-330,100

DATE DE DECOUVERTE: Le 5 juillet 1980

ORIGINE DE LA DECOUVERTE: Prospection au sol traverse 2C59

RA MOUVEMENT PROPRE (c/s SPP2): 200 cps

RA MAXIMUM (c/s SPP2): 1300 cps

STATION NO.: 2M123

FORMATION: Indicateur

DESCRIPTION PETROGRAPHIQUE: Idem à 2M122, voir page 1. Arkose micronconglomératique.
Bloc métrique (1m. d'arête) très anguleux, situé à 10 m au nord de 2M122

ANALYSE(S): Spectro:

CT	K	U	Th	U/Th
433.7	19.4	17.3	1.0	17.3

DESCRIPTION

BLOC:

L	l	e	S	V	P	p	AP	IE	IS	IEB	AZIMUT L

AFFLEUREMENT:

PROJET: MONTS OTISH

FICHE D'ANOMALIE AU SOL

(CROQUIS DE SITUATION OU TRANSPARENT PHOTO CI-JOINT)

ANOMALIE NO.: 2A-42

AFFLEUREMENT

BLOC

PHOTO NO.:

MERCATOR: 5,764,280 - N
330,100 - E

DATE DE DECOUVERTE: Le 5 juillet 1980

ORIGINE DE LA DECOUVERTE: Prospection au sol. Traverse 2C-59

RA MOUVEMENT PROPRE (c/s SPP2): 175 cps - 200 cps

RA MAXIMUM (c/s SPP2): 1000 cps

STATION NO.: 2M-124

FORMATION: Indicateur

DESCRIPTION PETROGRAPHIQUE: Idem à 2M-122, 2M-123. Arkose microconglomératique
situé à 20m à l'est de 2M-122.

ANALYSE(S): Spectro:

Ct	K	U	Th	U/Th
308.7	13.2	5.9	8.5	0.7

DESCRIPTION

BLOC:

L	l	e	S	V	P	p	AP	IE	IS	IEB	AZIMUT L

AFFLEUREMENT:

PROJET: MONTS OTISH

FICHE D'ANOMALIE AU SOL

(CROQUIS DE SITUATION OU TRANSPARENT PHOTO CI-JOINT)

ANOMALIE NO.: 2A-42

AFFLEUREMENT

BLOC

PHOTO NO.:

DATE DE DECOUVERTE: le 5 juillet 1980

ORIGINE DE LA DECOUVERTE: Prospection au sol. Traverse 2C-59

RA MOUVEMENT PROPRE (c/s SPP2): 300 cps

RA MAXIMUM (c/s SPP2): 3500 cps

STATION NO.: 2M125

FORMATION: Indicateur

DESCRIPTION PETROGRAPHIQUE: Arkose microconglomératique idem à 2M-122 à la différence que la zone anormale maximum est de granulométrie assez fine (grès fin, à la limite du silt) sous forme de poche à enclave d'une dizaine de centimètres d'arête contenue dans l'arkose.

ANALYSE(S): Spectro

Ct	K	U	Th	U/Th
1020.2	51.6	39.4	2.6	15.2

DESCRIPTION

BLOC:

L	l	e	S	V	P	p	AP	IE	IS	IEB	AZIMUT L

AFFLEUREMENT:

PROJET: MONTS OTISH

FICHE D'ANOMALIE AU SOL

(CROQUIS DE SITUATION OU TRANSPARENT PHOTO CI-JOINT)

ANOMALIE NO.: 2A-42

AFFLEUREMENT

BLOC

PHOTO NO.: Orthophoto "G" sud
sud-ouest du lac Tomakawk

NTS:

DATE DE DECOUVERTE: le 14 juillet 1980

ORIGINE DE LA DECOUVERTE: Prospection en suivi sur 2A-42

RA MOUVEMENT PROPRE (c/s SPP2):

RA MAXIMUM (c/s SPP2):

STATION NO.: 2K-32 à 2K-43 plus AG-1 à AG-4

FORMATION: Indicateur

DESCRIPTION PETROGRAPHIQUE: Voir feuille attachée

ANALYSE(S):

DESCRIPTION

BLOC:

L	l	e	s	v	P	p	AP	IE	IS	IEB	AZIMUT L

AFFLEUREMENT:

ANOMALIE 2A-42

2K-32	Ct	K	U	Th	U/Th
1100 cps	303.9	15.2	8.6	0.5	17.2
Grès arkosique de couleur blanchâtre à grains grossiers.					
2K-33	Ct	K	U	Th	U/Th
1900 cps	680.7	32.8	18.1	2.3	7.75
Grès arkosique à faciès orangé à cailloux flottants et grains moyens de quartz avec grains orangés de feldspath. Bloc enfoui sous la mousse.					
2K-34	Ct	K	U	Th	U/Th
1500 cps	467.9	22.5	13.2	1.8	7.2
Grès arkosique grossier. Bloc de 30 cm X 25 cm X ? enfoui sous la mousse sub-arrondi.					
2K-35	Ct	K	U	Th	U/Th
1100 cps	428.1	22.7	14.9	0.9	16.5
Bloc sub-arrondi 75 cm X 50 cm X 35cm Arkose à subarkose grains moyens quelques grains grossiers et cailloux flottants. Zone active sur une fracture.					
2K-36	Ct	K	U	Th	U/Th
2500 cps	904.5	43.9	31.9	1.8	17.72
Subarkose blanche à grains grossiers et une arkose à teinte orange et grains moyens. Zone active dans faciès orangé.					

	Ct	K	U	Th	U/Th
2K-37					
1,100 cps	428.8	21.3	12.2	1.3	9.35
	Bloc de grès arkosique complètement enfoui dans le sol, semble arrondi, faciès orangé arkosique à grains moyens à grossiers. Taille indéterminée.				
2K-38					
2,800 cps effet de trou	624.3	34.8	19.8	1.6	12.6
	Arkose orangé à grains grossiers avec cailloux flottants: gros bloc enfoui 1.5 m X 1 m X 1m?				
2K-39					
3,000 cps	937.4	49.8	36.9	2.4	15.2
	Gros bloc sub-arrondi avec 2 faciès: une sub-arkose blanche à grains grossiers et une arkose orangée et à granulométrie moyenne à grossière. Faciès orangé actif.				
2K-40					
1050 cps	326.7	19.1	13.0	0.6	20.5
	Gros bloc avec les 2 faciès identiques à 2K-39 2 m X 2 m X 1.5 m				
2K-41					
2,200 cps	424.6	21.5	14.8	1.0	15.3
	Grès arkosique visible 20 cm X 130 cm X >100 cm sub-arrondi.				
2K-42					
2,500 cps	593.3	29.5	23.3	1.5	15.17
	Grès arkosique orangé grains grossiers. Bloc enfoui approx. 60 X 40 X 30 cms				

2K-43	Ct	K	U	Th	U/Th
1,600 cps	765,1	40.5	30.0	1.0	29.06

Bloc arrondi approx. 40 X 25 X 20 cm.

Arkose de couleur ocre pâle (orangé) à rosâtre, quelques galets (5cm) et granulométrie moyenne à grossière microconglomératique. Zone active situé à un niveau plus quartzeux: sub-arkosique.

2K-44	Ct	K	U	Th	U/Th
	280.3	17.0	8.9	0.5	17.7

Bloc immergé semble être du faciès orangé: arkosique.

Quatre blocs AG 1, 2, 3, 4

Bloc AG 3	Ct	K	U	Th	U/Th
	563.7	32.6	19.9	1.3	15.35

Bloc arrondi avec un cercle de faciès orangé dans de la sub-arkose blanche avec une tache grise au centre d'un autre halo plus rosâtre.

PROJET:

FICHE D'AFFLEUREMENT

DATE:

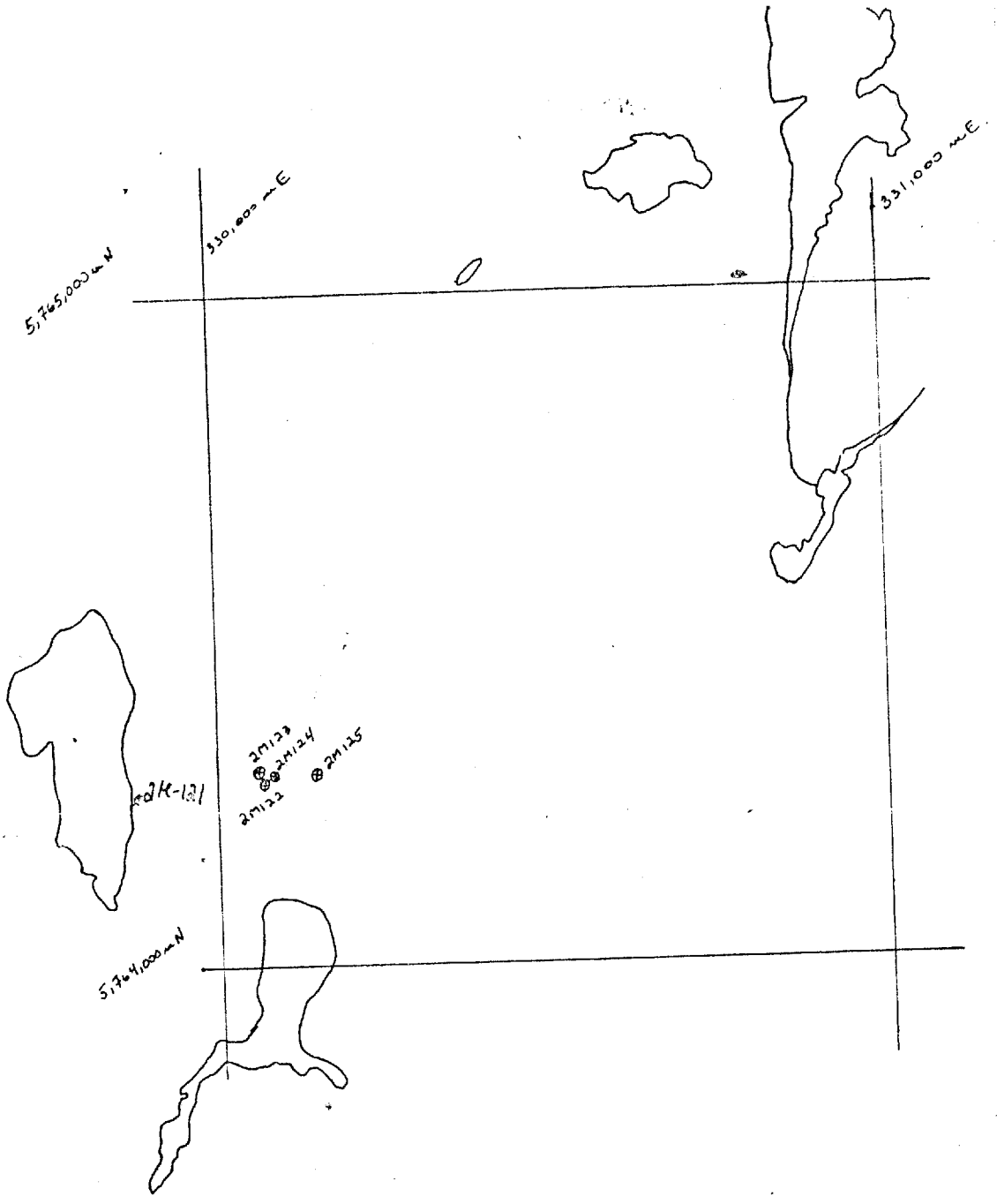
LOCALISATION:

STATISTIQUE: Etude sommaire 2A-42

KM DE COUPE:

KM RADIOMETRE:

STATION	RA SPP2	DESCRIPTION	FORMATION	ECHAN- TILLON	ANALYSE
AG-2 Ano. 2A-42	1300	Microconglomérat à faciès ocre minéral noir AG-2		2AG-2	U, Th Lame mince
2K-39		Le faciès ocre n'est pas contrôlé par la granulométrie, l'ensemble est homogène faciès blanc, faciès ocre.		2K-39	U, Th
AG-3		Photo no. 10: auréole ocre et rouge sur bloc actif.			
		NOTE: Les blocs minéralisés appartiennent à du délogement glaciaire (sub en place). Ces blocs très dispersés témoignent de l'affleurement sous jacent. Minéralisation diffuse erratique dans un faciès de sub-arkose microconglomératique à faciès ocre. Les faciès verts ou blanc verdâtre sont à l'occasion minéralisés, mais en général la minéralisation est toujours à proximité. Note: les stations AG-1 à AG-4 ont été étudiées par Alain Girard.			



PROJET: MONTS OTISH

FICHE D'ANOMALIE AU SOL

(CROQUIS DE SITUATION OU TRANSPARENT PHOTO CI-JOINT)

ANOMALIE NO.: 2A-43

AFFLEUREMENT

BLOC

PHOTO NO.: Orthophoto propriété "G" sud

NTS: N - 5,759,750

E - 324,050

DATE DE DECOUVERTE: le 7 juillet 1980

ORIGINE DE LA DECOUVERTE: Prospection au sol

RA MOUVEMENT PROPRE (c/s SPP2):

RA MAXIMUM (c/s SPP2): 1800

STATION NO.: 2K-28

FORMATION: Indicateur

DESCRIPTION PETROGRAPHIQUE: Grès feldspathique à subarkose microconglomératique à niveaux conglomératiques. Verdâtre à l'altération. RA maxi sur faciès ocre. Plusieurs points >1000 cps.

ANALYSE(S):

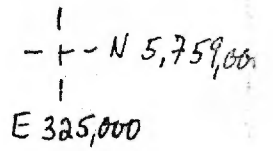
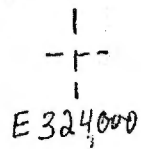
Tc	K	U	Th	U/Th
561.9	30.4	20.0	0.8	25

DESCRIPTION

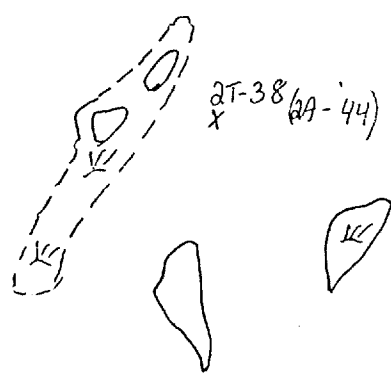
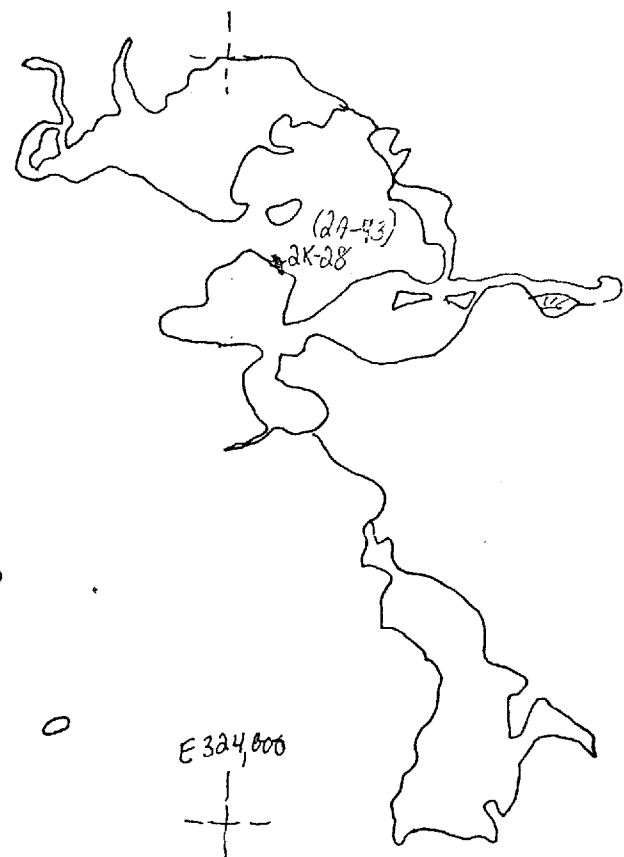
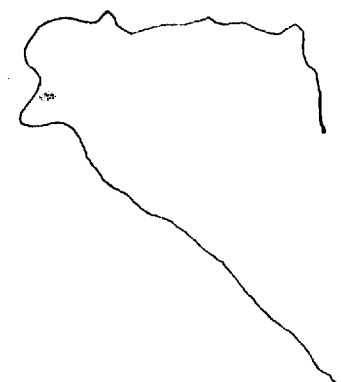
BLOC:

L (m)	l (m)	e (m)	S	V	P	p	AP	IE	IS	IEB	AZIMUT L
5	3	2									

AFFLEUREMENT:



E 323,000
N 5,760,000



E 323,000
N 5,759,000

E 324,000

○ 2A-5



Orthophoto, G sud

PROJET: MONTS OTISH

FICHE D'ANOMALIE AU SOL

(CROQUIS DE SITUATION OU TRANSPARENT PHOTO CI-JOINT)

ANOMALIE NO.: 2A-44

AFFLEUREMENT

BLOC

PHOTO NO.: G sud (voir 2A-43)

NTS: N - 5,759,430
E - 323,455

DATE DE DECOUVERTE: le 7 juillet 1980

ORIGINE DE LA DECOUVERTE: Prospection au sol

RA MOUVEMENT PROPRE (c/s SPP2):

RA MAXIMUM (c/s SPP2): 1800 cps

STATION NO.: 2T-38

FORMATION:

DESCRIPTION PETROGRAPHIQUE:

ANALYSE(S):

DESCRIPTION

BLOC:

L	l	e	S	V	P	p	AP	IE	IS	IEB	AZIMUT L

AFFLEUREMENT:

PROJET: MONTS OTISH

FICHE D'ANOMALIE AU SOL

(CROQUIS DE SITUATION OU TRANSPARENT PHOTO CI-JOINT)

ANOMALIE NO.: 2A-45

AFFLEUREMENT

BLOC

PHOTO NO.: Q64362-44 "G" nord

NTS: 23D/3

N - 5,767,950

DATE DE DECOUVERTE: le 11 juillet 1980

E - 331,400

ORIGINE DE LA DECOUVERTE: Prospection scintillométrique

RA MOUVEMENT PROPRE (c/s SPP2): environ 100

RA MAXIMUM (c/s SPP2): 1600 cps

STATION NO.: 2J-156

FORMATION: Indicateur

DESCRIPTION PETROGRAPHIQUE: Sub-arkose verte environ 15 à 20% de feldspaths plus ou moins recristallisés, un peu schistosée, microconglomératique à cailloux de quartz, tri mauvais, grain grossier. RA maximale sur tache ocre.

ANALYSE(S): Non échantillonnable

DESCRIPTION

BLOC:

L	l	e	S	V	P	p	AP	IE	IS	IEB	AZIMUT L

AFFLEUREMENT:



2A45
① 2J156



Q64362
43

PROJET: MONTS OTISH

FICHE D'ANOMALIE AU SOL

(CROQUIS DE SITUATION OU TRANSPARENT PHOTO CI-JOINT)

ANOMALIE NO.: 2A-46

AFFLEUREMENT

BLOC

PHOTO NO.: Q 64359-49

NTS: 23D/7 23D/2
52°15'
76°54'

DATE DE DECOUVERTE: le 14 juillet 1980

ORIGINE DE LA DECOUVERTE: Vérification d'anomalies radiométriques héliportées

RA MOUVEMENT PROPRE (c/s SPP2): ?

RA MAXIMUM (c/s SPP2): 1500 cps

STATION NO.: 2J188

FORMATION: Dolomie, Pérignonca

DESCRIPTION PETROGRAPHIQUE: Arénite dolomitique, verte, silicifiée, contenant plusieurs veinules de calcite verte ainsi qu'une veinule de quartz produite par une exsudation de la silice (lors de dynamo-métamorphisme). L'échantillon montre beaucoup de stries de glissement. Chlorite et micas.

ANALYSE(S): Spectromètre Tc K U Th U/Th
493.4 28.1 19.2 1.25 15.4

DESCRIPTION

2 J - 1 e.g.
Bloc désagrégé *(865 ftm N.D.)*

BLOC:

L cm	l cm	e cm	S	V	P	p	AP	IE	IS	IEB	AZIMUT L
~40	~30	~15									?

AFFLEUREMENT: Le bloc se situe en bordure d'un marécage. La région en amont glaciaire a été prospectée en deux occasions sans qu'aucun autre bloc minéralisé ne soit découvert.



Q6435:
49

PROJET: MONTS OTISH

FICHE D'ANOMALIE AU SOL

(CROQUIS DE SITUATION OU TRANSPARENT PHOTO CI-JOINT)

ANOMALIE NO.: 2A-47

AFFLEUREMENT

BLOC

PHOTO NO.: Orthophoto G-Sud

NTS: Pointe sud Lac Tomahawk

E - 330,800

DATE DE DECOUVERTE: Juillet 1980

N - 5,764,700

ORIGINE DE LA DECOUVERTE: Prospection

RA MOUVEMENT PROPRE (c/s SPP2):

RA MAXIMUM (c/s SPP2): 2,000 et 2,300 cps

STATION NO.: 2K31, 2K38

FORMATION: Indicateur

DESCRIPTION PETROGRAPHIQUE: Grès sub-arkosique avec hématisation des feldspaths début de schistosité. Points actifs dans les fractures.

ANALYSE(S):

Ct K U Th U/Th

2K31 611.2 28.6 13.7 2.1 6.5

2K38 697.3 35.0 26.7 1.3 20.5

DESCRIPTION

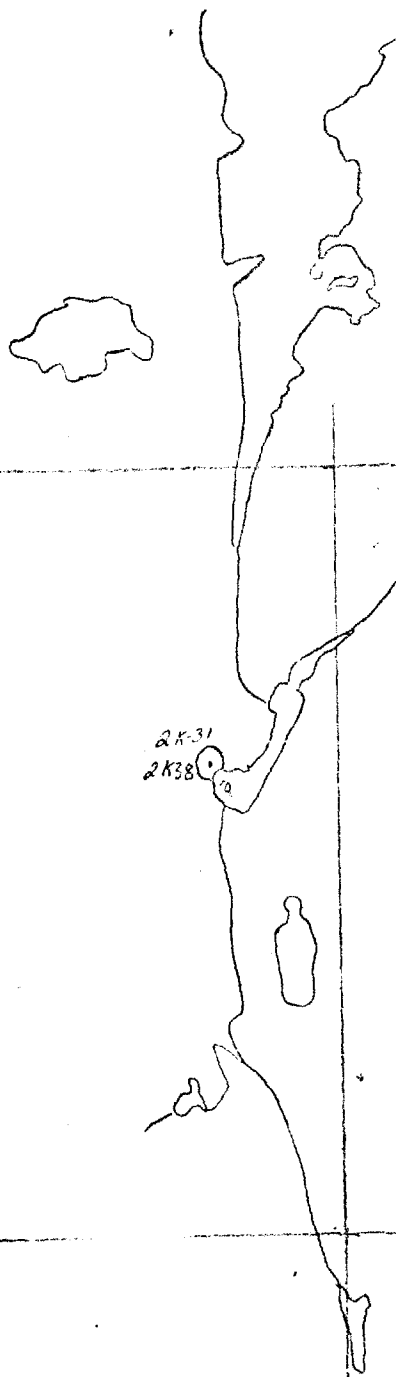
BLOC:

L	l	e	S	V	P	p	AP	IE	IS	IEB	AZIMUT L

AFFLEUREMENT:

Blocs sub-angulaires distants l'un de l'autre de 2 mètres au pied d'une pente d'éboulis sur le versant d'un linéament visible dans le prolongement sud du lac Tomahawk.

ORTHO PHOTO G SVD



5,765,000

2K-31
2K38

20

5,184,000

E 330,000

E 331,000

PROJET: MONTS OTISH

FICHE D'ANOMALIE AU SOL

(CROQUIS DE SITUATION OU TRANSPARENT PHOTO CI-JOINT)

ANOMALIE NO.: 2A-48

AFFLEUREMENT

BLOC

PHOTO NO.: Orthophoto "G" sud

NTS: E - 330,950
N - 5,764,150

DATE DE DECOUVERTE: 15 juillet 1980

ORIGINE DE LA DECOUVERTE: prospection

RA MOUVEMENT PROPRE (c/s SPP2): 250

RA MAXIMUM (c/s SPP2): 1100 cps

STATION NO.: 2T-42

FORMATION: Indicateur

DESCRIPTION PETROGRAPHIQUE: Grès à passées conglomératiques épaisses d'un mètre ou plus, composées de cailloux de quartz avec matrice gréseuse. Présence de quelques fragments de feldspath (cm) <5% dans le paraconglomérat. La dimension des cailloux de quartz varie entre 0.5 et 3 cm.

ANALYSE(S): Spectromètre: Ct K U Th U/Th
2T-42 281.7 13.4 5.7 7.6 0.8

DESCRIPTION

BLOC:

L	l	e	S	V	P	p	AP	IE	IS	IEB	AZIMUT L

AFFLEUREMENT:

Ce bloc anomal fait partie d'une série rattachée à un affleurement en amont glaciaire à moins de 100 mètres au nord. Cet affleurement montre les passées de conglomérat à matrice gréseuse sub-arkosique à R.A. moyenne 250 à 300. Tandis que les zones de sub-arkoses blanches montrent une R.A. moyenne de 75 cps, les zones conglomératiques actives sont soulignées par des altérations ocre la plupart du temps. Cet affleurement a déjà été exploité comme en témoignent les vestiges d'un vieux camp et les débris de "Blasting" sautage.

ORTHOPHOTO

G-NRD

Q. SUB

IAC
TOMAHAWK

E 330,000

E 331,000

5,765,00

Q JT-42

5,764,000

2A 48

17 21 50

ORTHOPHOTO 1:10,000
Q. SUB

PROJET: MONTS OTISH

FICHE D'ANOMALIE AU SOL

(CROQUIS DE SITUATION OU TRANSPARENT PHOTO CI-JOINT)

ANOMALIE NO.: 2A-49

AFFLEUREMENT

BLOC

PHOTO NO.: "G" nord orthophoto

NTS: E - 330,800

N - 5,767,300

DATE DE DECOUVERTE:

ORIGINE DE LA DECOUVERTE: Prospection

RA MOUVEMENT PROPRE (c/s SPP2):

RA MAXIMUM (c/s SPP2): 1100 cps

STATION NO.: 2T-9

FORMATION: Indicateur

DESCRIPTION PETROGRAPHIQUE: Grès sub-arkose à cailloux flottants (Qtz)

ANALYSE(S):

	Ct	K	U	Th	U/Th
2T-9	256.2	11.9	4.9	6.4	0.8

DESCRIPTION

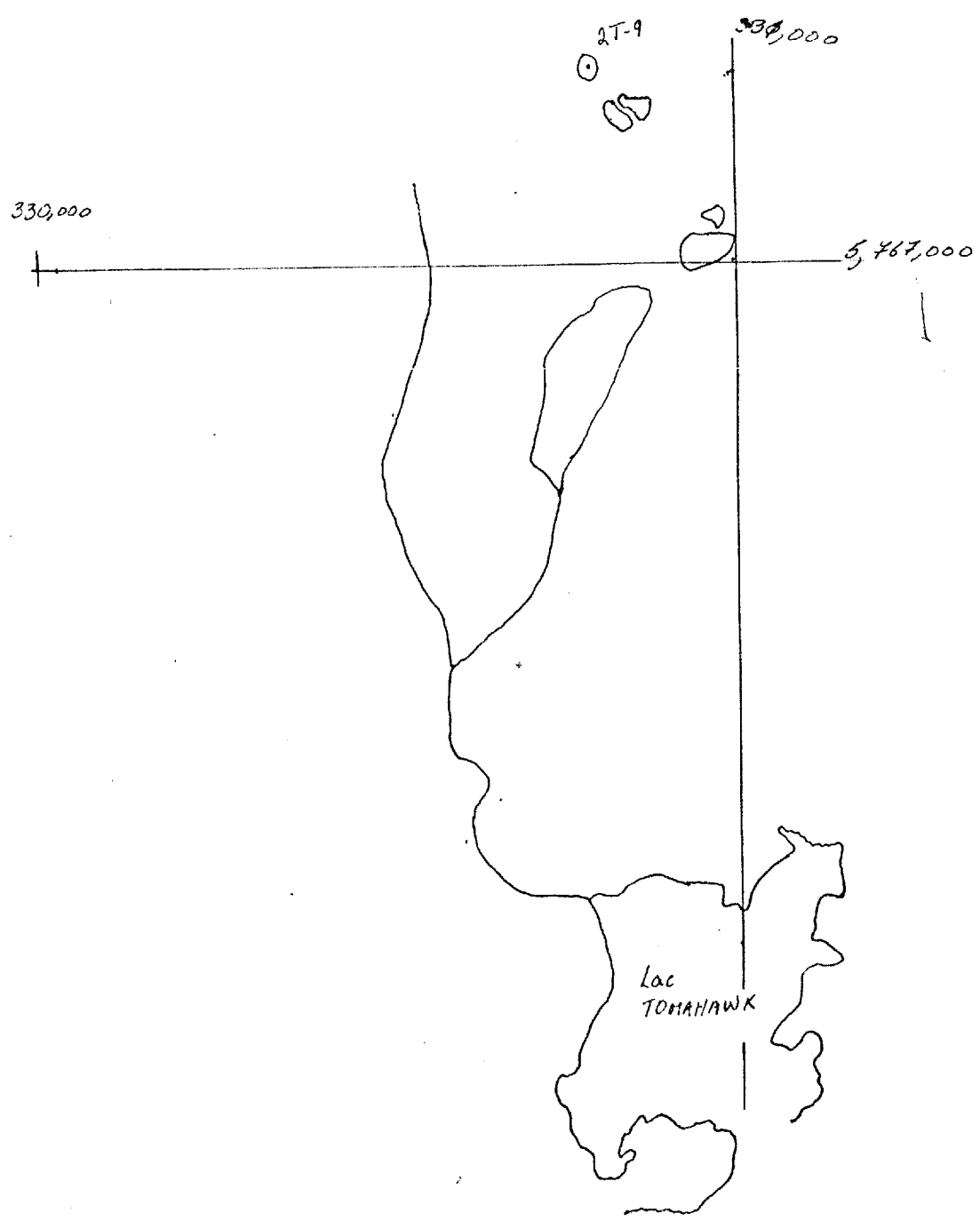
BLOC:

L	l	e	S	V	P	p	AP	IE	IS	IEB	AZIMUT L

AFFLEUREMENT: Bloc non enfoui sub-angulaire. Couleur générale blanchâtre avec en cassure fraîche des feldspaths rose saumon. Quelques galets de quartz environ 5cm.

ANOMALIE 44

ORTHO PHOTO
"G" NORD



PROJET: MONTS OTISH

FICHE D'ANOMALIE AU SOL

(CROQUIS DE SITUATION OU TRANSPARENT PHOTO CI-JOINT)

ANOMALIE NO.: 2A-50

AFFLEUREMENT

BLOC

PHOTO NO.: Orthophoto "G" sud au nord du lac

NTS: E - 327,300
N - 5,765,700

DATE DE DECOUVERTE: juillet 1980

ORIGINE DE LA DECOUVERTE: Prospection

RA MOUVEMENT PROPRE (c/s SPP2):

RA MAXIMUM (c/s SPP2): 1100

STATION NO.: 2T-41

FORMATION: Indicateur

DESCRIPTION PETROGRAPHIQUE: Grès sub-arkosique à grains moyens

ANALYSE(S): Spectromètre Ct K U Th U/Th
2T-41 397.9 22.0 12.4 1.0 12.4

DESCRIPTION

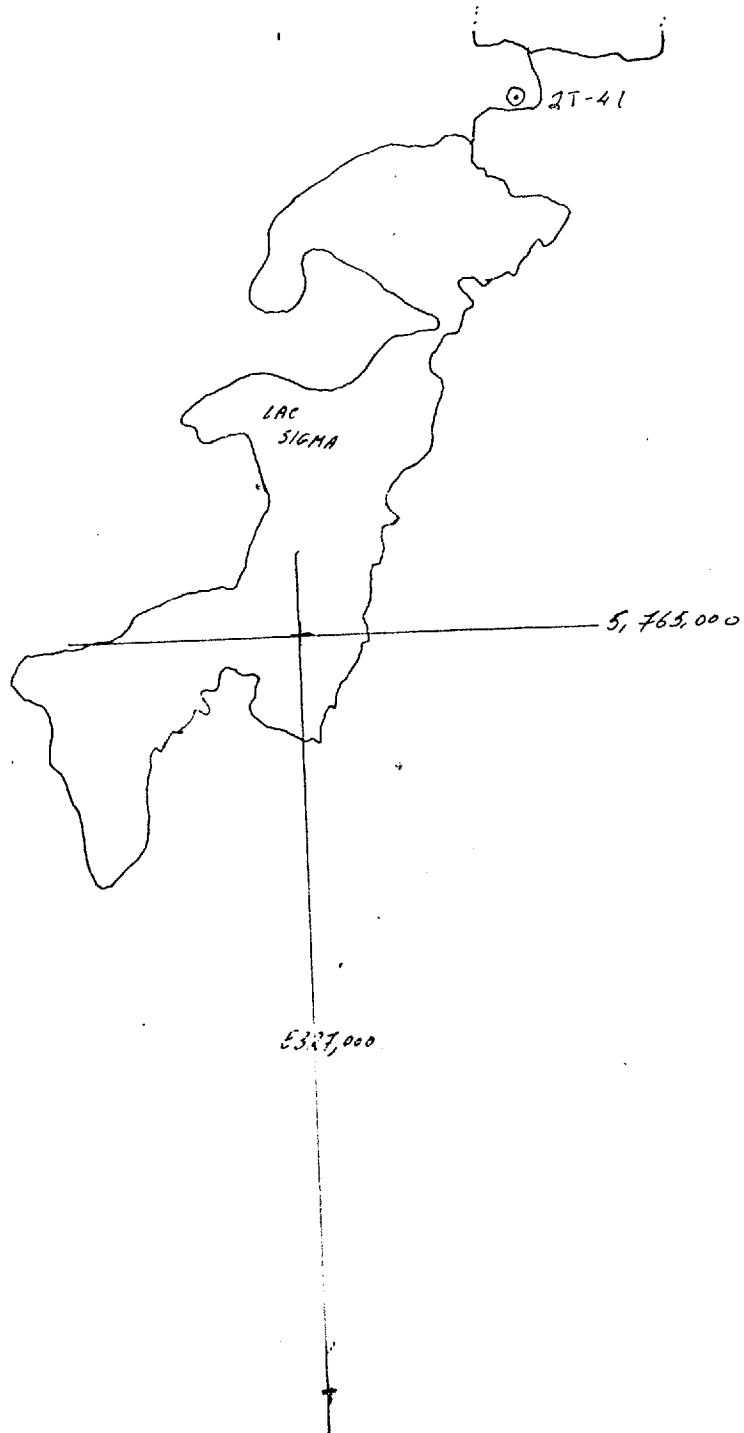
BLOC:

L	l	e	S	V	P	p	AP	IE	IS	IEB	AZIMUT L

AFFLEUREMENT: Bloc arrondi enfoui de mesures approximatives

ORTHO PHOTO
"G" 500

2A-50



PROJET: MONTS OTISH

FICHE D'ANOMALIE AU SOL

(CROQUIS DE SITUATION OU TRANSPARENT PHOTO CI-JOINT)

Est du "G" hors-permis

ANOMALIE NO.: 2A-51

AFFLEUREMENT

BLOC

PHOTO NO.: Q64372-186

NTS: 22M/14
≈52°, 59'
71°, 16'

DATE DE DECOUVERTE: 20 juillet 1980

ORIGINE DE LA DECOUVERTE: Prospection scintillométrique

RA MOUVEMENT PROPRE (c/s SPP2):

RA MAXIMUM (c/s SPP2): 1850 cps

STATION NO.: 2J166

FORMATION: Indicateur

DESCRIPTION PETROGRAPHIQUE: Orthoconglomérat polymicte à cailloux de quartz (90%). Quartzite rouge (5%) volcanite? acides? galets? noirs. Diamètre max. des cailloux 3 cm matrice d'arkose vert grossier, ciment argileux. R.A. max. sur tache ocre. Schistosé.

ANALYSE(S): Spectromètre: Tc K U Th U/Th
73.3 3.8 1.3 1.7 0.7

DESCRIPTION

BLOC:

L	l	e	S	V	P	p	AP	IE	IS	IEB	AZIMUT L
				1 m ³							

AFFLEUREMENT:

2J166
2.A51



0

0

B

0



Q64372
186

PROJET: MONTS OTISH

FICHE D'ANOMALIE AU SOL

(CROQUIS DE SITUATION OU TRANSPARENT PHOTO CI-JOINT)

ANOMALIE NO.: 2A-52

AFFLEUREMENT

BLOC

PHOTO NO.: Q63142-168

échelle 1:31,680

NTS:

23D/3

52°02' - 71°21'

DATE DE DECOUVERTE: Le 21 juillet 1980

ORIGINE DE LA DECOUVERTE: Coupe géologique

RA MOUVEMENT PROPRE (c/s SPP2): 100

RA MAXIMUM (c/s SPP2): 2,000

STATION NO.: 2L-170

FORMATION: Indicateur

DESCRIPTION PETROGRAPHIQUE: Sub-arkose grossier à faciès rouge et localement faciès ocre.

ANALYSE(S):
2L-170a U, Th 27.5 / 822
2L-170b U, Th 6.7 / 201
2L-170c U, Th 0.9 / 14

DESCRIPTION

<u>BLOC:</u>	L	l	e	S	V	P	p	AP	IE	IS	IEB	AZIMUT L
					environ 80m ³							

AFFLEUREMENT: Bloc anguleux minéralisé localement sur plan de fractures ou joints fortement hématisés et limonitisés. Les felds. sont roses à rouges.

Spectromètre	Tc	K	U	Th	U/Th
	93.7	3.7	2.1	2.4	<0.89



⊗ 24-120
24-52.



Q 63 142-168

Scale 1:31,000

PROJET: MONTS OTISH

FICHE D'ANOMALIE AU SOL

(CROQUIS DE SITUATION OU TRANSPARENT PHOTO CI-JOINT)

ANOMALIE NO.: 2A-53

AFFLEUREMENT

BLOC

PHOTO NO.: Q63142-169 échelle: 1:31,680

NTS: Est du "G"-23D/3
52°04', 71°23'

DATE DE DECOUVERTE: 19 juillet 1980

ORIGINE DE LA DECOUVERTE: Géologie au sol 2C-82

RA MOUVEMENT PROPRE (c/s SPP2): 100-125

RA MAXIMUM (c/s SPP2): 3000

STATION NO.: 2L-138

FORMATION: Indicateur

DESCRIPTION PETROGRAPHIQUE: Grès feldspathique à sub-arkose verte, grain moyen, faciès ocre.

ANALYSE(S):
2L-138a U/Th 61/7
2L-138f U/Th 1.4/1
2L-138e U/Th 31/18

DESCRIPTION

BLOC:

L	l	e	S	V	P	p	AP	IE	IS	IEB	AZIMUT L

AFFLEUREMENT: L'anomalie se situe dans des grès feldspathiques à sub-arkose verte faciès ocre, grain moyen à fin. Ce niveau de grès feldspathique marque le passage des orthoquartzites massifs et "pseudo-éoliens" à des sub-arkoses blanches, grain moyen à gros. Faciès noirs dans les quartzites. Les points actifs se suivent régulièrement sur une distance de 87 m selon la direction N-165°. Apparemment, il y aurait un contrôle lithologique et structural.

ETUDES AU SPECTROMETRE

2L-138b	#station	temps d'intégration # séd.	Tc	K	U	Th	U/Th
2L-138a							
2L-138c	2L-138a	100	1091	54	40.5	2.9	18.5
2L-138d	2L-138b	10	239	14	6.7	0.5	13.4
	2L-138c	10	230	13.2	6.8	0.6	11.3
2L-138e	2L-138d	10	188	11.7	5.5	0.8	6.8
	2L-138e	10	187	10.8	6.1	0.8	7.6

L'anomalie est U d'après le spectromètre. La minéralisation semble localisée davantage sur les faciès fins arkosiques à sub-arkosiques en comblement sur des conglomérats ou micro-conglomérats.

Au moins deux niveaux stratigraphiques sont minéralisés et sont localisés à plus de 3 mètres l'un de l'autre. Comme sur le "G" le contrôle est à la fois lithologique et structural.

PROJET:

FICHE D'AFFLEUREMENT

DATE: Le 2 août 1980

LOCALISATION:

STATISTIQUE: Blocs de l'anomalie 2A-53

KM DE COUPE:

KM RADIOMETRE:

STATION	RA SPP2	DESCRIPTION	FORMATION	ECHAN- TILLON	ANALYSE										
2N-60	1250	<p>Sur l'affleurement.</p> <p>Spectromètre 10 sec.</p> <table> <tr> <td>Tc</td> <td>K</td> <td>U</td> <td>Th</td> <td>U/Th</td> </tr> <tr> <td>581</td> <td>33</td> <td>19.8</td> <td>1.8</td> <td>11.0</td> </tr> </table> <p>Sub-arkose blanche à faciès ocre.</p>	Tc	K	U	Th	U/Th	581	33	19.8	1.8	11.0			
Tc	K	U	Th	U/Th											
581	33	19.8	1.8	11.0											
2T-61	2500	<p>Sur l'affleurement.</p>													
2T-62		<p>Spectromètre 10 sec.</p> <table> <tr> <td>Tc</td> <td>K</td> <td>U</td> <td>Th</td> <td>U/Th</td> </tr> <tr> <td>761</td> <td>36.5</td> <td>25.6</td> <td>1.4</td> <td>18.3</td> </tr> </table> <p>Sub-arkose grain moyen à faciès ocre.</p>	Tc	K	U	Th	U/Th	761	36.5	25.6	1.4	18.3			
Tc	K	U	Th	U/Th											
761	36.5	25.6	1.4	18.3											
2T-63	1250	<p>Bloc de taille centimétrique ~60cm X 50cm X 60cm</p> <p>Spectromètre 10 sec.</p> <table> <tr> <td>Tc</td> <td>K</td> <td>U</td> <td>Th</td> <td>U/Th</td> </tr> <tr> <td>411</td> <td>20.9</td> <td>12.9</td> <td>1.2</td> <td>10.8</td> </tr> </table> <p>Sous-arrondi, il est actif de 500-1250 sur 80% de son volume. Sub-arkose micro-conglomératique, blanc verdâtre, schistosée</p>	Tc	K	U	Th	U/Th	411	20.9	12.9	1.2	10.8			
Tc	K	U	Th	U/Th											
411	20.9	12.9	1.2	10.8											

Statistiques Bloc de l'anomalie 2A-53

STATION	RA SPP2	DESCRIPTION	FORMATION	ECHAN- TILLON	ANALYSE
2T-63a		Subarkose microconglomératique à lamination très fine.		2T-63a	319/ U/Th
2T-54	750	Bloc 45cm X 40cm X 20cm. Grès feldspathique laminé à faciès ocre. Faciès de comblement dans un microconglomérat. Tranche minéralisée dans le bloc ~20cm. d'épaisseur.			
2T-55	1400	Dans un trou, impossible de voir le faciès porteur Spectromètre 10 sec. Tc K U Th U/Th 387 21 13.0 1.2 10.8			
	350	Bloc au-dessus du point anomal. Tc K U Th U/Th 132 9 3.6 0.6 6.0			
	300	2T-55a Subarkose blanche, laminée, à deux granulométries.		2T-55a	19/ U/Th
2T-56	1400	Effet de trou. Grès feldspathique à faciès ocre.			
2T-56a	200	Sub-arkose blanche fond géochimique.		2T-56a	114/ U/Th
2T-58	5000	Sur affleurement. Spectromètre 10 sec. Tc K U Th U/Th 1423 64.5 56.6 2.8 20.2 Sub-arkose blanche minéralisée sur paraclase orientée N125. Minéralisation			

Statistiques Anomalie no. 2A-53

STATION	RA SPP2	DESCRIPTION	FORMATION	ECHAN- TILLON	ANALYSE
2T-58 suite		très ponctuelle, faciès ocre, roche très schistosée une tache environ 30 cm X 15 cm.			
2T-58a		Produits jaunes visibles et produit vert.			
2T-57	1600	Faciès ocre minéralisé.		2T-58a	
		Sur affleurement.			
2T-59	1100	Effet de trou sur affleurement.			

Statistiques Bloc de l'anomalie 2A-53

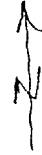
STATION	RA SPP2	DESCRIPTION	FORMATION	ECHAN- TILLON	ANALYSE
2N-55	1200	<p>Spectromètre 10 sec.</p> <p>Tc K U Th U/Th</p> <p>335 7.2 11.3 0.6 19.9</p> <p>Bloc centimétrique sous-arrondi de sub-arkose blanche à faciès ocre.</p>			
2N-54	1000	Bloc sub-arkose blanche à faciès ocre, quelques produits secondaires jaunes.			
2N-57	1250	Bloc			

2A-53

station	Unité	contexte Géologique	R.A.	U	Th	U/Th
2L-138a	10	Grès feldspathique à sub-arkose, faciès ocre, minéralisation en fracture, IDEM "G"	3000	61	7	9
2L-138f	11		35	1.4	1	1,4
2L-138e	10		500	31	18	1,75
2T-63a	7		1250	319	19	17
2T-55a	9		1300	19	32	0,5
2T-56	9		200	114	16	7
2T-58	9		5000	1360	10	136



x
24-138
2A-53



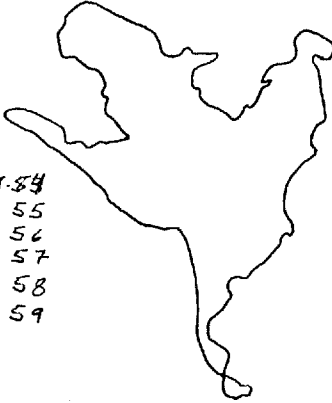
Q 63 142-169

A. nansu 2A-53

2N-60 }
2T-61 }
62 }
63 }

2T-54

2N-54
2N-55 }
56 }
57 }
58 }
59 }



55
56
57
58
59

PROJET: MONTS OTISH

FICHE D'ANOMALIE AU SOL

(CROQUIS DE SITUATION OU TRANSPARENT PHOTO CI-JOINT)

ANOMALIE NO.: 2A-54

AFFLEUREMENT

BLOC

Secteur à l'est
de la propriété
"G"

PHOTO NO.: Q63142-168

NTS: 23D/3
52°02', 71°21'

DATE DE DECOUVERTE: Le 24 juillet 1980

ORIGINE DE LA DECOUVERTE: Coupe 2C-97

RA MOUVEMENT PROPRE (c/s SPP2): 75 cps

RA MAXIMUM (c/s SPP2): 3800 cps

STATION NO.: 2L-179

FORMATION: Contact gabbro-grès

DESCRIPTION PETROGRAPHIQUE: Gabbro d'Otish à grain fin, bordure de trempe altérée et cataclasée. Orthoquartzite rubéfié, tectonisé.

ANALYSE(S): 2L-179a Spectrométrie 100 sec. sur échantillon 2L-179.

Tc	K	U	Th	U/Th
68	2.7	1.3	1.9	0.7

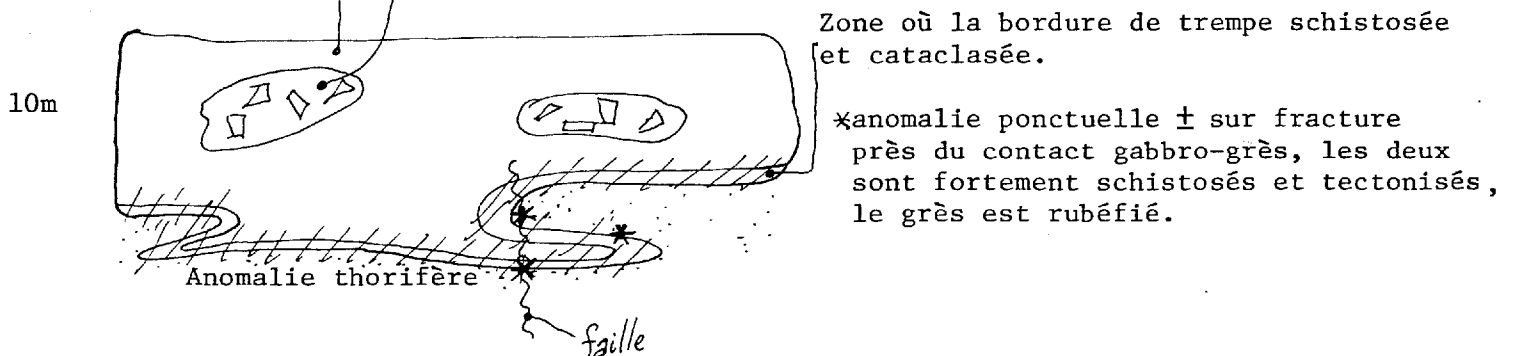
DESCRIPTION

U: 10.1 ppm Th: 938 ppm 0.01

BLOC:

L	l	e	S	V	P	p	AP	IE	IS	IEB	AZIMUT L

AFFLEUREMENT: Gabbro grossier
faciès dioritique à texture pegmatitique





Amo 2A-55
2L-183



Amo 2A-54
x



Q 63 IN2-168

L-5202.

PROJET: MONTS OTISH

FICHE D'ANOMALIE AU SOL

(CROQUIS DE SITUATION OU TRANSPARENT PHOTO CI-JOINT)

Voir Anomalie 2A-54

ANOMALIE NO.: 2A-55

AFFLEUREMENT

BLOC

PHOTO NO.: Q63142-168

NTS: 23 D/3
52°03', 71°20'
Hors permis

DATE DE DECOUVERTE: Le 24 juillet 1980

ORIGINE DE LA DECOUVERTE: Coupe 2C-97

RA MOUVEMENT PROPRE (c/s SPP2): 100-110 cps

RA MAXIMUM (c/s SPP2): 1250 cps

STATION NO.: 2L-183

FORMATION: Indicateur

DESCRIPTION PETROGRAPHIQUE: Arkose blanc verdâtre à deux granulométries

ANALYSE(S): Etude au spectromètre 100 sec. sur échantillon 2L-183.

DESCRIPTION

Tc	K	U	Th	U/Th	U: 21.7 ppm	U/Th: 0,01
86	3.5	1.7	2.5	.68	Th: 2.332 ppm	

BLOC:

L	l	e	S	V	P	p	AP	IE	IS	IEB	AZIMUT L

AFFLEUREMENT: En bordure d'affleurement, arkose blanc verdâtre deux granulométries, faciès porteur grain moyen, quartz arrondi grossier reponsable des laminations plus grossières.

L'activité couvre une surface centimétrique aux confins de fractures (paraclases ou diaclasses) N-140, N-40.

Extension possible sur quelques mètres.

Anomalie thorifère.

PROJET: MONTS OTISH

FICHE D'ANOMALIE AU SOL

(CROQUIS DE SITUATION OU TRANSPARENT PHOTO CI-JOINT)

ANOMALIE NO.: 2A-56

AFFLEUREMENT

BLOC

PHOTO NO.: Q64362-61

NTS: 23 D/3
52° 02', 71° 08'

DATE DE DECOUVERTE: le 28 juillet 1980

ORIGINE DE LA DECOUVERTE: prospection à pied

RA MOUVEMENT PROPRE (c/s SPP2): 150-200

RA MAXIMUM (c/s SPP2): 2000 cps

STATION NO.: 2J-211

FORMATION: Indicateur

DESCRIPTION PETROGRAPHIQUE: Arkose blanche, ciment argileux feldspathique environ 30% de feldspath rose, grain moyen à grossier, petit filet de minéraux noirs (chlorite?) non actifs, anomalie ponctuelle. Taches d'oxydation secondaire.

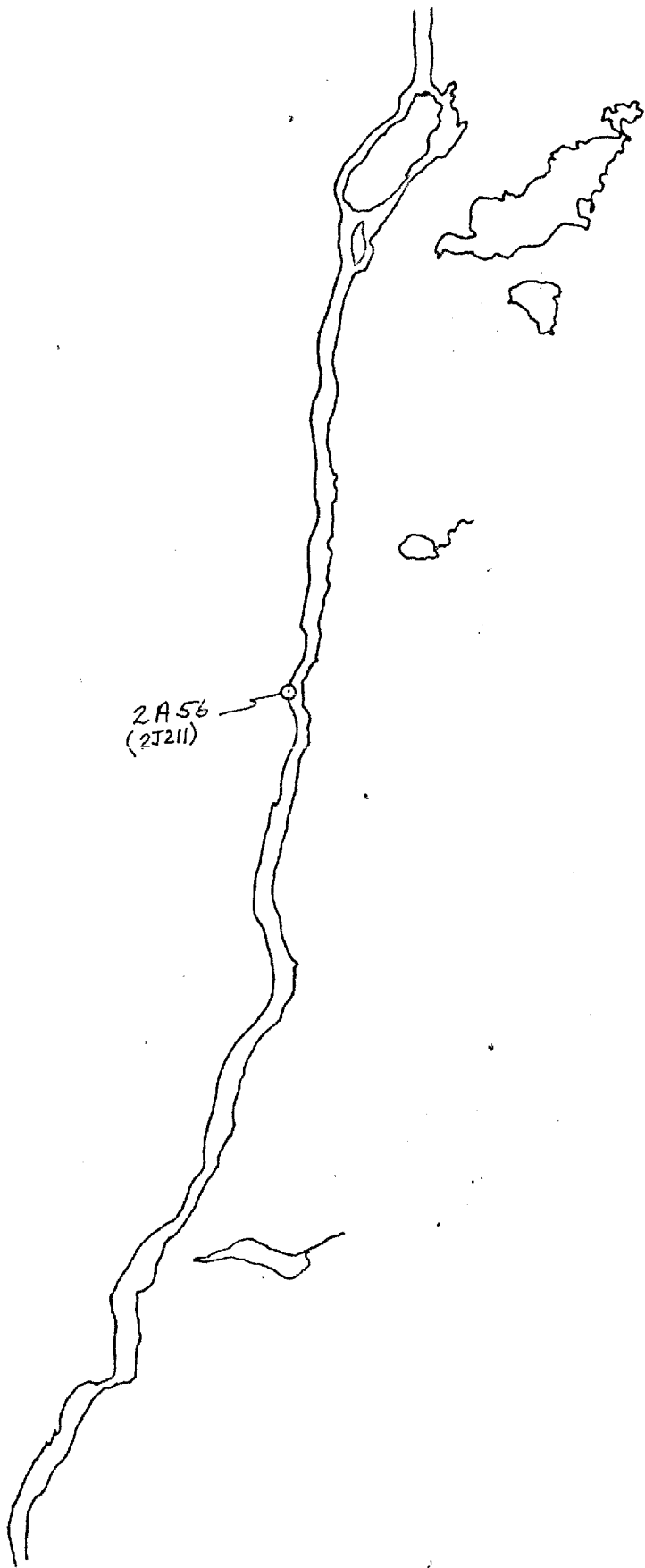
ANALYSE(S):

DESCRIPTION

BLOC:

L	l	e	S	V	P	p	AP	IE	IS	IEB	AZIMUT L
				<1m ³							

AFFLEUREMENT:



2A56
(2J211)

Q64362
61

PROJET: MONTS OTISH

FICHE D'ANOMALIE AU SOL
(CROQUIS DE SITUATION OU TRANSPARENT PHOTO CI-JOINT)

ANOMALIE NO.: 2A-57

AFFLEUREMENT

BLOC

PHOTO NO.:

NTS: 23 D/3
52° 02', 71° 06'

DATE DE DECOUVERTE: le 30 juillet 1980

ORIGINE DE LA DECOUVERTE: prospection radiométrique

RA MOUVEMENT PROPRE (c/s SPP2): 60

RA MAXIMUM (c/s SPP2): 2000

STATION NO.: 2J219

FORMATION: Indicateur

DESCRIPTION PETROGRAPHIQUE: Paraconglomérat oligomictite à cailloux de quartz.
Cailloux sub-arrondis à arrondis; jusqu'à 3.5cm de diamètre.
Cailloux aplatis d'après la schistosité.
Matrice d'arénite grossière, arkose vert

ANALYSE(S): 2J 219a U Th U/Th

95 104 0.91

ppm ppm

DESCRIPTION

BLOC:

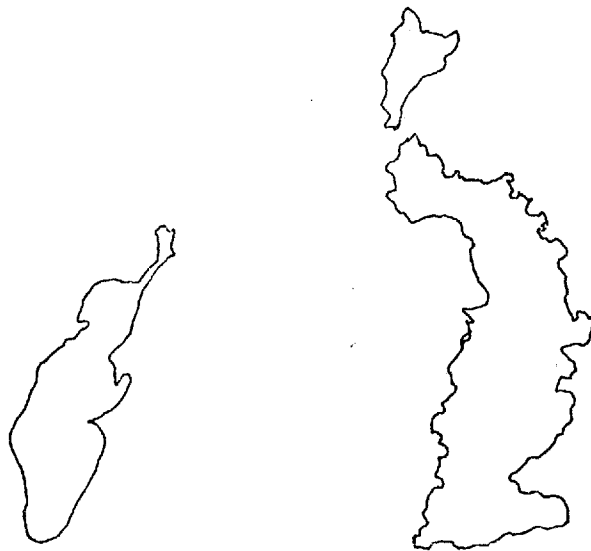
L	l	e	S	V	P	p	AP	IE	IS	IEB	AZIMUT L

AFFLEUREMENT: R.A. maximale sur taches très limonitisées à tache noire correspondant aux passées très conglomératiques.

La minéralisation semble être dans le plan 50

18

Cette anomalie a déjà été étudiée voilà quelques années par une autre compagnie car on y observe du décapage en plusieurs endroits sur l'affleurement.



○ 2A57
(2J219)



5,64362
63

PROJET: MONTS OTISH

FICHE D'ANOMALIE AU SOL

(CROQUIS DE SITUATION OU TRANSPARENT PHOTO CI-JOINT)

ANOMALIE NO.: 2A-58

AFFLEUREMENT

BLOC

PHOTO NO.: Q64364

NTS: Hors permis
23 D/3

DATE DE DECOUVERTE: 20 juillet 1980

52° 04', 71° 22'

ORIGINE DE LA DECOUVERTE: Géologie hors propriétés - Est du G

RA MOUVEMENT PROPRE (c/s SPP2): 160 cps

RA MAXIMUM (c/s SPP2): 2000 cps

STATION NO.: 2P 259

FORMATION: Indicateur

DESCRIPTION PETROGRAPHIQUE: Boulders* (plus d'une dizaine) de microconglomérat sub-arkosique présentant des zones ocres plus ou moins contrôlées par des cassures, actives

ANALYSE(S): Spectrométrie

Tc

K

U

Th

U/Th

91.3

4.5

2.2

2.2

1 Anomalie thorifère

DESCRIPTION

BLOC:

L	I	e	S	V	P	p	AP	IE	IS	IEB	AZIMUT L

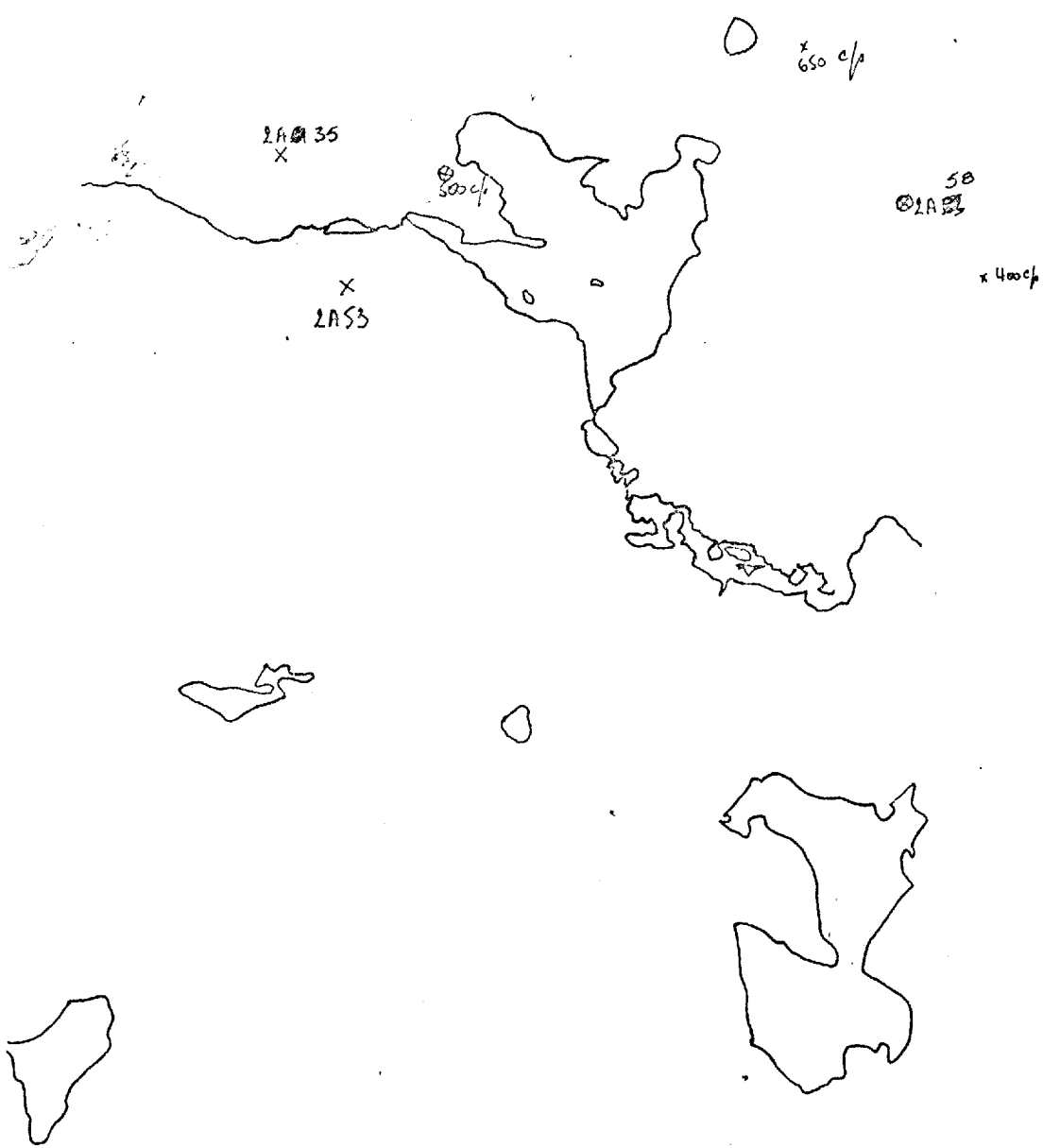
AFFLEUREMENT: (250 m au SE)

Non loin, sur sans doute le même horizon stratigraphique (station 2P262), falaise présentant à la base un grès sub-arkosique à grain grossier avec des zones ocre actives (150/400 cps). 15 m au-dessus: gabbro

400 m au NNW. Même horizon (station 2P256): mêmes zones ocre sur grès grossier sub-arkosique: 190/650 non loin du contact grès/gabbro.

cf. 2A53 - 2A35

* Boulders sub en place, si l'on en croit l'aspect très anguleux et la taille



1/15840

Q6436
211



1/31/68

PROJET: MONTS OTISH

FICHE D'ANOMALIE AU SOL

(CROQUIS DE SITUATION OU TRANSPARENT PHOTO CI-JOINT)

ANOMALIE NO.: 2A-59

AFFLEUREMENT

BLOC

PHOTO NO.: Orthophoto propriété "G" sud

MERCATOR: N - 5,760,300
E - 326,150

DATE DE DECOUVERTE: le 8 juillet 1980

ORIGINE DE LA DECOUVERTE: Prospection au sol

RA MOUVEMENT PROPRE (c/s SPP2):

RA MAXIMUM (c/s SPP2): >1,500

STATION NO.: 2T-39

FORMATION: Indicateur

DESCRIPTION PETROGRAPHIQUE: Grès feldspathique conglomératique à galets de quartz schistosés.

ANALYSE(S): Spectromètre

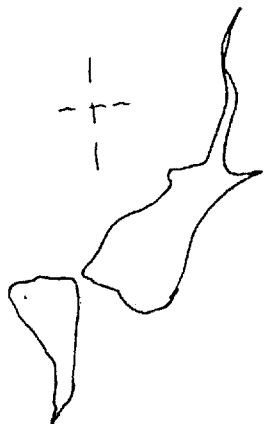
Tc K U Th U/Th
301.8 12.4 6.7 9.5 0.7 Anomalie thorifère

DESCRIPTION

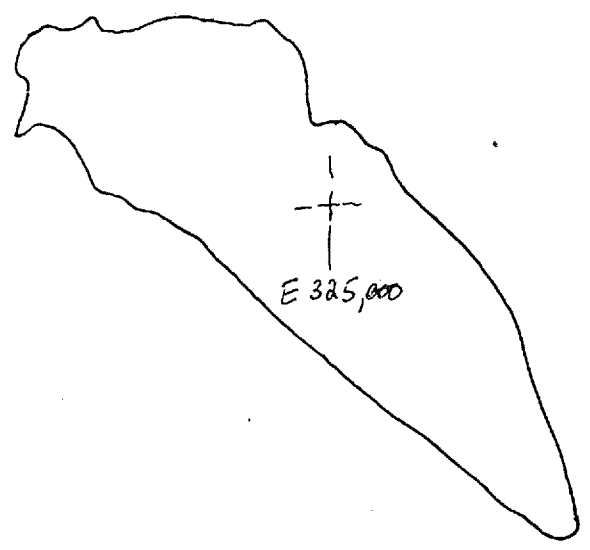
BLOC:

L	l	e	S	V	P	p	AP	IE	IS	IEB	AZIMUT L

AFFLEUREMENT:



- + - N 5,761,000



12T-39
- ⊕ - N 6,760,300
E 326,150

- + - N 5,760,000
E 326,000

PROJET: MONTS OTISHFICHE D'ANOMALIE AU SOL(CROQUIS DE SITUATION OU TRANSPARENT PHOTO CI-JOINT)

ANOMALIE NO.: 2A-60

AFFLEUREMENT BLOC

PHOTO NO.:

NTS: N5,759,425
E323,460 G sud

DATE DE DECOUVERTE: 7.07.80

ORIGINE DE LA DECOUVERTE: Prospection au sol

RA MOUVEMENT PROPRE (c/s SPP2):

RA MAXIMUM (c/s SPP2): 1800

STATION NO.: 2T-38

FORMATION: Indicateur

DESCRIPTION PETROGRAPHIQUE: Grès feldspathique à subarkose microconglomératique

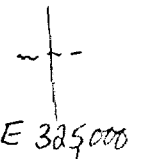
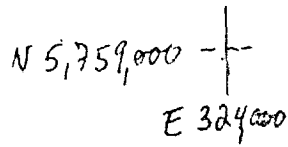
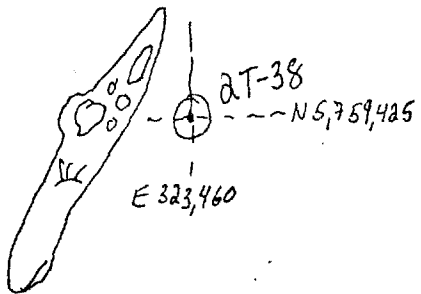
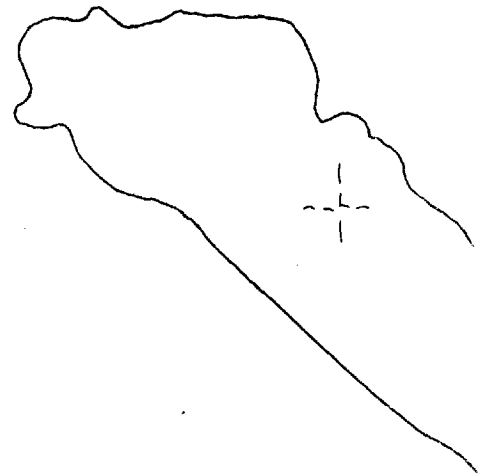
ANALYSE(S): Spectrométrie

Tc	K	U	Th	U/Th
403.0	20.3	14.9	0.8	18.7

DESCRIPTIONBLOC:

L	l	e	s	v	P	p	AP	IE	IS	IEB	AZIMUT L

AFFLEUREMENT:



PROJET: MONTS OTISH

FICHE D'ANOMALIE AU SOL

(CROQUIS DE SITUATION OU TRANSPARENT PHOTO CI-JOINT)

ANOMALIE NO.: 2A-61

AFFLEUREMENT

BLOC

PHOTO NO.: Q 64359-54

NTS: 23 D/2

Hors permis

DATE DE DECOUVERTE: le 5 août 1980

52° 15', 70° 59'

ORIGINE DE LA DECOUVERTE: Vérification d'anomalie aérienne, Vol 2B11

RA MOUVEMENT PROPRE (c/s SPP2):

RA MAXIMUM (c/s SPP2): 1600 cps

STATION NO.: 2Y-6

FORMATION: Indicateur

DESCRIPTION PETROGRAPHIQUE: Grès arkosique grossier à micro-conglomératique quelques cailloux de quartz (<1cm). Hématisation des feldspaths dont la concentration varie localement entre 5 à 20% de la roche.

ANALYSE(S): Spectromètre 24-6a Ct K U Th U/Th
114.5 4.1 2.6 4.0 0.7

Anomalie thorifère

DESCRIPTION

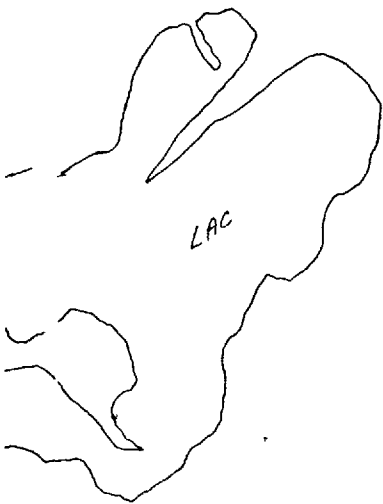
BLOC:

L (cm)	l (cm)	e (cm)	S	V	P	p	AP	IE	IS	IEB	AZIMUT L
60	40	30									

AFFLEUREMENT: Bloc sub-arrondi enfoui complètement sous la mousse.

Résultat d'analyse: U 24.1 ppm
Th 1297 ppm

2A-61



1:15840
Q64359
54

PROJET: MONTS OTISH

FICHE D'ANOMALIE AU SOL

(CROQUIS DE SITUATION OU TRANSPARENT PHOTO CI-JOINT)

ANOMALIE NO.: 2A-62

AFFLEUREMENT

BLOC

PHOTO NO.: Q 64352-236

NTS: hors permis

23D/7

DATE DE DECOUVERTE: 5 août 1980

52°02', 70°07'

ORIGINE DE LA DECOUVERTE: Vérification anomalie aérienne vol 2B11

RA MOUVEMENT PROPRE (c/s SPP2):

RA MAXIMUM (c/s SPP2): 1250, 1050 cps

STATION NO.: 2Y-7, 2Y-8

FORMATION: Indicateur

DESCRIPTION PETROGRAPHIQUE: 2Y-7: grès subarkosique, blanc à blanc verdâtre, grain grossier. Zone active à 1250: verdâtre, grain grossier. Zone active à 750: faciès ocre, microconglomératique, à cailloux flottants de quartz. 2Y-8: grès arkosique à grain moyen. Zone active altérée, jaune et ocre.

ANALYSE(S):

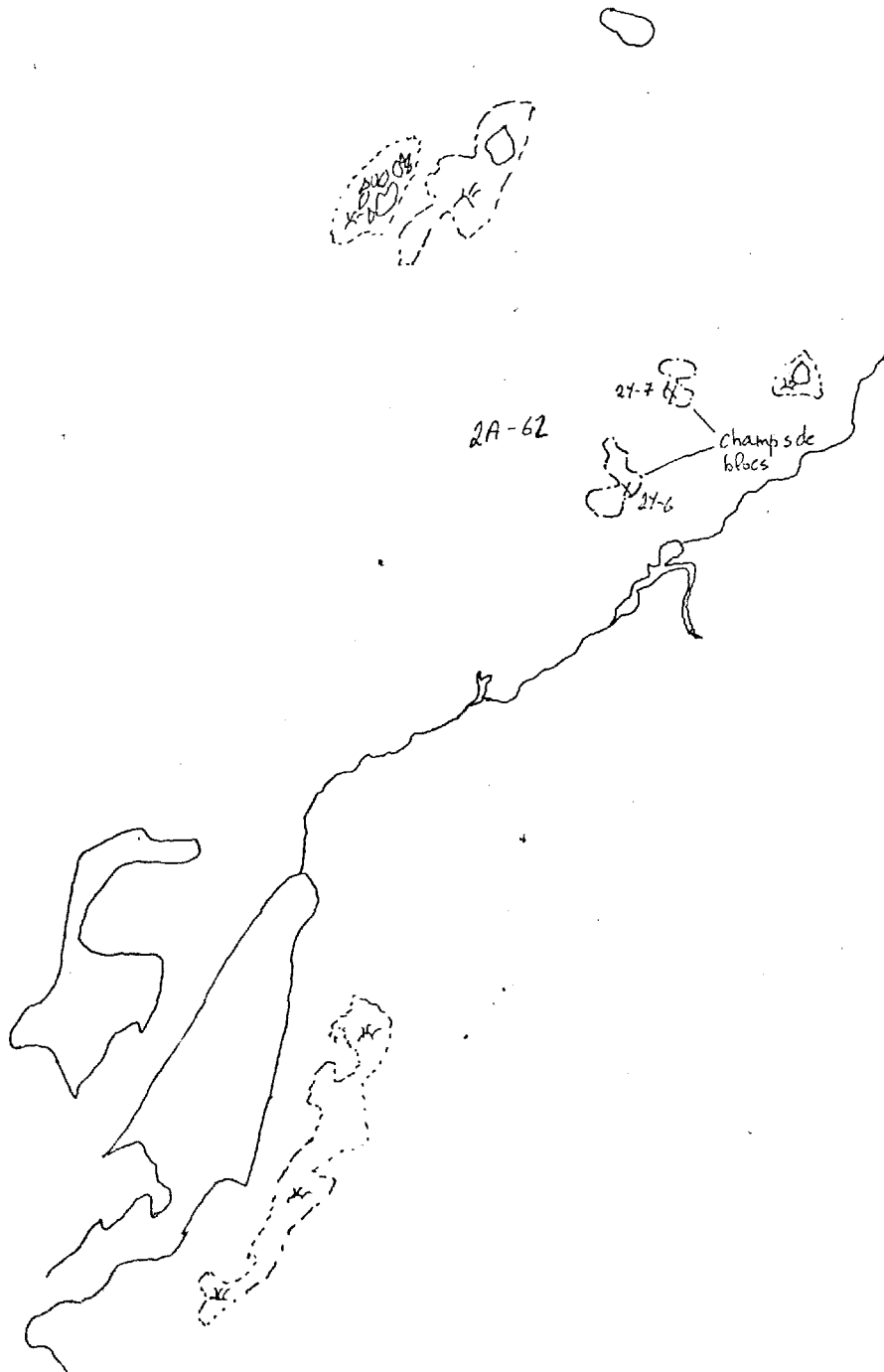
DESCRIPTION

<u>BLOC:</u>	L	l	e	S	V	P	p	AP	IE	IS	IEB	AZIMUT L
2Y-7	3 m	2 m	2 m									
2Y-8	1.5 m	1.25m	0.3 m									

AFFLEUREMENT:

2Y-7 subangulaire

2Y-8 subarrondi



Q64352
236

PROJET: MONTS OTISH

FICHE D'ANOMALIE AU SOL

(CROQUIS DE SITUATION OU TRANSPARENT PHOTO CI-JOINT)

ANOMALIE NO.: 2A-63

AFFLEUREMENT

BLOC

PHOTO NO.: Q-63142-84

NTS: N5,787,000
E 325,000

DATE DE DECOUVERTE: 5 août 1980

ORIGINE DE LA DECOUVERTE: Prospection au sol en suivi sur géochimie fond de lac
1979, zone No 15

RA MOUVEMENT PROPRE (c/s SPP2): 100-125

RA MAXIMUM (c/s SPP2): 3100

STATION NO.: 2N-62, 63, 64, 67, 68

FORMATION: Grès de l'Indicateur

DESCRIPTION PETROGRAPHIQUE: Subarkose blanche grossière, microconglomératique à passées de conglomérats à cailloux de quartz. Feldspaths altérés blanc laiteux à verdâtre (séricitisés).

		U	Th		U	Th
ANALYSE(S):	2N-63	13 ppm	520 ppm	2N-62	22	493
U, Th	2N-63a	77 ppm	79 ppm	2T-79	48	2420
	2N-67	9 ppm	985 ppm	2T-73		
	2N-68	84 ppm	1230 ppm	2T-74	132	109
<u>DESCRIPTION</u>				2V-61	35	876

BLOC:

L	l	e	S	V	P	p	AP	IE	IS	IEB	AZIMUT L

AFFLEUREMENT: Série d'anomalies ponctuelles sur fractures N40°, N60° ou dans le plan de stratification. Les faciès minéralisés sont des grès feldspathiques à faciès ocre. L'altération limonitique ocre se concentre sur fracture (2N-67,68) ou dans le plan de stratification 2N-63,64,62. Les zones actives sont centimétriques à métriques, de faible étendue.

Ces anomalies sont probablement la source des blocs anomaux 2T-70 à 2T-83. Le bloc 2T-79 est thorifère au spectromètre.

Statistiques

STATION	RA SPP2	DESCRIPTION	FORMATION	ECHAN- TILLON	ANALYSE
2N-63 2N-64	2000 3100	Grès feldspathique à orthoquartzite, grain moyen, faciès ocre. Affleurement continu recouvert de mousse. Les deux points sont distants de 10 m selon la direction N45°. Le grès a une couleur beige à verdâtre			
	110 cps	2N-63 2N-63a Arkose microconglomératique blanche à feldspaths altérés, niveau de conglomérat à cailloux et galets de quartz. Grains de quartz anguleux à sous-arrondis.	Série verte	2N-63 2N-63a	U, Th U, Th
2N-67 2N-68	1100 3000	Deux anomalies ponctuelles sur affleurement, distancées de 20 m selon la direction N60°. Minéralisa- tion ponctuelle sur quelques décimè- tres. 2N-67 Grès feldspathique vert à ocre, grain moyen à gros vacuolaires. Minéralisation sur fracture N340°. 2N-68 Grès feldspathiques noirs miné- ralisés sur fractures ou dia- clases. Ces grès sont intercalés de subarko- ses, grain moyen à gros, à passées conglomératiques et quartzitiques oxydées rubéfiées. Les feldspaths sont blancs à roses.		2N-67 2N-68	U, Th U, Th
2N-61	600	Quartzite mauve à noir, laminé, grain moyen, très arrondi. 2N-61		2N-61	U, Th

Statistiques

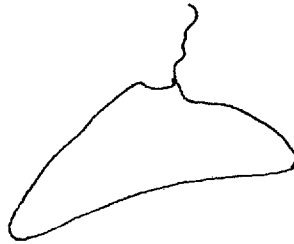
STATION	RA SPP2	DESCRIPTION	FORMATION	ECHAN- TILLON	ANALYSE
2N-62	1000	Faciès ocre sur subarkose microcon- glomératique, dans plan de stratifica- tion. 2N-62		2N-62	U, Th

Statistiques

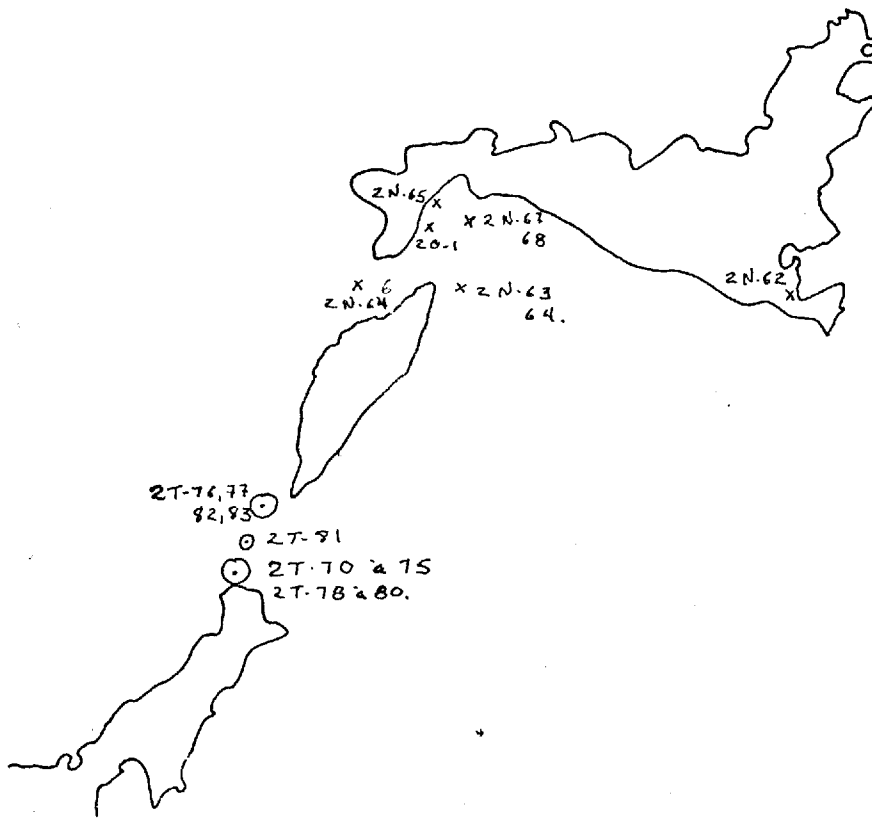
STATION	RA SPP2	DESCRIPTION	FORMATION	ECHAN- TILLON	ANALYSE
2T-71	1400	Subarkose blanche à verdâtre, micro-conglomératique. Minéralisée de façon ponctuelle sur faciès ocre. Blocs sous-anguleux métriques.			
2T-70	1800	Subarkose grossière, blanche à verdâtre, minéralisée sur tache ocre à rouge, centimétrique. Bloc sous-arrondi métrique, idem affleurement 2N-63. Faciès ocre suit la stratification. Grès laminé à deux granulométries.			
2T-72	1350	Bloc métrique, idem 2T-70.			
2T-73	2200	Bloc arrondi centimétrique, 40 à 50 cm. Subarkose blanc verdâtre, feldspaths séricitisés. 2T-73 Ressemble aux anomalies de SOQUEM, au SW du bassin.	Série verte		U, Th
2T-74	2000 90-100	Tache centimétrique à 2000 cps sur un bloc de subarkose grossière blanc verdâtre, feldspaths séricitisés.			U, Th
2T-78 2T-79	1500 1250	Déjà échantillonnées. Blocs sous-arrondis d'arkose grossière blanc verdâtre, minéralisation sur faciès ocre.		2T-79	U, Th
2T-80	1800	Idem. Minéralisation sur tache ocre centimétrique, bloc sous-arrondi à arrondi.			

Statistiques

STATION	RA SPP2	DESCRIPTION	FORMATION	ECHAN- TILLON	ANALYSE
2T-75	1200	<p>Idem. Tache ocre millimétrique à centimétrique.</p> <p><u>NOTE 1:</u> Les blocs sont disposés parallèlement au ruisseau. Ils sont gros, centimétriques à métriques, sous-arrondis. La minéralisation est associée aux taches ocre ou à leur voisinage immédiat. Taches ocre distribuées au hasard.</p> <p><u>NOTE 2:</u> Le gabbro de direction N140 à N130° au sud de 2N-62 est un dyke qui recoupe les grès.</p>			



○ 2N-61



Q63142-84

L-5206.

PROJET: MONTS OTISH

FICHE D'ANOMALIE AU SOL

(CROQUIS DE SITUATION OU TRANSPARENT PHOTO CI-JOINT)

(voir 2A-63)

ANOMALIE NO.: 2A-64

AFFLEUREMENT

BLOC

PHOTO NO.: Q 63142-84

NTS: N5,787,000
E 325,000

DATE DE DECOUVERTE: 5 août 1980

ORIGINE DE LA DECOUVERTE: Prospection au sol en suivi sur géochimie fond de lac 1979,
zone anormale #15

RA MOUVEMENT PROPRE (c/s SPP2): 30

RA MAXIMUM (c/s SPP2): 3000

STATION NO.: 2N-65, 2N-66, 20-1

FORMATION: Gabbro d'Otish. Grès arkosique de la formation Indicateur

DESCRIPTION PETROGRAPHIQUE: Brèche tectonique au contact gabbro-grès.

ANALYSE(S): 2N-65: U, Th 264 ppm U 766 ppm Th
2N-66: U, Th, lame mince et coupe 18 ppm U 285 ppm Th
20-1 : 53 ppm U, 1750 ppm Th

DESCRIPTION

BLOC:

L	l	e	s	v	p	p	AP	IE	IS	IEB	AZIMUT L

AFFLEUREMENT: L'anomalie se suit de façon erratique sur 300 à 500 m en direction N30°. Le gabbro est actif en plusieurs points mais les zones les plus chaudes sont au contact gabbro-grès. A l'extrémité sud, l'ensemble est broyé, donnant naissance à une brèche tectonique dont les principaux éléments sont des fragments de gabbro à texture aphanitique, contenu dans une matrice siliceuse brun rouge à grain fin. Le gabbro est altéré (épidotisé, serpentinisé 2N-66b). Des enclaves d'arkose microconglomératique dans le gabbro sont épidotisées et renferment de la pyrite cubique. 2N-66a. Aucun produit U n'a été observé. Il y a lieu de croire que, puisque nous sommes dans des grès de la série verte (2A-63), ces anomalies pourraient être thorifères. Cependant, le dispositif structural est en quelque sorte semblable à celui des indices "S" et "L".

Statistiques

STATION	RA SPP2	DESCRIPTION	FORMATION	ECHAN- TILLON	ANALYSE
2N-65	1000	Anomalie ponctuelle dans un gabbro rubéfié à grain très fin. Les points anomaux sont alignés N20°.			
		2N-65		2N-65	U, Th
20-1	3000	Contact minéralisé gabbro-grès, zone ponctuelle rubéfiée. Minéralisation surtout dans grès.			
		20-1 Le gabbro est épidotisé.		20-1	U, Th
2N-66	2000	Brèche de grès-gabbro. Phénomène de rubéfaction et altération.			
		Le grès contient de la pyrite et de l'épidote. Il est souvent en enclave dans le gabbro.			
		Le grès est de l'arkose microconglomératique, cailloux centimétriques de quartz.			
		Le gabbro est épidotisé et serpentinisé.			
		2N-66a Microconglomérat arkosique à pyrite et épidote.		2N-66a	U, Th L.M.
		2N-66b Brèche où le gabbro apparaît en fragments anguleux dans une matrice siliceuse rubéfiée.		2N-66b	U, Th L.M. coupe

PROJET: MONTS OTISH

FICHE D'ANOMALIE AU SOL

(CROQUIS DE SITUATION OU TRANSPARENT PHOTO CI-JOINT)

ANOMALIE NO.: 2A-65

AFFLEUREMENT

BLOC

PHOTO NO.: Orthophoto propriété "S"

NTS: N5,783,735
E 352,960

DATE DE DECOUVERTE: 22 août 1980

ORIGINE DE LA DECOUVERTE: Prospection scintillométrique et géologie

RA MOUVEMENT PROPRE (c/s SPP2): 300?

RA MAXIMUM (c/s SPP2): >2000

STATION NO.: 2J271

FORMATION: Gabbro d'Otish

DESCRIPTION PETROGRAPHIQUE: Subaffleurement de gabbro gris foncé verdâtre, à grain moyen. Altération de limonite de couleur ocre dans les plans de fracture. Très fracturé. La surface du bloc est parsemée de cavités très altérées.

ANALYSE(S): 2J271 a U: 1580.0 ppm Th: 56 ppm

DESCRIPTION

<u>BLOC:</u>	L	l	e	S	V	P	p	AP	IE	IS	IEB	AZIMUT L

AFFLEUREMENT:



2A65
25271
⊙



PROJET: MONTS OTISHFICHE D'ANOMALIE AU SOL(CROQUIS DE SITUATION OU TRANSPARENT PHOTO CI-JOINT)

ANOMALIE NO.: 2A-66

AFFLEUREMENT BLOC

PHOTO NO.: Q 63143-107

NTS: N5,775,000
E 420,000

DATE DE DECOUVERTE: 21 août 1980

ORIGINE DE LA DECOUVERTE: Prospection radiométrique hélicoptère en suivi sur
géochimie fond de lac, zone #10

RA MOUVEMENT PROPRE (c/s SPP2): 300

RA MAXIMUM (c/s SPP2): 3500

STATION NO.: 2L-246, 2L-248, 249, 250

FORMATION: Granite blanc migmatitique

DESCRIPTION PETROGRAPHIQUE: Granite blanc leucocrate, tectonisé, bréchifié. Le granite est de texture variée, grain fin à très gros, faciès pegmatitique. Il est composé de quartz en grain fin, arrondi à sous-anguleux et de feldspath blanc cristallin grossier. Localement, il renferme des nids de biotite à grain très fin et de la séricite interstitielle entre les grains.

ANALYSE(S):

DESCRIPTIONBLOC:

L	l	e	S	V	P	p	AP	IE	IS	IEB	AZIMUT L

AFFLEUREMENT: L'anomalie est causée par des affleurements et blocs de granite blanc leucocrate. Le granite est migmatitique et renferme des restites de gneiss à biotite, plagioclase et amphibole et de gneiss à amphibole. Les restites de gneiss sont généralement orientées N65°. Le granite blanc a un mouvement propre de 250-350 cps; il renferme plusieurs points actifs de taille centimétrique, d'activité 1000 à 2000 cps. Les faciès les plus actifs sont à biotite et séricite en phyllite. La biotite est en nids millimétriques à centimétriques, de forme plus ou moins prismatique. Les phyllites et séricites sont tardives et apparaissent de façon irrégulière dans le plan de foliation ou schistosité. Le granite est broyé et tectonisé, il est riche en magnétite.

Statistiques Vérification du vol 2B-15, radiométrie hélicoptérée en suivi sur la zone 10 de géochimie fond de lac.

STATION	RA SPP2	DESCRIPTION	FORMATION	ECHAN- TILLON	ANALYSE
2L-246	250- 300	Granite blanc à séricite et nids de biotite, granite migmatitique contenant des restes de gneiss à biotite et gneiss à amphibole orientés N65° sub-vertical.			
		Le granite est composé presque exclusivement de quartz et feldspaths. Le quartz est à grain fin, à texture saccharoïde. Le feldspaths est grossier, cristallin, altéré blanc laiteux.			
	2500	2L-246a) Granite blanc actif, 1000 à 2L-246b) 2500 cps		2L-246a 2L-246b	
	70	2L-246c Gneiss à amphibole, grain fin à moyen.			
		2L-246d Gneiss à amphibole, grain moyen à fin.			
	3000	2L-246e Granite blanc à biotite, séricite et graphite?			U: 282 ppm Th: 197 ppm U, Th, Lame mince, recherche de <u>C</u>
		2L-246f Granite blanc à texture ocellée.			Lame mince
	250	2L-246g Granite blanc à migmatite, séricite, très leucocrate, grossier, taches d'hématisation		2L-246g	U, Th, Lame mince U: 86,1 ppm Th: 94 ppm
2000	2L-246h Granite blanc à migmatite, actif			U, Th Lame mince U: 397 ppm Th: 273 ppm	
2L-248 Anomalie AA-4 vol 2B-16	250 3000	Blocs sub-en-place de granite rose grossier, rubéfié et tectonisé. Le granite renferme des passées pegmatitiques sur fractures, pegmatites riches en migmatite et biotite. Les points les plus actifs correspondent aux passées pegmatitiques sur lesquelles on reconnaît des joints, les blocs sont anguleux, débités selon les plans de cassure.			
		2L-248a Granite grossier, quartzo-feldspathique à magnétite		2L-248a	U, Th, Métal: Lame Mince U: 3080 ppm Th: 1773 ppm

Statistiques

STATION	RA SPP2	DESCRIPTION	FORMATION	ECHAN- TILLON	ANALYSE
2L-249	150	2L-248b Granite leucocrate, broyé, rubéfié La moraine est à 150 cps en continu, mousse de 10 à 26 cm sur les blocs de granite.		2L-248b	U, Th, Métaux Lame mince U: 738 Th: 592 U/Th: 1,25
	250 4000	Blocs sub-en-place métriques, de granite blanc à séricite. Le granite contient de nombreuses enclaves de gneiss à biotite.			
	4000	2L-249a Granite blanc à séricite. Texture saccharoïde.		2L-249a	U, Th, Lame mince U: 453 ppm Th: 103 ppm
	500	2L-249b Pegmatite blanche à biotite dans granite blanc.			U, Th Lame mince U: 219 ppm Th: 134 ppm
	110	2L-249c Gneiss à biotite en restite dans granite blanc.			U, Th Lame mince U: 25,1 ppm Th: 13 ppm
2L-250	250	2L-249d Granite blanc à séricite, faciès à grenat. Faciès blanc pegmatitique ou grossier est le plus actif. Les restites en bordure de restites ne sont pas actives, elles contiennent de petits leucosomes quartzo-feldspathiques.			U, Th Lame mince U: 37,6 ppm Th: 21 ppm
	75	Granite blanc à mica, séricite et biotite, grossier, pauvre en quartz. 2L-250a		2L-250a	U, Th Lame mince U: 6,0 ppm Th: 14 ppm
	40	Le granite renferme des restites décimétriques de gneiss à biotite et plagioclase. 2L-250b Les gneiss sont apparemment frais, à grain fin. Très bonne foliation à N60°. L'activité des blocs ou du granite blanc dépend de la composition du sédiment soumis à la granitisation. Ce granite est similaire au granite eutectique de SES ou ceux de l'unité Laguiche.		2L-250b	U, Th Lame mince U: 1,4 ppm Th: 6 ppm

↑
N



Scale 1:31680

263143-103,110

PROJET: MONTS OTISH

FICHE D'ANOMALIE AU SOL

(CROQUIS DE SITUATION OU TRANSPARENT PHOTO CI-JOINT)

ANOMALIE NO.: 2A-67

AFFLEUREMENT

BLOC

PHOTO NO.: Q 63107-41

NTS: N6,050,000
E 401,500

DATE DE DECOUVERTE: 21 août 1980

ORIGINE DE LA DECOUVERTE: Prospection au sol en suivi de la géochimie fond
de lac, zone #12

RA MOUVEMENT PROPRE (c/s SPP2): 70

RA MAXIMUM (c/s SPP2): 3000

STATION NO.: 2N-81, 2N-82

FORMATION: Indicateur

DESCRIPTION PETROGRAPHIQUE: Quartzite gris

ANALYSE(S): 2N-81b U: 255.0 ppm Th: 38 ppm
2N-82 U: 1240.0 ppm Th: 29 ppm

DESCRIPTION

BLOC:

L	l	e	s	v	p	p	AP	IE	IS	IEB	AZIMUT L

AFFLEUREMENT: Quartzite gris noir minéralisé sur diaclases N25°, 75°E et N50°. Les deux points minéralisés sont distants de 3 m selon la direction N50°. La minéralisation s'exprime sous forme de produits jaunes.

PROJET:

FICHE D'AFFLEUREMENT

DATE: 22 août 1980

LOCALISATION:

STATISTIQUE: Vérification des blocs, zone #12, géochimie fond de lac

KM DE COUPE:

KM RADIOMETRE:

STATION	RA SPP2	DESCRIPTION	FORMATION	ECHAN- TILLON	ANALYSE
2N-81 82	3000	<p>Blocs sub-en-place de quartzite gris, grain moyen, quartzite très propre, minéralisé, sur diaclases N25⁰, 75⁰E (2N-81).</p> <p>2N-82 2 m au SW de 2N-81, selon la direction N230⁰, minéralisation dans quartzite gris-noir sur diaclases à N40⁰ et N140⁰. Minéralisation bien exprimée par des produits jaunes.</p> <p>2N-81a Quartzite gris à proximité de la diaclase minéralisée.</p> <p>2N-81b Quartzite minéralisé sur diaclase.</p> <p>2N-82</p>		<p>Photo 12, 13. Bloc de grès dolomitique intercalé de dolomie.</p>	<p>Réf.</p> <p>U, Th</p> <p>U, Th</p>
2L-247	40- 70	<p>Affleurement de quartzite blanc, massif, à proximité de 2N-81, lequel est stratigraphiquement au-dessus de quelques mètres seulement. Le quartzite très pur porte des laminations de minéraux lourds et de matériel argileux gris-noir. Ces quartzites gris à gris-noir montrent du ravinement. Chenaux millimétriques à centimétriques et des stratifications entrecroisées. Nous sommes au même niveau stratigraphique que 2A-33.</p> <p>2L-247 Quartzite blanc, massif.</p> <p>2L-247a Quartzite gris-blanc à laminés grises.</p> <p>2L-247a U: 4.6 ppm Th: 10 ppm</p>		<p>2L-247</p>	<p>U, Th</p>



2N-81
82

Anomalie 2A-67 localisée
200 m. franc sud de la
pointe du lac.



Q 63107-41

L-5209.

PROJET: MONTS OTISH

FICHE D'ANOMALIE AU SOL

(CROQUIS DE SITUATION OU TRANSPARENT PHOTO CI-JOINT)

ANOMALIE NO.: 2A-68

AFFLEUREMENT

BLOC

PHOTO NO.: Propriété "S" Orthophoto

MERCATOR: N5,783,710
E 352,810

DATE DE DECOUVERTE: 22.8.80

ORIGINE DE LA DECOUVERTE: Coupe géologique 2C-119

RA MOUVEMENT PROPRE (c/s SPP2): 1500

RA MAXIMUM (c/s SPP2): 5000

STATION NO.: 2V-246

FORMATION: Gabbro d'Otish

DESCRIPTION PETROGRAPHIQUE: Sheared and altered medium grained gabbro with thin 2-3 m thick quartz-calcite veins.

ANALYSE(S):

DESCRIPTION

BLOC:

L	l	e	S	v (r)	P	p	AP	IE	IS	IEB	AZIMUT L
38 cm	26 cm	14 cm	78 cm	4 cm						3-4	024°

AFFLEUREMENT:

PROJET: MONTS OTISHFICHE D'ANOMALIE AU SOL(CROQUIS DE SITUATION OU TRANSPARENT PHOTO CI-JOINT)

ANOMALIE NO.: 2A-69

AFFLEUREMENT BLOC

PHOTO NO.: Q 63143-41

NTS: 23D/3

latitude 52°12'20" nord

longitude 71°32'30" ouest

DATE DE DECOUVERTE: 26 août 1980

ORIGINE DE LA DECOUVERTE: vérification d'anomalie héliportée

RA MOUVEMENT PROPRE (c/s SPP2): 100

RA MAXIMUM (c/s SPP2): 2000 cps et plusieurs blocs à 450-500 cps

STATION NO.: 2J290

FORMATION: Indicateur

DESCRIPTION PETROGRAPHIQUE: Subarkose à grès feldspathique vert à brunâtre,
grain moyen à fin. RA maximale sur tache ocre.
Se débite facilement en plaquettes de 1 cm.

ANALYSE(S): U, Th

2J-290

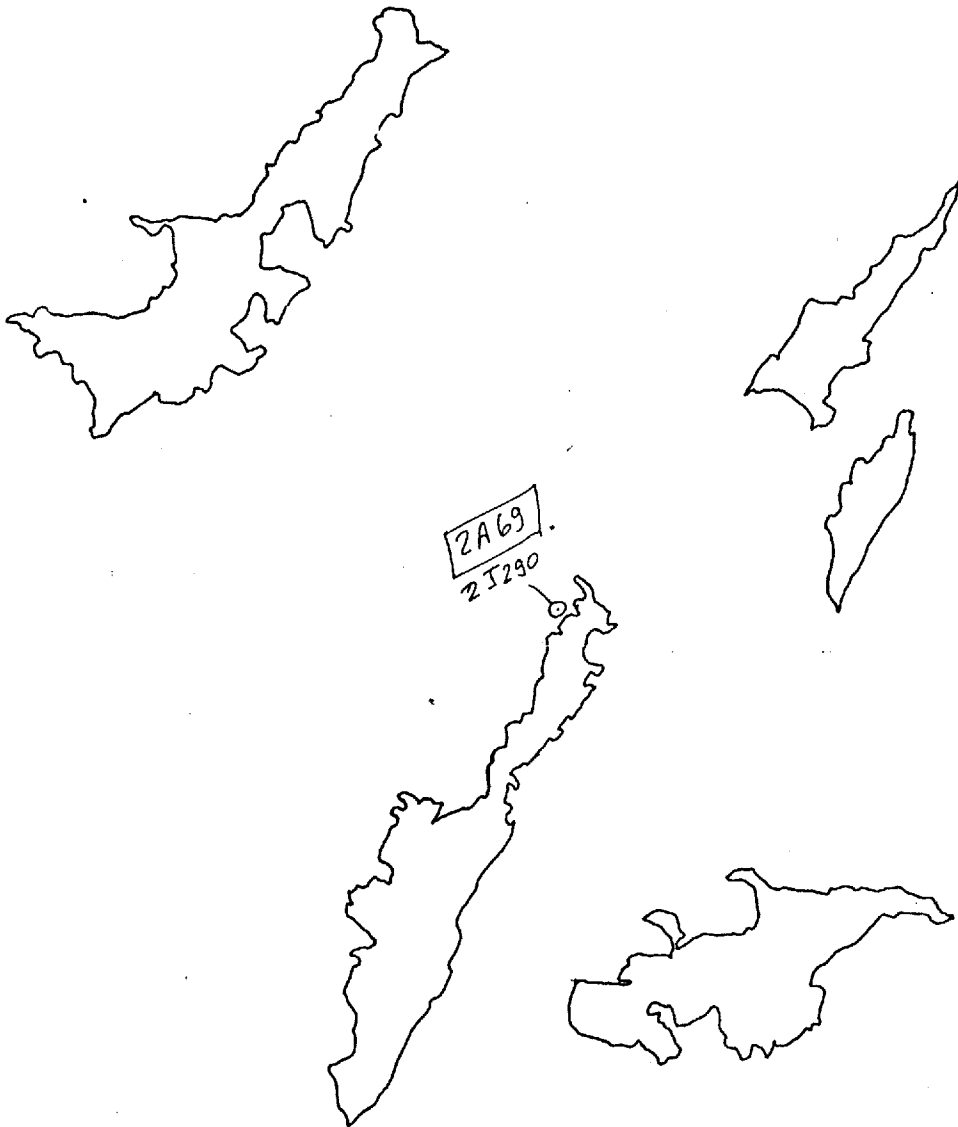
U: 55.5 ppm

Th: 4500 ppm

DESCRIPTIONBLOC:

L cm	l cm	e cm	S	V	P	p	AP	IE	IS	IEB	AZIMUT L
40	25	15									

AFFLEUREMENT: Bloc subanguleux.



Q63143
41

PROJET: MONTS OTISH

FICHE D'ANOMALIE AU SOL

(CROQUIS DE SITUATION OU TRANSPARENT PHOTO CI-JOINT)

ANOMALIE NO.: 2A-70

AFFLEUREMENT

BLOC

PHOTO NO.: Q 63142-82

NTS: 23D/3
latitude 52°10'50" nord
longitude 71°24'20" ouest

DATE DE DECOUVERTE: 26 août 1980

ORIGINE DE LA DECOUVERTE: Vérification d'anomalie héliportée

RA MOUVEMENT PROPRE (c/s SPP2): 50-75

RA MAXIMUM (c/s SPP2): 4000-2000

STATION NO.: 2J289

FORMATION: Indicateur

DESCRIPTION PETROGRAPHIQUE: Grès feldspathique, environ 10% de feldspaths, de couleur vert brunâtre, quartz mielleux. Grain moyen. Petits fragments de roche rouge.

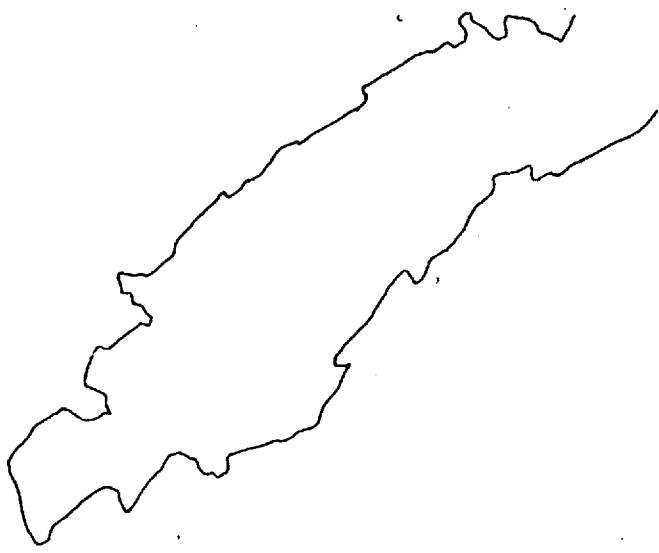
ANALYSE(S): 2J-289 U: 10.6 ppm Th: 569 ppm

DESCRIPTION

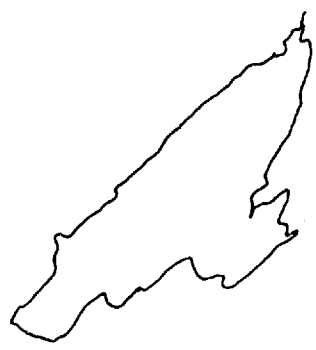
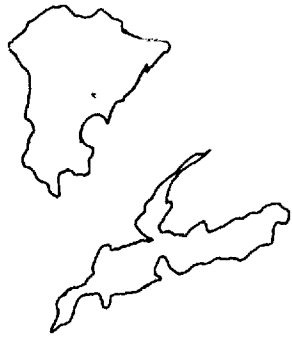
BLOC:

L	l	e	s	v	P	p	AP	IE	IS	IEB	AZIMUT L

AFFLEUREMENT:



⊗ 2J289
2A70



Q63142
B2

PROJET: MONTS OTISH

FICHE D'ANOMALIE AU SOL

(CROQUIS DE SITUATION OU TRANSPARENT PHOTO CI-JOINT)

ANOMALIE NO.: 2A-71

AFFLEUREMENT

BLOC

PHOTO NO.: Q 64368-85 Ortho "S"

NTS: 23D/3

N5,783,760

DATE DE DECOUVERTE: 29 août 80

E 355,855

ORIGINE DE LA DECOUVERTE: Prospection scintillométrique

RA MOUVEMENT PROPRE (c/s SPP2):

RA MAXIMUM (c/s SPP2): 800-1000-2000 cps

STATION NO.: 2J-301, coupe 2C-147

FORMATION: Indicateur

DESCRIPTION PETROGRAPHIQUE: Orthoquartzite gris à laminations centimétriques de couleur noire. Ciment en partie carbonaté (calcite et dolomie) et siliceux. Tri moyen, granulométrie moyenne à grossière. Semble y avoir des passées plus feldspathiques.

ANALYSE(S):

2J-301a

U: 3.1 ppm

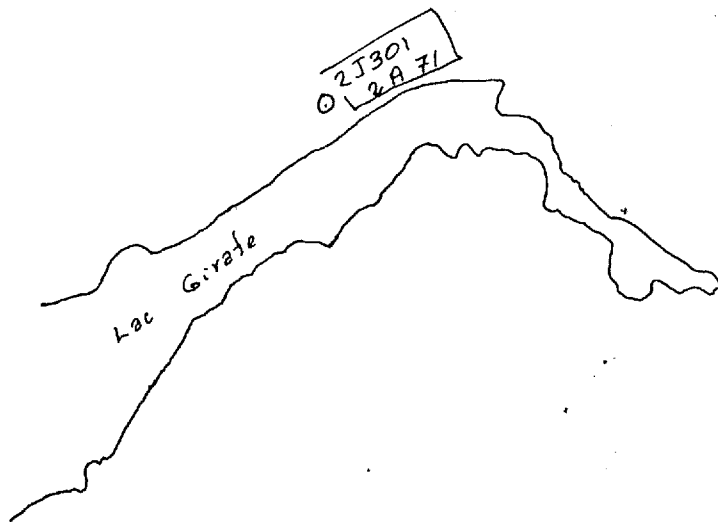
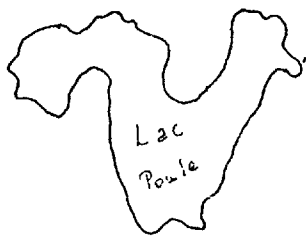
Th: 1362 ppm

DESCRIPTION

BLOC:

L m	l m	e	S	V	P	p	AP	IE	IS	IEB	AZIMUT L
1.2	1.0										

AFFLEUREMENT: Bloc sub-anguleux.



Q64368
B5

PROJET: MONTS OTISH

FICHE D'ANOMALIE AU SOL

(CROQUIS DE SITUATION OU TRANSPARENT PHOTO CI-JOINT)

ANOMALIE NO.: 2A-72 AFFLEUREMENT 2 BLOCS

PHOTO NO.: Q 64368-85 ortho "S" NTS: 23D/3

DATE DE DECOUVERTE: 29 août 1980 N5,783,530
E 355,480

ORIGINE DE LA DECOUVERTE: prospection scintillométrique

RA MOUVEMENT PROPRE (c/s SPP2): 50

RA MAXIMUM (c/s SPP2): 1050 et 1300 cps

STATION NO.: 23J-302 et 2K-85

FORMATION: Indicateur

DESCRIPTION PETROGRAPHIQUE: 2J-302: Microconglomérat blanc, de composition ortho-quartzitique, à granules de quartz. RA maximale sur niveau ocre plus fin, non échantillonnable. 2K-85: Microconglomérat orthoquartzitique, gris pâle-verdâtre, à granules de quartz, conglomératique, à cailloux de quartz, diamètre 4 cm. RA maximale sur tache ocre-rouge à bordure verte.

ANALYSE(S): 2K-85: U: 18.2 ppm Th: 2090 ppm

2J-302: non échantillonnable

DESCRIPTION

<u>BLOC:</u>	L	l	e	S	V	P	p	AP	IE	IS	IEB	AZIMUT L

AFFLEUREMENT: Blocs



PROJET: MONTS OTISH

FICHE D'ANOMALIE AU SOL

(CROQUIS DE SITUATION OU TRANSPARENT PHOTO CI-JOINT)

ANOMALIE NO.: 2A-73

AFFLEUREMENT

BLOC

PHOTO NO.: Q 64364-122

NTS: E 36320
N576010

DATE DE DECOUVERTE: 27.8.80

ORIGINE DE LA DECOUVERTE: Coupe géologique (2C-156)

RA MOUVEMENT PROPRE (c/s SPP2): 1500

RA MAXIMUM (c/s SPP2): 4000

STATION NO.: 2V-290

FORMATION: Socle

DESCRIPTION PETROGRAPHIQUE: A biotitic (approx.25%) plagioclase quartz, porphyritic banded migmatite. There is yellow staining on the biotite grains.

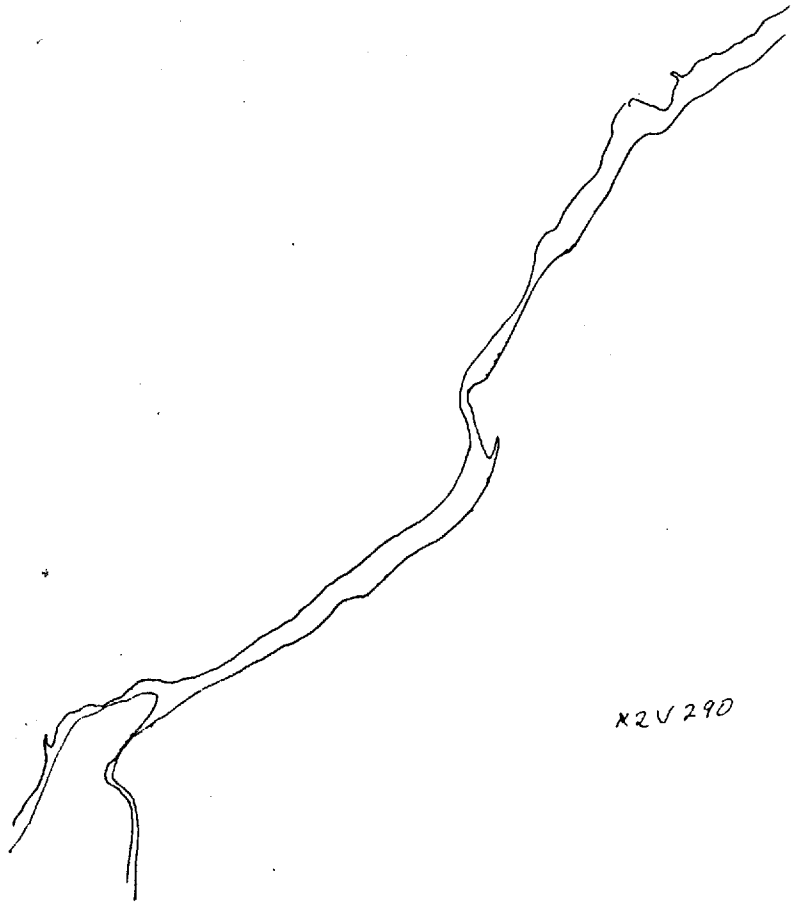
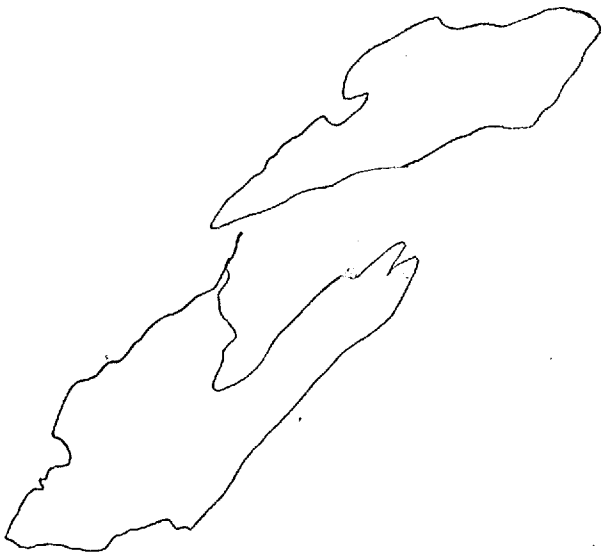
ANALYSE(S): 2V-290a: U: 1770.0 ppm Th: 132 ppm

DESCRIPTION

BLOC:

L	l	e	S	V	P	p	AP	IE	IS	IEB	AZIMUT L

AFFLEUREMENT:



X2V290

Q64764-
122

PROJET: MONTS OTISH

FICHE D'ANOMALIE AU SOL

(CROQUIS DE SITUATION OU TRANSPARENT PHOTO CI-JOINT)

ANOMALIE NO.: 2A-74

AFFLEUREMENT

BLOC

PHOTO NO.: Q 64368-85

NTS: 23D/3
N5783000
E356000

DATE DE DECOUVERTE: 30 août 80

ORIGINE DE LA DECOUVERTE: Prospection scintillométrique. Coupe 2C-150

RA MOUVEMENT PROPRE (c/s SPP2):

RA MAXIMUM (c/s SPP2): 2000 cps

STATION NO.: 2K-86

FORMATION: Indicateur

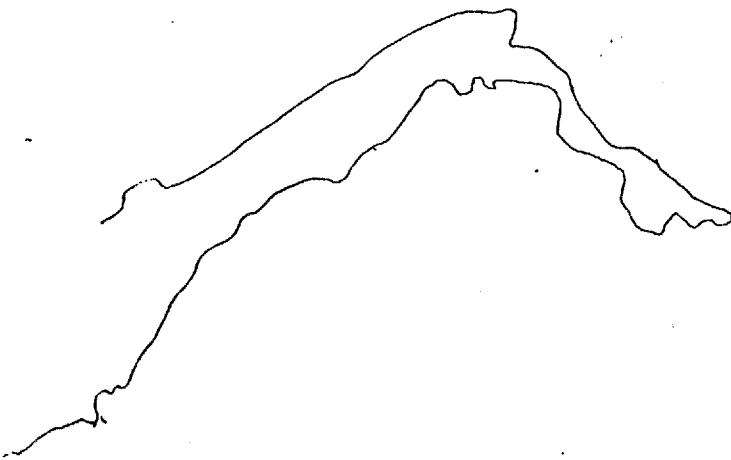
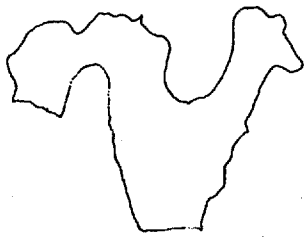
DESCRIPTION PETROGRAPHIQUE: Grès feldspathique microconglomératique et conglomératique à cailloux de quartz. RA maximale sur tache ocre.

ANALYSE(S): 2K-86a U: 64.0 ppm Th: 7508 ppm

DESCRIPTION

<u>BLOC:</u>	L	l	e	S	V	P	p	AP	IE	IS	IEB	AZIMU: L

AFFLEUREMENT:



○ 2K86
2A74



Q64368
-85

PROJET: MONTS OTISH

FICHE D'ANOMALIE AU SOL

(CROQUIS DE SITUATION OU TRANSPARENT PHOTO CI-JOINT)

ANOMALIE NO.: 2A-75

AFFLEUREMENT

BLOC

PHOTO NO.: 1:31,680 63107-21

NTS:

DATE DE DECOUVERTE: 4.09.80

ORIGINE DE LA DECOUVERTE: Prospection au sol lors de la traverse 2C-163

RA MOUVEMENT PROPRE (c/s SPP2): 450-500 cps, plusieurs points à 750 cps

RA MAXIMUM (c/s SPP2): 1200 cps

STATION NO.: 2M-395

FORMATION: Indicateur

DESCRIPTION PETROGRAPHIQUE: Subarkose microconglomératique avec de rares cailloux flottants. Feldspaths blancs, altérés, de taille variable, grains de quartz anguleux à subarrondis, taille variable, moyenne 3 à 4 mm. Altération ocre en film sur les grains dans la matrice.

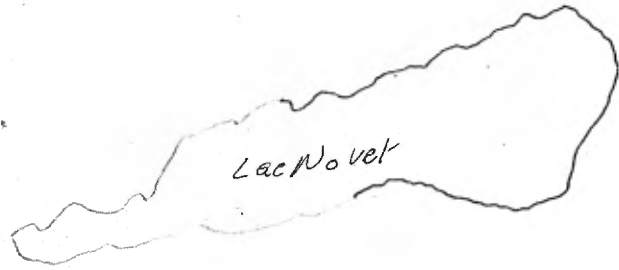
ANALYSE(S): U, Th 2M395 U: 8.5 ppm Th: 843 ppm.

DESCRIPTION

BLOC:

L	l	e	S	V	P	p	AP	IE	IS	IEB	AZIMUT L

AFFLEUREMENT: L'affleurement est constitué d'une séquence grossière à microconglomératique de subarkose, quelquefois arkosique, avec des cailloux flottants épars, quartzitiques, blancs, subarrondis, de taille variable. Les bancs sont lenticulaires, décimétriques à métriques. Le niveau anomal a été retrouvé dans un banc de 50 cm de puissance et la zone anormale semblait s'étendre latéralement sur plus de 3 m. Plusieurs autres niveaux de même composition choquaient à 350-450 cps plus haut, stratigraphiquement parlant, dans la séquence (3 m). Le sommet de la séquence est décoloré à cause de la présence du sill de gabbro qui surmonte le tout. Il est à noter que, dans ce gabbro, à moins de 100 m plus au nord, au bas du sill, nous avons repéré une fracture de direction N110° subverticale s'étendant sur plusieurs mètres et qui choquait au maximum 700 cps. La zone de fracture est fortement altérée, on y voit de l'épidotisation, de l'hématisation, de la chrysotile dans le centre.



Lac No vel

(X) 622

LA-75 Q 11395
2M-395

Anomalie 2A75
1200 cps
4-09-80

Q63107-21

PROJET: MONTS OTISH

FICHE D'ANOMALIE AU SOL

(CROQUIS DE SITUATION OU TRANSPARENT PHOTO CI-JOINT)

ANOMALIE NO.: 2A-76

AFFLEUREMENT

BLOCS

PHOTO NO.: Orthophoto 1/10,000, propriété "S"

NTS: X:5783,5
Y:E353,1

DATE DE DECOUVERTE: 22 août 1980

ORIGINE DE LA DECOUVERTE: géologie

RA MOUVEMENT PROPRE (c/s SPP2): 40

RA MAXIMUM (c/s SPP2): 2500

STATION NO.: 2P-319

FORMATION: Gabbro d'Otish

DESCRIPTION PETROGRAPHIQUE: Blocs de gabbro, apparemment sains, assez arrondis

ANALYSE(S):

U: 1430 ppm

Th: 15 ppm.

DESCRIPTION

BLOC:

L (cm)	l (cm)	e (cm)	S	V	P	p	AP	IE	IS	IEB	AZIMUT L
38	20	12									N70°
28	15	10									N72°

AFFLEUREMENT: En fait, il s'agit d'un seul bloc séparé en deux.

PROJET: MONTS OTISH

FICHE D'ANOMALIE AU SOL

(CROQUIS DE SITUATION OU TRANSPARENT PHOTO CI-JOINT)

ANOMALIE NO.: 2A-77

AFFLEUREMENT

BLOC

PHOTO NO.: Q 64368-85

NTS: 23D/3

DATE DE DECOUVERTE: vérifié 6 sept.80

ORIGINE DE LA DECOUVERTE: prospection

RA MOUVEMENT PROPRE (c/s SPP2):

RA MAXIMUM (c/s SPP2): 1050

STATION NO.: 2T-108

FORMATION: Indicateur

DESCRIPTION PETROGRAPHIQUE: Grès feldspathique, conglomératique, à cailloux de quartz, diamètre max. 3 cm, granulométrie grossière. Feldspaths très altérés, caverneux. Niveau un peu rougeâtre.

ANALYSE(S): 2T-108a

U: 52.7 ppm

Th: 2370 ppm.

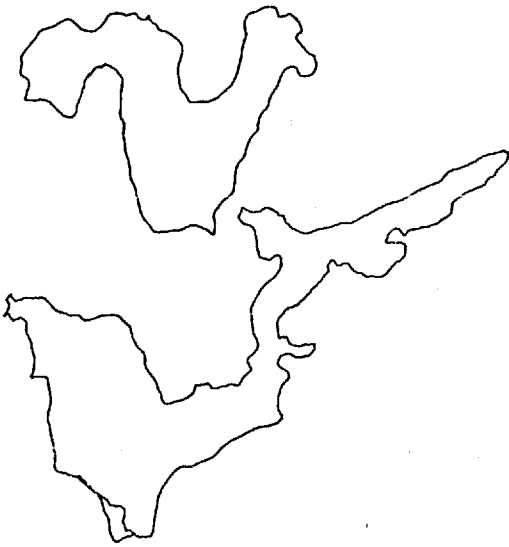
DESCRIPTION

BLOC:

L m	l m	e m	S	V	P	p	AP	IE	IS	IEB	AZIMUT L
1.10	.75	.45									

AFFLEUREMENT: Bloc sub-anguleux.

2A77
⊙ 2T 10B



Q64368
85

PROJET: MONTS OTISHFICHE D'ANOMALIE AU SOL(CROQUIS DE SITUATION OU TRANSPARENT PHOTO CI-JOINT)

ANOMALIE NO.: 2A-78

AFFLEUREMENT BLOC

PHOTO NO.: Q 64368-85

NTS: 23D/3

DATE DE DECOUVERTE: vérifié le 6 sept.80

ORIGINE DE LA DECOUVERTE: Prospection

RA MOUVEMENT PROPRE (c/s SPP2):

RA MAXIMUM (c/s SPP2): 2050 cps

STATION NO.: 2N-93

FORMATION: Indicateur

DESCRIPTION PETROGRAPHIQUE: Orthoquartzite vert à laminés vertes, plus feldspathiques.
Laminés rouges et ocre. Granulométrie moyenne à grossière.
Altération de manganite.

ANALYSE(S):

2N-93b

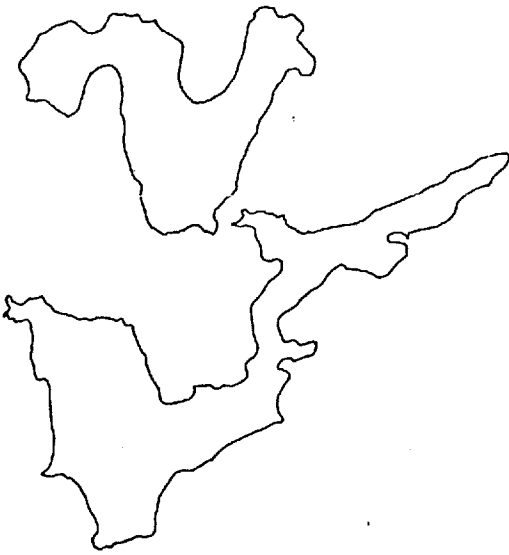
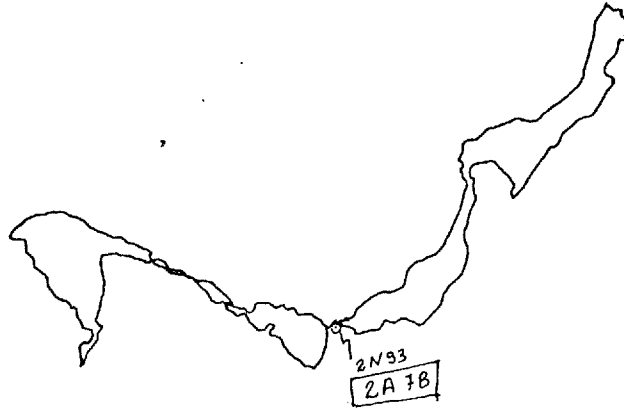
U: 64.9 ppm

Th: 4575 ppm.

DESCRIPTIONBLOC:

L	l	e	S	V	P	p	AP	IE	IS	IEB	AZIMUT L
51 cm	24 cm	17 cm									

AFFLEUREMENT: Probablement un fragment d'un bloc plus gros. Bloc très anguleux.



Q64368
85

PROJET: MONTS OTISHFICHE D'ANOMALIE AU SOL(CROQUIS DE SITUATION OU TRANSPARENT PHOTO CI-JOINT)

ANOMALIE NO.: 2A-79

AFFLEUREMENT BLOC

PHOTO NO.: Q 64368-85

NTS:

DATE DE DECOUVERTE: vérifié 6 sept.80

ORIGINE DE LA DECOUVERTE: Prospection

RA MOUVEMENT PROPRE (c/s SPP2):

RA MAXIMUM (c/s SPP2): 1900, 1800, 1400 cps

STATION NO.: 2K-87-88 et 2T-109

FORMATION: ?

DESCRIPTION PETROGRAPHIQUE: Arénite fine, verte, à ciment carbonaté (de dolomite et calcite?), silicifié? Plaquage de carbonates, niveau rougeâtre, taches noires. Auréole d'altération de limonite et de minéraux brun foncé de plusieurs cm d'épaisseur.

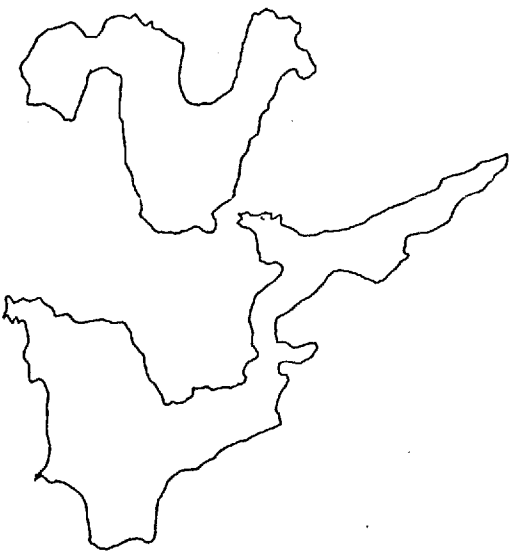
ANALYSE(S): 2K-87b U: 826.0 ppm Th: 37 ppm

2T-109a U: 270.0 ppm Th: 44 ppm

DESCRIPTION

<u>BLOC:</u>	L	l	e	S	V	P	p	AP	IE	IS	IEB	AZIMUT L
2K-87	90cm	60cm	15 cm									

AFFLEUREMENT: Les trois blocs se trouvent dans un rayon de 20 mètres.



2K87-88
2T 103
2A79



Q6436B
85

PROJET: MONTS OTISHFICHE D'ANOMALIE AU SOL(CROQUIS DE SITUATION OU TRANSPARENT PHOTO CI-JOINT)

ANOMALIE NO.: 2A-80

AFFLEUREMENT BLOC

PHOTO NO.: Q 64368-85

NTS:

DATE DE DECOUVERTE:

ORIGINE DE LA DECOUVERTE: Prospection

RA MOUVEMENT PROPRE (c/s SPP2):

RA MAXIMUM (c/s SPP2): 1200

STATION NO.: 2T-107

FORMATION:

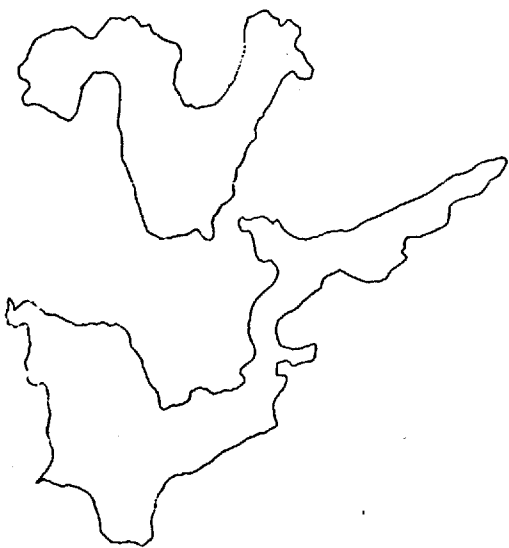
DESCRIPTION PETROGRAPHIQUE: Arénite fine, à ciment carbonaté, calcite-dolomite silicifié? Beaucoup de limonite, croûte altérée, beige rosé. Altération noire.

ANALYSE(S): 2T-107 U: 909 ppm. Th:

DESCRIPTION

<u>BLOC:</u>	L	l	e	S	V	P	p	AP	IE	IS	IEB	AZIMUT L
	24 cm	11 cm	7 cm									

AFFLEUREMENT:



2A80
© 2T107



Q64368
85

PROJET: MONTS OTISHFICHE D'ANOMALIE AU SOL(CROQUIS DE SITUATION OU TRANSPARENT PHOTO CI-JOINT)

ANOMALIE NO.: 2A-81

AFFLEUREMENT BLOC

PHOTO NO.: Orthophoto "S"

NTS:

DATE DE DECOUVERTE: 11 sept. 60

ORIGINE DE LA DECOUVERTE: géologie détaillée, indice "S"

RA MOUVEMENT PROPRE (c/s SPP2):

RA MAXIMUM (c/s SPP2): >15,000

STATION NO.: 2J-346

FORMATION: Gabbro d'Otish

DESCRIPTION PETROGRAPHIQUE: Brèche d'albitite? ou de gabbro à matrice très chloriteuse.

ANALYSE(S):

DESCRIPTION

<u>BLOC:</u>	L cm	l cm	e cm	S	V	P	p	AP	IE	IS	IEB	AZIMUT L
	30	25	10									

AFFLEUREMENT: Coordonnées: 435 SE
152 NE sur la grille de géologie détaillée

A été envoyé pour être scié.

PROJET: MONTS OTISH

FICHE D'ANOMALIE AU SOL

(CROQUIS DE SITUATION OU TRANSPARENT PHOTO CI-JOINT)

ANOMALIE NO.: 2A-82, 2A-83 AFFLEUREMENT BLOC

PHOTO NO.: Orthophoto, propriété "S" NTS:

DATE DE DECOUVERTE: 12 septembre 1980

ORIGINE DE LA DECOUVERTE: géologie de détail, propriété "S"

RA MOUVEMENT PROPRE (c/s SPP2): 40 cps

RA MAXIMUM (c/s SPP2): 15000, 12000

STATION NO.: 2L-327, 2T-110

FORMATION: Gabbro d'Otish, est en sous-affleurement, selon la direction N45° sur environ 125 m.

DESCRIPTION PETROGRAPHIQUE:

ANALYSE(S): 2L-327a U, Th brèche gabbro carbonate
2L-327b U, Th roche "albitisée", faciès siliceux uniquement, pas d'altération
2L-327d U, Th gabbro chloriteux vert, très altéré

DESCRIPTION

U: 2330 ppm.

BLOC:

L	l	e	S	V	P	p	AF	IE	IS	IEB	AZIMUT L

AFFLEUREMENT: Veine étroite à N137°, 15 cm de large, remplissage de carbonate, idem tranchée S2.

2T-110 Débit tectonique dans le gabbro parallèle à la fracture, débit 8 à 10 centimètres, densité 10 à 12. Joints à N60, N35. Aucun déplacement, complètement stérile

2L-327 Veine de carbonate ou brèche de gabbro impliquant les gabbros et des carbonates de veine rose et brun. Altération de gossan, U dans les faciès gris albitisés, très siliceux, fins.

ECHANTILLON POUR ANALYSE ET ETUDE

		U ppm	Th ppm
2L-327a	Brèche gabbro-carbonate	326.0	
2L-327b	Roche très siliceuse, faciès albitisé	L.M. 1780.0	
2L-327d	Gabbro chloriteux, très altéré	L.M. 6.6	
2L-327c		L.M.	
2L-327e	Roche siliceuse, faciès albitisé au contact grès-gabbro		

PROJET: MONTS OTISH

FICHE D'ANOMALIE AU SOL

(CROQUIS DE SITUATION OU TRANSPARENT PHOTO CI-JOINT)

ANOMALIE NO.: train de blocs, Lac Banane
AFFLEUREMENT BLOCS

PHOTO NO.: Orthophoto, propriété "S" NTS: E 352,250
N5,782,300

DATE DE DECOUVERTE:

ORIGINE DE LA DECOUVERTE: Prospection

RA MOUVEMENT PROPRE (c/s SPP2):

RA MAXIMUM (c/s SPP2): 9500 2T-88

STATION NO.: 2T-84-89, 2N-77-79

FORMATION: Gabbro d'Otish

DESCRIPTION PETROGRAPHIQUE: Gabbro d'Otish, très chloritisé, altéré, cisailé, fractures remplies de carbonates, calcite-dolomie.
2N-79: anomalie dans le sol. 2T-87: albitite

ANALYSE(S): U-Th sur 2T-84b, 2T-85b, 2T-86a, 2T-87c, 2T-88c, 2T-89c, 2N-77b, 2N-79b
Voir résultats plus bas.

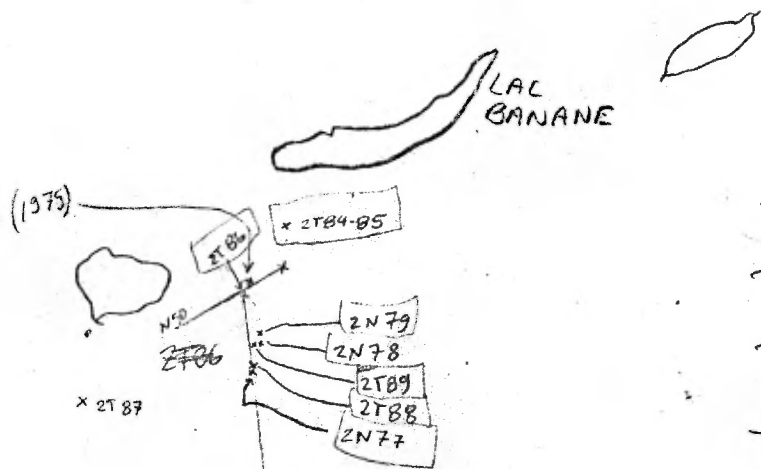
DESCRIPTION

<u>BLOC:</u>	L	l	e	S	V	P	p	AP	IE	IS	IEB	AZIMUT L

<u>AFFLEUREMENT:</u>	U (ppm)	Th (ppm)
2T84b	>5000.0	270
2T85b	3750.0	N.D.
2T86a	>5000.0	59
2T87c	2940.0	5
2T88c	>5000.0	155
2T89c	>5000.0	33
2N77b	>5000.0	12
2N79b	146.0	90

RADIOMETRIE DES ECHANTILLONS (cps / SPP2)

	<u>entier</u>	<u>fragments</u>		
2T-84	7500	a) 5000	b) 6000	
2T-85		a) 6500	b) 4500	
2T-86		a) 8500	b) 4000	
2T-87 albitite?	2050			
2T-88	9500	a) 6500	b) 400 cps	c) 5000
2T-89		a) 12500	b) 3500	c) 7500 d) 6500
2N-77		a) 9000	b) 6500	
2N-78	moins de 500 cps			
2N-79 sur sol		a) 125	b) 125	



2N78

T80 T89-
~~T85~~ N79-
 T86-
 T88-
 T84-
 N77-

N78 500m²

PROJET: MONTS OTISH

FICHE D'ANOMALIE AU SOL

(CROQUIS DE SITUATION OU TRANSPARENT PHOTO CI-JOINT)

ANOMALIE NO.: A-29 complémentaire AFFLEUREMENT BLOC

PHOTO NO.: Orthophoto propriété "S"

NTS: 23D/3
52°09'30"
71°09'00"

DATE DE DECOUVERTE: Vérifié le 5 sept.80

ORIGINE DE LA DECOUVERTE: Prospection

RA MOUVEMENT PROPRE (c/s SPP2):

RA MAXIMUM (c/s SPP2): approx. 5000 sur 2N-87

STATION NO.: 2N-83 à 89 et 2T-102 à 106

FORMATION:

DESCRIPTION PETROGRAPHIQUE: Orthoquartzite à laminations noires. Quartz noirs. Lentilles très poreuses avec hématite. Fracture à plaquage de carbonates produits jaunes disséminés dans la roche. Taches de limonite, manganite, quartz noirs.

ANALYSE(S): U, Th sur les échantillons 2N-83b et 2T-103a

2N83b U: 990.0 ppm Th: N.D.
2T103a U: 678.0 ppm Th: N.D.

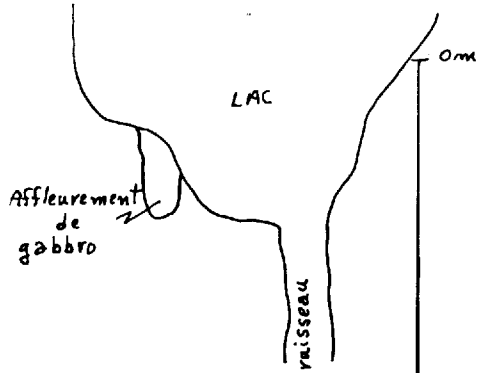
DESCRIPTION

<u>BLOC:</u>	L	l	e	S	V	P	p	AP	IE	IS	IEB	AZIMUT L

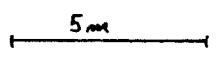
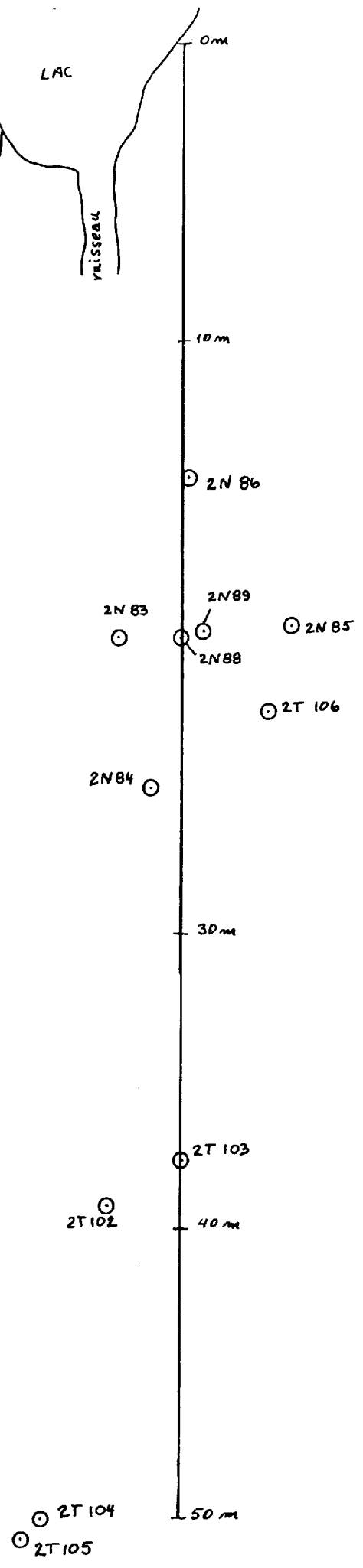
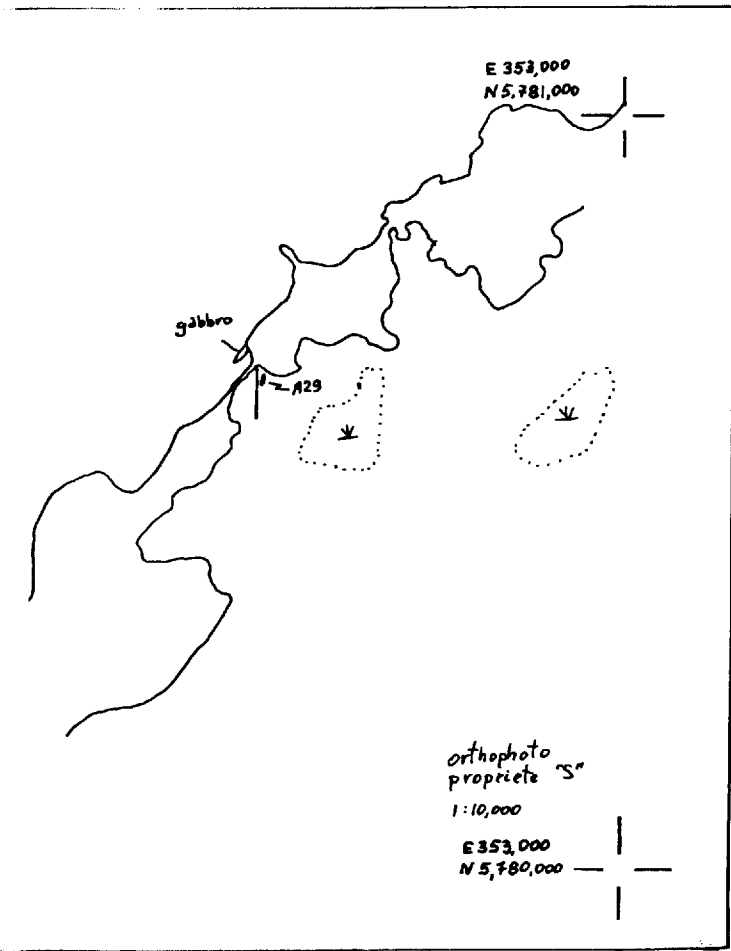
AFFLEUREMENT:

Description sommaire des blocs trouvés
au sud de A-29

			cps	cps
2N-83	50 x 41 x 39 cm	anguleux	a)650	b) 490 (analyse)
2N-84	70 x 45 x 35 cm	anguleux	a)360	b)420 c)140 cps
2N-85	40 x 10 x 10 cm	anguleux	a)400	b)140
2N-86	40 x 30 x 10 cm	anguleux 1750 cps	a)1100	b)850
2N-87	80 x 50 x ? cm	anguleux? ≈5000	a)850	b)1100
2N-88	32 x 24 x 15 cm	sub-en-place? 1200	a)200	b)170
2N-89	55 x 55 x 20 cm	anguleux 1400	a)310	b)420
2T-102	60 x 25 x ? cm	anguleux	a)699	b)130
2T-103	39 x 33 x 4 cm		1350 a)800 analyse	b)500
2T-104	40 x 45 x 30 cm		1400 a)non échantillonné	
2T-105			2700 cps 400 cps	
2T-106	40 x 33 x 15 cm		1150 cps a)420	b)250 cps



A-23



PROJET: MONTS OTISH

FICHE D'AFFLEUREMENT

DATE: 29 juin 1980

LOCALISATION: Photo Q-64364-108

STATISTIQUE: Visite et positionnement de l'anomalie A-29.

KM DE COUPE:

KM RADIOMETRE:

STATION	RA SPP2	DESCRIPTION	FORMATION	ECHAN- TILLON	ANALYSE
2L-76	2000	<p>L'anomalie se situe dans des grès feldspathiques laminés gris et rosés. La zone anormale suit la stratigraphie sur 4 ou 5 mètres sur une épaisseur de 60 à 80 cm.</p> <p>La stratification est orientée à N-30°, 20 E. La distribution des "laminae" est irrégulière; l'abondance des rosés domine sur le gris.</p> <p>La minéralisation de produits jaune vert secondaires est distribuée uniformément dans la roche, tant dans les faciès rosés que les gris verts.</p> <p>Le quartzite est recristallisé et certains minéraux croissent à angle avec la stratification.</p> <p>Les oxydes de fer relativement abondants, forment des taches (½ m) rouges.</p> <p>Les "laminae" foncées sont à grain plus fin que les rosées blanches.</p> <p>Sur les plans de fractures, il y a concentration de l'U.</p> <p>2L-76a: Grès laminé gris et blanc minéralisé.</p> <p>2L-76b: Grès laminé gris et blanc minéralisé.</p> <p>2L-76c: Etude des minéraux en excroissance.</p>			
				2L-76a	106 June ← U. Th. → 6H
				2L-76b	U. Th.
				2L-76c	I.M.

Statistiques

STATION	RA SPP2	DESCRIPTION	FORMATION	ECHAN- TILLON	ANALYSE
2L-76	suite	<p>50 m. à l'ouest, un sill de gabbro relativement frais, semble concordant aux orthoquartzites recristallisés.</p> <p>On ne peut, pour le moment, établir le lien direct entre le gabbro et les grès minéralisés.</p>			

PROJET: MONTS OTISH

FICHE D'ANOMALIE AU SOL

(CROQUIS DE SITUATION OU TRANSPARENT PHOTO CI-JOINT)

ANOMALIE NO.: A-37

AFFLEUREMENT

BLOC

PHOTO NO.: Q 64372-197

NTS: N5771875
E330,200

DATE DE DECOUVERTE: 16 juin 1980

ORIGINE DE LA DECOUVERTE: Prospection radiométrique: Jean Beaudin et Claude Marcotte

RA MOUVEMENT PROPRE (c/s SPP2): 125-175 cps

RA MAXIMUM (c/s SPP2): 7000 cps. Zone de battement de 30-40 cm. 2500, 3000

STATION NO.: 2B-9, 2L-21

FORMATION: Socle

DESCRIPTION PETROGRAPHIQUE: Gneiss granitique (granito-gneiss), blanc. Essentiellement quartz-feldspath à % de quartz variable dans l'affleurement (% varie 30-50%). Zones à grain fin à moyen (1 à 2 mm), équi-granulaire. Autres parties où quartz à texture pegmatitique se concentre en agrégats flottants dans les feldspaths (grains de l'ordre du centimètre). Quelques veinules discontinues d'une dizaine de cm de longueur. (suite p.2)

ANALYSE(S):	U	Th	Pb	Mo	V	Bi	Se
2L-21b	650	295	1200	2900	6	ND	ND
2L-21c	201	136	145	410	6	ND	3
2B-9	1.6	113					

DESCRIPTION

BLOC:

L	l	e	S	V	P	p	AP	IE	IS	IEB	AZIMUT L

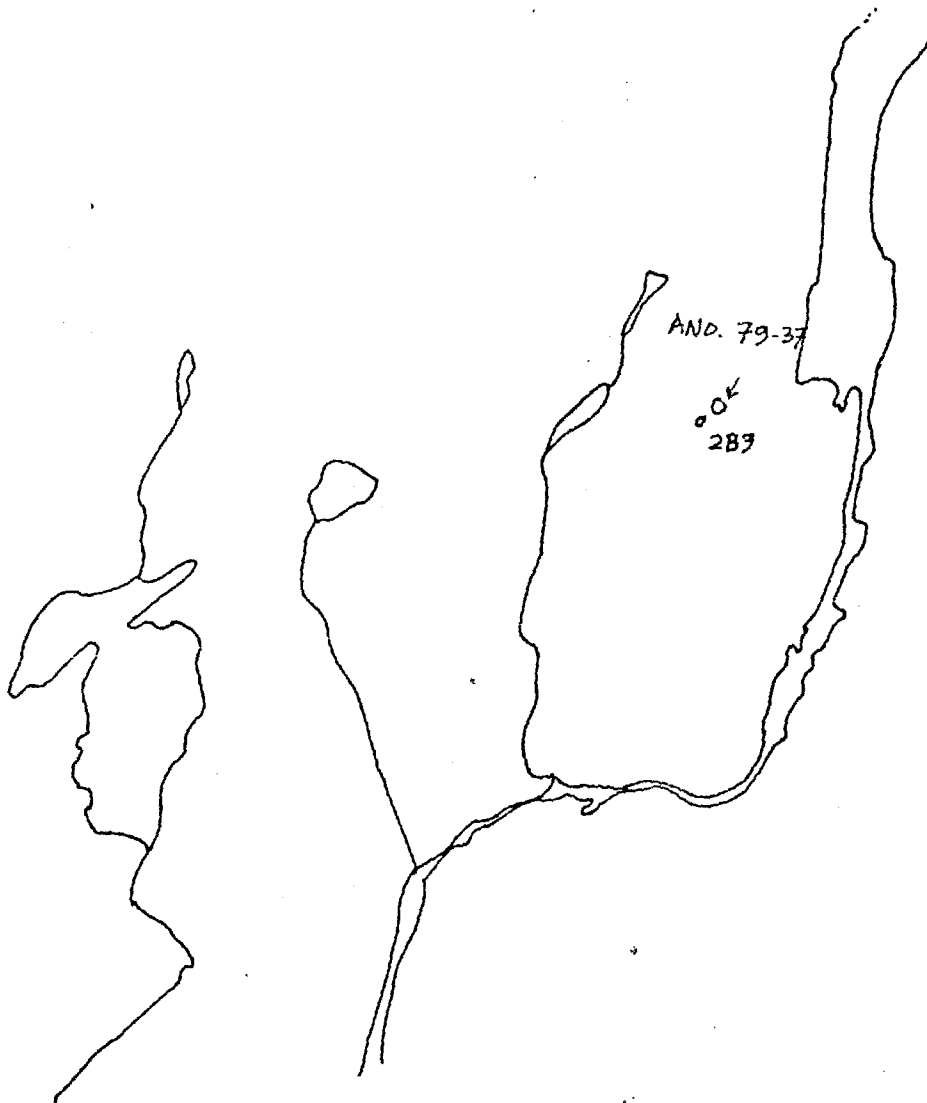
AFFLEUREMENT: La zone anormale se situe dans un gneiss granitique tectonisé, ayant subi un décrochement $\approx 275^\circ$ /subvertical, avec bloc sud ayant remonté par rapport au bloc nord (cf. stries de glissement verticales sur plan de faille). On retrouve l'anomalie dans le bloc sud, à 2 m de la faille. La faille est apparente sur 5 à 6 m et les deux blocs affleurent sur une dizaine de mètres carrés.

Description pétrographique (suite)

La zone anormale est circonscrite à une surface de microfracturation de direction $296^{\circ}/80^{\circ}$. La zone de battement autour du RA maximum s'étend sur une trentaine de centimètres. Dans ces plans de microfracturation, existe un matériel d'altération verdâtre, chloriteux, pouvant atteindre 4 à 5 mm d'épaisseur.

A proximité du point chaud maximum, existe un minéral noir, interstitiel avec grains de quartz et de feldspath, d'aspect laminaire, de l'ordre du mm (nature?).

Résultat spectromètre:	Tc	K	U	Th	U/Th
	38.1	2.7	0.8	0.2	4



ANOMALIE 37

Orthoplan
1/10,000
Photo au 1/15840
64372-197

PROJET: MONTS OTISH Complément d'étude A-61, positionnement coupe 2C-80

FICHE D'ANOMALIE AU SOL

(CROQUIS DE SITUATION OU TRANSPARENT PHOTO CI-JOINT)

ANOMALIE NO.: A-61

AFFLEUREMENT

BLOC

PHOTO NO.: Orthophoto "C" nord

NTS: 52°15', 70°59'

DATE DE DECOUVERTE:

ORIGINE DE LA DECOUVERTE:

RA MOUVEMENT PROPRE (c/s SPP2):

RA MAXIMUM (c/s SPP2): 2L-166: 2000 cps, 2L-167:1500 cps

STATION NO.: 2L-166, 2L-167

FORMATION: Indicateur

DESCRIPTION PETROGRAPHIQUE: 2L-166: grès feldspathique, plus ou moins laminé, grain fin
2L-167: grès feldspathique, grossier, à faciès ocre

ANALYSE(S):
2L-166a U, Th, lame mince U: 44.3 ppm Th: 1320 ppm
2L-166b U, Th, lame mince U: 5.2 ppm Th: 132 ppm
2L-167a U, Th, lame mince U: 295 ppm Th: 92 ppm

DESCRIPTION

BLOC:

L	l	e	S	V	P	p	AP	IE	IS	IEB	AZIMUT L

AFFLEUREMENT: Plage de grès feldspathique, laminé, mauve à gris-bleu, dans un grès vert à grain fin. Le grès mauve ne forme qu'une partie du bloc 80x70 x 5cm. Activité concentrée sur le faciès mauve. Le faciès vert est actif à 150 cps max.

2L-167: P.J. et P.O. associés aux faciès ocre dans un grès feldspathique, microconglomératique.

PROJET: MONTS OTISH Complément d'étude sur l'anomalie A-62

FICHE D'ANOMALIE AU SOL

(CROQUIS DE SITUATION OU TRANSPARENT PHOTO CI-JOINT)

(voir coupe 2C-78)

ANOMALIE NO.: A-62, 1979

AFFLEUREMENT

BLOC

PHOTO NO.: Orthophoto "G" nord

NTS:

DATE DE DECOUVERTE:

ORIGINE DE LA DECOUVERTE:

RA MOUVEMENT PROPRE (c/s SPP2): 100

RA MAXIMUM (c/s SPP2): 7500 cps

STATION NO.:

FORMATION: Unité 8a. Microconglomérat arkosique, polygénique.

DESCRIPTION PETROGRAPHIQUE:

			U ppm	Th ppm
ANALYSE(S):	2L-121a	U, Th	3510.0	29
	2L-121b	U, Th	5.9	5
	2L-121c	Lame mince	29.7	24
	2L-121d		1.0	19
<u>DESCRIPTION</u>	2L-121e		1.1	3

BLOC:

L	l	e	S	V	P	p	AP	IE	IS	IEB	AZIMUT L

AFFLEUREMENT: Les zones les plus actives sont liées à des passées d'arkose verte à faciès ocre, à l'intérieur de microconglomérat arkosique chenalisant à caractère polygénique. Les chenaux d'arkose et microconglomérat sont difficiles à distinguer de leur encaissant puisque celui-ci est un microconglomérat arkosique à cailloux épars de quartz. Au sommet, cependant, les faciès anomaux sont surmontés de quartzite blanc, laminé, lequel apparaît sur ce secteur G à un marqueur stratigraphique. La minéralisation se manifeste à plusieurs niveaux à l'intérieur de la zone active dont la puissance maximale est de 3 à 4 m et l'étendue de 60 à 70 m selon la stratigraphie.

PROJET: MONTS OTISH Complément d'étude A-61 et A-62(79)

FICHE D'ANOMALIE AU SOL

(CROQUIS DE SITUATION OU TRANSPARENT PHOTO CI-JOINT)

ANOMALIE NO.: A-62

AFFLEUREMENT

BLOC

PHOTO NO.:

NTS: 52°02', 70°07'

DATE DE DECOUVERTE:

ORIGINE DE LA DECOUVERTE:

RA MOUVEMENT PROPRE (c/s SPP2): 2L-157,125

RA MAXIMUM (c/s SPP2): 2L-157, 1800

STATION NO.: 2L-157

FORMATION: Subarkose à grès feldspathique, faciès ocre (unité 10)

DESCRIPTION PETROGRAPHIQUE:

ANALYSE(S): 2L-157a U, Th

U: 945.0 ppm

Th: 1 ppm

DESCRIPTION

BLOC:

L	l	e	S	V	P	p	AP	IE	IS	IEB	AZIMUT L

AFFLEUREMENT:

Bloc très anguleux de subarkose, localement conglomératique, à faciès ocre. Ce bloc pourrait appartenir au faciès microconglomératique chenalisant de l'unité 8a. Minéralisation en produits jaunes et produits oranges.

PROJET: MONTS OTISH

FICHE D'ANOMALIE AU SOL

(CROQUIS DE SITUATION OU TRANSPARENT PHOTO CI-JOINT)

ANOMALIE NO.: A-6⁷₈ AFFLEUREMENT BLOC

PHOTO NO.: Q 63115A-60 NTS: N5,795,000
E 368,000

DATE DE DECOUVERTE: 1979

ORIGINE DE LA DECOUVERTE: Prospection

RA MOUVEMENT PROPRE (c/s SPP2): 35-55

RA MAXIMUM (c/s SPP2): 4,000

STATION NO.: R-201 (2V-89)

FORMATION: Indicateur

DESCRIPTION PETROGRAPHIQUE: Sub-arkose with "faciès noir" when in contact with green argillite.

ANALYSE(S):

	Cu	Pb	Zn	Mo	Co	Bi	U	Th (ppm)
2V-89a	1660	268	26	370	66	2	737	9

DESCRIPTION

<u>BLOC:</u>	L	l	e	S	V	P	p	AP	IE	IS	IEB	AZIMUT L

AFFLEUREMENT: The outcrop consists of coarse to very coarse grained, white sub-arkose and feldspathic sandstone overlain by green argillite which was partially eroded before deposition of the overlying bed. Abundant chips of argillite are present in the sub-arkose. Euhedral 2 mm crystals of calcite and fine acicular crystals are present in the argillite, which is up to 10 cm thick. Irregular blebs of pyrite and chalcopyrite and uranium mineralization are present in the sub-arkose, especially in proximity to the argillite. The sub-arkose changes to reddish (due to slight hematization and then to black lithic greywacke (0 to 10 cm thick) near the contact with the argillite. The sulphide and uranium mineralization tends to be punctual, averaging 150 to 250 c/s with 35-50 c/s background.

There has been recrystallization as denoted by some of the feldspar grains being reddish with a bright luster. Small 10 cm cross-bedding indicates a paleocurrent direction of approximately 200°.

Sub-arkose 4000 c/s (SPP2)

Tc	1404.4
K	72.5
U	54.6
Th	2.7
U/Th	20.2

Sub-arkose 2500 c/s (SPP2)

Tc	970.1
K	51.9
U	36.3
Th	2.6
U/Th	14

Argillite 190 c/s (SPP2)

Tc	112.0
K	6.3
U	3.3
Th	0.6
U/Th	5.5

Sub-arkose 35 c/s (SPP2)

Tc	24.6
K	1.0
U	0.4
Th	0.2
U/Th	2

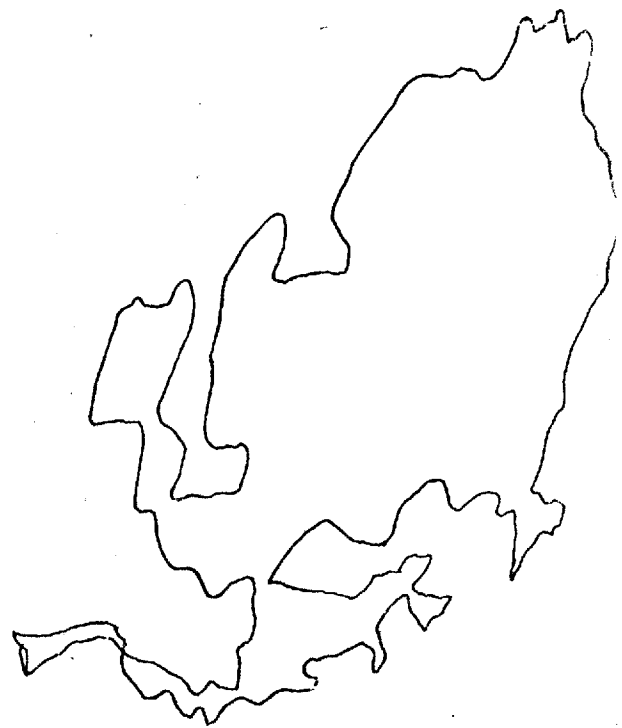
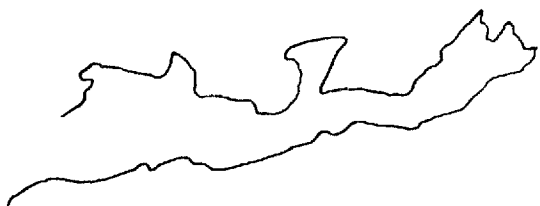
172,12

043,90 - major fracturation

200^o



XR201 (2V89)
XR206



PROJET MONTS OTISH

CAMPAGNE 1980

ANNEXE #1 - MINUTES DE TERRAIN

CAHIER #1b - FICHES D'AFFLEUREMENTS

MRN-GÉOINFORMATION 2000

GM 57684

LISTE DES SYMBOLES UTILISES POUR L'ETE 1980

PAR LES GEOLOGUES

(le chiffre 2 précédant l'initiale signifie l'année 1980)

B : Jean Beaudin
J : Robert St-Jean
K : Yves Rougerie
L : Serge Lavoie
M : Claude Marcotte
N : Marc Simard
O : Olivier Simard
P : Patrice Caumartin
S : Bernard Soyer
T : Daniel Tremblay
V : Malcolm Gent
Y : Antoine Yassa

TABLE DES MATIERES
DES ANNEXES

CAHIER #1b

CHAPITRE 1 - SECTEUR "G" EST

- 1.1 Coupes du secteur "G" Est
 - . Plan #4a, Carte géologique 1:15,840
 - . Plan #4b, Colonne stratigraphique "G" Est 1:2,000
 - . Plan #4c, Coupes/Stations 1:15,840

- 1.2 Géologie de détail de l'Anomalie 2A-53
 - . Plan #5a, Carte géologique 1:500
 - . Plan #5b, Plan compteur 1:500

CHAPITRE 2 - SECTEUR 2A-23

- 2.1 Coupes du secteur 2A-23
 - . Plan #6a, Carte géologique 1:15,840
 - . Plan #6b, Colonne stratigraphique 2A-23 1:2,000

CHAPITRE 3 - SECTEUR LAC KERVESO

- 3.1 Coupes secteur Lac Kerveso
 - . Plan #7a, Carte géologique 1:15,840
 - . Plan #7b, Colonne stratigraphique 1:2,000

TABLE DES MATIERES
DES ANNEXES

CAHIER #1a

CHAPITRE 1 - PROPRIETE "G"

- 1.1 Coupes de la propriété "G"
 - . Plan #1a, Carte géologique "G" Nord 1:10,000
 - . Plan #1b, Carte géologique "G" Sud 1:10,000
 - . Plan #1c, Colonne stratigraphique 1: 2,000
 - . Plan #1d, Coupes/Stations "G" Nord 1:10,000
 - . Plan #1e, Coupes/Stations "G" Sud 1:10,000

- 1.2 Géologie de détail de l'anomalie A-8
 - . Plan #2, Carte géologique 1:500

- 1.3 Vérification des anomalies 2A-16, 2A-17, 2A-5

- 1.4 Coupes à l'Ouest de la propriété "G"

- 1.5 Géologie-Radiométrie fine de l'anomalie A-62
 - . Plan #3a, Radiométrie fine (10x10m).
Données brutes-zonéographie 1:1,000
 - . Plan #3b, Carte des formations superficielles
Relevé des anomalies minérales de la lithologie
1:1,000
 - . Plan #3c, Radiométrie fine (10x10m)
Données corrigées, effet de vol déduit
 - . Plan #3d, Géologie fine

TABLE DES MATIERES
DES ANNEXES

CAHIER #1c

CHAPITRE 1 - PROPRIETES "S" ET "L" ET SECTEUR DU LAC GASCHET

- 1.1 Coupes des propriétés "S" et "L"
 - . Plan #8a, Carte géologique 1:10,000
 - . Plan #8b, Carte géologique de détail 1:1,000
 - . Plan #8c, Colonne stratigraphique 1:2,000
 - . Plan #8d, Coupes/Stations 1:10,000

- 1.2 Coupes du secteur du Lac Gaschet
 - . Plan #9a, Carte géologique 1:15,840
 - . Plan #9b, Colonne stratigraphique 1:2,000

- 1.3 Vérifications des Anomalies A-29, 2A-41

CHAPITRE 2 - SECTEUR DE LA BORDURE NORD

- 2.1 Coupes du Secteur Bordure Nord
 - . Plan #10a, Carte géologique 1:31,680
 - . Plan #10b, Colonne stratigraphique 1:2,000
 - . Plan #10c, Coupes/Stations 1:31,680

CHAPITRE 3 - ETUDES GEOLOGIQUES DANS DIFFERENTS SECTEURS DU BASSIN D'OTISH

- 3.1 Etude de J. Beaudin sur l'axe de Mistassini-Pluto
- 3.2 Péribonca du Nord-Est du Bassin
- 3.3 Sous-bassin de l'Indicateur

CHAPITRE 4 - VERIFICATIONS D'ANOMALIES

- 4.1 Vérification du vol 2B-15; zone de géochimie #10, Anomalie 2A-66
- 4.2 Vérification de la zone de géochimie #15, Anomalies 2A-69, 2A-70

4.3 Vérification Indice Babcock

CHAPITRE 5 - VISITES DE POINTS D'INTERET

5.1 Visite de points d'intérêt du 13 juillet avec H. Knipping et D. Faure

5.2 Visite des Indices "S" et "L" et échantillonnage pour étude métallogénique, F. Ruhlmann

CHAPITRE 6 - SONDAGE DU LAC LAPARRE

. Plan #11, Colonne stratigraphique 1:2,000

PROJET: MONTS OTISH

Serge Lavoie
Alain Girard

FICHE D'AFFLEUREMENT

DATE: 19 juillet 1980

LOCALISATION: Hors propriété, Est du "G"

STATISTIQUE: Coupe 2C-82

KM DE COUPE: 5,1 km

KM RADIOMETRE: 5,1 km

STATION	RA SPP2	DESCRIPTION	FORMATION	ECHAN- TILLON	ANALYSE
2L-136	50 N-225° N-175° N-90° ψ 0-196° 320° 10°	Orthoquartzite rose, massif, quelques lami- nations blanches à grain grossier, souli- gnant une stratification entrecroisée de petite taille, centimétrique, angle de chu- te 15°-20°. Le quartzite est homogène, 95-98% de quartz arrondi à sous-anguleux, 1/4 à 1/2 mm, grain moyen. Feldspath altéré rose, 3 à 5%. Légère héma- tisation de la roche. 2L-136a: Quartzite rose massif. 2L-136b: Grès feldspathique rose à bandes noires; blocs L.M. pour identifier ses oxydes de fer en mince filon sur le quartz. 2L-136c: Orthoquartzite rose à deux granu- lométries, bandes N 11 et obliques à la stratification. L.M.			
2L-137	100- 125 75-80 N-12° 15°	210 m sur azimut 90°. Gros affleurement de grès feldspathique blanc, grain moyen, bancs massifs. Le pas- sage des orthoquartzites roses ou grès felds- pathique se fait par l'intermédiaire d'un quartzite blanc massif de 2 ou 3 mètres d'épaisseur. Ra-25 cps. L-137a: Quartzite blanc massif. L-137b: Grès feldspathique blanc, grain moyen: 110-150 cps. L-137c: Bloc à 500 cps, 200, grès à or- thoquartzite blanc.			
				2L-136a 2L-136b 2L-136c	2.4 / 12 U. Th. L.M. L.M.
				L-137a L-137b L-137c	0.9 / 1 U. Th. 1.8 / 6 U. Th. 5.5 / 7 U. Th.

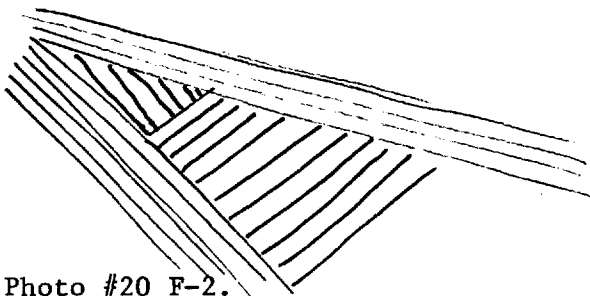
Statistiques

STATION	RA SPP2	DESCRIPTION	FORMATION	ECHAN- TILLON	ANALYSE
2L-137	suite / 91° d. 285°	Le passage des quartzites roses aux grès feldspathiques blancs correspond à une petite vallée. Orthoquartzite éolien (?). Stratification oblique N-285°, 41°, dans orthoquartzite blanc à grain moyen, 3 à 5% de feldspath en matrice; banc de 2 à 3 mètres de quartzite blanc éolien à stratification très redressée. Tache ou pois d'hématisation rouge.			
2L-138	3000 / 15° / 15°	Anomalie RA dans une arkose à grain moyen, faciès ocre et faciès vert; l'anomalie se poursuit sur 15 m en direction N-164°, faciès ocre, point de 300 à 3000 cps ± dans le même banc. 225 m selon 90° de 2L-136. 2L-138a: arkose R.A., faciès ocre.	} L'anomalie est contrôlée par 2 fractures N-165° et N-110°.	2L-138a	60.9 / 7 U. Th.
2L-139	110- 125 70-60 d. 230° / 12°	Sub-arkose blanche, grain moyen à gros, le sommet des bancs est conglomératique à cailloux de quartz ± arrondis. 2L-139a: Sub-arkose blanche, grain moyen à gros.		2L-139a	2.1 / 8 U. Th.
2L-140	50 35	Grès feldspathique en banc massif, grain moyen. Le grès feldspathique passe progressivement à un orthoquartzite blanc, grain moyen. 50 m plus au S.O., orthoquartzite blanc rosé, massif.			

Statistiques

STATION	RA SPP2	DESCRIPTION	FORMATION	ECHAN- TILLON	ANALYSE
2L-141	25-30 N.240° / 27°	Grès feldspathique blanc, grain grossier, laminations 2 à 3 cm très quartzitiques, taches roses à pêche d'hématisation. Débit irrégulier de 15 à 25 cm. Les passages de faciès sont très progressifs.			
2L-142 2L-143 IDEM 2L-136	50-60 N.356° / 44°	Quartzite rose laminé, massif; le passage des grès feldspathique aux quartzites roses se fait par l'intermédiaire des quartzites en plaquettes et pois mauves; stratification très redressée. Ces quartzites éoliens (?) n'apparaissent que sur blocs. Passée gréseuse lessivée dans le quartzite.			
2L-144	40 N-348° / 6° — ●	Grès feldspathique rose à blanc, schistosé, grain moyen, couleur est très locale. Stratification N-348° 6°. Schistosité ± bien exprimée à N-90°. Joints N-90°.		2L-144a	Réf.
2L-145	25 55° / N-79° / 18° N.292°	Quartzite blanc à rosé, débit en plaquettes, stratification très redressée, galets mous dissouts, surface d'affleurement vacuolaire. Ces quartzites sont en contact graduel avec les quartzites roses laminés.			

Statistiques

STATION	RA SPP2	DESCRIPTION	FORMATION	ECHAN- TILLON	ANALYSE
2L-145	suite	<p>Vers sa base, le faciès éolien montre une texture saccharoïde avec évidence de dissolution.</p> <p>2L-145a:</p>  <p>Photo #20 F-2.</p> <p>Direction d'écoulement N-347°, donc un apport du S.E.</p>		2L-145a	Réf.
2L-146	70-80	<p>Microconglomérat sub-arkosique blanc à rose, localement hématisé, polygénique; gros cailloux de quartz très arrondis, cailloux anguleux, esquilles d'argile, chalcédoine.</p> <p>Stratification donnée par un niveau conglomératique, paraconglomérat polygénique.</p> <p>Conglomérat de ravinement polygénique à l'intérieur de la séquence de microconglomérat.</p>			
	60-70	<p>A la base de la séquence, près du lac le faciès dominant est une sub-arkose blanche portant quelques cailloux d'argilite beige.</p> <p>Stratification sur interlit microconglomératique.</p> <p>La séquence apparaît inverse.</p> <p>2L-146a: Microconglomérat sub-arkosique.</p> <p>Veines de quartz et effets de recristallisation à N-90°.</p>		2L-146a	Réf.

Statistiques

STATION	RA SPP2	DESCRIPTION	FORMATION	ECHAN- TILLON	ANALYSE
2L-147	50-70	<p>Sub-arkose blanche à points roses, grain moyen, quelques cailloux épars de quartz, banc massif, galets de quartz très arrondis.</p> <p>En descendant vers la vallée, passage très progressif des sub-arkoses, grain moyen, à des grès feldspathiques, orthoquartzite et sub-arkose blanche, grain très fin, passage latéral d'un faciès à l'autre.</p> <p>Cette succession de faciès moyen et faciès fin au niveau de la station 2L-147, supporte la théorie d'une séquence inverse.</p> <p>Note: cette coupe <i>parallèle</i> avec la coupe 2C-78 et ces faciès fins sous les sub-arkoses et microconglomérats sont probablement identiques à ceux des stations 2L-118 et 2L-117.</p>			
2L-148	40-50	<p>Grès feldspathique rosé massif, grain moyen, quelques cailloux épars de quartz. Niveau centimétrique, le conglomérat ravinant polygénique en surface d'affleurement.</p> <p>2L-148a: Galet d'arkose dans conglomérat de ravinement.</p> <p>Joint N-240,38, N-8⁰, sub-verticaux.</p> <p>N-148b: Bloc décimétrique de sub-arkose à niveau conglomératique de ravinement. Disposition de la chalcédoine dans le conglomérat.</p>		2L-148a	L.M.
				N-148b	L.M.
2L-149	50-60	<p>Grès feldspathique blanc rosé, grain moyen à fin, galets épars de quartz et d'arkose rouge, galet mou, voir photo A. Girard.</p> <p>Très massif.</p>			

Statistiques

STATION	RA SPP2	DESCRIPTION	FORMATION	ECHAN- TILLON	ANALYSE
2L-149	suite d. 20° / 15°	<p>Stratification probable N-20, 15°.</p> <p>En descendant de 2 mètres, le grès devient nettement arkosique; microconglomérat arkosique.</p> <p>Cailloux mous d'arkose blanche. La ligne d'affleurement est à N-20°.</p> <p>On passe progressivement du grès feldspathique à la sub-arkose, grain moyen, blanc rosé, tache d'hématisation.</p>			
2L-150	60-70	<p>Sub-arkose blanche à rosée, passage progressif au grès feldspathique, grain moyen, niveau de conglomérat polygénique à cailloux rouges, blancs, l'indice de la série des Otish.</p> <p>On descend dans la série (?) ou monte, si série inverse.</p> <p>Sur le travers, vers la rivière, A₂-280, aucun affleurement sur la ½ E. du trajet; quartzite rose laminé, débit en plaquettes, sur la ½ O., bloc de microconglomérat arkosique, galets et cailloux épars de quartz.</p>			

PROJET: MONTS OTISH

Claude Marcotte
Aline MorinFICHE D'AFFLEUREMENT

DATE: 19 juillet 1980

LOCALISATION: Coupe: 2C-83 Hors propriété

STATISTIQUE: Zone 2A-53

Photo 64364-211 (1.:15,000)

KM DE COUPE: 6,0 km.

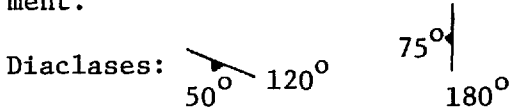
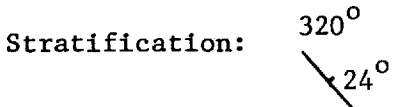
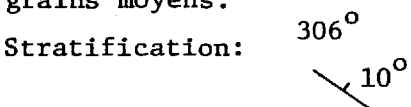
KM RADIOMETRE:

STATION	RA SPP2	DESCRIPTION	FORMATION	ECHAN- TILLON	ANALYSE
2M177	60 cps	<p>Sub-arkoses grossières à passées microconglomératiques en bancs métriques passant latéralement à des grès feldspathiques grossiers.</p> <p>Sub-arkoses à feldspaths roses, 2 mm. et grains de quartz sub-arrondis à anguleux de 2 à 3 mm.</p> <p>Grains jointifs, recristallisations aux contacts de plusieurs grains non individualisés.</p> <p>Présence de galets épars.</p>	Indicateur		
	250 cps	<p>Grès feldspathiques à grains de quartz grossiers sub-anguleux. Deux granulométries présentes. Grains arénitiques sub-arrondis, feldspath interstitiel et peu en grains ou cristaux.</p> <p>Passées ocres dans fractures.</p> <p>Stratification: 281° 26°</p> <p>Diaclases: 339° 352° 84° 87° 60°</p>	Indicateur		
2M178	50 cps	<p>Quartzite blanc à grains recristallisés jointifs, grossiers quand individualisés, intercalé dans des bancs métriques de quartzite à ciment feldspathique et grès feldspathique. (On assiste à la transition à l'intérieur des mêmes bancs. Les feldspaths présents de façon interstitielle seulement, apparaissent en grains épars, arénitiques, recristallisés, blanchâtres.</p>	Indicateur		
	65 cps				

Statistiques

STATION	RA SPP2	DESCRIPTION	FORMATION	ECHAN- TILLON	ANALYSE
2M178	suite	Dans les grès feldspathiques qui peuvent devenir grossiers, on note la présence de quelques cailloux flottants de quartzite, et des fragments anguleux de quartzite, représentant probablement du matériel antérieur repris localement. Interlits légèrement schisteux; couleur générale blanc à verdâtre.			
2M179	100 cps 500 cps 90-100 cps	Sub-arkoses microconglomératiques avec cailloux de quartz flottants. Passées ocres avec feldspaths teints roses dans les plans de fracture. La transition du grès feldspathique aux arkoses et sub-arkoses s'effectue ainsi: les grès feldspathiques devenant de plus en plus grossiers et avec un pourcentage de feldspath de plus en plus élevé, puis aux sub-arkoses à galets. On repasse ensuite à des grès feldspathiques et sub-arkoses grossières, à passées microconglomératiques, avec un pourcentage décroissant de cailloux flottants. Apparition de grains de quartz rosés et fragments rouges (argilite ?). Traces d'hématisation discontinues. Stratification: 21° 262° ———	Indicateur		
2M180	75 cps	Grès feldspathique à grains moyens à parties fines, schistosées verdâtres sous forme d'enclaves fracturées, surmontant du grès feldspathique grossier à grains sub-arrondis de 2 à 3 mm. Isolé dans une matrice plus fine, le ciment est feldspathique. On distingue quelques grains, le reste est interstitiel.	Indicateur		

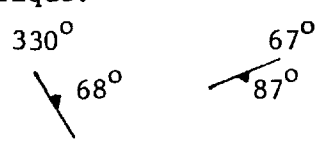
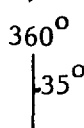

Statistiques

STATION	RA SPP2	DESCRIPTION	FORMATION	ECHAN- TILLON	ANALYSE
2M180	suite 1100 cps	On retrouve dans ces niveaux, plusieurs passées ocres suivant plus ou moins les plans de stratification. Anomalie à 1100 cps dans ce contexte.			
2M181	90-100 cps 30 cps 50 cps	Passage d'une sub-arkose microconglomératique à un quartzite à grains grossiers de couleur rouge passant à du quartzite à grains moyens.	Indicateur		
2M182	35 cps	Quartzite blanc à violet (zones fortement hématisées), à grains moyens, massif, non lité régulièrement. Diaclasses: 	Indicateur		
2M183	35 cps	Quartzite rose légèrement laminé; débit frustré en bancs de 5 à 8 cm. Grains moyens sub-arrondis. Stratification: 	Indicateur		
2M184	40 cps	Quartzite rose à laminations grisâtres; les bandes grisâtres sont à grains grossiers, très poreuses. Les bandes roses sont massives à grains moyens. Stratification:  On retrouve à 15 m. au sud, un lit plus feldspathique, schistosé. Stries de recristallisation inter-couches Nord-Sud à N010°. Plongée Sud.	Indicateur		

Statistiques

STATION	RA SPP2	DESCRIPTION	FORMATION	ECHAN- TILLON	ANALYSE
2M185	40 cps	Quartzite laminé en bandes décimétriques, roses et blanches. Bancs décimétriques, grains moyens.	Indicateur		
2M186	35 cps	Quartzite laminé rouge et blanc; laminations centimétriques sur 50 cm. Stratification: 320° $\swarrow 18^{\circ}$	Indicateur		
2M187	35 cps	Quartzite massif rose légèrement laminé avec points mauves d'hématisation, surmonté de grès feldspathique, presque de composition quartzitique, contenant des enclaves fortement hématisées pulvérulentes rouge vif. Stratification: 310° $\swarrow 33^{\circ}$	Indicateur		
	40 cps	Les quartzites et grès feldspathiques surmontent des quartzites laminés tabulaires en bancs centimétriques atteignant 5 cm. maximum.			
	30 cps	Les bancs sont alternativement roses et massifs, d'aspect lisse et grisâtre, à grains grossiers très poreux, à stratification retroussée et changeante. 267° $\underline{\hspace{1cm}}$ 65°			
2M188	30 cps	Quartzite blanc à grains grossiers, massif, en bancs de 4 cm. à débit franc, moins retroussés que 2M187, et sans alternance de bancs grisâtres et rosés.	Indicateur		

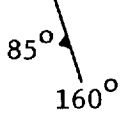
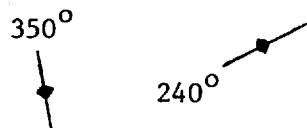
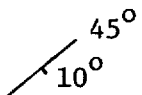
Statistiques

STATION	RA SPP2	DESCRIPTION	FORMATION	ECHAN- TILLON	ANALYSE
2M189	35 cps	<p>Quartzite blanc massif, translucide, en banc métrique.</p> <p>Diaclases: 330° 67° 68° 87°</p> 	Indicateur		
2M190	30 cps	<p>Quartzite laminé gris et rosé, en bancs décimétriques, IDEM à 2M187.</p> <p>Stratification: 360° 35°</p> 	Indicateur		
2M191	30 cps	Quartzite rose massif, à laminations rougeâtres discontinues.	Indicateur		
2M192	40 cps	Quartzite laminé gris et rose, en bancs décimétriques, IDEM à 2M187 et 190.	Indicateur		
2M193	40 cps	Grès feldspathique à grains moyens et laminations à grains grossiers; quelques stratifications entrecroisées à faible pendage.	Indicateur		
2M194	80 cps	<p>Grès feldspathique, IDEM à 2M193, plus cailloux flottants isolés.</p> <p>292° 74° 26° 66°</p> 	Indicateur		

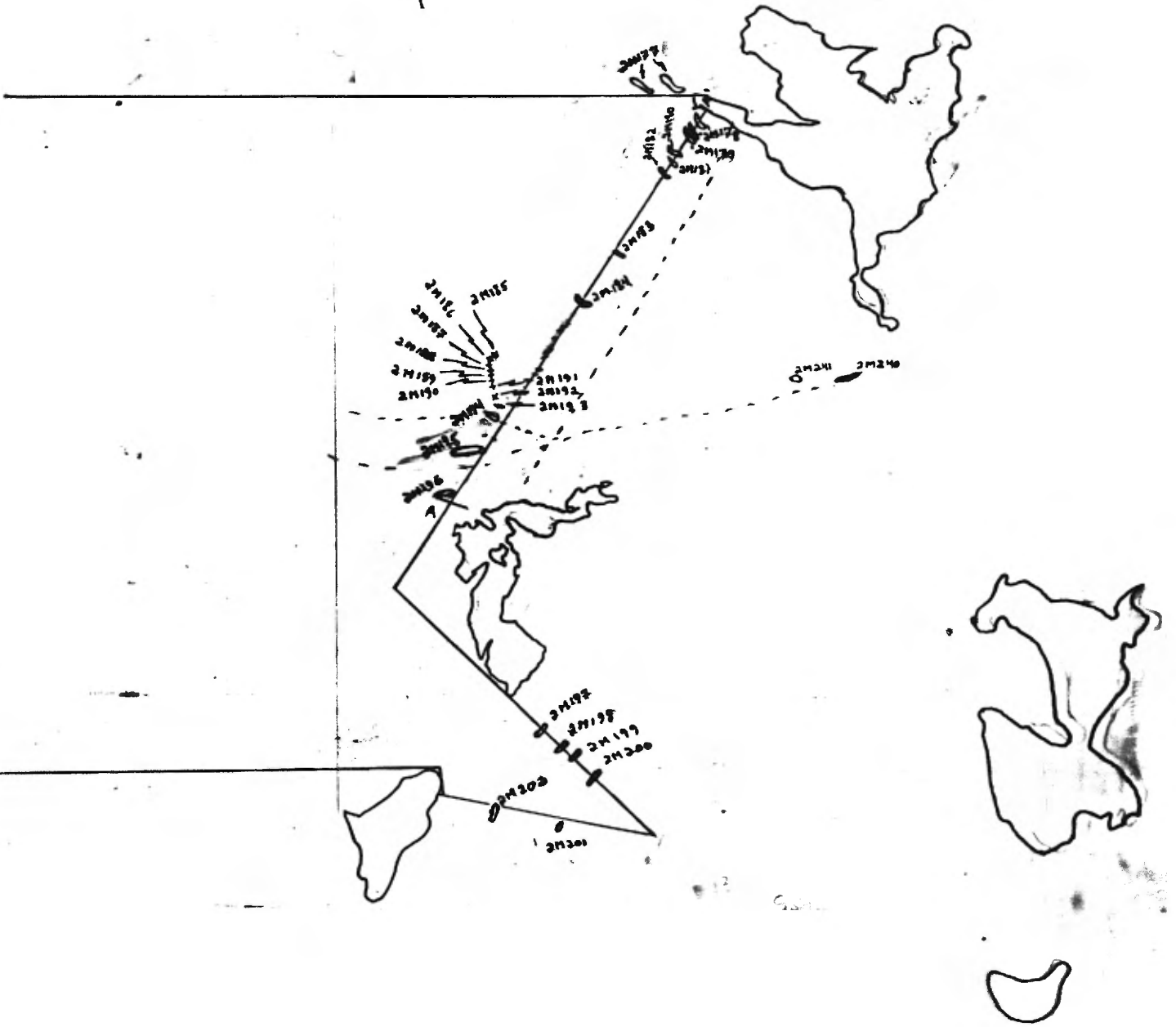
Statistiques

STATION	RA SPP2	DESCRIPTION	FORMATION	ECHAN- TILLON	ANALYSE
2M195	60 cps	<p>Sub-arkoses et sub-arkoses polygéniques microconglomératiques à feldspaths recristallisés.</p> <p>Cailloux flottants polygéniques provenant de quartzite blanc et rose, d'arkoses, d'argilite de taille variable et variant de sub-anguleux à sub-arrondis.</p> <p>On passe à des sub-arkoses et grès feldspathiques grossiers.</p> <p>Stratification: 290° 20°</p> <p>Diaclases: 67° 150°</p> <p>Plan de faille: 80° 70°</p>	Indicateur		
2M196	55 cps	<p>Sub-arkose grossière, teinte ocre à verdâtre (verdâtre dans des parties silteuses, en enclaves schistosées). Galets flottants polygéniques \pm 5%.</p>	Indicateur		
2M197	60 cps	<p>Sub-arkoses microconglomératiques à cailloux flottants polygéniques.</p> <p>On retrouve quelques cristaux de feldspaths parfaitement recristallisés en baguette de 3 cm. de longueur x 0,8 cm. de largeur.</p>	Indicateur		
2M198	45 cps	<p>Grès feldspathique à la limite de l'orthoquartzite à ciment feldspathique, grains moyens sub-arrondis, pas de cailloux flottants.</p> <p>Aspect massif et absence de litage.</p>	Indicateur		

Statistiques

STATION	RA SPP2	DESCRIPTION	FORMATION	ECHAN- TILLON	ANALYSE
2M199	50 cps	Grès feldspathique grossier à pas- sées microconglomératiques. Cailloux flottants de quartz - de 5% Fragments de quartz rosés. Diaclases: 	Indicateur		
2M200	55 cps	Grès feldspathique grossier, IDEM à 2M199. A 10 m. latéralement, on passe à une arkose microconglomératique à cris- taux de feldspaths de 0,5 cm.	Indicateur		
2M201	60 cps	Grès feldspathique, IDEM à 2M199- 200. Diaclases: 	Indicateur		
2M202	40 cps	Quartzite laminé, à laminations gri- sâtres, à grains grossiers, IDEM à 2M187. Débit très irrégulier. Stratification: 	Indicateur		

19/07/80
Coupe 2C 83°
6 kms.
C. Marcotte
A. Marin -



Q64364

267

PROJET: MONTS OTISH

Alain Girard
Claude MarcotteFICHE D'AFFLEUREMENT

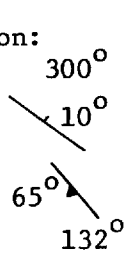
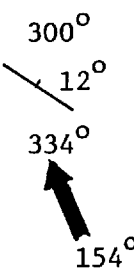
DATE: 23 juillet 1980

LOCALISATION: Coupe: 2C-83A

STATISTIQUE: Zone: 2A-53
Photo Q-64364-211

KM DE COUPE: 4,35 km.

KM RADIOMETRE:

STATION	RA SPP2	DESCRIPTION	FORMATION	ECHAN- TILLON	ANALYSE
2M240	35 cps	<p>Quartzite laminé rose à rougeâtre, grains moyens.</p> <p>Stratification: $300^{\circ}/10^{\circ}$</p>  <p>Diaclasses: 65° 132°</p>	Indicateur		
2M241	30 cps	<p>Quartzite rose laminé à grains moyens à grossiers.</p> <p>Stratification: 300° 12°</p>  <p>Ripple Marks: 334° 154°</p>	Indicateur		

Alain Guind
Claude Marcotte

Traverse 20830

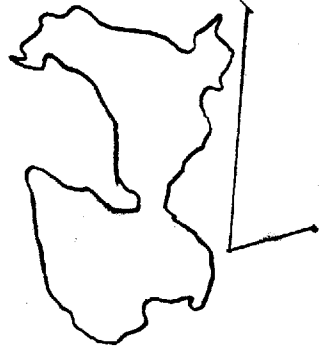
2317 No.

4, 35 k.



Juguris la Rivière
Photo. 1, 5 k.

20830
O



2083A

PROJET: MONTS OTISH

Patrice Caumartin
Yolande Bisson

FICHE D'AFFLEUREMENT

DATE: 19.7.80

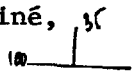
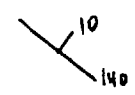
LOCALISATION:

STATISTIQUE: Coupe 2C84, hors permis

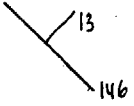
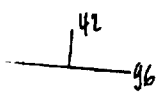

KM DE COUPE:

KM RADIOMETRE:

STATION	RA SPP2	DESCRIPTION	FORMATION	ECHAN- TILLON	ANALYSE
2P241	60	Affleurement de grès à grain grossier subarkosique rose. So: N100-24N. Puissance à l'affleurement: 10 m. Au sein de cet ensemble, des niveaux conglomératiques à galets de quartz blanc et rares galets rose-ocre, actifs 200-1200 c/s.			
2P242	50	Grès feldspathique blanc à passées quartzitiques.			
2P243	40	Quartzite localement verdâtre, imperceptiblement laminé, grain moyen à grossier, passant à la base à un orthoquartzite rose à pois rouges. So: N140, 10N?			
2P244	70- 150	Subaffleurement de grès subarkosique vert clair, grain moyen à grossier.			
2P245		Champ de boulders: - Gabbro - Microconglomérat subarkosique à passées grossières conglomératiques ocre. Actives 200/600 c/s.			
	125	- Quelques blocs (rares) d'argilite rouge-lie-de-vin.			
2P246	40	Orthoquartzite blanc rose, plus ou moins laminé, à débit net (10-40 cm). So: N100, 35N. Megaride?			



Statistiques Coupe 2C84, hors permis

STATION	RA SPP2	DESCRIPTION	FORMATION	ECHAN- TILLON	ANALYSE
2P247	35	Orthoquartzite poreux (épiquartzite à partir d'un grès feldspathique?) Grain grossier. So: N172,18SE?			
2P248	35	Orthoquartzite rose, laminé, grain fin à moyen, puissance 1.20 m; localement filets orange. So: N146,13NE.			
2P249	35	Orthoquartzite, alternance de faciès blancs et rose clair.			
2P250	40	Orthoquartzite blanc, finement laminé, à passées de grain grossier. So: N120,10NE.			
2P251	40	Orthoquartzite sans ciment, sans cohésion, à galets flottants (8 cm), à laminations très régulières et bien marquées localement, faciès à grain plus fin cohérent. Continûment le faciès devient très cohérent, rose, à débit net: quartzite rose pâle, grain moyen. So: N96,42E. Mégaride (localement, pendage: 50°).			
2P252	40	Orthoquartzite rose, So: N78,20NE, laminé.			
2P253	45	Orthoquartzite rose, massif, grain moyen.			
2P254	80	Microconglomérat arkosique à galets flottants polymictiques, au-dessous de quartzite blanc à pois rouges.			

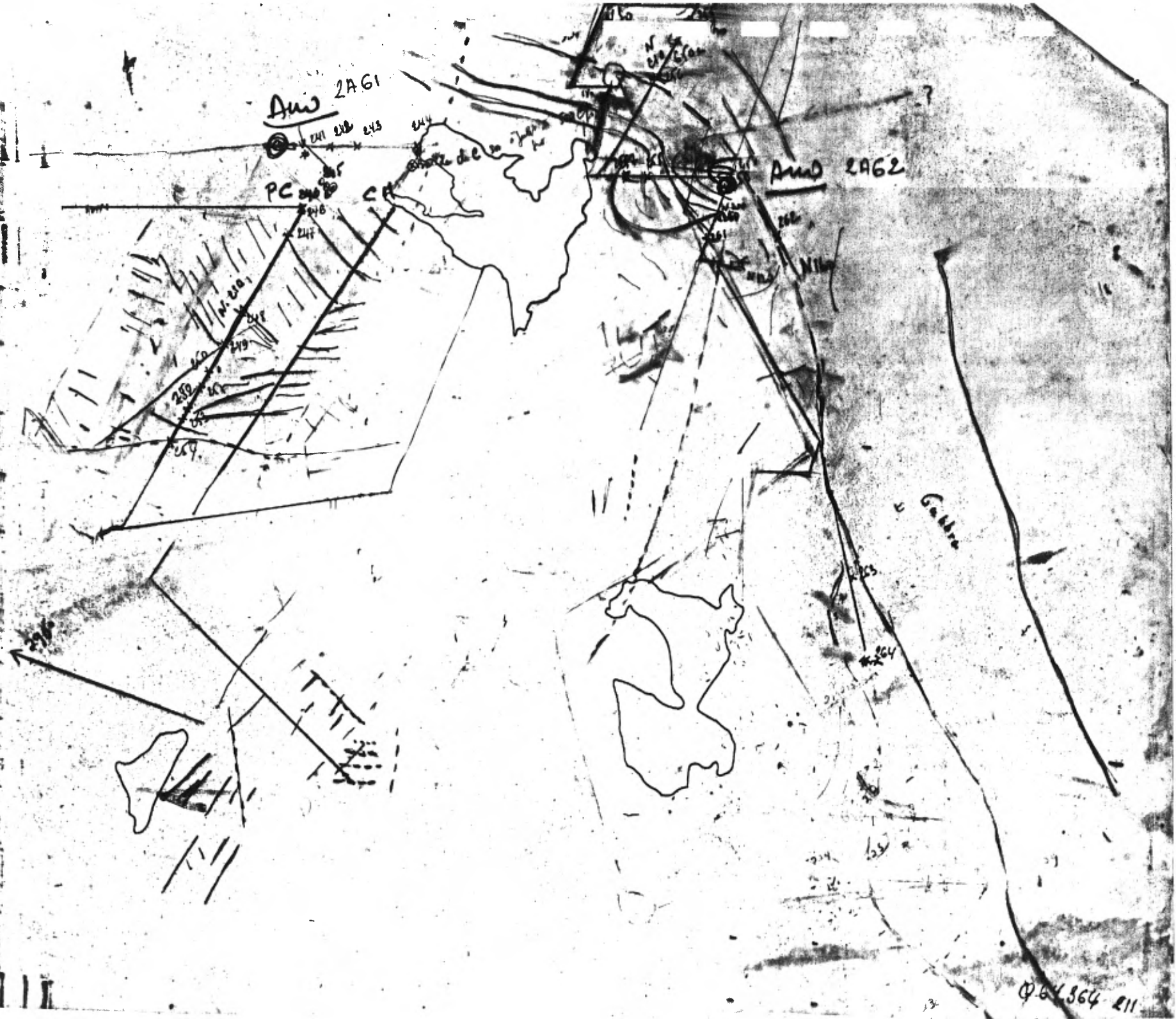
Ans 2AG1

PC

Ans 2AG2

Galle

Q.64364-211



PROJET: MONTS OTISH

Claude Marcotte
Aline MorinFICHE D'AFFLEUREMENT

DATE: 20 juillet 1980

LOCALISATION: Coupe: 2C-86

STATISTIQUE: Zone 2A-53

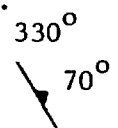
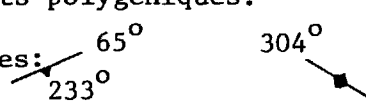
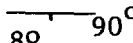
Q-64362-47

KM DE COUPE: 4,0 km.

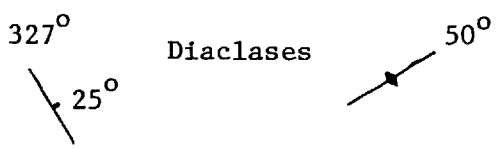
KM RADIOMETRE:

STATION	RA SPP2	DESCRIPTION	FORMATION	ECHAN- TILLON	ANALYSE
2M203	50 cps	Arkoses grossières à passées microconglomératiques, à cailloux flottants, essentiellement quartzitiques, quelques galets de composition plus arkosique. Feldspaths grossiers, rosés. Matrice quartzitique à grains moyens peu individualisés à cause des recristallisations.	Indicateur		
2M204	50 cps	Quartzite massif à grains grossiers et moyens, grains rouges quartzitiques abondants, plus nombreux points d'hématisation. Quelques traces de feldspaths recristallisés. Peu de cailloux flottants.	Indicateur	204.a.	
2M205	50 cps	Microconglomérat sub-arkosique à cailloux flottants polygéniques; latéralement on passe aux quartzites à grains rouges et disséminés. Pratiquement pas de feldspath dans cette dernière roche. On trouve dans ce quartzite, des fantômes de galets sédimentaires de nature arkosique. On retrouve aussi des enclaves d'argilite rougeâtre à verdâtre, avec schistosité développée de direction légèrement variable (N75°-100°).	Indicateur	205.b. 205.a.	
2M206	40 cps	Sub-arkoses grossières passant à des quartzites à grains rouges grossiers, IDEM à 2M205.	Indicateur		

Statistiques

STATION	RA SPP2	DESCRIPTION	FORMATION	ECHAN- TILLON	ANALYSE
2M207		Grès feldspathique presque quartzitique, à grains grossiers passant à des arkoses grossières, à cailloux polygéniques, qui semblent être des chenaux reprenant le matériel localement. Le passage est pratiquement imperceptible. Quelquefois, on note une différence de mouvement propre lorsqu'on passe des faciès feldspathiques à arkosiques chenalisants. 50 cps - 75 cps.	Indicateur	207	
2M208	55 cps	Grès feldspathique chenalisé par des sub-arkoses et arkoses à galets polygéniques, IDEM à 2M207, avec plusieurs enclaves d'argilite verdâtre contenant elles-mêmes des galets.	Indicateur		
2M209	75 cps	Sub-arkoses grossières avec peu de cailloux flottants. Zone fracturée: 	Indicateur		
2M210	55-60 cps	Sub-arkoses grossières chenalisantes dans grès feldspathiques et quartzites, IDEM à 2M207 à 209.	Indicateur		
2M211	100 cps	Sub-arkoses grossières à passées microconglomératiques avec cailloux flottants polygéniques. Diaclasses:  Stratification: ??  Passées ocres à 200 cps et enclaves d'argilite rouge au centre et verdâtre aux abords. 200 cps.	Indicateur		

Statistiques

STATION	RA SPP2	DESCRIPTION	FORMATION	ECHAN- TILLON	ANALYSE
2M212	90 cps	Sub-arkoses grossières, IDEM à 2M211.	Indicateur		
2M213	70 cps	<p>Sub-arkoses grossières à passées microconglomératiques et cailloux flottants. Veines de quartz donnant stratification ??</p> <p>327° 25°</p> <p style="text-align: center;">Diaclasses</p> <p style="text-align: right;">50°</p> 	Indicateur		
2M214	55 cps	Grès feldspathique à grains moyens à grossiers, massif.	Indicateur		

PROJET: MONTS OTISH

Patrice Caumartin
Yolande Bisson

FICHE D'AFFLEUREMENT

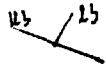

DATE: 20.7.80

LOCALISATION:

STATISTIQUE: Coupe 2C89, hors permis

KM DE GEOLOGIE: 4.350

KM DE RADIOMETRIE: 4.350

STATION	RA SPP2	DESCRIPTION	FORMATION	ECHAN- TILLON	ANALYSE
2P255	25	Gabbro d'Otish à gros feldspaths et fines aiguilles de magnétite.			
2P256	60 190- 650	Grès grossier subarkosique blanc verdâtre limoniteux. So: N123,25E. Activité plus notable sur faciès ocre, voire rouges, à granulométrie plus grossière.			
2P257	50- 100	Grès grossier subarkosique avec quelques granules flottants de quartz.			
2P258	50- 75	Grès grossier feldspathique. So: N174,11E.			
2P259	150- 2000	Boulders (sub-en-place) de microconglomérat subarkosique orienté. Activité liée à des faciès ocre, plus ou moins contrôlés par la stratigraphie et des cassures.			
2P260	50	Microconglomérat feldspathique à feldspaths roses, couleur du fond:verte,			
2P261	50-75	Grès grossier subarkosique vert.			
2P262	60- 100	Grande falaise comprenant, de la base au sommet: - grès subarkosique, grain grossier, vert N128,10N - grès feldspathique, grain grossier - grès subarkosique, grain moyen - grès feldspathique, grain moyen Au-dessus normalement, le gabbro broyé et		(6 m) 2 m 1 m 6 m	

Statistiques Coupe 2C89, hors permis

STATION	RA SPP2	DESCRIPTION	FORMATION	ECHAN- TILLON	ANALYSE
	150	diacrasé à la base. A signaler la recristallisation de l'ensemble gréseux ainsi que la présence de faciès ocre actifs.			
2P263	40	Orthoquartzite massif, blanc.			
2P264	60	Grès subarkosique au grain moyen. So: N150,14E.			

PROJET: MONTS OTISH

Serge Lavoie
S. Genest

FICHE D'AFFLEUREMENT

DATE: 21 juillet 1980

LOCALISATION: Photo 63142-16B "G" Est

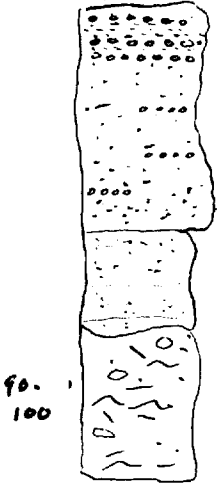
STATISTIQUE: Coupe 2C-90

KM DE COUPE: 4,2 km

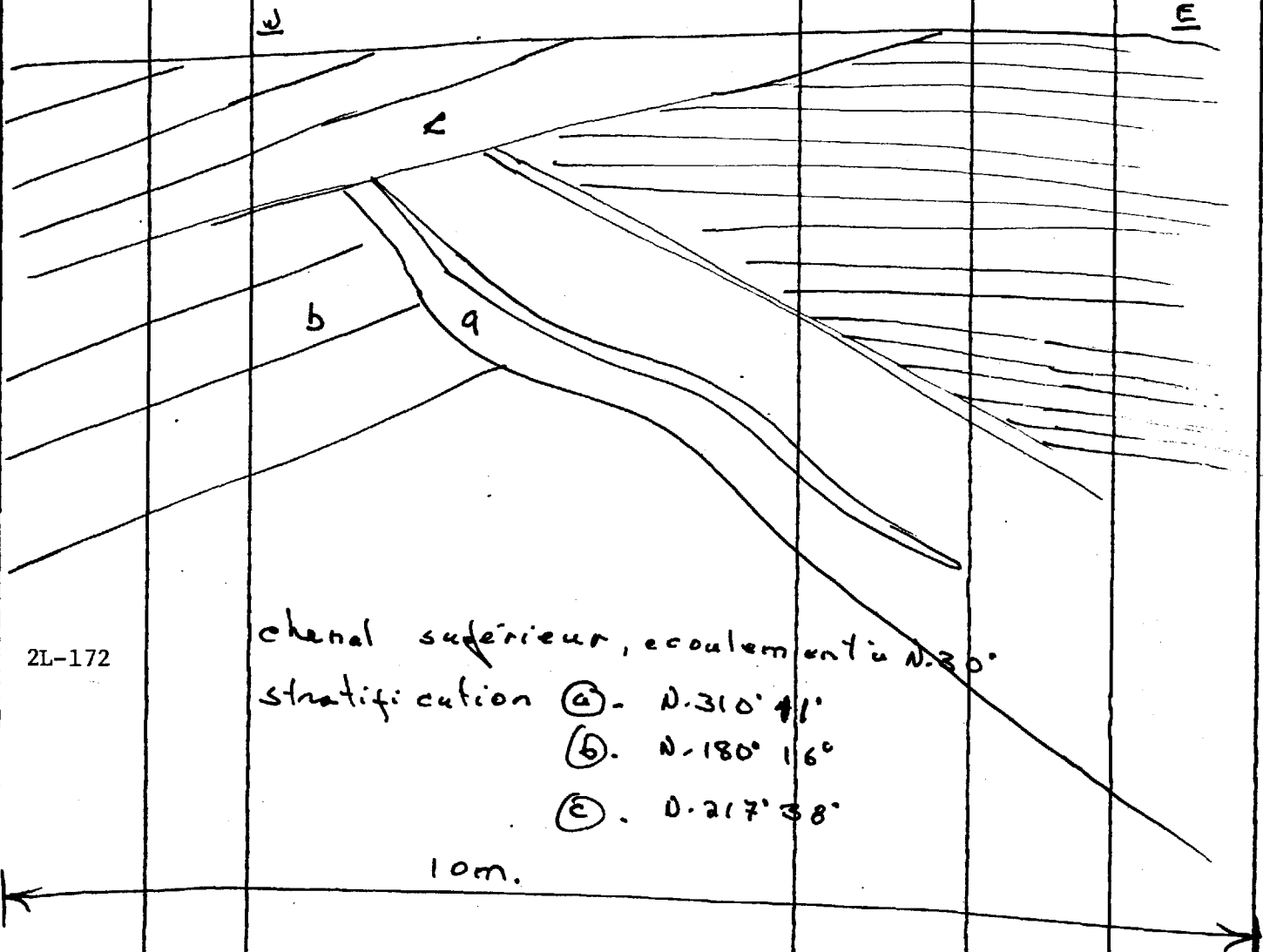
KM RADIOMETRE: 4,2 km

STATION	RA SPP2	DESCRIPTION	FORMATION	ECHAN- TILLON	ANALYSE
2L-168	70- 80	Sous-affleurement, immense bloc anguleux dont la lithologie principale est une sub-arkose blanc rosé (taches d'hématisation et feldspath altéré blanc laiteux à pêche) grain moyen à gros, quelques cailloux de quartz sous-arrondis.			
2L-169	75- 80	Gros affleurement à sommet arrondi donnant une coupe stratigraphique verticale de 2 ou 3 mètres. Faciès dominant, grès feldspathique rose, grain moyen à fin. A la base de l'affleurement, sub-arkose rose localement microconglomératique, galets et cailloux épars. Rides de courants orientées N-330° suggérant un apport du S.O., i.e. N-240°, N-330°.			
	N-330° 70°	Stratification probable.			

Statistiques

STATION	RA SPP2	DESCRIPTION	FORMATION	ECHAN- TILLON	ANALYSE
2L-169	suite	 <p>Orthoquartzite rose, massif à laminae, banc centi à métrique, grain moyen. Passage à des faciès à deux granulométries 2L-169c.</p> <p>Grès feldspathique, grain moyen, rose, 2L-169b.</p> <p>Sub-arkose massive, grain grossier, rides de courants 2L-169a.</p> <p>fo. 100</p> <p>Latéralement sur 50 mètres, la série des arkoses et sub-arkoses passe de 2 m à plus de 4 mètres. L'allure de la chenalisation ne peut être déterminée.</p>		2L-169a	22/11 U. Th.
2L-170	2000- 100	<p>Blocs de 800 m³ très anguleux, grès feldspathique grossier à moyen, hématisé, quelques cailloux de quartz; minéralisation en plages centimétriques.</p> <p>2L-170a: Echantillon sur zone à 2000, caractérisé par une hématisation très poussée.</p> <p>2L-170b: Zone à 500 cps, grès grossier, quartzitique à quartz noir.</p> <p>2L-170c: Encaissant, grès feldspathique blanc à rouge, hématisation pénétrante, passé conglomératique et arkosique, galets et cailloux de quartz</p>		2L-170a 2L-170b 2L-170c	275/822 U. Th. 67/201 U. Th. 0.9/14 U. Th.
2L-171	100- 110	<p>Microconglomérat feldspathique. Sub-arkose à grès feldspathique grossier, microconglomératique, grain grossier à très gros, cailloux de quartz, faciès délavé blanc à gris blanc.</p>			

Statistiques

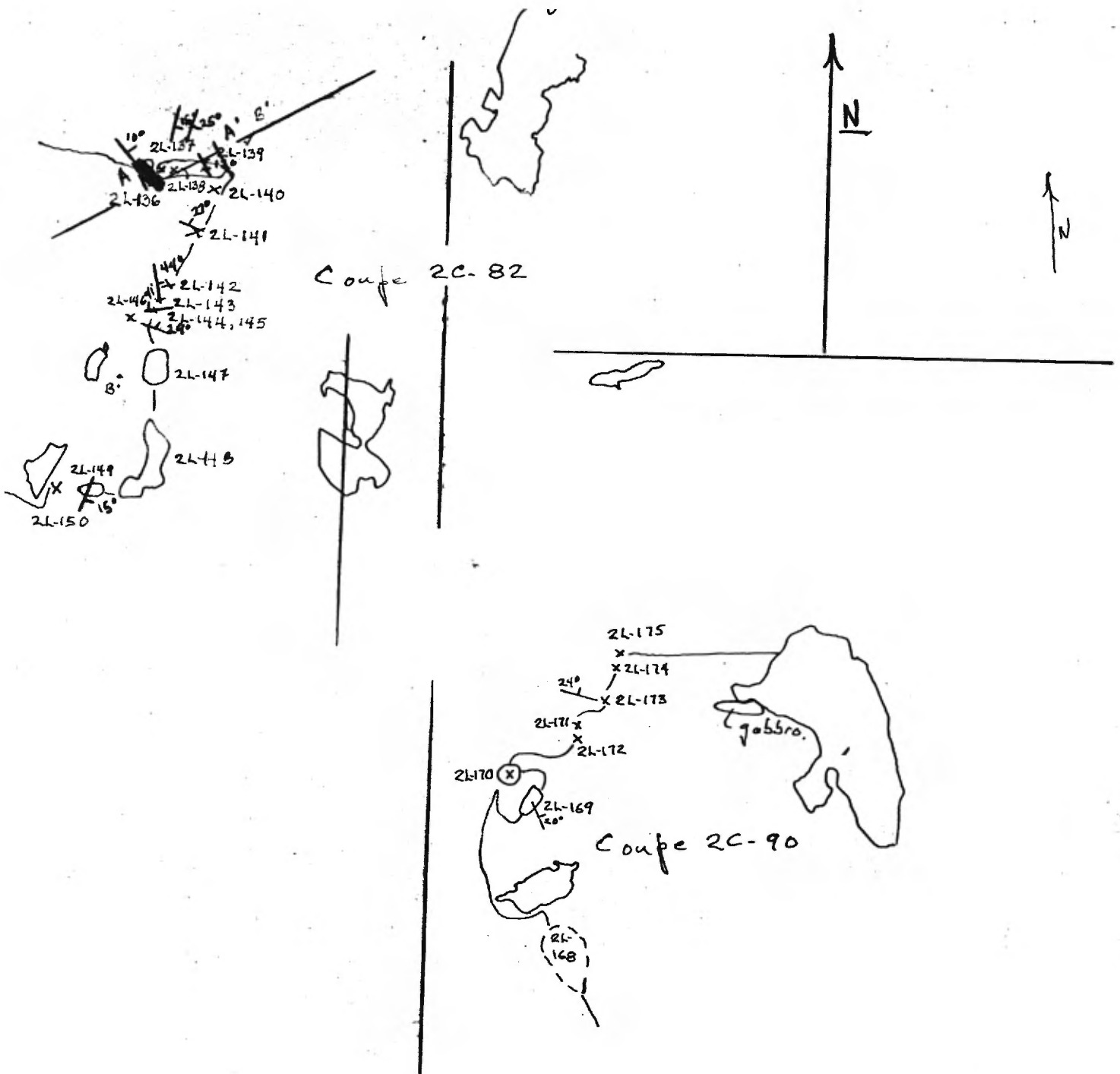
STATION	RA SPP2	DESCRIPTION	FORMATION	ECHAN- TILLON	ANALYSE
2L-171	suite	<p>2L-171a: Microconglomérat quartzitique à feldspathique.</p> <p>Nous sommes sûrement dans la série verte, juste au faciès de transition au 1/3 inférieur de la série, une séquence fortement quartzitique.</p>		2L-171a	10/6. U. Th.
2L-172		 <p>chenal supérieur, écoulement à N. 30°</p> <p>stratification (a) - N. 310° 41'</p> <p>(b) - N. 180° 16'</p> <p>(c) - D. 217° 38'</p> <p>10m.</p>			

Statistiques

STATION	RA SPP2	DESCRIPTION	FORMATION	ECHAN- TILLON	ANALYSE
2L-172 suite	70-120 N-294 / 24°	<p>Orthoquartzite grain moyen à fin, blanc à gris blanc, structure chenalante très développée. Localement, composition d'un grès feldspathique.</p> <p>Niveau d'argilite beige à crème.</p> <p>2L-172a: Niveau d'argilite dans orthoquartzite.</p> <p>2L-172b: Orthoquartzite légèrement feldspathique.</p> <p>Photo #3 et 4, F₃, stratification entrecroisée de grande taille.</p> <p>2L-172c: Microconglomérat arkosique en passage latéral aux orthoquartzites.</p> <p>2L-172d: Orthoquartzite fin à points rouges, hématisé, niveaux de conglomérats polygéniques en placage sur l'affleurement.</p>		2L-172a 2L-172b 2L-172c 2L-172d	Etude des argiles Réf. Réf. Réf.
2L-173	60	<p>Orthoquartzite blanc, grain moyen, massif; l'affleurement se détermine sur un plan rocheux orienté N-285,30°</p> <p>Sur une centaine de mètres, la série se poursuit, orthoquartzite et grès feldspathique comportant quelques niveaux de microconglomérats arkosiques et quartzitiques, cailloux épars de quartz.</p>			
2L-174	70-80 N-250 /	<p>Sub-arkose blanche à verdâtre, grain moyen, falaise de grès d'environ 15 m de hauteur; à la base, le grès est feldspathique, au sommet, il est sub-arkosique avec des niveaux de conglomérats à cailloux de quartz.</p> <p>Schistosité bien développée à N-76, N-74, N-80, N-84°.</p>			

Statistiques

STATION	RA SPP2	DESCRIPTION	FORMATION	ECHAN- TILLON	ANALYSE
2L-175	40	<p>Gabbro d'Otish très grossier X taux d'amphibole $\frac{1}{2}$ à 1 cm de longueur, feldspath blanc verdâtre, passées dioritiques orientées à l'intérieur du gabbro.</p> <p>2L-175a: Gabbro d'Otish, plage dioritique au centre X taux orienté tandis que la masse ne présente aucune orientation.</p> <p>2L-175b: Gabbro d'Otish, grain très gros.</p> <p>2L-175c: Sur lac N-90°, 800 m.</p>		<p>2L-175a</p> <p>2L-175b</p>	



PROJET: MONTS OTISH

Claude Marcotte
Alain GirardFICHE D'AFFLEUREMENT

DATE: 21 juillet 1980

LOCALISATION: Coupe: 2C-92

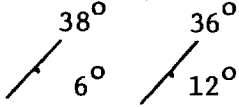
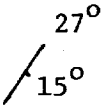
STATISTIQUE: Zone: 2A-53
Q-64364-211, Q-64362-49

KM DE COUPE: 6,3 km.

KM RADIOMETRE:

STATION	RA SPP2	DESCRIPTION	FORMATION	ECHAN- TILLON	ANALYSE
2M215	30 cps	<p>Quartzite blanc à grains grossiers à moyens, lité, fortement fracturé dans certains bancs (métriques) compris dans des bancs plus massifs métriques, eux aussi composés de quartzite blanc et grès feldspathique. La falaise est délimitée par des plans successifs se relayant $N050^{\circ}/90^{\circ}$.</p> <p>Stratification: 0° 75° 7° 135°</p> <p style="text-align: center;">schistosité de fracture</p> <p>se développe plus ou moins parallèlement à la stratification, avec un débit centimétrique en plaquettes.</p> <p>Des bancs sont de composition quartzitique, poreuse, après dissolution des feldspaths.</p>	Indicateur		
	150- 200 cps	Un niveau actif, choquant à 150-200 cps très schistosé lui aussi.			
	60 cps	Au sommet de la falaise, on passe à des grès feldspathiques grossiers à passées microconglomératiques à cailloux quartzeux épars, avec feldspaths recristallisés.			
2M216	75- 80 cps 90- 100 cps	<p>Grès feldspathique passant à des quartzites grossiers, à cailloux épars.</p> <p>Intercouches verdâtres, microconglomératiques, choquant à 90-100 cps.</p>	Indicateur		
2M217	25	Gabbro massif, altération d'épidote.	Gr. OTISH		

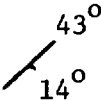
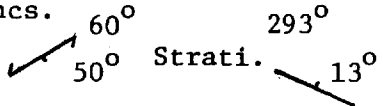
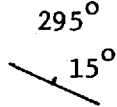
Statistiques

STATION	RA SPP2	DESCRIPTION	FORMATION	ECHAN- TILLON	ANALYSE
2M218	60 cps	Grès feldspathique grossier à cailloux flottants, teinte verdâtre.	Indicateur		
2M219	1100 cps	Sub-arkose à grains moyens à grossiers, teinte ocre.	Indicateur		
2M220	40 cps	Quartzite grossier à cailloux épars et granules (2 à 3 mm.).	Indicateur		
2M221	70 cps	Grès feldspathique grossier avec un passage conglomératique altéré, poreux, dissolution et limonitisation du ciment feldspathique liant les granules de quartz. Quelques cailloux flottants.	Indicateur		
2M222	75-80 cps	Grès feldspathique grossier surmontant des sub-arkoses et des arkoses grossières, à passages microconglomératiques à feldspaths blancs, recristallisés; nombreux points d'hématisation; les bancs sont métriques à décimétriques, le litage est bien défini par endroit. Stratification: 	Indicateur		
2M223	50 cps	Quartzite laminé à grains moyens, laminations beiges centimétriques espacées de quelques centimètres. 	Indicateur		

Statistiques

STATION	RA SPP2	DESCRIPTION	FORMATION	ECHAN- TILLON	ANALYSE
2M224	75- 100 cps	Sub-arkose grossière, couleur ocre. Feldspaths blancs recristallisés.	Indicateur		
2M225	100 cps	Grès feldspathique grossier verdâtre à feldspaths blancs. Stratification: $\begin{array}{cc} 28^\circ & 25^\circ \\ / & / \\ 16^\circ & 20^\circ \end{array}$	Indicateur		
2M226	70 cps	Grès feldspathique grossier avec moins de feldspath que 2M225 ($\pm 10\%$).	Indicateur		
2M227	60 cps	Grès feldspathique grossier à pas- sées microconglomératiques et cail- loux de quartz flottants.	Indicateur		
2M228	55 cps	Grès feldspathique grossier, IDEM à 2M227.	Indicateur		
2M229	25 cps	Gabbro massif.	Gr. OTISH		
2M230	90 cps	Grès feldspathique, à feldspath in- terstitiel, grains grossiers, pas- sées ocres à 125 cps.	Indicateur		
2M231	60 cps	Grès feldspathique grossier à cail- loux de quarts et nombreux points d'hématisation. Stratification: $\begin{array}{c} 18^\circ \\ / \\ 12^\circ \end{array}$	Indicateur		

Statistiques

STATION	RA SPP2	DESCRIPTION	FORMATION	ECHAN- TILLON	ANALYSE
2M232	90 cps	Grès feldspathique, IDEM à 2M227.	Indicateur		
2M233	60 cps	Grès feldspathique grossier, à feldspath interstitiel, IDEM à 2M230.	Indicateur		
2M234	50 cps	Grès feldspathique, IDEM à 2M233. Stratification: 	Indicateur		
2M235	60 cps	Grès feldspathique, IDEM à 2M233. Schistosité bien développée au sommet des bancs. 	Indicateur		
2M236	50 cps	Grès feldspathique grossier, IDEM à 2M230.	Indicateur		
2M237	25 cps	Quartzite massif à grains grossiers, blanc.	Indicateur		
2M238	50 cps	Grès feldspathique à grains moyens; feldspath à grain fin, couleur rosée. Stratification: 	Indicateur		
2M239	50 cps	Grès feldspathique, IDEM à 2M230.	Indicateur		

PROJET: MONTS OTISH

Serge Lavoie
Yolande Bisson

FICHE D'AFFLEUREMENT

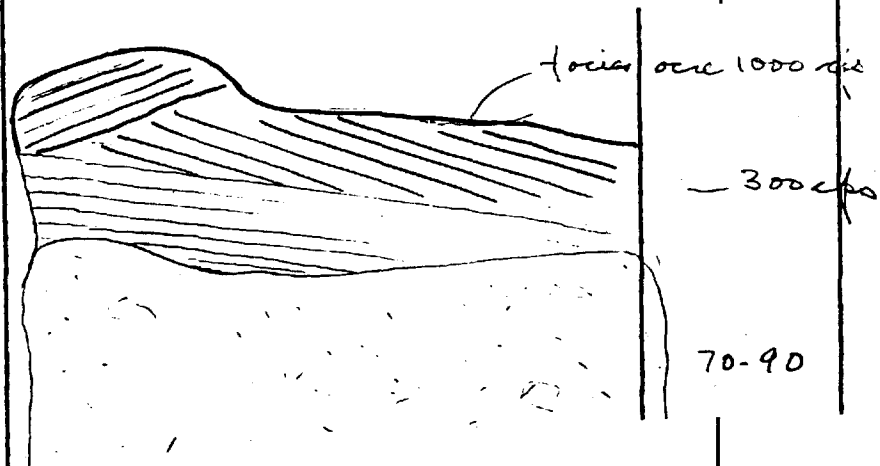
DATE: 24 juillet 1980

LOCALISATION: Hors propriété, Zone Est, propriété "G" - Photo Q-63142-168

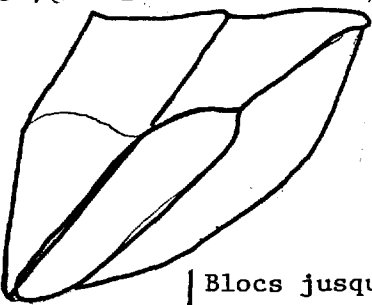
STATISTIQUE: Coupe 2C-97

KM DE COUPE: 3,3 km

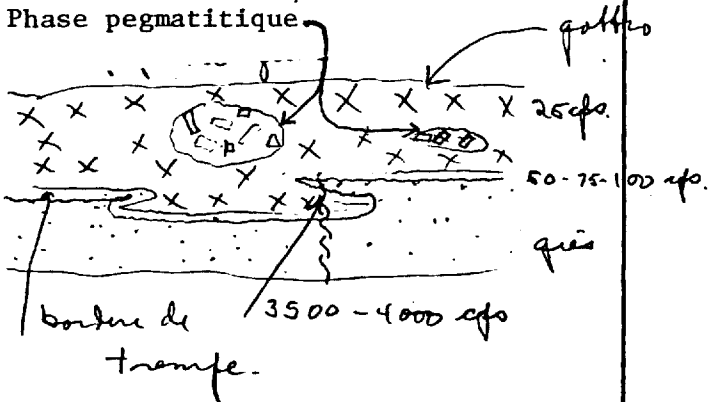
KM RADIOMETRE: 3,3 km

STATION	RA SPP2	DESCRIPTION	FORMATION	ECHAN- TILLON	ANALYSE
2L-176 A 9 à 13 1979 G-88	70- 80	Anomalie ponctuelle centimétrique (voir photo #5, F-3) dans un orthoquartzite blanc verdâtre grossier à cailloux épars de quartz. Le faciès ocre anomal est contrôlé par une série de paraclases N-120, N-60 et N-180°. BLOC ANOMAL			
					
	90- 100	2L-176a: Grès feldspathique grossier portant des galets épars de quartz.		2L-176a	2.1/45 U. Th.

Statistiques

STATION	RA SPP2	DESCRIPTION	FORMATION	ECHAN-TILLON	ANALYSE
2L-176	suite 1050	2L-176b: Arkose verte laminée à faciès ocre; stratification entrecroisée.		2L-176b	35 / 1800 U. Th.
	300	2L-176c: Arkose verte laminée; les laminations sont noires. La minéralisation est confinée aux arkoses vertes à grain moyen; laminations noires millimétriques à tous les centimètres; faciès de comblement dans les orthoquartzites et grès feldspathique grossier de la série verte. Photos #6, 7, 8 montrent les blocs minéralisés, grès grossier arkosé.		2L-176c	137 69 / 300 U. Th.
2L-177	50-70 N-73 N-104 16° N-300 N-26	Grès feldspathique blanc, grain moyen à gros; bancs centimétriques, cuillères et stratifications entrecroisées, schistosité ± marquée. Le grès est recristallisé. Cuillères centimétriques orientées N-104°, plongement 16°; les apports seraient de N-284°. Débits en cordons ou cigares orientés N-305° 58, N-260° 52.			
					
		Sub-arkose blanche grossière. Certains feldspaths sont roses et points rouges. Blocs jusqu'à 1000 cps. Système chenalisant décamétrique à hectamétrique.			


Statistiques

STATION	RA SPP2	DESCRIPTION	FORMATION	ECHAN- TILLON	ANALYSE
2L-178	75-80 <i>pts à 500.</i>	<p>Passage progressif des sub-arkoses à des orthoquartzites rosés, hématisés, sous l'effet de l'intrusion du gabbro. Grain moyen à gros, quartz mou, banc massif.</p> <p>Feldspath interstitiel rose.</p> <p>2L-178a: Grès feldspathique à feldspath rose, faciès de transition entre les sub-arkoses et les orthoquartzites.</p> <p>2L-178b: Orthoquartzite noire, feldspath rose en matrice.</p>		2L-178a 2L-178b	Réf.
2L-179	50-60 <i>N. 40° / 65°</i> <i>4000</i> <i>N. 35°</i>	<p>Gabbro d'Otish à grain fin, cisailé et tectonisé selon la direction N-40, 65°.</p> <p>Anomalie ou contact gabbro-orthoquartzite selon une fracture sub-v verticale orientée N-30°.</p> <p>Le gabbro est très altéré, cisailé; les grès sont rubéfiés, rose à saumon, fortement recuit.</p> <p>2L-179a: Gabbro altéré minéralisé.</p> <p>2L-179b: Grès tectonisé.</p> <p>Le gabbro est en lance dans les sédiments; sa bordure de trempe très fine, altérée sur 50 à 60 cm.</p> <p>Phase pegmatitique</p>  <p>bordure de trempe 3500-4000 cfs</p>		2L-179a 2L-179b	T. Th. Réf.


Statistiques

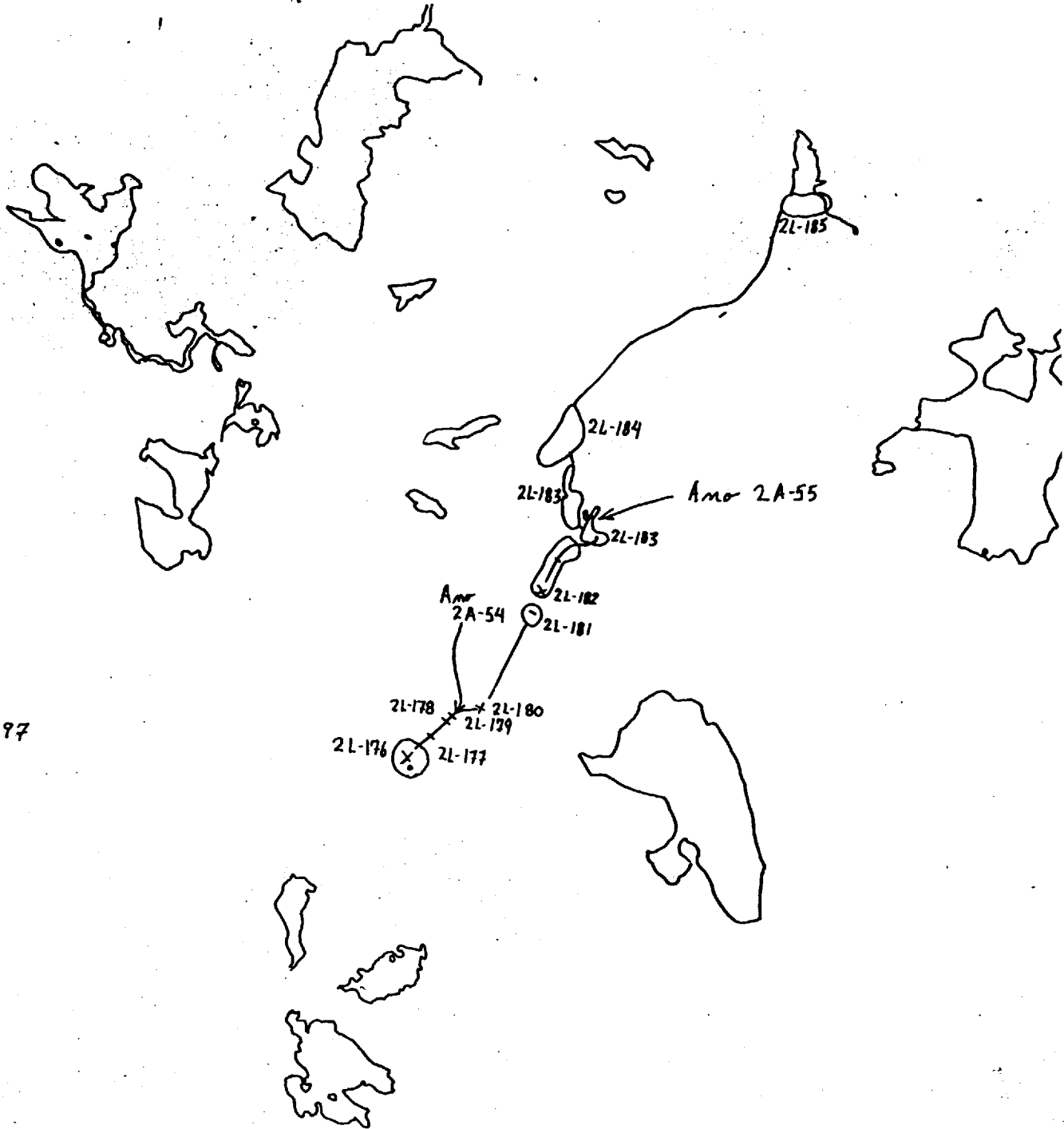
STATION	RA SPP2	DESCRIPTION	FORMATION	ECHAN- TILLON	ANALYSE
2L-180	25	<p>Gabbro massif très grossier, phase dioritique à texture pegmatitique, gabbro ± frais, plusieurs plans de fractures sont très altérés. O.F.</p> <p>X taux d'amphibole et feldspath jusqu'à 1 cm de côté.</p>			
2L-181		<p>Bloc de sub-arkose blanche, schistosée, grain moyen à gros, contenant un niveau d'argilite rouge. L'argilite est schisteuse beaucoup plus que la sub-arkose.</p> <p><u>Photo #9</u>: Montre sur le côté, le niveau d'argilite dans le grès.</p> <p><u>Photo #10</u>: Niveau d'argilite s'interrompt brusquement et seules des petites esquilles soulignent le niveau de remplissage.</p> <p>En montant en flanc de colline, beaucoup de blocs de quartzites blancs à pois mauves, débit en plaquettes; quartzite blanc massif. On a l'impression de monter dans la série.</p>			
2L-182	60	<p>Grès feldspathique blanc rosé, grain moyen à fin, laminations millimétriques, schistosité pénétrant dans les interlits sub-arkosiques.</p> <p>Ce grès feldspathique appartient au sommet de la série verte, série panachée.</p> <p>Des grès feldspathiques, on passe progressivement à des sub-arkoses rosées à cailloux épars de quartz.</p>			

Statistiques

STATION	RA SPP2	DESCRIPTION	FORMATION	ECHAN-TILLON	ANALYSE
2L-182	suite	<p>Plusieurs veines de quartz, 2 à 5 mm, orientées N-40°, 80 S.E., en lentilles de poissons.</p> <p>Points roses dans la sub-arkose, feldspath et quartz.</p>  <p>Veines de quartz ^{ri} décuvent des lentilles de cisaillement limitées par des orientations N-30 et N-40°; la sub-arkose est verte à proximité des veines de quartz.</p> <p>Densité des veines 5 à 8 au mètre.</p>			
2L-183	1250 cps	<p>Anomalie radioactive dans une arkose blanc verdâtre à deux granulométries. Activité maximale aux confins de diaclases N-140, N-40°.</p> <p>Activité en surface d'affleurement, anomalie très ponctuelle décimétrique; pourrait être retracée en direction N-165°, activité sur mousse élevée selon cette direction.</p>			
	70-125	<p>Sub-arkose blanche, grain moyen, quelques galets et cailloux épars de quartz. Cailloux rouges, points rouges dans l'arkose. Sub-arkose est très active.</p> <p>2L-183a: Zone minéralisée.</p>		2L-183a	2L/2332 U. Th.
2L-184	50-125	<p>Sub-arkose blanche, grain moyen, galets et cailloux épars de quartz; affleurement massif, quelques cuillères et stratifications entrecroisées; impossible de faire des mesures.</p> <p>Stratification <u>probable</u> N-20°, 15° E.</p>	Photos #16, 17 et 18 montrent que la bordure de la montagne est en position de synforme très ouvert.		

Statistiques

STATION	RA SPP2	DESCRIPTION	FORMATION	ECHAN- TILLON	ANALYSE
2L-184	suite	 <p>Photos #13 et 14, F-3.</p> <p>Stratification entrecroisée, cuillères centimétriques sur blocs; grès feldspathique blanc ou orthoquartzite blanc, texture saccharoïde, effet de dissolution.</p>			
2L-185	50 N-60 16°	<p>Grès feldspathique, grossier à moyen, quelques galets épars de quartz massif. Plusieurs cuillères, stratification entrecroisée, direction de la cuillère centimétrique N-60°, 16°, suggérant un apport de 240°, voir photos #13 et 14 du F3.</p> <p>Quelques petits cailloux rouges dans le grès feldspathique lequel contient des interlits arkosiques.</p> <p>2L-185a: Grès feldspathique grossier</p>		2L-185a	Réf.



COUPE 2C-97

COUPE 2C-97

Q63 142-168

L-5202

PROJET: MONTS OTISH

Jean Beaudin
Yves Rougerie

FICHE D'AFFLEUREMENT

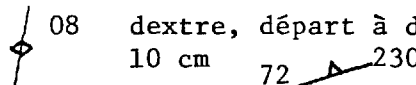
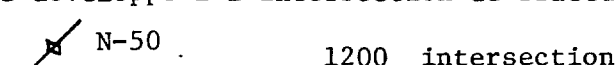
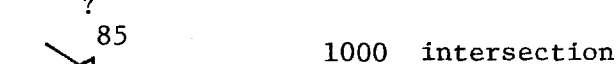

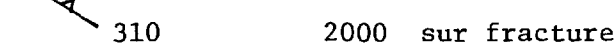
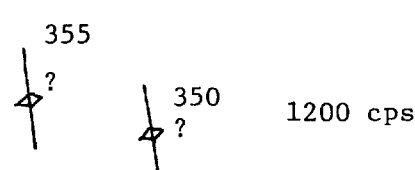
DATE:

LOCALISATION: Photos: Q-64362-50, Q-64364-209

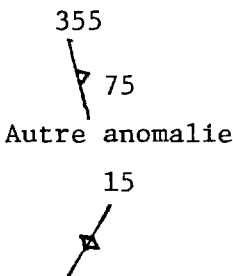
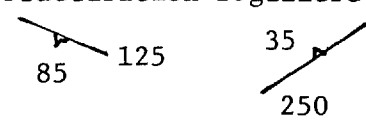
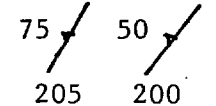
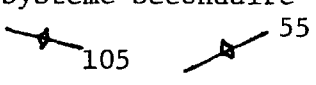
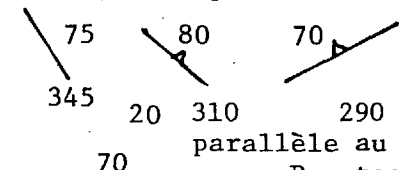
STATISTIQUE:

KM DE COUPE: 3,9 km de coupe géologique

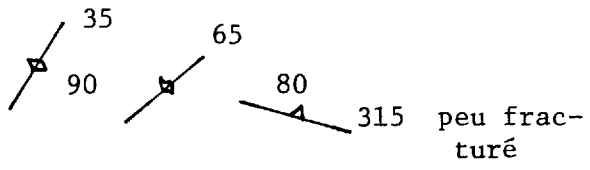
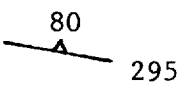
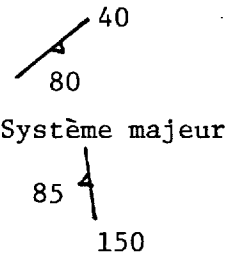
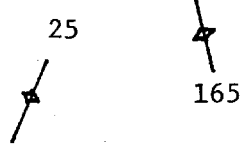
KM RADIOMETRE: 2 x 3,9 km de prospection

STATION	RA SPP2	DESCRIPTION	FORMATION	ECHAN- TILLON	ANALYSE
2B219	35 cps	<p>Gabbro à grain très grossier. Pyroxène (2 à 5 mm), feldspath (1 à 3 mm). Altération rouille (oxydation de sulfures). Traces de pyrite.</p> <p>Etonnamment gros cristaux pour un dyke.</p> <p>Anomalie (thorifère ?)</p> <p>Le gabbro de la zone minéralisée semble bréchique avant d'être cisailé. Plusieurs points anomaux de 300 à 700 cps alignés sur deux grandes directions N-05 et N-135.</p> <p>Fracturation majeure minéralisée sur 10 mètres.</p> <p> 08 dextre, départ à droite de 10 cm 72 230</p> <p>Fractures cisailantes fermées. L'anomalie se développe à l'intersection de fracture.</p> <p> N-50 1200 intersection</p> <p> 85 1000 intersection</p> <p> 85 310</p> <p> 310 2000 sur fracture</p> <p>Forte altération hématitique.</p> <p>Anomalie 300-500</p> <p> 355 1200 cps</p>	21		
2B220	35	Lithologie idem précédent.	21		

Statistiques

STATION	RA SPP2	DESCRIPTION	FORMATION	ECHAN- TILLON	ANALYSE
2B220 suite		<p>Fracture altérée et anormale (thorifère ?) sur 5 mètres.</p> 			
2B221	35	<p>Idem. Anomalie (thorifère ?) à 4500 ponctuelle sur fracture cisailante fermée, N-15.</p> <p>Fracturation régulière peu développée.</p> 	21		
2B222	35	<p>Idem, quelques passées à cristaux de 0.7 à 1.0 cm. Peu tectonisé.</p>  <p>Système majeur subparallèle au linéament.</p> <p>Système secondaire</p>  <p>Selon le décalage du dyke, le linéament N-20 serait une faille senestre avec un rejet horizontal maximal de 100 mètres.</p> <p>La falaise est peu tectonisée.</p>	21		
2B223	35	<p>Gabbro, idem précédent.</p>  <p>parallèle au linéament. Peu tectonisé.</p>	21		

Statistiques

STATION	RA SPP2	DESCRIPTION	FORMATION	ECHAN- TILLON	ANALYSE
2B228		Idem précédent. 	21		
2B229		Idem précédent. 	21		
2B230		Idem précédent. 	21		
2B231		Idem précédent. 	21		

* 20129

* 228

* 222

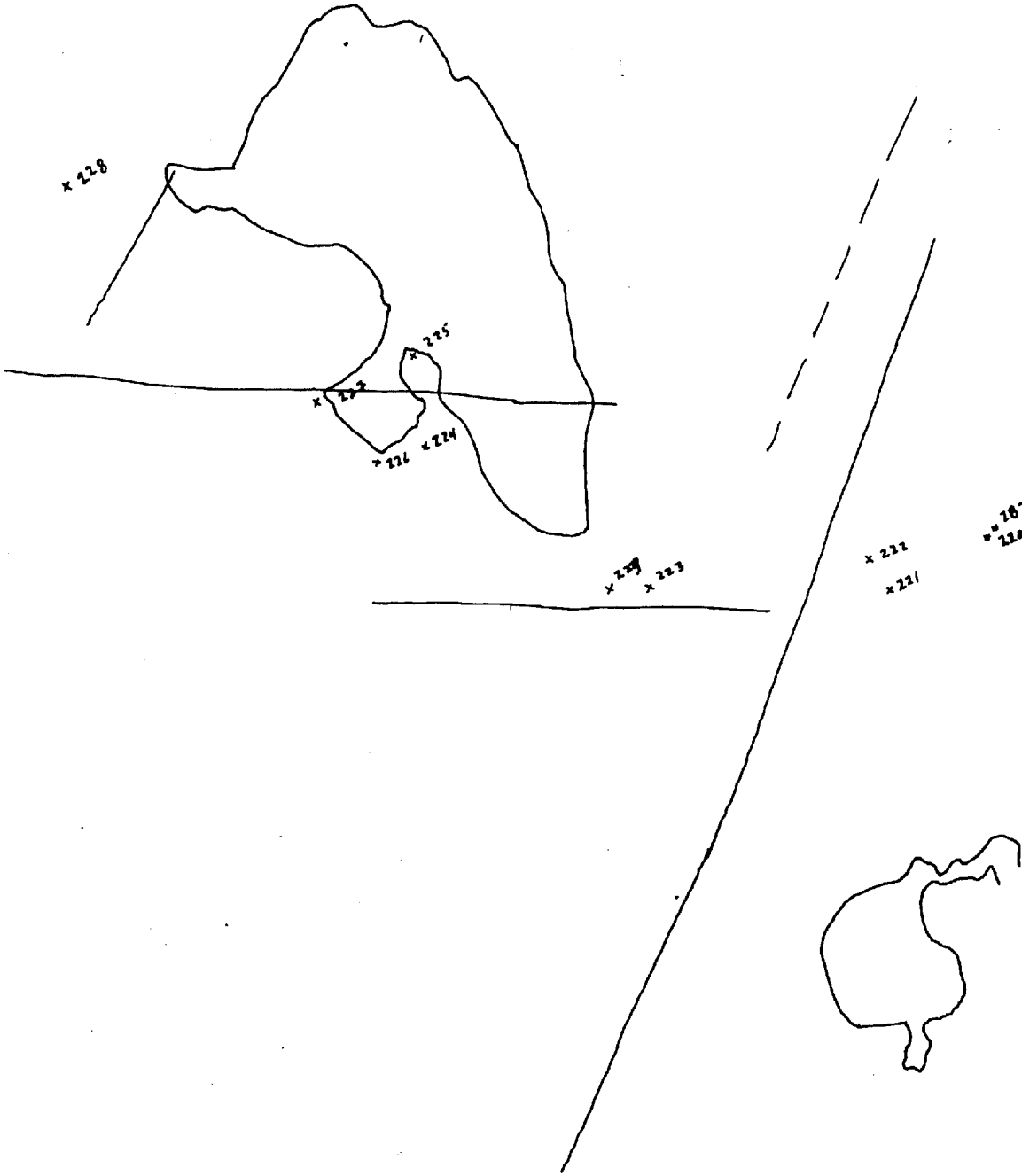
* 225

* 224 * 224

* 229 * 223

* 221 * 221

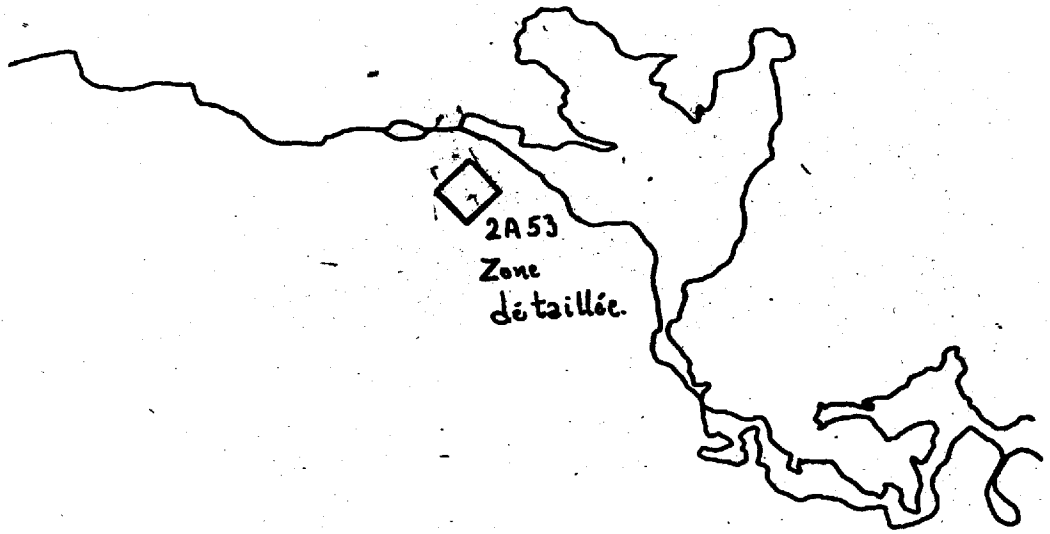
* 20129
220



Q 64362-50
Dyke

Statistiques Géologie 2A-53

STATION	RA SPP2	DESCRIPTION	FORMATION	ECHAN- TILLON	ANALYSE
Remarques	générales	<p>sur la cartographie de détail à l'échelle 1:500.</p> <p>Zone étudiée 100m de côté, L.B. à N-150°, maille au 25m orientée N-60°.</p> <p>Région très monotone, deux faciès distincts:</p> <ul style="list-style-type: none"> . orthoquartzite blanc à rose, . subarkose blanche grossière avec quelques granules de quartz. <p>Les orthoquartzites sont stratigraphiquement sous les subarkoses; le passage à celles-ci se fait par l'intermédiaire de quartzite blanc massif en passage latéral à des quartzites beiges, des quartzites hématisés à pois mauves, localement poches métriques de quartzites rouges très hématisés portant des traces de dissolution.</p> <p>La série des subarkoses blanches, débutant par des grès feldspathiques fins à moyens, ceux-ci passent très progressivement à des subarkoses et arkoses blanches grossières, quelques niveaux de microconglomérat polygénique mal individualisé se noyant dans la masse des subarkoses.</p> <p>Dans les subarkoses, la base des bancs est plus quartzique que le sommet, lequel est habituellement vert très arkosique.</p> <p>La minéralisation en tache centimétrique se situe préférentiellement à la base des subarkoses, dans des grès feldspathiques verts à faciès ocre; l'orientation des minéralisations est relativement près du plan de strati. De plus, les vallées entre les affleurements correspondent à la pente structurale des bancs, le sommet des bancs est généralement plus actif que la tranche.</p>			
2L-328.		<p>Blocs de dolomie massive à patine grise et noire. La dolomie est blanche en cassure fraîche, quelques taches rosées. 2 blocs de taille centimétrique 70 à 80cm dans la plus petite dimension.</p>			



Est du "G"

Q 64364

212

PROJET: MONTS OTISH

Aline Morin
Robert St-Jean

FICHE D'AFFLEUREMENT

DATE: 20.6.80

LOCALISATION: Q64362-142 23D/3

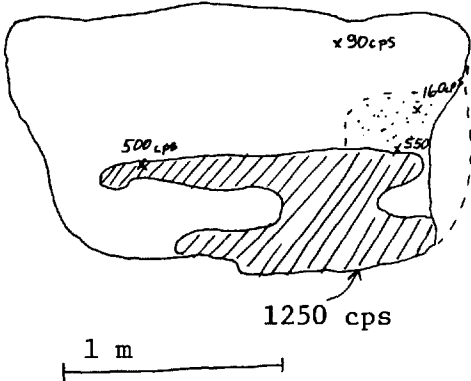
STATISTIQUE: Coupe 14 (hors propriété)

KM DE COUPE: 2.8

KM DE RADIOMETRIE: 6

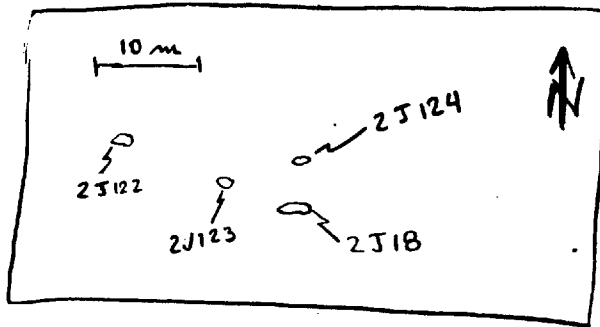
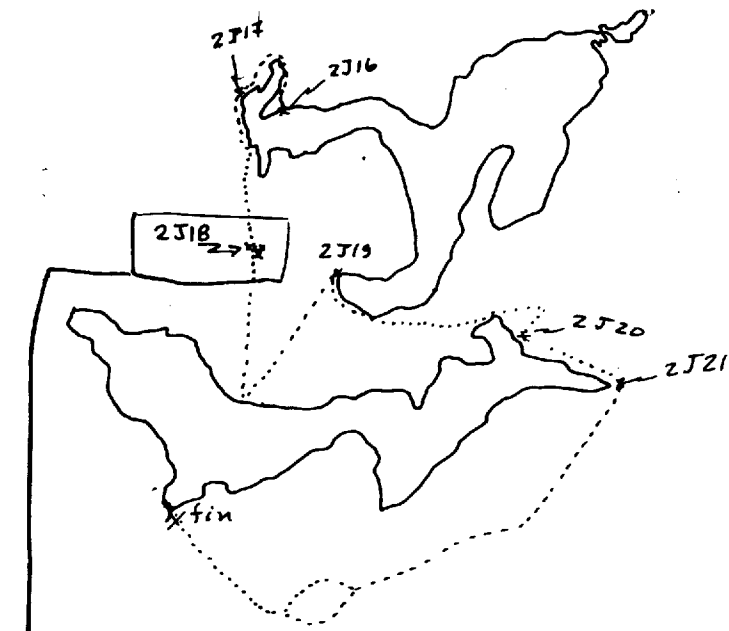
STATION	RA SPP2	DESCRIPTION	FORMATION	ECHAN- TILLON	ANALYSE
2J16		Bloc de quartzite rose, très fracturé et métamorphisé.	Indicateur		
	50	Bloc d'arénite silteuse de couleur brun violacé, taches de réduction sphériques de couleur ocre à beige. Ciment probablement dolomitique, tri moyen, bon arrondi.			
2J17	45	Bloc d'orthoquartzite blanc à grain moyen (ϕ max. 2 mm). Tri: très mauvais. Très arrondi. Une stratification est observable. Quelques petites taches oxydées.			
2J18		Série de blocs de taille métrique à plurimétrique, dont environ 10% d'arénite silteuse de couleur brun rougeâtre (Péribonca).		2J18d 2J18a 2J18b 2J18c	U Th 127 22
voir stations 2J122, 2J123 2J124	1250 1250 1100	Trois blocs anomaux, dont 2 à 1250 cps, 1 à 1100 cps. Les blocs ont tous une composition pétrographique identique. Description des blocs: grès feldspathique. Quartz: 95%, Feldspaths: >5%. Tri mauvais. ϕ grain: moyen à grossier. Arrondi moyen. Passées plus grossières. L'anomalie se trouve en association avec une altération limonitique de couleur ocre.			

Statistiques Coupe 14 (hors propriété)

STATION	RA SPP2	DESCRIPTION	FORMATION	ECHAN- TILLON	ANALYSE
		 <p>/// altération ocre taches grises</p>			
2J19		Champ de blocs plus ou moins continu.			
	80	1- Blocs d'arénite fine silteuse, de couleur brun chocolat.	Péribonca		
	30	2- Gabbro	Gabbro d'Otish		
		3- Blocs d'arénite feldspathique. 5-7% feldspaths, de couleur blanche, avec taches d'hématisation et altération de limonite.	Indicateur		
2J20	2000 700	Anomalie sur matière organique dans un petit marécage. (à suivre)		2J20	U Th 9300 ND
2J21	300	Bloc 30 cm de long. Orthoquartzite à galets mous et à microconglomérat. φ des grains: moyen à grossier. Microconglomérat à cailloux de quartz. Peu de matrice. Galets mous jusqu'à 5 cm, de couleur bleu turquoise (lazulite?).	Indicateur	2J21a	
	250	A 30 cm de là, bloc d'orthoconglomérat à cailloux de quartz dans une masse d'arénite arkosique à subarkosique. RA maximum au contact des deux lithologies.	Indicateur		

Statistiques Coupe 14 (hors propriété)

STATION	RA SPP2	DESCRIPTION	FORMATION	ECHAN- TILLON	ANALYSE
2J22	100	Champ de blocs: <5% Pérignonca 5-10% gabbro >80% subarkose. A grain grossier microconglomératique, à cailloux de quartz. ≈10-15% felds- paths, 85-90% quartz.	Indicateur		



Q64362
142

PROJET: MONTS OTISH

Aline Morin
Robert St-Jean

FICHE D'AFFLEUREMENT

DATE: 21.6.80

LOCALISATION: Q64362-138 23D/3

STATISTIQUE: Coupe 16 (hors propriété)

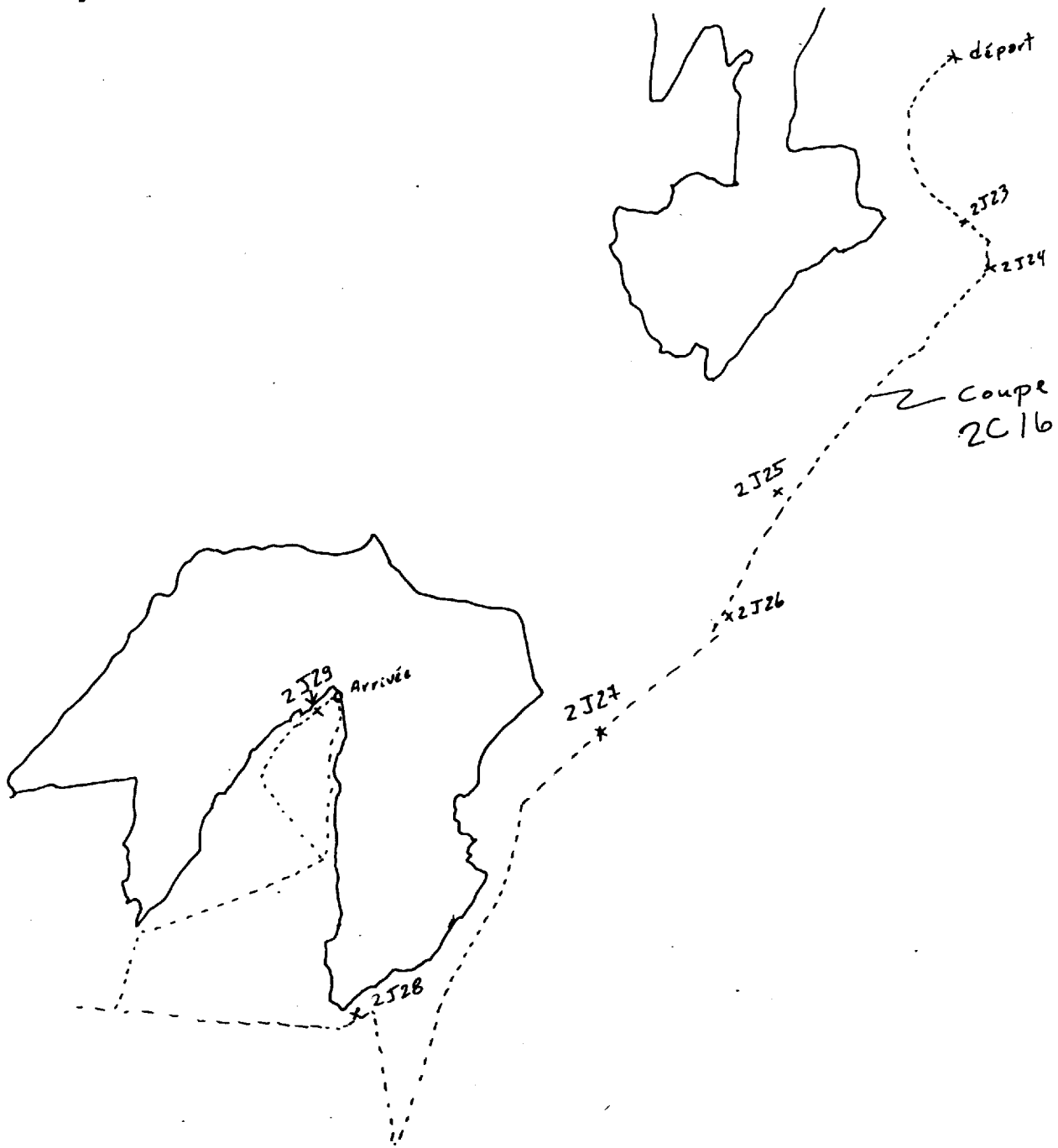
KM DE COUPE: 5.5

KM DE RADIOMETRIE: 11.0

STATION	RA SPP2	DESCRIPTION	FORMATION	ECHAN- TILLON	ANALYSE
2J23		<p>Champ de blocs comprenant environ:</p> <ul style="list-style-type: none"> - 10% gabbro - 80% blocs d'arénite subarkosique de composition: ≈15% feldspaths 85% quartz. <p>Grain moyen. Couleur blanc rosé. Contenant aussi quelques granules de quartz et feldspaths. Bancs massifs.</p> <ul style="list-style-type: none"> - 10% autres. 	Indicateur		
2J24	55, max. 110	Blocs d'arénite subarkosique, idem 2J23, mais de couleur rose et les granules conglomératiques sont arrondis jusqu'à 5 cm de diamètre.	Indicateur		
2J25	45-50	Gros blocs ayant jusqu'à 8 à 10 m ³ de grès feldspathique de couleur blanc rosé, à grain grossier. Approx. 15% de feldspaths. Peu de matrice. Légèrement conglomératique.	Indicateur		
2J26	60, max. 500	Gros bloc erratique de grès feldspathique (5-10% feldspaths) conglomératique à cailloux de quartz et parfois de feldspaths. Cailloux arrondis, peu de matrice.	Indicateur		
2J27	max. 300	Bloc erratique. Grès feldspathique à passées conglomératiques. Blanc à beige, à granulométrie moyenne. Passées conglomératiques à cailloux de quartz subarrondis, diamètre maximum 3 cm. RA maximale autour de ces cailloux.	Indicateur		

Statistiques Coupe 16 (hors propriété)

STATION	RA SPP2	DESCRIPTION	FORMATION	ECHAN- TILLON	ANALYSE
2J28	100, max. 500	<p>Champ de blocs ferratiques ou sub-affleurement. Arénite subarkosique: >15% feldspaths, 80-85% quartz. De couleur blanche, légèrement conglomératique. Les cailloux sont subarrondis. Tri mauvais. La RA maximale est associée aux passées conglomératiques.</p>	Indicateur		
2J29	80 300	<p>Champ de blocs semblable à ce qui a été vu à 2J28. Grès feldspathique à subarkosique conglomératique. Environ 15% de feldspaths blanc ou roses (altérés), 85% de quartz. Grain grossier et cailloux subarrondis de quartz et quartzite rose, hématisation par endroits.</p> <p>RA maximale sur les zones conglomératiques et limonitisées à la fois (altération ocre). Parfois les blocs ont une teinte verdâtre due à la fuschite.</p>			



Q64362
-138

PROJET: MONTS OTISH

R. St-Jean S. Genest
 A. Morin A. Girard
 F. Perron Y. Bisson

FICHE D'AFFLEUREMENT

DATE: 22 juin 1980

LOCALISATION: 23-D - Q-64362-138

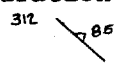
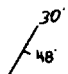
STATISTIQUE: Coupe 18 (hors propriété)

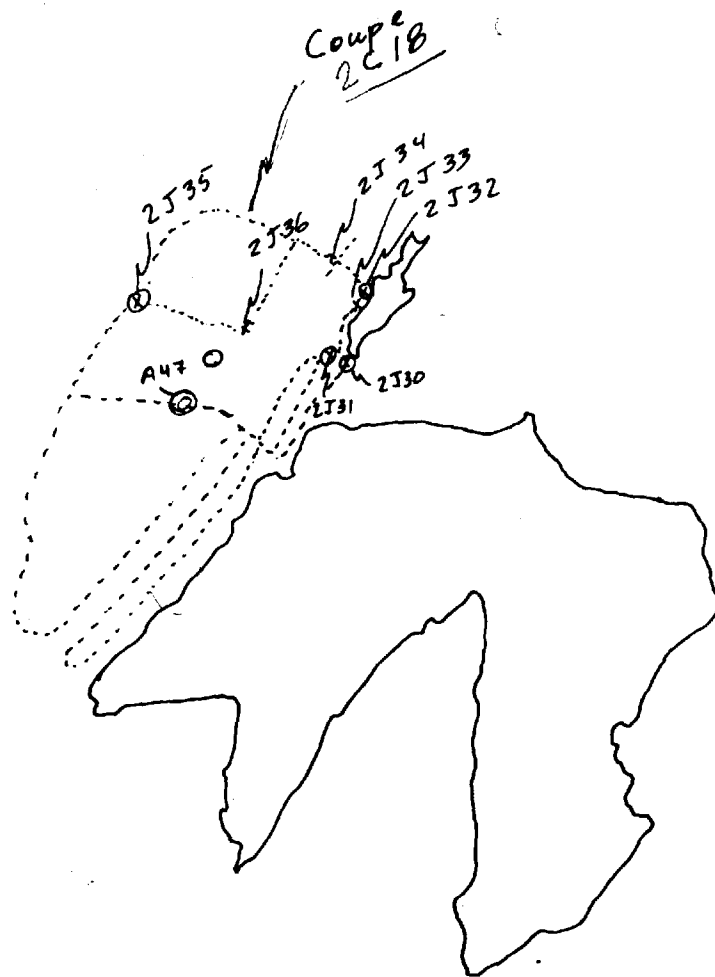
KM DE COUPE: 3,0 km + 2,7 km

KM RADIOMETRE:

STATION	RA SPP2	DESCRIPTION	FORMATION	ECHAN- TILLON	ANALYSE
2J-30 (2A-22)	5000	<p>Anomalie sur bloc. Arkose conglomératique à cailloux de quartz > 30% feldspaths 70% quartz</p> <p>Les cailloux de quartz sont sub-arrondis à sub-anguleux, jusqu'à 30 cm.</p> <p>L'arkose est de couleur blanche, roseâtre, à grains grossiers et anguleux. Tri très mauvais - <u>recristallisé</u>.</p> <p>Les feldspaths sont interstitiels; anomalie thorifère.</p>	Indicateur	2J-30a	U. Th. 98.2 8695 et étude métallo- génique
2J-31	2900	IDEM 2J-30 - Anomalie thorifère.	Indicateur		
2J-32	4500	IDEM 2J-30 - Anomalie thorifère.	Indicateur		
2J-33	55 75	<p>Affleurement ± continu d'arkose conglomératique et microconglomératique à cailloux de quartz et fragments de feldspaths, de couleur blanc orangé.</p> <p> ≈ 35% feldspaths ≈ 65% quartz</p> <p>Les cailloux ont un diamètre jusqu'à 3 cm et sont principalement de quartz, mais aussi des feldspaths.</p> <p>- petites veinules de quartz, 1 cm d'ouverture (Géodes)</p> <p style="text-align: center;"><u>70°</u> 75°</p>	Indicateur	2J-33a	

Statistiques

STATION	RA SPP2	DESCRIPTION	FORMATION	ECHAN- TILLON	ANALYSE
2J-33 suite		- fracturation selon  <u>pas de litage</u> : massif Arénite recristallisée.			
2J-34	35-40	Affleurement à peu près continu de gabbro.	Gabbro		
2J-35	max. 400	Boulder 2 x 2 x 1 m. Arénite conglomératique, grès felds- pathique grossier rosé, fortement hé- matisé. RA maximale sur la zone fortement héma- tisée; cailloux jusqu'à 5 cm avec quartz anguleux.	Indicateur		
2J-36		Gabbro. Plan de litage  Observé au nord des indices, les frac- tures à N-320° donnent une R.A. plus élevée.	Gabbro		



PROJET: MONTS OTISH

R. St-Jean
A. Yassa

FICHE D'AFFLEUREMENT

DATE: 24 juin 1980

LOCALISATION: Q-64364-201 Hors permis 23 D/3

STATISTIQUE: Coupe 25

KM DE COUPE: 2,6 km

KM RADIOMETRE: 2,6 km

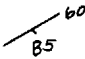
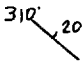
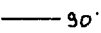
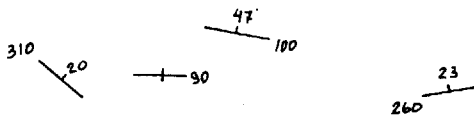
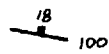
STATION	RA SPP2	DESCRIPTION	FORMATION	ECHAN- TILLON	ANALYSE
2J-40	75 max. 100	<p>Affleurement d'orthoquartzite blanc à beige</p> <p>≈ 3% feldspath ≈ 97% quartz</p> <p>Grain moyen, sub-arrondi, ciment siliceux; taches d'hématite rouge vin, rubanement de limonite.</p> <p>bancs métriques</p>	Indicateur		
2J-41	70- 75	<p>Affleurement de grès feldspathique conglomératique, blanc rosé, grain grossier, recristallisé.</p> <p>≈ 10% feldspath ≈ 90% quartz</p> <p>Cailloux de quartz jusqu'à 3 cm. Stratigraphiquement au-dessus de 2J-40.</p>	Indicateur		
2J-42	75 85- 100	<p>Affleurement 10 m de long x 2 m de haut, montrant de beaux chenaux (voir photo page suivante).</p> <p>A) Sub-arkose blanc rosé, ≈ 20% feldspaths grossiers, tri très mauvais. Conglomératique: à cailloux sub-anguleux de quartz et de feldspaths.</p> <p>B) Grès feldspathique conglomératique de couleur blanc verdâtre, ≈ 15% feldspaths Cailloux: φ de 2.5 cm de quartz. Quartzite rose et feldspaths.</p>	Indicateur		

Statistiques

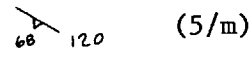
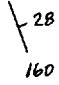
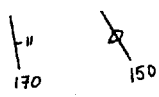
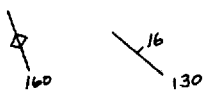

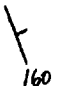
STATION	RA SPP2	DESCRIPTION	FORMATION	ECHAN- TILLON	ANALYSE
2J-42 suite	100- 130	<p>C) Arkose de couleur orangée à grains très grossiers, microconglomératique. Quartz anguleux parfois <u>opalescent</u>. Les cailloux de quartz sont bien arrondis.</p> <p>D) Orthoquartzite beige à verdâtre finement lité, conglomératique à cailloux de quartz.</p> <p>Litage $\begin{matrix} 340^\circ \\ \swarrow \\ 21^\circ \end{matrix}$</p> <p>Chenaux $\begin{matrix} \nearrow \\ \searrow \end{matrix}$</p>			



Statistiques

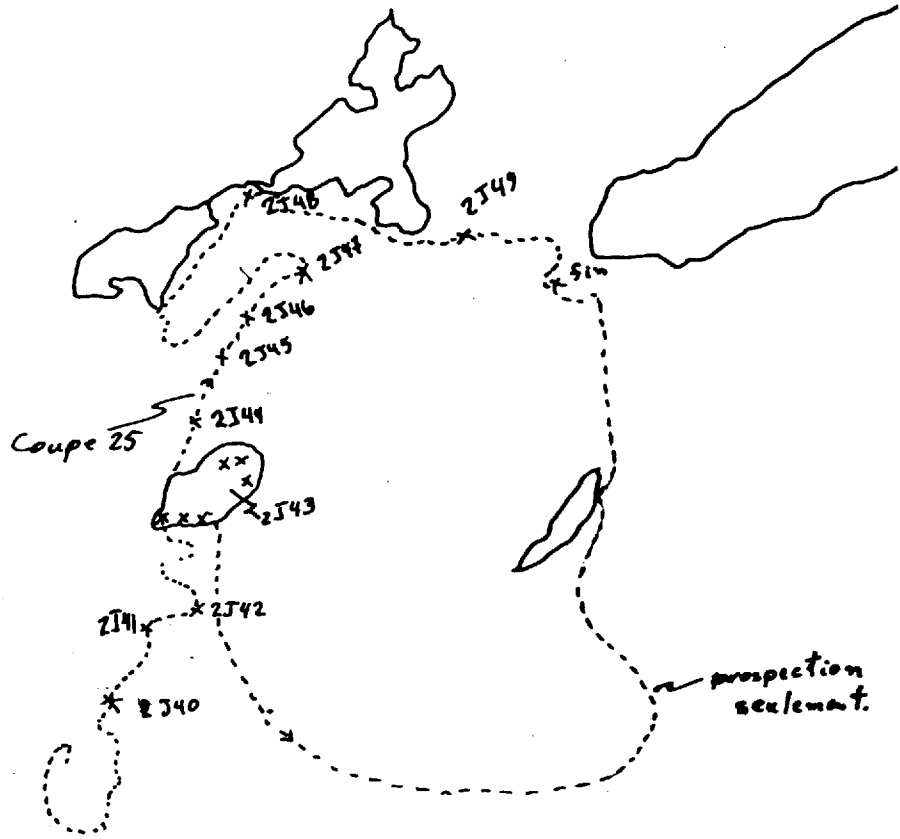
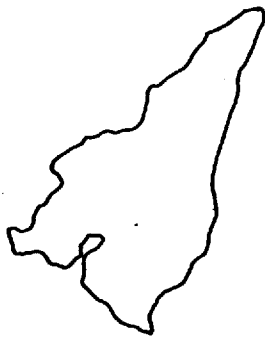
STATION	RA SPP2	DESCRIPTION	FORMATION	ECHAN- TILLON	ANALYSE
2J-43	40	<p>Affleurement sur le sommet de la col- line. Orthoquartzite rose, grain moyen à fin, tri moyen, ciment sili- ceux, rubanement rouge d'hématite et taches rouges. Lits 10 cm à 1 m.</p> <p>Plis dans le quartzite qui ondulent légèrement le litage.</p> <p>Plan axial: </p> <p>Litage: </p> <p>Sur le sommet, le litage devient </p> <p>Il s'agit peut-être de plis, mais il y a relativement peu de fracturation.</p> <p>En fait, la distribution des litages est comme suit:</p>  <p>Stries de glissement observées dans un plan </p> <p>La direction des stries projetée sur un plan horizontal donne 110°. Le mur de faille a descendu.</p> <p>→ Les bancs semblent avoir glissé les uns sur les autres.</p>	Indicateur		
2J-44	550	<p>Bloc erratique de 1 m³. Grès felds- pathique. 6-8% feldspaths. Micro- conglomératique à granules de quartz, ciment siliceux, grains bien arron- dis, tri très mauvais.</p>	Indicateur		

Statistiques

STATION	RA SPP2	DESCRIPTION	FORMATION	ECHAN- TILLON	ANALYSE
2J-45		<p>Escarpement montrant un bon affleurement, 10 x 8 m. Orthoquartzite beige à rose, à rubanement d'hématite.</p> <p>Diaclases:  (5/m)</p> <p>Litage: </p>	Indicateur		
2J-46		<p>Escarpement. Sub-arkose conglomératique. Arénite très grossière de couleur beige; quartz arrondi; cailloux de quartz bien arrondis, jusqu'à 6-7 cm, stratigraphiquement au-dessus de 2J-45.</p>	Indicateur		
2J-47		<p>Affleurement ≈ IDEM 2J-45.</p> <p></p>	Indicateur		
2J-48		<p>Affleurement d'orthoquartzite rose.</p> <p></p>	Indicateur		
2J-49		<p>Affleurement de grès feldspathique beige à rose. ≈ 5-10% feldspaths</p> <p>Conglomératique; à cailloux de quartz et quartzite.</p> <p>Stries glaciaires: </p> <p>Litage: </p>	Indicateur		

Statistiques

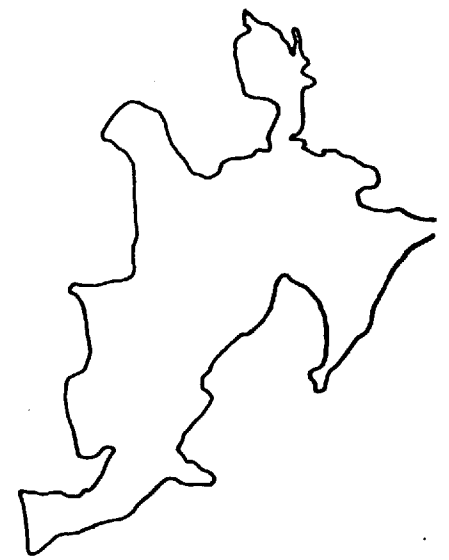
STATION	RA SPP2	DESCRIPTION	FORMATION	ECHAN- TILLON	ANALYSE
2J-49 suite		<p data-bbox="495 409 1024 577">↙ 150 3/m déplacé en dextre par 30. ↘</p> <p data-bbox="479 630 1065 703">Note: Le scintillomètre était défectueux après la station 2J44.</p>			

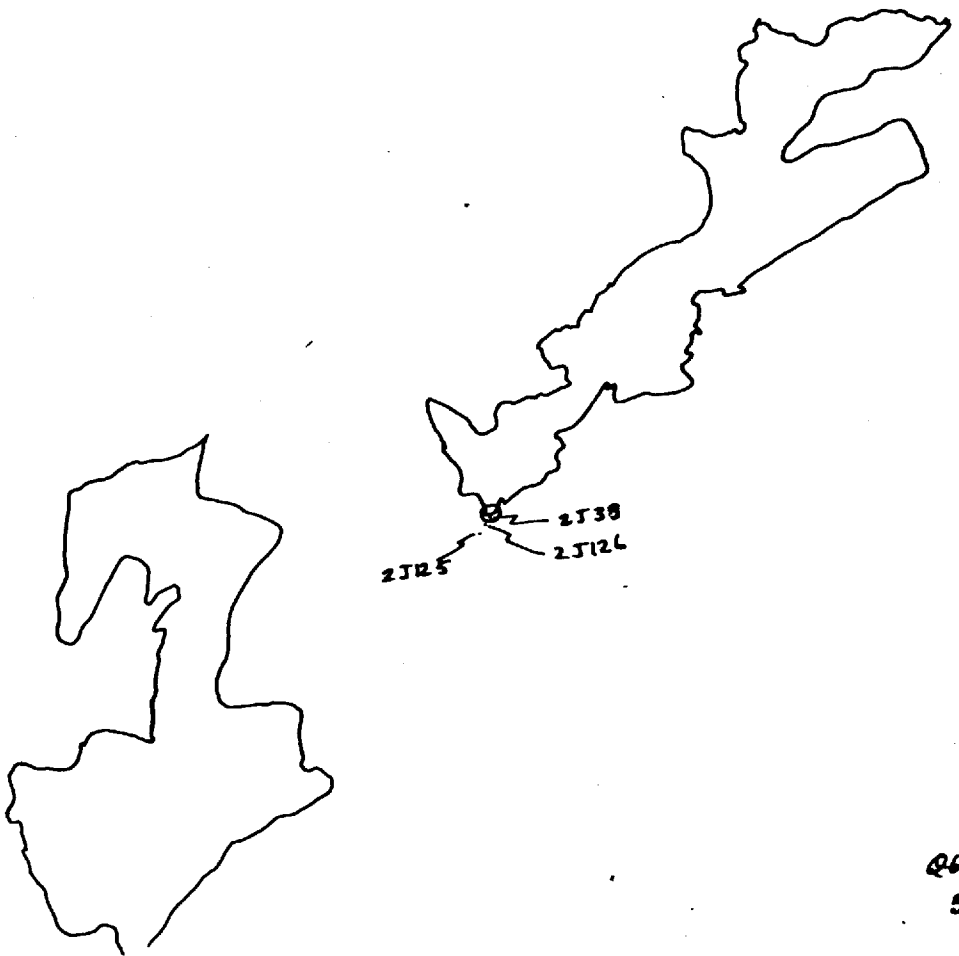


Q64364
201

Statistiques

STATION	RA SPP2	DESCRIPTION	FORMATION	ECHAN- TILLON	ANALYSE
A-1		Cette anomalie aérienne est due au contraste qui existe entre le maréca- ge (RA 30 cps) et les blocs errati- ques qui y sont dispersés et qui don- nent 60-80 cps.			
A-2		Cette anomalie pourrait être due à une arkose donnant un mouvement propre, variant entre 80 et 95.			





Q64362
57

PROJET: MONTS OTISH

R. St-Jean
S. Genest

FICHE D'AFFLEUREMENT

DATE: 20 juillet 1980

LOCALISATION: Hors propriété

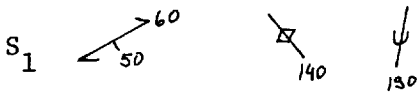
STATISTIQUE: Coupe 2C-88

KM DE COUPE: 3.5

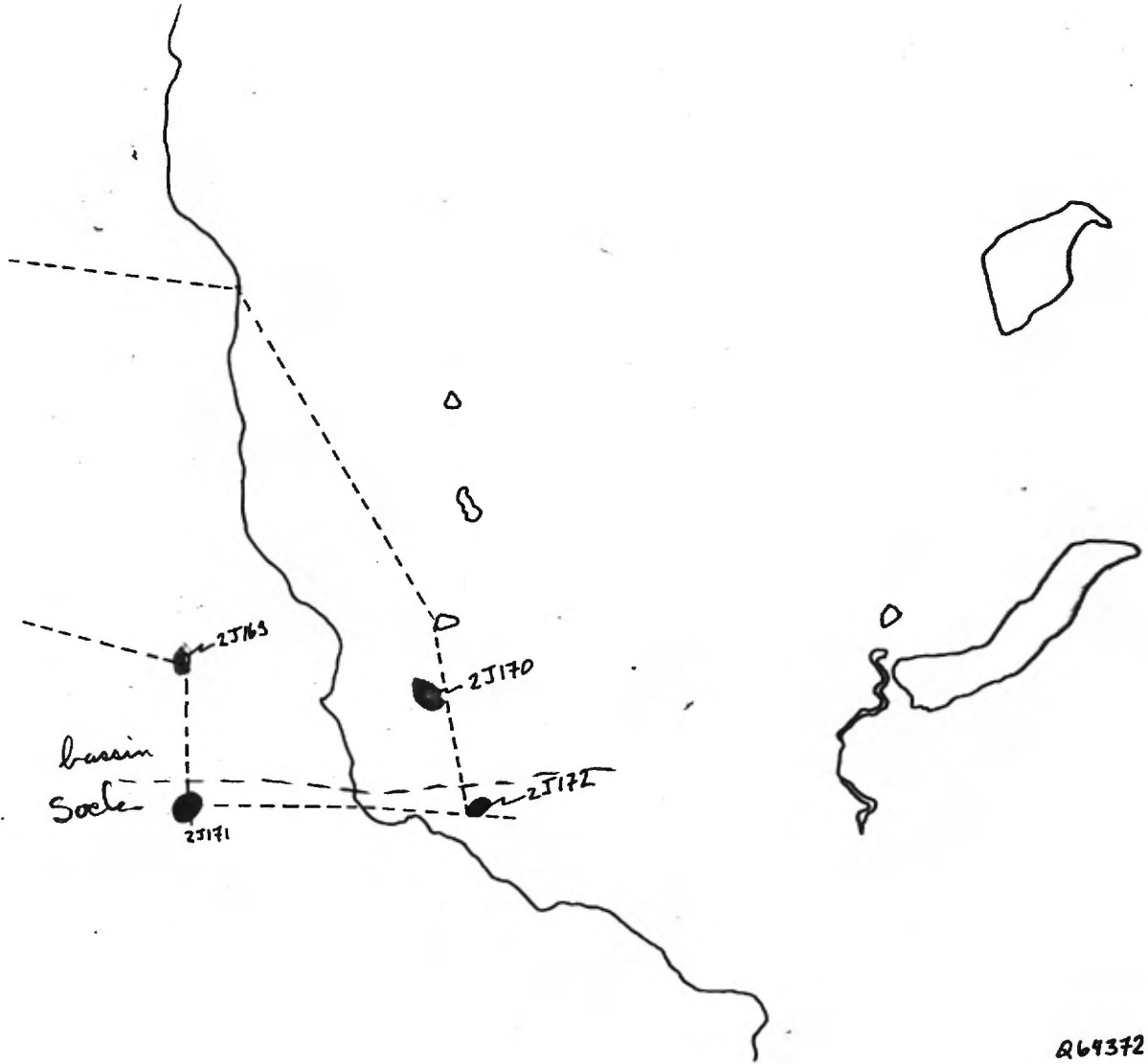
KM RADIOMETRE:

STATION	RA SPP2	DESCRIPTION	FORMATION	ECHAN- TILLON	ANALYSE
2J-166 (2A-51)	1850	Bloc de 1 m ³ . Paraconglomérat polymicte à cailloux de quartz (90%); quartzite rouge 5% et galets mous. φ maximum de galets 3 cm; matrice d'arkose verte grossière; ciment argileux. R.A. maximale sur taches ocre.	Indicateur	2J-166a	
2J-167	100 max. 150	Affleurement adjacent à la station 2J-166 environ 5 m x 50 m. Arénite sub-arkosique blanche (réduite); grain grossier à très grossier; feldspaths recristallisés et très altérés. Conglomératique à cailloux de quartz, diamètre maximal des cailloux 2 cm.	Indicateur		
2J-168	100	Affleurement 50 x 10 m. Granite rose massif, pegmatitique, localement veinules de quartz; petites enclaves mafiques; altération d'épidote localement.	Socle		
2J-169	50- 55	Affleurement 5 x 10 m. Arénite verte très schistosée, beaucoup de séricite, un peu de fuschite. Couleur vert brillant, présence de poches d'orthoconglomérat oligomicte à cailloux de quartz, diamètre maximum 10-15 cm.	Indicateur		

Statistiques

STATION	RA SPP2	DESCRIPTION	FORMATION	ECHAN- TILLON	ANALYSE
2J-169 suite		<p>Quelques cailloux de quartz et galets mous verts. Roche très plissée (microplis) axée selon un plan N-70° vertical et plongeant de 15-20° vers l'est. Galets et cailloux de quartz parfois très étirés.</p> 		2J-169a	
2J-170	60-65	Gros bloc >100 m ³ , IDEM station 2J-169.	Indicateur		
2J-171		Bloc environ 1 m ³ ; gneiss blanc avec injection de migmatite.	Socle		
2J-172		Bloc environ 1 m ³ ; granite rose.	Socle		

2J167
2J166



Q64372
186



2J168

Q64362
134

PROJET: MONTS OTISH

R. St-Jean
A. Morin

FICHE D'AFFLEUREMENT

DATE: 21 juillet 1980

LOCALISATION: Hors propriété

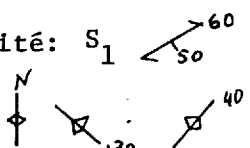
STATISTIQUE: Coupe 2C-91

KM DE COUPE: 4.1

KM RADIOMETRE:

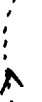
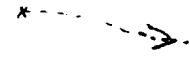
STATION	RA SPP2	DESCRIPTION	FORMATION	ECHAN- TILLON	ANALYSE
2J-173	100 max. 200	<p>Affleurement 2 x 8 m; arkose verte, grain grossier, environ 25% de feldspaths.</p> <p>Les grains de quartz et de feldspaths sont aplatis selon la schistosité; poches et lentilles de paraconglomérat oligomictes à cailloux de quartz, à matrice d'arkose verte; diamètre maximum des cailloux 3 cm (les cailloux sont un peu aplatis).</p> <p>direction de courant dans le chenal</p> <p>chenalisant?</p>	Indicateur		
2J-174	100 350 400 600	<p>Affleurement à peu près continu le long du ruisseau.</p> <p>Arkose blanche légèrement verte; feldspaths et quartz étirés, très schistosés, très fracturés. S₁</p> <p>Litage incertain: So</p> <p>Cailloux de quartzite rouge et volcanite acide.</p>	Indicateur		

Statistiques

STATION	RA SPP2	DESCRIPTION	FORMATION	ECHAN- TILLON	ANALYSE
2J-174 suite		Poches paraconglomératiques, polymicte à cailloux de quartz, volcanite acide.	Indicateur		
2J-175	75- 80	Blocs sub-affleurants d'arénite; subarkose verte; environ 25% feldspaths. Conglomératique à cailloux de quartz, diamètre maximum des cailloux 2 cm. 5% de volcanites acides.	Indicateur		
2J-176	50- 300 max.	Affleurement à la décharge du lac. Sub-arkose blanche; 15 à 20% de feldspaths blancs recristallisés. Grain grossier plus ou moins étiré. Schistosité: S_1  Passées conglomératiques à cailloux de quartz, quartzite (peu), diamètre maximum 3 cm.	Indicateur		

D

what



25174

25173

o

o

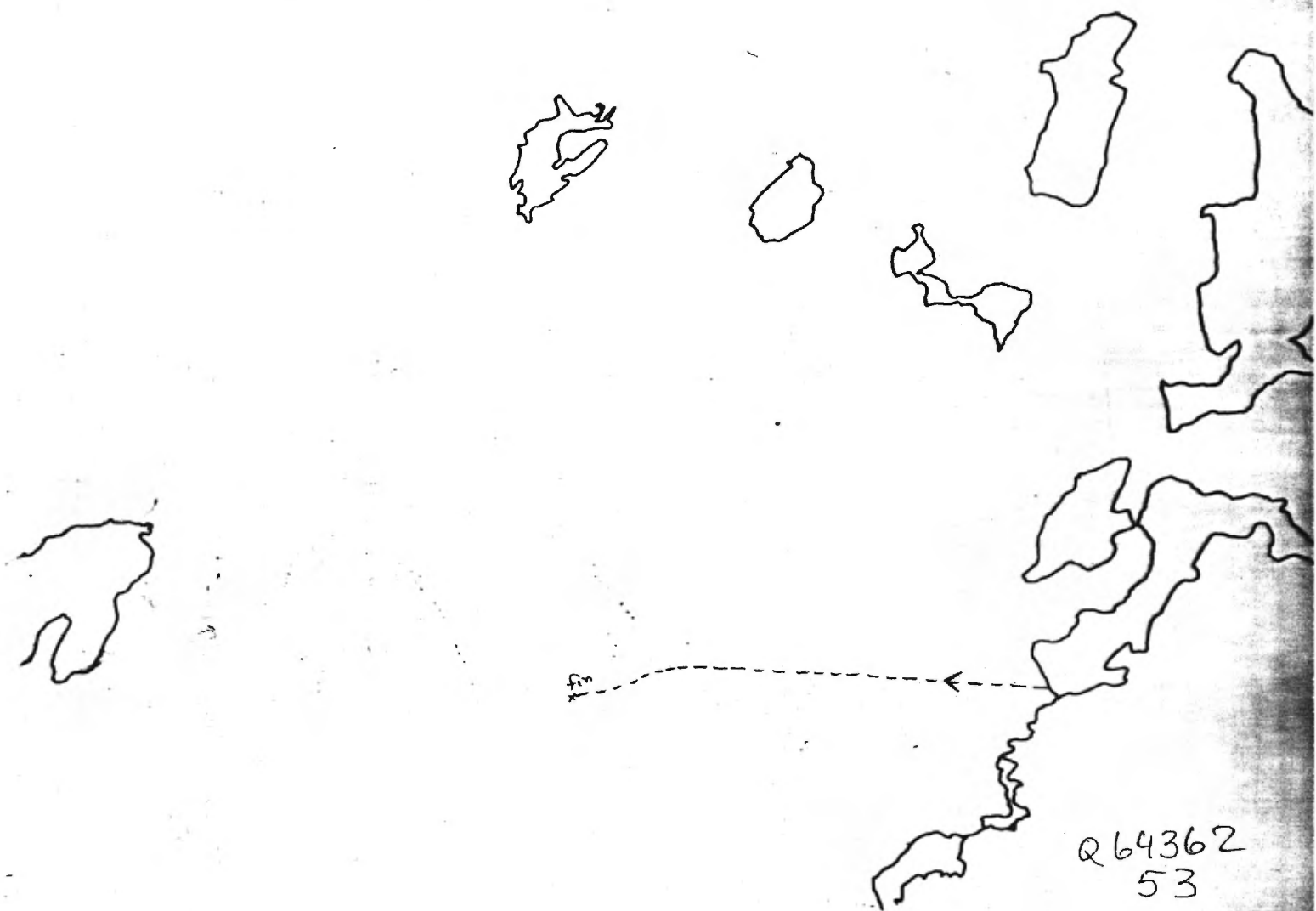
o

Q64372

186



Q64362
140



Q64362
53

PROJET: MONTS OTISH

Robert St-Jean
Aline Morin

FICHE D'AFFLEUREMENT

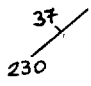
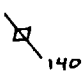
DATE: 22 juillet 1980

LOCALISATION: Hors propriété

STATISTIQUE: Coupe 2C-95

KM DE COUPE: 2,8 km

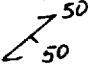
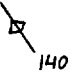
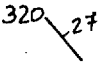
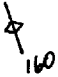
KM RADIOMETRE:

STATION	RA SPP2	DESCRIPTION	FORMATION	ECHAN- TILLON	ANALYSE
2J-177	60	Affleurement entre les deux collines, 2,5 mètres de bas en haut; sub-arkose beige; environ 20% de feldspaths. - microconglomératique à granules de quartz, tri très mauvais, grain moyen à grossier, assez anguleux. - conglomératique à cailloux de quartz et quartzite; diamètre maximum des cailloux 3 cm.	Indicateur	2J-177a 2J-177b	
	85- 90 max. 200	1,5 m de sub-arkose rosée; 20-25% de feldspaths interstitiels et détritiques; grain moyen à grossier. - microconglomératique à granules de quartz.	Indicateur		
		 Trou: 2 m.			
		3 m de sub-arkose blanche, grain moyen à grossier; tri mauvais, sub-anguleux.	Indicateur		
	100- 200	R.A. maximale sur taches limonitisées et ocre; galets mous; fractures silicifiées.			
		 Trou: 2,5 m.			
		2 m de sub-arkose, IDEM ci-dessus.	Indicateur		

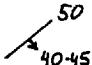
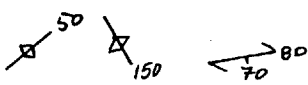
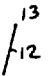
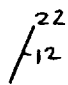
Statistiques

STATION	RA SPP2	DESCRIPTION	FORMATION	ECHAN- TILLON	ANALYSE
2J-178		10 m de sub-arkose. ≈ 15% de feldspaths plus ou moins re- cristallisés. - microconglomératique à cailloux de quartz; quartzite rouge, galets mous; tri mauvais; grain grossier à très grossier.	Indicateur	2J-178a	
2J-179		Affleurement à l'ouest des deux petits lacs. <u>Sommet:</u>	Indicateur		
	90-120	Grès feldspathique à ciment feldspa- thique blanc; grain moyen à grossier; tri mauvais, sub-anguleux. Poches de paraconglomérat polymicte à cailloux de quartz et quartzite rouges.	Indicateur		
		<u>Base:</u> Grès feldspathique à ciment feldspa- thique, IDEM ci-dessus. Cuillères et petits chenaux ? mon- trant une direction de courant \updownarrow^N	Indicateur		
		Présence de cailloux de quartzite rou- ge "flottant" dans les cuillères.	Indicateur		
		Faille N-50° inverse, plan de fail- le $\begin{array}{l} \nearrow 60 \\ \searrow 35 \end{array}$ strié, axé 150° reporté sur le plan horizontal.			
	70- 100	Sur le mur de la faille on a grès feldspathique conglomératique, envi- ron 4 m d'épaisseur, cailloux de quartz, quartzite.	Indicateur		
		$\begin{array}{l} \nearrow 30 \\ \searrow 25 \end{array}$			
2J-180	75	Affleurement de sub-arkose rosée, en- viron 15 à 20% de feldspaths;	Indicateur		

Statistiques

STATION	RA SPP2	DESCRIPTION	FORMATION	ECHAN- TILLON	ANALYSE
2J-180 suite		Tri moyen; grain moyen à grossier; cailloux de quartz flottants. Schistosité:  Fracture: 			
2J-181	80-90	Affleurement 4 m d'épaisseur; grès feldspathique blanc rosé, environ 15% de feldspaths blancs; grain gros- sier, tri mauvais, assez massif.  → pas très net.	Indicateur		
2J-182	90-100	Affleurement sur le côté est de la colline; arénite de sub-arkose beige à blanc; environ 15 à 20% de felds- paths altérés, plus ou moins inters- titiels. - microconglomératique à granules de quartz et quartzite rose. - conglomératique à cailloux de quartz, tri très mauvais; grains sub-angu- leux, bancs assez massifs, chenali- sants ?.. Plus grossier à la base, plus fin vers le sommet; galets mous beige.	Indicateur		
2J-183		Affleurement 1 m d'épaisseur, sub-ar- kose IDEM 2J-182, blanche; grain moyen à grossier. 			

Statistiques

STATION	RA SPP2	DESCRIPTION	FORMATION	ECHAN- TILLON	ANALYSE
2J-184	50-60 350- 400	Affleurement plus ou moins continu; 6 m d'épaisseur, sub-arkose à ciment feldspathique beige rosé (oxydée); grain moyen, feldspaths recristalli- sés et altérés; gros feldspaths 1 cm. - microconglomératique à cailloux de quartz et quartzite. R.A. maximale associée aux taches ocre et aux taches rouges ainsi qu'aux cailloux de quartz; petites fractures ouvertes et remplies de quartz Faille:  inverse. Stries à 160° reportées sur l'hori- zontal.	Indicateur		
2J-185	60	Affleurement près du sommet de la colline, environ 2 m d'épaisseur; grès feldspathique blanc à beige; environ 15% de feldspaths plus ou moins interstitiels; grain moyen, tri moyen.  Litage incertain 	Indicateur		
2J-186	60 max. 350	Affleurement 15-20 m d'épaisseur; sub- arkose blanche; 15-20% de feldspaths; grain moyen à grossier; passage ra- pide d'une granulométrie à l'autre. Passées conglomératiques à cailloux de quartz, quartzite rouge, diamètre maximum 5 cm. R.A. maximale sur taches ocre. 	Indicateur		
2J-187	60-75	Affleurement environ 10 m d'épaisseur; sub-arkose blanche.	Indicateur		

Statistiques

STATION	RA SPP2	DESCRIPTION	FORMATION	ECHAN- TILLON	ANALYSE
2J-187 suite		Conglomératique à cailloux de quartz, quartzite rouge, petites lentilles de feldspaths \approx 2 cm de longueur par 1 mm d'épaisseur; diamètre maximum des cailloux 3 cm.			
2J-188	1500	<p>Bloc \approx 50 cm x 30, très altéré, friable d'arénite dolomitique verte, silicifiée, contenant plusieurs veinules de calcite rose.</p> <p>Echantillon très tectonisé montrant beaucoup de stries de glissement; veinules de quartz produites par une exsudation de la silice lors du dynamométamorphisme.</p> <p>Chlorite par endroit; micas parfois observables.</p>	Indicateur	2J-166a R.A. max.	

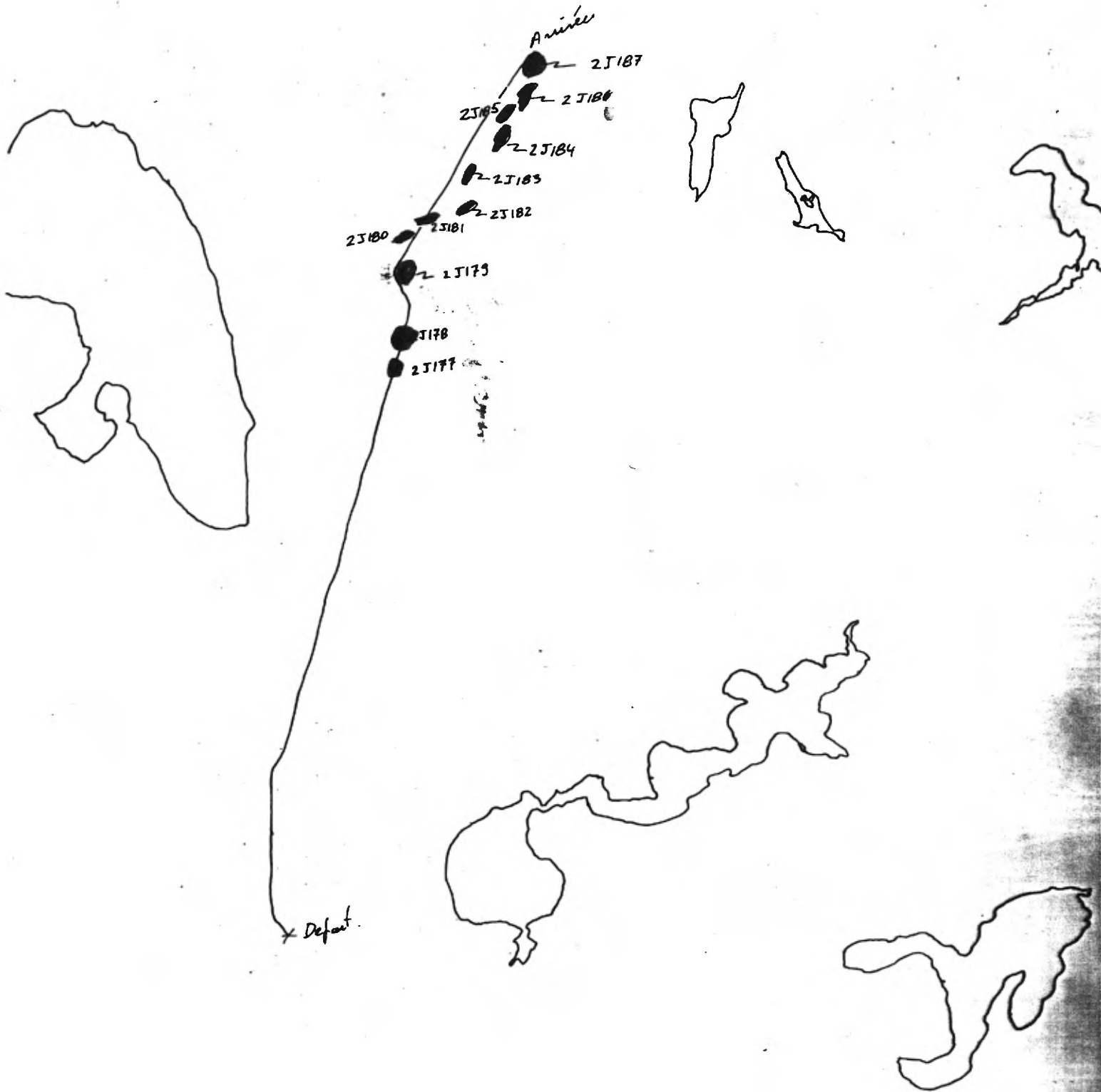
50
150
12
22

160

320
100
46

37
230
140

Q64362
51



Q64362
51

PROJET: MONTS OTISH

R. St-Jean
A. Morin

FICHE D'AFFLEUREMENT


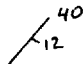
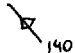
DATE: 24 juillet 1980

LOCALISATION: Région de l'anomalie 2A-23


STATISTIQUE: Coupe 2C-96

KM DE COUPE: 3,2 km

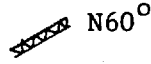
KM RADIOMETRE:

STATION	RA SPP2	DESCRIPTION	FORMATION	ECHAN- TILLON	ANALYSE
2J-189	25- 30	Affleurement 1 m d'épaisseur, orthoquartzite rose, grain moyen, tri bon, ciment siliceux; quelques grains de feldspath blanc de 50 cm.	Indicateur		
2J-190	60	Affleurement 2.5 m d'épaisseur, sub-arkose rose, environ 20% de feldspaths détritiques, grain grossier, passages très grossiers, ciment siliceux. - conglomératique à cailloux de quartz. 	Indicateur		
2J-191		Affleurement continu dans le ruisseau. Description de bas en haut.			
	35	50 cm orthoquartzite rose, grain moyen, schistosé par faille intercouche.	Indicateur		
	50	70 cm orthoquartzite rose passant à un grès feldspathique rose.  stries à 160° faille inverse 	Indicateur		
	50	1.5 m : 9 lits d'orthoquartzite rose très faillé; placage de quartz.	Indicateur		

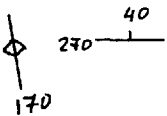
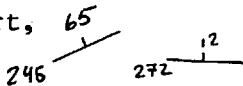
Statistiques

STATION	RA SPP2	DESCRIPTION	FORMATION	ECHAN- TILLON	ANALYSE
			<p>2J-191 Base de la section.</p>		

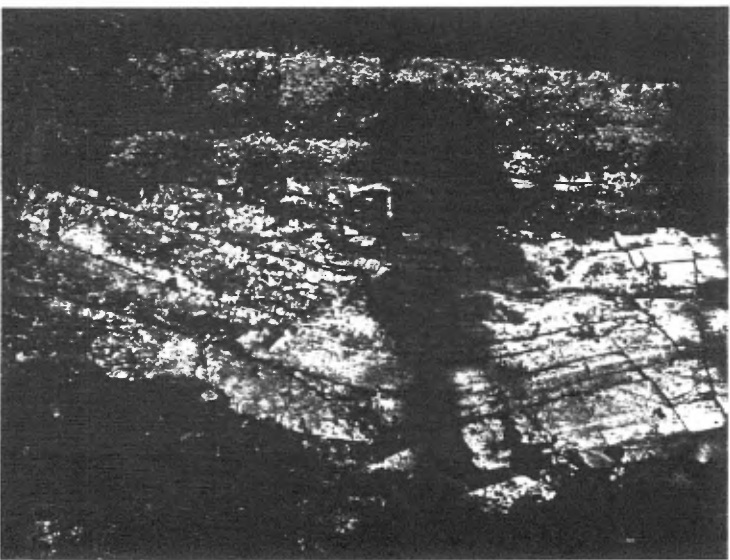
Statistiques

STATION	RA SPP2	DESCRIPTION	FORMATION	ECHAN- TILLON	ANALYSE
2J-191 suite	60	10-20 cm de quartz massif, bloc dans plan de faille intercouche.	Indicateur		
	50	1 m d'orthoquartzite rose très pur, tri très bon, laminations horizontales centimétriques.	Indicateur	2J-191a	
	50	70 cm d'orthoquartzite rose, débit 2-3 cm; cuillères plus ou moins nettes.	Indicateur		
	40	1.0 m: 2 bancs massifs de grès feldspathique rose, environ 5% de feldspaths	Indicateur	2J-191b	
	50	1.5 m: banc de grès feldspathique rose, litage plus ou moins ondulé, lentille de quartz 			
		50 cm grès feldspathique rose, grain moyen, débit centimétrique, très fracturé par faille intercouche.	Indicateur		
	50	1.5 m grès feldspathique rose, environ 15% de feldspaths jaunâtres; bancs massifs	Indicateur	2J-191c	
		2 m de grès feldspathique rose devenant subarkosique au sommet.	Indicateur		
	50	2 m subarkose rose, environ 15-20% de feldspaths jaunâtres plus ou moins bien discernables; petites géodes lenticulaires de quartz. Les feldspaths ont jusqu'à 1 cm.		2J-191d	
	35	1 m grès feldspathique rose, environ 15% de feldspaths jaunâtres, grain moyen, tri moyen.	Indicateur	2J-191e	
40	1 m subarkose rose, grain grossier, environ 15 à 20% de feldspaths en gros cristaux.	Indicateur			

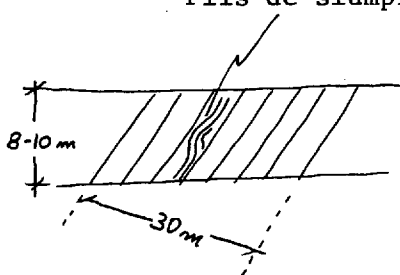
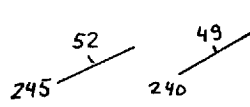
Statistiques

STATION	RA SPP2	DESCRIPTION	FORMATION	ECHAN- TILLON	ANALYSE
2J-192	25	<p>Affleurement 6 mètres d'épaisseur. 6 bancs d'orthoquartzite rose à ciment feldspathique, laminations millimétriques plus feldspathiques à la base des bancs.</p> <p>"Pois" d'hématite rouge.</p> 	Indicateur		
2J-193	30	<p>2 m d'épaisseur d'orthoquartzite rose à ciment feldspathique, grain fin, tri bon, recristallisé.</p> <p>La surface "altéré" est "côtelée" (éolienne !).</p> <p>Beaucoup de stries intercouches à quartz recristallisés, surmontées de: 2 m d'orthoquartzite rose à ciment siliceux et feldspathique; rubanement d'hématite.</p> <p>Stries intercouches à placage de quartz.</p> <p>Pendage fort, </p> <p>probablement éolien.</p>	Indicateur	2J-193a	

Statistiques

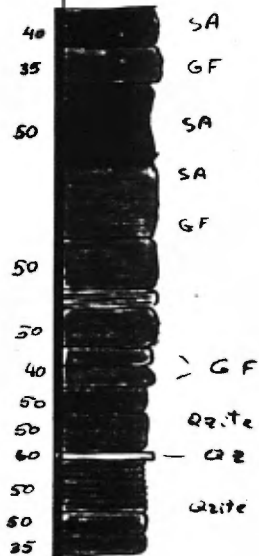
STATION	RA SPP2	DESCRIPTION	FORMATION	ECHAN- TILLON	ANALYSE
			Station 2J-193 plis ?		

Statistiques

STATION	RA SPP2	DESCRIPTION	FORMATION	ECHAN- TILLON	ANALYSE
2J-196		<p style="text-align: center;">Plis de slumping</p>  <p>Bancs de sédiments éoliens? montrant des pendages très forts,</p>  <p>de composition pétrographique.</p> <p>Orthoquartzite rose à ciment feldspathique, parfois à pois d'hématite, parfois laminae millimétriques; grain moyen à grossier montrant parfois de beaux plis de slumping axés perpendiculairement au pendage.</p>			
2J-197	50	<p>Affleurement près des anomalies 2A-14 et 2A-15; grès feldspathique beige à ciment feldspathique; environ 15% de feldspaths, grain moyen à grossier, limoniteux.</p>	Indicateur	2J-197a	

STATION # 131

R.A.

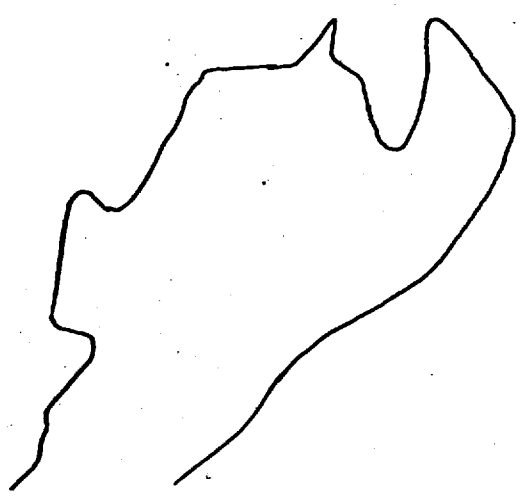
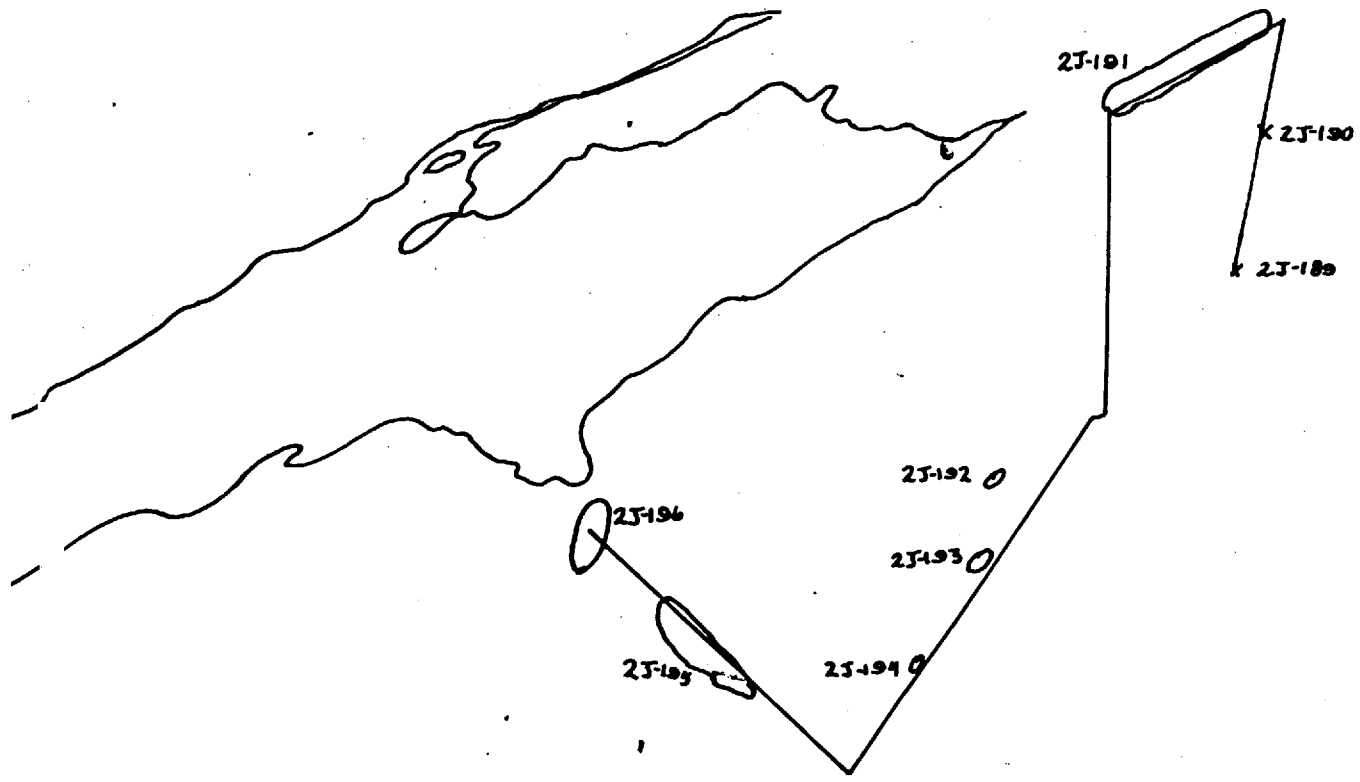


REDUIT.

blanc

oxyde

1:200



PROJET: MONTS OTISH

Claude Marcotte
Alain GirardFICHE D'AFFLEUREMENT

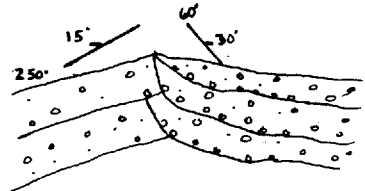
DATE: 24 juillet 1980

LOCALISATION: Coupe: 2C-98

STATISTIQUE: Zone: 2A-23

KM DE COUPE: 4,5 km.

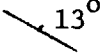
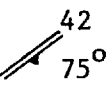
KM RADIOMETRE:

STATION	RA SPP2	DESCRIPTION	FORMATION	ECHAN- TILLON	ANALYSE
2M242	40 cps	<p>Grès feldspathique grossier à la limite de la sub-arkose, passe d'ailleurs à une sub-arkose latéralement. Schistosité ± bien développée en surface d'affleurement. Grains grossiers de quartz sub-arrondis à sub-anguleux, tri mauvais. Feldspaths en grains, blancs, altérés, et une bonne partie se retrouve sous forme interstitielle. Couleur violette générale sur l'affleurement.</p> <p>Stratification: 15° 250°</p> <p>Schistosité: $60^{\circ}/30^{\circ}$</p> <p>Cette sub-arkose est chenalisée par un microconglomérat polygénique à cailloux de 5 cm. sub-arrondis, essentiellement quartzitiques et d'autres lithologies d'origine sédimentaire, arkoses.</p>  <p>1 m.</p> <p>Stries intercouches: $150^{\circ}/30^{\circ}$</p> <p>$150^{\circ}/30^{\circ}$</p> <p>Diaclases: 335° 78°</p>	Indicateur		


Statistiques

STATION	RA SPP2	DESCRIPTION	FORMATION	ECHAN- TILLON	ANALYSE
2M243	45 cps	Sub-arkose grossière, IDEM à 2M242.	Indicateur		
2M244	40 cps	Grès feldspathique à grains moyens, sub-arrondis, feldspath interstitiel; quelques granules (5%) quartzitiques. Points d'hématisation disséminés, couleur plus claire de la roche.	Indicateur		
2M245	40 cps	Grès feldspathique grossier à cailloux épars, IDEM à 2M242. Schistosité bien développée en surface d'affleurement.	Indicateur		
2M246	40 cps	Quartzite massif lité en bancs métriques; quelques bandes poreuses de couleur grisâtre, à grains grossiers sub-arrondis. Stratification: 287° $\backslash 13^{\circ}$	Indicateur		
2M247	25 cps	Quartzite rose laminé légèrement. Les laminations sont millimétriques de couleur sombre (gris), sans changement granulométrique, entrecroisements à l'échelle centimétrique.	Indicateur		
	40 cps	Un peu plus au nord, en bas de pente à 8 m., on note un quartzite rose massif, à grains grossiers; puis 2 m. plus bas, un autre affleurement isolé, un quartzite laminé à pois d'hématisation très disséminés; un quartzite débité en bancs décimétriques, avec quelques passées rougeâtres à grains plus hématisés forment des écailles discontinues aux surfaces interbancs.			
	40 cps	Stratification: 300° $\backslash 4^{\circ}$			

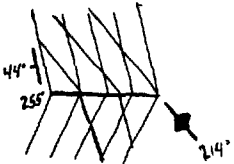
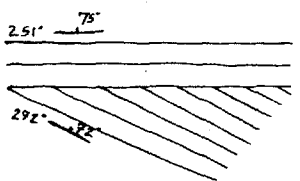
Statistiques

STATION	RA SPP2	DESCRIPTION	FORMATION	ECHAN- TILLON	ANALYSE
2M248	30 cps	<p>Quartzite blanc massif par endroit, à grains grossiers, sub-arrondis, à ciment feldspathique.</p> <p>D'autres parties aux grains mal individualisés, recristallisés.</p> <p>Stratification: 293° </p>	Indicateur		
2M249	40 cps	<p>Grès feldspathique à grains moyens et grossiers, sans ordre; quelques cailloux quartzitiques épars.</p> <p>IDEM à 2M242. Oxydé.</p>	Indicateur		
2M250	45 cps	<p>Grès feldspathique grossier à cailloux flottants; IDEM à 2M242.</p> <p>Veines de quartz recristallisé, centimétriques, une boudinée dans une direction $\approx 245^{\circ}$. Oxydé.</p>	Indicateur		
2M251	40 cps	<p>Grès feldspathique massif. IDEM à 2M244. Oxydé.</p>	Indicateur		
2M252	40 cps	<p>Grès feldspathique à la limite de l'orthoquartzite, massif, traversé de veines de quartz laiteux recristallisé. $42^{\circ}/75^{\circ}$</p> <p></p> <p>Quelques cailloux épars, quartzitiques, centimétriques (1 à 2 cm.).</p>	Indicateur		

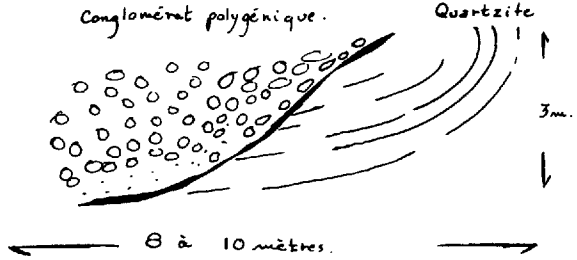
Statistiques

STATION	RA SPP2	DESCRIPTION	FORMATION	ECHAN- TILLON	ANALYSE
2M253	50 cps	Sub-arkose grossière à gros cailloux de quartz sub-arrondis (5 cm.). Schistosité développée en surface d'affleurement.	Indicateur		
2M254	35 cps	Quartzite laminé gris et rose, débit en bancs décimétriques (\approx 10 cm.). Partie grise poreuse, à grains grossiers. Stratification redressée $290^{\circ}/35^{\circ}$. Vers l'ouest, stratigraphiquement un peu plus bas dans la séquence (max. 2 mètres), la stratification passe à $220^{\circ}/55^{\circ}$, puis à $266^{\circ}/40^{\circ}$. Immédiatement au sud, la stratification est redressée à plus de 65° , toujours dans une direction grosso-modo E-W.	Indicateur		
2M255	30 cps	Quartzite massif à pois d'hématite disséminés, couleur violette. Stratification: $266^{\circ}/40^{\circ}$ $\begin{array}{r} 40^{\circ} \\ \hline 266^{\circ} \end{array}$	Indicateur		
2M256	25 cps	Quartzite blanc à grains moyens, laminé très finement, à l'échelle millimétrique, débité en bancs de 5 à 8 cm. d'épais, selon la stratification qui est très redressée. Ces bancs sont recoupés à angle aigu (30°), par des diaclases développées aux 10 cm. Stratification: 255° $\begin{array}{r} 48^{\circ} \\ \hline \end{array}$ Diaclases: $214^{\circ}/90^{\circ}$ 	Indicateur		

Statistiques

STATION	RA SPP2	DESCRIPTION	FORMATION	ECHAN- TILLON	ANALYSE
2M256	suite 40 cps	 <p>Voir photo Alain Girard.</p> <p>A quelques mètres au sud, on passe à un grès feldspathique grossier à gros cailloux de quartz sub-arrondis pouvant atteindre 5 cm.</p>			
2M257	50 cps	<p>Sub-arkose grossière à passées micro-conglomératiques à cailloux quartzitiques.</p>	Indicateur		
2M258	30 cps	<p>Quartzite laminé rose et blanc, avec passées violettes, poreuses, hématisées, à grains moyens à grossiers.</p> <p>Les stratifications sont très fines (1 à 2 cm.) avec bancs contorsionnés pouvant laisser penser à du slumping.</p> <p>Voir photo Alain Girard.</p>	Indicateur		
2M259	20 cps	<p>Quartzite blanc, en bancs centimétriques avec stratification entrecroisées tabulaires à l'échelle métrique.</p>  <p>grains grossiers et pois d'hématisation</p> <p>Voir photo Alain Girard.</p>	Indicateur		

Statistiques

STATION	RA SPP2	DESCRIPTION	FORMATION	ECHAN- TILLON	ANALYSE
2M260	30 cps et 45 cps	<p>Contact ravinant entre un conglomérat arkosique à gros cailloux polygéniques et matrice très grossière; ciment schisteux très sale, recoupant des quartzites laminés, en bancs décimétriques, très redressés; à la surface de contact discordant, on note une couche irrégulière très schisteuse.</p> <p>(Voir schéma au verso)</p> 	Indicateur		

PROJET: MONTS OTISH

Serge Lavoie
Yolande Bisson

FICHE D'AFFLEUREMENT

DATE: 25 juillet 1980

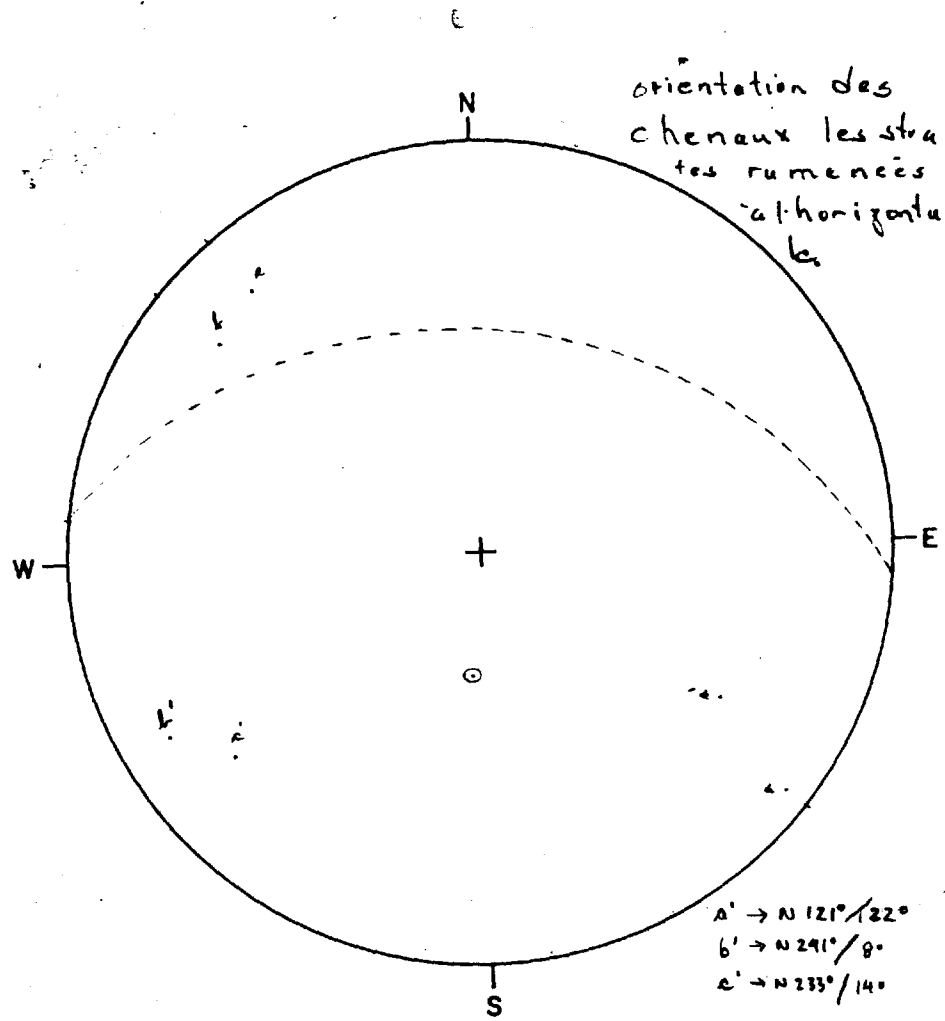
LOCALISATION: Photo Q-63142-62, zone de l'anomalie 2A-23.

STATISTIQUE: Coupe 2C-99

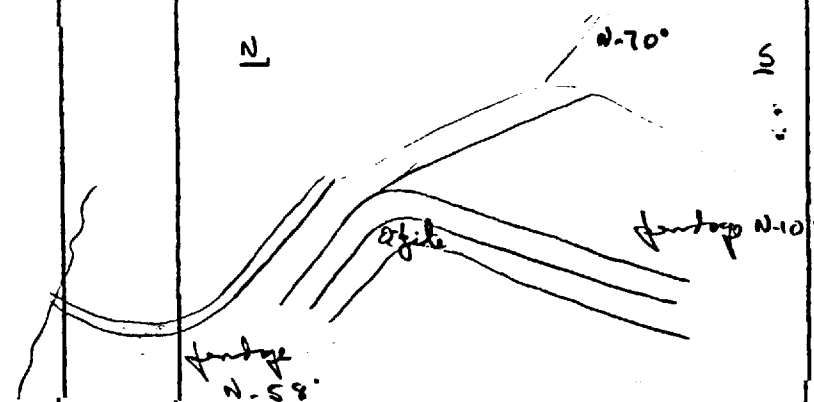
KM DE COUPE: 3,80 km

KM RADIOMETRE: 3,80 km

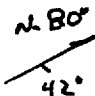
STATION	RA SPP2	DESCRIPTION	FORMATION	ECHAN- TILLON	ANALYSE
2L-186	150- 300	<p>Bloc anguleux de conglomérat terrigène à cailloux arrondis et anguleux de quartz, $\frac{1}{2}$ à $1\frac{1}{2}$ cm.</p> <p>Gros feldspath blanc ou rose très altéré. Quelques cailloux de quartzite gris sombre. Matrice grossière arkosique à quartzitique. Les cailloux représentent de 20 à 25° de la roche et sont concentrés en minéraux centimétriques.</p> <p>La R.A. est plus élevée sur les zones hématisées.</p> <p>2L-186a: Conglomérat terrigène, matrice arkosique.</p>		2L-186a	36/280 U. Th.
2L-187	100- 125 50° N-260 N-276 0.260	<p>Orthoquartzites rouges grossiers en bancs métriques, comportant des chenaux et cuillères de taille décamétrique, et dont la puissance est d'un mètre au 2.</p> <p>Stratification ± régulière: N-260°, 50°, N.E. N-276°, 34°, N.E.</p> <p>Cuillères et chenaux orientés: N-130° à plongement de 4° N-310° à plongement de 12° N-320° à plongement de 10°</p> <p>2L-187a: Quartzite rose massif. Ra 95-125</p>		2L-187a	10/14 U. Th.



Statistiques

STATION	RA SPP2	DESCRIPTION	FORMATION	ECHAN- TILLON	ANALYSE															
2L-188	35 <i>50-70°</i> <i>N-258</i>	Orthoquartzite blanc à rosé, massif, grain moyen, stratification très redressée, débit en plaquettes. 2L-188a: Quartzite massif blanc rosé, grain moyen à fin, très recristallisé.																		
2L-189		<p>Plis dans orthoquartzite blanc rosé, massif.</p>  <p>Le pli est orienté N-70° et son plongement est de 16°.</p> <p>Orientation de quelques bancs qui composent ce pli.</p> <table border="0" data-bbox="429 1596 991 1827"> <tr> <td>N-352° - 32°</td> <td>-</td> <td>N-282° - 14°</td> </tr> <tr> <td>N-256° - 58°</td> <td>-</td> <td>N-350° - 14°</td> </tr> <tr> <td>N-257° - 32°</td> <td>-</td> <td>N- 15° - 20°</td> </tr> <tr> <td>N-347° - 19°</td> <td>-</td> <td>N-260° - 54°</td> </tr> <tr> <td></td> <td></td> <td>N- 0° - 16°</td> </tr> </table>	N-352° - 32°	-	N-282° - 14°	N-256° - 58°	-	N-350° - 14°	N-257° - 32°	-	N- 15° - 20°	N-347° - 19°	-	N-260° - 54°			N- 0° - 16°			
N-352° - 32°	-	N-282° - 14°																		
N-256° - 58°	-	N-350° - 14°																		
N-257° - 32°	-	N- 15° - 20°																		
N-347° - 19°	-	N-260° - 54°																		
		N- 0° - 16°																		

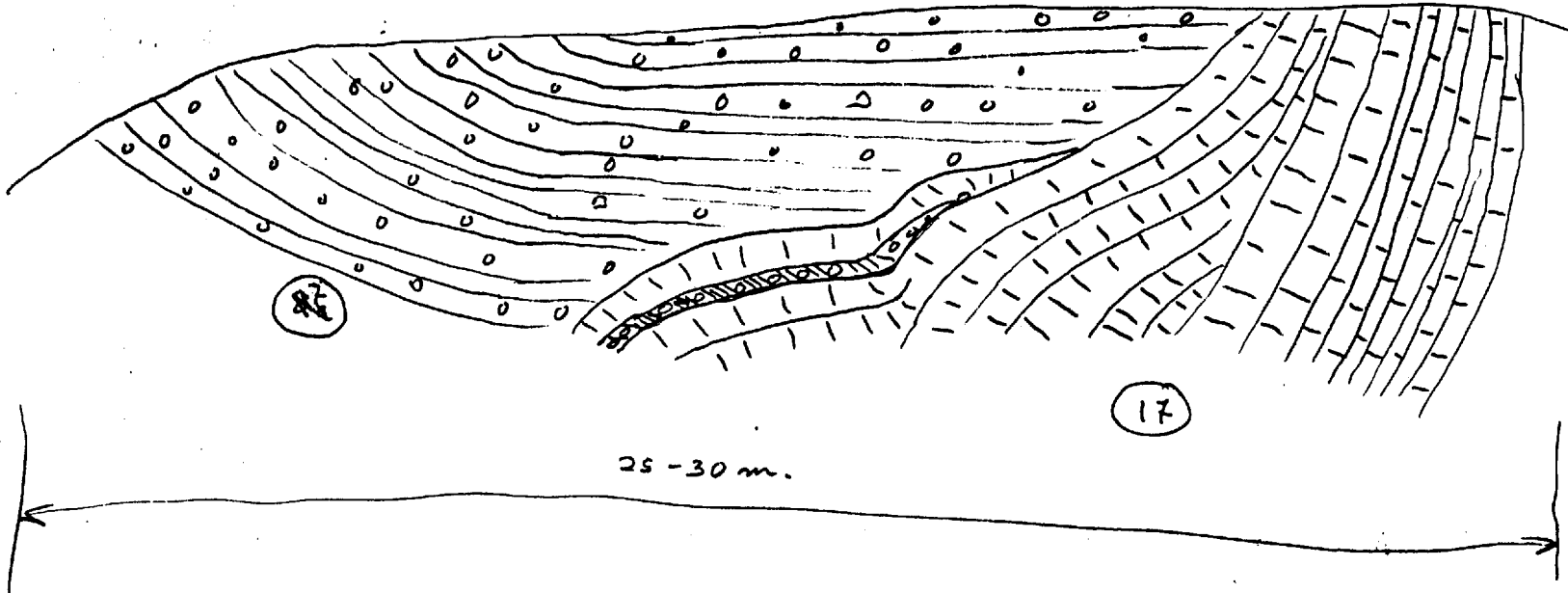
Statistiques

STATION	RA SPP2	DESCRIPTION	FORMATION	ECHAN- TILLON	ANALYSE
2L-189 suite	25-30	<p>Quartzite blanc rosé très fin, très massif, portant quelques horizons laminés, grain moyen à fin.</p> <p>Plis d'axe N-70°, plongement 10° est. Plis à flanc gauche, très redressés.</p> <p>Stries intercouches à 326°; couche(s) du dessus à monter.</p> <p>Le coeur du pli est occupé par des orthoquartzites blancs à grain très fin et matrice feldspathique. Ce grès feldspathique est surmonté de quartzite rose à grain moyen, très massif.</p> <p>N-352° - 22° - N- 15° - 20° N-356° - 58° - N-347° - 19° N-257° - 32° - N-260° - 54° N-282° - 14° - N- 0° - 16° N-350° - 14°</p> <p><i>N 80°</i>  42°</p> <p>Schistosité varie beaucoup N-40° à N-80°, pendage N-40 à 65° E.</p>			
2L-190	60-75	<p>Grès feldspathique, grain moyen, blanc rosé, points roses, quartz rouge.</p> <p>Cuillère de petite taille N-160°-9°, sens de l'écoulement, sur stratification à N-350°, 14°.</p> <p>Stries à N-142°-9° plongement.</p>			
2L-191	25-30	<p>Quartzite blanc rosé massif, IDEM à 2L-189.</p>			

Statistiques

STATION	RA SPP2	DESCRIPTION	FORMATION	ECHAN- TILLON	ANALYSE
2L-192	25-30	Quartzite blanc rosé massif, IDEM à 2L-189.			

2 M-2 60



Vue de l'ouest.

Affaissement de C. Horcotte plusieurs Thés.

PROJET: MONTS OTISH

R. St-Jean

A. Morin

FICHE D'AFFLEUREMENT

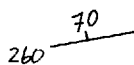
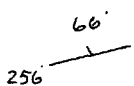

DATE: 25 juillet 1980

LOCALISATION: Coupe 2C-100

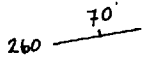
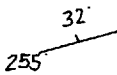
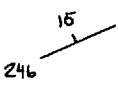
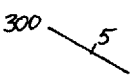
STATISTIQUE: 3,4 km

KM DE COUPE:


KM RADIOMETRE:

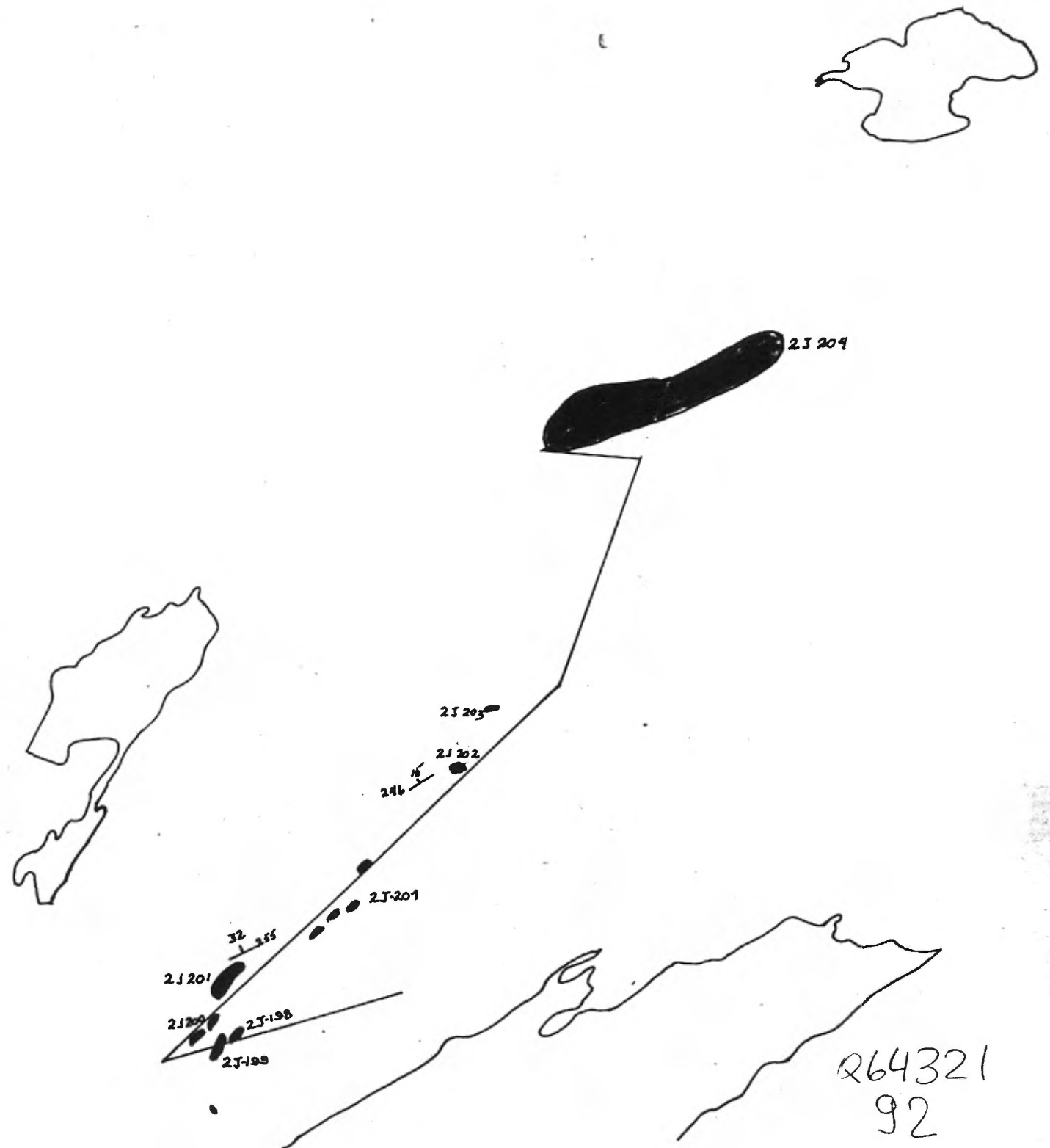
STATION	RA SPP2	DESCRIPTION	FORMATION	ECHAN- TILLON	ANALYSE
2J-198	25	Affleurement 1 m d'épaisseur. Orthoquartzite rose à ciment feldspathique, rubanement rouge plus prononcé. stratification plane à pendage fort. 	Indicateur		
2J-199	25	Affleurement 1.5 m. Orthoquartzite rose, ciment siliceux, pois d'hématite rouge, stratification très in- clinée. assez massif stries interlits 	Indicateur		
2J-200	25	IDEM: 2J-199	Indicateur		
2J-201	25	Affleurement à l'ouest de la petite vallée. Orthoquartzite très pur rose à pois d'hé- matite rouge;  Schistosité peu pénétrante.	Indicateur		

Statistiques

STATION	RA SPP2	DESCRIPTION	FORMATION	ECHAN- TILLON	ANALYSE
2J-201 suite		<p>20 mètres plus au nord, on a un affleurement d'orthoquartzite rose</p>  <p>De l'autre côté de la cuesta,</p>  <p>orthoquartzite à pois d'hématite rouge.</p>			
2J-202	20	<p>Affleurement 2 m d'épaisseur. Orthoquartzite rose à points rouges, rubanement rouge.</p> <p>Petite faille montrant une schistosité associée.</p> <p>Veine de quartz interlit de 10 cm.</p> 	Indicateur		
2J-203	30- 35	<p>Orthoquartzite à laminae roses, IDEM: 2J-202.</p> <p>Litage approximatif:</p> 	Indicateur		

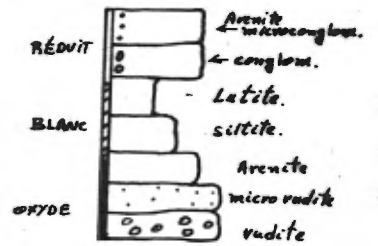
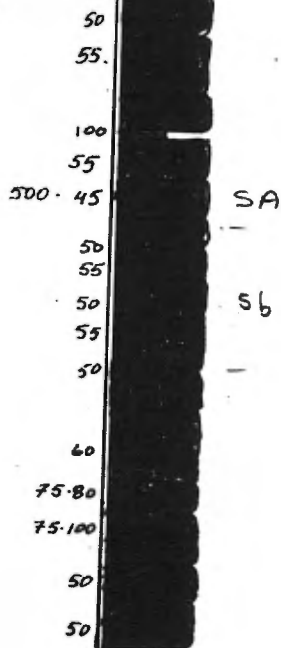
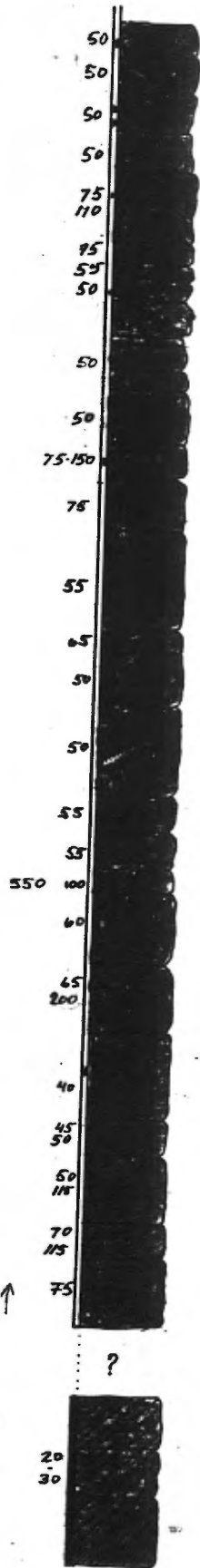
Statistiques

STATION	RA SPP2	DESCRIPTION	FORMATION	ECHAN- TILLON	ANALYSE
2J-204		Voir colonne stratigraphique. - Coupe dans le coeur de l'anti- clinal.	Indicateur		
					



Station 2J 204

Echelle 1:200



PROJET: MONTS OTISH
 Serge Lavoie
 Yolande Bisson

FICHE D'AFFLEUREMENT

DATE: 27 juillet 1980

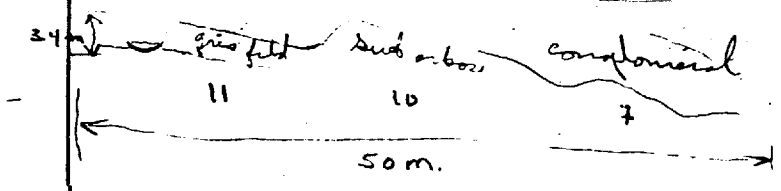
LOCALISATION: Photo 1:15,000 - Q-64364, 200, 201 - Zone de l'Anomalie 2A-23

STATISTIQUE: Coupe 2C-102

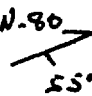
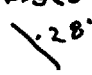
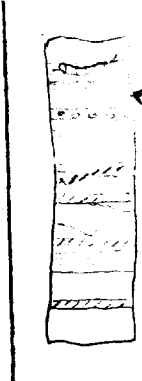
KM DE COUPE: 3,8 km

KM RADIOMETRE: 3,8 km

STATION	RA SPP2	DESCRIPTION	FORMATION	ECHAN- TILLON	ANALYSE
2L-204	60- 110 N-335 37°	Grès feldspathique blanc poudreux, grain moyen à fin, interlité d'arkose et de sub-arkose à deux granulométries, très schistosé; taches d'hématisation rouge à rose, diffuses, et laminations rouges. Les lits fortement schistosés font de 15 à 25 cm. Les bancs massifs 30 à 50 cm. 2L-204: Grès feldspathique poudreux, fond géochimique.		2L-204	4.7/90 U. Th.
2L-205	50- 110	Du S.W. vers le N.W., suite de grès feldspathique; sub-arkose surmontée d'un conglomérat polygénique à cailloux et galets de quartz, quelques cailloux rouges. Stratification ± régulière, N-330°, 15 à 20° S.W.			



Statistiques

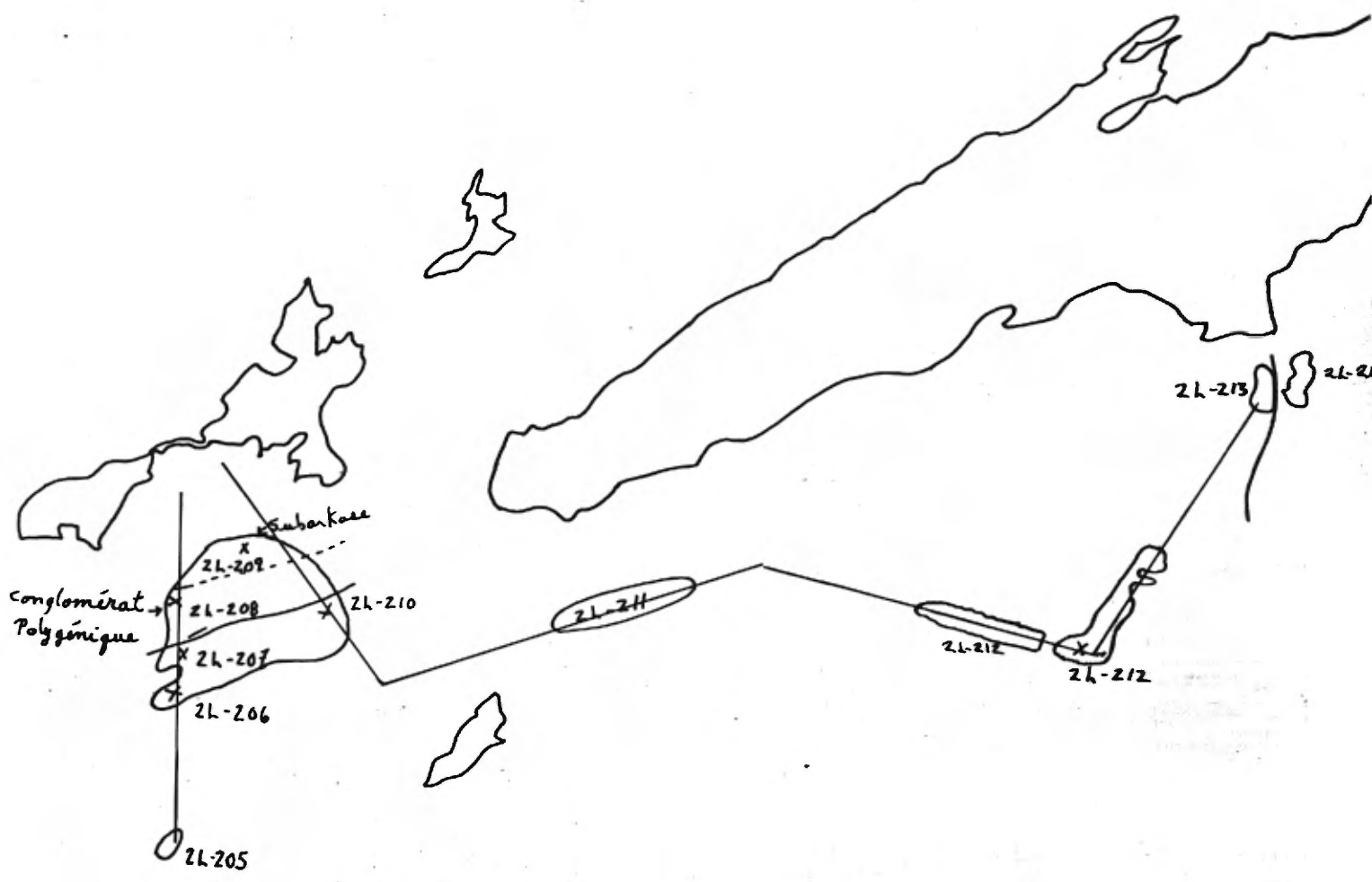
STATION	RA SPP2	DESCRIPTION	FORMATION	ECHAN- TILLON	ANALYSE
2L-205	suite N.80  55° 50-60 60-80 90-150	<p>Passage très graduel des grès feldspathiques aux conglomérats.</p> <p>Le conglomérat est polygénique, cailloux ± arrondis, ½ à 2 cm, matrice grossière sub-arkosique, quartz rose, feldspath altéré blanc laiteux et rose.</p> <p>Schistosité pénétrante dans les sub-arkoses et conglomérats, direction variable de N-80° à N-55°, étroite.</p> <p>Grès feldspathique, grain fin.</p> <p>Sub-arkose, grain moyen à gros.</p> <p>Conglomérat, paraconglomérat polygénique 5 à 7% de cailloux rouges, arkose, chert.</p>			
2L-206	50 N.310°  28°	<p>Quartzite laminé blanc rosé, grain moyen. Débit en plaquettes 5 à 10 cm, banc massif, bordure de falaise orientée N-260°: hauteur 5 à 7 m.</p> <div style="display: flex; align-items: flex-start;"> <div style="margin-right: 10px;">  </div> <div> <p>Lentille de quartzite saumon.</p> <p>Quartzite saumon, massif, très fin; interlits vacuolaires de quartzite blanc, grain moyen à gros.</p> <p>Stratification entrecroisée.</p> <p>Quartzite laminé rose et blanc.</p> <p>Interlit très schistosé d'orthoquartzite à matrice feldspathique.</p> <p>Quartzite massif blanc.</p> </div> </div> <p>Dans la falaise, la stratification est irrégulière au sommet de l'affleurement et sur sa bordure ouest, le pendage est très redressé N-60,70° E.</p>			

Statistiques

STATION	RA SPP2	DESCRIPTION	FORMATION	ECHAN- TILLON	ANALYSE
2L-207	40 2-289 /34	Au sommet de la colline selon la direction N., on passe progressivement des orthoquartzites roses à saumon, puis à des orthoquartzites blancs laminés, légèrement feldspathiques. Les pseudo grès éoliens ont une orientation qui varie de N-260° à N-300°.			
2L-208	60-70 2-290 /20 N-80° /30	Conglomérat (para) à cailloux et galets de quartz. Cailloux centimétriques 1 à 5 cm, arrondis, représentant de 15 à 20% de la roche. Quelques cailloux rouges. Matrice est une sub-arkose blanche à grain grossier. Le conglomérat renferme des interlits 80 à 50 cm de grès feldspathique blanc, grain moyen à gros. Cuillère N-80°, 30.			
2L-209	40-60 2-288 /16	Le conglomérat passe indistinctement vers le centre du chenal à des sub-arkoses et arkoses à grain grossier, blanches à rosées, massives. Cailloux rouges épars et galets de quartz, points rouges et roses de quartz et feldspath imposant à la roche sa teinte rosée.			
2L-210	25-30 330 /14	Orthoquartzite rose laminé, débit en plaquettes à l'occasion.			

Statistiques

STATION	RA SPP2	DESCRIPTION	FORMATION	ECHAN- TILLON	ANALYSE
2L-211	50-90	Sub-arkose blanche, grain moyen à gros; cailloux épars de quartz et cailloux rouges, interlits de grès feldspathique et arkose, bancs métriques, très massifs.			
2M-246		Sub-arkose blanche, cailloux épars.			
2L-212	40-50	De 2M-242 à 2L-212, affleurement quasi-continu de sub-arkose, donc rosé, grain moyen. La couleur rosée est donnée par des petits quartzs rouges et feldspaths altérés, crème à rosé.			
	N-68 /	Schistosité pénétrante, quelques galets de quartz très arrondis.			
2L-213	30	Orthoquartzite, grain moyen à fin, débit en plaquettes de deux à cinq centimètres.			
	N-264° / 28	Stratification très redressée variant de 240° à 270°, crossbedding.			
		2L-213a: Orthoquartzite blanc à ciment feldspathique (?), grain très fin. Roche très poreuse, évidence de dissolution.		2L-213a	Réf.
2L-214	30	IDEM à 2L-213			



X 2L-204

ZC-102

Q64364 -200-201

PROJET: MONTS OTISH

Claude Marcotte
Alain GirardFICHE D'AFFLEUREMENT

DATE: 27 juillet 1980

LOCALISATION: Coupe: 2C-103

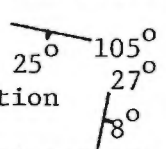

STATISTIQUE: Zone: 2A-23

KM DE COUPE: 4,6 km.

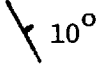
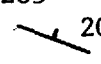
KM RADIOMETRE:

STATION	RA SPP2	DESCRIPTION	FORMATION	ECHAN- TILLON	ANALYSE
2M261	50 cps	Quartzite massif, rose blanc, grains grossiers par endroit.	Indicateur		
2M262	40 cps	Quartzite massif, à stratifications entrecroisées décimétriques tabulaires. Plusieurs granules sub-arrondis, grains grossiers.	Indicateur		
2M263	55- 60 cps	Sub-arkose rose grossière, massive, à grains sub-arrondis.	Indicateur		
2M264	40 cps	Sub-arkose grossière, IDEM à 2M263; cailloux flottants épars, essentiellement quartzitiques, sub-arrondis. Stratification: $\begin{array}{l} 61^{\circ} \\ /6^{\circ} \end{array}$ Bancs métriques, stratification frustrée. Falaise délimitée par une direction $\begin{array}{l} 75^{\circ} \\ \backslash 200^{\circ} \end{array}$ A 25 mètres au sud: Sub-arkoses à bancs plus définis que l'affleurement précédent. Stries intercouches: $153^{\circ}/20^{\circ}$ Stratification: $\begin{array}{l} 66^{\circ} \\ /22^{\circ} \end{array}$	Indicateur		

Statistiques

STATION	RA SPP2	DESCRIPTION	FORMATION	ECHAN- TILLON	ANALYSE
2M264	suite 250-300 cps	<p>A 40 mètres au sud du premier affleurement, toujours sub-arkose, à grains grossiers à moyens, zone chenalisante avec bancs pincés (voir photo)...</p> <p>Faciès ocre est concentré dans ces zones chenalisantes, se retrouve dans les fractures.</p> <p>Ex.:  recoupant la stratification ; on en retrouve dans les pincements de bancs.</p> <p>Les faciès qui choquent sont à grains moyens et possèdent quelques laminations ocre un peu plus fines en granulométrie.</p>	Indicateur		
					
2M265	50-100 cps h1e	Sub-arkose, IDEM à 2M264, bancs plus réguliers, granulométrie plus homogène.	Indicateur		

Statistiques

STATION	RA SPP2	DESCRIPTION	FORMATION	ECHAN- TILLON	ANALYSE
2M266	50 cps	Sub-arkose, IDEM à 2M264, granulométrie plus fine et homogène.	Indicateur		
2M267	125- 400 cps	Sub-arkose, IDEM à 2M264, granulométrie plus grossière, à passées microconglomératiques, passées ocres. Stratification: 330° 	Indicateur		
2M268	50 cps	Sub-arkose, IDEM à 2M264, granulométrie plus fine et plus homogène, rares cailloux centimétriques, épars.	Indicateur		
2M269	75 cps 300 cps	Sub-arkose, IDEM à 2M268. Quelques mètres au sud, on retrouve une sub-arkose à grains moyens, plaques ocres et laminations de même couleur. Stratification: 285° 	Indicateur		
2M270	50 cps	Sub-arkose grossière avec quelques cailloux épars, couleur plus claire de la roche.	Indicateur		
2M271	50 cps	Quartzite rose blanc, massif, quelques cailloux épars, grains grossiers.	Indicateur		

PROJET: MONTS OTISH
 Claude Marcotte
 Aline Morin

FICHE D'AFFLEUREMENT

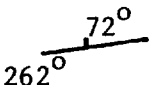
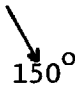
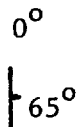
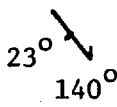
DATE: 28 juillet 1980

LOCALISATION: Anomalie 2A-23 Photos: Q64362-55 Zone: 2A-23 Ouest

STATISTIQUE: Coupe: 2C-104

KM DE COUPE: 2,9 km.

KM RADIOMETRE:

STATION	RA SPP2	DESCRIPTION	FORMATION	ECHAN- TILLON	ANALYSE
2M280	55 cps	Grès feldspathique à grains moyens à gros- siers sub-arrondis. Laminations millimé- triques créées par alignement des grains quartzitiques alternant avec des laminations plus feldspathiques. Bandes poreuses à feldspath dissout. Stratification:  Stries: 	Indicateur		
2M281	25 cps	Gabbro d'Otish, massif. Diaclasses:  Foliation:  ?? ou Diaclasses	Gr. OTISH		
	75 cps	à 3 m. au sud, le grès feldspathique est en affleurement rubéfié.			
2M282	25 cps	Gabbro d'Otish. Faille Nord-Sud, ouverte, sub-verticale; compartment Est semble rabaissé par rapport à celui d'Ouest. On note des dia- clases pendant vers l'Est, indiquant que ce compartiment a baissé. Ouest Est	Gr. OTISH		

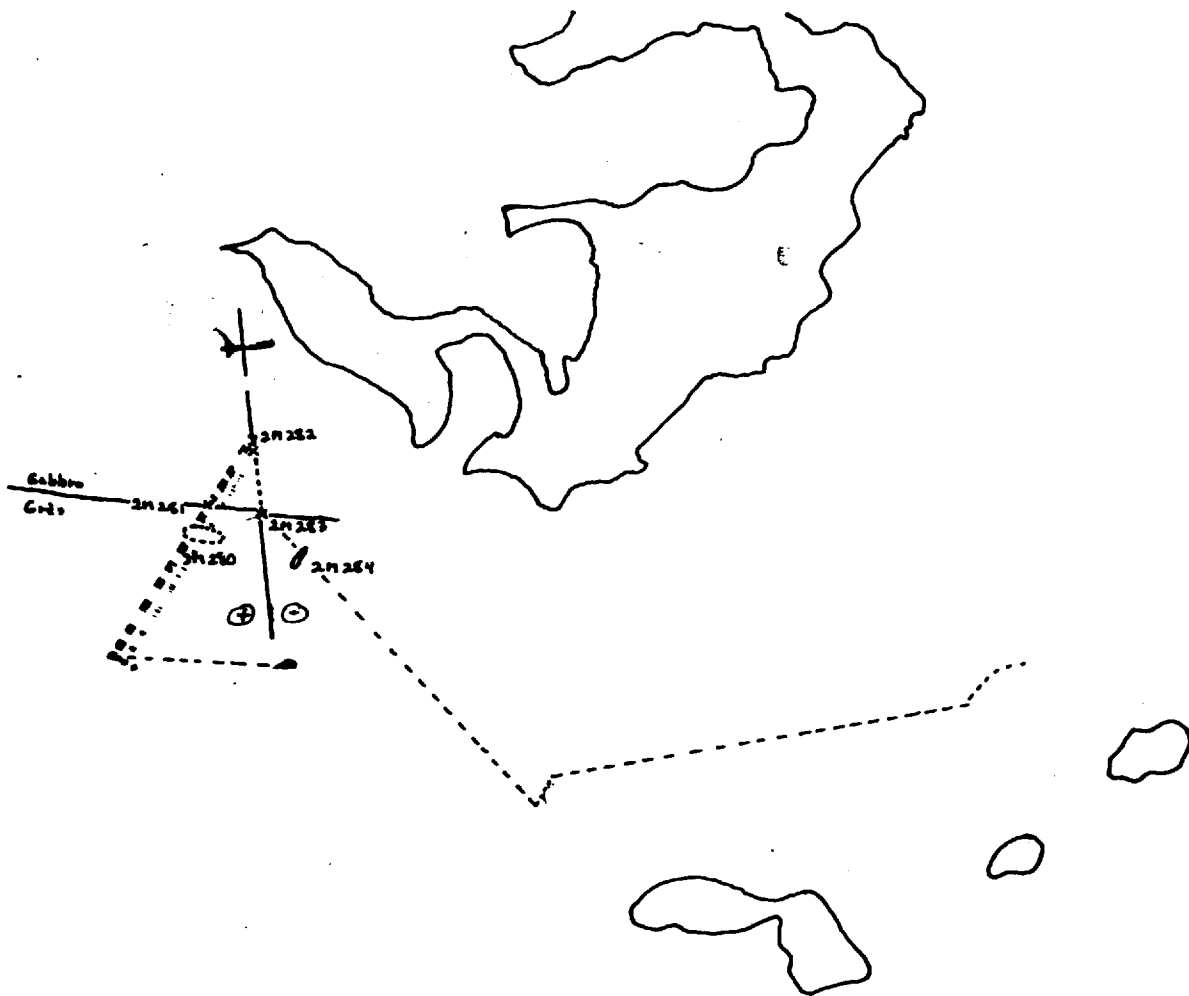
Statistiques

STATION	RA SPP2	DESCRIPTION	FORMATION	ECHAN- TILLON	ANALYSE
2M283	55 cps	Grès feldspathique laminé, IDEM à 2M280.	Indicateur		
2M284	60 cps	Sub-arkose grossière blanche à passées microconglomératiques. Feldspaths blancs altérés.	Indicateur		

29/07/70

Comp 2C-104

2,9 km



Q64362
SS

PROJET: MONTS OTISH

R. St-Jean
Y. Bisson

FICHE D'AFFLEUREMENT

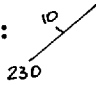
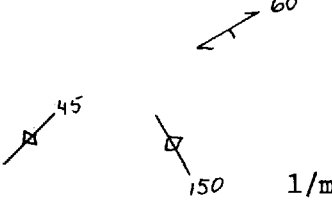
DATE: 28 juillet 1980

LOCALISATION: Zone anomalie: 2A-23

STATISTIQUE: Coupe 2C-105

KM DE COUPE: 3,8 km


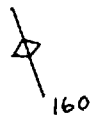
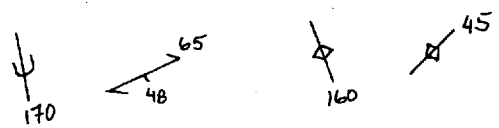
KM RADIOMETRE:

STATION	RA SPP2	DESCRIPTION	FORMATION	ECHAN- TILLON	ANALYSE
2J-205	750 max. 100	Bloc < 1 m ³ , sub-arkose beige, conglomératique à cailloux de quartz, quartzite, très schistosé. R.A. maximale sur taches ocre.	Indicateur	2J-205a	
2J-206	100 150 max. 300	Affleurement sur le côté de la rivière Péribonca. Paraconglomérat polymicte blanc à beige, à cailloux de quartz (85-90%). Quartzite (5%), chert, volcanite acide. Diamètre maximum des cailloux 3.5 cm. Matrice de sub-arkose à grès feldspathique, à grain grossier, très schistosé, litage:  diacalse: 	Indicateur	2J-206a matrice du con- glomérat.	
2J-207	750 500 moy. 150	Deux blocs, IDEM 2J-206. R.A. maximale sur les taches ocre.	Indicateur		
2J-208	50	Affleurement 3 x 2 m, sub-arkose blanche; environ 15 à 20% de feldspaths à cailloux de quartz flottants. Lentille de paraconglomérat à cailloux de quartz, quartzite. Fracture ondulante.	Indicateur	2J-208a	

Statistiques

STATION	RA SPP2	DESCRIPTION	FORMATION	ECHAN- TILLON	ANALYSE
2J-209	150- 600	Paraconglomérat polymicte à cailloux de quartz (80-85%), quartzite rose, mou. Volcanite acide. Agate ? Opale ?; matrice arkosique, environ 25% de feldspaths de couleur beige, semblable à 2J-206.	Indicateur		
2J-210	120- 750	Série de petits affleurements le long de la rivière. Paraconglomérat polymicte et sub-arkose conglomératique schistosée. Diamètre maximal des cailloux 1.5 cm.	Indicateur		
2J-211	2000	Bloc sub-arrondi < 1 m ³ . Arkose blanche à tache rose, ciment feldspathique, environ 30% de feldspaths. Grain moyen à grossier, petit "filet" de minéraux noirs non radioactifs. Anomalie ponctuelle.	Indicateur	2J-211a échantillon non minéralisé.	
2J-212	75- 200	Affleurement dans la rivière; grès feldspathique à ciment feldspathique. Grain moyen, tri mauvais, passées conglomératiques à cailloux de quartz, quartzite.	Indicateur	2J-212a	

Statistiques

STATION	RA SPP2	DESCRIPTION	FORMATION	ECHAN- TILLON	ANALYSE
2J-213	75- 200	Affleurement dans la rivière; grès feldspathique à ciment feldspathique beige. Conglomératique à cailloux de quartz, quartzite. Diamètre maximal des cailloux 1-2 cm. Arénite à grain grossier. * La dimension des cailloux diminue au fur et à mesure que l'on remonte vers le nord.	Indicateur		
2J-214	75- 100 max. 400	Affleurement de sub-arkose verte; 15-20% de feldspaths. Conglomératique à cailloux de quartz et de feldspaths (1 cm). 	Indicateur	2J-214a	
2J-215	75-80	Affleurement (gros blocs légèrement déplacés). Sub-arkose verte, 15 à 20% de feldspaths. Conglomératique à cailloux de quartz, quartzite rose, feldspaths. Cailloux de 1 cm de diamètre, beaucoup de taches ocre.  déplacement 1 m.	Indicateur	2J-215a	
2J-216	75- 100 max. 450	Arkose blanche, environ 25% de feldspaths. Conglomératique, IDEM 2J-215. Diamètre maximal des cailloux 4 cm; passées de paraconglomérat polymicte à cailloux de quartz, quartzite, aplaties par la schistosité. 	Indicateur		

PROJET: MONTS OTISH

Claude Marcotte
Yolande BissonFICHE D'AFFLEUREMENT.

DATE: 30 juillet 1980

LOCALISATION: 2A-23 Photos: 1:15840 Q-64364-200

STATISTIQUE: Coupe: 2C-107

KM DE COUPE: 3,1 km.

KM RADIOMETRE: 3,1 km.

STATION	RA SPP2	DESCRIPTION	FORMATION	ECHAN- TILLON	ANALYSE
2M285	50 à 185 cps	Sub-arkose grossière à cailloux de quartz épars, teinte verdâtre. Feldspaths blancs altérés, débit irrégulier, granulométrie variable, contenu feldspathique aussi (peut, à la limite, passer à un grès feldspathique).	Indicateur		
2M286	50 à 125 cps	Sub-arkoses et grès feldspathiques grossiers à cailloux flottants de quartz. Enclaves d'argilite verdâtre, schistosité plus ou moins bien développée sur les faces d'affleurement.	Indicateur		
2M287	100 cps	Microconglomérat sub-arkosique, feldspaths rosés, beaucoup de cailloux quartzitiques, quartzites rouges, blancs, beaucoup plus anarchiques en taille et composition généralement que les affleurements précédents. On note aussi des lentilles métriques pouvant indiquer un plan de déposition; ces lentilles imbriquées pendent vers le sud. Ouest Sud Nord Ce qui laisserait suggérer que nous serions sur le versant nord d'un chenal de comblement. (???)	Indicateur		

PROJET: MONTS OTISH

FICHE D'AFFLEUREMENT


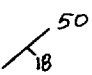
DATE: 30 juillet 1980

LOCALISATION: Région de l'anomalie 2A-23

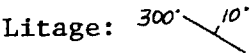
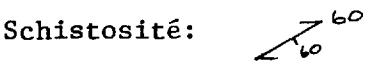
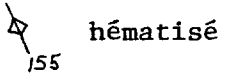
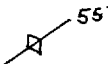


STATISTIQUE: Coupe: 2C-108

KM DE COUPE: 2,9 km

KM RADIOMETRE: 2,9 km

STATION	RA SPP2	DESCRIPTION	FORMATION	ECHAN- TILLON	ANALYSE
2J-217	25	Affleurement de gabbro, grain grossier à moyen, feldspaths à texture graphique gris verdâtre. 	Gabbro d'Otish		
2J-218	80- 100	Affleurement de granite très altéré, de couleur orangée à rouge. 40% - Quartz 60% - Feldspaths plus ou moins altérés. Chloritisé, pas ou peu de minéraux mafiques. Bloc de granite rouge peu altéré.	Socle	2J-218a	
2J-219	60- 100 max. 2000	Affleurement ≈ continu ≈ 5 m d'épaisseur de paraconglomérat oligomictite à cailloux de quartz. Cailloux sub-arrondis à arrondis jusqu'à 3.5 cm. Cailloux aplatis d'après la schistosité. Matrice d'arénite arkosique; passées d'arénite moyenne et de couleur verte. R.A. maximale sur taches très limonitisées et sur les passées très conglomératiques à taches noires. La minéralisation semble être dans le plan 	Indicateur	2J-219b 2J-219a	U. Th.

Statistiques

STATION	RA SPP2	DESCRIPTION	FORMATION	ECHAN- TILLON	ANALYSE
2J-220	60- 150	<p>Affleurement continu; paraconglomérat vert oligomicté à cailloux de quartz ≈ IDEM 2J-219.</p> <p>Litage: </p> <p>Schistosité: </p> <p> hématisé</p> <p></p> <p></p> <p></p>	Indicateur	2J-220a	

PROJET: MONTS OTISH

Claude Marcotte
Yolande BissonFICHE D'AFFLEUREMENT

DATE: 1er août 1980

LOCALISATION: Photo: 1:15,840 Q-64362-57 Anomalie: 2A-23

STATISTIQUE: Coupe: 2C-109

KM DE COUPE: 4,0 km.

KM RADIOMETRE: 4,0 km.

STATION	RA SPP2	DESCRIPTION	FORMATION	ECHAN- TILLON	ANALYSE
2M288	60 cps	Bloc de quartzite blanc, à points d'hématisation, grains grossiers, bon débit en bancs francs (150 cps aux surfaces intercouches). Une schistosité apparaît aussi une surface intercouches, couleur verdâtre.	Indicateur		
2M289	60- 70 cps	Blocs, IDEM à 2M288, plus quelques cailloux épars, plutôt roses.	Indicateur		
2M290	60 cps	Blocs de grès feldspathiques grossiers et moyens (grains); quelques granules de quartz (+ > 2 mm.) Présence de quartzites laminés à intercouches schisteuses verdâtres. Quelques points d'hématisation diffus.	Indicateur		
2M291	50 cps	Blocs - IDEM à 2M290. Grès feldspathiques et quartzites laminés, plus quelques sub-arkoses blanches.	Indicateur		
2M292	50 cps à 125 cps	Blocs - Sub-arkoses grossières à cailloux épars (quartz) - feldspaths blancs altérés.	Indicateur		

Statistiques

STATION	RA SPP2	DESCRIPTION	FORMATION	ECHAN- TILLON	ANALYSE
2M293	50 cps	Blocs - Quartzites laminés et sub-arkoses à schistosité bien développée.	Indicateur		
2M294	500 cps	Bloc - Sub-arkose à grains moyens, teinte ocre.	Indicateur		

PROJET: MONTS OTISH

FICHE D'AFFLEUREMENT

DATE: 1er août 1980

LOCALISATION: Zone anormale 2A-23

STATISTIQUE: Coupe 2C-111

KM DE COUPE: 4,3 km

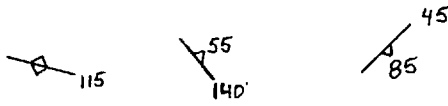
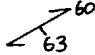
KM RADIOMETRE:

STATION	RA SPP2	DESCRIPTION	FORMATION	ECHAN- TILLON	ANALYSE
2J-221	35- 40	Bloc 2 à 3 m ³ sub-anguleux, grès feldspathique rose, environ 10% feldspaths; quelques fragments de 1-5 mm de quartzite et chert. Taches vertes parsemées dans le bloc. Cailloux de quartz flottants de 3 cm de diamètre, grain grossier. Tri très mauvais, très schistosé.	Indicateur		
2J-222	50	Gros bloc anguleux; arkose conglomératique blanche; cailloux de quartz flottants.	Indicateur		
2J-223	40	Bloc d'arkose rose; environ 25% de feldspaths, grain moyen.	Indicateur		
2J-224	30- 50	Gros bloc anguleux, environ 10 m ³ ; arkose conglomératique rose blanchâtre, grain grossier, cailloux de quartz.	Indicateur		
2J-225	50	Sub-arkose rose conglomératique, IDEM 2J-224, schistosée.	Indicateur		

Statistiques

STATION	RA SPP2	DESCRIPTION	FORMATION	ECHAN- TILLON	ANALYSE
2J-226	50- 320	Bloc anguleux, environ 5 m ³ ; micro- conglomérat à cailloux de quartz. Matrice d'arkose; cailloux de quartz, de quartzite rose. Très schistosé. R.A. maximale sur taches ocre. Ces taches ocre sont très fréquentes.	Indicateur		
2J-227	25- 30	Bloc anguleux de 2.5 m ³ . Orthoquartzite rose à pois d'oxyda- tion; laminations centimétriques.	Indicateur		
2J-228		Bloc sub-anguleux, 4 m ³ sub-anguleux. Paraconglomérat oligomictite à galets de quartz, quartzite rose, noire, blanche. Galets arrondis. Diamètre des galets jusqu'à 15 cm. Matrice de grès feldspathique très grosnière.	Indicateur		
2J-229	40- 45	Bloc 1 m ³ anguleux. Orthoquartzite à ciment feldspathique feldspaths roses à taches d'hématite.	Indicateur		
	60- 70	Bloc de 5 m ³ anguleux. Sub-arkose blanche microcongloméra- tique et conglomératique à cailloux de quartz, feldspaths, quartzite rose		2J-229a	

Statistiques

STATION	RA SPP2	DESCRIPTION	FORMATION	ECHAN- TILLON	ANALYSE
2J-230	80-85 700 max.	Arkose blanche à beige verdâtre. Bloc sub-en-place, conglomératique à cailloux de quartz (95%) quartzite rose, très schistosé. Faciès semblable à 2A-23. R.A. maximale sur tache ocre.	Indicateur		
2J-231	50-75 650 max.	Affleurement continu sur 60 m. Sub-arkose verte; 20-25% de felds- paths gros et altérés. Passées de paraconglomérat oligomicté à cailloux de quartz, diamètre maxi- mal 3 cm. R.A. maximale sur taches ocre très limonitisées coïncidant avec les con- glomérats.  Schistosité bien développée. 	Indicateur	2J-231a 2J-231b	U. Th. Spectro- mètre U/Th 0.66
	35-40	Juste à côté, gros bloc 10 m ³ angu- leux de grès feldspathique à ciment feldspathique rose.			
2J-232	50-70	Felsenmeer. Blocs anguleux de 1 à 10 m ³ ; sub-ar- kose à ciment feldspathique blanc; environ 15% de feldspaths, grain gros- sier. Très schistosée.	Indicateur		

PROJET: MONTS OTISH

FICHE D'AFFLEUREMENT

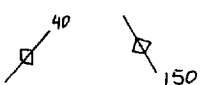
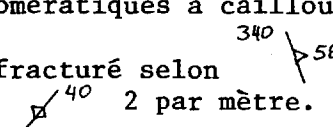
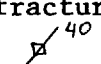
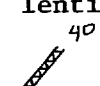
DATE: 2 août 1980

LOCALISATION: Zone 2A-23

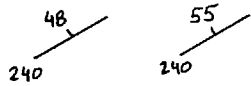

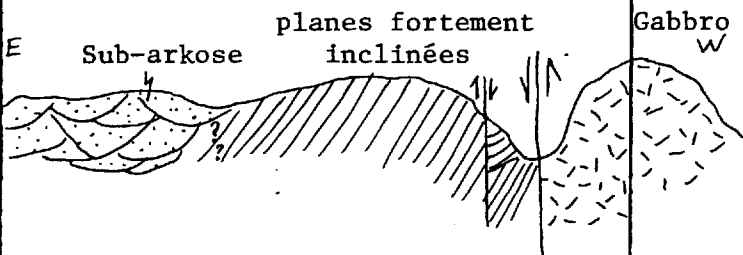
STATISTIQUE: Coupe 2C-112

KM DE COUPE: 3,0 km

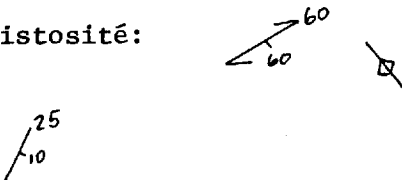
KM RADIOMETRE:

STATION	RA SPP2	DESCRIPTION	FORMATION	ECHAN- TILLON	ANALYSE
2J-233	25- 40	<p>Affleurement 4 m d'épaisseur; sub-arkose blanc verdâtre, environ 20% de feldspaths, massif.</p> <p>Très fracturé selon </p> <p>Grain moyen à passées conglomératiques à cailloux de quartz, quartzite rose et blanche, diamètre maximal 5 cm, cailloux flottants.</p> <p>Stratification entrecroisée, chenalisant.</p>	Indicateur		
2J-234	35- 50	<p>Affleurement 5 m de hauteur, continuation de 2J-233.</p> <p>Sub-arkose verte microconglomératique à cailloux de quartz, feldspaths, passées conglomératiques à cailloux de quartz.</p> <p>Très fracturé selon  10 par mètre et  2 par mètre.</p> <p>Localement, débit en plaquette 5 mm, devenant arkose vers le sommet, probablement plissé selon un axe E.W.</p> <p>Petit niveau hématisé.</p>	Indicateur	2J-234a	
2J-235	30	<p>Affleurement à peu près continu.</p> <p>Orthoquartzite vert, grain moyen. Tri bon; pois d'hématite, lentille de quartz 1 x 25 cm </p> <p>Ciment siliceux et feldspathique, parfois laminations très poreuses.</p>	Indicateur		

Statistiques

STATION	RA SPP2	DESCRIPTION	FORMATION	ECHAN- TILLON	ANALYSE
2J-235 suite		<p>→ mégarides</p>  <p>Stries de glissement interlit; évi- dences de slumping.</p> <p>Fracturation très forte selon</p>  <p>Stratifications planes fortement inclinées</p>  <p>A l'ouest des mégarides, près du gab- bro, on a une occurrence de sub-ar- kose conglomératique due à un bloc affaissé.</p>			
2J-236	20- 30	Affleurement de gabbro (dyke ?); placage d'hématite très pyriteux localement.	Gabbro d'Otish		

Statistiques

STATION	RA SPP2	DESCRIPTION	FORMATION	ECHAN- TILLON	ANALYSE
2J-237	30	<p>Affleurements dispersés; arkose verte conglomératique à cailloux flottants de quartz, quartzite rose, feldspaths, chert.</p> <p>Poches conglomératiques.</p> <p>Schistosité: </p>	Indicateur		

PROJET: MONTS OTISH

Claude Marcotte
Yolande BissonFICHE D'AFFLEUREMENT

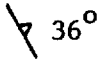
DATE: 2 août 1980

LOCALISATION: 2A-23 Photo: 1:15,840 Q-64362-57

STATISTIQUE: Coupe: 2C-113

KM DE COUPE: 5,35 km.

KM RADIOMETRE: 5,35 km.

STATION	RA SPP2	DESCRIPTION	FORMATION	ECHAN- TILLON	ANALYSE
2M295	25 cps	Gabbro massif - gros cristaux.	Gr. OTISH		
2M296	25 cps	Gabbro massif, peu altéré, gros cristaux.	Gr. OTISH		
2M297	30 cps 150 cps	Gabbro massif, IDEM à 2M295 et 296. A la base de l'affleurement, on note quel- ques points ponctuels choquant à 150 cps, sans étendue latérale. On ne note pas de changement de texture ou composition dans le gabbro dans ces zones anormales.	Gr. OTISH		
2M298	30 cps	Gabbro, IDEM aux numéros précédents. Diaclasses régulières: $326^{\circ}/36^{\circ}$. 326°  36°	Gr. OTISH		
2M299	30 cps	Gabbro, IDEM aux numéros précédents. On note une orientation préférentielle (moyenne) E-W des minéraux.	Gr. OTISH		

PROJET: MONTS OTISH

Claude Marcotte
Jean LefurFICHE D'AFFLEUREMENT

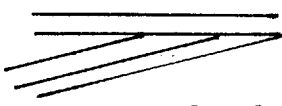
DATE: 28 août 1980

LOCALISATION: Région Kerveso

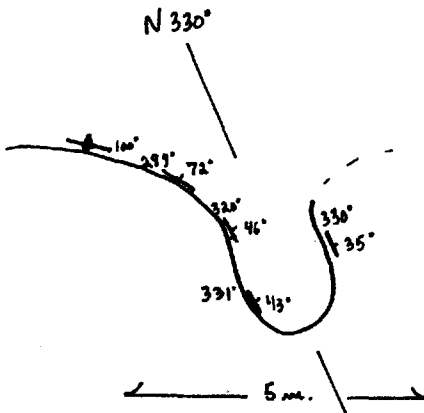
STATISTIQUE: Coupe: 2C-148

KM DE COUPE: 5,3 km.

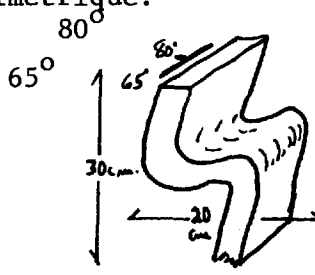
KM RADIOMETRE:

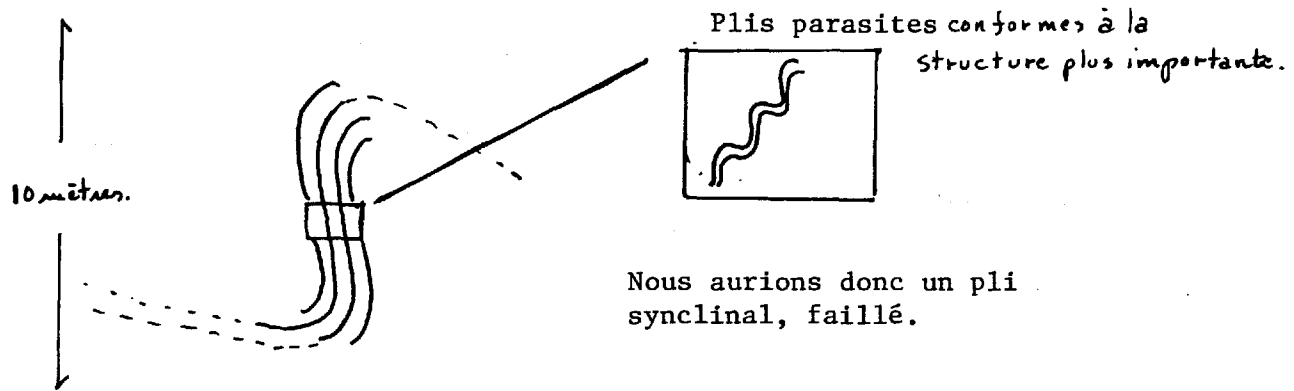
STATION	RA SPP2	DESCRIPTION	FORMATION	ECHAN- TILLON	ANALYSE
2M351	30 cps	<p>Quartzite légèrement laminé par endroit, à grains moyens, sub-arrondis, passant à un quartzite bien débité en bancs centimétriques à décimétriques, à stratification redressée et entrecroisée.</p> <p style="text-align: center;">N-77°/70°</p>  <p style="text-align: center;">N-48°/80°</p>	Indicateur		
2M352	45 cps 35 cps	<p>Quartzite blanc, grains grossiers, massif; quelques rares cailloux épars; schistosité en surface d'affleurement bien développée (N-60°/30°), passant à des quartzites à stratification redressée, à débit décimétrique (strati. 52°/80°).</p> <p>Quelques cailloux épars se retrouvent dans ces derniers quartzites. On note aussi quelques lentilles de quartz recristallisé, allongées dans le plan des couches.</p>	Indicateur		
2M353	50 cps	<p>Quartzite blanc massif, à grains moyens, à lentilles de quartz recristallisé.</p>	Indicateur		
2M354	55- 60 cps	<p>Quartzite massif blanc, tectonisé, plusieurs diaclases non rectilignes débitent la roche; leur direction générale N-50°/50° (s'apparente à la schistosité...)</p>	Indicateur		

Statistiques

STATION	RA SPP2	DESCRIPTION	FORMATION	ECHAN- TILLON	ANALYSE
2M355	25-30 cps	<p>Quartzite conglomératique et à passages à grains grossiers avec poches de matériel poreux, quartzitique à grains moyens à grossiers.</p> <p>On observe des contacts ondulants, entre certains bancs; les surfaces intercouches sont très schistosées, d'épaisseur irrégulière.</p> <p>On retrouve aussi ce qui semble être des lambeaux de quartzite repris dans d'autres quartzites. Le litage est anarchique; on retrouve plusieurs lentilles. Ce faciès correspondrait à un faciès de brèche syn-sédimentaire.</p>	Indicateur		
2M356	25 cps	<p>Quartzites en bancs décimétriques; certains bancs semblent affectés par une certaine porosité; c'est-à-dire des trous centimétriques disséminés dans le banc. On observe un pli serré...</p>  <p>Ce pli, très serré, contraste avec le style tectonique de la région; il devrait être révérifié...</p> <p>La déformation semble avoir été très souple; il y a très peu de schistosité ou fracturation associée au pli.</p>	Indicateur		

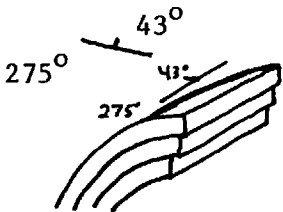
Statistiques

STATION	RA SPP2	DESCRIPTION	FORMATION	ECHAN- TILLON	ANALYSE
2M356	suite	On note même de petits décrochements le long d'une diaclase qui laisseraient à penser que la déformation eut lieu lorsque le matériel était très plastique.			
2M357		<p>Séquence de quartzites redressés, à stratification en bancs décimétriques.</p> <p>On observe ce qui semble être un pli faille.</p> <p>La stratification est presque verticale, (N-65°/80°) et on voit des petits plis parasites... d'amplitude décimétrique.</p>  <p>La falaise laisse voir le plan de fracture, rempli de quartz recristallisé et de morceaux lenticulaires d'agrégats quartzitiques et séricitieux.</p> <p>Au pied de la falaise, on retrouve des bancs de quartzites faiblement pentés (N-66°/10°) ...</p> <p>(voir au verso pour schéma)</p>	Indicateur		
2M358	40 cps	Grès feldspathique massif, grains grossiers, schistosité bien développée, direction N-78°.	Indicateur		



un pli ouvert, déversé vers le Nord.

Statistiques

STATION	RA SPP2	DESCRIPTION	FORMATION	ECHAN- TILLON	ANALYSE
2M359	35 cps	Grès feldspathique massif, schistosé, (N-42°/53°). Cailloux épars de diverses lithologies (- de 5%), grains grossiers. On passe au faciès à débit décimétrique avec une stratification (N-51°/42°). Ce débit est irrégulier; on le perd latéralement. On repasse ensuite au premier faciès.	Indicateur		
2M360	30 cps	Quartzite à débit décimétrique pendant vers le nord; en fait on semble avoir un nez de pli anticlinal. 	Indicateur		
2M361	55-60 cps	Grès feldspathique, très schistosé, alignement des grains, déformation de certains, matrice feldspathique blanchâtre. Schistosité: N-67°/35° On voit des zones très irrégulières à quartzite massif, semblant recristallisé, entouré de matériel très schistosé.	Indicateur		
2M362	65 cps	IDEM à 2M361.	Indicateur		

Statistiques

STATION	RA SPP2	DÉSCRIPTION	FORMATION	ECHAN- TILLON	ANALYSE
2M363	25-30 cps	Grès feldspathique, massif, schisto- sé en surface.	Indicateur		
2M364	30 cps	IDEM à 2M363.	Indicateur		
2M365	30 cps	Grès feldspathique, massif, schisto- sé, avec intercalations de quartzi- tes à débit décimétriques. Stratification: (55°/62°).	Indicateur		

PROJET: MONTS OTISH
 Claude Marcotte
 Jean Lefur

FICHE D'AFFLEUREMENT

DATE: 29 août 1980

LOCALISATION: Hors propriété - Géologie Région Lac Kerveso - Photos: 1:15,000
 64,362/70, 64,364/187

STATISTIQUE: Coupe: 2C-149

KM DE COUPE: 7,6 km.

KM RADIOMETRE: 7,6 km.

STATION	RA SPP2	DESCRIPTION	FORMATION	ECHAN- TILLON	ANALYSE
2M366	60 cps	<p>Matériel volcano-sédimentaire de composition intermédiaire (andésitique, dacéti-que ?) métamorphisé au faciès schiste vert (chlorite très abondante...). Présence de mobilisat quartzo-feldspathique en veines discontinues et contortionnées.</p> <p>Plusieurs traces de matériel dissout (sulfure ?), plus minéraux mafiques, biotite, hornblende, on pourrait adopter l'appellation schiste à chlorite et hornblende.</p> <p>On note aussi des genres de vésicules, amygdalaires, de taille décimétrique, entourées d'une pellicule mafique à grains fins.</p> <p>Schistosité: $224^{\circ}/60^{\circ}$</p> <p>Une veine de quartz recristallisé à $N-300^{\circ}/90^{\circ}$.</p>	Socle	2M366	U / Th. F.G.
2M367	75- 90 cps plus points à 150 200 cps	<p>Conglomérat à granules de quartz et à matrice sub-arkosique à arkosique, composée de feldspaths blancs, non cristallisés.</p> <p>Schistosité oblitère le reste des structures ($N-64^{\circ}/35^{\circ}$).</p> <p>Diaclases: $235^{\circ}/70^{\circ}$ $173^{\circ}/75^{\circ}$</p> <p>Grains anguleux centimétriques.</p>	Indicateur		

Statistiques

STATION	RA SPP2	DESCRIPTION	FORMATION	ECHAN- TILLON	ANALYSE
2M368	100- 110 cps	Blocs - Conglomérat composé, par endroit, par non moins de 50-60% de cailloux quartzitiques, sub-arrondis à anguleux, de taille centimétrique. La matrice est verdâtre, sériciteuse, peut être sub-arkosique. On note aussi quelques feldspaths blancs recristallisés.	Indicateur		
2M369	150- 200 cps plu- sieurs points à 250- 300 cps	Conglomérat quartzitique à cailloux sub-arrondis à anguleux, concentrés par bancs alternant avec des conglomérats arkosiques (matrice à grains grossiers, très sériciteux, à feldspaths blancs) et contenant 10-15% de cailloux. Schistosité: $20^{\circ}/56^{\circ}$ oblique le reste des structures.	Indicateur		
2M370	85-95 cps	Conglomérat arkosique, très altéré et schistosé, à cailloux de quartz sub-arrondis, de taille centimétrique. Schistosité: $N-27^{\circ}/60^{\circ}$.	Indicateur	2M370	U / Th.
2M371	150- 200 cps Quques points à 700 cps	Conglomérats quartzitiques avec 40-50% de cailloux de quartz sub-arrondis de taille centimétrique (taille moyenne 3 cm.) alternant avec des bancs de conglomérat arkosique contenant 10 à 20% de cailloux de quartz. Une direction de stratification (sans pendage) peut être prise et donne un axe $N-40^{\circ}-220^{\circ}$. Des veines de quartz recristallisé sont à $N-252^{\circ}/75^{\circ}$. Plus au nord, on peut estimer le pendage approximatif de la stratification à 60° ; le bruit de fond est très élevé (150-200 cps) et on trouve plusieurs points à 350-400 cps et quelques uns jusqu'à 750 cps.	Indicateur		

PROJET: MONTS OTISH

Claude Marcotte
Jean LefurFICHE D'AFFLEUREMENT

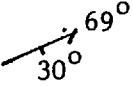
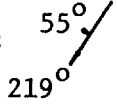
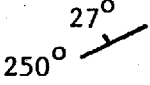
DATE: 30 août 1980

LOCALISATION: Géologie Région Kerveso -- Photos aériennes 1:15,840 No 64364/119

STATISTIQUE: Coupe: 2C-152

KM DE COUPE: 5,25 km.

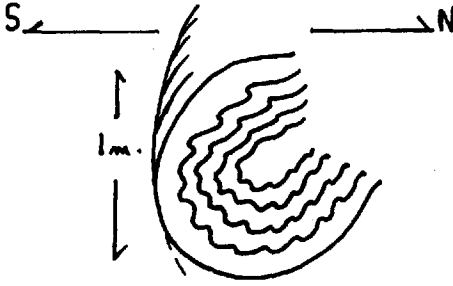
KM RADIOMETRE: 5,25 km.

STATION	RA SPP2	DESCRIPTION	FORMATION	ECHAN- TILLON	ANALYSE
2M372	25- 30 cps	<p>Quartzites massifs, en bancs centimétriques à décimétriques, grains moyens, subarrondis avec stratification obliques, entrecroisées.</p> <p>Schistosité: N-69°/30° </p> <p>Stratification:  varie en pendage et direction d'une vingtaine de degrés de part et d'autre de cette mesure; ceci est dû à des ondulations dont l'axe est de direction N-140°.</p>	Indicateur		
2M373	25- 35 cps	<p>Quartzite massif, laminé par endroit, (débit décimétrique).</p> <p>Stratification: </p> <p>La séquence semble être plissée avec des plis déversés vers le nord, i.e. le flanc nord redressé avec même parfois des pendages vers le sud, et le flanc sud à stratification très faiblement pentée. D'ailleurs on ne voit bien les différents bancs que sur les flancs nord à stratification redressée. Les flancs sud formant des affleurements lisses où on suit le même banc.</p>	Indicateur		
2M374	50- 55	On passe des quartzites à un grès feldspathique grossier, très schistosé, contenant quelques galets épars de diverses lithologies.	Indicateur		

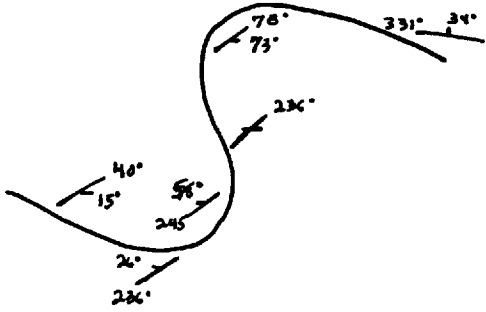
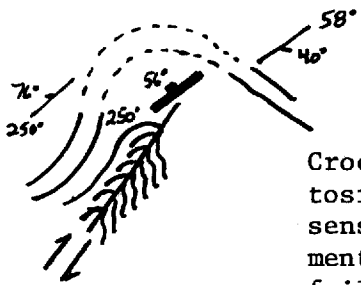
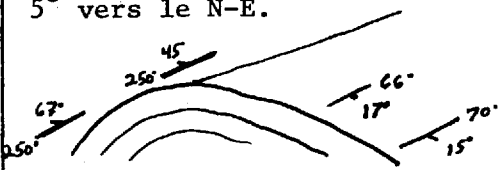
Statistiques

STATION	RA SPP2	DESCRIPTION	FORMATION	ECHAN- TILLON	ANALYSE
2M374	suite	<p>Dernière stratification visible des quartzites est 70° puis, passe à 255°</p> <p>65° 72°</p>			
2M375	30 cps	<p>Quartzite légèrement laminé, schistosé, contenant quelques cailloux épars.</p> <p>Stratification: 290° 45°</p> <p>31° 4°</p> <p>ondulations N-140° reprennent le tout</p>	Indicateur		
2M376	30 cps	<p>Quartzite rouge légèrement laminé, passages massifs. Plissé à l'échelle décimétrique.</p> <p>Plongée faible vers le nord-est.</p> <p>Le pli est affecté lui aussi d'une ondulation faisant bomber le flanc sud, mis à nu par l'érosion sur une dizaine de mètres.</p>	Indicateur		
2M377	30- 35 cps	<p>Zone de déformation synsédimentaire au sein de quartzites massifs et laminés à débit décimétrique.</p> <p>Certains bancs de 30 à 40 cm. d'épaisseur sont extrêmement poreux, à grains moyens à grossiers, sub-arrondis, et contiennent des lambeaux de quartzites massifs (ni lithologie que le matériel sous-jacent et sus-jacent...)</p>	Indicateur		

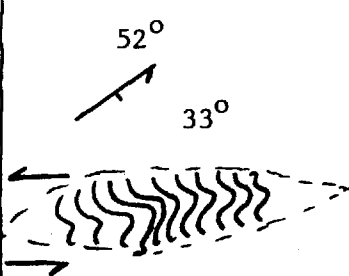
Statistiques

STATION	RA SPP2	DESCRIPTION	FORMATION	ECHAN- TILLON	ANALYSE
2M377	suite	<p>On retrouve plusieurs changements de direction, dûs aux ondulations dans les bancs.</p> <p>Et on retrouve aussi un pli extrêmement serré, démontrant que la déformation s'est produite lorsque le matériel n'était pas encore induré.(??)</p>  <p>Avec une surface bombée semblant montrer que le pli se serait pincé aux extrémités (similitude avec un glissement de nappe par gravité...)</p> <p>De plus, on ne note aucune strie de glissement intercouche entre les bancs, aucune diaclase ou schistosité de plan axial...</p>	Indicateur		
2M378	60- 65 cps	<p>Sub-arkose grossière à feldspaths recristallisés et cailloux de quartz flottants; elle est massive.</p> <p>Les bancs sont décimétriques à métriques; il y a quelques entrecroisements.</p> <p>Passages microconglomératiques et arkosiques.</p> <p>Stratification: $\begin{array}{l} 67^\circ \\ \diagdown \\ 25^\circ \end{array}$ ondulante.</p> <p>Stries intercouches N-150°/28° avec banc supérieur bougeant vers le N-330°.</p>	Indicateur	2M378	U / Th. F.G.

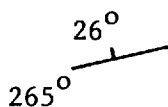
Statistiques

STATION	RA SPP2	DESCRIPTION	FORMATION	ECHAN- TILLON	ANALYSE
2M379	35 cps	<p>Quartzites massifs à débit décimétrique, grains grossiers à moyens.</p> <p>Pli déversé vers le Nord.</p>  <p>Le pli plonge vers le N-E de 10° environ. (Axe N-60° ±)</p> <p>Le flanc nord est repris par l'ondulation N-140°. Quelques mesures prises sur le flanc Nord en allant vers le N-E et remontant vers la charnière montrent les changements de directions à l'intérieur même des flanc nord.</p> <p>1° 245° / 59° 2° 240° / 20° 3° 280° / 12°</p> <p>Plus au nord, on a un pli un peu moins déversé avec une faille inverse affectant le coeur de l'anticlinal.</p>  <p>Crochons et schistosité indiquant sens du déplacement le long de la faille.</p> <p>Un autre pli d'axe N:55° plongeant 5° vers le N-E.</p> 	Indicateur		

Statistiques

STATION	RA SPP2	DESCRIPTION	FORMATION	ECHAN- TILLON	ANALYSE
2M379	suite 50 cps	<p>Contact entre les quartzites sous-jacents et une sub-arkose grossière, à cailloux flottants. Le contact semble et rappelle celui déjà noté au 2M260 sur la zone 2A-23 (une parallèle est à faire).</p> <p>Le contact est souligné par une passée sériciteuse, schistosée, et plusieurs cailloux pêle-mêle.</p> <p>A noter que la sub-arkose semble très schistosée, déformée en écailles sigmoidales dans les 50 premiers mètres depuis le contact.</p>	Indicateur		
2M380	55 cps	<p>Sub-arkose et grès feldspathique schistosés (feldspath dans le ciment); les grains de quartz sont moyens à grossiers. On semble évoluer ici vers le centre de la zone de déposition de l'ensemble des sub-arkoses, milieu plus calme.</p> <p>Surface intercouche par endroit, est affectée d'une schistosité très intense reprenant des lentilles de quartz recristallisé.</p>  <p>The diagram consists of two parts. The upper part shows a line with an arrow pointing upwards and to the right, labeled with the angle 52°. Below this, there is a lens-shaped structure with wavy internal lines, representing a lens of recrystallized quartz. An arrow points to the right, and the angle between the horizontal and the top edge of the lens is labeled 33°.</p>	Indicateur		
2M381	40 cps	<p>Quartzites massifs à débit décimétrique, ondulés, affectés par plis N.E.</p>	Indicateur		

Statistiques

STATION	RA SPP2	DESCRIPTION	FORMATION	ECHAN- TILLON	ANALYSE
2M382	40 cps	IDEM à 2M381. Stratification: 	Indicateur		
2M383	40-45 cps	Grès feldspathique très schistosé avec grains rouges; quelques cail- loux épars, enclaves d'argilite.	Indicateur		
2M384	50 cps	Grès feldspathique et quartzites schistosés à cailloux épars (rares). A certains endroits, on a de brèves passées massives, très fugitives.	Indicateur		
2M385	50 cps	Grès feldspathique schistosé à cail- loux épars.	Indicateur		

PROJET: MONTS OTISH

FICHE D'AFFLEUREMENT

DATE: 28/8/80

LOCALISATION: Lac Kerveso

STATISTIQUE: 2C#155

KM DE COUPE: 4.4

KM RADIOMETRE: 11.1

STATION	RA SPP2	DESCRIPTION	FORMATION	ECHAN-TILLON	ANALYSE
2V279	35-45-55	<p>Orthoquartzite. Feldspathic sandstones and subarkoses. There is a sequence of intensely foliated beige to pink rocks with occasional floating pebbles and cobbles of quartz and some red shale.</p> <p>There appears to be an inverted sequence of orthoquartzites which grades gradually up to subarkoses. All are medium to fine grained. A lot of the feldspar grains have been destroyed by the foliation. There is also interbed veins of quartz.</p>	<p>Indicateur (pelitic schist)</p> <p>→140,60</p> <p>↗N70,54</p> <p>↗N40,60</p> <p>↗N64,46</p> <p>↘327,90</p> <p>↘350,80</p> <p>↘360,80</p>	2V279	
2V280	45-50	<p>Subarkose to arkose, medium grained, beige and intensely foliated. The beds average approx. .5-1 m. with large scale cross-bedding. Occasional porphyroblasts of nebulous feldspar? are present.</p>	<p>Indicateur</p> <p>↗ NE-E</p> <p>↘089,65</p> <p>↘240,12</p>		
2V281	45	<p>Pink to beige, medium grained subarkose with floating bed of microconglomerate and pebbles. There are red subarkosic pebbles present.</p>	<p>Indicateur</p>		
2V282	40	<p>Pink and white (sometimes with pink spots), medium grained, foliated orthoquartzite. There is large scale, tabular, as well as 1 m. high trough cross-bedding. Feldspathic sandstone beds are present in the tabular cross-bedding but are in general very rare.</p> <p>There are very open folds approx. 1 m. high present (057,2). There are tight folds 071,79 with an amplitude of approx. 15 m. and a wave length of 20 m.</p>	<p>Indicateur</p> <p>↘ 231,59</p> <p>↘ 065,38</p> <p>↘ 290,000</p> <p>↘ 051,090</p> <p>↗ NW</p> <p>↘ 326,90</p> <p>↘ 057,12</p> <p>↘ 071,79</p> <p>S1 070,40</p> <p>↘ 140,34</p> <p>↘ 246,12</p>	2V282a	<p>U/Th (E.G.)</p> <p>U: 1.1ppm</p> <p>Th: 29ppm</p> <p>U/Th:0.038</p>

Statistiques 2C#155

STATION	RA SPP2	DESCRIPTION	FORMATION	ECHAN- TILLON	ANALYSE
2V283	35	Pink and white, cross-bedded, medium grained orthoquartzites. The bedding has been overturned. Cross-bedding averages 0.5-1 m. by 2-5 m. long and extremely abundant.	Indicateur ↗ 065,81		
2V284	30-35	Idem 2V283.	Indicateur ↙ 051,42		
2V285	50	Strongly foliated, pinkish beige sub-arkose (medium to coarse grained). Some of the feldspar grains are very pink to red.	Indicateur ↙ 060,52		

PROJET: MONTS OTISH

FICHE D'AFFLEUREMENT

DATE: 29/8/80

LOCALISATION: Lac Kervès

STATISTIQUE: 2C#156

KM DE COUPE: 6.9

KM RADIOMETRE: 13.8

STATION	RA SPP2	DESCRIPTION	FORMATION	ECHAN-TILLON	ANALYSE
2V286	15-20	Medium grained, massive gabbro with some tectonic alteration as local foliation. There is also trace amounts of chalcopryrite present. The local foliation present is, as thin 1 mm., thick, shear zones.	Gabbro d'Otish ↙ 310,80 S1 067,40 ↙ 160,85		
2V287	25	Idem 2V286. Grains average 2-3 mm. and the rock is very massive. The foliation sometimes forms lenses.	Gabbro d'Otish S1 106,85		
2V288	25	Idem 2V287. The massive bands average 10-20 cm. thick between foliated bands approx. 2 mm. thick.	Gabbro d'Otish ↙ 033,90		
2V289	20-25	A intermediate to mafic series of meta-volcanics (schists). There is predominantly a medium to fine grained schist with poorly formed porphyroblasts of amphibole. There is a similar but finer facies with feldspar and amphibole? porphyroblasts. Porphyroblasts of epidote are also present. Blebs of pyrrhotite are present in the schists as well as some calcite in a felsic unit. The mafic units are coarse grained and similar to gabbro except that they are somewhat more mafic and black in colour. The intermediate unit is probably a amygdaloidal (epidote) andesite flow.	Socle-méta-volcaniques Laguiche? ↙ 248,50 ↙ 160,74	2V289A 2V289B 2V289C 2V289D 2V289E 2V289F	U/Th(F.G.) U: 0.6ppm Th:1.0ppm U/Th:0.60 U/Th(F.G.) U Th U/Th
2V290	150-400	A boulder 36x25x15 m., r: 6 cm., 1:030°. A biotite approx. 25%-30%, quartz approx. 15%, plagioclase 60%. Banded migmatite? That is similar to those south of property "G" except there is some yellow product on the biotite.	Socle (migmatite)	2V290A 2V290B	U/Th U:1770ppm Th:132ppm U/Th:13,409

Statistiques 2C#156

STATION	RA SPP2	DESCRIPTION	FORMATION	ECHAN- TILLON	ANALYSE
2V291	125- 250	Oligomictic para and orthoconglomerate with fairly common arkosic microconglomerate lenses. There is abundant cross-bedding with floating pebble beds and conglomerate (quartz pebbles with some cobbles).	Indicateur / 215,85 / 1060,30 / 120,80		

PROJET: MONTS OTISH

FICHE D'AFFLEUREMENT

DATE: 30/8/80

LOCALISATION: Lac Kerviso

STATISTIQUE: 2C#157

KM DE COUPE: 2.5

KM RADIOMETRE: 5.0

STATION	RA SPP2	DESCRIPTION	FORMATION	ECHAN-TILLON	ANALYSE
2V292	25-30	Fine grained, pink orthoquartzite with silica cement. There is very little lamination and cross-bedding is poorly developed. Beds average 8-15 cm. thick, feldspathic beds are virtually non-existent.	Indicateur ↘ 056,83 ↘ 333,78 (major) S ₁ 068,15 S ₂ 040,35		
2V293	25-30	Fine grained, pink, laminated orthoquartzites with abundant ripple marks.	Indicateur - 069,8 // 310° 180°-130°		
2V294	20-30	Mostly white, fine grained orthoquartzites. Most of the sequence (which is vertical) is flat bedded, averaging 10-20 cm. thick. There is moderately abundant cross-bedding, -some of which extends for over 15 m. while .7 m. high. The average trough is about .5 m. high by 2-3 m. long. Small current ripples are also present with the cross-bedded units and sometimes there are pebbles and cobbles of orthoquartzite included. Occasionally there are red rings of hematisation (oxidation). Ripple marks are abundant, especially in the above cross-bedded sequences.	Indicateur ↘ 245,±85 ↘ 066,15 ↘ 145,90		
2V295	20-30	Idem 2V294. Most of the mountain consists of moderately dipping sediments with local, moderately tight folds and axis 206,60 (from lenses of quartz veins.)	Indicateur ↘ 065 ↘ 069,60 ↘ 182,74		
2V296	30-50	Idem 2V295 except now composed of subarkose and feldspathic sandstones. There are less ripple marks but cross-bedding is a little more common. The contact orthoquartzite	Indicateur ↘ 089,10		

Statistiques 2C#157

STATION	RA SPP2	DESCRIPTION	FORMATION	ECHAN- TILLON	ANALYSE
2V297	30-50	<p>and subarkose-feldspathic sandstone is repeated frequently due to folding (max. 50 cps).</p> <p>Pink medium grained subarkose with floating pebbles of red subarkose and quartz.</p>	<p>Indicateur</p> <p>↙1068,72</p> <p>↙180,90</p> <p>↙147,90</p> <p>↘320</p>		

PROJET: MONTS OTISH

FICHE D'AFFLEUREMENT

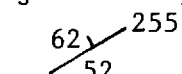
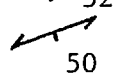
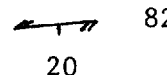
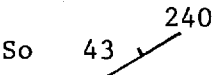
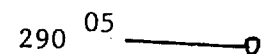
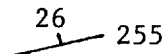
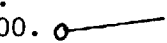
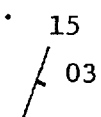
DATE: 5 septembre 1980

LOCALISATION: N du lac Kervéso

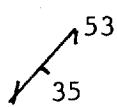
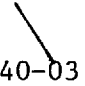
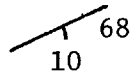
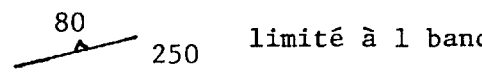
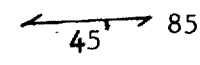
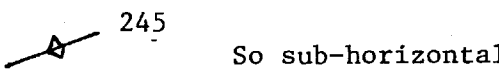
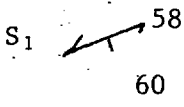
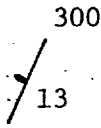
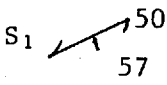
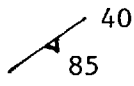
STATISTIQUE: Coupe 170

KM DE COUPE: 2,25 km

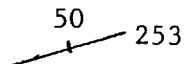
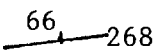
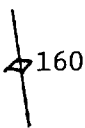
KM RADIOMETRE: 2 x 2.25 km

STATION	RA SPP2	DESCRIPTION	FORMATION	ECHAN-TILLON	ANALYSE
2B268	40-50	<p>Grès feldspathique (5-10%) localement plus quartzeux dans le même banc; grain .1 à .5 mm avec localement galet de quartzite flottant. Présence de fragment de quartzite rouge, extrêmement schisteux. Banc 1 à 3 m, moyenne 1.5 m.</p> <p>Antiforme déjeté avec plusieurs mesures.</p> <p>Nord : So  S1  S2  20</p> <p>pénétratif espacé cm</p> <p>Attention à ne pas confondre stratification et stratification oblique.</p> <p>So  43</p> <p>intercouche veinée de quartz lenticulaire, plissée et associée à du schiste à séricite.</p> <p>Micropli d'entraînement cm des veines de quartz.</p> <p>P2¹  290 05</p> <p>S1 très pénétratif non mesuré</p> <p>So  26 255</p> <p>Crochon et S d'intercouche.</p> <p>Axe de plis de S1 P2¹  85-00.</p> <p>Les crochons se font même à échelle métrique à travers les bancs de grès feldspathique.</p> <p>So  15 03</p>			

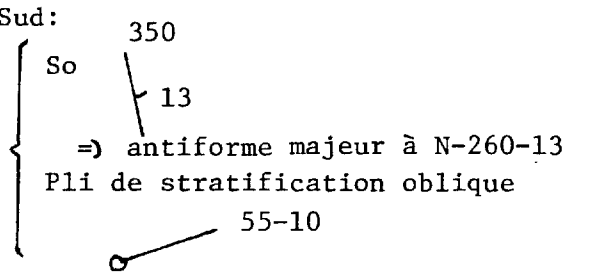
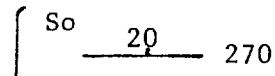
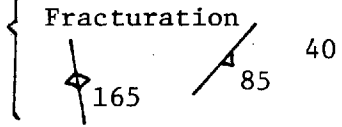
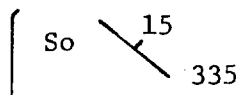
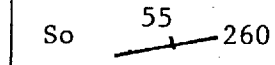
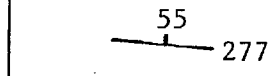
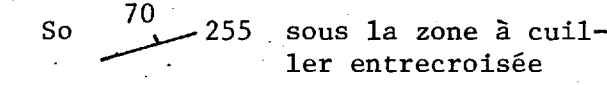
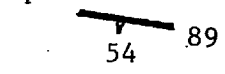
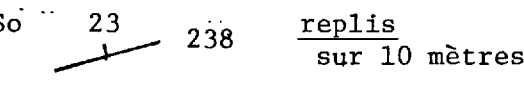
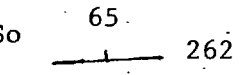
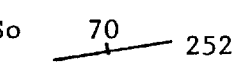
Statistiques

STATION	RA SPP2	DESCRIPTION	FORMATION	ECHAN- TILLON	ANALYSE
2B268 suite		<p>Au sud de l'affleurement, sur la butte, So sub-horizontale ou à faible pendage. S₁ déformé dans crochon.</p>  <p>Stries intercouches</p>  <p>Sud : So </p> <p>Fracturation de quartz, cm, sub-orthogonal à la stratification.</p>  <p>S₁ </p> <p>30 mètres plus au sud, veine de quartz 5 cm x 1.5 m</p>  <p>S₁ </p>			
2B269	40- 50	<p>Lithologie identique 2B268.</p> <p>So  régional pour le sommet de la butte</p> <p>S₁ </p> <p>Fracturation:</p> 			

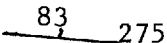
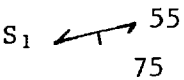

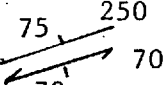
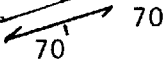
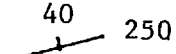
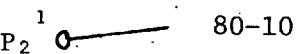
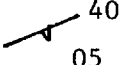
Statistiques

STATION	RA SPP2	DESCRIPTION	FORMATION	ECHAN- TILLON	ANALYSE
2B270	25	<p>Quartzite rose et blanc laminé à alternance de 2 à 10 cm.</p> <p>So </p> <p>On a probablement monté dans la stratigraphie. On a dû franchir un synforme; dans la vallée en creux au N de cet affleurement.</p>			
2B271	25 → 40 →	<p>Quartzite rosé, idem 2B270.</p> <p>Grès feldspathique avec S₁, idem 2B269</p> <p>So contact </p> <p>Fracturation</p> <p> densité = 10 sur 30 cm</p>	Top Base		
2B272		Grès feldspathique schisteux, idem 2B269. Affleurement minuscule.			
2B273		Idem précédent avec fragment de quartzite rouge. Affleurement minuscule. Soupçon de So subhorizontal.			
2B274	25	<p>Quartzite rose et blanc en banc massif avec stratification oblique (cuiller) de > 3m, possiblement entrecroisée.</p> <p>Quelques bancs de quartzite blanc à grain moyen. Banc de 1 à 3 m. Lamination selon la stratification (sommet) et selon la stratification oblique. Schistosité intercouche.</p>			

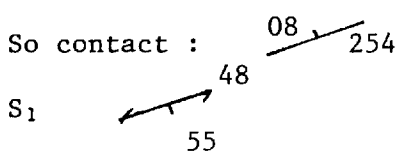
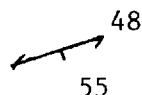
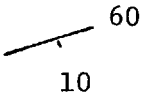
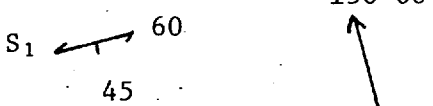
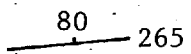
Statistiques

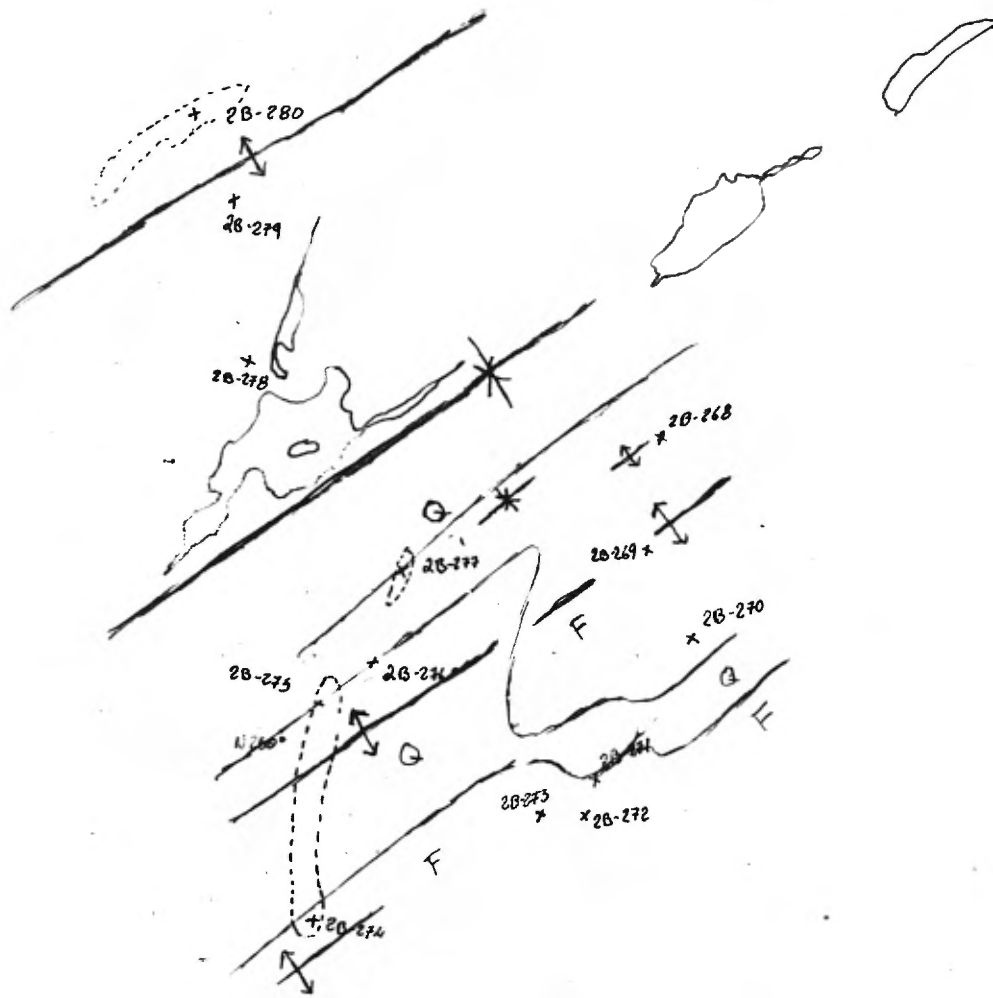
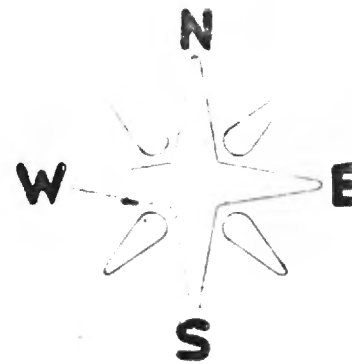
STATION	RA SPP2	DESCRIPTION	FORMATION	ECHAN- TILLON	ANALYSE
2B274		<p>Sud:</p>  <p>So 350 13 => antiforme majeur à N-260-13 Pli de stratification oblique 55-10</p>  <p>So 20 270</p> <p>Fracturation</p>  <p>165 40 85</p> <p>Zone photographiée (à la pluie)</p>  <p>So 15 335</p>  <p>So 55 260</p> <p>Plissement majeur d'ordre hectométrique. So sous la cuiller plissé.</p>  <p>55 277</p>  <p>So 70 255 sous la zone à cuiller entrecroisée</p> <p>Faille mineure de chevauchement L>5 m retroussant stratification oblique, déplacement faible.</p>  <p>54 89</p>  <p>So 23 238 replis sur 10 mètres</p>  <p>So 65 262</p>  <p>So 70 252</p>	<p>Extrémité sud: So contact 75 285 Grès feldspathique (sud) Quartzite (top)</p>		

Statistiques

STATION	RA SPP2	DESCRIPTION	FORMATION	ECHAN- TILLON	ANALYSE
2B275 dans prolongement du précédent	40	<p>Haut: Banc de 1 à 3 m de grès feldspathique blanc verdâtre (séricitisation des feldspaths) sans fragment de quartzite rouge à granulométrie de .5 à 3 mm, très schisteux.</p> <p>Bas: Quartzite laminé blanc et rose, idem 2B274.</p> <p>So contact:  275</p> <p>S₁  55 75</p> <p>A ce sommet de la butte, So contact  260</p> <p>Conglomérat semi-flottant immédiatement au contact, discontinu. Galet.</p> <p>Moyen : 10 x 6 cm Quartzite 7 x 9 cm blanc</p> <p>Max. : 12 x 13 cm Quartzite rouge</p> <p>A la base de la séquence des grès feldspathiques grossiers.</p> <p>Sédimentologiquement, ce grès conglomératique semble avoir raviné et "cannibalisé" le quartzite sous-jacent.</p> <p>Nord: So  250 S₁  70</p>			
2B276	40- 50	<p>Idem grès feldspathique.</p> <p>So  250</p> <p>Plis de veine de quartz cm.</p> <p>P₂  80-10</p> <p>Fracture  40 05</p> <p>Bloc supérieur monte.</p>			

Statistiques

STATION	RA SPP2	DESCRIPTION	FORMATION	ECHAN- TILLON	ANALYSE
2B277		<p>Haut: Grès feldspathique idem précédent.</p> <p>Bas: Quartzite blanc peu laminé en banc massif.</p> <p>So contact : </p> <p>S₁ </p>			
2B278		<p>Quartzite blanc.</p> <p>Affleurement minuscule.</p> <p>So sub-horizontale.</p>			
2B279	25	<p>Quartzite rose et blanc faiblement laminé.</p> <p>So ? </p> <p>Stries intercouches</p> <p> bloc supérieur monte</p> <p>So plus ou moins horizontal.</p>			
2B280	25	<p>Quartzite blanc et rose laminé, avec lamination parallèle et stratification oblique en banc de 30 cm à 1 mètre.</p> <p>So </p> <p>On semble être maintenant dans la zone à fort pendage nord.</p>			



Q - Quartzite
F - Gries feldspathique

Région du lac Keverso
Zone à l'ouest de A-34-35

Q 64364-117

1:15,840

FICHE D'AFFLEUREMENT

DATE: 6/9/80

LOCALISATION: Lac Kerviso

STATISTIQUE: 2C#172

KM DE COUPE: 4.5

KM RADIOMETRE: 9.0

STATION	RA SPP2	DESCRIPTION	FORMATION	ECHAN- TILLON	ANALYSE
2V304	40	Medium grained, pink, intensely foliated subarkose with beds of quartz pebble (25%) conglomerate. There are cobbles of white, very fine grained orthoquartzite present.	Indicateur ↗ 068,84 ↘ 340,82 ↗ 246,48	2V304	
2V305	35-50	Fine grained, white orthoquartzite with abundant cross-bedding. There are a few thin (<25 cm. thick) beds of feldspathic sandstone but otherwise the transition subarkose to orthoquartzite is very abrupt. There is abundant laminations, especially in the feldspathic layers.	Indicateur ↗ 232,48 ↘ 192,60 ↘ 154,90 ↘ 156,90		
2V306	35-40	Fine grained, white orthoquartzite with vague red oxidation spots. There is frequently a very light green tint on weathered surfaces. There is abundant cross-bedding but laminations are rare. Beds vary from 3-20 cm. thick.	Indicateur ↗ 064,8 ↘ 170,90 ↘ 043,90 ↘ 066,52		
2V307	30	White, fine grained orthoquartzites with occasional levels that are cemented with either a carbonate or a soluble feldspathic clay. There is some laminated, two grain size beds but more commonly beds are 3 to 20 cm. thick and usually with trough cross-bedding. Monoclinial folding is still present. The 353,84 fracture is fairly strong and may be on occasions a fault plane. Cross-bedding of troughs indicates a current direction of W to NW while ripple indicates a direction of N.	Indicateur ↗ 241,87 ↘ 353,84	2V307 (2 grain size with soluble matrix)	L.M.
2V308	25	Fine grained massive (well oriented) laminated pink orthoquartzites which grade upwards to white medium grained orthoquartzites with occasional feldspathic layers. There is abundant trough cross-	Indicateur ↘ 318,87		

Statistiques 2C#172

STATION	RA SPP2	DESCRIPTION	FORMATION	ECHAN- TILLON	ANALYSE
		bedding. The monoclinial folding is frequently more complex and abundant at depth. There are two monoanticlines which develop upwards into one.			
2V309	40-50	Idem 2V304.	Indicateur		
2V310	25	Pink to red, fine to medium grained orthoquartzite. There is abundant trough cross-bedding and tabular cross-stratification. There is a few (very rare) .5 m. thick beds of reddish-brown argillite which is tightly folded.	Indicateur	2V310	L.M. U/Th (F.G.) U: 3.1ppm Th: U/Th:
2V311	30-35		<p>↖ 075,35</p> <p>↘ 066</p> <p>↘ 160,90</p> <p>↘ 207,67</p> <p>↘ W</p>	2V311	
2V312	50-95	Medium to coarse grained pink subarkose with pebbles of quartz, red argillite and red siltstone (sometimes angular). Maximum RA is in the ocre facies parallel to the foliation. It is generally an upward fining sequence.	Indicateur		
			↘ 346,81		
2V313	55-65	Idem 2V312 except with more green-beige facies and less pebbles and microconglomeratic phases. Generally coarse grained.	Indicateur		
			<p>↘ 070,35</p> <p>↘ 064,90</p> <p>↘ 140,76</p>		
2V314	45	Below the contact with the red orthoquartzites the subarkose is red with abundant and usually angular pebbles and cobbles of chert, red argillite, red siltstone as well as quartz.	Indicateur		

Statistiques 2C#172

STATION	RA SPP2	DESCRIPTION	FORMATION	ECHAN- TILLON	ANALYSE
2V315	25-30	Pink to red orthoquartzite idem 2V310. In the center of the exposure, the orthoquartzite tends to be white on the of the folds and sometimes appears to underlie the reddish orthoquartzite. Tabular cross-bedding is common.	Indicateur		
2V316	35-45	Well foliated, white-beige feldspathic sandstone which grades from medium grained up to a medium to coarse grained subarkose.	Indicateur ↙065,52 ↘150,90		

PROJET: MONTS OTISH

Jean Beaudin
Antoine Yassa

FICHE D'AFFLEUREMENT

DATE: 9 septembre 1980

LOCALISATION: Lac Kervésé

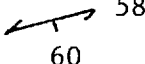

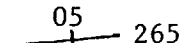
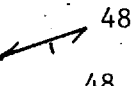
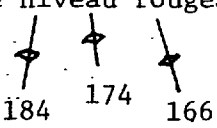
STATISTIQUE:

KM DE COUPE:

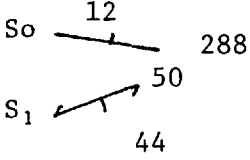

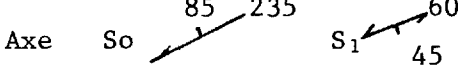
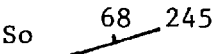
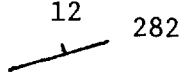
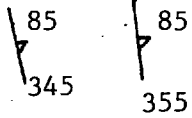
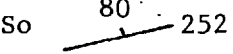
KM RADIOMETRE:

STATION	RA SPP2	DESCRIPTION	FORMATION	ECHAN-TILLON	ANALYSE
2B281	45	<p>Grès feldspathique rose à fragment de quartzite rouge, grain 1 à 2 mm, banc de 1 à 3 m, schisteux.</p> <p>Fracturation</p> <p>Haut topographique, sommet d'un replat à pendage E ou NW.</p>			
2B282	45	<p>Idem 2B281.</p> <p>Ondulation hectométrique</p> <p>70 cps localement</p>			
2B283		<p>Idem 2B281.</p> <p>Zone veinée de quartz soit sur fracture ou en plaque le long de la S₁ et selon l'intercouche.</p> <p>Stries intercouches N-145-10</p> <p>Bloc supérieur monte 145-10</p>			

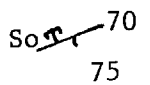

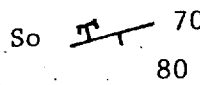
Statistiques

STATION	RA SPP2	DESCRIPTION	FORMATION	ECHAN- TILLON	ANALYSE
2B284		<p>Grès feldspathique idem précédent, avec en plus des galets flottants de quartzite rougeâtre laminé.</p> <p>So 00-00</p> <p>S₁  58 60</p> <p>Les veines de quartz plissé irrégulièrement s'enracinent dans la S₁ déformé et dans l'intercouche.</p> <p>Minifaille de chevauchement du banc supérieur sur le banc inférieur.</p> <p>Plissement P₂¹ de veines de quartz et de cisaillement  135-15</p>			
2B285		<p>Contact grès feldspathique sur quartzite rougeâtre à rose.</p> <p>Grès feldspathique idem précédent.</p> <p>Quartzite rougeâtre et blanc avec stratification oblique métrique. Base des grès feldspathiques très schisteuse au contact.</p> <p>So  05 265</p> <p>S₁  48 48</p> <p>Le niveau rougeâtre <u>2.5 m</u></p> <p> 184 174 166</p>			
2B286	40 max. 200	<p>Contact grès feldspathique rose, quartzite.</p> <p>Grès feldspathique rose grossier 1-5 mm à galet flottant de quartzite.</p> <p>Banc de 1 à 2 m sur quartzite idem précédent, sauf beaucoup plus rouge.</p> <p>Banc de 1 à 2 m.</p>			

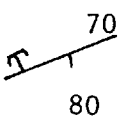
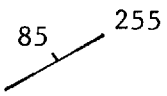
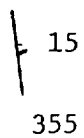
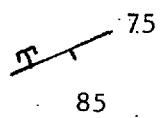
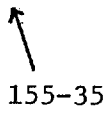
Statistiques

STATION	RA SPP2	DESCRIPTION	FORMATION	ECHAN- TILLON	ANALYSE
2B286 suite					
2B287		<p>Contact grès feldspathique, quartzite, idem précédent.</p> <p>Plissement:</p> <p><u>Nord</u></p>  <p>Axe</p>   <p>Pli d'entraînement majeur.</p> <p><u>Sud</u></p>  <p>Fracturation parallèle au linéament.</p>  <p>densité > 10 sur 3 mètres d = 1 régional parallèle au linéament</p> <p>Côté W du linéament.</p>  <p>Quartzite vis-à-vis quartzite. Grès feldspathique vis-à-vis grès feldspathique.</p> <p>⇒ Aucun déplacement le long du linéament.</p>			


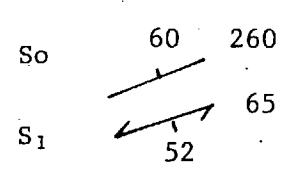
Statistiques

STATION	RA SPP2	DESCRIPTION	FORMATION	ECHAN- TILLON	ANALYSE
2B288	25	<p>Quartzite blanc et rose à stratification oblique; banc métrique.</p> <p>So  Polarité vers le NW 75 pli déversé</p> <p>Quartzite supérieur.</p>			
2B289		<p>Grès feldspathique blanc rosé grossier et schisteux.</p> <p>So 00-00</p> <p>S₁  65 65</p> <p>Les plis à pendages abrupts ne dépassent pas 20 mètres et tout l'ensemble de la séquence a tendance à penter vers le NW ou à l'horizontale.</p>			
2B290		<p>Aucun déplacement sur le linéament entre 288 et 290.</p> <p>Quartzite nettement chenalisant dans les grès feldspathiques.</p> <p>Quartzite supérieur sur grès feldspathique. Quartzite blanc en banc de 1 à 2 m.</p> <p>S oblique</p> <p>So  70 80 Polarité vers NW Pli déjeté, déversé</p> <p>Fracture 355-85. Aucun déplacement.</p>			

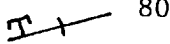
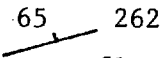
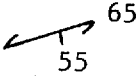

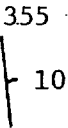
Statistiques

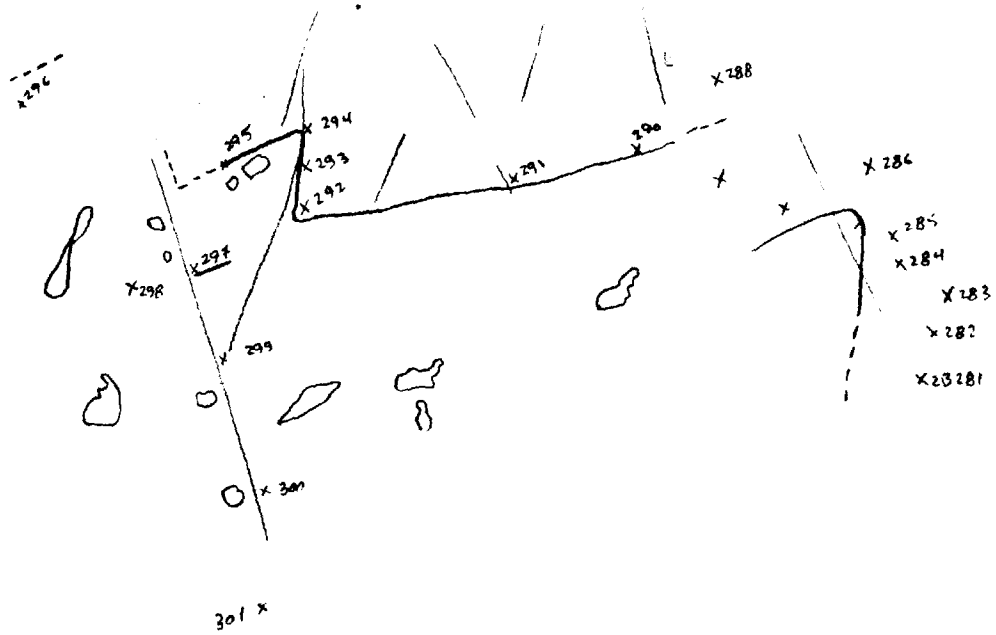
STATION	RA SPP2	DESCRIPTION	FORMATION	ECHAN- TILLON	ANALYSE
2B291		<p>Quartzite blanc et rosé, superposition de cuiller (S oblique) sans lamines parallèles, niveau intercouche très schisteux, banc de 1 à 1.5 m. Quartzite supérieur.</p> <p style="text-align: center;">So  Polarité vers NW Pli déversé</p>			
2B292		<p>Contact quartzite supérieur. Grès feldspathique à galet flottant.</p> <p style="text-align: center;">So  Pli d'entraînement.</p>			
2B293		<p>Quartzite supérieur seulement.</p> <p style="text-align: center;">So  On passe une charnière de pli avec redressement du pendage (pente moyenne angle 45° ?)</p>			
2B294		<p>Contact quartzite supérieur. Grès feldspathique.</p> <p style="text-align: center;">So  Polarité NW Pli déversé</p>			
2B295		<p>Contact: Quartzite, grès feldspathique.</p> <p>Belles stries de glissement, bloc supérieur monte </p>			

Statistiques

STATION	RA SPP2	DESCRIPTION	FORMATION	ECHAN- TILLON	ANALYSE
2B296		<p>De ce côté NW, le grès feldspathique et le quartzite supérieur sont en général pentés vers le NW, parallèlement à la pente topographique (pente < 45°) selon un système en marches d'escalier complexe.</p>  <p>Ce système pourrait impliquer une surface de décollement à la base des grès mais ce n'est pas le cas ici. Les bancs se servant de l'intercouche bougent l'un relativement à l'autre, accommodant la perte du socle de façon continue mais faible en chaque point.</p> <p>Ici faible "cap" de quartzite (sub-horizontal) annonçant la réapparition probable du quartzite plus au NW. Aucune mesure possible.</p>			
2B297		<p>Contact: Grès feldspathique, quartzite supérieur.</p> <p>Quartzite rosé, plus massif, légèrement schisteux avec en contact, peu de structures sédimentaires.</p> 			
2B298		<p>Quartzite rosé massif, idem précédent. Toujours légèrement schisteux surtout à l'intercouche. Un peu plus de S obliques.</p>			

Statistiques

STATION	RA SPP2	DESCRIPTION	FORMATION	ECHAN- TILLON	ANALYSE
2B299		<p>Quartzite rose, banc de 1 à 2 m, S oblique, S₁ intercouche, lamination rouge et blanche irrégulière. Quartzite supérieur.</p> <p>So  80 Polarité probablement NW</p>			
2B300	50 cps	<p>Grès feldspathique sous (quartzite) rose mal lité à fragment de pélite rouge, de quartzite et de feldspath arrondi. Parfois subarkosique (15% feldspath). Grain de 1 à 4 mm. Schisteux. Galet flottant.</p> <p>So régional, faiblement penté vers le NW.</p> <p>So sur petit pli  65 262 flanc déjeté</p> <p>S₁  65 55</p>			
2B301		<p>Quartzite blanc à rosé à S oblique, bien lité 1 à 2 m, localement légèrement feldspathique.</p> <p>Plissement:</p> <p>Nord  65 polarité NW</p> <p>Sud et régional  355 10 polarité normale</p> <p>Position stratigraphique <u>incertaine</u>. Plus probable sus-jacent ou grès feldspathique.</p>			



Reverso W
1/15840

Q64364-119

— Contact
tel qui observé
sur terrain

PROJET: MONTS OTISH

Jean Beaudin
François Schumacher

FICHE D'AFFLEUREMENT

DATE: 11 septembre 1980

LOCALISATION: Lac Pollet, Q63142-73

STATISTIQUE:

KM DE COUPE: 1,2 km

KM RADIOMETRE: 1,2 km

STATION	RA SPP2	DESCRIPTION	FORMATION	ECHAN- TILLON	ANALYSE
2B302	75 à max. 350	<p>Quartzite, grain (.2 à .3 mm), banc métrique, passée conglomératique en lentille, galet flottant (quartz blanc >> quartz vitreux). Teinte blanche à passée diffuse vert pomme pâle. Point d'hématisation locale.</p> <p>Schistosité ou fissilité (parallèle au So) intercouche dans les grès légèrement feldspathiques ou sériciteux.</p> <p>EST OUEST</p> <p>So 04 105 08 75</p> <p>Fracturation</p> <p>150 87 162 densité = 10 sur 2 mètres, se répétant fréquemment</p> <p>Passée conglomératique >350 cps thorifère ? avec altération ocre.</p> <p>140 Majeur</p> <p>Départ à droite 170-90 = dextre</p> <p>Les galets semblent décalés senestres ?</p> <p>Placage de quartz à l'intercouche ≈ métrique</p> <p>Veine de quartz blanc cm.</p> <p>78 255</p>			



Lac Pollet

Q63142-73

~ 1/31,000

PROJET: MONTS OTISH

Jean Beaudin
François Schumacher

FICHE D'AFFLEUREMENT

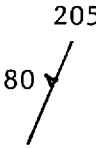
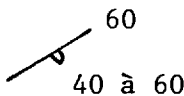
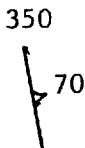
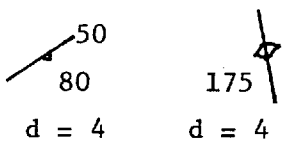
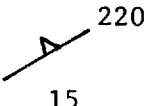
DATE: 12 septembre 1980

LOCALISATION: Indice S, au SE de la butte

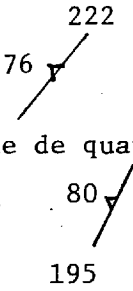
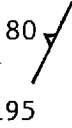
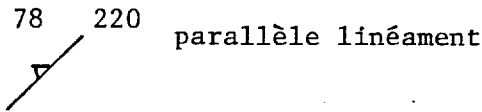
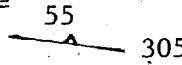
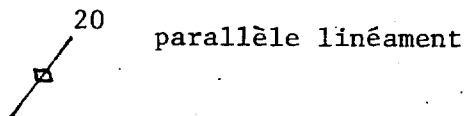
STATISTIQUE:

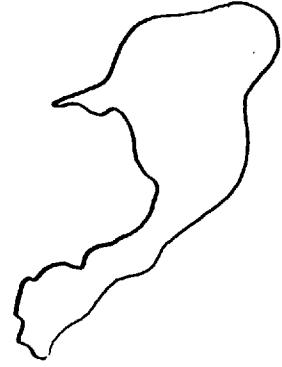
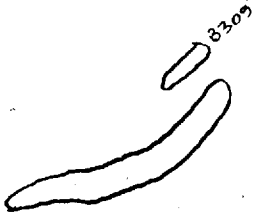
KM DE COUPE: 2,5 km

KM RADIOMETRE: 2,5 km

STATION	RA SPP2	DESCRIPTION	FORMATION	ECHAN- TILLON	ANALYSE
2B303		= 2P351 Fracture légèrement bréchifiée.  sur 10 cm, légère recristal- lisation; teinte grisâtre			
2B304		= 2L284 Veine de quartz noir 			
2B305		Fracturation: Densité locale = 10 long. > 3 m 			
2B306		= 2L286 Fracturation en losange.  découpage en losange			
2B307		= 2P356 Dizaine de veines de quartz blanc.  sub-parallèle ? ou So ou S oblique			

Statistiques

STATION	RA SPP2	DESCRIPTION	FORMATION	ECHAN- TILLON	ANALYSE
2B307 suite		Epaisseur cm, l = 3 m dans faciès de grès hétérogranulaire de teinte mauve à noire, en flamme.			
2B308		<p>Zone cisailée. Fracturation:</p>  <p>d > 10 local allure tectonisée broyée par fracture</p> <p>Veine de quartz, 3 cm x 2 m x ?</p>  <p>Il semble que toutes les fractures précédemment décrites soient associées à un linéament parallèle à la rupture de pente. L'abondance du quartz quelle que soit sa direction, lui est parallèle.</p> 			
2B310		<p>Quartzite laminé rose à mauve. Veine de quartz sécante</p>  <p>l = 1 m, 3 à 5 cm</p> <p>Cristaux cm de quartz impliquant une certaine ouverture.</p> <p>Fractures l > 10 m</p> 			



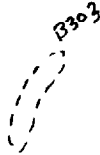
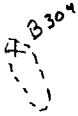
x B306

x B305

x B307

+ B308

+ B310



Ortho plan
1/10,000

Indices S, sud est

PROJET: MONTS OTISH
 Jean Beaudin
 Serge Genest

FICHE D'AFFLEUREMENT

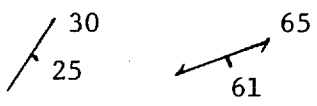
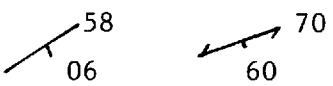
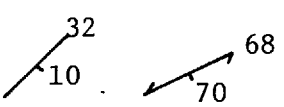
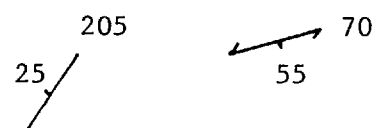
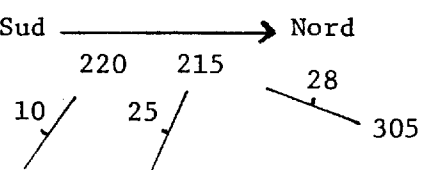
DATE: 21 juin 1980

LOCALISATION: Près du lac Kerveso, Photo 64321-157

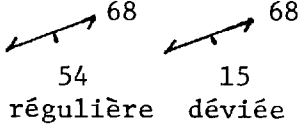

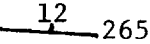
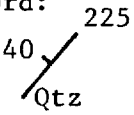
STATISTIQUE:

KM DE COUPE: 1,8 km

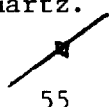
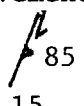
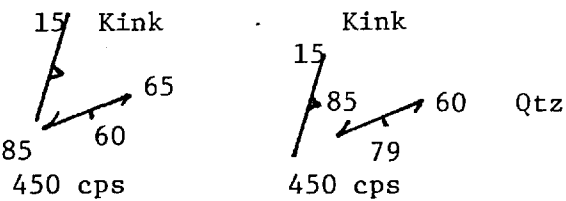
KM RADIOMETRE: 2 x 1,8 km

STATION	RA SPP2	DESCRIPTION	FORMATION	ECHAN- TILLON	ANALYSE
2B61		Orthoquartzite avec fragment rouge (1-2 m) 	14		
2B62		Orthoquartzite à fragment rouge. 	14		
2B63		Orthoquartzite rouge laminé. 	16		
2B64		Orthoquartzite à fragment rouge. 	14		
2B65		≈ IDEM précédent. Sud → Nord 	14		

Statistiques

STATION	RA SPP2	DESCRIPTION	FORMATION	ECHAN- TILLON	ANALYSE
2B65 suite		Pli métrique avec intercouche très schisteuse et veine de quartz et placage de quartz strié dans l'intercouche.			
2B66		IDEM précédent. Crochon dans la schistosité.  Veine de quartz régulière déviée 23 220	14		
2B67		IDEM 	14		
2B68		IDEM Aucune mesure possible.	14		
2B69		Orthoquartzite à fragment rose (1 à 2 mm) à intercouche très cisailée (80 à 150 cps). Sud → Nord  Stries intercouches indiquant que la stratification supérieure a chevauché vers le Nord la strate inférieure avec beaucoup d'amandes de quartz dans l'intercouche. Ceci implique d'ailleurs un degré d'ouverture important dans l'intercouche. Nord:  possiblement parallèle au So	14		

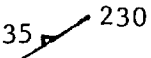
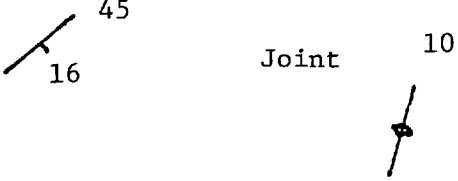
Statistiques

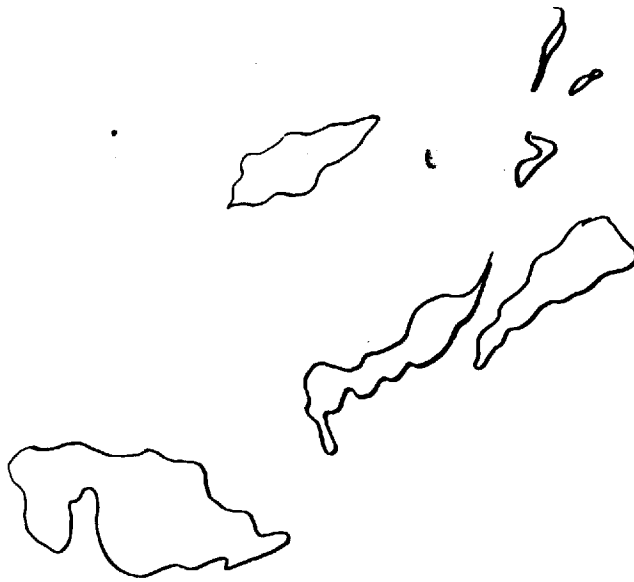
STATION	RA SPP2	DESCRIPTION	FORMATION	ECHAN- TILLON	ANALYSE
2B69 suite		<p>Faille mineure cisailée et veinée de quartz.</p>  <p>Faille avec cisaillement et quartz</p> <p>55</p>			
2B70		<p>Orthoquartzite rose très schisteux à l'intercouche et sur fracture.</p> <p>Zone de "kink bands" d'environ 1 mètre de large sur 10 mètres de long, de direction N-15-85, avec des fentes de quartz (fente de tension) de 30 cm à tous les mètres.</p> <p>Le mouvement semble dextre</p>  <p>85 Dextre</p> <p>15</p> <p>Quelques points anomaux à l'intersection des kink bands et soit de la schistosité N-65-60.</p>  <p>15 Kink Kink</p> <p>85 65 15 60 Qtz</p> <p>60 79</p> <p>450 cps 450 cps</p> <p>Seule l'intersection est minéralisée.</p> <p>Donc le contrôle majeur semble être le kink avec deux points et une zone à 300 cps.</p>	14		
2B71		<p>Quartzite rose très fin laminé avec quelques fragments conglomératiques flottants. Nous croyons que la teinte pourrait être aléatoire.</p> <p>Sur le côté ouest du linéament N-140, peut-être avons-nous un dôme à double plongée.</p>	16		

Statistiques

STATION	RA SPP2	DESCRIPTION	FORMATION	ECHAN- TILLON	ANALYSE
2B-72		<p>Quartzite rose massif à occasionnelle- ment laminé.</p> <p><u>Nord</u> 238</p> <p> 07 ↘</p> <p>Cette région est le sommet relative- ment plat de la zone de charnière d'un pli kilométrique.</p> <p>Veine de quartz courbe de 20 cm de lar- geur, bordée d'une zone sériciteuse, ce qui est presque toujours le cas pour ces veines.</p> <p> 70 ↘</p> <p> 75</p> <p>80 ↘ 215</p> <p>Noeud de quartz de 30 cm.</p> <p><u>Sud</u> 53</p> <p> 15</p> <p>avec stries intercouches très réguliè- res.</p> <p> ↙ ↙</p> <p> 150-10 158-25</p>	14		
2B73		<p>Quartzite</p> <p> ↘ 60</p> <p> 20 ↙</p> <p> ↙ ↘</p> <p> 152-16</p> <p>Stries</p> <p>Fracture possiblement parallèle à la stratification.</p> <p>Joint parallèles à un linéament.</p> <p> ↘ 48</p> <p> 60</p>	14		

Statistiques

STATION	RA SPP2	DESCRIPTION	FORMATION	ECHAN- TILLON	ANALYSE
2B74		IDEM 2B61.  Veine de quartz dans l'intercouche de 10 mètres par 20 cm.	14		
2B75		Quartzite blanc.  Une constante: beaucoup du mouvement tectonique est assumé par l'intercou- che qui est d'ailleurs cisailée (sé- ricitisation) fréquemment en crochons et striée. Les amandes et veines de quartz y sont très fréquentes.	14		



AFF leu.

B 61

à

B. 75



B67
x x A66
B68 x x B65
B64 x B63
B69 x
B70
B71
B73 x B62
x B74
B61

+ A95

x B72

1:15,840

Q 64321

-157

Compte: J. Beaudin
21-6-80

PROJET: MONTS OTISH
 Jean Beaudin
 Alain Girard

FICHE D'AFFLEUREMENT

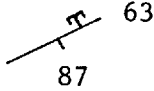
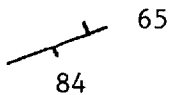
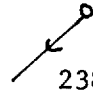
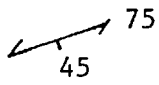
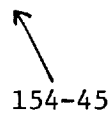
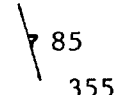
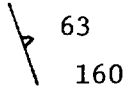
DATE: 23 juin 1980

LOCALISATION: Près anomalie A34, A35 - Lac Kerveso.

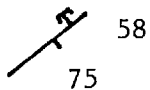
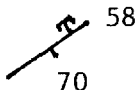
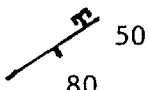
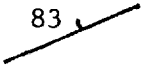
STATISTIQUE:

KM DE COUPE: 3,7 km



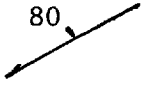

KM RADIOMETRE: 2 x 3,7 km

STATION	RA SPP2	DESCRIPTION	FORMATION	ECHAN-TILLON	ANALYSE
2B76	30-50	<p>Orthoquartzite blanc recristallisé (de .5 à 1.0 mm) avec de grandes stratifications obliques.</p>  <p>Polarité renversée. Flanc déversé vers le nord d'un pli d'ordre kilométrique.</p>	14		
2B77		<p>Grès feldspathique (à 8% de feldspath, principalement dans la matrice) avec de grandes stratifications obliques.</p>  <p>Polarité renversée</p> <p>Pli d'entraînement de 10 cm.</p> <p>Axe:  238-15</p> <p>Schistosité pénétrative.</p>   <p><u>Bloc sud remonté</u></p> <p>Diaclases:</p> <p>Densité 5 </p> <p>Densité 3 </p> <p>près d'un linéament</p>	11		

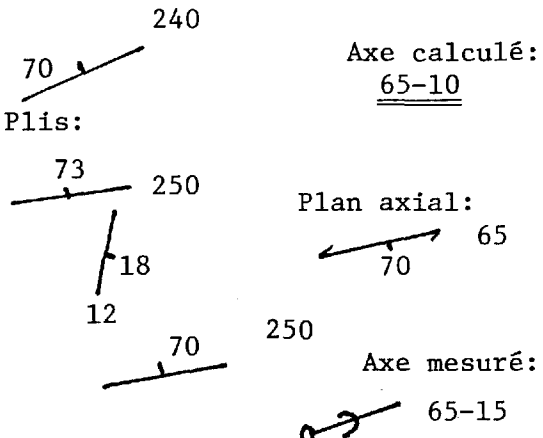

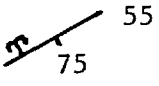
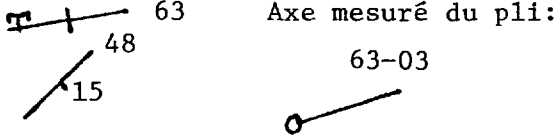
Statistiques

STATION	RA SPP2	DESCRIPTION	FORMATION	ECHAN- TILLON	ANALYSE
2B78		Orthoquartzite à grandes stratifications obliques. Blanc. Avec traces centimétriques rouges. Banc 1 à 2 mètres.  Polarité renversée	15		
2B79		IDEM précédent mais un banc plus mince 0.5 à 1.0 mètre.  Polarité renversée	15		
2B80		Orthoquartzite blanc. Bancs de 0.5 à 2.0 mètres. 	14		
2B81	30- 50	Quartzite blanc en bancs de 30 cm. A proximité de la faille-linéament, la roche prend une teinte rouge brun foncé (hématite ?) dans laquelle on retrouve un vert pomme foncé (altérations de cuivre ?); en s'éloignant, elle prend une teinte vert pomme de foncé à pâle. Peu schistosée, même à l'intercouche. Teinte rouge <30 cm Teinte vert pomme ≈2 mètres 235 	14		

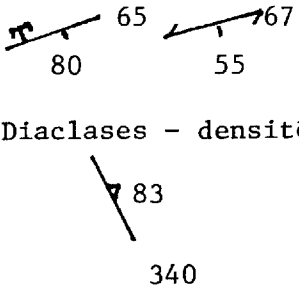
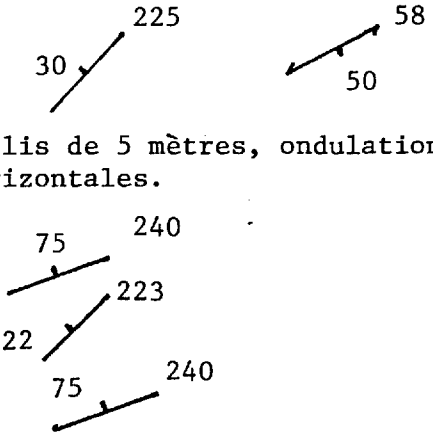
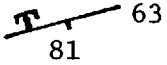
Statistiques

STATION	RA SPP2	DESCRIPTION	FORMATION	ECHAN- TILLON	ANALYSE
2B81 suite		<p>Un pli de 1.5 mètre illustre le style régional du pli d'ordre kilométrique (flanc nord).</p> <p><u>Coupe:</u></p>  <p>Le pli change très brusquement de direction,</p> <p>et sa surface axiale est très difficile à mesurer. C'est un style de plissement inhabituel appelé "box fold" et qui reflète la présence d'une faille sous-jacente dans le socle sur lequel s'est moulée la couverture gréseuse.</p> <p>Plan axial: 50-90</p> <p>Axe mesuré approximativement</p>  <p>50-03</p> <p>Lorsqu'on se déplace vers l'ouest, les grès sont fortement plissés à l'échelle métrique. Ces plis sont indépendants de la faille-linéament.</p>  <p>80</p> <p>235</p> <p>Stries 150-80 Bloc N monte par rapport au S</p> <p>Les plissements indiquent qu'on approche, vers le N, d'un synforme.</p> <p>Diaclases sub-parallèles au linéament:</p>  <p>42 125 48 115</p>			


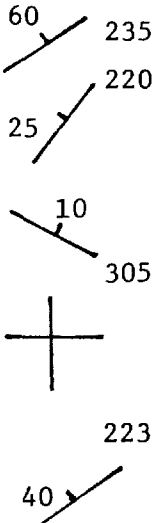

Statistiques

STATION	RA SPP2	DESCRIPTION	FORMATION	ECHAN- TILLON	ANALYSE
2B82	30- 50	<p>Orthoquartzite blanc laminé vert et rouge très pâle en bancs 0.5 à 1.0 m. Granulométrie de 0.5 mm. Peu schisteux.</p> <p>Stratification principale:</p>  <p>Les teintes rouges, vertes → circulation de fluides dans la faille.</p>	16		
2B83		<p>Quartzite rose laminé rouge en bancs 1.5 à 0.5 mètre, schistosé.</p> 			
2B84		<p>Quartzite rose pâle.</p>  <p>Stries verticales, bloc N remonté.</p>	14		
2B85		<p>IDEM précédent.</p> 			

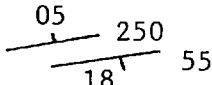
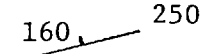
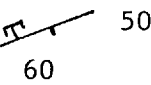
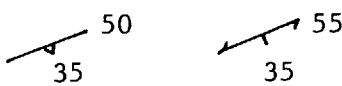
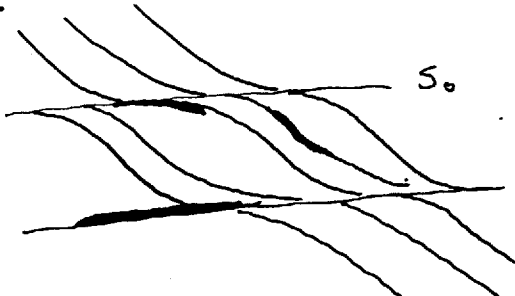
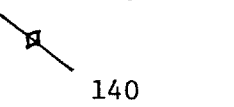
Statistiques

STATION	RA SPP2	DESCRIPTION	FORMATION	ECHAN- TILLON	ANALYSE
2B86		<p>Quartzite blanc en bancs de 0.5 à 1.0 m.</p>  <p>Début de schistosité pénétrative</p> <p>Diaclases - densité = 5 sur 2 mètres.</p>	14		
2B87		<p>Quartzite rose pâle schisteux. Ondulation de la stratification annonçant un antiforme vers le sud.</p>  <p>Plis de 5 mètres, ondulations sub-horizontales.</p>	14		
2B88	50- 80	<p>Changement lithologique. On descend dans la stratigraphie. Quartzite rose schisteux en bancs de 1 à 2 mètres. La schistosité est très pénétrative et l'intercouche devient sériciteuse. La radiométrie est un peu plus élevée dans les faciès très schisteux.</p>	14		
2B89		<p>IDEM</p> 	14		

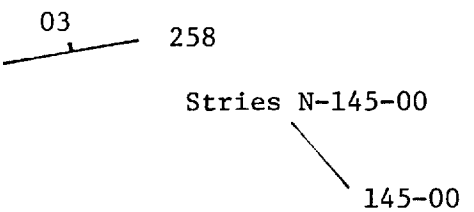
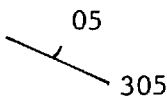
Statistiques

STATION	RA SPP2	DESCRIPTION	FORMATION	ECHAN- TILLON	ANALYSE
2B90	50 Schis- tosité ≈100- 150	Grès feldspathique (8% de feldspath dans matrice) à fragment de quartzite rouge. Très schisteux. Banc plus massif, 30 cm à 2.5 m. Pli d'une veine de quartz. Axe  53-05	11		
2B91		Grès feldspathique (8% de feldspath dans matrice) à fragment de quartzite rouge. Passée conglomératique. Très schisteux. Pli antiforme majeur d'environ 100 mètres.  Dans l'intercouche, crochon de S_1 avec chloritisation locale, séricitisation générale, placage de quartz, quartz en amande et quartz plissé irrégulièrement. Stries de direction générale N-150. Le pli ne se termine pas là. On reste sur une zone ondulée plus ou moins horizontale ou avec un léger pendage sud.	11	Ech. témoin verdâtre rougeâtre	
2B92		IDEM précédent et suite. 	11		

Statistiques

STATION	RA SPP2	DESCRIPTION	FORMATION	ECHAN- TILLON	ANALYSE
2B93		<p>IDEM</p> <p>Synforme déversé vers le nord d'environ 5 mètres</p> <p>Flanc long nord </p> <p>Zone axiale </p> <p>Flanc court déversé </p> <p>Ce pli annonce les plis déversés à pendage nord ou sud de la section nord des affleurements.</p> <p>Plan axial fracturé:</p>  <p>Schistosité très pénétrative avec séricitisation, chloritisation locale et quartz amygdalaire. Crochon intercouche indiquant que le banc supérieur s'est déplacé vers le nord.</p>  <p>Hypothèse: la schistosité a été axiale au pli de ce secteur, mais lors de la poursuite du glissement intercouche (mouvement cassant) la schistosité a été elle-même déformée.</p> <p>Diaclases majeures:</p>  <p>longueur plus de 8 mètres</p>	11		

Statistiques

STATION	RA SPP2	DESCRIPTION	FORMATION	ECHAN- TILLON	ANALYSE
2B94		<p>Grès feldspathique blanc verdâtre à grain fin (.2 à .5 mm) (10% de feldspath surtout dans la matrice). Extrêmement schisteux.</p> <p>Intercouche séréciteuse avec veine de quartz continue et amygdalaire (5 cm).</p>  <p>Sommet entier, sauf flanc nord plutôt à plat.</p>	11		
2B95		<p>Grès feldspathique blanc à rose pâle, à fragment (1 à 2 mm) localement quartzitique rouge - schisteux.</p> 	11		
2B96		<p>IDEM</p> <p>Le train de "boulder" est composé de boulder feldspathique schisteux et de quartzite. Sa source doit être dans l'antiforme, à la zone de transition grès feldspathique-quartzite et à proximité d'une zone de cassure.</p>	11		

PROJET MONTS OTISH

CAMPAGNE 1980

ANNEXE #1 - MINUTES DE TERRAIN

CAHIER #1c - FICHES D'AFFLEUREMENTS

MRN-GÉOINFORMATION 2000

GM 57684

LISTE DES SYMBOLES UTILISES POUR L'ETE 1980

PAR LES GEOLOGUES

(le chiffre 2 précédant l'initiale signifie l'année 1980)

B : Jean Beaudin
J : Robert St-Jean
K : Yves Rougerie
L : Serge Lavoie
M : Claude Marcotte
N : Marc Simard
O : Olivier Simard
P : Patrice Caumartin
S : Bernard Soyer
T : Daniel Tremblay
V : Malcolm Gent
Y : Antoine Yassa

TABLE DES MATIERES
DES ANNEXES

CAHIER #1c

CHAPITRE 1 - PROPRIETES "S" ET "L" ET SECTEUR DU LAC GASCHET

- 1.1 Coupes des propriétés "S" et "L"
 - . Plan #8a, Carte géologique 1:10,000
 - . Plan #8b, Carte géologique de détail 1:1,000
 - . Plan #8c, Colonne stratigraphique 1:2,000
 - . Plan #8d, Coupes/Stations 1:10,000

- 1.2 Coupes du secteur du Lac Gaschet
 - . Plan #9a, Carte géologique 1:15,840
 - . Plan #9b, Colonne stratigraphique 1:2,000

- 1.3 Vérifications des Anomalies A-29, 2A-41

CHAPITRE 2 - SECTEUR DE LA BORDURE NORD

- 2.1 Coupes du Secteur Bordure Nord
 - . Plan #10a, Carte géologique 1:31,680
 - . Plan #10b, Colonne stratigraphique 1:2,000
 - . Plan #10c, Coupes/Stations 1:31,680

CHAPITRE 3 - ETUDES GEOLOGIQUES DANS DIFFERENTS SECTEURS DU BASSIN D'OTISH

- 3.1 Etude de J. Beaudin sur l'axe de Mistassini-Pluto
- 3.2 Péribonca du Nord-Est du Bassin
- 3.3 Sous-bassin de l'Indicateur

CHAPITRE 4 - VERIFICATIONS D'ANOMALIES

- 4.1 Vérification du vol 2B-15; zone de géochimie #10, Anomalie 2A-66
- 4.2 Vérification de la zone de géochimie #15, Anomalies 2A-69, 2A-70

4.3 Vérification Indice Babcock

CHAPITRE 5 - VISITES DE POINTS D'INTERET

5.1 Visite de points d'intérêt du 13 juillet avec H. Knipping et D. Faure

5.2 Visite des Indices "S" et "L" et échantillonnage pour étude métallogénique, F. Ruhlmann

CHAPITRE 6 - SONDAGE DU LAC LAPARRE

. Plan #11, Colonne stratigraphique 1:2,000

TABLE DES MATIERES
DES ANNEXES

CAHIER #1a

CHAPITRE 1 - PROPRIETE "G"

- 1.1 Coupes de la propriété "G"
 - . Plan #1a, Carte géologique "G" Nord 1:10,000
 - . Plan #1b, Carte géologique "G" Sud 1:10,000
 - . Plan #1c, Colonne stratigraphique 1: 2,000
 - . Plan #1d, Coupes/Stations "G" Nord 1:10,000
 - . Plan #1e, Coupes/Stations "G" Sud 1:10,000

- 1.2 Géologie de détail de l'anomalie A-8
 - . Plan #2, Carte géologique 1:500

- 1.3 Vérification des anomalies 2A-16, 2A-17, 2A-5

- 1.4 Coupes à l'Ouest de la propriété "G"

- 1.5 Géologie-Radiométrie fine de l'anomalie A-62
 - . Plan #3a, Radiométrie fine (10x10m).
Données brutes-zonéographie 1:1,000
 - . Plan #3b, Carte des formations superficielles
Relevé des anomalies minérales de la lithologie
1:1,000
 - . Plan #3c, Radiométrie fine (10x10m)
Données corrigées, effet de vol déduit
 - . Plan #3d, Géologie fine

TABLE DES MATIERES
DES ANNEXES

CAHIER #1b

CHAPITRE 1 - SECTEUR "G" EST

- 1.1 Coupes du secteur "G" Est
 - . Plan #4a, Carte géologique 1:15,840
 - . Plan #4b, Colonne stratigraphique "G" Est 1:2,000
 - . Plan #4c, Coupes/Stations 1:15,840

- 1.2 Géologie de détail de l'Anomalie 2A-53
 - . Plan #5a, Carte géologique 1:500
 - . Plan #5b, Plan compteur 1:500

CHAPITRE 2 - SECTEUR 2A-23

- 2.1 Coupes du secteur 2A-23
 - . Plan #6a, Carte géologique 1:15,840
 - . Plan #6b, Colonne stratigraphique 2A-23 1:2,000

CHAPITRE 3 - SECTEUR LAC KERVESO

- 3.1 Coupes secteur Lac Kerveso
 - . Plan #7a, Carte géologique 1:15,840
 - . Plan #7b, Colonne stratigraphique 1:2,000

PROJET: MONTS OTISH

FICHE D'AFFLEUREMENT

DATE: 18/8/80

LOCALISATION: "S", SW du Lac Epsilon

STATISTIQUE: 2C#116

KM DE COUPE: 4.2

KM RADIOMETRE: 6.5

STATION	RA SPP2	DESCRIPTION	FORMATION	ECHAN-TILLON	ANALYSE
2V213	30	Boulders of pink laminated (2-6/cm) ortho-quartzites (fine grained).	Overburden (Indicateur)		
2V214	32	Boulder of carbonate breccia with approx. 20% coarse grained quartz grains. Boulder is .7 m. long (187°) x .4 m. wide and .6 m. thick. Four boulders - max. 1.3 m. (187-201°). Max. size 2x2x2 m. It may be recrystallized sedimentary breccia due to the extent of the boulder cover and thickness but the rock is well crystallized and fairly pure.	Overburden	2V214a	U/Th (F.G.) U: 1.2ppm Th: 6. ppm U/Th: 0.20
2V215	100	Red fine grained sandy siltstone.	Overburden (Péribonca)		
2V216	35	Medium grained gabbro boulders (approx. 90% of overburden). Magnetic deviation in the area.	Overburden (Gabbro d'Otish)		
2V217		Sedimentary carbonate breccia and pink-red sandy siltstone.	Overburden (Péribonca)		
2V218	35	Idem 2V216. 60% gabbro d'Otish boulders, some of which are sheared and epidotized on the shear planes while the rest of the rock is fresh.	Overburden (Gabbro d'Otish)		
2V219	55	Leucocratic gabbro (diorite): - 2% pyrrhotite, usually in the grains of amphibole - 20% medium grained amphibole - 78% medium grained plagioclase.	Gabbro d'Otish	2V219	U/Th (F.G.) U: 0.6ppm Th: 4.0ppm U/Th: 0.15

PROJET: MONTS OTISH

FICHE D'AFFLEUREMENT

DATE: 19/8/80

LOCALISATION: 2C#117

STATISTIQUE: Ouest du lac Epsilon

KM DE COUPE: 4.45

KM RADIOMETRE: 10.0

STATION	RA SPP2	DESCRIPTION	FORMATION	ECHAN- TILLON	ANALYSE
2V220	50	Orthoquartzite. It is pink and finely laminated without any cross-bedding. The lamination is due to fine laminae of medium to fine (most abundant) and very fine grained quartz. The cement is silica. 2 m. thick exposure.	Indicateur (suboutcrop)	2V220	L.M.
2V221	35-40	Medium grained massive, moderately laminated (planar), pink feldspathic sandstone with very infrequent white phases. 4 m. thick exposure.	Indicateur /070,14 /168,90 /053,90		
2V222	35-40	Fine grained, pink, massive, non laminated orthoquartzite.	Indicateur /125,50 /190,44 ψ192		
2V223	45	Idem 2V222.	Indicateur		
2V224	25	Felsenmeer, idem 2V222.	Indicateur		
2V225	40	Massive, non-laminated pink orthoquartzite. There is 6.5 m. thick exposure. There is a gradation of medium, pure grained, orthoquartzite to medium grained feldspathic sandstone back to medium grained pure orthoquartzite which grades up to very fine grained. There are some interbed striae. There is very local (small scale) sedimentary breccia (semi-consolidated at the time of formation).	Indicateur (fort) /317-340,90 /064,90 /011,90		
2V226	30	Laminated fine and silt size quartz, feldspathic sandstone.	Indicateur		

Statistiques 2C#117

STATION	RA SPP2	DESCRIPTION	FORMATION	ECHAN- TILLON	ANALYSE
2V227	40	Idem 2V225.	Indicateur		
2V228	45	Idem 2V226. Possibly some cross-ripple laminations are present but poorly manifested.	Indicateur / 317,12 / 038,90 / 310,82		
2V229	35-40	Medium grained pink feldspathic sandstone. The beds are massive and approx. 1 m. thick.	Indicateur / 150,85		
2V230		Pink, fine and medium grained, massive orthoquartzite with some areas having a 1 mm. interstitial mineral that alters to dark brown. There is a 9 m. thick exposure.	Indicateur / 325,90 / 063,83 / 024,90	2V230	L.M.

PROJET: MONTS OTISH

FICHE D'AFFLEUREMENT

DATE: 21/8/80

LOCALISATION: sud de la propriété "S"

STATISTIQUE: 2C#118

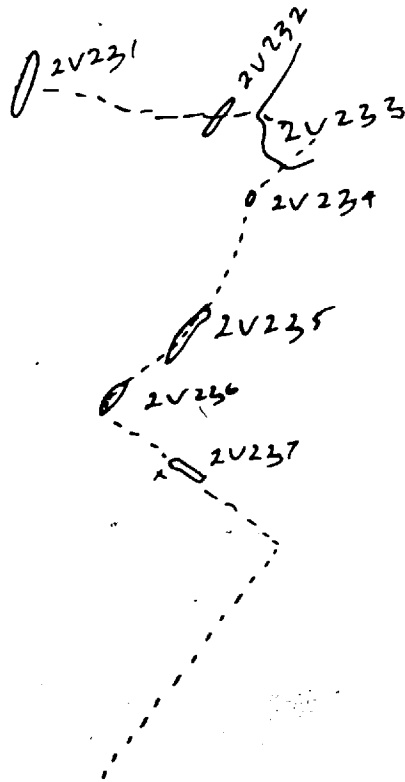
KM DE COUPE: 4.45

KM RADIOMETRE: 9.0

STATION	RA SPP2	DESCRIPTION	FORMATION	ECHAN-TILLON	ANALYSE
2V231	75	Red, calcareous siltstone with centimetric, lenticular bedding (ripples?). Minor cross-bedding is present. 4 m. thick sequence exposed. CaCO ₃ is present as green nodules in the siltstone.	Indicateur ↙ 020,8 ↗ 120	2V231	
2V232	75-80	Pink, slightly silty, fine to medium grained feldspathic sandstone with a few mauve spots. There are some beds with vugs of carbonate.	Indicateur ↙ 070,12 ↙ 120,90 ↙ 212,86		
2V223	80-85	A calcareous, argillaceous, very fine grained mauve sandstone. There are calcareous lenses as well as carbonates in the matrix.	Indicateur ↙ 027,10 ↙ 145,72 ↙ 216,78		
2V234	75	Idem 2V222. 1 m. thick exposure.	Indicateur		
2V235		Idem 2V222. Pink, fine grained feldspathic sandstone to subarkose. There are a few, approx. 3%, microconglomeratic granules of subrounded to subangular quartz. Bands of disseminated hematite indicate that there has been significant slumping. There are some quartz stringers at 324,70°.	Indicateur Quartz, ↘ 324,70 ↘ 324,83 ↘ 011,90	2V235	
2V236	55	Pink, fine grained subarkose with occasional subangular to subrounded quartz granules (<5 mm.).	Indicateur		
2V237	100	Purple, silty subarkosic greywacke with rounded to subangular quartz grains. There are lenses of argillaceous siltstone, very coarse grained subarkose to arkose, medium grained silty feldspathic sandstone, etc.	Indicateur	2V227	U/Th (F.G.) U Th U/Th

Λ

E



✓

Statistiques 2C#118

STATION	RA SPP2	DESCRIPTION	FORMATION	ECHAN- TILLON	ANALYSE
2V238	35	A medium to coarse grained gabbro with a true diabasic texture and very fresh lustrous amphiboles. The gabbro is present as very large (4x3x1.5 m. and 4x4x3 m.) boulders of probably very local origin.	Overburden (Gabbro d'Otish?) (suboutcrop)	2V228	
2V239	80	Mauve sandy calcareous siltstone. There are small 1-.5 cm thick 1-4 cm long pinkish cream coloured calcareous lenses. Beds average approx. 15-20 cm thick and there is minor cross-bedding. A 8 m. thick sequence is exposed.	Indicateur / 080,5 NE / (042°) / 000,77 / 243,83		



⊕ 2V238

2V238



Q6436A
114

PROJET: MONTS OTISH

FICHE D'AFFLEUREMENT

DATE: 22/8/80

LOCALISATION: Propriété "S"

STATISTIQUE: 2C#119

KM DE COUPE: 2.1

KM RADIOMETRE: 4.3

STATION	RA SPP2	DESCRIPTION	FORMATION	ECHAN- TILLON	ANALYSE
2V240	45	White, fine grained, saccharoidal arkose.	Indicateur ↙ 311,85	2V240	
2V241	55-60	White, fine grained saccharoidal feldspathic sandstone to subarkose.	Indicateur ↙ 320,86		
2V242	35-40	Idem 2V240 but pink.	Indicateur 041,77		
2V243	50	Pink, very fine and medium grained, laminated subarkose. The quartz grains are well rounded but the feldspar grains are nebulous in form and may be recrystallized feldspathic matrix. There is minor ripple size cross-bedding.	Indicateur ↙ 004,17	2V243 a	U/Th (F.G.)
2V244	45-50	Idem 2V243. There is a 8 m. thick exposure. The grain size grades from an average of medium to fine at the base to medium fine to very fine at the top.	Indicateur ↙ 006,16 ↙ 336,80 ↙ 026,75		
2V245	50	Idem 2V244 (1.5 m. thick) overlaying a beige equivalent of 2V244 and composed of medium grained laminated with fine grained subarkose.	Indicateur ↙ 085,11 ↙ 1042,34 ↙ 331,82		
2V246	1500- 5000 2A68	Boulders of sheared and altered gabbro with two 2-3 mm. veins of quartz and carbonate. l: 024 ^o - 38 cm x 26 x 14 cm r: 4 cm. Subrounded.	Overburden (Gabbro d'Otish)		

Statistiques 2C#119

STATION	RA SPP2	DESCRIPTION	FORMATION	ECHAN- TILLON	ANALYSE
2V247	40-45	Idem 2V243. Fine and medium (2 grain sizes) laminated pink subarkose with large scale cross-bedding, the upper unit being 090,27 and the lower 351,39. Probably a river dominated deltaic sequence.	Indicateur / 091,27 / 351,39 Indicateur		
2V248	40	Massive pink, two grain size (very fine and medium) subarkose to feldspathic sandstone.	Indicateur / 345,85		
2V249	45	Idem 2V247. Some 5 m. cross-bedding (121,40) but generally 351,19, the (.5 m) cross-bedding is in a beige coloured facies.	Indicateur / 121,40 / 351,19		
2V250	40	Idem 2V247. There are a few red alteration spots. There are a few 1 mm. thick quartz stringers at 011°.	Indicateur / 042,16 / 329,86 / 096,90		
2V251	40-45	Idem 2V250. Cross-bedding approx. 1 m. thick is more abundant up the sequence with the grain size diminishing and massive beds becoming more predominant.	Indicateur / av.020,14		
2V252	35-40	Vitreous, pink, fine grained subarkose. There are massive as well as finely laminated phases. Cross-bedding is not evident.	Indicateur / 026,6 / 211,84		

PROJET: MONTS OTISH

FICHE D'AFFLEUREMENT

DATE: 23/8/80

LOCALISATION: Propriété "S"

STATISTIQUE: 2C#120

KM DE COUPE: 2.0

KM RADIOMETRE: 4.1

STATION	RA SPP2	DESCRIPTION	FORMATION	ECHAN-TILLON	ANALYSE
2V253	40	<p>Pink, medium grained, laminated subarkose. Some feldspar grains are red (stained?) while others are white. There are some coarse grained facies.</p> <p>At the base of the outcrop, there is a calcareous equivalent of the above but with abundant slumping and breccia in parts.</p>	<p>Indicateur</p> <p>↙ 056,17</p> <p>↘ 160,83</p>		
2V254	35-40	<p>Idem 2V253. A medium to coarse grained, pink laminated subarkose. There are lenses which have eroded but faster and may have calcareous, feldspathic cement.</p>	<p>Indicateur</p> <p>qz. stringers</p> <p>↙ 267,83</p> <p>↘ 036,22</p> <p>↙ 206,87</p> <p>↘ 150,90</p>		
2V255	40-65	<p>Idem 2V254 but with a .7 m. thick feldspathic sandstone equivalent (pink, weathering to off white) 65 cps.</p>	<p>Indicateur</p> <p>↙ 000,9</p>		
2V256	30	<p>A ¼ m. thick exposure of a medium to fine grained subarkose with spots of calcite up to 1 cm. across.</p>	<p>Indicateur</p>	2V256	
2V257	40	<p>Idem 2V251. Outcrop 0.5 m. high.</p>	<p>Indicateur</p>		
2V258	50	<p>A two grain size (medium and very fine) pink subarkose to feldspathic sandstone. There are no calcareous phases, it is well laminated and the quartz grains vary from angular to well rounded.</p>	<p>Indicateur</p> <p>↙ 046,8</p> <p>↘ 203,81</p> <p>↙ 086,90</p>		
2V259	35-40	<p>Pink and white laminated feldspathic sandstone and subarkose (fine to medium grained)</p>	<p>Indicateur</p> <p>↙ 338,17</p> <p>↘ 262,66</p>		

Statistiques 2C#120

STATION	RA SPP2	DESCRIPTION	FORMATION	ECHAN- TILLON	ANALYSE
2V260	45-55	Pink, medium grained and fine grained feldspathic sandstone to subarkose. It is well laminated with no evidence of crossbedding and calcareous cement.	Indicateur ↙ 046,8 ↘ 169,74		
2V261	45	Idem 2V260.	Indicateur		
2V262	45	Massive, medium grained, pink feldspathic sandstone with a very fine grained feldspar and quartz matrix.	Indicateur ↙ 324,85 ↘ 223,82 ↘ 074,90		
2V263	45	Idem 2V261. There is a general steeping of dip to the SE. There are some calcareous (interstitial only) layers.	Indicateur ↙ 058,24		
2V264	45-55	A breccia of the above 2V263 possibly due to folding of the above (i.e. is the nose of the fold). There is frequently a quartz filling between the competent (i.e. more consolidated and usually feldspar poor) rock and a sandy plastic type filling in the breccia of the incompetent rock types (usually subarkoses).	Indicateur ↙ 332,9 ↘ 345,86 ↘ 211,81		

PROJET: MONTS OTISH

FICHE D'AFFLEUREMENT

DATE: 18 août 1980

LOCALISATION: Propriété "S"

STATISTIQUE: Coupe 2C 121

KM DE COUPE: 5,2 km

KM RADIOMETRE:

STATION	RA SPP2	DESCRIPTION	FORMATION	ECHAN- TILLON	ANALYSE
2J-240	75- 120	Amas de blocs d'arénite silteuse et de sil- tite rouge à passées grises. R.A. maximale.	Indicateur		
2J-241	20	Affleurement 3 m d'épaisseur. Orthoquartzite blanc recristallisé, ciment calcareux, très bréchifié avec remplissage de calcite et de calcite dolomitique.	Indicateur	2J-241b 2J-241a	L.M.

PROJET: MONTS OTISH

FICHE D'AFFLEUREMENT

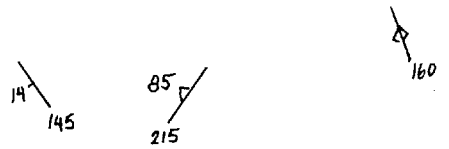
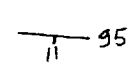
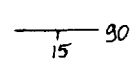
DATE: 19 août 1980

LOCALISATION: Propriété "S"

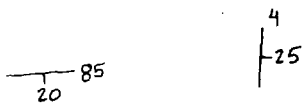
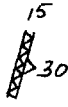

STATISTIQUE: Coupe 2C 122

KM DE COUPE: 4,3 km

KM RADIOMETRE:

STATION	RA SPP2	DESCRIPTION	FORMATION	ECHAN- TILLON	ANALYSE
2J-242	30- 35	Affleurement sur le flanc de la falaise; gabbro verdâtre, environ 50% mafiques + olivines, 50% feldspaths pyriteux.	Gabbro d'Otish		
2J-243	50	Affleurement environ 6 m d'épaisseur; grès feldspathique beige à rosé, environ 50% feldspaths roses, deux granulométries moyennes et fines, à rubanement 2-3 mm. 	Indicateur	2J 243~	L.M.
2J-244		Affleurement environ 1.5 m d'épaisseur; grès feldspathique rose à deux granulométries, IDEM station 2J-243. 	Indicateur		
2J-245	40 cps	Affleurement environ 6 m d'épaisseur; grès feldspathique à deux granulométries, IDEM stations 2J-243-244. 	Indicateur		

Statistiques

STATION	RA SPP2	DESCRIPTION	FORMATION	ECHAN- TILLON	ANALYSE
2J-246	40	<p>Affleurement 4 m d'épaisseur; grès feldspathique rose, IDEM 2J-243, 244, 245.</p>  <p>Veines de quartz jusqu'à 5.8 cm d'épaisseur.</p> 	Indicateur		
2J-247	35	<p>Affleurement 2.0 m d'épaisseur; gabbro à olivines, grain moyen, massif; un peu hématisé par endroit.</p> 	Gabbro d'otish		

PROJET: MONTS OTISH

FICHE D'AFFLEUREMENT

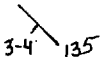
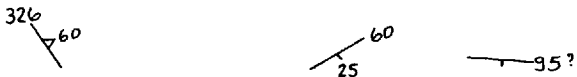
DATE: 20 août 1980

LOCALISATION: Hors propriété (Sud-ouest de "S")

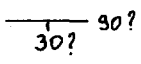
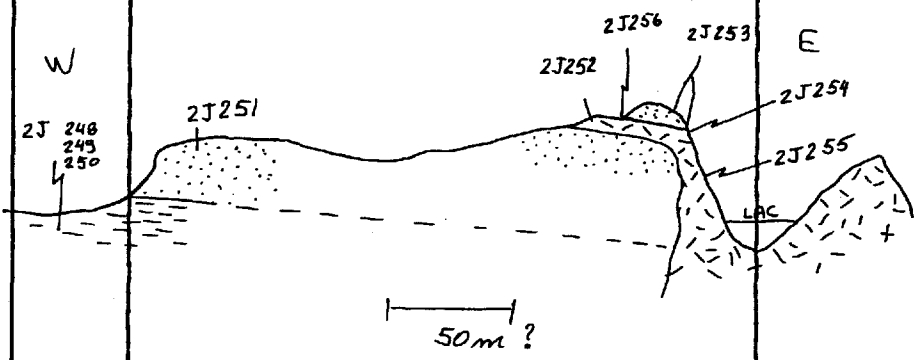
STATISTIQUE: Coupe 2C-123

KM DE COUPE: 4,6 km

KM RADIOMETRE:

STATION	RA SPP2	DESCRIPTION	FORMATION	ECHAN- TILLON	ANALYSE
2J-248	75	Sub-affleurement dans la pente, arénite fine, silteuse, rouge violacé.	Indicateur		
2J-249	75- 80	Affleurement 1.5 m. Arénite fine, silteuse, rouge violacé; petites géodes de couleur grise à verte, de dolomie calcareuse.	Indicateur	2J-249a	
					
2J-250	70- 75	Affleurement 0.7 m. Arénite fine, silteuse, rouge violacé. IDEM 2J-249.	Indicateur		
2J-251	90- 100	Affleurement >15 m d'épaisseur. Arénite moyenne à fine, silteuse, plus ou moins silicifiée de couleur rose; beige- crème en altération. Niveaux d'arkose, d'orthoquartzite, lits lenticulaires d'environ 20-30 cm à 1 m d'épaisseur, interlits d'argile violacée; failles interlits et schistosité associées. Galets d'arénite silteuse, rouge violacé, IDEM 2J-249, semble localement bréchifiée. Le sens de transport semble être vers le sud ??? Au sommet, on observe un banc 2 m d'épais- seur d'arénite silteuse, rouge violacé.	Indicateur	2J-251a	
					

Statistiques

STATION	RA SPP2	DESCRIPTION	FORMATION	ECHAN- TILLON	ANALYSE
2J-252	50	Affleurement 1.5 m d'épaisseur. Gabbro à grain moyen, fracture dans un peu tous les sens. Petites veinules de quartz. Feldspaths rosés localement. Pyrite, chalcopyrite, malachite, chlo- rite.	Gabbro d'Otish	2J-252a	
2J-253	50	Affleurement 1 m d'épaisseur. Arénite et arénite silteuse, rouge violacé à rose, hématisée. ≈ IDEM station 2J-251. Affleurement assez mauvais. <div style="text-align: center;">  </div> En-dessous de cet affleurement, on observe un contact entre le gabbro en dessous et les sédiments au-dessus, ce qui suppose la présence d'un sill de gabbro.	Indicateur		
2J-254	30-35	Affleurement 1 m d'épaisseur. Gabbro à grain fin, pyriteux.	Gabbro d'Otish		

Statistiques

STATION	RA SPP2	DESCRIPTION	FORMATION	ECHAN- TILLON	ANALYSE
2J-255	35	Affleurement à peu près continu le long du lac. Gabbro à grain fin, très fracturé dans toutes les directions.	Gabbro d'Otish		
2J-256	75- 125	Affleurement 1.5 m d'épaisseur. Gabbro d'Otish, gris verdâtre, à grain fin. Injecté dans des sédiments très fins, altérés, à peu près semblable à la station 2J-251. Sédiments très fins et altérés. - affleurement mauvais - très fracturé et altéré	Gabbro d'Otish et Indicateur		
2J-257	85	Affleurement 1.5 m d'épaisseur. Arénite à grains fins, rose à rose violacé; très altérée et fracturée. 315° / 55°	Indicateur	2J-257a	
2J-258	65- 70	Affleurement 1.0 m d'épaisseur. Arénite silteuse, rouge violacé.	Indicateur		
2J-259	75 cps	Affleurement 1 m d'épaisseur. Arénite silteuse, rouge violacé. Taches verdâtres à beiges (petits nodules de dolomie calcaireuse). 30° / 20°	Indicateur		
2J-260	60- 70	Sub-affleurement d'arénite silteuse, rouge violacé.	Indicateur		

PROJET: MONTS OTISH

R. St-Jean
Y. Bisson

FICHE D'AFFLEUREMENT

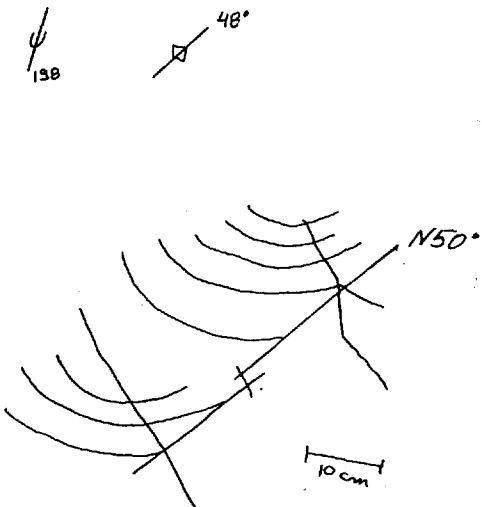
DATE: 22 août 1980

LOCALISATION: Propriété "S"

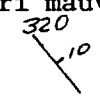
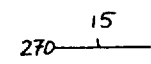
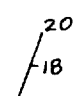
STATISTIQUE: Coupe 2C-124

KM DE COUPE: 2,3 km

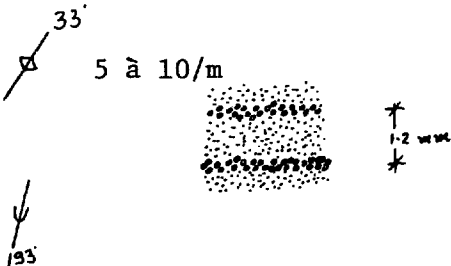
KM RADIOMETRE:

STATION	RA SPP2	DESCRIPTION	FORMATION	ECHAN- TILLON	ANALYSE
2J-261	30- 35	Petit affleurement ou sub-affleurement 0.7 m d'épaisseur. Grès feldspathique à ciment feldspathique blanc. 3 à 5% de grains rouges, laminae millimé- triques, grain moyen; laminae centimétri- ques de couleur ocre; passées poreuses centimétriques.	Indicateur		
2J-262	25	Affleurement 2 m d'épaisseur. a) Sub-arkose beige à rosée, laminations centimétriques ± évidentes, grain moyen, tri bon, taches d'oxydation rouge. Bancs plus ou moins lenticulaires,  Fractures courbes (reliées à un phénomène glaciaire ?) surmontés de	Indicateur		

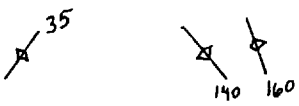
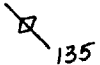
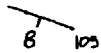
Statistiques

STATION	RA SPP2	DESCRIPTION	FORMATION	ECHAN- TILLON	ANALYSE
2J-262 suite		b) 2.0 m de sub-arkose rose, laminae centimétriques, grain moyen à grossier, tri mauvais.  litage ?			
2J-263	50	Affleurement 2 m d'épaisseur. Arkose beige rosé, environ 25% de feldspaths plus ou moins recristallisés. 	Indicateur		
2J-264	45- 50	Affleurement environ 10 m d'épaisseur. Grès feldspathique, gris rougeâtre, très hématisé, environ 10-15% de feldspaths interstitiels. Grain moyen à grossier, tri mauvais, laminae centimétriques, mauvais affleurement.	Indicateur	2J-264a	
2J-265	45-50	Affleurement 2.0 m d'épaisseur. Grès feldspathique rose, environ 10-15% feldspaths, quelques pourcentages de grains roses, tri mauvais. Grain moyen à grossier, laminae centimétriques, taches et laminae de couleur gris foncé métallique (hématite ?) 	Indicateur	2J-265a	

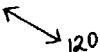
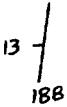
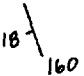
Statistiques

STATION	RA SPP2	DESCRIPTION	FORMATION	ECHAN- TILLON	ANALYSE
2J-266	55-60	<p>Affleurement 10-15 m d'épaisseur. IDEM station 2J-269 alternant avec des lentilles d'arkose rose saumon à deux granulométries. Grain fin et grossier, microconglomératique, tri très mauvais; granules en laminae centimétriques.</p> 	Indicateur		
2J-267	40-50	<p>Affleurement 1.0 m d'épaisseur. Sub-arkose à arkose blanche, microconglomératique à granules arrondis de quartz. → arénite à deux granulométries; les granules sont alignés en laminae.</p>	Indicateur		
2J-268	45	<p>Même localisation que la Station BS-49, 1250 cps. Sub-affleurement de sub-arkose rose, microconglomératique, à deux granulométries.</p>	Indicateur		
2J-269	35-40	<p>Affleurement 0.2 m d'épaisseur. Grès feldspathique, environ 10-15% de feldspaths roses à ciment feldspathique et matrice d'arénite fine; grain grossier, tri moyen.</p>	Indicateur		

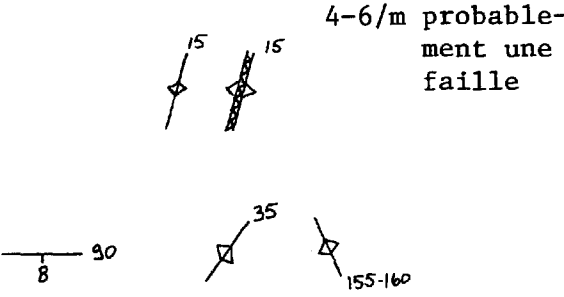
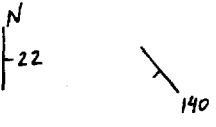
Statistiques

STATION	RA SPP2	DESCRIPTION	FORMATION	ECHAN- TILLON	ANALYSE
2J-270	30-35	Affleurement 1 m d'épaisseur. Gabbro leucocrate à altération noire, pyriteux. Beaucoup de feldspaths gris verdâtre (fuschite ?) 70% de feldspaths 25% de ferromagnésiens 2-3% de pyrite 	Gabbro d'Otish		
2J-271 (2A-65)	>2000 cps	Sub-affleurement de gabbro à grain fin, très fracturé. Produits de couleur jaune ocre (li- monite); petite fracture à minéraux noirs.	Indicateur	2J-271a 2J-271b	U.Th.
2J-272	25	Affleurement 1 m d'épaisseur. Gabbro leucocrate à cristaux squelet- tiques d'olivine.	Indicateur		
2J-273	50	Affleurement 2 m d'épaisseur. Sub-arkose à grès feldspathique rose, grain très fin; minéraux noirs en taches ± diffuses; "pois" de réduc- tion beige. 	Indicateur	2J-273a	
2J-274	55-60	Affleurement 1.5 m d'épaisseur. Base: 1.0 m de grès feldspathique ro- se, 5% feldspaths, grain fin, massif, devenant violacé vers le sommet du banc.  5-15 cm de siltite-argilite rouge violacé. Rides: A = 0.5 cm L = 13	Indicateur		

Statistiques

STATION	RA SPP2	DESCRIPTION	FORMATION	ECHAN- TILLON	ANALYSE
2J-274 suite		40 cm de grès feldspathique, grain fin, semblable au banc de base mais avec grès galets mous rouge violacé de siltite-argilite. Courant: 			
2J-275	35	Affleurement 0.5 m. Grès feldspathique rose, grain moyen, tri mauvais, tache noire de manganite.	Indicateur		
2J-276	50	Affleurement 1 x 5 m. Grès feldspathique rose à deux granulométries, grain grossier à fin; matrice d'arkose. 	Indicateur		
2J-277	45	Affleurement 3 m d'épaisseur. Sub-arkose rose, environ 20% de feldspaths, deux granulométries. Laminae millimétriques à centimétriques, oxydées par endroit. 	Indicateur		
2J-278	40-50	Affleurement près du sommet >5 m d'épaisseur. Grès feldspathique rose à ciment feldspathique. Taches d'altération noire, grains rouges, laminations centimétriques; petits nodules roses plus résistants.	Indicateur		

Statistiques

STATION	RA SPP2	DESCRIPTION	FORMATION	ECHAN- TILLON	ANALYSE
2J-279	45	<p>IDEM 2J-278. Affleurement à peu près continu.</p>  <p>4-6/m probablement une faille</p>	Indicateur		
2J-280	40	<p>Affleurement le long d'une falaise, 5 m d'épaisseur. Grès feldspathique rose à nodules de carbonates, 1 cm de diamètre (calcaire dolomitique). Bancs 1.0 - 1.5 m. Grain moyen. A la base: 1 m d'arénite rouge à ciment dolomitique à altération brune.</p>	Indicateur	2J-280a	
2J-281	40	<p>Affleurement 2.5 m d'épaisseur. Sub-arkose rose, environ 15 à 20% de feldspaths, grain moyen à fin, laminae millimétriques.</p> 	Indicateur		

PROJET: MONTS OTISH

Patrice Caumartin
Francis Perron

FICHE D'AFFLEUREMENT

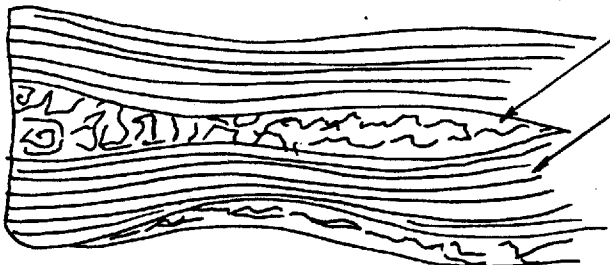
DATE: 18.8.80

LOCALISATION: Ouest du permis "S"

STATISTIQUE: Coupe 2C126

KM DE GEOLOGIE: 4.6

KM DE RADIOMETRIE: 4.6

STATION	RA SPP2	DESCRIPTION	FORMATION	ECHAN- TILLON	ANALYSE
2P278	45	Blocs de microconglomérat arkosique à pas- sées conglomératiques. Couleur: rose saumon. Galets: quartzite-quartz-argilite rouge et feldspath. Matrice: microconglomérat grossier, 2 mm à 10 mm.			
2P279	30-35	Bloc de grès feldspathique à grain fin, massif, homogène.			
2P280	50	Subaffleurement. Grès arkosique vert, gros- sier, à granules flottants de quartz blanc. Laminations de l'ordre de 3 cm, entraînant un débit net.			
	80- 100	Une zone altérée ocre, plus ou moins selon le plan de stratification.			
2P281	80- 70	Blocs de microconglomérat vert jaunâtre, à galets flottants de quartzite massif.			
2P282	30	Subaffleurement. Grès feldspathique fin, rose, finement lité (lits millimétriques à granulométrie variant de 0.1 à 0.5 mm).			
	70- 80	Au sein de ces blocs, un bloc de siltstone rouge brique "entrelardé" de passées de quartz géodique blanc opaque.			
					

Statistiques Coupe 2C126

STATION	RA SPP2	DESCRIPTION	FORMATION	ECHAN- TILLON	ANALYSE
2P283	30-35	Même faciès que précédemment.			
2P284	10-15	Subaffleurement. Dolomie gréseuse marron, grain moyen, massive, injectée de quartz blanc.			
2P285	30-35	Blocs. Même faciès que 2P282.			
2P286	20	Subaffleurement. Gabbro sain à grain moyen.			
2P287	10	Subaffleurement. Gabbro sain à grain grossier.			
2P288	40	Blocs. Microconglomérat arkosique blanc, massif, grain 2-6 mm.			
2P289	130	Blocs de grès feldspathique, très grossier, localement ocre.			
2P290	70-90	Grès très grossier, subarkosique, blanc légèrement vert, massif.			
2P291	50-80	Blocs. Conglomérat subarkosique, ocre clair, granules essentiellement de quartz.			
2P292	15	Blocs de gabbro de grande taille (>5-8 m) sain, grain moyen. Débit en plaques (sill).			

PROJET: MONTS OTISH

Patrice Caumartin
Francis Perron

FICHE D'AFFLEUREMENT

DATE: 19.08.80

LOCALISATION: Permis "S", Est Epsilon

STATISTIQUE: Coupe 2C127

KM DE GEOLOGIE: 5.4

KM DE RADIOMETRIE: 5.4

STATION	RA SPP2	DESCRIPTION	FORMATION	ECHAN- TILLON	ANALYSE
2P293	20	Gabbro à grain moyen, feldspathique, sain. Fractures: N138, cisaillement 4/m N32, cisaillement 2/m			
2P294	20	Gabbro à grain moyen, sain.			
2P295	150- 200	Bloc isolé de conglomérat à galets jointifs φ 5-6 cm. Ciment feldspathique vert, galets de quartz blanc, orthoquartzite laminé, rouge. Très bon arrondi.			
2P296	10	Grès grossier subarkosique, blanc verdâtre, en blocs.			
2P297	25-30	Grès feldspathique à grain fin, rose saumon, massif. Plusieurs blocs.			
2P298	50-70	Conglomérat subarkosique vert à galets et granules flottants de quartz pur et d'ortho- quartzite laminé rouge. Subaffleurement (blocs de plusieurs mètres cubes).			
2P299	50	Grès feldspathique rose, grain fin à très fin, finement lité. So: N83,10NE.			
2P300	50	Microconglomérat feldspathique vert en blocs. Granulométrie: 2-4 mm.			
2P301	15	Gabbro à grain moyen feldspathique. Fractures: N150 plus ou moins cisailantes Diaclasses: N6, N112 associées N50			

FICHE D'AFFLEUREMENT

Patrice Caumartin

Jean Lefur

DATE: 20.8.80

LOCALISATION: Propriété "S" (sud-ouest), carte 1/15,840e, Q63322-68

STATISTIQUE: Coupe 2C128

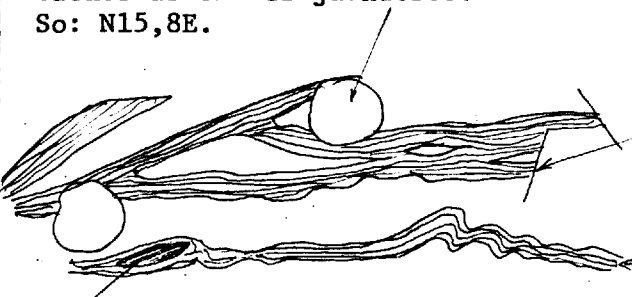

KM DE GEOLOGIE: 6.3

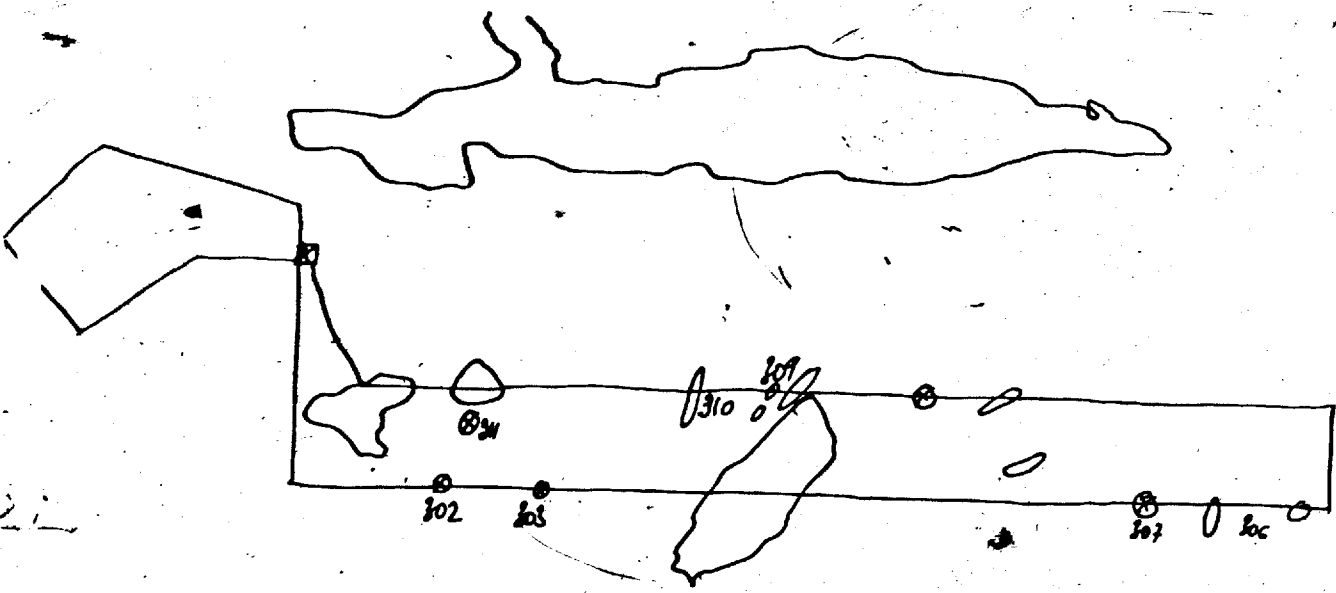
KM DE RADIOMETRIE: 6.3

STATION	RA SPP2	DESCRIPTION	FORMATION	ECHAN- TILLON	ANALYSE
2P302	30-35	Boulders de grès feldspathique, grain moyen, blanc-ocre. Massif.			
2P303	100-150	Blocs de siltstone rouge-lie-de-vin lités, associés à des blocs de grès feldspathique rose, finement laminé.			
2P304	50-100	Siltstone lie-de-vin présentant des alternances stratigraphiques centimétriques plus ou moins claires, en amandes allongées, malmenées par une très grande densité de microfractures intraformationnelles.			
2P305	70-80	Escarpement N15, donnant une falaise de 1.50 m, d'un même faciès que 2P304. Dissolutions parallèlement à la stratification. Zones plus claires, allongées, fantomatiques. So: horizontale.			
2P306	15	Gabbro finement broyé et altéré, sans doute à la faveur d'une faille nord-sud visible en photo aérienne.			
2P307	50-65	Boulders de grès feldspathique rose, finement laminé, suivis à l'ouest de boulders de siltstone lie-de-vin tels 2P305.			
2P308	70-80	Affleurement de siltstone idem 2P305.			
2P309	40	Grès feldspathique rose, légèrement laminé. So: N60,37N.			

37 62

Statistiques Coupe 2C128

STATION	RA SPP2	DESCRIPTION	FORMATION	ECHAN- TILLON	ANALYSE
2P310	70	<p>Falaise N10 (hauteur: 6 m) de grès rose arkosique à feldspathique, à grain fin et passées lie-de-vin et taches arrondies jaunâtres. So: N15,8E.</p>  <p>galets de siltstone</p> <p><u>grandeur nature</u></p>	 <p>cassure intraformationnelle (stylolithe)</p> <p>faciès rose</p> <p>niveaux lie-de-vin laminés de façon discontinue</p>		
2P311	50	<p>Boulders de conglomérat à galets de quartz blanc (5-8 cm ϕ) dans une matrice microconglomératique subarkosique verte.</p>			



20/8/80

6.3 km

PROJET: MONTS OTISH

Patrice Caumartin
Aline Morin

FICHE D'AFFLEUREMENT

DATE: 22.8.80

LOCALISATION: Montagne de "S", prospect "S"

STATISTIQUE: Coupe 2C129

KM DE GEOLOGIE: 2.650

KM DE RADIOMETRIE: 2.650

STATION	RA SPP2	DESCRIPTION	FORMATION	ECHAN- TILLON	ANALYSE
2P312	15-20	Gabbro à grain moyen, en sills à diaclage N35. Sain.			
2P313	70- 100	Gabbro tectonisé. Remplissage de fractures par du quartz géodique N140°.			
	3000	Anomalie en place sur cassure plane dans une roche très broyée, chloritisée.			
2P314	25	Gabbro plus ou moins tectonisé.			
2P315	45	Affleurement de grès à grain fin à moyen. A la base, orthoquartzite. Au sommet (1 m) grès feldspathique, couleur lie-de-vin. So: N72,10S. Décoloré par endroits, en rose selon des lamines et des taches. Pour le reste, la roche est massive.			
2P316	45	Grès feldspathique lie-de-vin à plus grand développement de faciès rose. Filet de fuchsite plus ou moins concordant à la stratification au centre d'une lamine rose.			
2P317	35	Grès subarkosique rose, massif. N162,18E.			
2P318	20	Gabbro à fractures N34,N130.			
2P319	40	Grès à grain moyen, finement lité, arkosique (lits millimétriques à double granulométrie).			
	2500	A proximité, anomalie sur blocs de gabbro sain!			

Statistiques Coupe 2C129

STATION	RA SPP2	DESCRIPTION	FORMATION	ECHAN- TILLON	ANALYSE
	2500	Orientés N70 L:38 l:20 H:12 N72 L:28 l:15 H:10			
					un même bloc séparé en deux
2P320	50	Grès arkosique rose, très finement laminé, à double granulométrie. So: N100, 14°S.			
2P321	50-60	Grès subarkosique à arkosique idem 2P320. So: N23, 25E.			
2P322	50-60	Même faciès que précédemment, subarkosique à débit décimétrique. So: N162°, 10E. Diaclasage: N28°, N160°. Sous le faciès précédent, épaisseur 80 cm; il y a 80 cm de grès feldspathique à quartzitique massif, surmontant de nouveau des grès subarkosiques finement laminés. A proximité, un bloc de gabbro très broyé, entrelardé de filonnets centimétriques de carbonate plus ou moins géodique.			
2P323	45	Grès finement laminé subarkosique. So: N13°, 11E. Diaclase: N146°, N48°.			

PROJET: MONTS OTISH

P. Caumartin
A. Yassa

FICHE D'AFFLEUREMENT

DATE: 23.8.80

LOCALISATION: Montagne de "S"

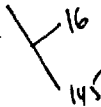
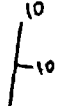
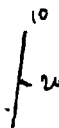

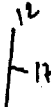
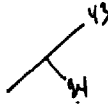
STATISTIQUE: Coupe 2C130

KM DE GEOLOGIE: 1.8

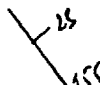
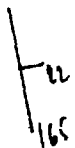
KM DE RADIOMETRIE: 2.5

STATION	RA SPP2	DESCRIPTION	FORMATION	ECHAN- TILLON	ANALYSE
2P324	45-50	Grès subarkosique laminé à double granulométrie. Surface stratigraphique légèrement ondulée (N148°). So: N160,18°E. Fractures ouvertes remplies de quartz blanc N168°.			
2P325	40-45	Grès à grain moyen à lamines fantômes alternativement violettes et roses. La granulométrie et la dispersion des feldspaths sont homogènes. Les seules distinctions résident dans la couleur. φ: 1 m. So: N177,28°E.			
2P326	50-60	Grès subarkosique à double granulométrie rose. Très régulièrement laminé. So: N28,13E.			
	70-80	Diaclases N170, légèrement plus actives. Plus à l'est, affleurement du même type de grès plus arkosique. So: N25,20E. Diaclases: N40,N145°.			
2P327	45-50	Grès feldspathique à double granulométrie fantôme. Couleur rose. So: N49,13°SE. Banc massif (φ 1 m) anguleux. Granulométrie de fond fine à très fine.			
2P328	35-40	Grès à grain fin à très fin, homogène, feldspathique. Banc φ 1 m, massif, blanc, légèrement rosé.			
2P329	40-45	Grès à grain grossier feldspathique, blanc crème, à laminations colorées. So: N36,17°W.			

Statistiques Coupe 2C130

STATION	RA SPP2	DESCRIPTION	FORMATION	ECHAN- TILLON	ANALYSE
2P330	35-40	Falaise de 10 m de grès rose, grain moyen à grossier, à double granulométrie, globalement subarkosique, mais localement arkosique et feldspathique. So: N145,16°NE. Dans les parties feldspathiques (sommet plutôt), la double granulométrie s'estompe, cependant que des lamines décimétriques alternativement rose parme et blanchâtres se font jour.			
2P331	25-30 55-60	Pétrographie idem 2P320. Localement, zones plus ocre, plus actives selon la stratification. So: N10,10°E.			
2P332	15-25	Grès feldspathique blanc rosé à double granulométrie. So: N10,24°E.			
2P333		Grain à double granulométrie: grains de quartz approx. 1-2 mm dans une matrice très arkosique, couleur blanc crème. So: subhorizontale.			
2P334	50-60	Grès arkosique rose à double granulométrie, très estompée. So: N80,10°N.			
2P335	50	Grès laminé rose à double granulométrie nette (lits de quartz grossier dans une matrice arkosique), surmonté par des grès plus homogènes subarkosiques blanc rosé-verdâtre. So: N12,17°E.			
2P336	35	Grès à double granulométrie, rose, subarkosique. So: N43,24°E.			
2P337 Très bel affleurement	20	Falaise de grès subarkosique rose, à stratifications entrecroisées.			

Statistiques Coupe 2C130

STATION	RA SPP2	DESCRIPTION	FORMATION	ECHAN- TILLON	ANALYSE
2P338	45-50	Même pétrographie que précédemment. So: N155, 23° NE.			
2P339	40-45	Sommet montagne "S". Idem. So: N165°, 22° E.			

PROJET: MONTS OTISH

Serge Lavoie

A. Morin.

FICHE D'AFFLEUREMENT

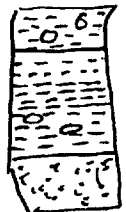
DATE: 23 août 1980

LOCALISATION: Photo Q-64368-1

STATISTIQUE: Coupe 2C-131

KM DE COUPE: 3,9 km

KM RADIOMETRE: 3,9 km

STATION	RA SPP2	DESCRIPTION	FORMATION	ECHAN- TILLON	ANALYSE
2L-251	90- 125	<p>Siltstone mauve dolomitique, débit en plaquettes millimétriques à centimétriques à bord irrégulier.</p> <p>Le siltstone est en position sub-horizontale. Il porte des nodules de réduction de taille centimétrique; celles-ci sont de couleur beige.</p>			
2L-252	90- 100 4.0° 3°	<p>Le siltstone est surmonté par un grès très fin, mauve à rouge, massif. Le grès très fin est en passage progressif sur le siltstone; il est légèrement dolomitique.</p> <p>La coupe dans les grès est de 3 à 5 m. Localement, ils renferment des taches réduites de forme arrondie. Celles-ci sont de taille centimétrique, de couleur verte; elles sont parfois constituées de grès grossier, arkosique; les phénomènes de réduction semblent canalisés sur joints ou plans de fracture (Photo 18, 19 et 20, F4).</p> <p>2L-252a: Siltstone à grès mauve, légèrement dolomitique. Fond géochimique.</p> <p>2L-252b: Grès mauve très fin à taches de réduction.</p> <p>Nous sommes à la limite grès-siltstone; ces derniers apparaissent en interlits centimétriques (30 à 50 cm) dans les grès et sont porteurs des taches réduites beige.</p>			
					
		<p>Silt mauve à tache réduite Gris mauve</p>			
				2L-252a	4.2 17 ↓ ↓ U. Th. L.M.
				2L-252b	L.M.

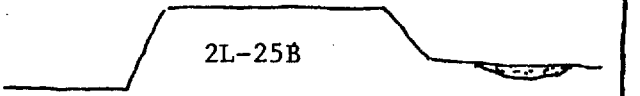

Statistiques

STATION	RA SPP2	DESCRIPTION	FORMATION	ECHAN- TILLON	ANALYSE
2L-253	50-70	<p>Orthoquartzite rose saumon, grain moyen à fin, passée de conglomérat dolomitique en banc irrégulier 80 à 1 m d'épaisseur (Photos 1 et 2, F5).</p> <p>2L-253a: Orthoquartzite rose.</p> <p>Ces orthoquartzites à calcarénite conglomératique sont pratiquement en passage latéral sur les siltstones mauves.</p>		2L-253a	09/32 U. Th.
2L-254	50	<p>Orthoquartzite rose en passage progressif à des grès feldspathiques roses à grain fin.</p> <p>A l'intérieur des grès des bancs de conglomérats à matrice dolomitique. Le conglomérat forme un chenal dans les grès; sa puissance est de 1 mètre et son étendue de 10 à 20 m.</p> <p>Il contient des granules d'orthoquartzite rose, des esquilles d'argilite mauve et des galets de dolomie massive. C'est un paraconglomérat de ravinement.</p> <p>Le conglomérat dolomique est surmonté par un microconglomérat sub-arkosique contenant des cailloux de dolomie gréseuse, son épaisseur est d'environ 30 cm.</p> <p>Les bancs conglomératiques sont surmontés de grès rose saumon, laminé à deux granulométries. Le grès comporte des interlits de grès dolomitique d'épaisseur millimétrique. Ceux-ci sont en retrait sur l'affleurement et sont séparés par des stratifications centimétriques, 3 à 5 cm de grès feldspathique.</p> <p>Les affleurements forment de petits reliefs de 2 à 3 mètres de hauteur.</p>			

N-346°

/ 8°

Statistiques

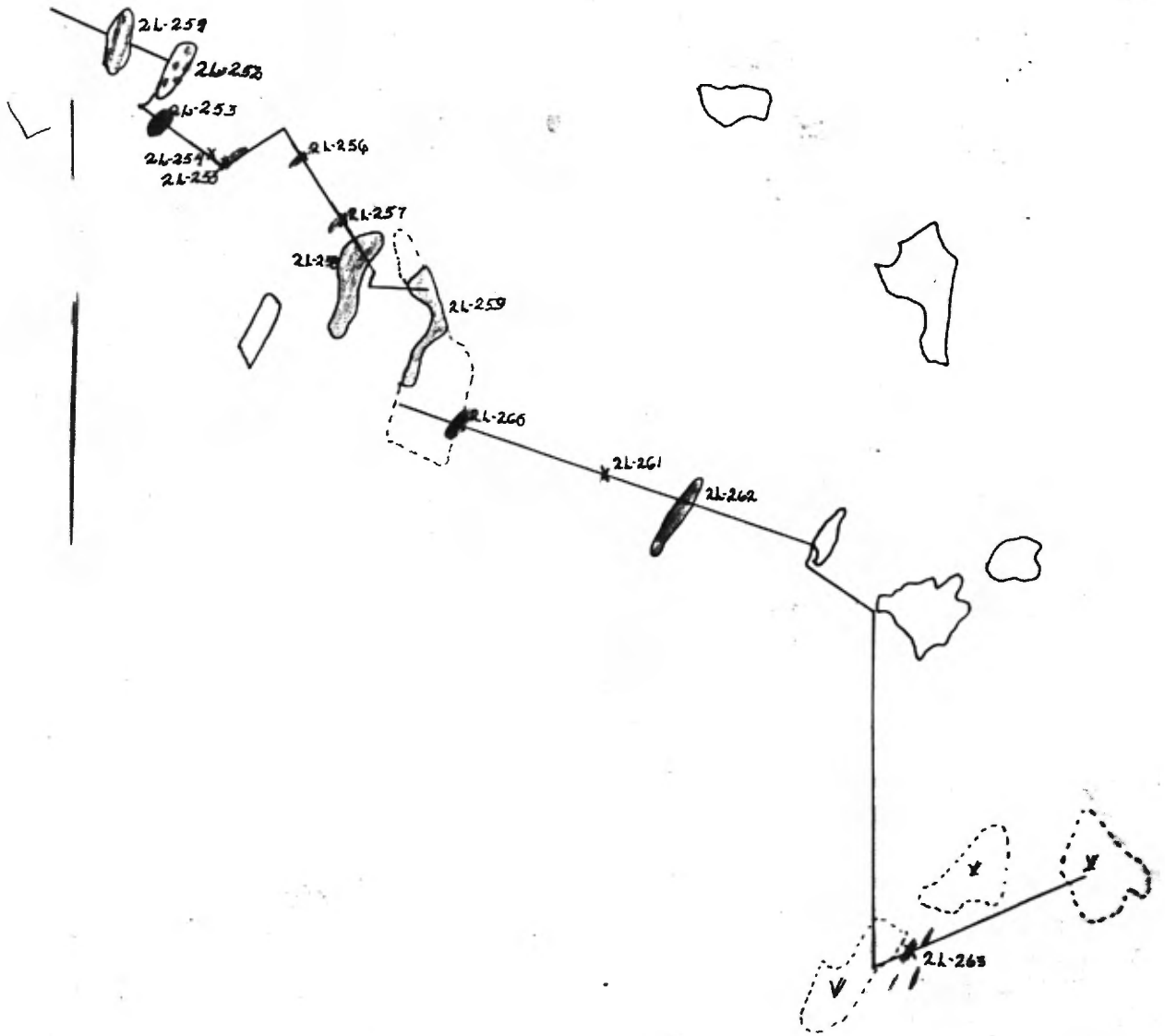
STATION	RA SPP2	DESCRIPTION	FORMATION	ECHAN- TILLON	ANALYSE
2L-255	90-100	Siltstone mauve à taches de décoloration beige. Affleurement sur falaise de 4 à 5 cm, roche massive en position sub-horizontale.			
2L-256	90-100	Siltstone mauve à grès très fin, IDEM 2L-255, massif, affleurement en coupe verticale sur 2 mètres. Quelques grains de quartz sont visibles à la loupe.			
2L-257	90	IDEM 2L-255			
2L-258	90-100	<p>Siltstone mauve massif en position sub-horizontale, IDEM 2L-255, taches de décoloration à jante gris métallique.</p> <p>Surface d'affleurement est vacuolaire.</p> <p>Paysage général de la coupe, marche d'escalier et palier sur replat.</p> <p>2L-258: Marche de 4 mètres venant de l'ouest, descente de 2 mètres vers le lac.</p> 			
2L-259	90-100	<p>IDEM 2L-255; siltstone à grès mauve légèrement dolomitique. Les taches de décoloration, rondes centimétriques, sont indépendantes du <i>rama</i> ?</p> <p><i>page</i> mauve et rose du siltstone.</p> 			

Statistiques

STATION	RA SPP2	DESCRIPTION	FORMATION	ECHAN- TILLON	ANALYSE
2L-259	suite	La surface d'affleurement est souvent vacuolaire; alvéoles allongées selon le plan de stratification.			
2L-260	70-90	<p>Sur le flan est de l'affleurement, descente de 4 à 6 mètres à la base de l'affleurement, apparaissent les orthoquartzites roses comportant des passées conglomératiques, calcarénites dolomitiques, et microconglomérats arkosiques, roses à rouges.</p> <p>Les bancs de dolomie intercalés dans les orthoquartzites et grès feldspathiques roses sont gréseux à patine grise ou massive à patine noire. En surface fraîche, les dolomies sont roses.</p> <p>2L-260: Contact entre orthoquartzite rose et dolomie massive à patine noire.</p> <p>L'orthoquartzite rose est à ciment dolomitique.</p>		2L-260	Réf.
2L-261	45-50	<p>Grès feldspathique rose à deux granulométries, grain moyen, grain grossier. Laminations millimétriques, faciès fin plus feldspathique que le grossier.</p> <p>Stratifications entrecroisées.</p> <p>Le ciment du grès est dolomitique. Une bande noire irrégulière souligne à l'altération, le ou les niveaux dolomitiques.</p> <p>2L-261: Grès feldspathique rose à deux granulométries, ciment dolomitique.</p>		2L-261	<p>1 3</p> <p>U. Th.</p> <p>L.M.</p>

Statistiques

STATION	RA SPP2	DESCRIPTION	FORMATION	ECHAN- TILLON	ANALYSE
2L-262	70-80	Grès mauve à grain fin, texture d'un silt grossier avec quelques grains de quartz visibles à la loupe. Ciment légèrement dolomitique. Affleurement en butte ascendante, marche de 4 à 6 mètres.			
2L-263	90-100	Siltstone mauve massif, débit en plaquettes à surfaces inégales ondulées.			



PROJET: MONTS OTISH

Claude Marcotte
Serge GenestFICHE D'AFFLEUREMENT

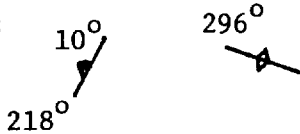
DATE: 19 août 1980

LOCALISATION: Propriété S Ouest

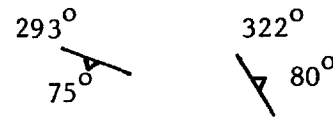
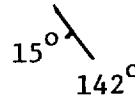
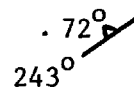
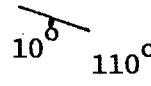
STATISTIQUE: Coupe 133 (Coupe 132 aucun affleurement...)

KM DE COUPE: 4,3 km.

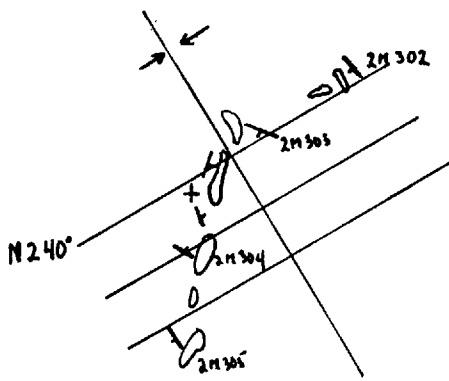
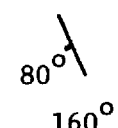
KM RADIOMETRE:

STATION	RA SPP2	DESCRIPTION	FORMATION	ECHAN- TILLON	ANALYSE
2M299	25 cps	<p>Gabbro massif à grains moyens. Traces de sulfures. Beaucoup d'épidotisation par endroit. Feldspath très abondant. Présence d'olivine.</p> <p>Diaclases: </p> <p>Le réseau 220°, sub-horizontal est bien développé et laisse supposer que cette direction générale est conforme à la direction du gabbro, disposé en sill. De plus, la texture fine du gabbro peut laisser penser que nous serions près du contact.</p> <p>Lorsqu'on continue vers l'ouest, le gabbro devient moins altéré, en général, quoique certains endroits montrent des traces d'épidotisation marquée.</p>	Gr. OTISH		
2M300	25- 30 cps	Gabbro, IDEM à 2M299.	Gr. OTISH		
2M301	25- 30 cps	Gabbro, IDEM à 2M299.	Gr. OTISH		

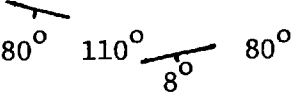
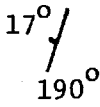
Statistiques

STATION	RA SPP2	DESCRIPTION	FORMATION	ECHAN- TILLON	ANALYSE
2M302	40 cps	<p>Quartzite (grès feldspathique ???) à ciment feldspathique à deux granulométries, prenant l'aspect de fines laminations où des grains moyens de quartz sub-arrondis, formant des laminations, alternent avec des laminae à grains fins, contenant du feldspath.</p> <p>On peut donner l'appellation grès feldspathique à cette roche en définitive.</p> <p>On note au sommet des bancs (massifs métriques), une faible schistosité.</p> <p>Diaclases: </p> <p>Stratification: </p>	Indicateur		
2M303	40 cps	<p>Grès feldspathique à deux granulométries, IDEM à 2M302.</p> <p>Diaclases: </p> <p>Stratification: </p> <p>Ces grès sont débités par un réseau de fractures ouvertes très bien développé et s'intensifiant vers le sud.</p> <p>La direction générale est de N-240° avec ± 25° de déviation de part et d'autre de la direction principale. Un réseau orthogonal à N-150° est présent mais moins bien développé. La progression est visible et continue. On passe d'affleurements intacts au nord à une série de blocs disjoints, sub-en-place, de taille décamétrique, quelque 75 mètres plus au sud.</p>	Indicateur		

Statistiques

STATION	RA SPP2	DESCRIPTION	FORMATION	ECHAN- TILLON	ANALYSE
2M304	40 cps	<p>Grès feldspathique laminé à deux granulométries, IDEM à 2M302. Une série de mesures prises sur des affleurements couvrant 250 m. permettent de voir un pli très faible d'axe approximatif N-150° (plongée sud).</p> <p>Echelle 1:10000 : affleurements</p>  <p>Le réseau N-240° serait donc orthogonal à l'axe du pli.</p>	Indicateur		
2M305	40 cps	<p>Grès feldspathique laminé à deux granulométries, IDEM aux numéros précédents.</p> <p>Stratification: </p>	Indicateur		
2M306	40 cps	<p>Grès feldspathique laminé à deux granulométries, IDEM aux numéros précédents, avec plusieurs veines et lentilles de quartz recristallisé.</p>	Indicateur		

Statistiques

STATION	RA SPP2	DESCRIPTION	FORMATION	ECHAN- TILLON	ANALYSE
2M306	suite	On note là aussi de faibles variations, sur des distances de quelques mètres des directions des couches. Stratification: 			
2M307	40 cps	Grès feldspathique à deux granulométries, IDEM aux numéros précédents. Stratification: 	Indicateur		
2M308	40 cps	Grès feldspathique à deux granulométries, IDEM aux numéros précédents.	Indicateur		
2M309	25 cps	Gabbro massif, grains moyens, IDEM à 2M299-300-301.	Indicateur		

PROJET: MONTS OTISH

Claude Marcotte
Serge GenestFICHE D'AFFLEUREMENT

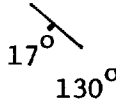
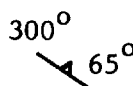
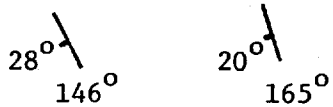
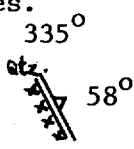
DATE: 22 août 1980

LOCALISATION: Propriété "S"

STATISTIQUE: Coupe 2C-135

KM DE COUPE: 3,0 km.

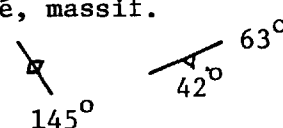
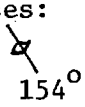
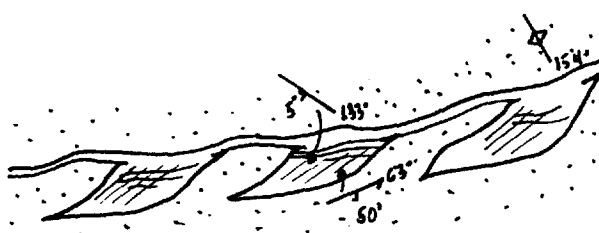
KM RADIOMETRE: 3,0 km.

STATION	RA SPP2	DESCRIPTION	FORMATION	ECHAN- TILLON	ANALYSE
3M314	45 cps	<p>Grès feldspathique à grains moyens, sub-ar-rondis, finement laminé (laminations ocres, millimétriques).</p> <p>Bancs métriques, massifs, schistosité développée en surface d'affleurement, débit en minces feuillets suivant les laminations.</p> <p>Stratification: </p> <p>Diaclases: </p> <p>Recristallisations de quartz laiteux aux surfaces intercouches.</p> <p>Stries N-200° faible plongée ($\pm 10^\circ$).</p>	Indicateur		
3M315		<p>Quartzite blanc à grains moyens à grossiers laminé (laminations centimétriques), avec alternance de laminae plus poreuses avec d'autres plus cohésives. On trouve un ciment feldspathique.</p> <p>Stratification varie localement...</p> <p></p> <p>Veines de quartz recristallisé, discontinues.</p> <p></p>	Indicateur		

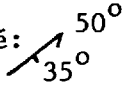
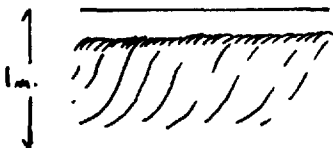
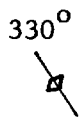
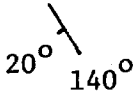
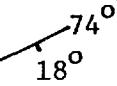
Statistiques

STATION	RA SPP2	DESCRIPTION	FORMATION	ECHAN- TILLON	ANALYSE
2M317	40 cps	Gabbro fortement épidotisé aux fractures et relativement sain en cassure fraîche, très leucocrate.	Indicateur		
2M318	40 cps	Gabbro à grains moyens, relativement épidotisé aux fractures (moins que la station précédente...).	Indicateur		
2M319	55 cps	Grès sub-arkosique à grains moyens à grossiers, passages microconglomératiques. Présence de plusieurs granules de quartz (22 mm.) sub-arrondis, s'individualisant du reste du matériel. Stratification: 322° $\backslash 15^{\circ}$	Indicateur		
2M320	55 cps	Grès sub-arkosique, IDEM à 2M319.	Indicateur		
2M321	25 cps	Gabbro frais, avec quelques traces d'épidotisation aux fractures. Diaclases marquées: 70° $\backslash 155^{\circ}$ Tranchée N- 150° , sur une dizaine de mètres, choquant à 15,000 cps. (Voir informations supplémentaires à ce sujet - Anomalies du "S").	Indicateur		

Statistiques

STATION	RA SPP2	DESCRIPTION	FORMATION	ECHAN-TILLON	ANALYSE
2M322	70 cps	Grès sub-arkosique à grains fins, blanc, rosé, massif. Diaclasses: 	Péribonca	2M322	U / Th. F.G.
2M323	70 cps	Grès sub-arkosique à grains fins, contenant des enclaves d'argilite rouge lie-de-vin, bréchifiées. Ces lentilles d'argilite sont de taille variant de 0,50 m. à 0,75 m. et forment "un chapelet" s'étendant sur plus de 3 mètres. Stratification: 5 ol33° Diaclasses: 	Péribonca	2M323	U / Th. F.G.
	125-150 cps	 On note des interpénétrations de matériel grossier (la sub-arkose) dans les lentilles d'argilite perturbant légèrement la stratification interne des lentilles, qui elle ondule, traduisant le glissement gravitationnel, alors (marques de "slumping") que le matériel était encore à l'état plastique, semi induré. Ces lentilles sont affectées d'une schistosité marquée recoupant la stratification, plus apparente au centre de la lentille.			

Statistiques

STATION	RA SPP2	DESCRIPTION	FORMATION	ECHAN- TILLON	ANALYSE
2M324	70 cps	<p>Quartzite (à ciment feldspathique) et grès feldspathique à grains fins, massifs, allant en se schistosant de façon de plus en plus intense vers le sommet, recoupée par un grès feldspathique massif interrompant la schistosité de façon très nette.</p> <p>Schistosité: </p>  <p>Diaclases: </p>	Péribonca		
2M325	45 cps	<p>Grès feldspathique à grains fins à moyens, finement laminé; certaines laminations sont grisâtres, centimétriques (± 1 cm.), poreuses à grains sub-arrondis; on passe latéralement à un grès feldspathique laminé à deux granulométries, homogène en texture (pas de laminations poreuses...).</p> <p>Stratification: </p>	Péribonca		
2M326	40 cps	<p>Grès feldspathique à deux granulométries, finement laminé, bancs massifs, métriques.</p>	Péribonca		
2M327	40 cps	<p>Grès feldspathique à deux granulométries, IDEM aux numéros précédents.</p> <p>Stratification: </p>	Péribonca		

PROJET: MONTS OTISH

Claude Marcotte
Serge GenestFICHE D'AFFLEUREMENT

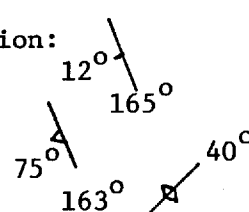
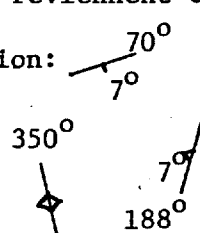
DATE: 23 août 1980

LOCALISATION: PROPRIETE "S"

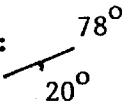
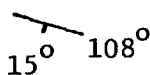
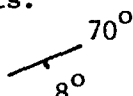
STATISTIQUE: Coupe 2C-136

KM DE COUPE: 3,4 km.

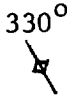
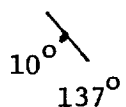
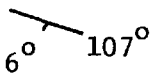
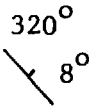
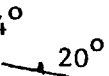
KM RADIOMETRE: 3,4 km.

STATION	RA SPP2	DESCRIPTION	FORMATION	ECHAN- TILLON	ANALYSE
2M328	40 cps	Grès feldspathique à deux granulométries, finement laminé, IDEM aux numéros précédents. Stratification:  Diaclasses: 75° 163° 40° 165°			
2M329	45 cps	Grès feldspathique, à la limite de la subarkose, aux laminations moins bien définies que celles des stations précédentes. On est en face d'un matériel semblable aux stations précédentes avec de légères variantes qui reviennent épisodiquement. Stratification:  Diaclasses: 350° 70° 188°			
2M330	50 cps	Zone de brèche sédimentaire comprenant des lambeaux remaniés de grès feldspathique, avec des pincements de strates, des figures de glissement par gravité, comprenant des lambeaux de matériel carbonaté, à texture très poreuse (texture nid d'abeille). Cette zone possède une puissance de 3,0 mètres et une extension latérale d'une vingtaine de mètres. Au sud, on passe à un faciès de grès feldspathique laminé de moins en moins perturbé.			

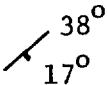
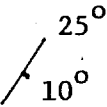
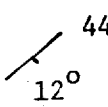
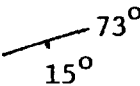
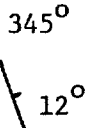
Statistiques

STATION	RA SPP2	DESCRIPTION	FORMATION	ECHAN- TILLON	ANALYSE
2M330	suite	Au nord, après une lacune, on observe aussi le faciès dominant du grès feldspathique laminé à deux granulométries, non perturbé.			
2M331	40 cps	Grès feldspathique laminé à deux granulométries, IDEM aux numéros précédents. Stratification: 			
2M332	50 cps	Grès feldspathique laminé, IDEM à 2M331; quelques irrégularités dans les laminations (certaines plus épaisses, poreuses).			
2M333	45 cps	Grès feldspathique, laminé, IDEM à 2M331; laminations grisâtres, poreuses, centimétriques, semblant plus quartzitiques (lessivage du feldspath ?). Stratification: 			
2M334	50 cps	Grès feldspathique laminé, IDEM aux numéros précédents. Stratification: 			

Statistiques

STATION	RA SPP2	DESCRIPTION	FORMATION	ECHAN- TILLON	ANALYSE
2M335	50 cps	<p>Grès feldspathique laminé, IDEM aux numéros précédents; surmonté par une sub-arkose peu laminée, à grains moyens devenant massive.</p> <p>Nombreuses diaclases: </p> <p>Stratification: </p> <p>Présence de quelques taches de décoloration dans les sub-arkoses.</p>			
2M336	40 cps	<p>Grès sub-arkosique finement laminé, faciès semblable aux numéros précédents, mais semblant présenter un plus grand pourcentage de feldspath... Certains bancs sont massifs et développent une schistosité marquée en sommet de banc.</p> <p>Stratification: </p>			
2M337	40-50 cps	<p>Grès feldspathique laminé, IDEM aux numéros précédents, présentant une forte érosion différentielle. Présence de laminations grisâtres, poreuses s'érodant plus facilement.</p> <p>On passe ensuite aux grès feldspathiques laminés plus homogènes.</p> <p>Stratification: </p>			
2M338	40 cps	<p>Grès feldspathique laminé avec bandes grisâtres, poreuses, IDEM à 2M337.</p> <p>Stratification: </p>			

Statistiques

STATION	RA SPP2	DESCRIPTION	FORMATION	ECHAN- TILLON	ANALYSE
2M339	30 cps	<p>Grès feldspathique laminé.</p> <p>Stratification: </p> <p>Différentes mesures prises sur une dizaine de mètres.</p> <p> </p>			
2M340	30 cps	<p>Sub-arkose à grains moyens, massive, couleur gris mauve.</p>			
2M341	50 cps	<p>Sub-arkoses laminées, alternant avec des grès feldspathiques laminés. Grandes stratifications entrecroisées visibles dans la paroi de la falaise.</p> <p> </p>			

PROJET: MONTS OTISH

Serge Lavoie
Yolande Bisson

FICHE D'AFFLEUREMENT

DATE: 25 août 1980

LOCALISATION: Orthophoto 'S'

STATISTIQUE: Coupe 2C-137, propriété 'S'

KM DE COUPE: 1,3 km

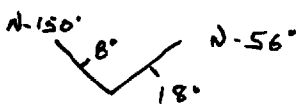
KM RADIOMETRE: 1,9 km

STATION	RA SPP2	DESCRIPTION	FORMATION	ECHAN- TILLON	ANALYSE
2L-264	60	Sub-arkose à deux granulométries, grain fin sur les laminations sub-arkosiques, grain moyen sur les laminations quartzitiques; falaise de 1 m.			
2L-265	60 N-40° / 20°	Sub-arkose à deux granulométries, grain fin sur les laminations sub-arkosiques, grain moyen sur les laminations quartzitiques. Le grès est sale, mal trié, hétérogène en granulométrie. Il semble poreux car l'intempérisme est pénétrant. En surface d'affleurement, les grès sont ravinés légèrement selon le plan de stratification; les laminations feldspathiques légèrement en retrait sur les laminations quartzitiques. Le grès casse souvent autour des grains; les grains plus grossiers de quartz gris translucide et de quartz rouge ne sont pas jointifs. Falaise de 2 à 3 mètres, position sub-horizontale.			
2L-266	60 N-20° / 60°	Falaise de 4 mètres, IDEM 2L-265, position sub-horizontale.			

Statistiques

STATION	RA SPP2	DESCRIPTION	FORMATION	ECHAN- TILLON	ANALYSE
2L-267	45 N.356 /12°	Falaise de 2 à 3 mètres, orthoquartzite à grès feldspathique rose laminé, grain moyen à fin. Granulométrie relativement homogène pour les quartzs, $\frac{1}{4}$ à $\frac{1}{2}$ mm. Le feldspath est blanc, surtout en matrice, et très fin. Quartz translucide gris mat et quartz rose. 2L-267a: Grès feldspathique rose à deux granulométries, grain moyen à fin.		2L-267a	0.8/N.D. U. Th.
2L-268	45 N-16° /13	IDEM 2L-267, petit affleurement, 1 mètre de coupe.			
2L-269	50 N-10° /22°	Grès feldspathique rose laminé, deux granulométries peu développées, grain moyen à fin. Roche poreuse, quelquefois vacuolaire, les quartzs feldspathiques sont altérés; quelques points à N-230°, N-218°, N-250°, pendage de 50° à 70°, N.W.			
2L-270	50 N.330 /318 /12 N-196° /20	Grès feldspathique rose, deux granulométries, grain moyen à fin. Joints à N-330°, 90°, relativement bien développés, densité 5 à 7. Structure chenalisante de grande taille N-356°, 12°, N-196°, 16°. 2L-270a: N-356°, 12° N-196° 16°		2L-270a	Réf.

Statistiques

STATION	RA SPP2	DESCRIPTION	FORMATION	ECHAN- TILLON	ANALYSE
2L-271	45-50 N-56° / 18°	Grès feldspathique rose, grain moyen à fin, laminé, surface d'affleurement légèrement vacuolaire; dissolution des feldspaths ou dolomie. Veine de quartz ll et oblique avec la stratification, laminations grises calcitiques. Joints N-80°-60 Stratification N-56°-18 Du côté N. de la vallée 2L-271a, la stratification est à N-150°-8°.  Nombreuses veinules de quartz millimétriques orientées N-52°.			
2L-272	50 N-80° / 18° N-340° / 18°	Grès feldspathique riche en quartz, bien trié, grains jointifs, interlits vacuolaires, progresse vers les faciès d'orthoquartzites roses. Débit en plaquettes. Photo #5, F5, bloc de grès rose à stratification entrecroisée, angle de chute 34°. Stratification entrecroisée, structures chenalisantes. 2L-272a: Grès feldspathique rose, grain jointif.		2L-272a	U. Th.
2L-273	50- 45 N-335° / 18°	Orthoquartzite rose laminé à matrice feldspathique, grain moyen. Interlits de sub-arkose laminée, débit en plaquettes centimétriques.			

Statistiques

STATION	RA SPP2	DESCRIPTION	FORMATION	ECHAN- TILLON	ANALYSE
2L-273	suite N-74° 32° N-20° 38° N-335° 22°	<p>Plan de faille dans les grès à l'extrémité est de l'affleurement.</p> <p>Ces failles semblent n'avoir que peu d'extension.</p> <p>Plan de faille, stries N-165° et N-155°, compartiment S. a monté par rapport à celui du N.</p> <p>A proximité du plan de faille N-70°, la roche montre un débit tectonique important à N-255°-60° N.</p> <p>Stratification N-335°-22 à l'extrémité est de l'affleurement; il s'agit principalement d'un grès feldspathique rose à grain fin; les grains de quartz sont homogènes et jointifs.</p>			
2L-274	60 N-181 3°	Orthoquartzite rose laminé, grain moyen à fin, un peu de feldspath en matrice.			
2L-275	60 N-262° 22°	Orthoquartzite rose laminé, feldspath 5 à 3% en matrice du grès, plusieurs veinules de quartz millimétriques à N-80°, N-70°.			
2L-276	25-30 72° N-243 N-256° 28°	<p>Grès feldspathique mauve à noir en banc métrique à l'intérieur des orthoquartzites roses et grès feldspathique roses.</p> <p>Faille N-256°-28°, quartz blanc, géode et cristaux bien formés de quartz blanc; stries indiquant que le panneau Sud a monté sur le compartiment Nord.</p> <p>Débit tectonique à N-155°, densité de 4 à 5.</p>			

Statistiques

STATION	RA SPP2	DESCRIPTION	FORMATION	ECHAN- TILLON	ANALYSE
		<p>Le développement de grès feldspathique noir et mauve s'effectue sur une distance de 60 à 80 m le long d'une fracture à N-256°.</p> <p>L'hématisation très poussée n'est pas localement verticale à la stratification; c'est un phénomène tardif imposé par la fracturation, voir Photo #6 et 7, F5. La puissance est de 3 à 5 m.</p> <p>2L-276a: Grès feldspathique mauve → 29</p> <p>2L-276b: Orthoquartzite mauve → 27 à N.</p>		<p>2L-276a</p> <p>2L-276b</p>	<p>L.M.</p>

PROJET: MONTS OTISH

Claude Marcotte
Jean LefurFICHE D'AFFLEUREMENT

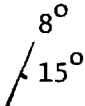
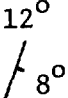
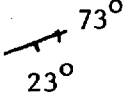
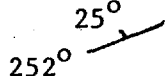
DATE: 25 août 1980

LOCALISATION: Propriété "S" Est.

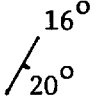
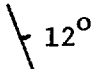
STATISTIQUE: Coupe: 2C-138

KM DE COUPE: 3,0 km.

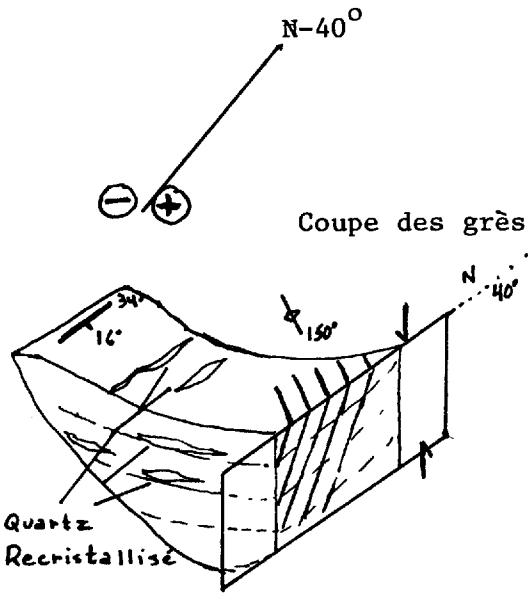
KM RADIOMETRE: 3,0 km.

STATION	RA SPP2	DESCRIPTION	FORMATION	ECHAN- TILLON	ANALYSE
2M342	45- 50 cps	Grès feldspathique, deux granulométries.			
2M343	50 cps	Grès feldspathique laminé, IDEM aux stations précédentes. Stratification: 			
2M344	50 cps	Grès feldspathique, IDEM aux numéros précédents. Stratification: 			
2M345	50 cps	Grès feldspathique : IDEM.			
2M346	50 cps	Grès feldspathique laminé, IDEM; minces filaments de quartz conformes à la stratification: 			
2M347	50 cps	Grès feldspathique, IDEM. Stratification:  Zone de faille, de nombreux blocs jonchent le sol.			

Statistiques

STATION	RA SPP2	DESCRIPTION	FORMATION	ECHAN- TILLON	ANALYSE
2M348	50 cps	Grès feldspathique, IDEM. Stratification: $16^{\circ}/20^{\circ}$ 			
2M349	50 cps	Grès feldspathique laminé, IDEM aux numéros précédents. On note une discordance entre deux bancs d'épaisseur métrique; les stratifications dans les deux bancs sont semblables à peu de degrés près. La surface de contact est ondulée, plus ou moins régulière, avec une altération un peu plus marquée. Le banc supérieur semble plus feldspa- thique que celui du dessous. Dans ce dernier, malgré la stratifi- cation peu perturbée, on trouve un lambeau de grès repris dans la sédi- mentation. Stratification: 340°  A 40 mètres à l'est, on note une zone faillée à fracture ouverte o- rientée N- 40° approximativement. Le grès feldspathique est injecté; de nombreuses veines de quartz sub- parallèles à la stratification, d'au- tres la recourent; la stratification à 20 m. de la faille est de 34° 16° aux environs de la faille, le grès est très tectonisé, on perd les la- minations à cause de la recristalli- sation; il y a hématisation et quel- ques fantômes de stratification per- mettant de voir une stratification pendant vers l'ouest. De nombreuses diaclasses N- 150° débitent les grès aux abords de la faille.			

Statistiques

STATION	RA SPP2	DESCRIPTION	FORMATION	ECHAN- TILLON	ANALYSE
2M349	suite	<p>Le tout suggère que le compartiment ouest a été abaissé par rapport à celui à l'est.</p>  <p>Echelle: 1:1000.</p> <p>Vers le nord, on remarque une grande fracture ouverte à N-60°...</p>			
2M350	35 cps	<p>Sub-arkose violette, presque noire, massive.</p>			

PROJET: MONTS OTISH

Patrice Caumartin
Serge Genest

FICHE D'AFFLEUREMENT

DATE: 25.8.80

LOCALISATION: Propriété "S"

STATISTIQUE: 2C139

KM DE COUPE: 3.700

KM RADIOMETRE: 3.700

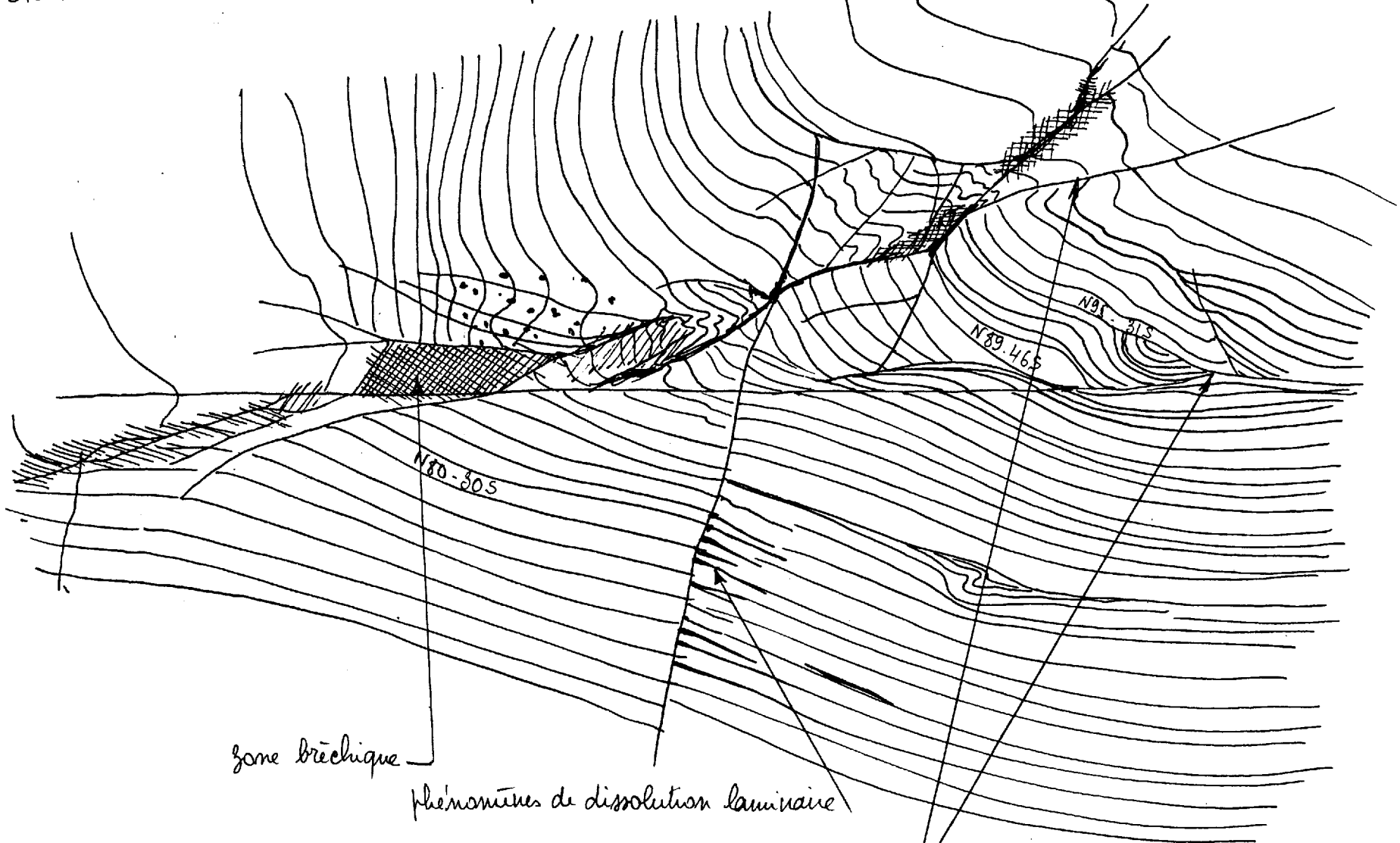
STATION	RA SPP2	DESCRIPTION	FORMATION	ECHAN- TILLON	ANALYSE
2P340	40-45	Grès subarkosique à double granulométrie fantôme. Puissance 1.50 m. Couleur rose parme. So: N20,8°W. Diaclase principale 2/m: N148°.			
2P341	35	Grès subarkosique à double granulométrie. Les lits plus grossiers présentent des cavités de dissolution noirâtres. Grain très fin à fin. Couleur rose parme. Diaclases: N163°, 0.5/m, léger pendage E.			
2P342	50	Banc de 0.40 cm à coeur rose-rouge de grès feldspathique et bordsarkosiques, rose pâle, grain moyen, laminations peu nettes, léger pendage E. Cataclase importante.			
2P343	35-40	Grès subarkosique rose, à double granulométrie. Grain moyen, fines laminations. Débit allant de 0.5 à 5 cm. So: N68,20°S. Figure sédimentaire: plis intraformationnels liés à une faille plane (voir dessin page suivante). De l'autre côté de la butte, pendage N108,17°S.			
2P344	35-40	Même type de pétrographie. So: N25,18°E.. Au sommet de la butte, une cuillère N160, sens SN? Dimensions non apparentes, de l'ordre de la dizaine de mètres. Au-dessus, autre cuillère N60°. Plus loin, affleurement d'une brèche de slumping avec un filon de quartz blanc N60,24°E.			

Nord

massif de ponctures

70-Nuv-365

Sud



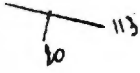
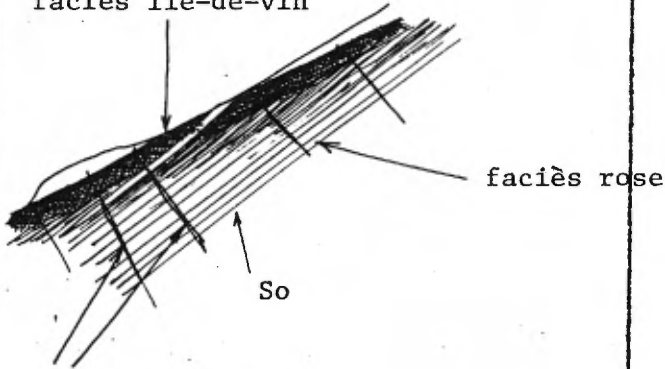
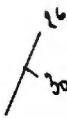
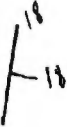
zone bréchique

phénomènes de dissolution laminaire

fractures } → cicatrices par du quartz
 → puis réouvertes

Falaise verticale 1/30^{ième}

Statistiques Coupe 2C139

STATION	RA SPP2	DESCRIPTION	FORMATION	ECHAN- TILLON	ANALYSE
2P345	25-40	Même faciès pétrographique subarkosique. So: N113,20S. Au-dessus, même granulométrie double mais couleur verdâtre. Dans les deux cas, de nombreux filonnets (ϕ mm) de quartz obliques à parallèles à la stratification.			
2P346	40-45	Grès feldspathique rose à laminations peu nettes passant latéralement à un faciès lie-de-vin parcouru par un réseau dense de filonnets de quartz (N29,15W - N56,17N - N83,26N) se raccordant à une fracture quartzreuse N25,33E. faciès lie-de-vin  réseau de quartz	So: N8,11E So: N26,30E		
2P347	40-45	Grès feldspathique à grain fin, à double granulométrie, rose, à passées verdâtres contrôlées d'une part par la stratification, d'autre part par des fractures localement remplies de quartz. So: N18,18E. Cassures sèches secondaires: N156, verticales. Fractures à quartz: N40, 35°W.			

Statistiques Coupe 2C139

STATION	RA SPP2	DESCRIPTION	FORMATION	ECHAN- TILLON	ANALYSE
2P348	15-20	Gabbro altéré, chloritisé, présentant un débit irrégulier subvertical N40. Débit attestant un dyke? Schistosité?			
2P349	40-45	Grès subarkosique rose à double granulométrie. So:N65,10°W.	10 65		

PROJET: MONTS OTISH

Patrice Caumartin
Serge Genest

FICHE D'AFFLEUREMENT








DATE: 26.8.80

LOCALISATION: Propriété "S"

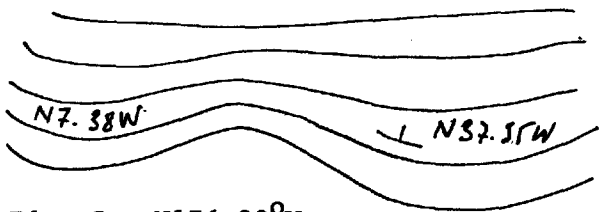


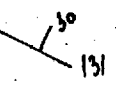
STATISTIQUE: Coupe 2C140

KM DE GÉOLOGIE: 5.8

KM DE RADIOMETRIE: 5.8

STATION	RA SPP2	DESCRIPTION	FORMATION	ECHAN- TILLON	ANALYSE
2P350	30	Grès subarkosique blanc rosé à double granulométrie. So: N134,33°W.			
2P351	40	Grès subarkosique rose massif. Cataclase avec veinules de quartz. So: N49,35°N.			
2P352	45	Grès subarkosique rose à double granulométrie peu marquée et veine de quartz blanc. So horizontale. Très localement, des parties hématisées.			
2P353	35-40	Grès feldspathique rose massif. So: N180, 8°W. Localement faciès très hématisé. Diaclase: N150.			
2P354	30	Grès subarkosique à double granulométrie, rose clair. So: N21,33°W.			
2P355	25	Grès feldspathique blanc légèrement rosé, grain fin, massif.			
2P356	30	Idem. Diaclasage N145, N33°. En haut de la butte, le diaclasage N150, souligné par de la brèche à hématite mm est intense (distance entre diaclases 2 cm), ainsi que le découpage par veinules de quartz blanc.			
2P357	30	Grès feldspathique blanc rosâtre, légèrement laminé. So: N160,25°SW.			
2P358	35	Grès feldspathique plus laminé. So: N16,47W.			

Statistiques Coupe 2C140

STATION	RA SPP2	DESCRIPTION	FORMATION	ECHAN- TILLON	ANALYSE
2P359	45	 <p>Idem, So: N176, 20°W.</p>			
2P360	45-50	Grès subarkosique à double granulométrie, blanchâtre. N110-26°SW, parcouru de veinules de quartz blanc N154.			
	400	A proximité, bloc de conglomérat vert feldspathique au sein d'un microconglomérat: actif à la faveur de lamines ocre.			
2P361	45-50	Idem. So: N128, 22°SW.			
2P362	45-50	Grès subarkosique, grain fin, laminé de rose foncé à blanc, localement lie-de-vin. So: N131, 30°E.			
2P363	45	Grès subarkosique rose à double granulométrie. So: subhorizontale.			

PROJET: MONTS OTISH

Serge Lavoie
Yolandé Bisson

FICHE D'AFFLEUREMENT

DATE: 26 août 1980

LOCALISATION: Propriété 'S'

STATISTIQUE: Coupe 2C-141

KM DE COUPE: 3,9 km

KM RADIOMETRE: 5,9 km

STATION	RA SPP2	DESCRIPTION	FORMATION	ECHAN- TILLON	ANALYSE
2L-277	60	<p>Grès feldspathique rose laminé, chenalissant, comportant des faciès très oxydés; matrice à distribution très erratique. L'affleurement est localement vacuolaire. Dans les chenaux alternent des grès bien laminés et des grès massifs.</p> <p>N-157° 27° 12° N-252° N-155° N-36° N-254° M.Y.</p> <p>Stratification N-157°-27°.</p> <p>Stratification mal exprimée N-252°-12°.</p> <p>Joints N-155° et N-30°, le dernier est peu pénétrant et déplacé par le système N-155°, de densité 2 à 3.</p> <p>Système chenalissant de grande et de petite taille.</p> <p>Chenal centimétrique N-140°-8°; les stratifications à l'intérieur de ce chenal sont orientées N-254°, 19°.</p> <p>La bordure Nord de ce chenal décimétrique est orientée N-122°, 28°.</p> <p>L'écoulement était donc à l'opposition de N-140°, soit 320°, et l'apport des sédiments du S.E.</p>			
2L-278	50- 55	<p>Grès feldspathique rose bien laminé, grain moyen à fin, quelques laminations vacuolaires.</p> <p>N-188° 6°</p> <p>A l'extrémité est de l'affleurement, les laminations sont sub-horizontales, légèrement inclinées vers l'est.</p>			

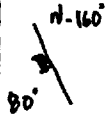
Statistiques

STATION	RA SPP2	DESCRIPTION	FORMATION	ECHAN- TILLON	ANALYSE
2L-279	N-320 N-32	<p>Stratification au sommet, côté Nord: N-164°-9°.</p> <p>Stratification flanc Est de la colline: N-68°-28°.</p> <p>Stratification au centre de la colline, flanc Est: N-184°-8°.</p> <p>Stratification extrémité Est de la colline: N-258°-26°.</p> <p>Grès feldspathique rose, grain moyen à fin, quelques laminations vacuolai- res.</p> <p>Joints N-320, 62°, densité 4.</p> <p>Plusieurs veines de quartz à N-30°, millimétriques à centimétriques, ir- régulières dans leur orientation et étendue de quelques mètres seulement.</p> <p>Les solutions qui ont déposé le quartz blanc en veines ont provoqué la réduc- tion des grès; grès blanc verdâtre au lieu de rose.</p>			
2L-280	N-143 N-24	<p>Sub-arkose rose laminé à massif, for- tement hématisée (mauve) à proximité des fractures en joints.</p> <p>Stratification</p> <p>Joints N-95°, N-160°.</p>			
2L-281	35-40 N-256 32 N-116 70	<p>Sub-arkose mauve, grain moyen à fin, laminée à massive, passe latéralement aux sub-arkoses roses.</p> <p>Stratification extrémité Nord de l'af- fleurement.</p> <p>Stratification extrémité Sud de l'af- fleurement.</p> <p>Joints à N-160°, N-45°-70° N.W.</p>			

Statistiques

STATION	RA SPP2	DESCRIPTION	FORMATION	ECHAN- TILLON	ANALYSE
2L-282	35-40 N-20 45° N-354 50° N-44 24° N-156 18°	Grès rose feldspathique et dolomitique à proximité d'un accident; le grès est altéré, tectonisé; il est parfois rose, mauve en blanc, très irrégulier. Joints sur fracture. Stratification mal exprimée, laminations diffuses, aspect relativement massif. Stratification dans faciès vacuolaire; grès feldspathique possiblement dolomitique, tectonisé et recristallisé. 2L-282a: Grès laminé feldspathique et dolomitique.		2L-282a	Réf.
2L-283	30 N-20 70°	Orthoquartzite rose à matrice dolomitique. Joints à N-20°.			
2L-284	35 N-95° 18°	Orthoquartzite massif, grain moyen, semble contenir de la dolomie; recristallisation et effet tectonique. Glissement intercouche à N-95°; le compartiment du "S" a monté. Joints à N-30°, N-50° et N-160°; N-30° le mieux développé. N-302°, 18° bordure de chenal. 2L-284a: Grès dolomitique et feldspathique; développement de nodules sous les effets tectoniques et métasédimentaires.			

Statistiques

STATION	RA SPP2	DESCRIPTION	FORMATION	ECHAN- TILLON	ANALYSE
2L-285	60	Orthoquartzite rose très pâle, grain moyen, matrice feldspathique, roche massive.			
2L-286	45 	Grès feldspathique rose pâle, massif, grain moyen à fin. Joints très abondants à N-160°, densité 5 à 10.			
2L-287	30	Orthoquartzite massif, grain fin à moyen, blanc rosé. Matrice feldspathique.			
2L-288	40-45	Orthoquartzite blanc massif; le débit de l'affleurement suggère un pendage vers l'ouest.			
2L-289	40	IDEM 2L-288.			
2L-290	45-50	Orthoquartzite blanc rosé en contact avec un grès feldspathique légèrement dolomitique, grain moyen à fin, intempérisme pénétrant sur 1 à 2 cm.			
2L-291	45-50	Affleurement plat en bas-relief, orthoquartzite blanc rosé interlité de grès feldspathique fin à ciment dolomitique. Les bancs ont de 30 à 50 cm d'épaisseur et l'alternance semble régulière. La surface d'affleurement pente légèrement vers le N.W.			

Statistiques

STATION	RA SPP2	DESCRIPTION	FORMATION	ECHAN- TILLON	ANALYSE
2L-292	40	Orthoquartzite à grès feldspathique fin blanc rosé, massif.			
2L-283	25-30	Grès feldspathique massif, blanc rosé, grain moyen à fin.			
2L-294	40 A-217 /118	Grès feldspathique laminé rose, grain fin; affleurement en bas-relief près marécage.			

PROJET: MONTS OTISH

Serge Lavoie
Yolande Bisson

FICHE D'AFFLEUREMENT

DATE: 27 août 1980

LOCALISATION: Propriété 'S'

STATISTIQUE: Coupe 2C-142

KM DE COUPE: 3,7 km

KM RADIOMETRE: 3,7 km

STATION	RA SPP2	DESCRIPTION	FORMATION	ECHAN- TILLON	ANALYSE
2L-295	45- 50	Sub-arkose, grès rosé à deux granulométries, grain moyen à gros; sous l'affleurement, blocs métriques très anguleux. Stratification sub-horizontale.			
2L-296	25- 30	Blocs d'orthoquartzite gris sale et de grès feldspathique à grain fin. 2L-296a: Orthoquartzite gris sale. 2L-296b: Grès feldspathique gris pâle, Photos #8 et 9, Film #5: bloc anguleux de sub-arkose grise, laminée, à deux granulométries. L.M. pour étude pétrographique de ce grès. Ces grès gris sont du sous-affleurement; parfois ceux qui sont fortement tectonisés sont ramagés blancs, en bordure des fractures. La composition des blocs varie d'orthoquartzite gris à sub-arkose; ce sont en général des grès bien triés, le quartz est sous-arrondi en grain homogène.		2L-296a 2L-296b 2L-296c	Réf. Réf. L.M.
2L-297	25- 30	Gabbro frais, grain moyen, vert en surface fraîche. Quelques veines de carbonate (calcite) 5 à 15 cm d'épaisseur à N-98°, verticales. Joints à N-80° et N-130°. Le gabbro est relativement fin en pied de colline, bordure de trempe.			

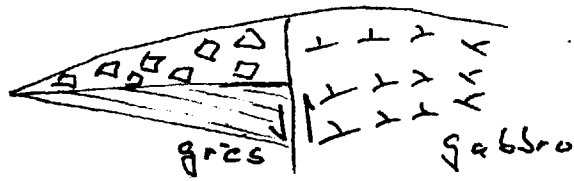
Statistiques

STATION	RA SPP2	DESCRIPTION	FORMATION	ECHAN- TILLON	ANALYSE
2L-297		<p>Au sommet, il est à grain grossier relativement riche en feldspath blanc verdâtre. Localement sur fracture N-160° à N-180°, le gabbro est altéré: feldspath rouge et épidote en interstice dans les grains 2L-297a.</p> <p>2L-297b: Gabbro frais relativement riche en feldspath.</p> <p>Altération sur diaclase N-160°, N-40°.</p>		<p>2L-297a</p> <p>2L-297b</p>	<p>L.M.</p> <p>L.M.</p>
2L-298	25	<p>Gabbro grossier, texture pegmatitique localement.</p> <p>Veine d'épidote 1 à 3 mm selon N-160°, N-70° et N-30°.</p> <p>Les veines à N-160° sont les plus abondantes.</p>			
2L-299	20-25	<p>Gabbro frais, poche pegmatitique, veine d'épidote, voir 2L-299; manche de malachite ?</p> <p>Veines d'épidote N-130°, N-30°, et N-110°, très abondantes dans toutes les directions et ouvertes sur 4 à 7 cm.</p>		2L-299	Réf.
2L-300	20-25	<p>Gabbro épidotisé IDEM 2L-299 et autres.</p> <p>Le gabbro est débité par des failles N-30° donnant de petites vallées structurales de 30 à 50 m de largeur. L'épidotisation est moins abondante que précédemment; le gabbro est plus fin et possiblement plus chloriteux.</p>			

Statistiques

STATION	RA SPP2	DESCRIPTION	FORMATION	ECHAN- TILLON	ANALYSE
2N-71 2N-300 28-30		<p>Champ de blocs à la limite sud du gabbro, quelque 50 m à l'ouest de l'anomalie A-5.</p> <p>Moraine délavée de type felsenmer.</p> <p>Blocs minéralisés sont des gabbros chloriteux fortement cisailés.</p> <p>Des grès rouges rubéfiés.</p> <p>Ces blocs sont sub-en-place; ils correspondent à une dépression; vallée structurale à N-20°.</p> <p>La minéralisation implique à la fois le gabbro et les grès; elle semble nettement moins abondante dans ce dernier.</p> <p>Certains blocs de la moraine sont bourrés de calcite.</p>			
	28-30	<p>Le faciès dominant de felsenmer est en grès feldspathique blanc à grain moyen; le feldspath est concentré en matrice du grès; il est blanc laiteux; le grès est altéré; quartz feldspathique de couleur jaune à rouille.</p> <p>2L-301a: Grès rubéfié minéralisé.</p>		2L-301a	L.M.
2L-301	25	Gabbro chloritisé, cisailé.			
2L-302	25-30 N. 150° - 26°	<p>Grès feldspathique blanc laminé, grain moyen à fin, altéré.</p> <p>IDEM felsenmer.</p> <p>Stratification.</p>			
2L-303	25-30	Gabbro.			

Statistiques

STATION	RA SPP2	DESCRIPTION	FORMATION	ECHAN- TILLON	ANALYSE
2L-304	35-45	<p>Sub-arkose blanche, grain moyen à fin feldspath en matrice, roche poreuse légère altération limonitique, 120 m de la tête Nord du lac.</p> <p>Les grès semblent orientés N-105°, pendage de 5° vers le Nord.</p> <p>Affleurement douteux de petite taille.</p>			
2L-305	35-40 n-305 16°	<p>Sub-arkose blanche, débit en plaquettes centimétriques (1 à 3).</p> <p>Le gabbro qui se situe 50 m vers le Nord est donc en dyke ou sill non concordant dans les grès.</p> 			
2L-306	25-30	Gabbro.			
2L-307	30 n-112 2°	<p>Sub-arkose laminée, grain moyen à fin, feldspath en matrice, roche altérée.</p>			

PROJET: MONTS OTISH

R. St-Jean

J. Lefur

FICHE D'AFFLEUREMENT


DATE: 27 août 1980

LOCALISATION: Propriété "S"

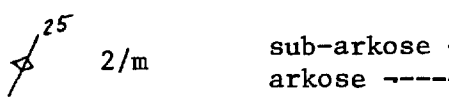
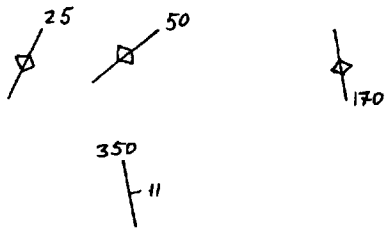
STATISTIQUE: Coupe 2C-144

KM DE COUPE: 4,6 km

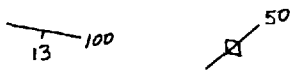
KM RADIOMETRE:

STATION	RA SPP2	DESCRIPTION	FORMATION	ECHAN- TILLON	ANALYSE
2J-291	35- 40	Affleurement ? 1 m d'épaisseur. Gabbro altéré gris vert; présence de fuschite et de pyrite. Grain moyen, cristaux d'amphibole jusqu'à 1 cm; beaucoup de blocs de grès feldspathique gris bleuté à deux granulométries. Plusieurs blocs de quartzite gris ----- Blocs de gabbro très épidotisé -----	Gabbro d'Otish	2J-231a 2J-231b	
2J-292	50- 55	Affleurement 0.2 m d'épaisseur x 10 m de longueur. Grès feldspathique rose, environ 15% feldspaths blancs; laminae centimétriques à deux granulométries:- fine et grossière. Feldspaths altérés.  Quelques petites poches plus grossières ressortent en relief par rapport aux passées plus fines.	Indicateur		
2J-293	45- 50	Affleurement 1 m x 2 m. Sub-arkose blanche à ciment feldspathique; passées d'arénite grossière dans arénite moyenne. Passées poreuses à arénite grossière et stratification entrecroisée. Lits 20 cm.	Indicateur		

Statistiques

STATION	RA SPP2	DESCRIPTION	FORMATION	ECHAN- TILLON	ANALYSE
2J-294	50	<p>Affleurement 2 m d'épaisseur. Sub-arkose beige ≈ 20% feldspaths. Double granulométrie; grain grossier à moyen, laminae centimétriques devenant oxydées près de fracture.</p> <p>Bancs lenticulaires ayant localement l'aspect chenalisant; lentilles d'arénite très poreuse.</p> <p>Localement on observe des cupules érodées montrant la présence de ciment carbonaté.</p> <p>Passé latéralement à une arkose massive, rose à blanche, à grain moyen, montrant parfois des points verts.</p>	Indicateur	2J-294a	
		 <p>sub-arkose arkose</p>		2J-294b 2J-294c	
2J-295	45- 50	<p>Affleurement 4.5 m d'épaisseur. Grès feldspathique à ciment feldspathique, gris à rosé; double granulométrie; laminae centimétriques.</p>	Indicateur	2J-295a	
2J-296	35- 40	<p>Affleurement 1 m d'épaisseur. Grès feldspathique gris à beige, ≈ 10% de feldspaths; laminae centimétriques à millimétriques et massif à grain moyen. Changement très brusque entre grès feldspathique et sub-arkose.</p>	Indicateur		
					

Statistiques

STATION	RA SPP2	DESCRIPTION	FORMATION	ECHAN- TILLON	ANALYSE
2J-297	40- 45	<p data-bbox="426 409 1065 577">Affleurement 2 m d'épaisseur. Sub-arkose rose, grain moyen à très grossier, microconglomératique, localement de couleur vert très foncé, ressemblant à un grauwacke.</p> <p data-bbox="426 588 1040 651">Passées très poreuses à laminae centimétriques à millimétriques.</p> 	Indicateur	2J 297a	L.M

PROJET: MONTS OTISH

R. St-Jean
Y. Rougerie

FICHE D'AFFLEUREMENT

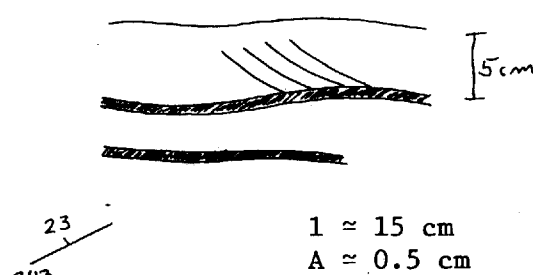
DATE: 29 août 1980

LOCALISATION: Propriété S et L

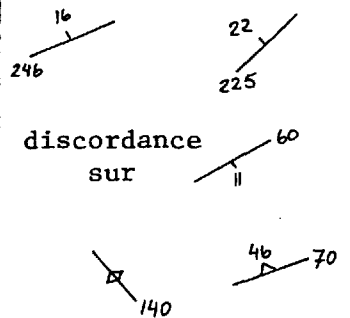
STATISTIQUE: Coupe 2C-147

KM DE COUPE: 5,0 km environ

KM RADIOMETRE:

STATION	RA SPP2	DESCRIPTION	FORMATION	ECHAN- TILLON	ANALYSE
2J-298	50	<p>Affleurement à peu près continu.</p> <p>Grès feldspathique rose laminé, 10 à 15% de feldspaths, grès très propre; feldspaths roses localement ciment siliceux, petites poches friables.</p> <p>Laminae millimétriques à centimétriques; les passées plus fines sont plus feldspathiques.</p> <p>On peu voir de très belles rides.</p> 	Indicateur	2J-298a	
2J-299	55 600 max. 150	<p>Bloc 1.5 m³ sub-anguleux.</p> <p>Sub-arkose verte microconglomératique et conglomératique à cailloux de quartz.</p> <p>R.A. maximale sur niveau rougeâtre, et bloc sub-arrondi d'arkose rose, microconglomératique à granules de quartz et feldspaths.</p> <p>Les feldspaths sont très roses et très frais.</p> <p>La R.A. est maximale sur une bande rougeâtre et noire semblant être une pellicule sur les grains.</p>	Indicateur	2J-299a 2J-299b	U.Th. U.Th. et L.M.

Statistiques

STATION	RA SPP2	DESCRIPTION	FORMATION	ECHAN- TILLON	ANALYSE
2J-300	45-50	Blocs erratiques 0.2 à 1.5 m ³ . Sub-arkose et arkose rose saumon, laminées; entre 20 et 30% de felds- paths.	Indicateur		
2J-301 (2A-71)	2000 1000 800	Bloc erratique 1.0 x 1.2 m, sub-angu- leux. Orthoquartzite gris à laminations centimétriques noires. Ciment siliceux, localement carbona- té. Tri moyen; grain moyen; il semble y avoir des passées plus feldspathi- ques. U/Th. << 1	Indicateur	2J-301a	U. Th.
2J-302	50- 1050	Bloc erratique, sub-arrondi, 1.5 ³ . Microconglomérat blanc de composition orthoquartzite (ou grès feldspathi- que) à granules de quartz. R.A. maximale sur niveau ocre plus fin, - non échantillonnable	Indicateur	2J-302a	
2J-303	50	Affleurement dans la falaise sur le côté du marécage, 10 m d'épaisseur. Grès feldspathique à ciment feldspa- thique, environ 15% de feldspaths. Beaucoup de petits grains noirs, la- minae millimétriques, lentille d'aré- nite très poreuse.  <p>16 24b</p> <p>22 225</p> <p>discordance sur</p> <p>60</p> <p>46 70</p> <p>140</p>	Indicateur	2J-303a	

PROJET: MONTS OTISH

R. St-Jean
Y. Rougerie

FICHE D'AFFLEUREMENT

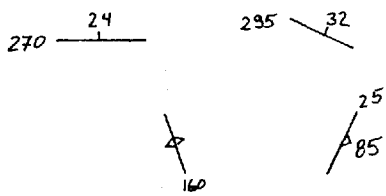
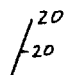
DATE: 30 août 1980

LOCALISATION: Propriété L

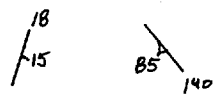
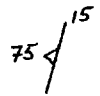
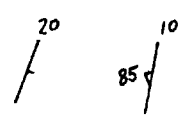
STATISTIQUE: Coupe 2C-150

KM DE COUPE: 6,0 km

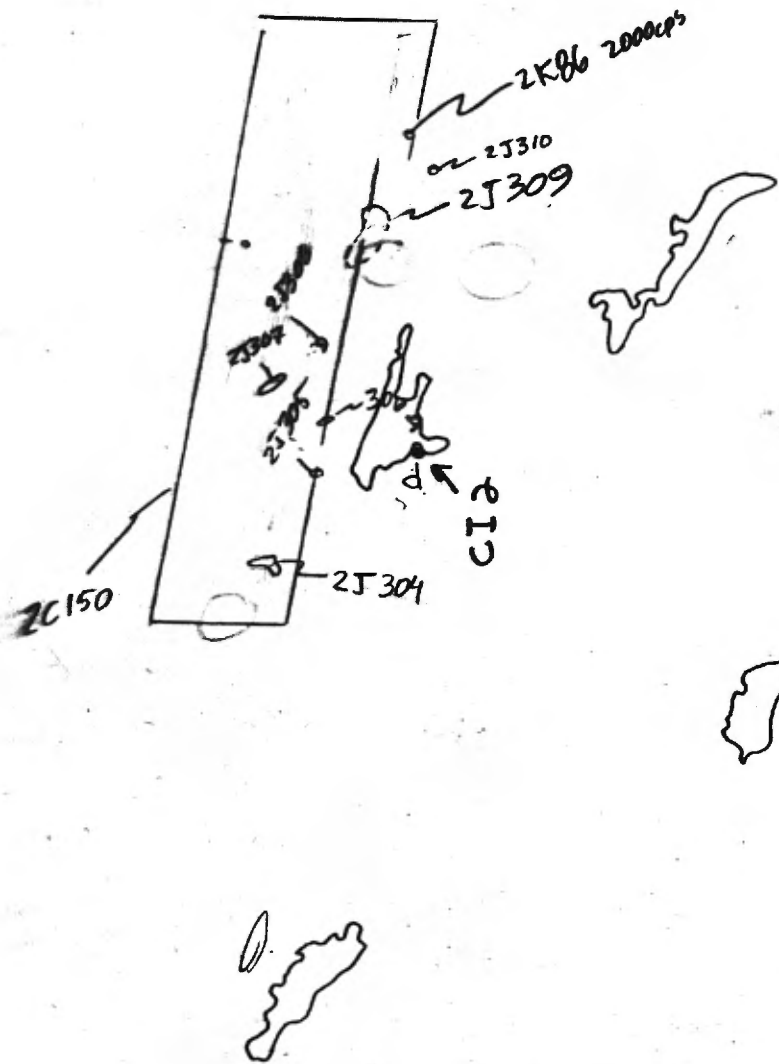
KM RADIOMETRE:

STATION	RA SPP2	DESCRIPTION	FORMATION	ECHAN- TILLON	ANALYSE
2J-304	55- 60	<p>Affleurement près du lac, environ 20 m d'épaisseur.</p> <p>Grès feldspathique rose, environ 15% de feldspaths de couleur rose orangé vers la base.</p> <p>Double granulométrie: moyenne et microconglomératique.</p> <p>Microconglomératique à granules de quartz arrondis et dépolis, ciment très calcareux montrant une altération noire par endroit.</p> <p>Lentilles plus poreuses.</p> 	Indicateur	2J-304a	
2J-305	45	<p>Affleurement 2.5 m d'épaisseur.</p> <p>Sub-arkose rose à ciment dolomitique (altération noire), environ 15 à 20% de feldspaths, grains noirs à lustre métallique bleuté (hématite ?).</p> <p>Présence de laminations, stratifications entrecroisées, chenaux, brèche intraformationnelle, rides, etc.</p>	Indicateur	2J-305a	
2J-306	45- 50	<p>Affleurement 0.3 m d'épaisseur.</p> <p>Grès feldspathique rose, environ 10-15% de feldspaths, laminae millimétriques, ciment carbonaté (altération brun foncé). Lentilles plus poreuses.</p> 	Indicateur		

Statistiques

STATION	RA SPP2	DESCRIPTION	FORMATION	ECHAN- TILLON	ANALYSE
2J-307	50	<p>Affleurement à peu près continu, environ 4 m d'épaisseur.</p> <p>Grès feldspathique rose saumon, environ 10% de feldspaths, ciment carbonaté à altération noire, massif à laminae</p> <p>lentilles poreuses</p> 	Indicateur		
2J-308	50	<p>Affleurement 1.5 m d'épaisseur.</p> <p>Grès feldspathique rose saumon, points mous; petits cristaux noir bleuté (hématite ?).</p> <p>Grain fin à moyen; ciment siliceux carbonaté, bancs massifs.</p> <p>Mauvais affleurement</p> 	Indicateur	2J-308a	
2J-309	55- 60	<p>Série de blocs de taille variée montrant de belles rides symétriques mamelonnées (voir photographie page suivante) de composition grès feldspathique rose laminé.</p> <p>Aussi une série de blocs de grès feldspathique blanc à taches ocre, à grain grossier à très grossier.</p>	Indicateur		
2J-310		<p>Affleurement ou blocs sub-en-place.</p> <p>Grès feldspathique ou sub-arkose rose, environ 15% de feldspaths, grain moyen à fin, grains noirs.</p> <p>Tri bon.</p> <p>Massif.</p> <p>Ciment carbonaté.</p> 	Indicateur		

6km



Q63143-29
A.5205

PROJET: MONTS OTISH

FICHE D'AFFLEUREMENT

DATE: 25/8/80

LOCALISATION: Propriété "S"

STATISTIQUE: 2C#153

KM DE COUPE: 3.6

KM RADIOMETRE: 10.4

STATION	RA SPP2	DESCRIPTION	FORMATION	ECHAN- TILLON	ANALYSE
2V265	45	Fine to medium grained (2 grain size), pink subarkose.	Indicateur 1 092,35 1 338,85		
2V266	45	Massive, pink, fine grained subarkose with beds varying 5-20 cm. and thick. There are abundant quartz stringers, especially at 287°, 84° as well as 007 and as interbed. There is local dense fracturing at 175°. Sometimes feldspar fills fractures (007°).	Indicateur 1 130,14 1 103,82 1 078,90 1 340,80 1 056,82 qz. stringers 1 287,84 - very abundant - up to 50% of rock over .5 m. in places and 007°		
2V267	45	Idem 2V266 but occasionally laminated. Note of two grain sizes.	Indicateur 1 187,33		
2V268	45	Idem 2V267. There is far more slumping. There is abundant quartz stringers both as vein (2V266) and interbed, up to 3 cm. thick. There is a lot of brecciation of the rock possibly due to sedimentary slumping.	Indicateur 1 045,14		
2V269	50	Pink, fine and medium grained (i.e. two grain sizes) laminated feldspathic sandstone.	Indicateur 1 045,14 1 185,87 1 254,81 1 299,13 1 025,78 1 156,96	2V269a	U/Th (F.G.) U Th U/Th

Statistiques 2C#153

STATION	RA SPP2	DESCRIPTION	FORMATION	ECHAN-TILLON	ANALYSE
2V270	45	<p>Massive, medium grained, pink subarkose with some mauve alteration spots on the bedding plane. There does not appear to be any control of the mauve spots even though they are in a bedding plane.</p> <p>This is underlain by approx. 6 m. of pink subarkose with interstitial carbonates which have synsedimentary faulting, 059,75° - dextral and 059,19° plane is senestral with probably to the SE.</p>	Indicateur		
2V271	35-40	<p>A sequence of fine to medium grained two grain size arenites of feldspathic to arkosic composition. The rock is primarily pink to the south and mauve to the north (down sequence).</p> <p>Generally the grading is inverted with beds being medium grained and approx. 25 cm. thick above a series of laminated two grain size (fine predominant along with some medium) cross-bedded sandstones.</p> <p>The mauve coloration appears to be secondary on the pink which locally has remained.</p>	<p>Indicateur</p> <p>↘ 060,41 ↘ 014° ↘ 045- ↘ 060</p>	2V271	
2V272	40	<p>Laminated, cross-bedded, lenticular orthoquartzite with a calcareous feldspathic matrix. The laminations are green and pink.</p>	<p>Indicateur</p> <p>↘ 353,6 ↘ 082,90</p>	2V272 a	<p>U/Th (F.G.) U Th U/Th</p>
2V273	40	<p>Medium grained unaltered gabbro.</p>	Gabbro d'Otish		

PROJET: MONTS OTISH

FICHE D'AFFLEUREMENT

DATE: 26/8/80

LOCALISATION: Propriété "S"

STATISTIQUE: 2C#154

KM DE COUPE: 5.7

KM RADIOMETRE: 12.2

STATION	RA SPP2	DESCRIPTION	FORMATION	ECHAN- TILLON	ANALYSE
2V274	60-65	.25-.5 m. thick pink orthoquartzites of 2 grain sizes, medium and very fine (laminated) interbedded with light pink to beige subarkose (approx. 1 m. thick beds) of 2 grain sizes (medium and very fine). The feldspathic matrix is recrystallized and constitutes approx. 25% of the rock.	Indicateur / 060,12 / 1070,87 / 138,75		
2V275	50-60	A 2 grain size (fine and very fine) laminated (beige on pink) feldspathic sandstone with abundant feldspathic matrix.	Indicateur / 350,28 / 251,90?		
2V276	45	Massive, moderately baked or recrystallized pink fine grained subarkose to arkose.	Indicateur / 218,87 / 305,72		
2V277		Mylonitic fault breccia with fragments of cherty orthoquartzite with some dissolution of the quartz, and feldspar bearing sandstones. There is abundant calcitic quartz in the matrix as well as some biotite and muscovite. There are some mauve coloured fragments in local boulders of the breccia. The outcrop is 15 m. long by 3 m. wide x 1 m. high.	Indicateur / 025,63 Indicateur	2V277A 2V277B	
2V278	40-50	Pink to red brown, fine grained orthoquartzite with silica cement.	Indicateur / 034,57		

PROJET: MONTS OTISH

R. St-Jean
J. Lefur

FICHE D'AFFLEUREMENT

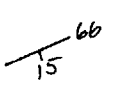
DATE: 31 août 1980

LOCALISATION: Propriété L

STATISTIQUE: Coupe 2C-158

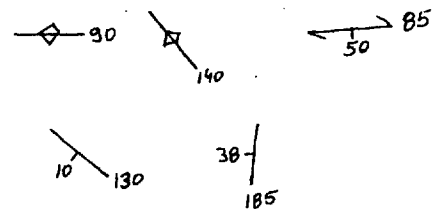
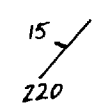
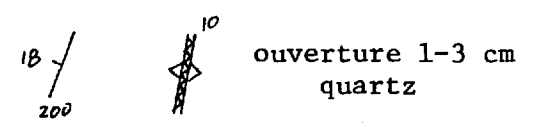
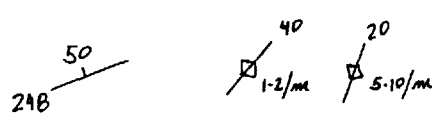
KM DE COUPE: 1,6 km

KM RADIOMETRE:


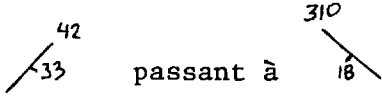
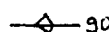
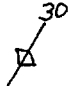
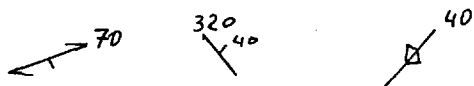
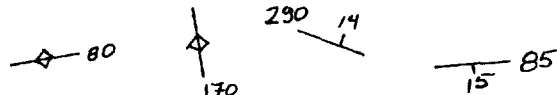
STATION	RA SPP2	DESCRIPTION	FORMATION	ECHAN- TILLON	ANALYSE
2J-311	50- 55	Affleurement 1.0 m d'épaisseur. Sub-arkose rose, environ 15-20% de feldspaths, laminae millimétriques; feldspaths blancs et rosés. Granulométrie relativement homogène (grain moyen); les laminae sont accentuées par des passées plus feldspathiques; ciment siliceux argileux.	Indicateur	2J-311a	
2J-312	50	Affleurement 10 m d'épaisseur. Sub-arkose rose, environ 15% de feldspaths, laminae millimétriques à centimétriques, grain fin et grossier. Les grains de quartz semblent être aplatis. passées plus grossières, plus poreuses et plus quartzitiques; localement ciment carbonaté à altération noire. - orthoquartzite au-dessus de 2J-311. Sur l'affleurement, on peut voir une "écaillage" ayant glissée probablement à l'état plastique (voir photo page suivante). On peut aussi voir des évidences de slumping. Plandu pli provoqué par le slumping: 	Indicateur	2J-312a	
2J-313	55	Affleurement 3 m d'épaisseur. Sub-arkose rose, ciment calcaireux localement laminae centimétriques, grains noirs.	Indicateur		

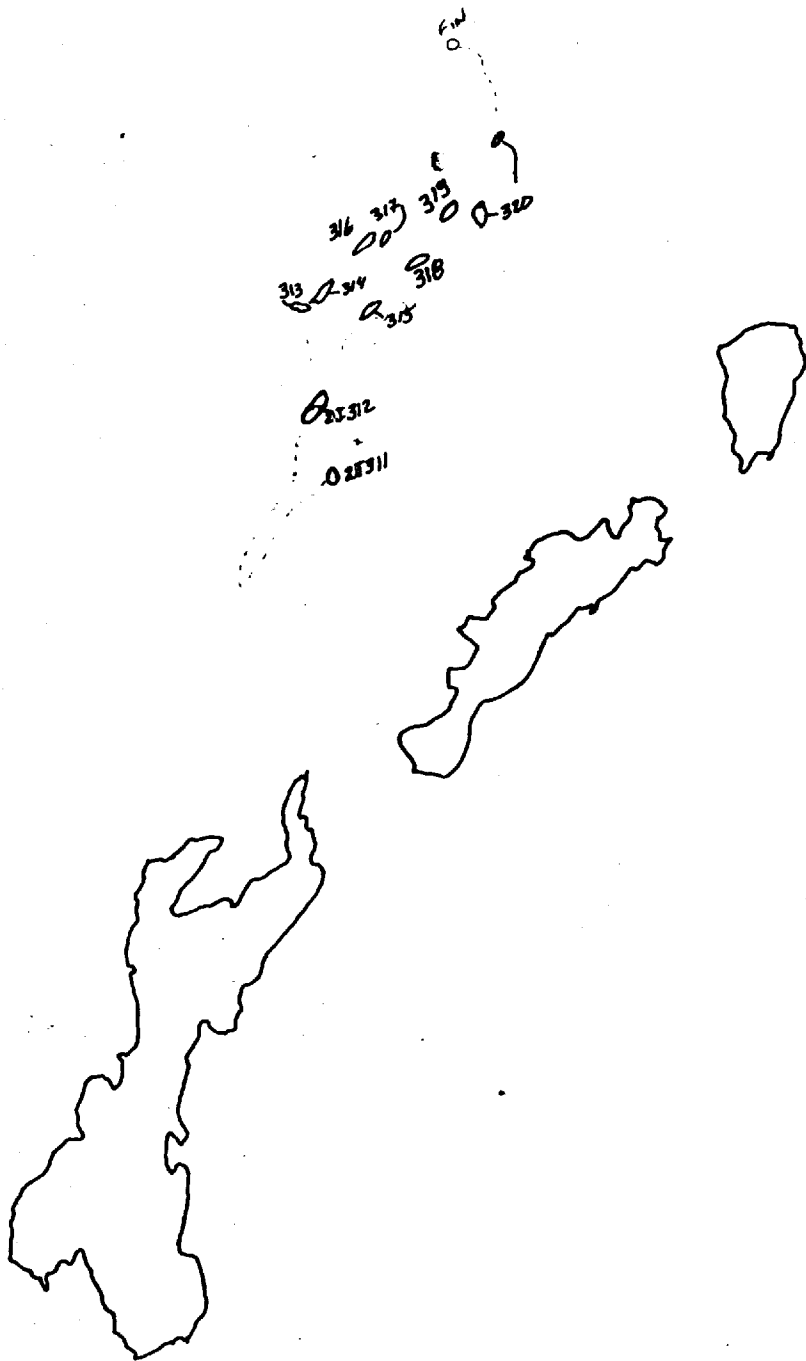
Statistiques

STATION	RA SPP2	DESCRIPTION	FORMATION	ECHAN- TILLON	ANALYSE
2J-313 suite		<p>Granulométrie: grossière, fine. Stratification entrecroisée. Niveau 30 cm d'épaisseur, arkose blanc verdâtre, lenticulaire. La fracturation semble former des escaliers stratigraphiquement au-dessus de 2J-312.</p>			
2J-314	50-55	<p>Affleurement 3 m d'épaisseur stratigraphiquement sous 2J-313. Sub-arkose rose saumon, environ 15% de feldspaths, laminae millimétriques, grains noirs, ciment siliceux, grain très grossier et fin; quelques taches d'oxydation rouge. Devenant massif vers le nord.</p>	Indicateur		
2J-315	50-60 80	<p>Affleurement 2 m d'épaisseur. Sub-arkose rose, laminée. Lentille blanc verdâtre de composition pétrographique similaire; ciment argileux-siliceux.</p>	Indicateur		
2J-316	50-60	<p>Affleurement environ 2 m d'épaisseur semblable à 2J-315.</p>	Indicateur		



Statistiques

STATION	RA SPP2	DESCRIPTION	FORMATION	ECHAN- TILLON	ANALYSE
2J-317	50-60	Affleurement 4-5 m d'épaisseur. Sub-arkose rose, massive, environ 15 à 20% de feldspaths; tri mauvais; grain fin à grossier, ciment carbonaté à altération noire devenant laminée vers le sommet. 	Indicateur		
2J-318	50-55	Affleurement 3 m d'épaisseur. Sub-arkose rose, laminae millimétriques, ciment carbonaté à altération noire.  passant à Petites fractures de tension   1-2/m	Indicateur		
2J-319	55 80	Affleurement 3 m d'épaisseur. Sub-arkose rose, laminée et massive, localement bréchifiée - argile tectonique verte. Fracturé dans un peu tous les sens. 	Indicateur	2J-319a	
2J-320	55- 65	Affleurement 2.5 m d'épaisseur. Sub-arkose rose, 25% de feldspaths, laminae millimétriques, granulométrie grossière et fine; ciment très carbonaté. 	Indicateur		



Q 64369
105

PROJET: MONTS OTISH

R. St-Jean
Y. Rougerie

FICHE D'AFFLEUREMENT

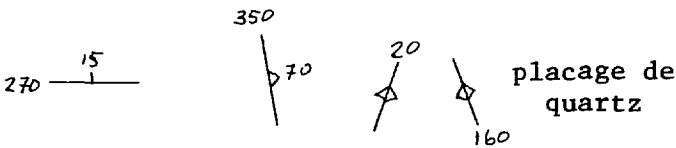
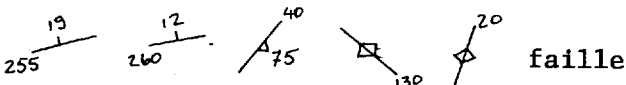
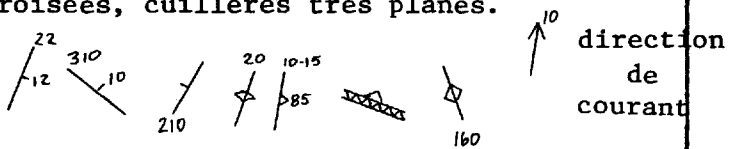
DATE: 3 septembre 1980

LOCALISATION: Propriété "S"

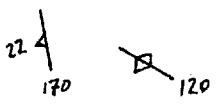
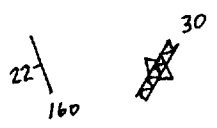

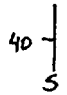
STATISTIQUE: Coupe 2C-161

KM DE COUPE: 5,4 km

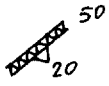
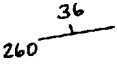
KM RADIOMETRE: 5,4 km x 2

STATION	RA SPP2	DESCRIPTION	FORMATION	ECHAN- TILLON	ANALYSE
2J-321	55- 60	Affleurement 2 m d'épaisseur. Grès feldspathique et sub-arkose rose, laminae millimétriques, grains noirs. Lentille de couleur blanc verdâtre.	Indicateur	2J-321a L.M.	
					
2J-322	55	Affleurement sur la pointe. Sub-arkose rose, 15-20% de feldspaths, grains noirs, laminae millimétriques.	Indicateur		
					
2J-323	100	Blocs de siltstone rouge violacé, petites taches d'argilite, ainsi que beaucoup de blocs de grès feldspathique à sub-arkose à fuschite.	Indicateur	2J-323a	
2J-324		Affleurement 2 m d'épaisseur. Grès feldspathique rose, laminé, deux gra- nulométries; belles stratifications entre- croisées, cuillères très planes.	Indicateur	2J-324a	
					

Statistiques

STATION	RA SPP2	DESCRIPTION	FORMATION	ECHAN- TILLON	ANALYSE
2J-325	100- 850	Bloc erratique 0.3 m ³ . Sub-arkose rose, massive, à taches ocre et pois d'hématisation; grain moyen, tri moyen, tache ocre.	Indicateur		
2J-326	55-60	Affleurement. Grès feldspathique rose laminé, envi- ron 15% de feldspaths, points noirs. 	Indicateur		
2J-327		Affleurement de grès feldspathique rose; laminae millimétriques, grains noirs. 	Indicateur		
2J-328	55	Affleurement 1 m d'épaisseur près du petit lac. Grès feldspathique beige, 10-15% felds- paths, grains noirs, un peu laminés, fractures remplies de quartz. 	Indicateur		
2J-329	40	Affleurement 2 m d'épaisseur. Grès feldspathique, sub-arkose rose, 15% de feldspaths, laminae, grains noirs. 	Indicateur		

Statistiques

STATION	RA SPP2	DESCRIPTION	FORMATION	ECHAN- TILLON	ANALYSE
2J-330	55-60	<p>Affleurement IDEM 2J-329, très fracturé. Fractures ouvertes et remplies de quartz-intercouche; largeur des fractures 2 mm maximum.</p> 	Indicateur		
2J-331	50-60	<p>Affleurement 30 m d'épaisseur. Sub-arkose rose laminée, grains noirs, localement bréchifiée; passées carbonatées, lentilles poreuses, petits chenaux.</p> 			

PROJET: MONTS OTISH 80'

FICHE D'AFFLEUREMENT

DATE: 5 septembre 1980

LOCALISATION: S.W. de la propriété S. - Ortho Photo "S"

STATISTIQUE: Coupe 2C-165

KM DE COUPE: 4,6 km.

KM RADIOMETRE: 7,5 km.

STATION	RA SPP2	DESCRIPTION	FORMATION	ECHAN- TILLON	ANALYSE
2M398	65- 70 cps	Blocs de siltstone rouge lie-de-vin.			
2M399	100- 125 cps	Siltstones rouge lie-de-vin, schistosés, bancs décimétriques lenticulaires, forte érosion. Stratification $6^{\circ} / 206^{\circ}$			
2M400	85 cps	Siltstones rouges avec taches de décolo- ration verdâtres disséminées, siltstone massif; bancs métriques, peu tectonisés.			
2M401	125 cps	Siltstones rouges, schistosés. Stratification $52^{\circ} / 8^{\circ}$ Fractures majeures: N. $20^{\circ} / 60^{\circ}$ N. $313^{\circ} / 20^{\circ}$ Vers le bas (10 m.), on retrouve le même faciès de siltstone qui est décrit en 2M398.			
2M402	110 cps	Siltstones rouges, schistosés. Stratification: N. $360^{\circ} / 50^{\circ}$			

Statistiques

STATION	RA SPP2	DESCRIPTION	FORMATION	ECHAN- TILLON	ANALYSE
2M403	100- 110cps	Siltstone rouge schistosé; stratifi- cation sub-horizontale.			
2M404	100 cps	Siltstone rouge. Stratification sub-horizontale.			

PROJET: MONTS OTISH

FICHE D'AFFLEUREMENT

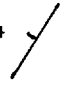
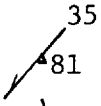

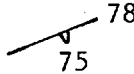
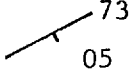
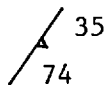
DATE: 5 septembre 1980

LOCALISATION: "S" Indice, SE anomalie A-29

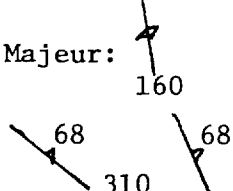
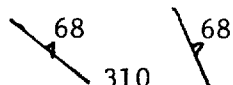
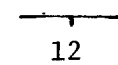

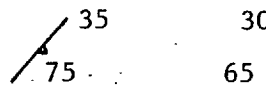
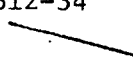
STATISTIQUE: Coupe 166

KM DE COUPE: 4,9 km

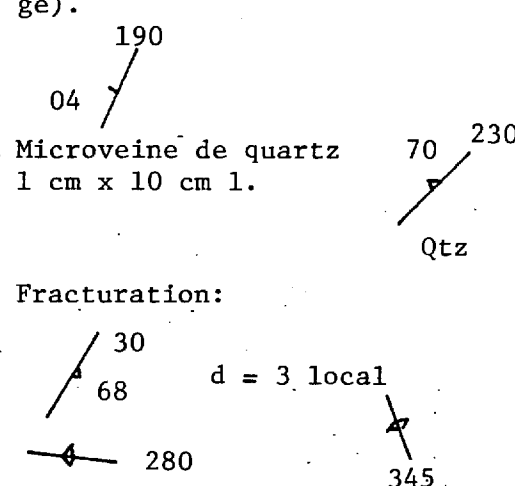
KM RADIOMETRE: 2 x 4,9 km

STATION	RA SPP2	DESCRIPTION	FORMATION	ECHAN-TILLON	ANALYSE
2B261	30	<p>Grès feldspathique hétérogranulaire rose à grain de .1 à .3 mm, laminé épais de 1 mm, espacé de 3 m. 200</p> <p>So 14 </p> <p>Fracturation:</p> <p> 35 métrique</p> <p> 52 métrique</p> <p>346</p> <p> 78 longue > 5 m</p> <p>75</p> <p>Bloc "anomal" arrondi 40 x 30 x 40 cm à 500 cps de granite blanc à quartz-feldspath-chlorite, grain 2 à 5 mm.</p> <p>Bloc anguleux de quartzite rose 80, à quartzite blanc 20.</p>			
2B262	30	<p>Grès feldspathique hétérogranulaire à alternance cm d'épaisseur mm à lamine grise en flamme (5 mm x 5 cm) et à nodule grisâtre discordant de 3 à 5 cm.</p> <p>So  73 net. sur lamine</p> <p>05</p> <p>Fracturation:</p> <p> 35</p> <p>74</p>			

Statistiques

STATION	RA SPP2	DESCRIPTION	FORMATION	ECHAN- TILLON	ANALYSE
2B262 suite		<p>Majeur:  d = 0.5 1 < 1 m</p> <p> 1 = 1</p> <p>Bloc Drumlin avec beaucoup de blocs très divers et nombreux blocs de G.A.</p>			
2B263 ou Ano A-29	Max. 500 à 1500	<p>Quartzite laminé à alternance noire et rose espacé de 5 à 10 cm, épais de 2 mm (noir) à 5 cm (noir)</p> <p>So  90 500 à 1500 cps</p> <p>Le contrôle semble être l'intersection de la So avec le plan de fracture.</p> <p> 70</p>			
2B264	25	<p>Gabbro à grain fin légèrement épidotisé avec passée à cristaux d'épidote isolée avec beaucoup de feldspath. Le G.A. est légèrement quartzeux avec quelques veines de carbonaté en bordure. (Cette bordure N, légèrement cisailée, semble être un ancien contact).</p> <p>Fracturation majeure:</p> <p> d = 3 localement.</p> <p>Stries de carbonates (?) N-312-34</p> <p>312-34 </p>			

Statistiques

STATION	RA SPP2	DESCRIPTION	FORMATION	ECHAN- TILLON	ANALYSE
2B264 A-29		Série de blocs de quartzite noir entre l'escarpement de grès et l'affleurement de G.A., de direction sub EW; très anguleux, sub-en-place.			
Autre côté du lac	Bloc	Bloc sub-anguleux de grès dolomitique laminé rose avec veine blanche (carbonate et/ou quartz) parallèle au So ou discordante.			
	Champ blocs	1/3 G.A., 1/2 Grès dolomitique, 1/3 Grès-quartz			
2B265	25	<p>Quartzite hétérogranulaire laminé, alternant rose à rose grisâtre, très fin, < .1 mm à .1 mm, plus fracturé que d'habitude (bordure d'une zone de broyage).</p>  <p>Microveine de quartz 1 cm x 10 cm 1.</p> <p>Fracturation:</p> <p>d = 3 local</p>			
2B266 ≈		<p>Affleurement de Malcolm Gent. Grès-quartz complètement broyé et cisailé. Faille de chevauchement à direction et pendage variable de N-45</p> <p>45</p> <p>Quartz blanc recristallisé en amande tectonique.</p>			

Statistiques

STATION	RA SPP2	DESCRIPTION	FORMATION	ECHAN- TILLON	ANALYSE
2B266 suite		<p>Fréquemment quartz blanc lait parfois teinté grisâtre avec un enrobage de quartz blanc, ou de feldspath blanc.</p> <p>Quelques plages feldspathiques de plus de 5 cm.</p> <p>Zone de cisaillement enrobant les amandes de quartz avec un schiste à séricite qui s'altère rapidement et facilement.</p> <p>Quelques globules avec des cristaux de quartz en croissance libre. Les schistes microplissés (entraînement)</p> <p style="text-align: center;">180-17</p> <p>Interprétation: Grès d'abord broyé et recristallisé, cisailé localement ultérieurement.</p>		Pour lame mince <u>double</u> et section polie	
2B267	90 à 100 cps	Siltstone rouge friable non métamorphisé, peut quartzeux, dolomitique. Affleurement de plus de 20 mètres de diamètre et d'au moins 3 mètres d'épais. Nodule plus hématisé à enveloppe noire et tache réduite.			

PROJET: MONTS OTISH

FICHE D'AFFLEUREMENT

DATE: 5/9/80

LOCALISATION: Propriété "S"

STATISTIQUE: 2C#167

KM DE COUPE: 5.1

KM RADIOMETRE: 10.2

STATION	RA SPP2	DESCRIPTION	FORMATION	ECHAN- TILLON	ANALYSE
2V298	850- 1600	Laminated, two grain size (fine-medium and extremely fine) orthoquartzite. There are scattered spots of hematite staining which is associated with yellow uranium products. The laminations consist of millimetric bands of green and white with occasional thick green bands. Possibly U-CO ₃ minerals present.	Indicateur ✓ 135,13 ✓ 035,90	2V298	
2V299	25-30	Medium grained, slightly epidotized gabbro which has some felsic phases.	Gabbro d'Otish ✓ 310,85 ✓ 210,72	2V299	L.M.
2V300	25	Sedimentary, calcareous breccia.	Overburden Indicateur		
2V301	90- 125	Red shale with good fissile parting.	Overburden Indicateur		
2V302	25	Sedimentary, dolomitic breccia with fine to medium grained pink quartz grains. Carbonate (dolomite) grains are very fine. The 311° fracturing might be synsedimentary.	Indicateur ✓ 055,20 ✓ 085,90 ✓ 311,59 ✓ 020,90		
2V303	45	A fine grained, pink, sugary subarkose to feldspathic sandstone which in band specimen appears to be a orthoquartzite with silica cement. There are a few red hematitic spots on a fracture plane. The rock is massive with no evident bedding nor is there any laminations.	Indicateur ✓ 340,80 ✓ 080,90 ✓ 044,90 ✓ 093,16	2V303A 2V303B	U/Th(F.G.) L.M. U: 6.4ppm Th: U/Th:

PROJET: MONTS OTISH

Patrice Caumartin
Marc Simard

FICHE D'AFFLEUREMENT

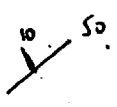
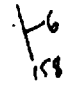
DATE: 5.9.80

LOCALISATION: Propriété "S", est du lac E

STATISTIQUE: Coupe 2C168

KM DE GEOLOGIE: 5

KM DE RADIOMETRIE: 5

STATION	RA SPP2	DESCRIPTION	FORMATION	ECHAN- TILLON	ANALYSE
2P377	25-30	Subaffleurement de gabbro, grain moyen, sain.			
2P378	30	Grès grossier à double granulométrie, dissous: feldspathique. Faciès à feldspaths dessus faille proche. So: N50,10N.			
2P379	40	Grès rose à double granulométrie. So: N158,6E. Diaclasage: N158,6E.			
2P380	40	Grès rose à double granulométrie. So: subhorizontale.			
2P381	35	Grès rose à double granulométrie, subaffleurant.			

PROJET: MONTS OTISH
 Jean Beaudin
 Yves Rougerie

FICHE D'AFFLEUREMENT

DATE: 1er juillet 1980

LOCALISATION: (S) Photos aériennes 64368-83

STATISTIQUE:

KM DE COUPE: 0,7 km

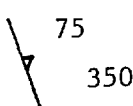
KM RADIOMETRE: 2 x 0,7 km

STATION	RA SPP2	DESCRIPTION	FORMATION	ECHAN- TILLON	ANALYSE
2B180		<p>Grès rose pâle altéré blanc (poudreux, lessivage de la matrice) (1-2 mm), quartzite, présence de laminations obliques et droites. Le délavage est probablement dû à la proximité du gabbro.</p> <p>Quelques dykes de matériel aphanitique s'altérant en une surface poudreuse ocre à rose très pâle (diabase ou albitite ?).</p> <p>20 / 235 ?</p> <p>1° Dyke, 20 cm, ultérieurement très fracturé et recoupé de veine de carbonate.</p> <p>70 / à 85 / 150</p> <p>Microfracture de carbonate (1 mm) dans le dyke et veine irrégulière de carbonate</p> <p>50 / d = 7 / 85 / 75 / d > 10 / 145</p> <p>40 / 75 cisaillement / 333</p> <p>2° Dyke, 30 cm, très fracturé.</p> <p>80 / 145 / 80 / d > 3 localement / 125 / 80 / d > 10 affectant les grès (tache éparsse verdâtre)</p>	13		

Statistiques

STATION	RA SPP2	DESCRIPTION	FORMATION	ECHAN- TILLON	ANALYSE
2B180 suite		<p>3° Dyke (reste la trace, presque entièrement érodé).</p> <p>70 ↙ sur plus de 5 m 150</p> <p>Grès:</p> <p>+ stries intercouches 158-00</p> <p>Fracturation du grès</p> <p>↙ 50 ↘ 80 ↙ ↘ d > 2 localement 160</p> <p>On remarque la fracturation semblable dans le gabbro des anomalies et dans les grès.</p>			
2B181		<p>Gabbro cisailé et veiné de quartz (± minéralisations sulfurées) et anomal localement.</p> <p>Cisaillement important selon ↙ avec ouverture localement 72 ↘ (veine de quartz, présence d'uranium dans zone cisailée).</p> <p><u>Interprétation hypothétique:</u></p> <p>1° - Zone de faiblesse dans les grès N-145.</p> <p>2° - Injection de dyke de gabbro suivie de l'albitisation pénétrante.</p> <p>3° - Cisaillement et fracturation.</p> <p>4° - Minéralisation uranifère.</p> <p>5° - Minéralisation sulfurée.</p> <p>6° - Forte ouverture et infiltration, soit de carbonate, soit de quartz.</p> <p>Les étapes 3 à 6 sont grenvilliennes.</p>	4		

Statistiques

STATION	RA SPP2	DESCRIPTION	FORMATION	ECHAN- TILLON	ANALYSE
2B182		Gabbro non cisailé. 	4		
2B183	Bloc 12000	Bloc d'arkose microconglomératique bien arrondi retrouvé en cherchant anomalie de gabbro sur la zone N-145 de l'anomalie. (voir fiches d'anomalies)	10		
2B184	Bloc 1300	Albitite ? très anguleuse, sub-en-place (couvre les dykes adjacents) appartient à la zone N-135 anormale de la majorité des indices de S. Voir fiches d'anomalies			

PROJET: MONTS OTISH

Jean Beaudin
Yves Rougerie

FICHE D'AFFLEUREMENT

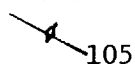
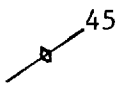
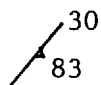
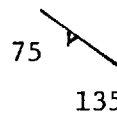
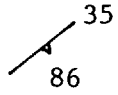
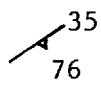
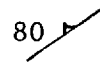

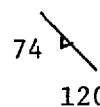
DATE: 2 juillet 1980

LOCALISATION: Q-64368-83 (S)

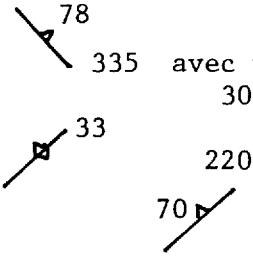
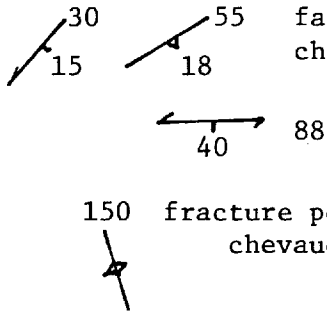
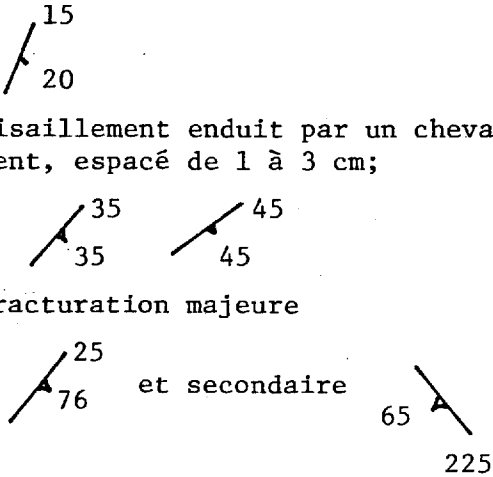
STATISTIQUE:

KM DE COUPE: 3,3 km

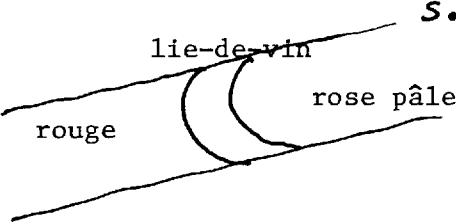
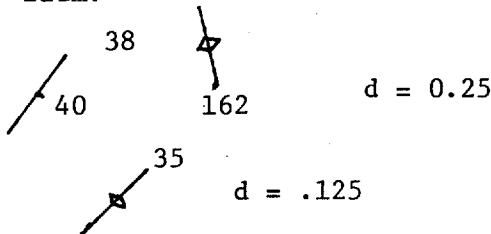
KM RADIOMETRE: 2 x 3,3 km

STATION	RA SPP2	DESCRIPTION	FORMATION	ECHAN- TILLON	ANALYSE
2B185	35	Gabbro frais mou schisteux. Fracture avec épidote.  Fractures majeures. 	21		
2B186		Idem précédent. Fractures majeures et secondaires.  	21		
2B187		Idem précédent. Fractures avec épidotes, fréquentes.  d = 5 Fractures majeures   Fractures secondaires  	21		

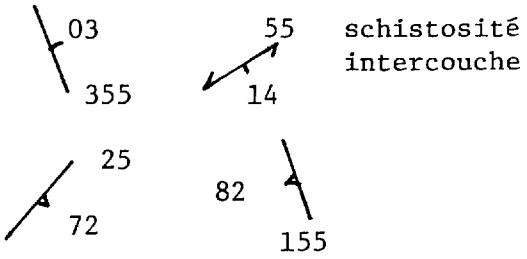
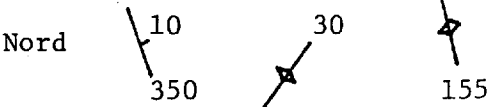
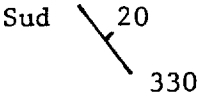
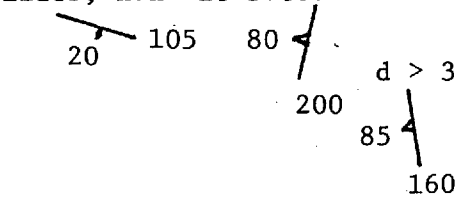
Statistiques

STATION	RA SPP2	DESCRIPTION	FORMATION	ECHAN- TILLON	ANALYSE
2B191 suite		<p>Fracturation majeure</p>  <p>335 avec veines de quartz de 30 cm x 1 cm</p>			
2B192		<p>Quartzite rose saumon à blanchâtre bien laminé (ici, il n'y a plus de tache dispersée d'hématite).</p>  <p>faille mineure chevauchante</p> <p>150 fracture postérieure au chevauchement</p>	16		
2B193		<p>Idem précédent.</p>  <p>Cisaillement enduit par un chevauchement, espacé de 1 à 3 cm;</p> <p>Fracturation majeure et secondaire</p>	16		

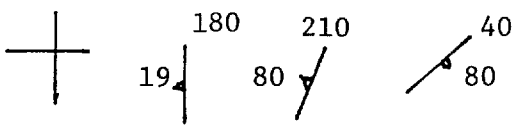
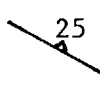

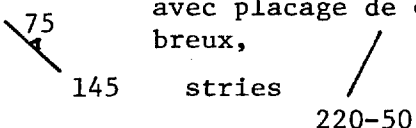
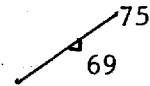
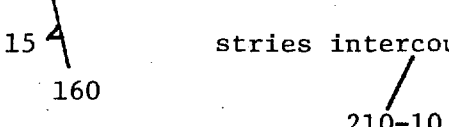
Statistiques

STATION	RA SPP2	DESCRIPTION	FORMATION	ECHAN- TILLON	ANALYSE
2B193 suite		<p>On observe aussi un changement dans l'état d'oxydation non parallèle au plan de stratification.</p> 			
2B194		<p>Idem.</p> 	16		
2B195	Bloc 4500 cps	<p>Bloc extrêmement cisailé de gabbro altéré. Le bloc est aplati selon le plan de cisaillement.</p> <p>cf. fiches d'anomalies</p>	21		
2B196	Bloc 3500 cps	<p>Bloc d'une veine de carbonate complètement brisée (3 morceaux) et altérée. L'argile résiduelle entourant le bloc: 350 cps.</p> <p>Deux autres blocs du même genre à proximité:</p> <ul style="list-style-type: none"> - Station 2K-14 < 2000 cps - Station 2K-15 > 7000 cps <p>Ces deux blocs font partie de l'extrémité sud du train de boulders de S le long d'un linéament.</p>	Péribonca		

Statistiques

STATION	RA SPP2	DESCRIPTION	FORMATION	ECHAN- TILLON	ANALYSE
2B197		Idem.  schistosité intercouche			
2B198		Idem précédent, mais avec 25% de li- thologie blanche. Nord  Sud 			
2B199		Quartzite rose très bien laminé avec passée blanche avec des couches alter- nantes, 1 ^o délavées et érodées; 2 ^o so- lides, non altérées. 	16		
2B200		Idem précédent, mais moins laminé.	16		

Statistiques

STATION	RA SPP2	DESCRIPTION	FORMATION	ECHAN- TILLON	ANALYSE
2B201		<p>Idem précédent (rose pâle), mais l'ensemble blanchi et altéré (saccharoïdale) partiellement.</p>  <p>Cisaillement pénétratif (espacement centimétrique) enduit par un chevauchement.</p> <p>325 d > 10</p> 	16		
2B202		<p>Gabbro massif fortement veiné d'épidote mais peu altéré par ailleurs. Hypothèse de contact relativement plat selon une direction N325°</p> 	21		
2B203		<p>Idem. Fracture parallèle au contact, avec placage de quartz fibreux,</p>  <p>et trois veines mineures de quartz, centimétriques.</p> 	21		
2B204		<p>Grès blanc délavé (provenant des quartzites roses (traces en fantôme)).</p>  <p>stries intercouches</p>			

PROJET: MONTS OTISH

FICHE D'AFFLEUREMENT

DATE: 9 septembre 1980

LOCALISATION: Propriété S

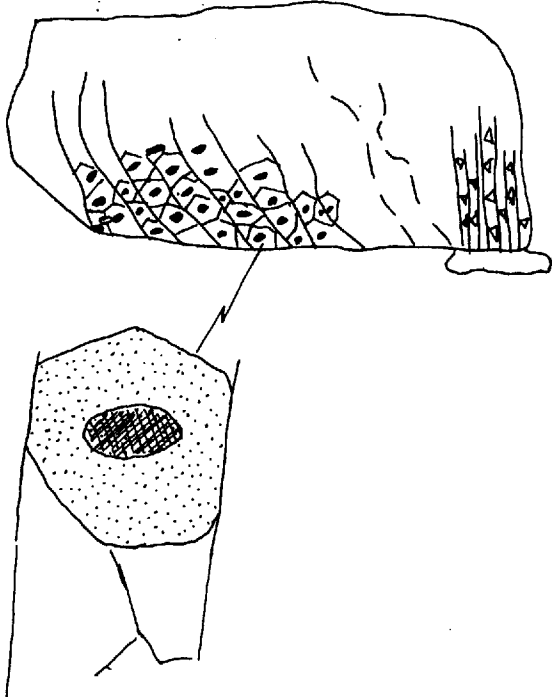
STATISTIQUE: Géologie détaillée

KM DE COUPE:

KM RADIOMETRE:

STATION	RA SPP2	DESCRIPTION	FORMATION	ECHAN- TILLON	ANALYSE
2J-343	35	4 + 32 S.E. 3 + 25 N.E. Sub-arkose gris rougeâtre, massive. Bande de sub-arkose plus pâle, délavée. Petites laminae de directions variées et de couleur noire.	Indicateur	2J-343a	
2J-344	50- 220	2 + 30 S.E. 2 + 50 N.E. Affleurement de grès feldspathique à deux granulométries, de couleur beige à rosée. Affleurement très fracturés montrant aussi beaucoup de stries de glissement. → Arénite en contact avec le gabbro. Les sédiments montrent une zonalité miné- ralogique ressemblant aux effets d'un méta- somatisme. L'affleurement se débite en bloc plus ou moins hexagonaux (colonades ?). Il semble y avoir une zonalité minéralogi- que à l'intérieur de chacune des colonades car au centre de chacune, on observe un "oeil" de couleur rosée ayant une démarca- tion nette avec l'arénite verte l'entamant.	Indicateur	2J-344a 2J-344b	L.M. L.M.

Statistiques

STATION	RA SPP2	DESCRIPTION	FORMATION	ECHAN- TILLON	ANALYSE
2J-344 suite	50- 220	 <p data-bbox="409 1123 1024 1228">On observe aussi des veinules d'hématite, des minéraux d'altération jaune, etc. etc. (un peu d'épidote ?).</p> <p data-bbox="409 1239 1024 1396">Les jus d'altération auraient pénétré par les fractures et auraient migré vers le centre de la colonade. Les jus sont donc contemporains ou ultérieurs à la fracturation.</p> <p data-bbox="409 1417 1024 1480">Très schistosé; la schistosité semble pénétrante.</p> <p data-bbox="409 1501 1024 1648">La roche est en général recristallisée puisque la schistosité est pénétrante; la recristallisation est antérieure à la schistosité puisque celle-ci annihilerait la schistosité.</p>			





Statistiques

STATION	RA SPP2	DESCRIPTION	FORMATION	ECHAN- TILLON	ANALYSE
2J-345	40	<p style="text-align: center;">Station 2J-344</p> <p>Dyke en mauvais affleurement au bout de l'affleurement 2J-344.</p> <p>Gabbro à grain très fin (basalte ?), grès verdâtre à rougeâtre, ou albite ou autre ?</p> <p>Fractures non remplies d'hématite; fractures altérées.</p>	<p style="text-align: center;">?</p> <p>Gabbro d'Otish</p>	<p style="text-align: center;">2J-345a</p>	<p style="text-align: center;">L.M.</p>



de contact
le dyke

Statistiques

STATION	RA SPP2	DESCRIPTION	FORMATION	ECHAN- TILLON	ANALYSE
					
					
					

PROJET: MONTS OTISH

FICHE D'AFFLEUREMENT

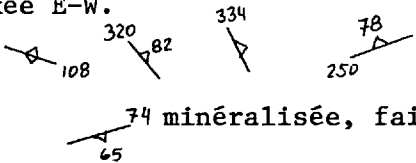
DATE: 10 et 11 septembre 1980

LOCALISATION: Propriété "S"

STATISTIQUE: Géologie détaillée sur la grille

KM DE COUPE:

KM RADIOMETRE:

STATION	RA SPP2	DESCRIPTION	FORMATION	ECHAN- TILLON	ANALYSE
2J-346 (2A-81)	>15000 cps	Bloc erratique environ 35 x 30 x 10 cm. Brèche d'albitite ou de gabbro ? à matrice très chloriteuse. Coordonnée sur la grille détaillée: 4 + 35 S.E. 1 + 52 N.E.	Gabbro	2J-346a	A scier
2J-347		Annulé			
2J-348	max. >15000 cps	Tranchée au nord de la montagne du "S", axée E-W.  74 minéralisée, faillée ? Gabbro frais localement très altéré, chloriteux, beaucoup de carbonates. La zone minéralisée consiste en un gabbro cisailé noir, chloriteux à remplissage de carbonates. Coordonnées sur la grille détaillée. 4 + 90 S.E. 3 + 00 N.E.	Gabbro		

Statistiques

STATION	RA SPP2	DESCRIPTION	FORMATION	ECHAN- TILLON	ANALYSE
2J-349	35-50 cps	<p>Contact gabbro-sédiments au nord de la montagne du "S". Le gabbro est à grain fin.</p> <p>Les sédiments sont très recristallisés et parfois injectés de petits filons de gabbro.</p>	<p>Gabbro</p> <p>Indicateur</p>	<p>2J-349a b</p> <p>2J-349c d e</p>	

FICHE D'AFFLEUREMENT

DATE: 30/6 et 1/7/80

LOCALISATION: Zone 2 (entre les propriétés "S" et "G")

STATISTIQUE: Coupe 45 (étude sur zone No 2, après prospection radiométrique hélicoptérée systématique 2B4)

KM DE COUPE: 15.3

KM RADIOMETRE: 30.6

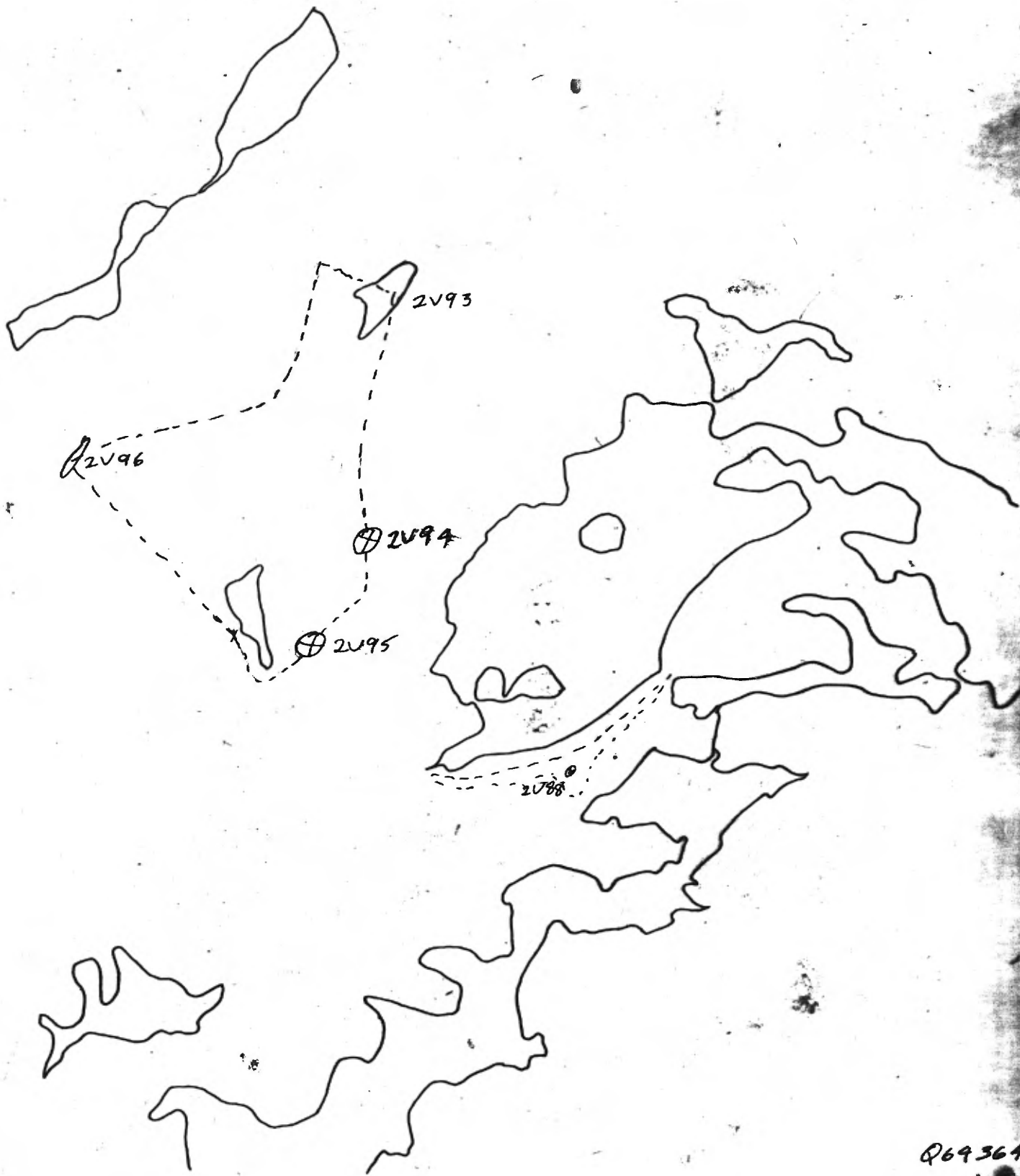
STATION	RA SPP2	DESCRIPTION	FORMATION	ECHAN-TILLON	ANALYSE
2V77	65-75 max. 250	Overburden of red, silty, slightly calcareous sandstone (quartz). Maximum R.A. is in a boulder of feldspathic white microconglomerate (Fm. Indicateur?). Possibly a transition zone between the Indicateur and Péribonca.	Overburden (Péribonca)		
2V78	85-125	Overburden of argillaceous red, very fine grained quartz sandstone.	Overburden (Péribonca)		
2V79	95-125	Dark red siltite "sableuse et un peu argileuse". There is some small 10-20 cm. cross-beddings, slumping with possible algae structures. There are very fine 1 to 2 mm. irregular quartz stringers.	Péribonca 316,20 064,? 260,78 026,67		
2V80	65-125	Transition between Indicateur and Péribonca. Interbedded: a) white orthoquartzites with two grain sizes (coarse and fine) b) red orthoquartzites and feldspathic sandstones c) white to pink microconglomerate which is polygenetic - pebbles of quartz feldspar, arkose and argillite d) conglomeratic feldspathic sandstone and microconglomerate with calcareous pebbles.	Péribonca (base) 220,143,130 60,43 135 212,80 56,75 145,90 074,32		
2V81	65-95	Idem 2V80 (d) - microconglomerate.	Péribonca		
2V82	100-165	"Argile sableuse" - red with a moderately developed fissility.	Péribonca		

Statistiques Coupe 45

STATION	RA SPP2	DESCRIPTION	FORMATION	ECHAN- TILLON	ANALYSE
2V83	100- 135	Idem 2V82			
2V84	65-85	Silty red feldspathic sandstone,	Overburden (Péribonca)		
2V85	55-65	Boulders of red to pink ortho- quartzite and feldspathic sandstone are present. Airborne radiometric anomaly is due to contrast and mass effect of the steep slope.	Overburden (Indicateur) +Péribonca		
2V86	100- 150	Red argillite, well developed fissility	Overburden (Péribonca)		
2V87	100- 150	Idem 2V86.			
2V88	65-100	Boulders of red silty sandstone and siltstone as well as some shales.	Overburden (Péribonca)		
	<u>1/7/80</u>				
2V90	65-85	Red silty sandstone and red shaly siltstone boulders. The area is bordered by boulders of red silty sandstone and feldspathic sandstone (av. 45-55 c/s, i.e. airborne radiometric anomaly is due to contrast in R.A. of background values.	Overburden (Péribonca)		
2V91	65-75	Idem 2V90.	Overburden (Péribonca)		
2V92	65-85	Idem 2V91.	Overburden (Péribonca)		

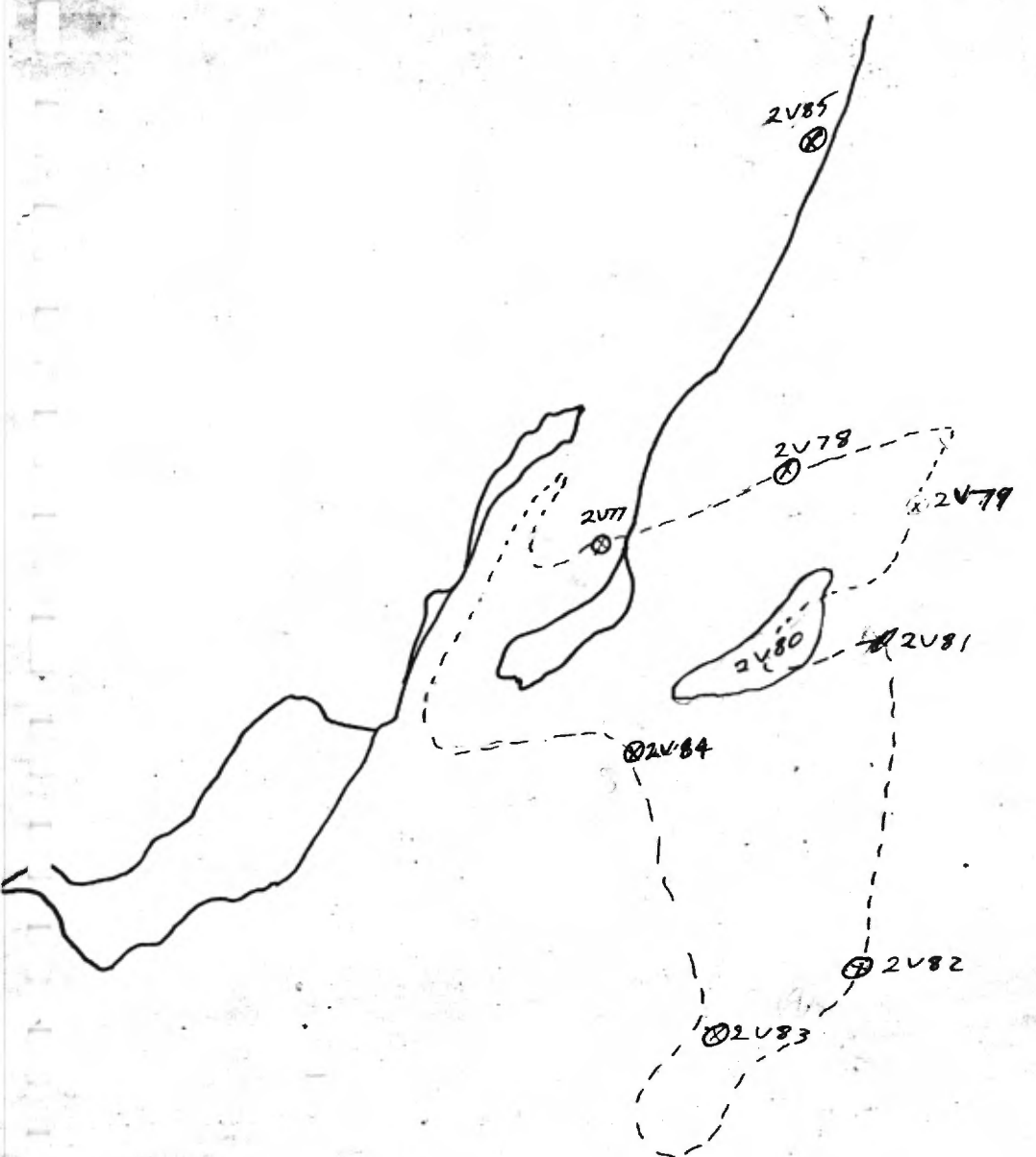
Statistiques Coupe 45

STATION	RA SPP2	DESCRIPTION	FORMATION	ECHAN- TILLON	ANALYSE
2V93	55-100	Massive, interbedded, fine to very fine, silty 1 m. thick sandstone with laminated, sometimes cross-bedded, red, silty, very fine sandstone. Within beds there appears to be slumping, possible cross-ripple laminations and irregular blebs of calcareous or dolomitic sandstone.	Péribonca ↘ 315,87 ↘ 036,90 ↘ 190-220 +		
2V94	65-80	Boulders idem 2V93.	Overburden (Péribonca)		
2V95	65-80	Boulders idem 2V93.	Overburden (Péribonca)		
2V96	85- 125, 150 max.	Red silty sandstone with abundant flaser cross-bedding. The rock is fairly well fractured. The highest RA values (100-150) are in the beds with irregular calcareous blebs.	Péribonca ↘ 332,5 ↘ 326,83 ↘ 071,85	2V96	



Q69364 -
112

1
2
3
4
5
6
7
8
9
10
11
12
13
14
15
16
17
18
19
20
21
22
23
24
25
26
27
28
29
30
31
32
33
34
35
36
37
38
39
40
41
42
43
44
45
46
47
48
49
50



⊗ 2V86
⊗ 2V87

Q67369-
93




DATE: 2.08.80

LOCALISATION:

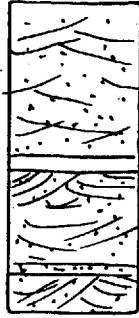


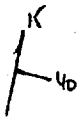
STATISTIQUE: Coupe 2C114, Lac Gaschet

KM DE COUPE:

KM RADIOMETRE:

STATION	RA SPP2	DESCRIPTION	FORMATION	ECHAN- TILLON	ANALYSE
2P275	75	Grès plus ou moins silteux, horizontal, rouge-lie-de-vin.			
	90-150	 2 m Argilite lie-de-vin			
		150 m Pas d'affleurements			
	75	 Grès silteux, horizontal, rouge-lie-de-vin			
		3 m Pas d'affleurements			
		0.50 m Grès rose pâle, subarkosique, massif			
		1 m Microconglomérat arkosique, massif. Granulométrie irrégulière			2-5 mm
		0.20 m Grès blanc subarkosique. So: N55, 12S. Feldspaths > quartz			
	60	3 m Microconglomérat subarkosique à stratifications obliques à quartz enfumé (ciment fréquemment dissous)			
	60	0.20 m Grès à feldspaths blanc verdâtre			
		1 m Microconglomérat feldspathique			
		0.20 m Grès feldspathique blanc verdâtre			
	45	1 m Grès moyen à grossier à grains de quartz flottants			
	60	5 cm d'argilite lie-de-vin			
		0.80 m Grès à stratifications obliques, très fin, arkosique!			
	1 m (Quartzites) roses, massifs.				
	1 m de grès rouge, grain moyen, finement laminé, subarkosique				
45	1 m grès blanchâtre, grain fin, feldspathique, à stratifications entrecroisées				
50	1 m grès quartzitique fin				
50	1 m grès quartzitique très fin, rouge, d'apparence bréchique				
	0.60 m grès silteux, rouge-lie-de-vin				
	1 m grès blanchâtre, feldspathique, grain fin, présentant des niveaux plus grossiers, à laminations entrecroisées				
	70/75  1.50 m grès silteux, lie-de-vin, à fraction intraformationnelle				
2P276	50	Grès arkosique rose à points violets (2 mm). So: N47, 22S.			

Statistiques Coupe 2C114

STATION	RA SPP2	DESCRIPTION	FORMATION	ECHAN-TILLON	ANALYSE
2P271	40	Subaffleurement de grès à grain fin, feldspathique, massif, blanc-vert à rose foncé.			
2P272	65	 Microconglomérat subarkosique			
	60	Grès grain moyen, subarkosique			
	65	Microconglomérat chenalisant à stratifications entrecroisées. So: N70,40°S. Arkosique.			
	55	Alternance centimétrique de niveaux microconglomératiques et Microconglomérat arkosique. So:N34,17S grès fin			
		?			
	55	 Microconglomérat arkosique (pratiquement plus de quartz)			
		?			
	45	 Microconglomérat à granules de quartz et feldspaths arrondis. Micronconglomérat subarkosique chenalissant. So:N40,25S Grès à grain fin, blanchâtre, feldspathique. So:N57,37S.			
2P273	45	Grès arkosique à grain grossier, à passées microconglomératiques			
2P274	45	Microconglomérat arkosique à stratifications obliques. N15,40E.			

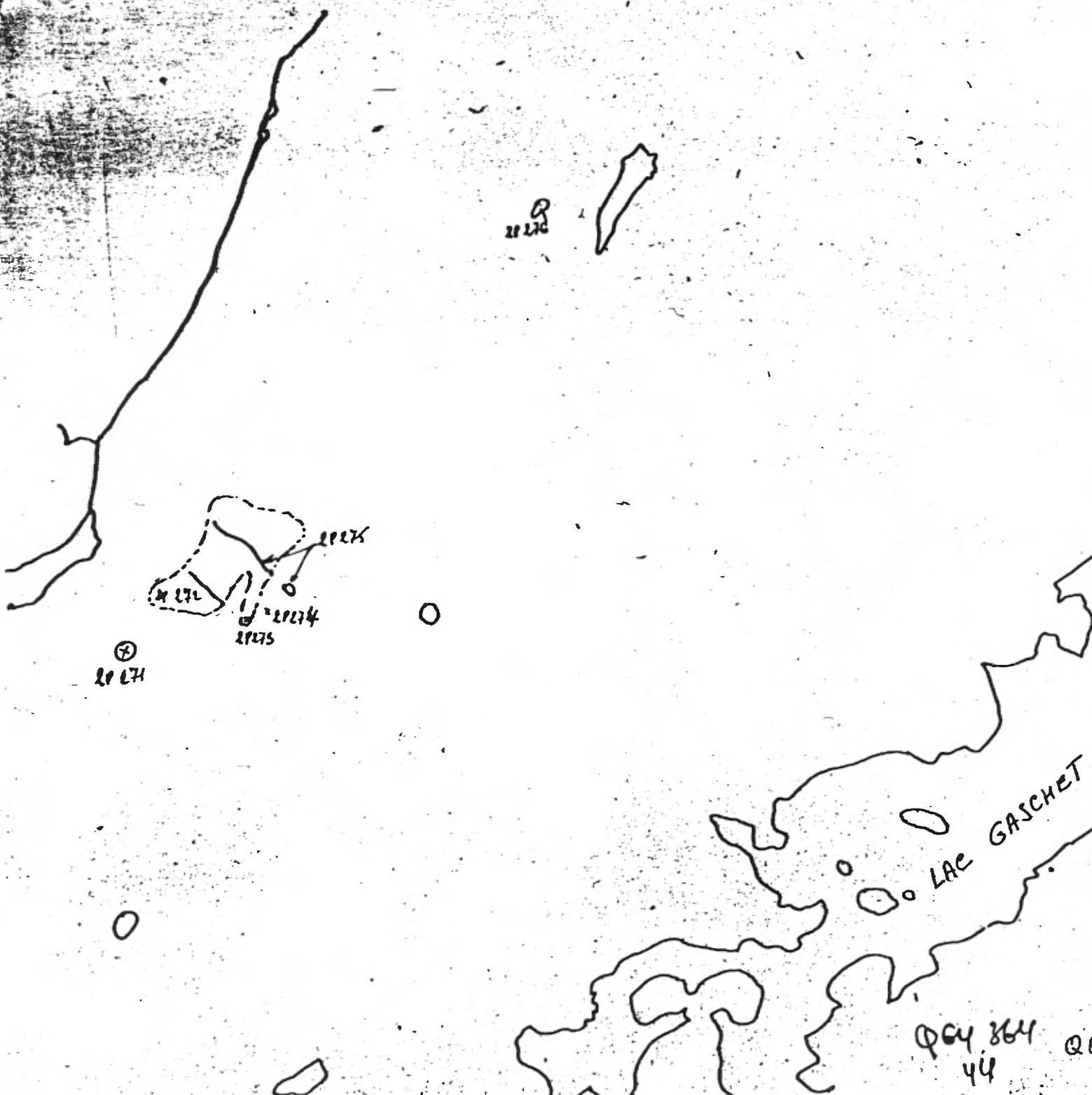
CONCLUSION SUR LA TRAVERSE 2C114, Lac Gaschet

Comparaison avec les séries Indicateur

Points communs: Le seul point commun réside dans les alternances de niveaux microconglomératiques avec des niveaux de grès fins, la composition variant de feldspathique à arkosique.

- Divergences:**
- 1) Dans l'ensemble, la série est plus arkosique, les microconglomérats arkosiques ne sont pas rares, qui présentent très peu de granules de quartz.
 - 2) Les faciès fins atteignent une teneur granulo-métrique jamais rencontrée sur le "G".
 - 3) Des silts lie-de-vin apparaissent, cependant que des niveaux d'argilite atteignent et dépassent le mètre de puissance.
 - 4) Les couleurs sont plus sombres, violacées, témoignant d'un état bien oxydé du fer et de son abondance.
 - 5) Les carbonates sont présents dans le ciment: dolomie.
 - 6) Dans la texture des bancs, une inversion est à noter en regard du "G".
 - Les microconglomérats ne sont plus massifs mais laminés et présentent des stratifications obliques entrecroisées, le courant venant du nord.
 - Les niveaux fins, par contre, sont plus volontiers massifs, sans figures sédimentaires.
 - 7) De même en radiométrie, les niveaux grossiers sont dorénavant les moins actifs. Les niveaux fins, les argilites atteignent continûment 100-150 c/s SPP2.
- En conclusion:** Les faciès rencontrés appartiennent à une entité très nettement distincte des faciès du "G". Aucune récurrence de ceux-ci. Aucune transition n'est décelée.

Cape 20 114 Le 2 Aout 1980
P.C. A.1



PROJET: MONTS OTISH

Y. Bisson
R. St-Jean

FICHE D'AFFLEUREMENT

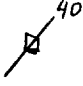
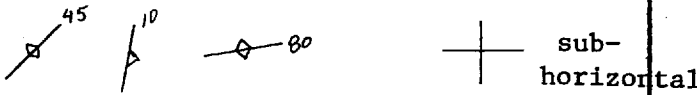
DATE: 23 août 1980

LOCALISATION: Hors propriété - Lac Gaschet.


STATISTIQUE: Coupe 2C-125

KM DE COUPE: 6,0 km

KM RADIOMETRE:

STATION	RA SPP2	DESCRIPTION	FORMATION	ECHAN- TILLON	ANALYSE
2J-282	65	Blocs erratiques ? Siltstones rouge violacé arénacés.	Indicateur		
2J-283	50	Blocs environ 2 m ³ . Siltstone rouge violacé et de grès feldspathique rose.	Indicateur		
2J-284	45	Affleurement 2 m d'épaisseur. Sub-arkose rose, environ 20% feldspaths microconglomératiques et conglomératiques à cailloux de feldspaths et quartz, diamètre 3 cm. Niveaux lenticulaires chenalisant dans des arkoses rouges, environ ≈ 25% feldspaths, grain fin.  parfois quelques cristaux d'hématite noir rougeâtre; quelques petits niveaux de silt argileux.	Indicateur		
2J-285	65	Affleurement 2.0 m d'épaisseur. Arénite silteuse, rouge violacé, à ciment calcaire, dolomitique. Petits cristaux de dolomie ou calcaire dolomitique; petite veinule de calcite.  sub- horizontal	Indicateur		

Statistiques

STATION	RA SPP2	DESCRIPTION	FORMATION	ECHAN- TILLON	ANALYSE
2J-286	65- 70	Affleurement très grand, 5 m d'épais- seur. Arénite silteuse, rouge violacé, ta- ches plus claires à ciment calcaireux dolominique. 	Indicateur		
2J-287	45- 50	Petit felsenmeer. Sub-arkose à grès feldspathique rose, environ 15-20% feldspaths, ciment cal- caireux dolomitique.	Indicateur		
2J-288	60	Felsenmeer ou blocs sub-en-place. Arénite silteuse, rouge violacé, grain moyen à fin. Composition de grès feldspathique à taches plus claires et à ciment car- bonaté.	Indicateur		

PROJET: MONTS OTISH

Claude Marcotte
Serge GenestFICHE D'AFFLEUREMENT

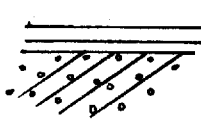
DATE: 21 août 1980

LOCALISATION: Géologie hors propriété "S" - Lac Gaschet Photos: 1:15,861, 64364, 44.

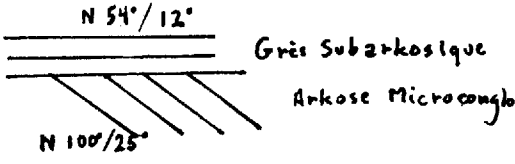
STATISTIQUE: Coupe 2C-134

KM DE COUPE: 5,2 km.

KM RADIOMETRE: 5,2 km.

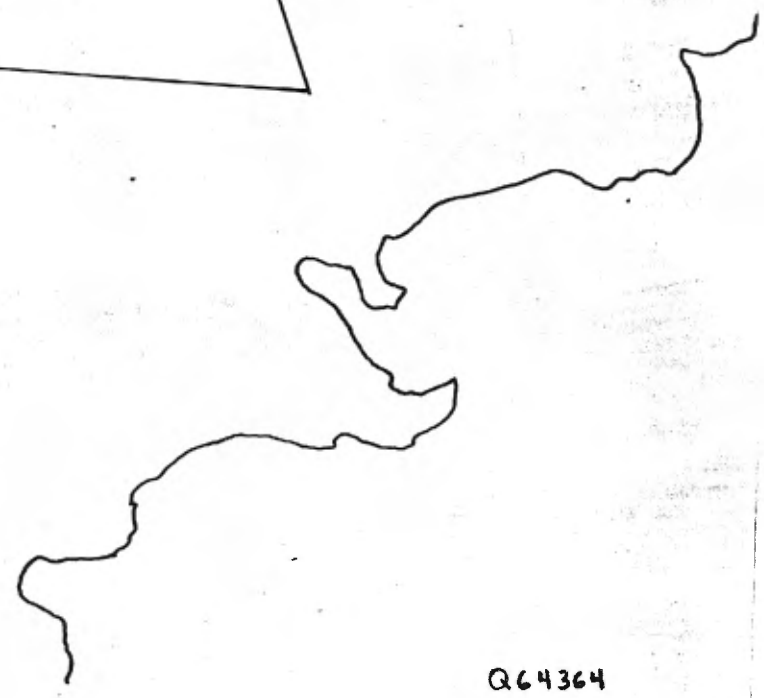
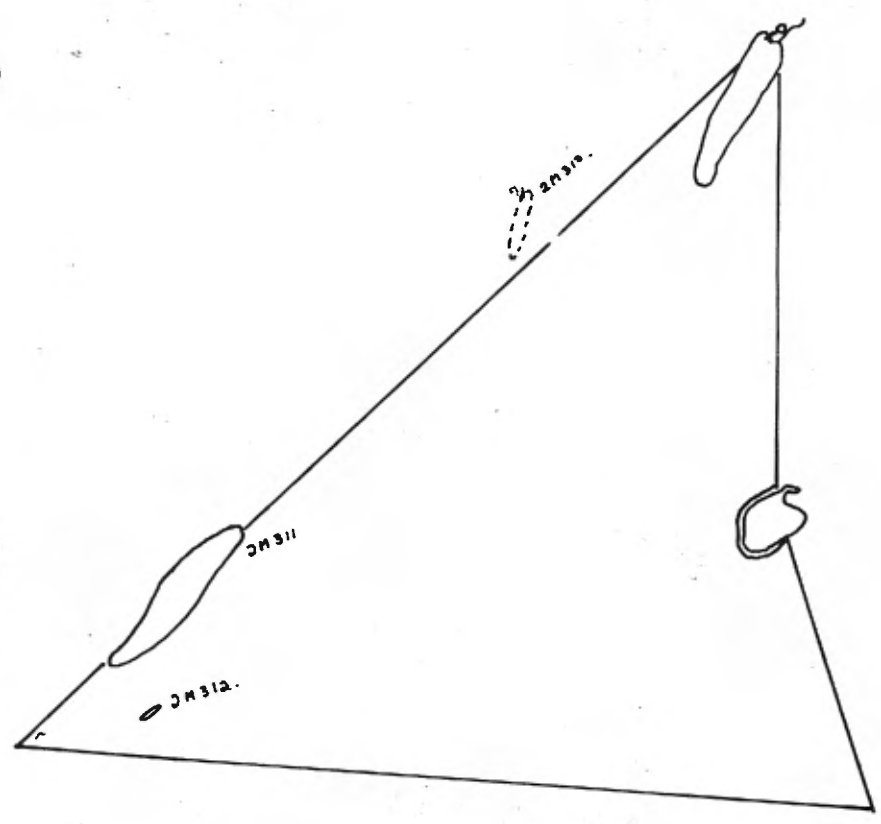
STATION	RA SPP2	DESCRIPTION	FORMATION	ECHAN- TILLON	ANALYSE
2M310	30 et 50 cps	Blocs de gabbro et de siltstone rouge. Matériel d'esker.	Gr. OTISH Indicateur		
2M311	60 cps 65 cps	<p>Séquence de siltstones rouges avec intercalations d'arkoses grossières et microconglomérats arkosiques réapparaissant à divers niveaux dans la séquence.</p> <p>... sur 1 mètre d'épaisseur, on passe par trois faciès successifs. 1^o Grès fin, subarkosique, oxydé, couleur rougeâtre passant à des arkoses microconglomératiques puis à un grès fin, blanc, plus quartzique, avec points d'hématisation à certains endroits; on passe ensuite à des silts et argilites rouges, schistosés.</p> <p>Les feldspaths (orthose) sont très bien recristallisés. On note quelques laminations noirâtres dans les grès oxydés; elles correspondent à des niveaux plus hématisés, et choquent à 70 cps.</p> <p>Dans les arkoses microconglomératiques, on note un litage centimétrique (± 4 à 5 cm.). Ces niveaux lités sont recoupés par des niveaux gréseux, massifs ou laminés selon les endroits, subarkosiques en composition.</p> <p>a) </p> <p>A quelques mètres au-dessus, on voit le phénomène se répéter, mais les stratifications sont différentes.</p>			

Statistiques

STATION	RA SPP2	DESCRIPTION	FORMATION	ECHAN- TILLON	ANALYSE
2M311	suite	<p>b) </p> <p>Les niveaux microconglomératiques sont très poreux par endroit, phénomène causé par la dissolution de feldspaths.</p> <p>Stratification générale: $N50^{\circ}/10^{\circ}$ 50° 10°</p> <p>Diaclases: 116° 260° 40°</p> <p>Schistosité dans les argilites 63° 25°</p> <p>A 100 mètres au Sud, la stratification est à 64° 12°</p> <p>Les stratifications semblent affectées par de légères ondulations très ouvertes (voir Patrice Caumartin, Coupe No pour autres commentaires...).</p>			
2M312	60 cps	<p>Arkoses microconglomératiques rougeâtres recoupées par entrecroisement par des grès sub-arkosiques à grains moyens à grossiers, très poreux.</p> <p>On note des poches microconglomératiques à la zone de contact entre les deux faciès, quelques cailloux flottants de taille centimétrique sont présents.</p> <p>On peut inférer que cette zone de contact est une brèche composée de matériel remobilisé par la venue du matériel gréseux sus-jacent.</p>			

Statistiques

STATION	RA SPP2	DESCRIPTION	FORMATION	ECHAN- TILLON	ANALYSE
2M312	suite	Les directions sont approximativement les mêmes que l'exemple a) de la page précédente.			



Q64364
44

PROJET: MONTS OTISH

FICHE D'AFFLEUREMENT

DATE: 29 juin 1980

LOCALISATION: Photo Q-64364-108

STATISTIQUE: Visite et positionnement de l'anomalie A-29.

KM DE COUPE:

KM RADIOMETRE:

STATION	RA SPP2	DESCRIPTION	FORMATION	ECHAN- TILLON	ANALYSE
2L-76	2000	<p>L'anomalie se situe dans des grès feldspathiques laminés gris et rosés. La zone anormale suit la stratigraphie sur 4 ou 5 mètres sur une épaisseur de 60 à 80 cm.</p> <p>La stratification est orientée à N-30°, 20 E. La distribution des "laminae" est irrégulière; l'abondance des rosés domine sur le gris.</p> <p>La minéralisation de produits jaune vert secondaires est distribuée uniformément dans la roche, tant dans les faciès rosés que les gris verts.</p> <p>Le quartzite est recristallisé et certains minéraux croissent à angle avec la stratification.</p> <p>Les oxydes de fer relativement abondants, forment des taches (½ m) rouges.</p> <p>Les "laminae" foncées sont à grain plus fin que les rosées blanches.</p> <p>Sur les plans de fractures, il y a concentration de l'U.</p> <p>2L-76a: Grès laminé gris et blanc minéralisé.</p> <p>2L-76b: Grès laminé gris et blanc minéralisé.</p> <p>2L-76c: Etude des minéraux en excroissance.</p>			
				2L-76a	106 <i>Jan</i> U. Th. ← <i>6</i>
				2L-76b	U. Th.
				2L-76c	L.M.

Statistiques

STATION	RA SPP2	DESCRIPTION	FORMATION	ECHAN- TILLON	ANALYSE
2L-76	suite	<p>50 m. à l'ouest, un sill de gabbro relativement frais, semble concordant aux orthoquartzites recristallisés.</p> <p>On ne peut, pour le moment, établir le lien direct entre le gabbro et les grès minéralisés.</p>			

PROJET: MONTS OTISH

FICHE D'AFFLEUREMENT

DATE:

LOCALISATION:

STATISTIQUE: Bloc minéralisé, propriété 'L', voir le plan de situation des blocs.

KM DE COUPE:

KM RADIOMETRE:

STATION	RA SPP2	DESCRIPTION	FORMATION	ECHAN- TILLON	ANALYSE
2L-325		Bloc anguleux, irrégulier, faisant 60 cm de diamètre et dont l'épaisseur est de 20 cm. Les faciès représentés sont: un gabbro cisailé, chloritisé, recoupé par une veine de matériel brun rouge, riche en silice et carbonate.			

PROJET: MONTS OTISH

FICHE D'AFFLEUREMENT

DATE:

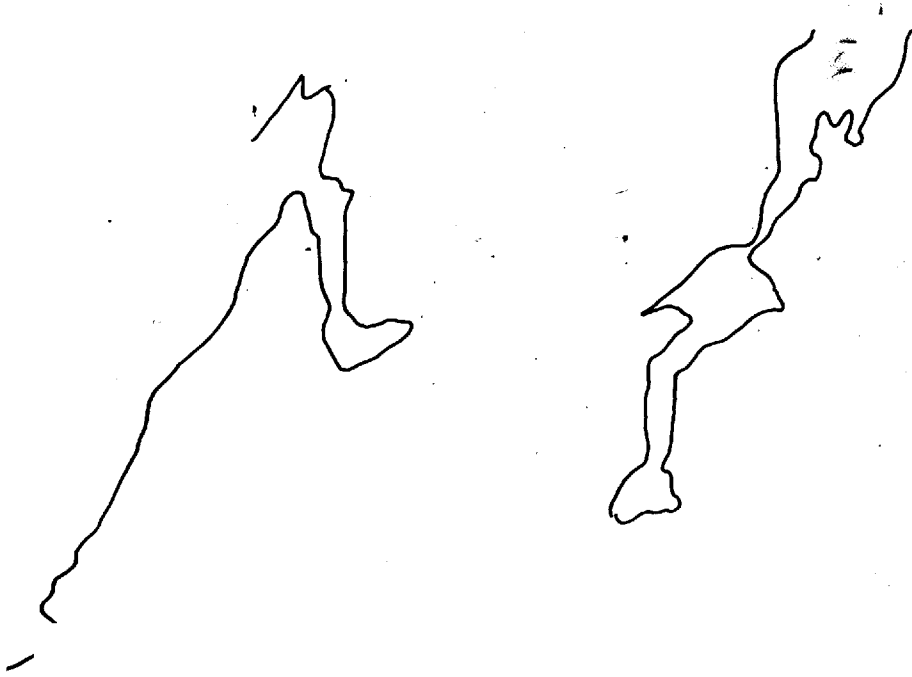
LOCALISATION: Photo Q64322-78

STATISTIQUE: A241

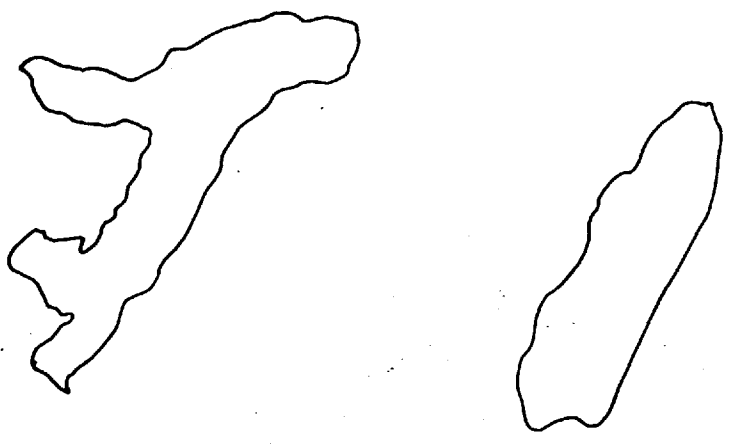
KM DE COUPE:

KM RADIOMETRE: 1.0

STATION	RA SPP2	DESCRIPTION	FORMATION	ECHAN- TILLON	ANALYSE
2V143	30	Medium grained gabbro that has been strongly altered (epidotized and in parts chrysotile is present) along fractures 342 ^o , 255 ^o and 279 ^o , the first up to 15 cm.thick. Some boulders of gabbro are intensely sheared. The epidote postdates (displaces) quartz stringers which are oriented 070 ^o ,90 to 082 ^o ,83	Gabbro d'Otish ✓342,75 } ✓130,80 } major ✓023,60 } ✓240,68 } minor ✓070,90 }	2V143	



0-2V143



Q64322-7A

PROJET: MONT'S OTISH

FICHE D'AFFLEUREMENT

DATE: 21/7/80

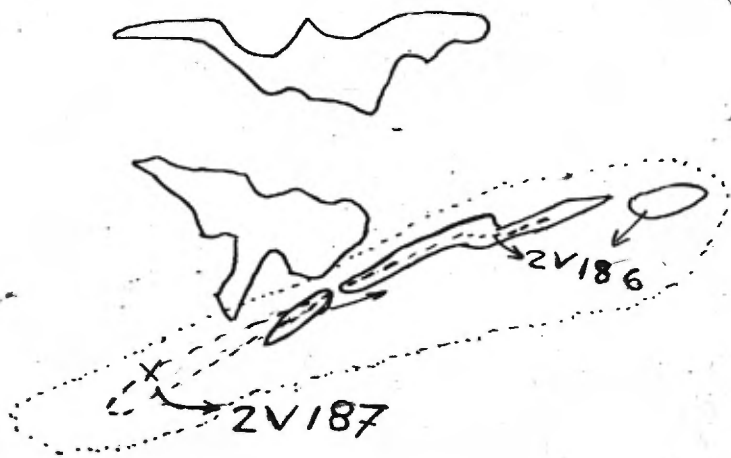
LOCALISATION: Vérification de photo-interprétation de la zone 2A41

STATISTIQUE: 2C#93

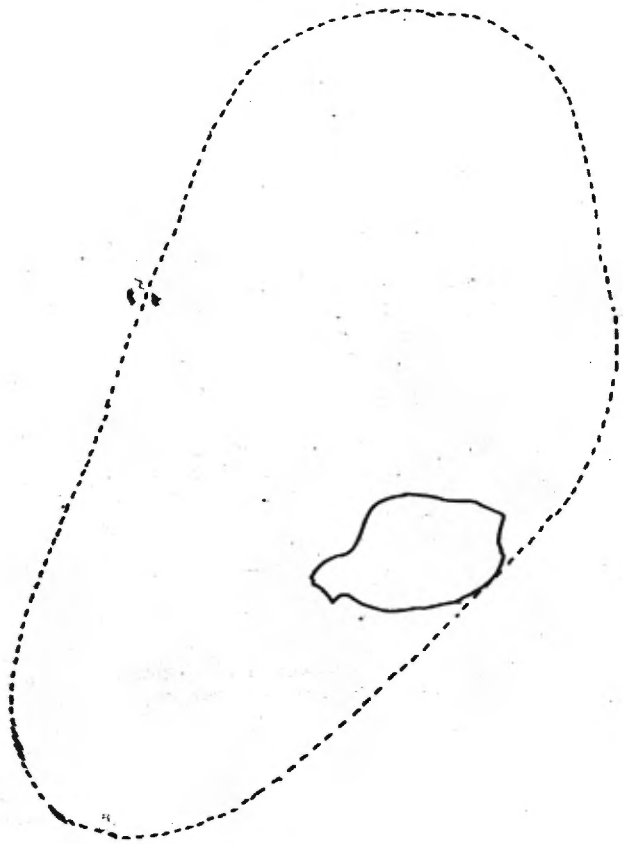
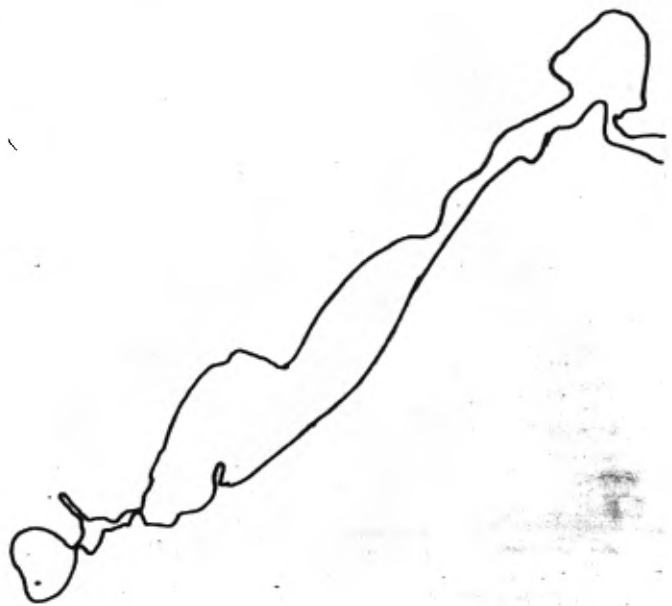
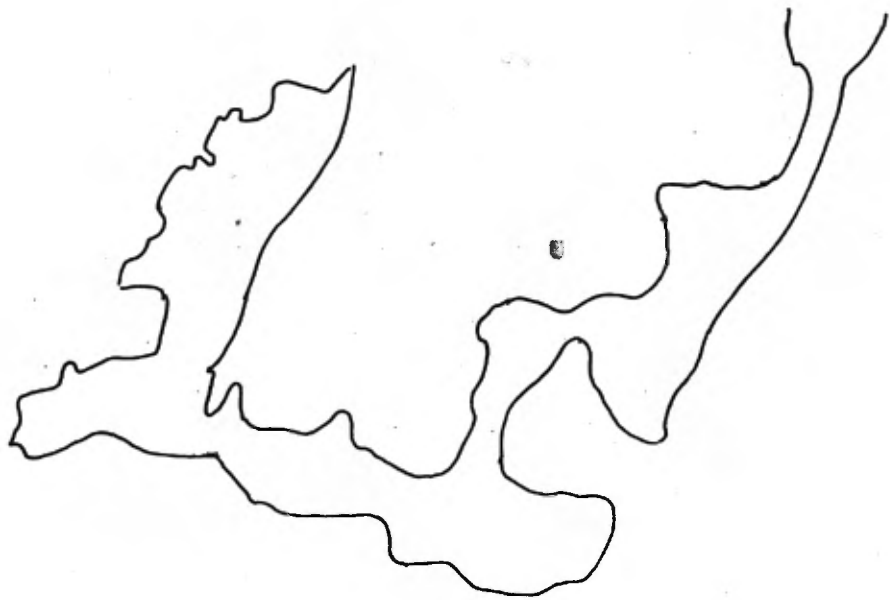
KM DE COUPE: 1.5

KM RADIOMETRE: 7

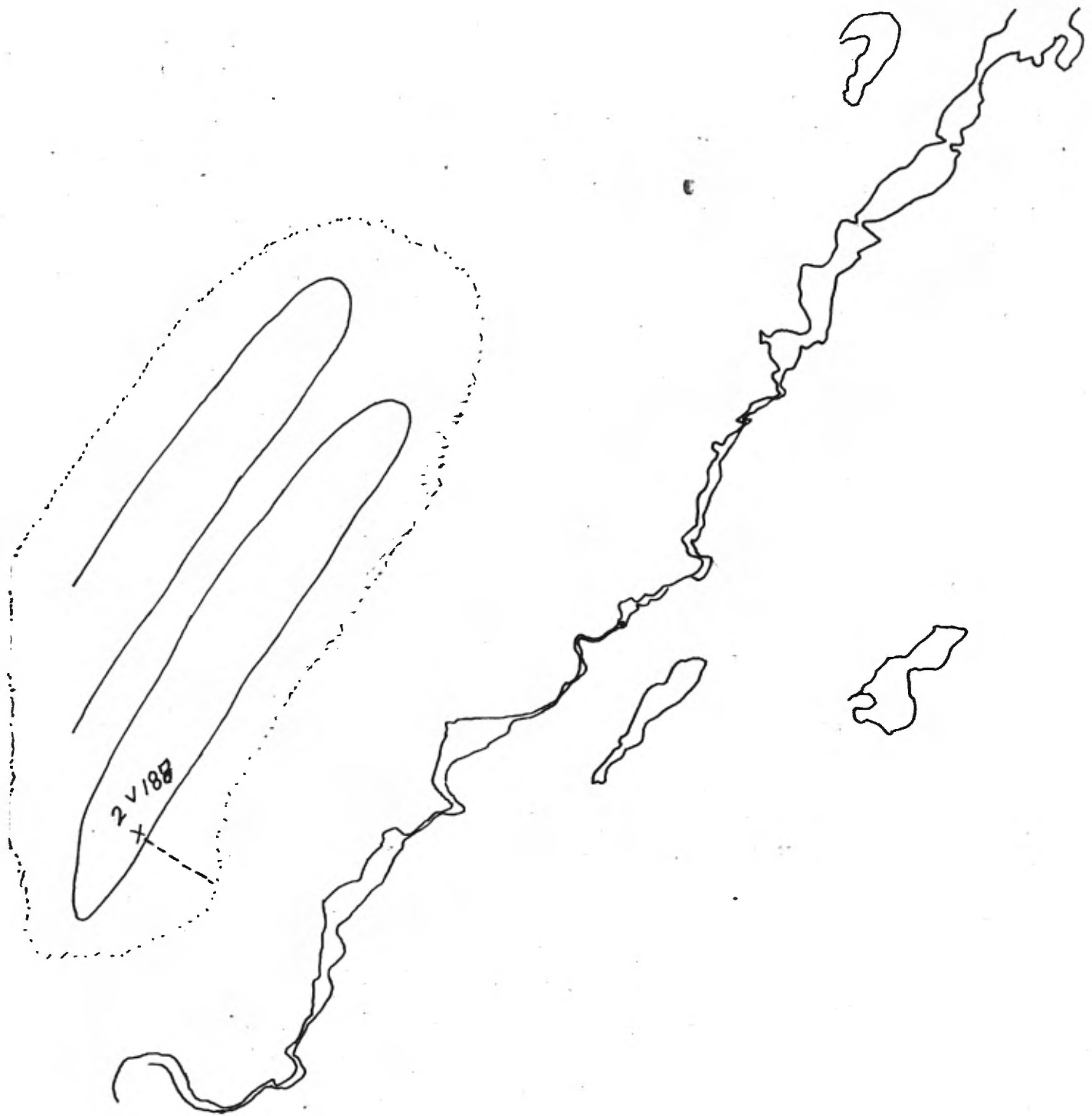
STATION	RA SPP2	DESCRIPTION	FORMATION	ECHAN- TILLON	ANALYSE
2V186	20-35	Leucocratic, epidotized gabbro. There are blebs of epidote? scattered throughout. The foliation is consistent with a strong but not always linear fracturing.	Gabbro d'Otish ↙ 136,90 ↙ 064,59 ↙ 016,90 ↙ 296,88	2V186	
2V187	20-25	Massive medium (2 mm.) grained gabbro with almost no epidote present. There is pyrrhotite present. There is a vein of fibrous (acicular) radiating white crystals enclosed in similar green-black ones (actinolite). The vein is in a 244,85 fracture, several of these fractures are either open or filled with gausen. Strong local shearing also is along the 244,85 direction.	Gabbro d'Otish ↙ 244,85	2V187A 2V187B	
2V188	25-30	Massive, medium grained (2 mm.) gabbro.	Gabbro d'Otish ↙ 045,87 ↙ 245,59 ↙ 330,75 ↙ 213,32		
<p>Legend to acetates adjoining report:</p> <p>----- traverse on the ground</p> <p>..... area reviewed by helicopter surveying.</p>					



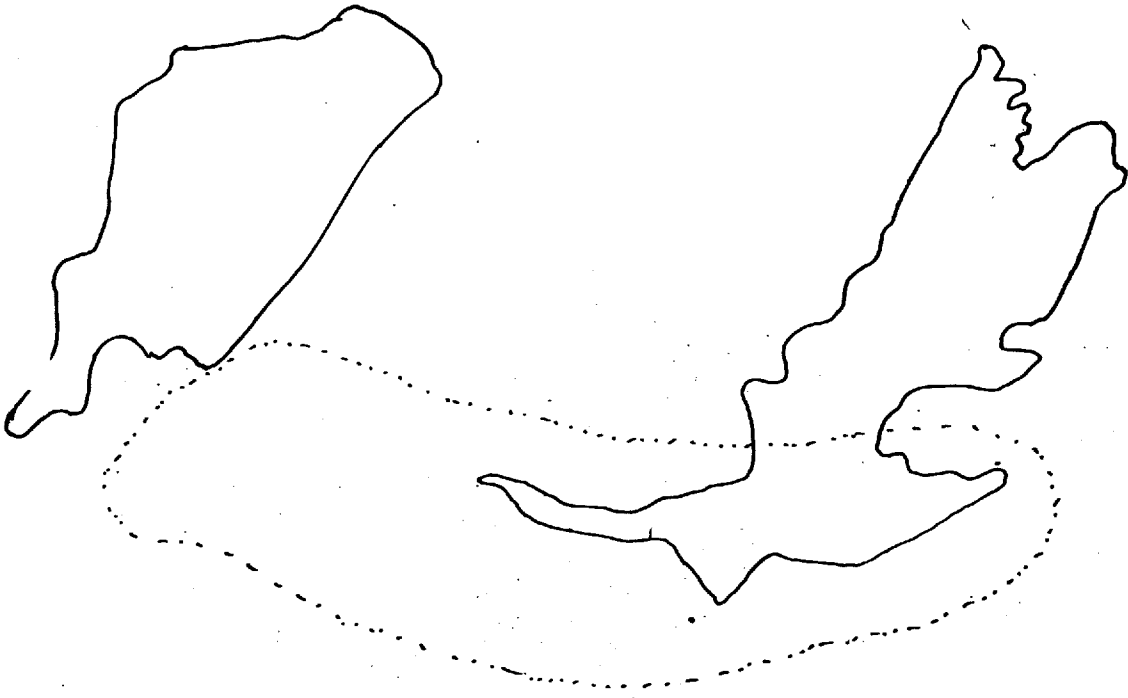
Q64368
90



Q64381
83



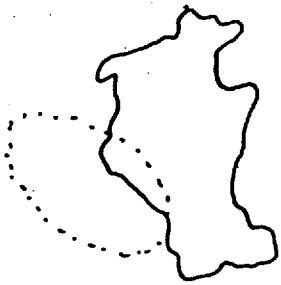
Q64381
76



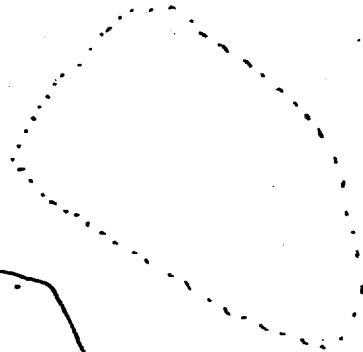
Q64359-
57



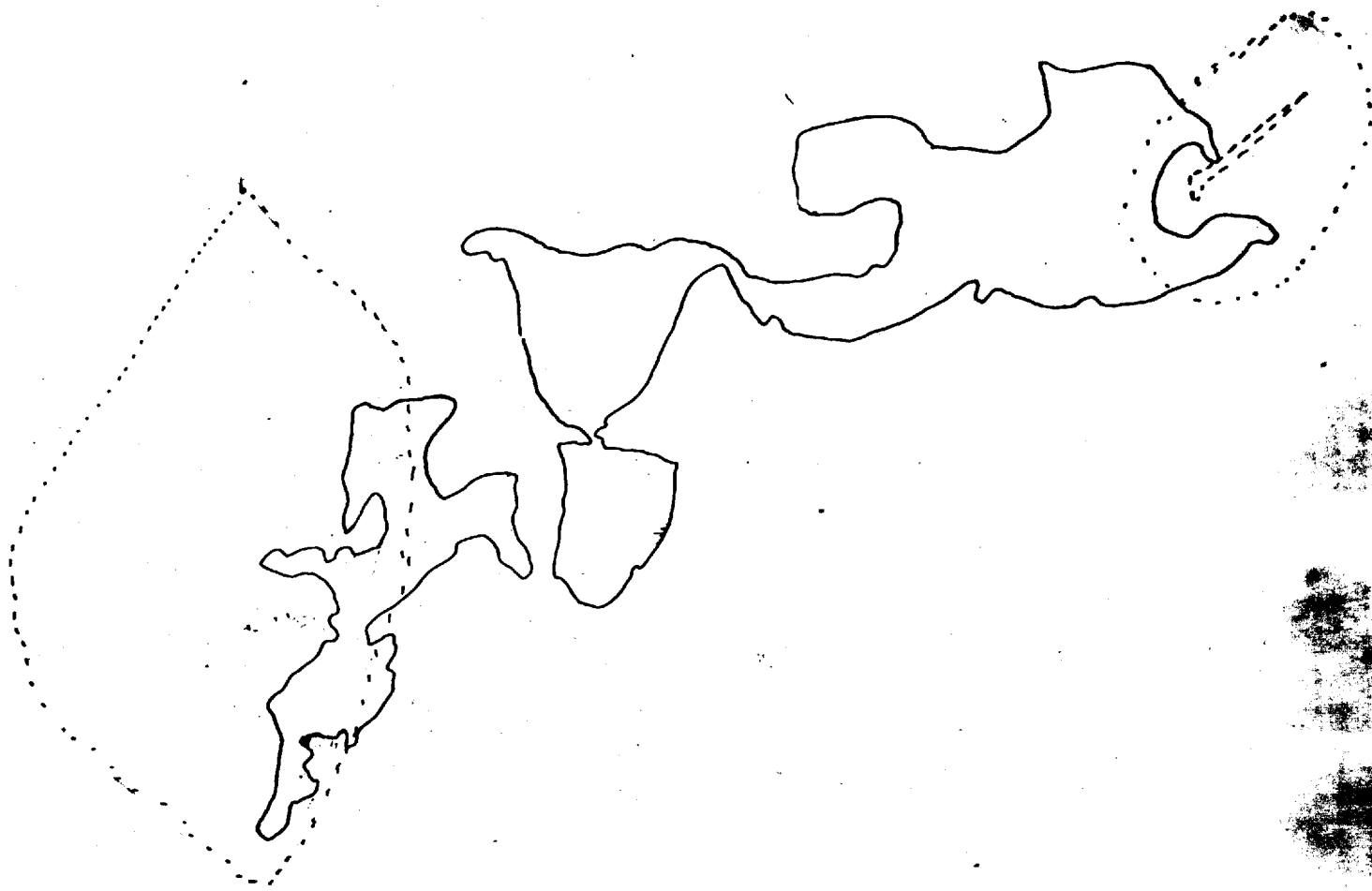
064322
7L



C



Q69322-
80



Q64368-
89

PROJET: MONTS OTISH

*Shavoie
A. Yassa.*

FICHE D'AFFLEUREMENT

DATE: 4.7.80

LOCALISATION: Photo 1:15,000 Q64322-79, Q64368-89

STATISTIQUE: Vol de radiométrie hélicoptérée, Vol 2B-5 *Voir Ann. 7A-41*

KM DE COUPE:

KM RADIOMETRE:

STATION	RA SPP2	DESCRIPTION	FORMATION	ECHAN- TILLON	ANALYSE																			
2L-77		Affleurement massif de gabbro fortement altéré, épidotisé. Le gabbro est clair, vert pâle, grain moyen à gros, fortement épidotisé, abondantes mouches de sulfures. En photogéologie, le gabbro apparaît orienté N70°.																						
		2L-77a Gabbro clair, dioritique, fortement épidotisé.		2L-77a	Ref.																			
2L-78	400- 500	Bloc de dolomie gréseuse fracturé. Joints N172°, N200°. La colline de gabbro est orientée E-W.																						
		<table border="0"> <tr> <td>Tc</td> <td>K</td> <td>U</td> <td>Th</td> <td>U/Th</td> </tr> <tr> <td>161</td> <td>10.1</td> <td>5.6</td> <td>0.3</td> <td>18.7</td> </tr> <tr> <td colspan="5"><hr/></td> </tr> <tr> <td>176.0</td> <td>8.8</td> <td>6.8</td> <td>0.3</td> <td>22.7</td> </tr> </table>	Tc	K	U	Th	U/Th	161	10.1	5.6	0.3	18.7	<hr/>					176.0	8.8	6.8	0.3	22.7		
Tc	K	U	Th	U/Th																				
161	10.1	5.6	0.3	18.7																				
<hr/>																								
176.0	8.8	6.8	0.3	22.7																				
	500	2L-78a Echantillon de sable de la station 2L-78. RA max. 13000 cps. Sable très actif. Les gabbros en blocs très arrondis semblent avoir piégé l'U, produit orange à 500 cps. 2L-78a U: 763ppm Th: 60ppm		2L-78a	U Th																			
2L-79	+15,000	Bloc de pechblende ou produits noirs, semi-massif à massif. Le bloc est sous-arrondi de taille centimétrique, 3 à 5 cm de côté. Il fut découvert parmi les blocs de gabbro et quartzite très arrondis, à une profondeur de 60 à 70 cm dans la moraine sablonneuse et caillouteuse. Voir positionnement Géochimie de sol "2"		2L-79a 2L-79b (dolomie)	Postérité Echantilloné lors de géochimie de sol (Serge Genes)																			

763/60

Statistiques Vol de radiométrie hélicoptée, vol 2B-5

STATION	RA SPP2	DESCRIPTION	FORMATION	ECHAN- TILLON	ANALYSE
		2L-79a Bloc à ++15,000 cps.			
2L-80	+3000	Petits blocs très altérés, 3 à 4 cm de côté, découverts à 5 ou 6 cm de la surface de la moraine de fond.			
		2L-80a Blocs minéralisés, altération très poussée.		2L-80	non envoyé
2L-81	3500	Bloc centimétrique minéralisé, aplati, 15 cm de diamètre de surface, 4 à 5 cm d'épaisseur. Produits jaunes, produits oranges et produits noirs.			
		2L-81a Dolomie ou grès dolomitique			
2L-82	1500	Bloc minéralisé 3 à 4 cm de côté, semble être une arkose très altérée.			
		2L-82a Grès dolomitique.		2L-82a	Ref.
2L-83a	500	Bloc de dolomie gréseuse minéralisée. Produits oranges et produits noirs. Blocs découverts à quelques cm, 10-15, sous la moraine.			
		2L-83a Dolomie gréseuse sous des veines minéralisées (?). Pyrite dissoute, produits oranges, produits métalliques en placage.		2L-83a	non envoyé
2L-84	2000	Bloc anguleux centimétrique de dolomie altérée broyée, 15 cm x 8 cm x 3 cm, trouvé à 5 ou 6 cm sous la surface de mousse recouvrant cette moraine.			
		2L-84a		2L-84a	

Statistiques Vol de radiométrie hélicoptée, vol 2B-5

STATION	RA SPP2	DESCRIPTION	FORMATION	ECHAN- TILLON	ANALYS														
2L-85	1200	Bloc $\frac{1}{2}$ cm de côté, produits noirs. 2L-85a Produits noirs.		2L-85a	Ref.														
2L-86	400	Rapport U/Th: <1 . Bloc d'ortho- quartzite blanc grossier, quartz 1 à 2 mm sous-arrondis à arrondis, granulométrie relativement hétérogène. Bloc centimétrique, 30-40 cm, très arrondi.																	
2L-87	500	Bloc sous-arrondi de taille métrique. <table style="margin-left: auto; margin-right: auto;"> <tr> <td>Tc</td> <td>K</td> <td>U</td> <td>Th</td> <td></td> </tr> <tr> <td>206</td> <td>8.4</td> <td>3.5</td> <td>0.3</td> <td>mauvaise calibra- tion</td> </tr> <tr> <td colspan="4" style="text-align: center;">12.7 7.1 0.7</td> <td></td> </tr> </table> Bloc très gros de granite pegmati- tique, feldspaths blancs en cristaux de 1 à 2 cm de côté. Quartz 15 à 25%. Biotite 10-15%. 2L-87a Bloc de socle, granite pegmatitique. Les points de plus forte intensité sont liés biotite.	Tc	K	U	Th		206	8.4	3.5	0.3	mauvaise calibra- tion	12.7 7.1 0.7						
Tc	K	U	Th																
206	8.4	3.5	0.3	mauvaise calibra- tion															
12.7 7.1 0.7																			
				2L-87a	Non envoy														

PROJET: MONTIS OTISH

FICHE D'AFFLEUREMENT

DATE: 29 août 1980

LOCALISATION: Photo No Q-64346 #131

STATISTIQUE: Coupe 2C-146

KM DE COUPE: 2 km

KM RADIOMETRE: 2 km

STATION	RA SPP2	DESCRIPTION	FORMATION	ECHAN- TILLON	ANALYSE
2L-308	20	Gabbro frais, moyennement grenu, découpé par des diaclases à N-70°, N-100° et 160°.			
2L-309	35	Méta-basalte, grain très fin, très noir en surface fraîche, chloriteux. Joints à N-160° et N-40°. 2L-309: Méta-basalte		2L-309	Réf.
2L-310	20- 25	Gabbro noir en surface altéré et surface fraîche, gabbro relativement frais, texture fine, composition ultrabasique. Pourrait être un gabbro anti-bassin ou un faciès spécial des gabbros d'Otish. 2L-310: Gabbro à pyroxénite.		2L-310	L.M.
2L-311	45- 50	Méta-volcanite tectonisée, fracturée, migmatisée. La roche mère apparaît comme une méta-rhyolite à grain très fin; rose en surface d'affleurement. Roche fortement magnétique en plage centimétrique et le long des diaclases ouvertes sur quelques centimètres. Le minéral magnétique tache les doigts; il est gris blanc. Les principaux joints sont à N-160° et N-80°.			

Statistiques

STATION	RA SPP2	DÉSCRIPTION	FORMATION	ECHAN- TILLON	ANALYSE
2L-311	suite	<p>2L-311a: Méta-rhyolite ou méta-dorite.</p> <p>2L-311b: Méta-rhyolite à joint rempli de manganèse et magnétite.</p> <p>2L-311c: Roche à magnétite et manganèse ? tache les doigts.</p> <p>Photos #2, 3, 4 et 5, F6 → montrant le paysage de ce socle.</p> <p>Photo #5, plage de magnétite sur gabbro.</p> <p>Photo #6, dyke de diaclase dans gabbro d'Otish.</p> <p>Nous sommes en contact socle-sédiment. le gabbro apparaît en position sub-horizontale sur les méta-rhyolites du socle.</p> <p>Le gabbro et le socle ont préalablement été affectés par un processus d'anatexie sur fracture.</p>			
2L-312	25	<p>Conglomérat ou agglomérat volcanique fortement tectonisé, schistosé. Matrice de volcanite basique, galet arrondi à anguleux de granite, gneiss, gabbro, rhyolite. Très grande hétérogénéité dans la distribution des fragments très anguleux à arrondis, très gros à très petits.</p> <p>2L-312: Agglomérat volcanique très tectonisé.</p> <p>Schistosité bien développée à N-165°.</p> <p>Photos #9, 10 et 11 de l'agglomérat; fragments anguleux à très arrondis.</p>		2L-312	L.M.
2L-313	20 N.20° ■	Métavolcanite, massive, aphanitique.			

Statistiques

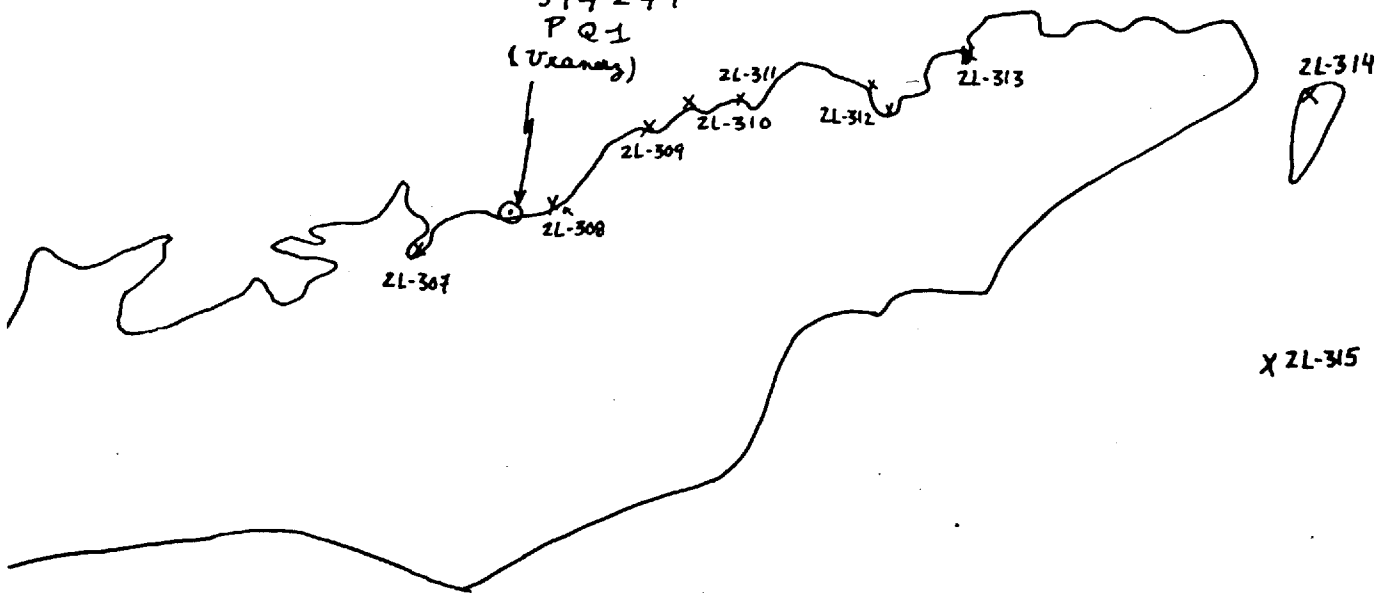
STATION	RA SPP2	DESCRIPTION	FORMATION	ECHAN- TILLON	ANALYSE
2L-314	50- 100	<p>Sub-arkose, feldspath en matrice enrobant les grains de quartz, très grossière à microconglomératique, blanche, plusieurs niveaux de conglomérats à cailloux de quartz, paraconglomérats en bancs centimétriques.</p> <p>Aspect massif et discontinu des conglomérats, cailloux et galets sous-anguleux et galets sous-anguleux à arrondis; taille de 1 cm à 10 cm, quelques cailloux rouges de chert et opaline ou quartzite gris.</p> <p>Aspect terrigène, quartz ± jointif, anguleux, enrobé d'une matrice très feldspathique blanc laiteux; cassure autour des grains, roche très poreuse; certains grains et cailloux se détachent de la matrice.</p> <p>2L-314a: Microconglomérat feldspathique. Fond géochimique.</p> <p>N-59 -26</p> <p>Stratification dans niveau très poreux, arkosique à débit centimétrique, 2 à 3.</p>		2L-314a	34-115 (Réf. ↓ U. Th.
2L-315	25-30	Gabbro frais massif, très épais.			

Poteau de claim

394244

PQ1

(Uranay)



PROJET: MONTS OTISH
 Serge Lavoie
 Yolande Bisson

FICHE D'AFFLEUREMENT




DATE: 30 août 1980

LOCALISATION: Photo 1:15,000 - Q-64347-229

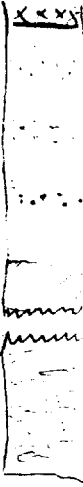
STATISTIQUE: Coupe 2C-151

KM DE COUPE: 4,0 km

KM RADIOMETRE: 4,0 km

STATION	RA SPP2	DESCRIPTION	FORMATION	ECHAN- TILLON	ANALYSE
2L-316	75- 80 <i>N-45</i>  38	Granite blanc pegmatitique, cristaux centimétriques de quartz et feldspath. Le granite est en contact avec des gneiss fins à amphiboles. La radiométrie sur le gneiss est de 20 à 15.			
2L-317	20- 25	Gneiss à amphibole, grain fin en contact avec le granite blanc d'interligne.			
2L-318	20 <i>N-60</i>  40	Gneiss à amphibole à grain fin, interlité de gneiss acide blanc, très siliceux, séquence de volcanites basiques comptant des teneurs rhyolitiques peu épaisses. 2L-318: Gneiss acide fin, quartzo-feldspathique, très riche en silice.		2L-318	Réf.
2L-319	25 <i>N-62</i>  40	Petit affleurement sous couverture en flanc de colline. Gneiss conglomératique constitué de galet aplati, de granite grossier arrondi. La matrice est une roche volcanique de composition basique, voir photos #17 F6.			
2L-320	90- 150	Niveau de discordance socle-sédiment, affleurement de sédiment seulement.			

Statistiques

STATION	RA SPP2	DESCRIPTION	FORMATION	ECHAN- TILLON	ANALYSE
2L-320	suite N-30° / 40°	<p>La séquence présente:</p> <p>2L-320a: Grès fin mauve à tache verte.</p> <p>2L-320b: Grès, sub-arkose, grain moyen à fin, pendage très redressé.</p> <p>Stratification très relevée sur les faciès de grès fin, mauve et vert.</p> <p>2L-320c: Grès vert laminé en sub-horizontale.</p> <p>2L-320d: Microconglomérat saumon.</p> <p>2L-320e: Microconglomérat vert très altéré.</p> <p>Coupe verticale sur 4 m.</p>  <p>Alternance centimétrique de microconglomérat arkosique rose et de paraconglomérat à cailloux de quartz, matrice très grossière, arkosique, rose.</p> <p>Grès arkosique à sub-arkosique, vert laminé fin.</p> <p>Grès mauve à stratification très redressée.</p> <p>Tache d'altération verte.</p> <p>Gneiss conglomératique à galets aplatis de granite et de gneiss.</p>		2L-320a 2L-320b 2L-320c 2L-320d 2L-320e	L.M. U. Th. 47 L.M. L.M. L.M. L.M.
2L-321	15- 20	<p>Gabbro a un débit planaire vertical ou pseudo-vertical ou gris ?</p> <p>Les collines ^{collines} sont par ailleurs débités par la fracturation de N-30-N-40°.</p>			

Statistiques

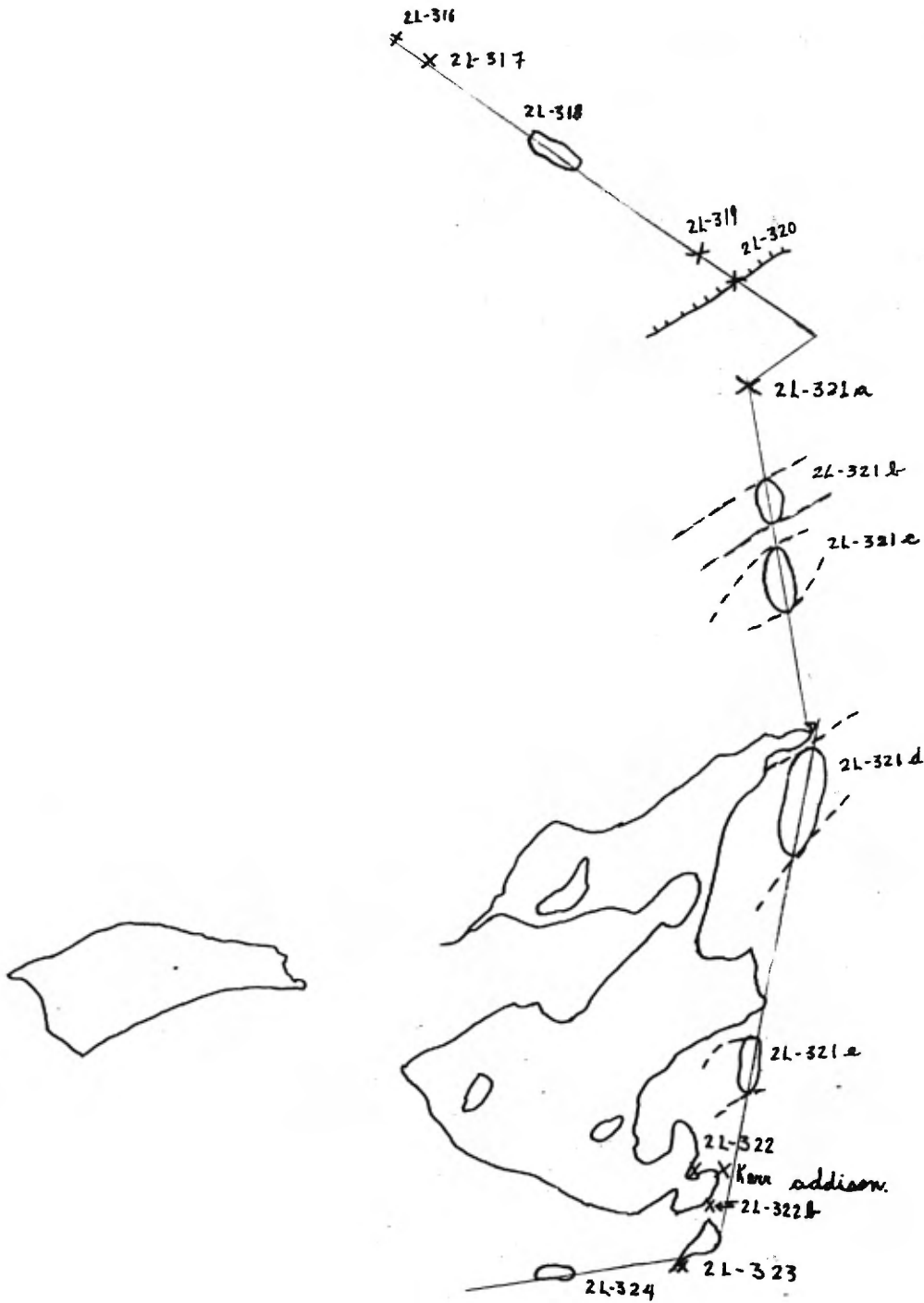
STATION	RA SPP2	DESCRIPTION	FORMATION	ECHAN- TILLON	ANALYSE
2L-321	suite	<p>Le gabbro est frais massif, grossier, très cristallin, blanc verdâtre en surface fraîche.</p> <p>Possiblement une tranche ou deux de gabbro continu, en sill, débité par la suite par la tectonique.</p> <p>Les grès de l'affleurement 2L-323 sont sous le gabbro (filon couche) minéralisé de l'indice Ken Addison.</p> <p>Cette même fracturation de tension recoupe à la fois les grès et le gabbro.</p>			

Statistiques

STATION	RA SPP2	DESCRIPTION	FORMATION	ECHAN- TILLON	ANALYSE
2L-322	50- 125 15000	<p>Gabbro d'Otish grossier, minéralisé ^u sur fracture N-100,110.</p> <p>Deux veines principales distantes de 25 mètres; fracture sur une largeur de 1 à 1.5 m, densité de 8 à 9.</p> <p>Maximum d'activité sur un matériel intrusif aphanitique rouge, siliceux, très dur.</p> <p>Le gabbro est fracturé également.</p> <p>N-60 - 30 W. N-40 - 45 W. N-70 - 90</p> <p>2L-322a: Gabbro altéré, rubéfié à 500 cps.</p> <p>Le gabbro est épidotisé sur fractures et souvent dans la masse.</p> <p>Veine à N-80,90°; peu active 5 à 15 cm; altération poussée "gossan type".</p> <p>Cisaillement peu abondant, veines principales minéralisées semblent être de la tension.</p> <p>2L-322b: Gabbro frais dioritique, grain moyen à la pointe sud-est du lac Ken Addison.</p>		2L-322a	4070/13 U. Th. ?
2L-323	45- 50 450	<p>Sub-arkose blanche microconglomératique, à galets et cailloux épars de quartz et feldspath. Niveaux de paraconglomérat à matrice arkosique.</p> <p>Les cailloux de quartz, 1 à 2 cm, sont parfois anguleux; les feldspaths apparaissent comme des cailloux mous ? ou gros fragments arrachés du socle.</p> <p>2L-323: Sub-arkose grossière microconglomératique.</p>		2L-323	L.M.

Statistiques

STATION	RA SPP2	DESCRIPTION	FORMATION	ECHAN- TILLON	ANALYSE
2L-324	65- 125 N-146 90 ↙	<p>IDEM 2L-323, position sub-horizontale, banc centimétrique à métrique. Ces grès sont sous les gabbros.</p> <p>2L-324: Sub-arkose à cailloux épars de quartz et feldspath très anguleux; feldspath fin de matrice est altéré, ocre, limonitisation.</p> <p>Le grès est actif sur les passées très feldspathiques, niveaux de conglomérat à matrice arkosique.</p>		2L-324	1.5 / 8. U. Th. Fond géochimique



PROJET: MONTS OTISH

FICHE D'AFFLEUREMENT

Patrice Caumartin
Serge Genest

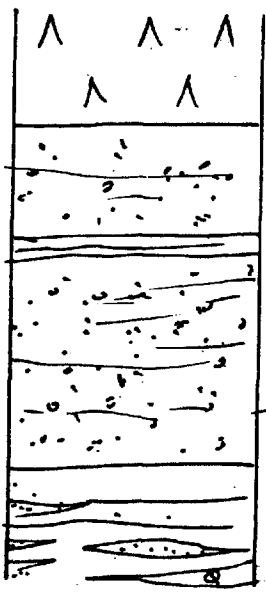
DATE: 3.9.80

LOCALISATION: hors permis, lac Manet

STATISTIQUE: 2C159

KM DE COUPE: 6

KM RADIOMETRE: 6

STATION	RA SPP2	DESCRIPTION	FORMATION	ECHAN- TILLON	ANALYSE
2P366	20	80 m x 20 m. Roche verte basique, métamorphisée. S_2 : N90,85°N (très dense). N165, subvertical. Présence de rods de quartz. Charnière verticale. Présence de malachite.		2P366a	F.G. L.M.
2P367	50-70	Sous la falaise de gabbro, des grès blanc verdâtre. So: N90,15°S. Les grès ont un débit quasi colonnaire. 			
2P368	50 <u>100</u> 450	Microconglomérat feldspathique blanc, présentant des niveaux conglomératiques décimétriques qui peuvent être ocre et actifs. Latéralement, passage à des grès feldspathiques à subarkosiques, grain grossier à débit en dalles.			

PROJET: MONTS OTISH

FICHE D'AFFLEUREMENT

DATE: 3 septembre 1980

LOCALISATION: Géologie Bordure Nord - Lac Manet - Photo aérienne: 1:31,680 Q-63107-24

STATISTIQUE: Coupe: 2C-160

KM DE COUPE: 6,5 km.

KM RADIOMETRE: 6,5 km.

STATION	RA SPP2	DESCRIPTION	FORMATION	ECHAN- TILLON	ANALYSE
2M386	30- 35 cps	Gabbro à grains grossiers, massif, peu schistosé, faiblement épidotisé, parcouru de veines et poches de quartz avec hématisation aux pourtours.	Gr. OTISH		
2M387	60- 65 cps	<p>Conglomérats quartzitiques (40% de cailloux de quartz dans une matrice feldspathique à sub-arkosique (rarement) (le pourcentage de feldspath est faible), alternant avec des grès feldspathiques grossiers à cailloux flottants.</p> <p>En fait, on peut noter plusieurs reprises plus grossières avec beaucoup de cailloux. Les bancs sont massifs; certains sont lenticulaires. La taille des cailloux (sub-arrondis) est variable (2 cm. à 10 cm.). Certaines surfaces intercouches choquent jusqu'à 225 cps.</p> <p>Plusieurs fractures ouvertes N-70°, débitent les affleurements.</p> <p>Coupe synthétique et simplifiée.</p> <p>Stratification: N.45° / 10°</p>	Indicateur		

- Sub-arkoses grossières à cailloux de quartz.
- Microconglomérat quartzitique.
- Conglomérat quartzitique à matrice sub-arkosique.
- Grès feldspathique à passée de cailloux.

Statistiques

STATION	RA SPP2	DESCRIPTION	FORMATION	ECHAN- TILLON	ANALYSE
2M388	75- 110 cps	Sub-arkose microconglomératique à cailloux de quartz flottants. Le pourcentage de cailloux et de feldspath varie latéralement. Couleur blanc-verdâtre dans l'ensemble, feldspaths blancs, altérés. Cailloux de taille variable, sub-arrondis.	Indicateur		
2M389	75-90 cps	Sub-arkose microconglomératique, IDEM à 2M328, mais la couleur est blanc-grisâtre; nous sommes à proximité du gabbro qui peut avoir contaminé le matériel.	Indicateur		

PROJET: MONTS OTISH

J. Lefur
R. St-Jean

FICHE D'AFFLEUREMENT


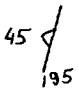
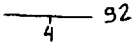
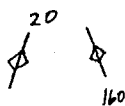
DATE: 4 septembre 1980

LOCALISATION: Bordure Nord

STATISTIQUE: Coupe 2C-162

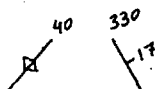
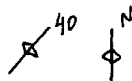
KM DE COUPE: 5,0 km

KM RADIOMETRE:

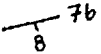

STATION	RA SPP2	DESCRIPTION	FORMATION	ECHAN- TILLON	ANALYSE
2J-332	25	Affleurements autour du lac. Gabbro d'Otish gris vert, grain moyen, pyriteux. 	Gabbro d'Otish		
2J-333	35- 40	Affleurement le long du lac, bordure du lac. Gneiss granitisé blanc rose, quartz, feldspaths, ferromagnésiens, fractures hématisées.  Le gabbro est en sill au-dessus.	Socle	2J-333a	
2J-334	50- 150	Affleurement sur la bosse au sud du lac. Paraconglomérat oligomictite à cailloux de quartz, de couleur verte. Cailloux 10 cm sub-arrondis, matrice d'arkose. Petites géodes centimétriques rose orange à cristaux d'hématite. Passées arkosique verte à grain moyen à grossier.  mesuré à distance, le gabbro est en sill au-dessus du conglomérat. 	Indicateur	2J-334a	

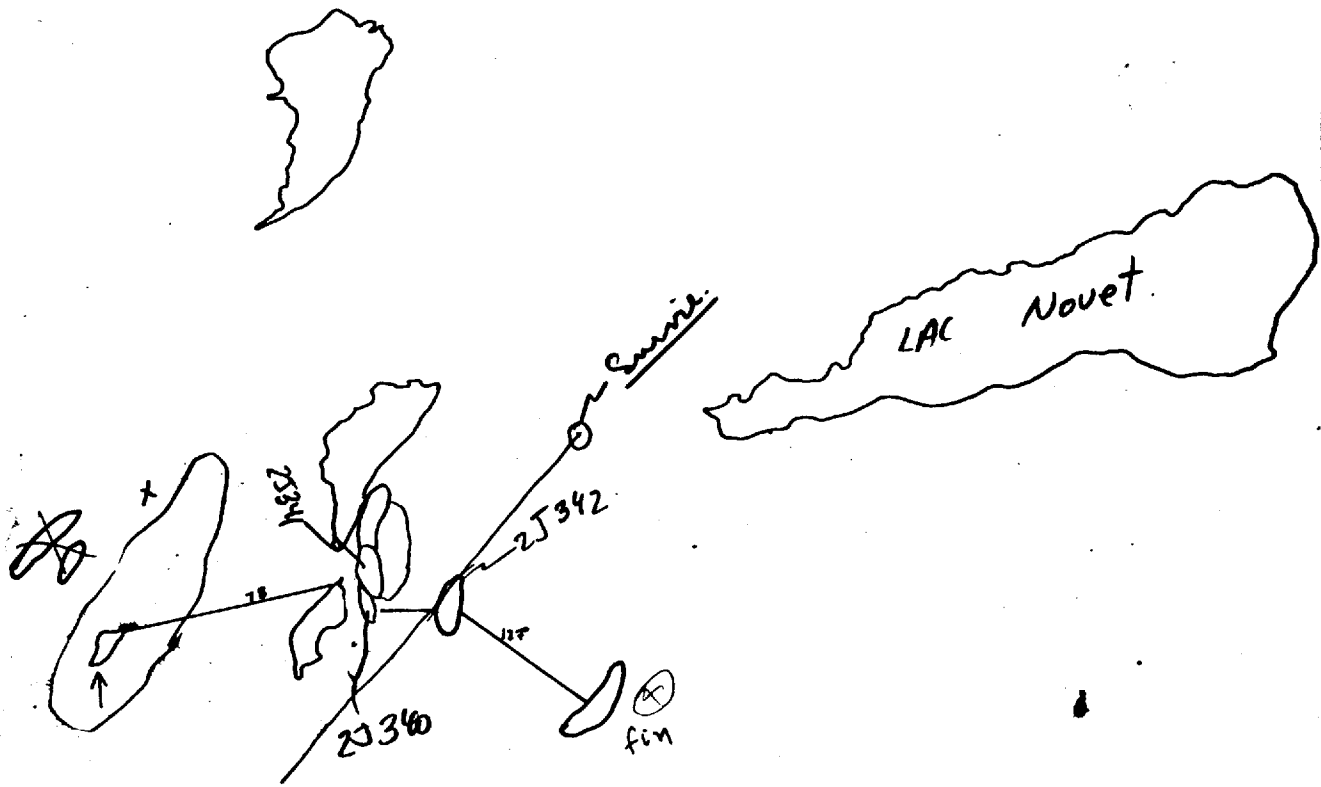
Statistiques

STATION	RA SPP2	DESCRIPTION	FORMATION	ECHAN- TILLON	ANALYSE
2J-335	65	Affleurement 1.5 m, stratigraphiquement et topographiquement au-dessous du conglomérat de base. Métasédiment ? ou conglomérat de base, beaucoup de biotite et chlorite, est schistosé, très sale; cailloux de quartz ϕ 2.5 cm très hématisés.	Indicateur	2J-335a 2J-335b	L.M.
2J-336	25-30	Affleurement de gabbro d'Otish gris moyen verdâtre, pyriteux.	Gabbro d'Otish		
2J-337	50-200	Affleurement 5 m d'épaisseur. Paraconglomérat oligomictite à cailloux de quartz et sub-arkose conglomératique à cailloux de quartz, verte à jaunâtre (couleur miel), ressemble à 2J-334 mais moins feldspathique. Cailloux de quartz arrondis, diamètre jusqu'à 5 cm.	Indicateur	2J-337a	
2J-338	35	Affleurement 2 m de hauteur. Orthoquartzite blanc laminé. Lentille d'hématisation rouge, grain moyen, tri moyen.	Indicateur	2J-338a	
	50 55	3 m au-dessus, on retrouve un orthoconglomérat polymictite rose; - feldspaths roses 1 cm peu altérés. Lentille d'arkose verte.			



Statistiques

STATION	RA SPP2	DESCRIPTION	FORMATION	ECHAN- TILLON	ANALYSE
2J-339	25-30	Gabbro d'Otish. IDEM 2J-336.	Gabbro d'Otish		
2J-340		Affleurement le long de la falaise. Paraconglomérat oligomictite à cailloux de quartz, IDEM 2J-337, intercalé avec des orthoquartzites blancs, très bien triés, et des grès feldspa- thiques microconglomératiques à cail- loux de quartz. 		2J-340a	
2J-341	30	Affleurement continu. Gabbro d'Otish IDEM 2J-336..	Gabbro d'Otish		
2J-342	60-110	Affleurement 10 m d'épaisseur. Paraconglomérat oligomictite à cailloux de quartz et sub-arkose conglomérati- que et microconglomératique à cailloux de quartz. Environ 20-25% de feldspaths. 			

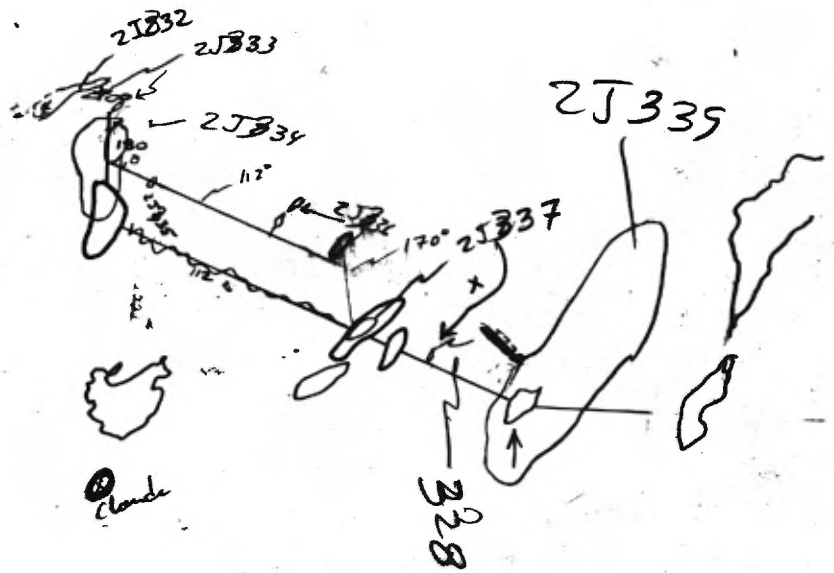


63107-25

22162

Bordune Nord,

4 sept 30



63107-27

PROJET: MONTS OTISH 80'

FICHE D'AFFLEUREMENT

DATE: 4 septembre 1980

Bordure Nord - 230/6W.

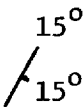
LOCALISATION: Carte 1:50,000 - Lac Manet Ouest

Photos: 1:31680 Q-63107 20-21

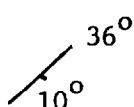
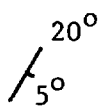
STATISTIQUE: Coupe 2C-163

KM DE COUPE: 6,0 km.

KM RADIOMETRE: 6,0 km.

STATION	RA SPP2	DESCRIPTION	FORMATION	ECHAN- TILLON	ANALYSE
2M390	75- 80 cps Qques points à 150 cps	Sub-arkoses microconglomératiques à cailloux flottants de taille centimétrique. Feldspaths altérés, kaolinisés, bancs métriques. Stratification: $100^{\circ} / 8^{\circ}$ Certains des cailloux sont des quartzites laminés.	Indicateur		
2M391	50 cps	Sub-arkoses à grains moyens, massives, surmontées de quartzites massifs à grains moyens de couleur ocre, très bien débités en bancs décimétriques. Stratification: $N.15^{\circ} / 15^{\circ}$  Plus haut, ces quartzites sont laminés. Au-dessus des quartzites massifs, on note un niveau poreux, quartzitique, de couleur violet de 30-40 cm. d'épaisseur.	Indicateur	2M391	Lame mince
2M392	35 cps	Quartzites, IDEM aux quartzites de 2M391, ravinés par des sub-arkoses et arkoses grossières, à passées microconglomératiques à cailloux flottants. On note plusieurs petites cuillères entrecroisées; le sens du courant est SW-NE.	Indicateur		

Statistiques

STATION	RA SPP2	DESCRIPTION	FORMATION	ECHAN- TILLON	ANALYSE
2M393	75 cps	Sub-arkoses grossières à cailloux flottants. Stratification: 	Indicateur		
2M394	25-30 cps	Gabbro en sill surmontant les sub-arkoses rubéfiées et faiblement recristallisées.	Indicateur		
2M395	50 cps	Sub-arkoses grossières à cailloux flottants, passées microconglomératiques et arkosiques, bancs lenticulaires, décimétriques à métriques. Stratification générale 	Indicateur	2M395	U / Th.
	700 - 1200 cps	Niveau anomal dans des sub-arkoses microconglomératiques à cailloux flottants, avec altération ocre et limonitique. Le banc possède 50 cm de puissance et la zone anormale semble être continue sur plusieurs mètres latéralement. D'autres niveaux choquent à 350-450 cps. Les sub-arkoses du sommet sont blanchâtres à grisâtres, et stériles. Les bancs semblent plus massifs.			

Statistiques

STATION	RA SPP2	DESCRIPTION	FORMATION	ECHAN- TILLON	ANALYSE
2M396	700 cps	Dans le gabbro sus-jacent (sill), dans une fracture N.110° sub-verticale, on retrouve des comptes anormaux. La fracture est altérée; il y a épidotisation, chloritisation. On retrouve de la chrysotile et une limonitisation par endroit.	Gr. OTISH		
2M397	60 cps	<p>Dans le gabbro, on retrouve des veines centimétriques (largeur). Longues de plusieurs mètres de matériel rose blanchâtre, composé de grains de quartz de 0,5 cm. sub-arrondis, dans une pâte ocre, pêche, feldspathique.</p> <p>Une contamination venant du gabbro semble s'être produite; on retrouve des minéraux verts (ferro-magnésières) altérés, disséminés dans la veine.</p> <p>(Etude de lame mince)</p> <p>(Après discussion, ce matériel pourrait être une RHYOLITHE). ou quelque matériel hypovolcanique acide.</p>	Gr. OTISH	2M392	Lame mince

PROJET: MONTS OTISH

Patrice Caumartin
Marc Simard

FICHE D'AFFLEUREMENT

DATE: 4.9.80

LOCALISATION:

STATISTIQUE: Coupe 2C164

KM DE GEOLOGIE: 4.2

KM DE RADIOMETRIE: 4.2

STATION	RA SPP2	DESCRIPTION	FORMATION	ECHAN- TILLON	ANALYSE
2P369	50-80	Felsenmeer. Microconglomérat feldspathique.			
2P370	50-60	Affleurement d'orthoquartzite rose laminé. φ: 6 m N15,10°E.			
2P371	90- 120	Orthoquartzite laminé à fin lit arkosique, grain très fin, couleur rouge à rose. Stra- tification très légèrement chenalisante à petite échelle. So: N78,8SE.			
2P372	50-80	Grès feldspathique verdâtre, débit en plaques. Granulométrie homogène, moyenne à fine. So: N165,4°W.			
2P373	40	Grès grossier feldspathique gris violacé "sale", mauvais tri, présence de grains grossiers de feldspath (d'hématite ou magnétite?). Débit décimétrique. Texture homogène.			
2P374		Flanc N de la butte affleurant.			
	70	- A la base, microconglomérat feldspathique verdâtre, massif. 4-5 m.			
	70	- Microconglomérat subarkosique à granules flottants de quartz et passées de grès grossier vert arkosique. 5 m.			
	80-90	- Microconglomérat arkosique verdâtre à granules flottants. Stratifications entrecroisées. So: N180,15E Présence de fuchsite, ce jusqu'au sommet.			
2P375	70	Grès feldspathique à grain fin, lamines			

So: subhorizontale

Statistiques Coupe 2C164

STATION	RA SPP2	DESCRIPTION	FORMATION	ECHAN- TILLON	ANALYSE
2P376	60-80	<p>verdâtres à rosées. So: subhorizontale.</p> <p>Au-dessus, gabbro.</p> <p>Sommet de la butte.</p> <p>Conglomérat subarkosique à rares granules flottants. Les feldspaths sont rosés et altérés. So: subhorizontale. Diaclasage intense: 6/m N72,80S. Par endroits, le grain est celui d'un grès grossier avec des lentilles microconglomératiques (échan.A).</p>			

FICHE D'AFFLEUREMENT

DATE: 6.9.80

LOCALISATION: Hors propriété, bord nord

STATISTIQUE: 2C169

KM DE COUPE: 4

KM DE RADIOMETRIE: 4

STATION	RA SPP2	DESCRIPTION	FORMATION	ECHAN- TILLON	ANALYSE
2P382	70-80	Microconglomérat subarkosique à galets flottants de quartz blanc, hématisé sur la totalité de l'affleurement. So: subhorizontale, plus loin N40,4N.			
2P383	50	Microconglomérat à tendance conglomératique feldspathique, à galets rouges et roses quartzeux (galets de quartzite?). Latéralement grès grossier quasi-microconglomératique quartzitique, massif, porteur du même type de galets que précédemment. Ondulations de la So subhorizontale selon des directions N40. Diaclasage net: 8-10/m: N150.			
2P384	25	Orthoquartzite massif à grain grossier, blanchâtre.			
2P385	50	Falaise (6 m) d'un microconglomérat quartzitique à feldspathique, présentant des passées subarkosiques grossières et des niveaux (ϕ : 0.5 m) conglomératiques (galets de quartz blanc). Le fond est blanc verdâtre, traversé de lamines hématisées et limonitisées. So: subhorizontale.			
2P386	75-80 100- 200	Microconglomérat feldspathique blanc verdâtre, traversé de lentilles conglomératiques décimétriques fréquemment soulignées d'ocre et, à cette occasion, actives. Diaclasage 15/m: N20°.			

Statistiques 2C169

STATION	RA SPP2	DESCRIPTION	FORMATION	ECHAN- TILLON	ANALYSE
2P387	60-70	<p>Grès feldspathique à grain moyen, vert, surmontant progressivement un microconglomérat quartzitique verdâtre à fréquentes zones d'hématisation légère. Galets flottants de quartz blanc. Latéralement, vers le nord, le faciès devient plus feldspathique, lamines hématisées.</p> <p>Diaclasage 1-2/m: N20°.</p>			

PROJET: MONTS OTISH 80

FICHE D'AFFLEUREMENT

DATE: 6 septembre 1980

LOCALISATION: Bordure Nord - Carte 1:50,000 - Lac Manet 230/6W. Photo aérienne:

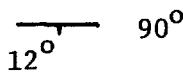
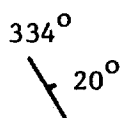
1:31,680

STATISTIQUE: Coupe 2C-171

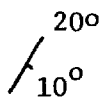
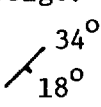
No 63115A-69

KM DE COUPE: 5,2 km.

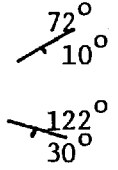
KM RADIOMETRE: 5,2 km.

STATION	RA SPP2	DESCRIPTION	FORMATION	ECHAN- TILLON	ANALYSE
2M405	60- 65 cps 1000 à 1500 cps 60 cps	<p>Séquence de sub-arkoses à grains grossiers et rares cailloux flottants, blanches (décoloration due à la proximité du gabbro intrusif sous forme de sill qui chapeaute le tout...).</p> <p>Grains sub-anguleux à sub-arrondis, mauvais tri et classement; bancs métriques irréguliers, parfois lenticulaires, surfaces intercouches parfois argileuses.</p> <p>Zones anormales dans les faciès altérés ocres et hématisés rougeâtres, semble être une diffusion à partir de joints. (Surface 0,50 m. x 0,75 m.)</p> <p>Cette séquence de sub-arkose surmonte d'autres sub-arkoses et quartzites grossiers à microconglomératiques de couleur blanc-verdâtre.</p> <p>Stratification (?) </p>	Indicateur		
2M406	50 cps	<p>Grès feldspathique à la limite de la sub-arkose, à grains grossiers sub-arrondis, altération limonitique abondante.</p> <p><u>Lamine:</u> les laminations sont l'effet d'alignement des grains plus grossiers en alternance avec le reste du matériel plus fin. Les stratifications sont centimétriques ce qui donne un aspect débité à la roche, avec forte érosion différentielle.</p> <p>Stratification: </p>	Indicateur		

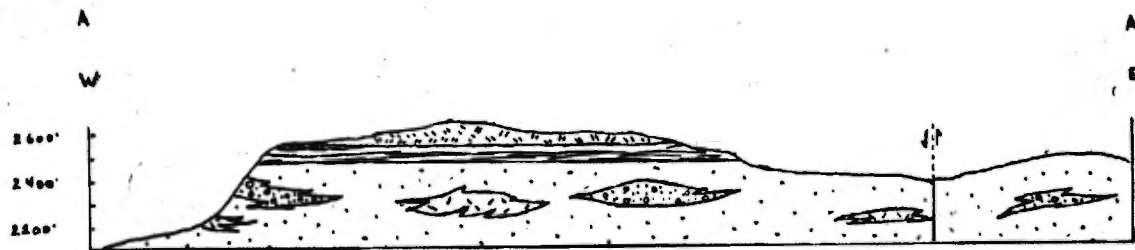
Statistiques

STATION	RA SPP2	DESCRIPTION	FORMATION	ECHAN- TILLON	ANALYSE
2M407	50 cps	<p>Quartzites grossiers à passées micro-conglomératiques, laminés; là encore les laminations sont le fait de l'alignement de granules parmi les grains de taille arénitique; on note là aussi, une forte altération limonitique et une dissolution du ciment qui laisse la roche très fragile à l'érosion.</p> <p>Stratification: </p>	Indicateur	2M407	U / Th. F.G.
2M408	40 cps	<p>Quartzite grossier laminé à deux granulométries, beaucoup plus homogène que la station précédente et résiste beaucoup mieux à l'érosion (absence d'altération rouille).</p> <p>Les bancs sont plus massifs; la couleur est brun beige.</p> <p></p> <p>On note aussi des passées non colorées, blanches, lenticulaires, centimétriques (épaisseur 1 cm. à 1,5 cm.) plus ou moins continues latéralement. En général, plus grossiers...</p> <p>Immédiatement au-dessus, nous avons des stratifications entrecroisées à l'échelle <u>décamétrique</u> dans des quartzites similaires, à grains très grossiers.</p> <p>La séquence de quartzite se poursuit avec des quartzites à granulométrie plus fine vers le haut avec une stratification sub-horizontale.</p> <p>Les bancs sont réguliers; on a quelques quartzites massifs intercalés mais dans l'ensemble, ce sont des quartzites laminés comme les stations précédentes, mais à granulométrie plus fine.</p>	Indicateur	2M408	L.M.

Statistiques

STATION	RA SPP2	DESCRIPTION	FORMATION	ECHAN- TILLON	ANALYSE
2M409		<p>Séquence de quartzites hématisés rouges et noirs, en strates alternantes décimétriques. Comprise dans une série entrecroisée... l'hématisation des quartzites semble prendre principalement place à la surface intercouche et se diffuse dans tout le banc parfois.</p> <div style="text-align: center;">  </div> <p>Les quartzites noirs peuvent choquer jusqu'à 300 cps par endroit, autrement le mouvement propre s'établit à 80-90 cps.</p> <p>Plus à l'est, on a une faille N.150° avec une tectonisation poussée du quartzite; hématisation poussée (on retrouve le quartzite noir...) et argilite de faille aux surfaces intercouches (épaisseur 1 à 2 cm.).</p>	Indicateur		U / Th.

Coupe A-A' Bordure Nord.



Echelles : 1" : 10,000"

Coordonnées Mercator : 58015 N, 4000 E

Carte 1:50,000 Lac Manet 25 D 6 W



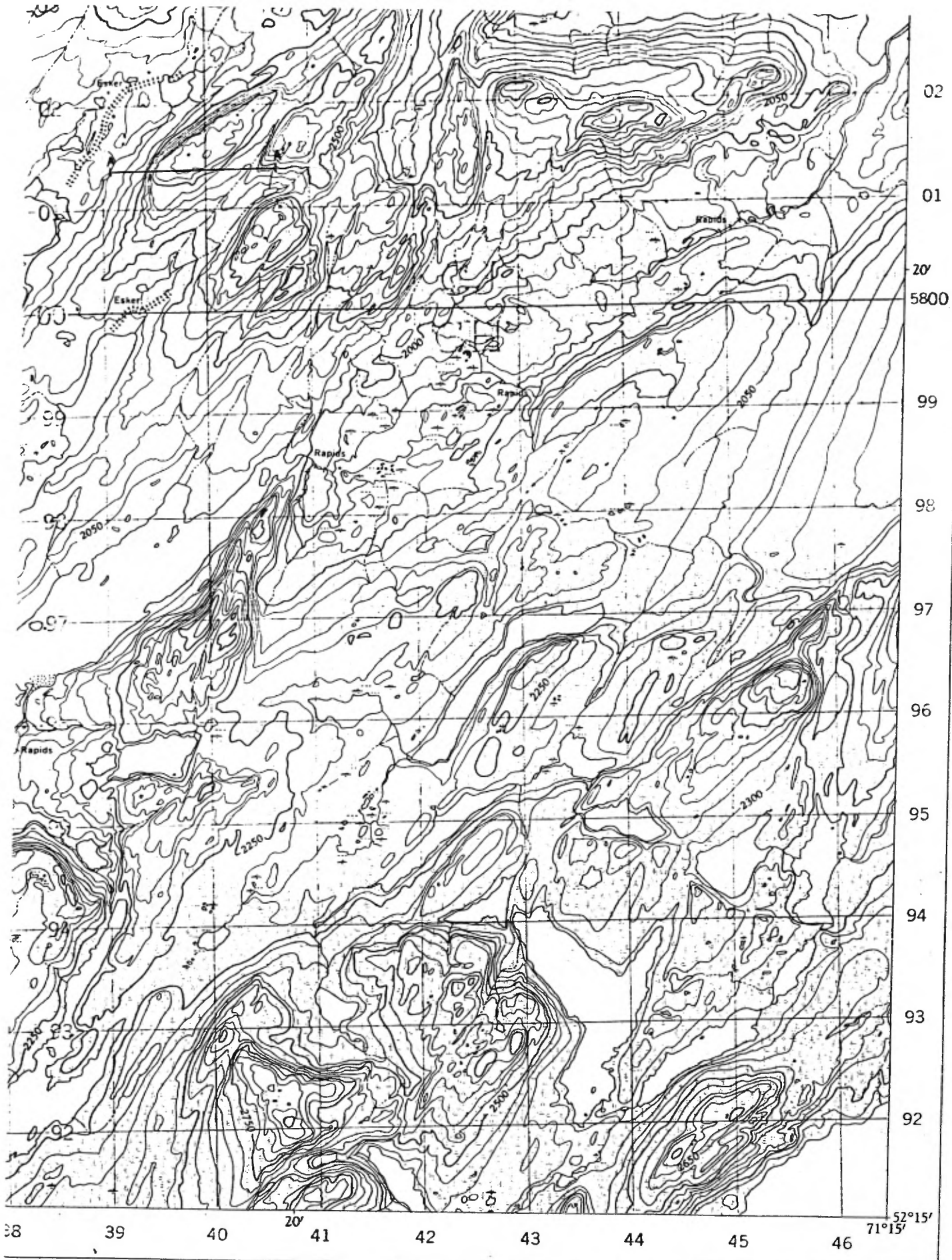
Fine couche de Gabbro



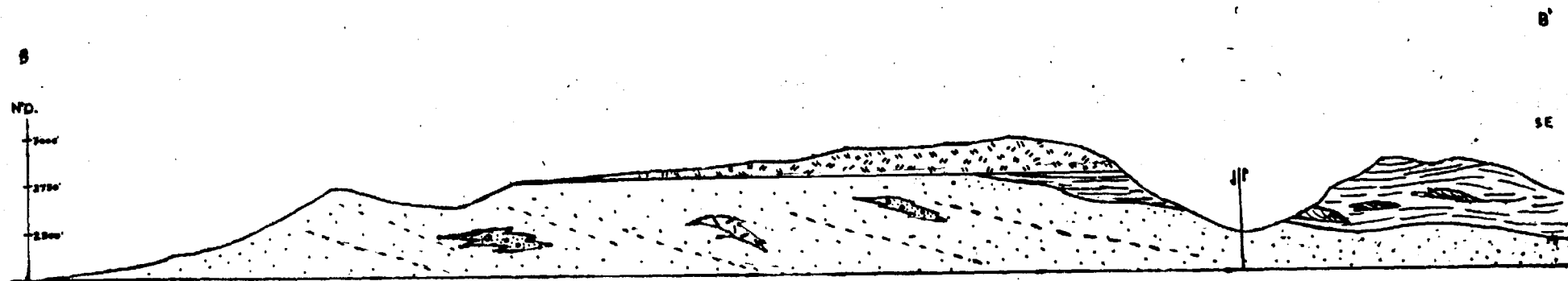
Quartzites massifs, localement ravinsés par des subarkoses



subarkoses grossières à passées microconglomératiques et feldspatiques.



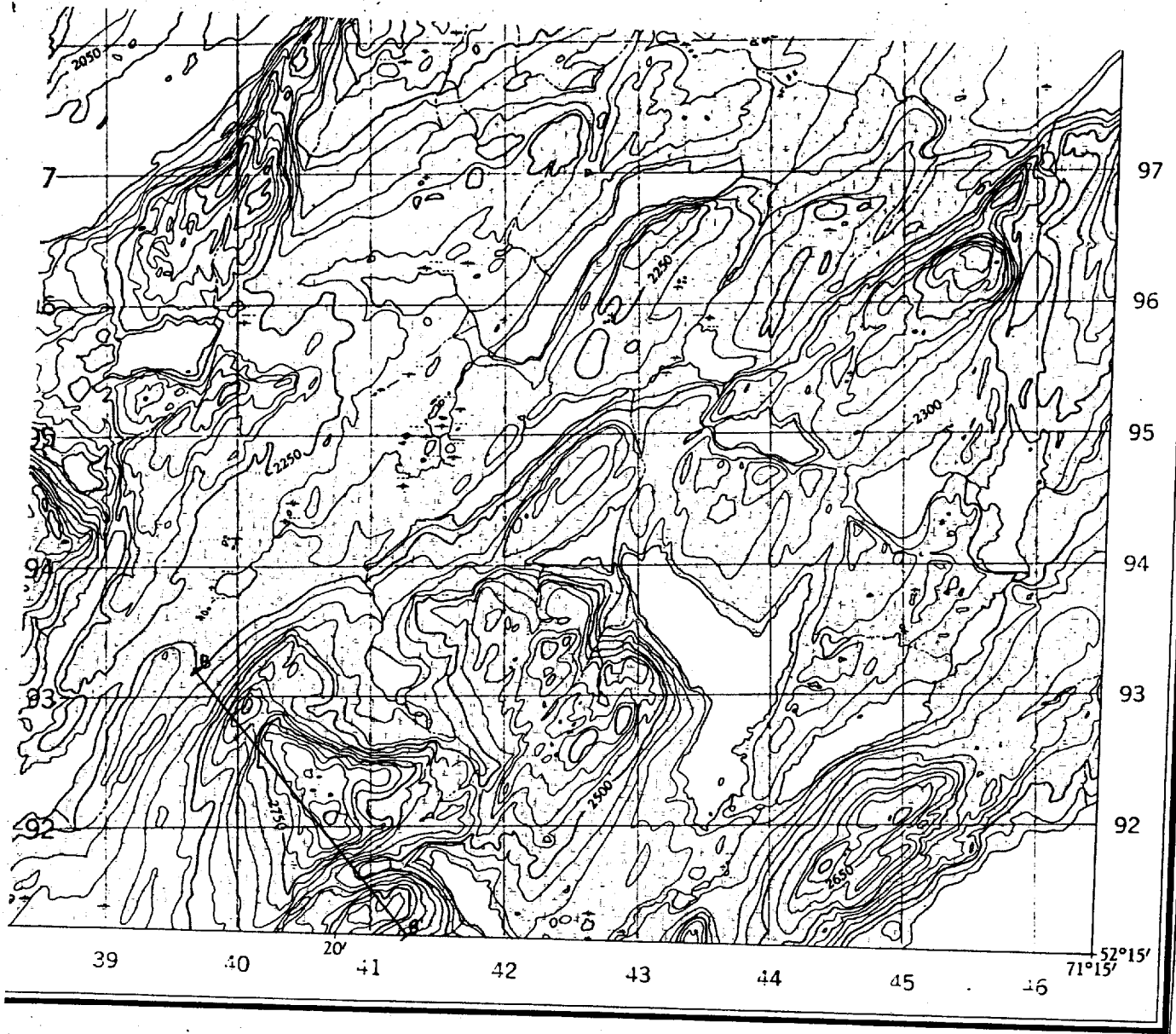
Coupe B-B' Bordure Nord.



Echelle: 1:10,000

Coordonnées Mercator: 57.92 m N. 340500 m E

Carte 1:50,000 Lac Manabé 23 D6W.



PROJET: MONTS OTISH

Jean Beaudin
Serge Genest

FICHE D'AFFLEUREMENT

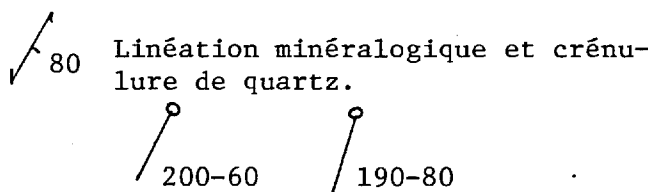
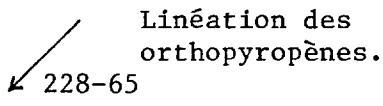
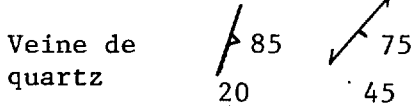
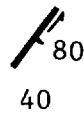
DATE: 19 juin 1980

LOCALISATION: Photo 66318-38

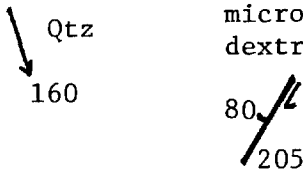
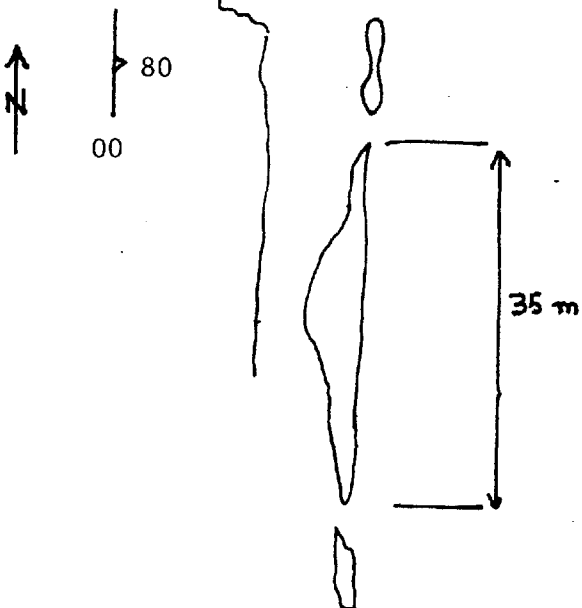
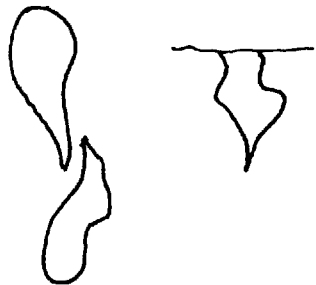
STATISTIQUE: 2C-27

KM DE COUPE: 1,5 km

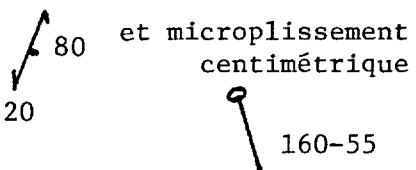
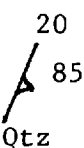
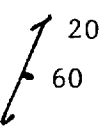
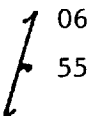
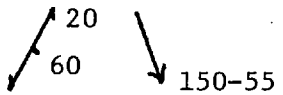
KM RADIOMETRE: 2 x 1,5 km

STATION	RA SPP2	DESCRIPTION	FORMATION	ECHAN- TILLON	ANALYSE
2B35	100	<p>Gneiss granitique blanc migmatisé allant jusqu'à des gneiss oscillés localement; donc rubanement de granite blanc, enclave de gabbro ancien, enclave de gneiss mica-cé, granite rose localement et passée pegmatitique.</p> <p></p> <p>Dans gabbro: </p> <p>Veine de quartz légèrement injectée et entourée de micaschiste.</p> <p>Veine de quartz </p> <p>Petite veine de quartz avec microfaille de décrochement senestre.</p> <p></p>	1		


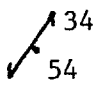
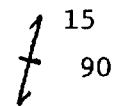
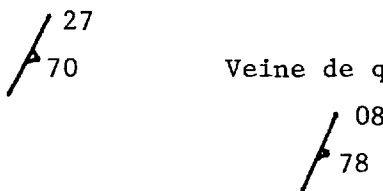
Statistiques

STATION	RA SPP2	DESCRIPTION	FORMATION	ECHAN- TILLON	ANALYSE
2B36		<p>Lithologie identique à 2B35 avec en plus une enclave plurimétrique de lite laminée rouge.</p> <p>Petite veine de quartz (10 cm), avec microfaille dextre.</p>  <p>Mégaveine de quartz blanc lenticulaire (en amande dans les trois dimensions) selon la direction du linéament de la rivière. Mégaleucosome</p>  <p>Veine de quartz rose et blanc, en amande.</p> <p style="text-align: right;">érosion</p> <p style="text-align: center;">plan coupe</p> 	1		

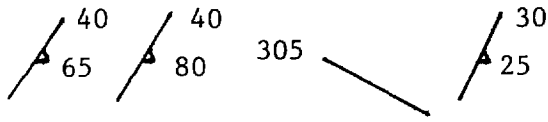
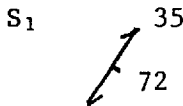
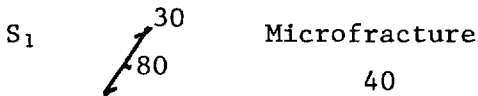

Statistiques

STATION	RA SPP2	DESCRIPTION	FORMATION	ECHAN- TILLON	ANALYSE
2B36 suite		<p>Mylonitisation de granite avec injection de quartz millimétrique à centimétrique,</p>  <p>et microplissement centimétrique</p> <p>Autre veine de quartz (20 cm)</p> 			
2B37	125 cps	<p>Granite rose faiblement folié.</p> 	2		
2B38	100	<p>Identique à 2B35, granito-gneiss à enclave.</p> 	1		
2B39	100	<p>IDEM précédent, mais plus fortement migmatisé.</p> <p>Stries de quartz:</p> 	1		

Statistiques

STATION	RA SPP2	DESCRIPTION	FORMATION	ECHAN- TILLON	ANALYSE
2B40	15	Gabbro peu tectonisé reposant sur socle. Contact gabbro-socle au pied de l'es- carpement.	4		
2B41		Gabbro. Joint: 1/5 m Joint: 1/3 m 	4		
2B42		Gabbro à moins de 2 mètres du socle. Sill de gabbro probable.  Socle: gneiss granitique blanc à rose très pâle, légèrement migmatisé.	4		
2B43	150 Nom- breux 200 - 300	Gneiss granitique légèrement migmati- sé blanc à rose pâle. - Anomalie radiométrique dans passée pegmatitique rose cisailée (cm) et laminée de quartz.  Anomalie sur 10 cm avec maximum ponctuel. - Deuxième point presque anomal 750 cps sur microfracture dans enclave gneiss micacé.			
2B44	150	Granite rose peu folié localement.  Veine de quartz	2		

Statistiques

STATION	RA SPP2	DESCRIPTION	FORMATION	ECHAN- TILLON	ANALYSE
2B45	Socle 10° Encla- ve 5°	Gneiss granitique blanc à enclave. Gabbro à 10 mètres au SW. 	1		
2B46		Gabbro sub-en-place.	4		
2B47	150 max. 1750	Socle de gneiss granitique blanc à en- clave. Anomalie 1750 cps sur fracture en contact granite blanc grossier et gneiss micacé.	1 Témoin 2B47-A		
2B48	150	Gneiss granitique blanc à enclave.	1		
2B49	150 nom- breux 200 à 500 1250 1500	Granito-gneiss blanc migmatisé à pas- sée pegmatitique et à enclave. Trois points anomaux: 1) 1250 cps ponctuel dans (-B) passée grosnière migmatisée très sembla- ble à l'anomalie 2B47.  2) 1500 cps ponctuel dans l'intersec- tion.  3) 2B49-a 	1		

PROJET: MONTS OTISH

Jean Beaudin
Serge Genest

FICHE D'AFFLEUREMENT

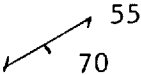
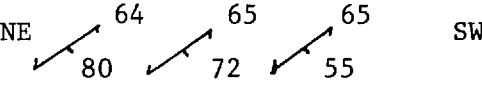
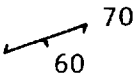
DATE: 20 juin 1980

LOCALISATION: Photo 66318-38

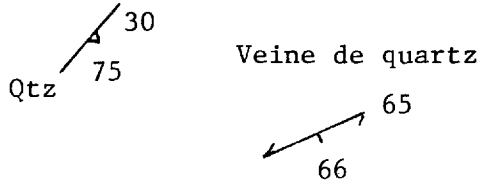
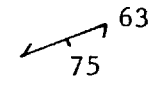
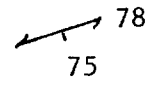


STATISTIQUE: 2C-28

KM DE COUPE: 2,6 km

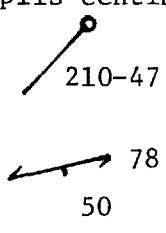
KM RADIOMETRE: 2 x 2,6 km

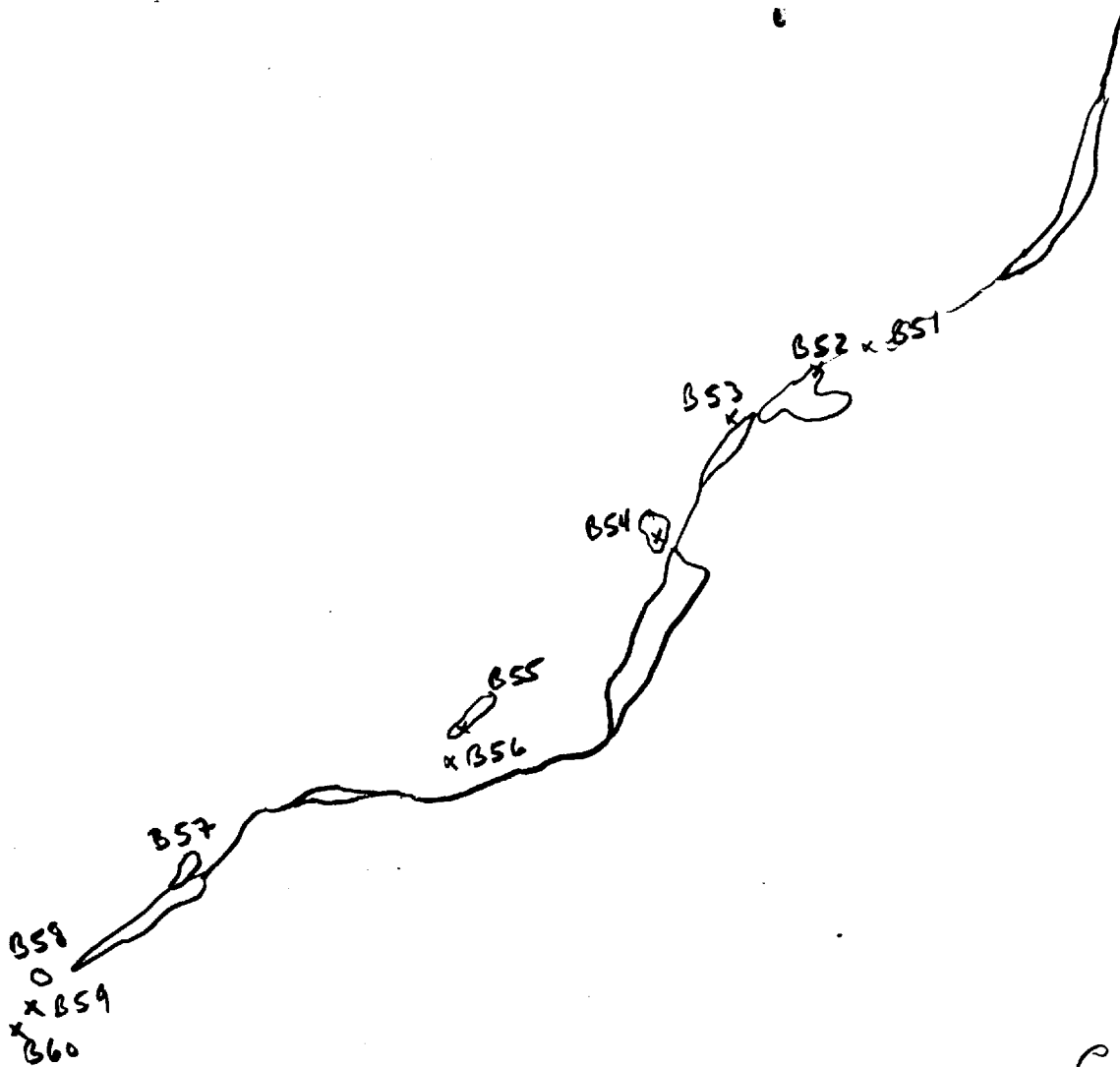
STATION	RA SPP2	DESCRIPTION	FORMATION	ECHAN- TILLON	ANALYSE
2B51	100- 150	Gneiss rubané à leucosome pegmatitique et gneiss à quartz-feldspath-mica (biotite) de granulométrie plutôt fine. 	1		
2B52	100- 125	Gneiss granitique blanc à granules de 0.2 à 0.7 mm, laminé occasionnellement de gneiss micacé. Quelques passées de gneiss à quartz-feldspath-biotite. Gneissosité: 	1		
2B53	125	Granite rose de 0.5 à 1.0 cm (grain) massif: quartz, feldspath rose, feldspath blanc, biotite. Passée fortement biotitique. Foliation peu développée et très continuée.	2		
2B54	125	Granite rose IDEM précédent. 	2		

Statistiques

STATION	RA SPP2	DESCRIPTION	FORMATION	ECHAN- TILLON	ANALYSE
2B55	125- 150	Granite rose à rouge (hématite) à quartz, feldspath rose, biotite. Massif. Plusieurs points à 300-400 cps dans passée pegmatitique. 	2		
2B56		IDEM précédent.	2		
2B57	100- 125	Granite identique à 2B55, mais blanc et plus folié que le 2B55 rose. 	2		
2B58	100- 125	Granito-gneiss blanc à quartz, feldspath et biotite très bien rubané (tous les 5 à 15 cm) et très régulier. 	1		
2B59		IDEM 2B58 Veine de quartz blanc 1 m x (5 à 20 cm) Direction N-30  Veine de quartz irrégulière: N-10 			

Statistiques

STATION	RA SPP2	DESCRIPTION	FORMATION	ECHAN- TILLON	ANALYSE
2B59 suite		Axe de plis centimétriques: 			
2B60		IDEM 2B59	1		



Coupa : 2028
20-6-80

Jean Beaudin
and Serge Guenet
Q 66318-38
1:15,840

PROJET: MONTS OTISH
Jean Beaudin

FICHE D'AFFLEUREMENT

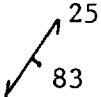
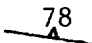
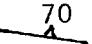
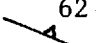
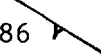
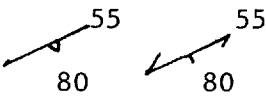
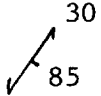
DATE: 7 juillet 1980

LOCALISATION: Carte topo 1/50,000 22M/13

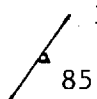
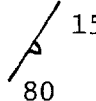
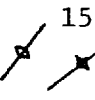
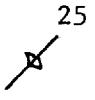
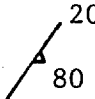


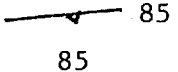
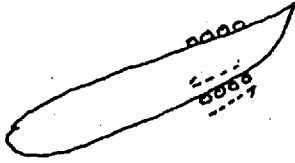
STATISTIQUE:

KM DE COUPE: En hélico 6 stations

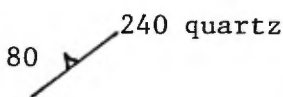
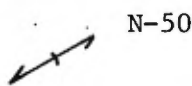

KM RADIOMETRE: En hélico

STATION	RA SPP2	DESCRIPTION	FORMATION	ECHAN-TILLON	ANALYSE
2B232	50-70	<p>Gneiss micacé à feldspath (30%), quartz (30%) et biotite (40%) relativement grossiers (1 à 3 mm) à leucosome régulier et fin mais très peu de niveau laminé micacé.</p> <p>Amphibolite laminée (amphibole de 1 à 2 m) passant occasionnellement à un gneiss à amphibole avec des enclaves d'amphibolite plus épidotisées, plus massives et quelques enclaves oeillées de gneiss micacé.</p> <p>Au nord S_1  mais varie fréquemment</p> <p><u>Veine de quartz: leucosome ou veine</u></p> <p>2 cm x 5 m  285 quartz</p> <p>3 cm x 1 m  285 quartz</p> <p> 300 quartz</p> <p>30 cm x 3 m  132 quartz</p> <p>2 cm x 1 m parallèle au S_1 local</p> <p></p> <p>Sud: S_1 </p> <p>Mégaveine de quartz blanc ± feldspath: leucosome</p>	1		

Statistiques

STATION	RA SPP2	DESCRIPTION	FORMATION	ECHAN- TILLON	ANALYSE
2B232 suite		<p>1 m x 20 m  15 quartz parallèle à la faille</p> <p>15 cm x 1 m  15</p> <p>Mégaveine en amande: leucosome</p> <p>1 m x 5 m  15 quartz majeure secondaire</p> <p>>1 m  25</p> <p>Fracturation. Majeure longue mais très peu dense.</p> <p> 20 sur 15 mètres</p> <p>Secondaire: Senestre déplaçant les veines de quartz.</p> <p> 85 260</p> <p>Notez que la fracturation et les veines de quartz sont approximativement du même âge, car elles ne sont pas déplacées par les fractures.</p>			
2B233 suite de 2B232		<p>Surtout gneiss micacé mais présence d'amphibolite; mégaveine-quartz-feldspath blanc: leucosome.</p> <p>2 m x 10 m  75</p> <p>avec bordure nettement cisailée; stries en "rouleaux" le long d'une autre mégaveine.</p> <p> 85</p> <p>Plan: </p>			

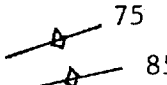
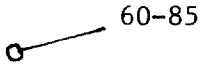
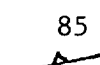

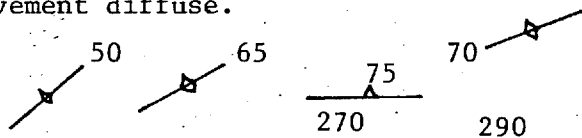
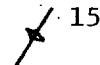
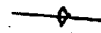
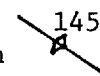
Statistiques

STATION	RA SPP2	DESCRIPTION	FORMATION	ECHAN- TILLON	ANALYSE
2B233 suite	Un pt. près d'une veine 750 cps	<p>Impossible de déterminer le sens du mouvement mais cela indique un glissement sub-horizontale, donc une composante décrochante.</p> <p>Plusieurs mégaveines de l'ordre de la dizaine de mètres, d'axe N-45 (?).</p> <p>Trois veines de 10cm x 3 mètres</p> <p style="text-align: center;">  </p> <p>Les mégaveines sont toujours dans le plan de la gneissosité principale ou du moins avec un faible angle.</p> <p style="text-align: center;">  </p>			
					
<p>Vue vers le S.W. Mégaleucosome en blanc.</p>					

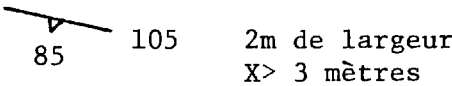

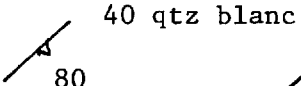
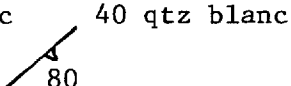
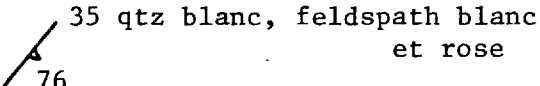
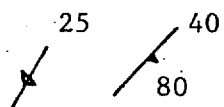
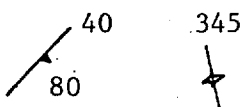
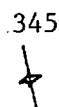
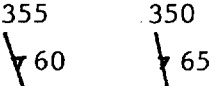
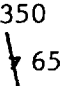
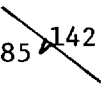
Statistiques

STATION	RA SPP2	DESCRIPTION	FORMATION	ECHAN- TILLON	ANALYSE
2B233 suite		<p>Les mégaveines semblent se mettre en place dans le coeur d'une zone fortement plissée et à axe à fort pendage (plissement ancien des migmatites).</p> <p>La photo suivante illustre une zone plissée avec la veine tardive exactement dans le plan axial faillé (senestre) des plis de leucosomes.</p> <div data-bbox="409 737 1182 1377" data-label="Image"> </div> <p>Manche du marteau approximativement Nord.</p> <p>Les plis (longueur d'onde environ 10-20 cm) à plan axial $\frac{85}{265}$</p> <p>○ — 85-85 avec fracture axiale $\frac{80}{275}$ qtz, rejet senestre (horizontal 5 cm).</p> <p>Pli d'entraînement qui semble causé par la mégaveine à proximité.</p> <p>Flanc long \swarrow N-50 \searrow N-355 65?</p>			


Statistiques

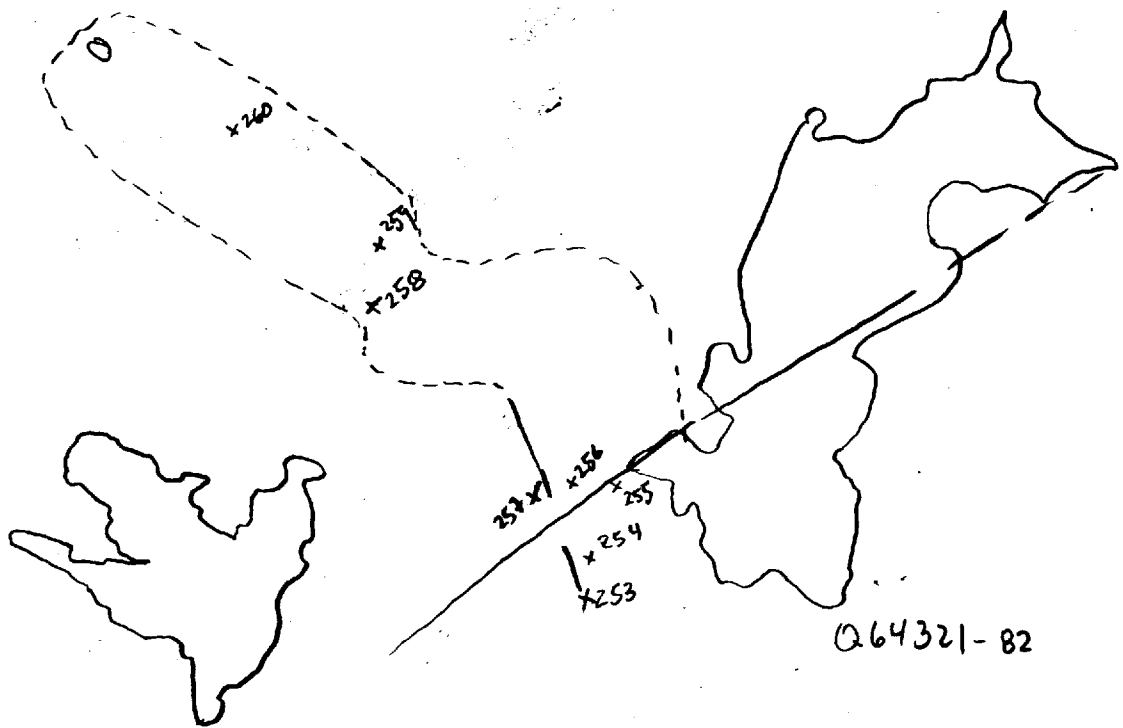
STATION	RA SPP2	DESCRIPTION	FORMATION	ECHAN- TILLON	ANALYSE
2B233 suite		<p>Plan axial fracturé </p> <p>Axe mesuré N-60-85 </p> <p>Fracture cisailante, veine de quartz limitant les plis.</p> <p> 85</p> <p> 260 Faille majeure ouverte</p>			
2B234		<p>Echantillon 2B334a, b, c, d.</p> <p><50 a) Amphibolite (texture méta-gabbro nettement identifiable) et amphibolite laminée (métavolcanique?)</p> <p>50-70 b) Gneiss "pegmatite" à feldspath rose, quartz, biotite, (amphibole ?).</p> <p>100 c) Gneiss "pegmatite" à feldspath rose et quartz.</p> <p>50 d) Gneiss micacé à biotite avec de très rares lamines micacées et peu de leucosome. Presque exclusivement quartz-feldspath-biotite.</p> <p>Passée "pegmatite" sans mica relativement diffuse.</p> <p></p> <p>Veine de quartz et leucosomes.</p> <p>2 cm x 1 m  15</p> <p>3 cm x 5 m  95 quartz noirâtre</p> <p>30 cm x 3 m  145</p> <p>quartz et feldspath</p> <p>quartz</p>	<p>a = 30</p> <p>b = 10</p> <p>c = 10</p> <p>d = 50</p> <p>7</p>		

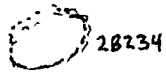
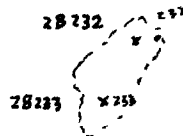
Statistiques

STATION	RA SPP2	DESCRIPTION	FORMATION	ECHAN- TILLON	ANALYSE
2B234 suite		<p>Pegmatite intrusive recoupant toute la structure à quartz, feldspath rose et sans mica (grain 1 à 3 cm).</p>  <p>Pli majeur avec gabbro "ancien" plissé, gneiss micacé et gneiss pegmatite à biotite; métrique à <u>décamétrique</u>.</p> <p>Axe N-210-51</p> 			
2B235		<p>Gneiss micacé à granulométrie fine; massif, homogène, de teinte gris foncé blanchâtre. Très peu de lamines micacées; très peu de leucosomes parallèles à la gneissosité.</p>   	7		
2B236		<p>Gneiss micacé grossier à biotite, quartz, feldspath (blanc) et à leucosomes nombreux. (Grain 1 à 5 mm). Veine de quartz et feldspath blanc.</p>    <p>Fracturation:</p>   <p>Dyke de diabase recoupant la structure, tardif (Otish ?) 20 cm x > 3 mètres</p> 	7		

Statistiques

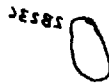
STATION	RA SPP2	DESCRIPTION	FORMATION	ECHAN- TILLON	ANALYSE
2B237		<p>Lithologie idem précédente, mais avec peu de leucosome. Un peu de fracturation:</p> 			





28234

Q63159-170



013122-122

• 58534
diameters
- 8.7 cm on
red line
to center

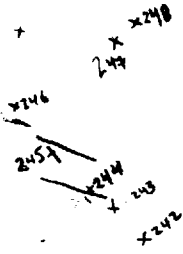


x252

x251

+250

x249



x241

x231

x240

x239

x238

x230

Q64364-209



PROJET: MONTS OTISH

Jean Beaudin

FICHE D'AFFLEUREMENT

DATE: 8 juillet 1980

LOCALISATION: Vérification tectonique

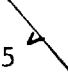

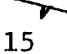

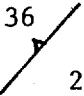

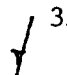
STATISTIQUE:

KM DE COUPE: 4,9 km de coupe géologique

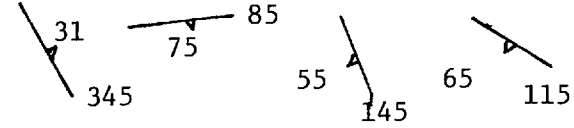
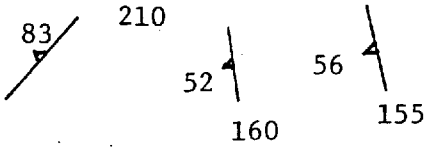
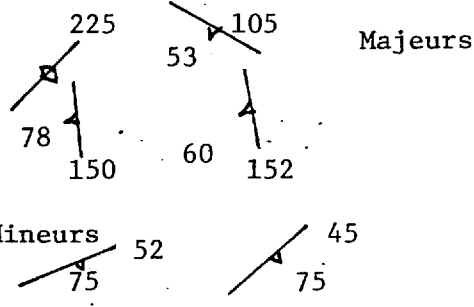
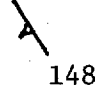
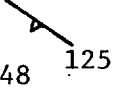
KM RADIOMETRE: 2 x 4.9 km de radiométrie

STATION	RA SPP2	DESCRIPTION	FORMATION	ECHAN-TILLON	ANALYSE
2B238	50-70	<p>Arkose rose à feldspath rose, fragment de quartzite rouge et feldspath blanc. Grain de 1-2 mm. Certains niveaux à feldspath blanc.</p> <p>30 20 145-07 160-15 150-15</p> <p>stries intercouches</p> <p>Autres stries intercouches:</p> <p>Fracturation: Majeure: 55 260 Secondaire: 135 85 135 60 74</p>	10		
2B239		<p>Gabbro massif à grain moyen (1-2 mm). Directement sur le linéament dans le ruisseau. Dyke secondaire injecté dans le ruisseau ?.</p> <p>Fracturation majeure et secondaire formant une amande.</p> <p>10 160</p>	21		

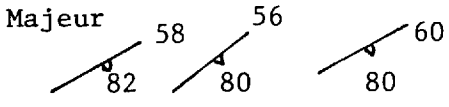
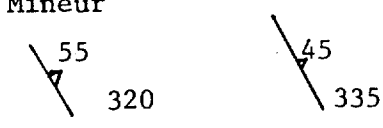
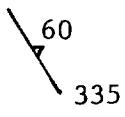
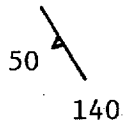
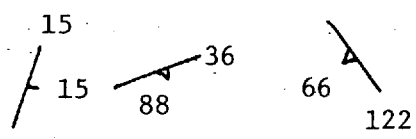
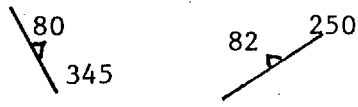
Statistiques

STATION	RA SPP2	DESCRIPTION	FORMATION	ECHAN- TILLON	ANALYSE
2B239 suite		<p>Petit dyke noir verdâtre aphanitique contenant des fragments de quartz arrondis.</p> <p style="text-align: center;">85 </p> <p>Le dyke est décalé de 2 cm senestre par la fracture.</p> <p style="text-align: center;"> 175</p>			
2B240	35	<p>Gabbro à grain fin avec des enclaves du grès adjacent. Contact en escalier.</p> <p style="text-align: center;">15  103  125</p>	21		
	50	<p>Grès subarkosique à feldspath rose et minéral verdâtre (contamination ferromagnésienne à partir du gabbro) et placage de quartz laiteux verdâtre. Plaque de quartz-feldspath recristallisé dans le grès.</p> <p>Dans le grès</p> <p style="text-align: center;">36  225 d > 10 à proximité du contact 87  140</p> <p>Dans le gabbro</p> <p>Majeur: 35 115 48 123 d = 3 54  192</p> <p>Le gabbro devient grossier quelques mètres plus haut.</p>	10		

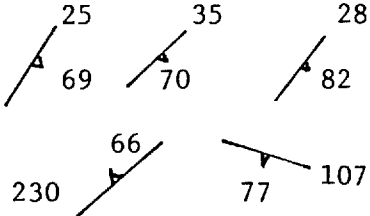
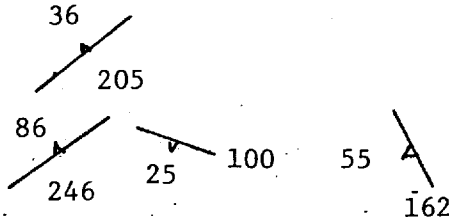

Statistiques

STATION	RA SPP2	DESCRIPTION	FORMATION	ECHAN- TILLON	ANALYSE
2B241		Gabbro grossier 	21		
2B242		Gabbro grossier (2 à 5 mm) 	21		
2B243		Gabbro grossier Mineurs Majeurs 	21		
2B244		Gabbro à grain grossier. Fracturation linéamentaire. 	21		
2B245		Idem Fracturation linéamentaire. 	21		

Statistiques

STATION	RA SPP2	DESCRIPTION	FORMATION	ECHAN- TILLON	ANALYSE
2B246		<p>Gabbro très grossier.</p> <p>Majeur</p>  <p>58 82 56 80 60 80</p> <p>52 220</p> <p>Mineur</p>  <p>55 320 45 335</p>	21		
2B247	35	<p>Gabbro grossier. Majeur, parallèle à un linéament..</p>  <p>60 335</p> <p>900 cps</p> <p>Fracture minéralisée (thorienne ?) sur fracture cisailée à altération rouil- le. De 500 à 900 cps sur 5 mètres.</p>  <p>50 140</p>			
2B248		<p>Quartzite blanc recristallisé (à cau- se du gabbro) à teinte rosâtre, très légèrement feldspathique.</p>  <p>15 15 36 88 66 122</p> <p>Gabbro grossier</p>  <p>80 345 82 250</p>	14		

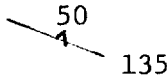
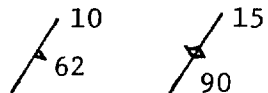
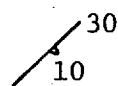
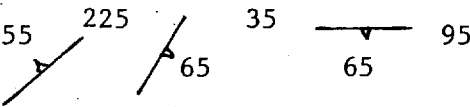
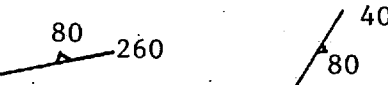
Statistiques

STATION	RA SPP2	DESCRIPTION	FORMATION	ECHAN- TILLON	ANALYSE
2B249		Gabbro grossier. Fracturation majeure. 	21		
2B250		Gabbro grossier avec passage de gab- bro hématisé (diffus sur plus de 3 mètres). Zone hématisée N-235 à N-250. Anomalie 75 cps plutôt que 35.	21		
2B251		Gabbro grossier et cisailé avec des feldspaths épidotisés. Fracturation cisailante. 	21		
2B252		Gabbro grossier. 	21		
2B253		Gabbro fin (1-2 mm) en contact <u>verti- cal</u> avec le grès. Subarkose à feldspath rose (0.5 à 1mm) de couleur blanche et altérée rosâtre (hématite) à proximité du gabbro. Contact d'orientation N-140 vertical.	21		

Statistiques

STATION	RA SPP2	DESCRIPTION	FORMATION	ECHAN- TILLON	ANALYSE
2B253 suite		<p>Dans le gabbro:</p> <p>Dans le grès:</p> <p>parallèle au contact</p> <p>Secondaire</p> <p>Très fracturé au contact, mais s'atténue rapidement en s'éloignant.</p>			
2B254		<p>Poursuite du contact gabbro-grès.</p> <p>Parallèle au contact</p> <p>"Faille" majeure parallèle au linéament de la photo 45</p>	21		
2B255		<p>Gabbro grossier.</p>	21		
2B256		<p>Gabbro grossier.</p> <p>"Faille" linéament phogogéologique.</p>	21		

Statistiques

STATION	RA SPP2	DESCRIPTION	FORMATION	ECHAN- TILLON	ANALYSE
2B256 suite		<p>Cisaillement à proximité de la faille.</p>  <p>Il n'existe pas de rejet horizontal selon la faille N-45. Le décalage magnétique est probablement lié à un effet topographique: un fort relief de gabbro.</p>			
2B257		<p>Grès idem 2B253, 2B254.</p> <p>Le contact gabbro-grès servant de repère n'est pas déplacé par le linéament N-45.</p>	11		
2B258		<p>Gabbro à grain grossier.</p> <p>Majeure, parallèle à un linéament.</p>  <p>Secondaire</p>  <p>cisaillement ? local</p>	21		
2B259		<p>Gabbro grossier.</p> 	21		
2B260		<p>Gabbro grossier.</p> 	21		

PROJET: MONTS OTISH

FICHE D'AFFLEUREMENT

DATE: 11/9/80

LOCALISATION: Pérignon du NE

STATISTIQUE: 2C#173

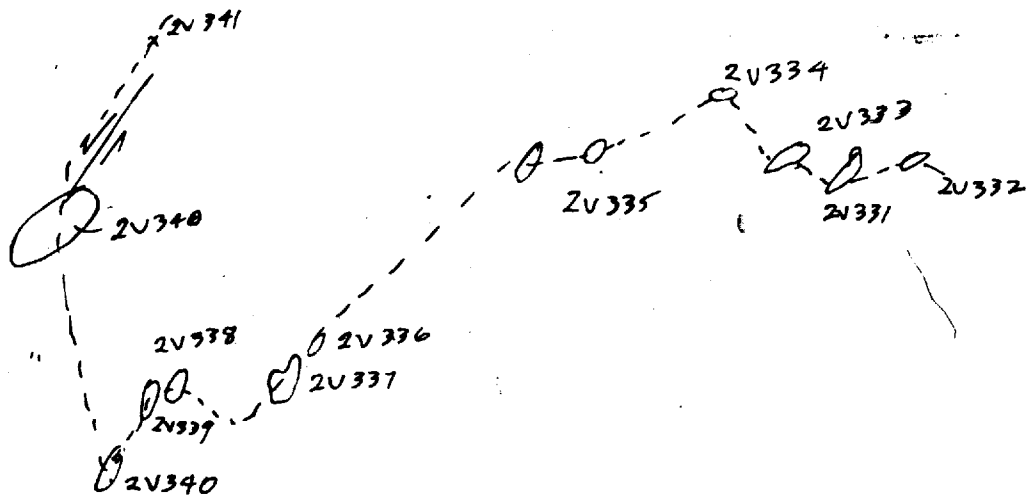
KM DE COUPE: 6.0

KM RADIOMETRE: 18.0

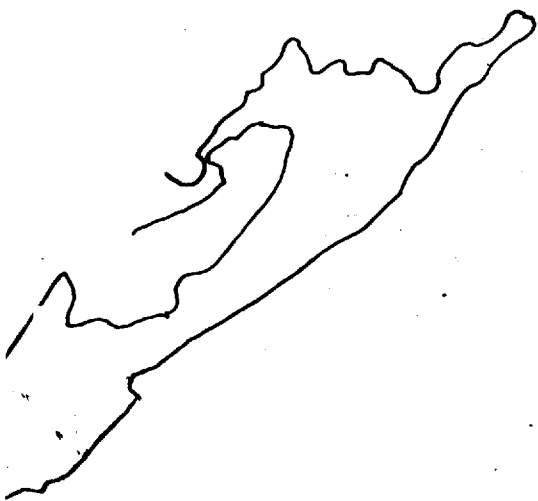
STATION	RA SPP2	DESCRIPTION	FORMATION	ECHAN- TILLON	ANALYSE
2V331	50- 125	Subarkose with argillite and argillaceous horizons. It is medium grained, pink and mauve with abundant green-beige bleaching (spots and areas). There is imbricated slabs and slumping which indicates that during the Grenville the basement tried to ride over the basin.	Indicateur ↗ 060,20 ↘ 220,090 ↘ 137,85		
2V332	35- 65	Feldspathic quartz, laminated with green and pink-red levels which irregularly penetrate each other. In the green levels, there are red hematite spots.	Indicateur ↘ 215,15		
2V333	50- 55	Pink subarkosic microconglomerate. A .35 m. bed has a calcareous cement with well rounded grains and tri fair while the rest has a slightly poorer tri and more subangular fragments.	Indicateur ↘ 223,17 ↗ 170°		
2V334	65- 80	Trough bedded subarkoses which in <1 m. grades from microconglomerate with shale chips to fine poorly sorted sandstone. The major difference with the Indicateur is the more argillaceous matrix.	Indicateur ↗ SW		
2V335	70- 75	A red, subarkosic, conglomeratic microconglomerate with some areas bleached to beige.	Indicateur ↘ 320,77 +		
2V336	60- 75	Green, medium grained subarkose. Feldspar grains are pink and altered while the matrix is green. More arkosic phases have an RA of 75 cps. There is some interbedding with microconglomerate.	Indicateur ↘ 045,20 ↘ 242,61	2V336A	U/Th (F.G.) U: 1.4ppm Th: 2ppm U/Th 0.117

Statistiques 2C#173

STATION	RA SPP2	DESCRIPTION	FORMATION	ECHAN- TILLON	ANALYSE
2V337	75-90	Mauve, subarkosic microconglomerate with subrounded fragments of quartz, fresh feldspar and chert. It is interbedded with mauve, medium grained subarkose.	Indicateur	2V337A	U/Th (F.G.) L.M. compare with Lac Gasket, composition of matrix U: 2.7ppm Th 49 ppm U/Th 0.055
2V338	95-110	Idem 2V337.	Indicateur		
2V339	60-130	A green subarkose. It is medium grained, the grains are well rounded, tri is good. The feldspar grains are pink but altered. There is no evidence of bleaching. Some beds are fine grained and well foliated.	Indicateur 044,33		
2V340	75-85	Idem 2V339.	Indicateur ↗070 ↗132 approx. 6° stri. ↗142,23 +		
2V341	100	A red, very silty, feldspathic sandstone. The tri is very poor. There is millimetric variation from coarse grained sandstone to silt (greywacke).	Indicateur	2V341A	U/Th (F.G.) U: 1.6ppm Th 14 ppm U/Th 0.114



0



Q603142-37

PROJET: MONTS OTISH

FICHE D'AFFLEUREMENT

DATE: 22/7/80 et 1/8/80

LOCALISATION: Bordure SW du bassin vers Lac Indicateur

STATISTIQUE: 2C#94

KM DE COUPE: 10.1

KM RADIOMETRE: 20.2

STATION	RA SPP2	DESCRIPTION	FORMATION	ECHAN-TILLON	ANALYSE
2V189	30-45 max. 100	Medium grained, folded, faulted biotitic banded migmatite. There is very little differentiate present although there are abundant bands of biotite. There are also white pegmatitic phases (100 c/s).	Socle ↙ 132,74 ↙ 063,90 ↙ ≈180,90		
2V190	60- 100	Polymictic paraconglomerate. There are abundant local boulders which, unlike the basal conglomerate, have a clear stratification (frequently perpendicular to the foliation). There are pebbles of quartz, feldspar, black orthoquartzite (2V190A) and intermediate fine grained volcanics. There also are red bands in the sediment of feldspar recrystallization (anatexis) which is frequently but not always parallel to the stratification.	Overburden (Indicateur) 2V190A 2V190B	2V190A 2V190B	L.M.
2V191	90-110	Large local boulders of foliated green arkosic microconglomerate.	Overburden (Indicateur) 2V191	2V191	
2V192	90- 110	Large local boulders of foliated, green, subarkosic microconglomerate. The grains are much finer and more sorted than 2V191.	Overburden (Indicateur) 2V192	2V192	
2V193	85-95	Greenish white, subarkosic microconglomerate. Bedding is poorly developed but averages about 15 cm. thick. There are occasional finer grained phases. The rock is very immature with quartz grains angular to subrounded. The cement is feldspathic. All the grains have been elongated and oriented by the foliation. The sediment appears to be a flood plain type.	Indicateur ↙ 213-73 ↙ 010,54 ↙ 339,78 ↙ 098,88		

Statistiques 2C#94

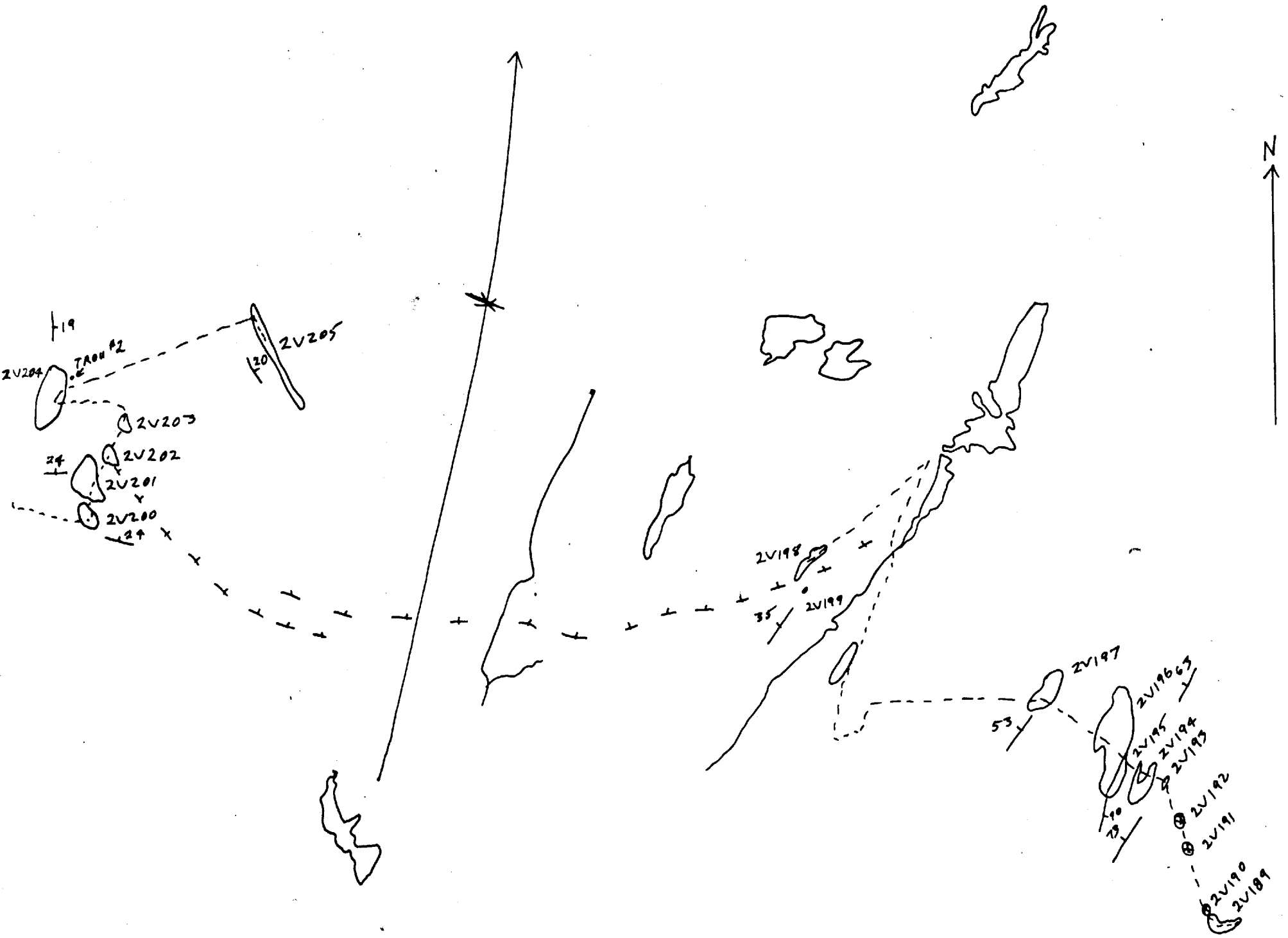
STATION	RA SPP2	DESCRIPTION	FORMATION	ECHAN- TILLON	ANALYSE
2V194	85- 100, 200 max.	A bedded and cross-bedded sequence of arkosic and subarkosic green microconglomerate with occasional fine grained horizons. The rock is massive and poorly sorted. Cross-bedding is of very small scale troughs and almost flaser in form.	Indicateur / 206,63 / 098,84 / 121,83 / 053,90 (qtz stringers)		
2V195	85- 100	Idem 2V194 but with the presence of more fine grained horizons and the quartz pebbles are a dark grey in some horizons.	Indicateur / 015,70		
2V196	50-85	Idem 2V194 but there is a unit (50% of outcrop) of coarse grained arkosic vitreous sandstone which has been totally recrystallized. The quartz stringers have also been foliated and folded along the axis of foliation.	Indicateur / 340,81	2V196	
2V197	100	Bedded and cross-bedded subarkose. Bedding is denoted by variation in grain size of beds which are alternately medium grained and microconglomeratic and/or very coarse grained. There are some floating pebbles including green-beige shales.	Indicateur / 215,53 / SW / 010,86 / 257,83		
2V198	50	White, massive, medium grained orthoquartzite which has been recrystallized. There are beds of floating pebbles of white and pink quartz. There are also microconglomeratic phases. The cement is predominantly feldspathic. There is also trough cross-bedding.	Indicateur / 245,2 / 100,- / 121,90 / 272	2V198	
2V199	75	Fine, occasionally medium grained, pale green, feldspathic sandstone. The rock is very homogenous and massive.	Indicateur / 094,64 / 215,35 / 122,78 / 335,84		

Statistiques 2C#94

STATION	RA SPP2	DESCRIPTION	FORMATION	ECHAN- TILLON	ANALYSE
2V200	50-75	A sequence of laminated, medium grained, beige subarkose and, to some extent, feldspathic sandstones. Cross-bedding consists of laminated beds averaging appr. 0.75 m. thick where the lamination is oblique to that of the beds. Interval cross-bedding is present but rare. The unit is approx. 4 m. thick and towards the top it has cross-ripple laminations. The unit changes vertically to a cross-bedded green-beige subarkose of microconglomerate and medium grained sandstone. The cross-bedding is intense and almost flaser in form. This set is approx. 4 m. thick and grades up to a medium grained feldspathic sandstone. This then grades up to a feldspathic sandstone with approx. 25% feldspathic cement and occasional chips of argillite. It is green with occasional red bands and large <10 cm. red oxidation spots. This is followed by 3 m. of subarkose (beige) which is primarily medium grained and cross-bedded between beds of approx. 0.75 m. (similar to the base of the sequence exposed). Small polygenetic pebbles are present.	Indicateur \swarrow 290,24 \swarrow 130,85 \swarrow 036,85 \swarrow 050,48	2V200	
2V201	60	A deltaic sequence of beds $\frac{1}{2}$ to 1 m. thick of white cross-bedded subarkose. There are beds of green fine to very fine sandstone with floating quartz pebbles, microconglomerate and medium to coarse grained sandstone. There are some beds with abundant beige chert (angular) pebbles indicating the erosion of a deep area towards the source. Cross-bedding gives current directions of 0° to 360° .	Indicateur \swarrow 268,21		
2V202	60	Idem 2V201. The cement is siliceous and orthoquartzites (medium to extremely coarse grained) are more abundant.	Indicateur		

Statistiques 2C#94

STATION	RA SPP2	DESCRIPTION	FORMATION	ECHAN- TILLON	ANALYSE
2V203	40-65	Idem 2V202. Orthoquartzite more common as well as floating quartz pebbles and cobbles instead of floating pebble beds.	Indicateur		
2V204	60	Idem 2V201 and 2V202.	Indicateur / 003,19		
2V205	65, 300 max.	Pebbly, microconglomeratic, coarse grained beige subarkose. There are floating pebble beds (140-300 c/s) of polygenetic composition. Approx. 20% feldspar.	Indicateur / 010,20 / 078,77 / 160,85		



PROJET: MONTS OTISH

Malcolm Gent
Patrice Caumartin

FICHE D'AFFLEUREMENT

DATE: 13.9.80

LOCALISATION: Sous-bassin Indicateur, Carte 1/31,680

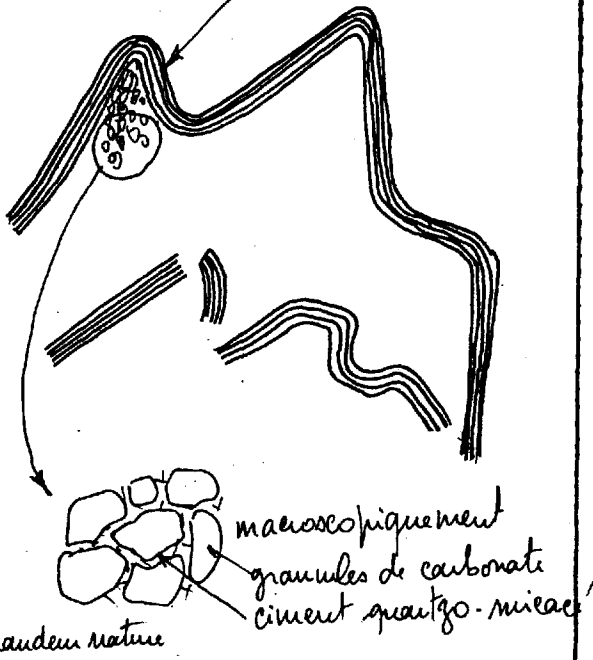
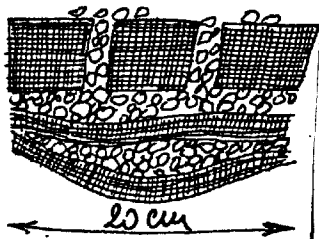
STATISTIQUE: Coupe 2C174

KM DE COUPE: 8.1

KM DE RADIOMETRIE: 8.1

STATION	RA SPP2	DESCRIPTION	FORMATION	ECHAN- TILLON	ANALYSE
1	60	Banc d'orthoquartzite à grain fin, verdâtre et taches violet sombre. Passées à ciment feldspathique. So: N05,3E. Fractures: N13,3S Diaclasses: N99 Mini-cuillères (1 dm): N147 N103 N160			
2	75	Grès feldspathique gris verdâtre, présentant alternances ocre et mêmes taches violettes; N15,5E: So. Stratifications obliques → paléocourant → N Rides ² / ₉₂			
3	15	Gabbro en sill, grain moyen à grossier. Présence de pyrite en abondance. Débit N311,15W? (à contre-pente de sédiments!) Diaclasses: N354,62			
4	15	Orthoquartzite à matrice de grès feldspathique rose parme, grain fin à moyen, interlit de quartz blanc, massif.			
5	15	Même faciès subhorizontal.			
6	15	Affleurement So subhorizontale d'une formation carbonatée dans l'ensemble grossièrement cristallisée (sparite). Texture variable présentant des zones laminées et des zones granuleuses, apparente anarchie: brèche sédimentaire.			

Statistiques Coupe 2C174

STATION	RA SPP2	DESCRIPTION	FORMATION	ECHAN- TILLON	ANALYSE
		<p>alternances fines de lames carbonatées et lames siliceuses</p>  <p>macroscopiquement granules de carbonate ciment quartzo-micacé grande nature</p> <p>Phénomènes de dissolution sélective laissant des cavités de la grosseur d'un doigt.</p> <p>Plus loin, affleurement du même faciès à texture réticulée, cloisonnée par le faciès grossier: bio-faciès (stromatolites?)</p> <p>N10</p>  <p>20 cm</p>			
7	35	<p>Orthoquartzite et grès feldspathiques roses, laminés. So: N153,13 N93,20°.</p>			
8	50	<p>Grès à double granulométrie rose. So: N205,20. Diaclases: N6 subverticales.</p>			

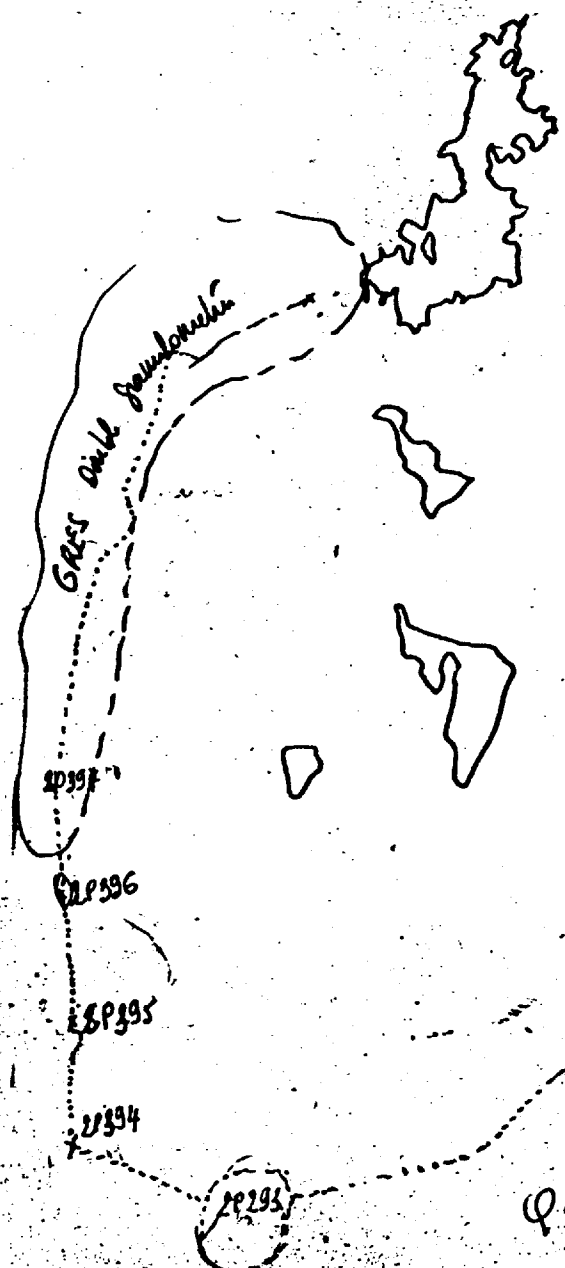
Statistiques Coupe 2C174

STATION	RA SPP2	DESCRIPTION	FORMATION	ECHAN- TILLON	ANALYSE
9	50	Même faciès que précédemment. N139, 10 ⁰ W.			
10	50	Même faciès mais gris. So: N35,10W.			
		<p><u>EN CONCLUSION</u></p> <ul style="list-style-type: none"> - la limite Indicateur/Péribonca avancée par M. Chown n'est pas marquée par beaucoup de changements: de part et d'autre d'un sill de gabbro, les mêmes faciès grès feldspathique/orthoquartzite passablement apparentés à ceux des bancs N20 affleurant à l'ouest de la propriété "G" dans l'Indicateur. - Un très gros affleurement dolomitique est rencontré en 2P393, banc massif sans équivalent dans le sous-bassin de Pluto. Par contre, peu d'évidence de la présence de siltstones mauves, tout au plus quelques rares blocs. - Enfin, nous retrouvons les grès roses à double granulométrie de la "Montagne du S", attribués à l'Indicateur. Leur position par rapport à la dolomie ne peut être avancée avec certitude, mais un fort sentiment incite à placer les carbonates sous les grès. <p>Aussi, pour ce qui est du Péribonca en tant que reprise de sédimentation dans le bassin d'Otish, sommes-nous tentés d'en voir l'expression dans les grès à double granulométrie:</p> <ul style="list-style-type: none"> - présents dans tout le bassin, quels que soient les sous-bassins - très puissants à l'ouest, moins à l'est. 			

Statistiques Coupe 2C174

STATION	RA SPP2	DESCRIPTION	FORMATION	ECHAN- TILLON	ANALYSE
		<p>- témoignant après les faciès régressifs que sont les siltstones et peut-être la dolomie d'un renouveau de la sédimentation.</p>			

10



20 174

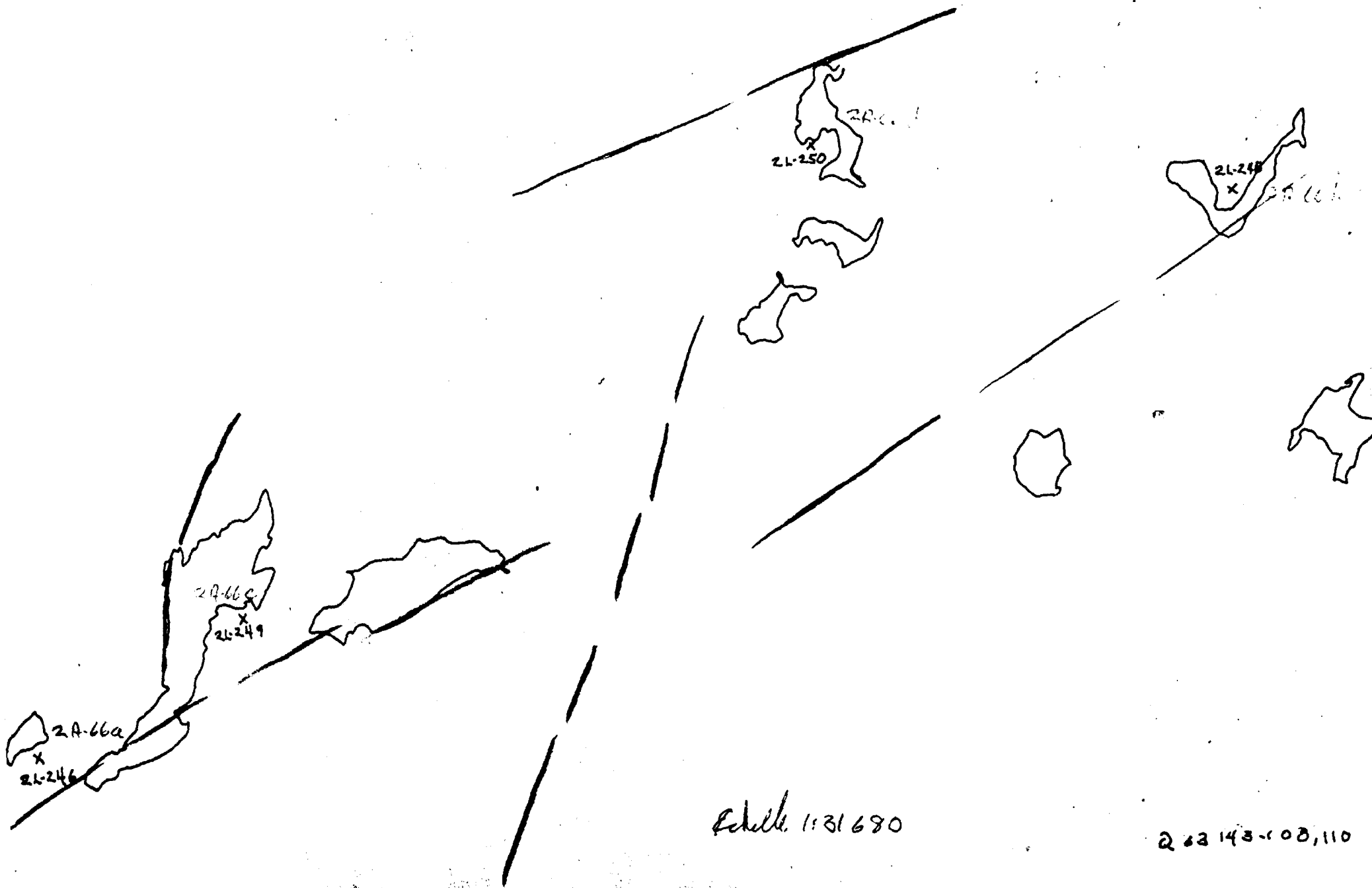
Q 63142 - 177
4/4.600

Statistiques Vérification du vol 2B-15, radiométrie héliportée en suivi sur la zone 10 de géochimie fond de lac.

STATION	RA SPP2	DESCRIPTION	FORMATION	ECHAN- TILLON	ANALYS
2L-246	250- 300	Granite blanc à séricite et nids de biotite, granite migmatitique contenant des restes de gneiss à biotite et gneiss à amphibole orientés N65° sub-vertical.			
		Le granite est composé presque exclusivement de quartz et feldspaths. Le quartz est à grain fin, à texture saccharoïde. Le feldspaths est grossier, cristallin, altéré blanc laiteux.			
	2500	2L-246a) Granite blanc actif, 1000 à 2L-246b) 2500 cps		2L-246a 2L-246b	
	70	2L-246c Gneiss à amphibole, grain fin à moyen.			
		2L-246d Gneiss à amphibole, grain moyen à fin.			
	3000	2L-246e Granite blanc à biotite, séricite et graphite?			U: 282 ppm Th: 197 ppm U, Th, Lame min recherche de C
		2L-246f Granite blanc à texture oeuillée.			Lame min
	250	2L-246g Granite blanc à migmatite, séricite, très leucocrate, grossier, taches d'hématisation		2L-246g	U, Th, Lame min U: 86,1 ppm Th: 94 ppm
2000	2L-246h Granite blanc à migmatite, actif			U, Th Lame min U: 297 ppm Th: 273 ppm	
2L-248 Anomalie AA-4 vol 2B-16	250 3000	Blocs sub-en-place de granite rose grossier, rubéfié et tectonisé. Le granite renferme des passées pegmatitiques sur fractures, pegmatites riches en migmatite et biotite. Les points les plus actifs correspondent aux passées pegmatitiques sur lesquelles on reconnaît des joints, les blocs sont anguleux, débités selon les plans de cassure.			
		2L-248a Granite grossier, quartzofeldspathique à magnétite		2L-248a	U, Th, Mét Lame Min U: 3080 ppm Th: 1773 ppm

Statistiques

STATION	RA SPP2	DESCRIPTION	FORMATION	ECHAN- TILLON	ANALYSE
2L-249	150	2L-248b Granite leucocrate, broyé, rubéfié La moraine est à 150 cps en continu, mousse de 10 à 26 cm sur les blocs de granite.		2L-248b	U, Th, Méta Lame minc U: 738 Th: 592 U/Th: 1,25
	250 4000	Blocs sub-en-place métriques, de granite blanc à séricite. Le granite contient de nombreuses enclaves de gneiss à biotite.			
	4000	2L-249a Granite blanc à séricite. Texture saccharoïde.		2L-249a	U, Th, Lame minc U: 453 Th: 103 U, Th Lame minc U: 219 Th: 134 U, Th Lame minc U: 25,1 Th: 13 U, Th Lame minc U: 37,6 Th: 21
	500	2L-249b Pegmatite blanche à biotite dans granite blanc.			
	110	2L-249c Gneiss à biotite en restite dans granite blanc.			
	250	2L-249d Granite blanc à séricite, faciès à grenat. Faciès blanc pegmatitique ou grossier est le plus actif. Les restites en bordure de restites ne sont pas actives, elles contiennent de petits leucosomes quartzo-feldspathiques.			
2L-250	75	Granite blanc à mica, séricite et biotite, grossier, pauvre en quartz. 2L-250a		2L-250a	U, Th Lame mince U: 6,0 Th: 14
	40	Le granite renferme des restites décimétriques de gneiss à biotite et plagioclase. 2L-250b Les gneiss sont apparemment frais, à grain fin. Très bonne foliation à N60°. L'activité des blocs ou du granite blanc dépend de la composition du sédiment soumis à la granitisation. Ce granite est similaire au granite eutectique de SES ou ceux de l'unité Laguiche.		2L-250b	U, Th Lame mince U: 1,4 Th: 6



Schelle 1:31680

263143-008,110

PROJET: MONTS OTISH

A. Yassa
R. St-Jean

FICHE D'AFFLEUREMENT

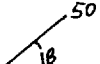
DATE: 26 août 1980

LOCALISATION: Photo 63142-82

STATISTIQUE: Géochimie Zone 15
Vérification aérienne d'anomalies

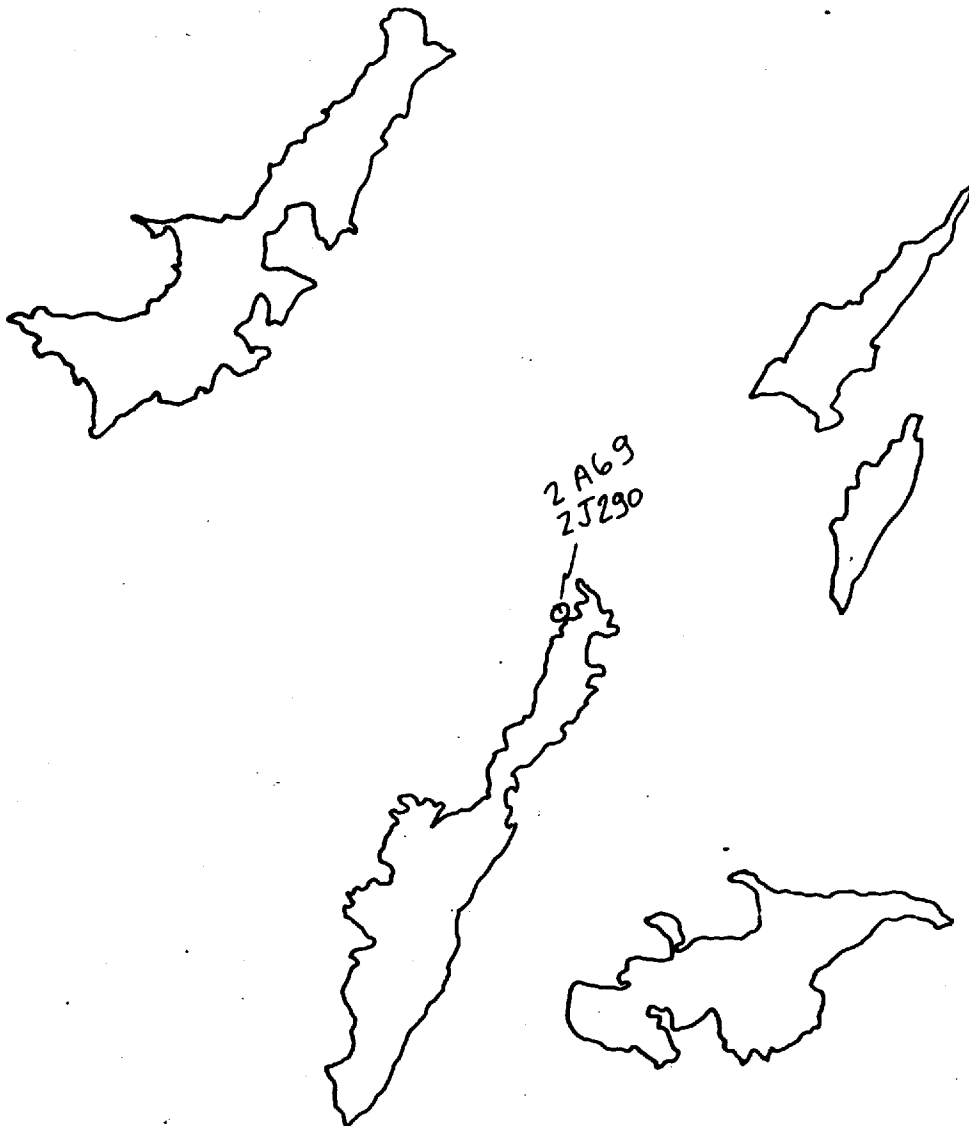
KM DE COUPE:

KM RADIOMETRE:

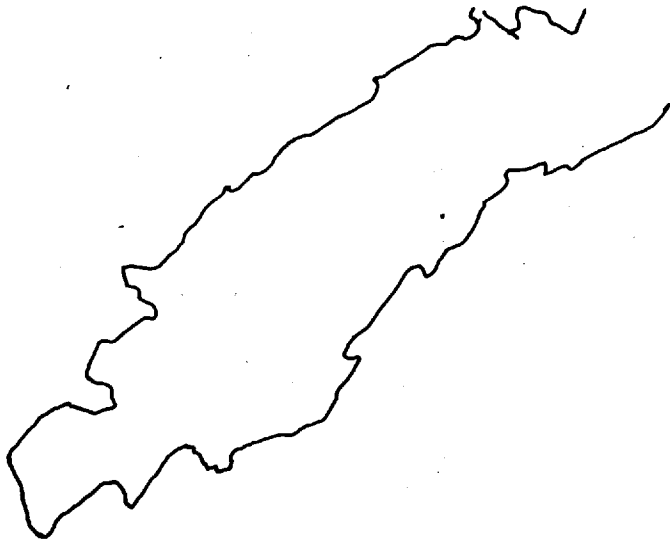
STATION	RA SPP2	DESCRIPTION	FORMATION	ECHAN- TILLON	ANALYSE
2J-289	4000 2000	Affleurement et ou blocs sub-en-place. R.A. maximale sur des points très difficiles à échantillonner. <u>Au-dessous:</u> Sub-arkose rose microconglomératique à cailloux de quartz et quartzite rouge. Galets mous rouges, lentilles hématisées rouges, ≈ 30 cm à 10 cm de longueur, 5 cm d'épaisseur, grain grossier. 	Indicateur		
(2A-70)	2000 4000 75	Grès feldspathique vert brunâtre, "mielleux". Petits fragments de roche rouge, grain moyen. <u>Au-dessus:</u> Sub-arkose blanc rosé microconglomératique à cailloux de quartz, feldspaths. Feldspaths altérés par endroit, grain très grossier.			
2J-290	100 450- 500 2000	Champ de blocs. R.A. moyenne environ 100 cps. Quelques blocs à 450-500 cps. Un bloc à 2000 cps.	Indicateur		

Statistiques

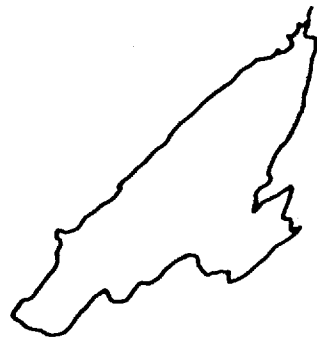
STATION	RA SPP2	DESCRIPTION	FORMATION	ECHAN- TILLON	ANALYSE
(2A-69)	2000	Bloc environ 40 cm x 25 cm x 15 cm, sub-anguleux. Sub-arkose à grès feldspathique vert à brunâtre, grain moyen à fin. R.A. maximale sur tache ocre se débite facilement en plaquette de moins d'un centimètre d'épaisseur.	Indicateur	2J-290a	U.Th.
	100 à 450- 500	Blocs 0.5 à 2 m ³ . Microconglomérat sub-arkosique rose à cailloux de quartz; granite leucocrate (graphitique ?) et de feldspaths. Altération ocre et R.A. plus élevée sont en relation.			



Q 63143
41



2J259 2A70
③



Q6342
82

PROJET: MONTS OTISH

Shavoic
A. Yessa.

FICHE D'AFFLEUREMENT

DATE: 21 août 1980

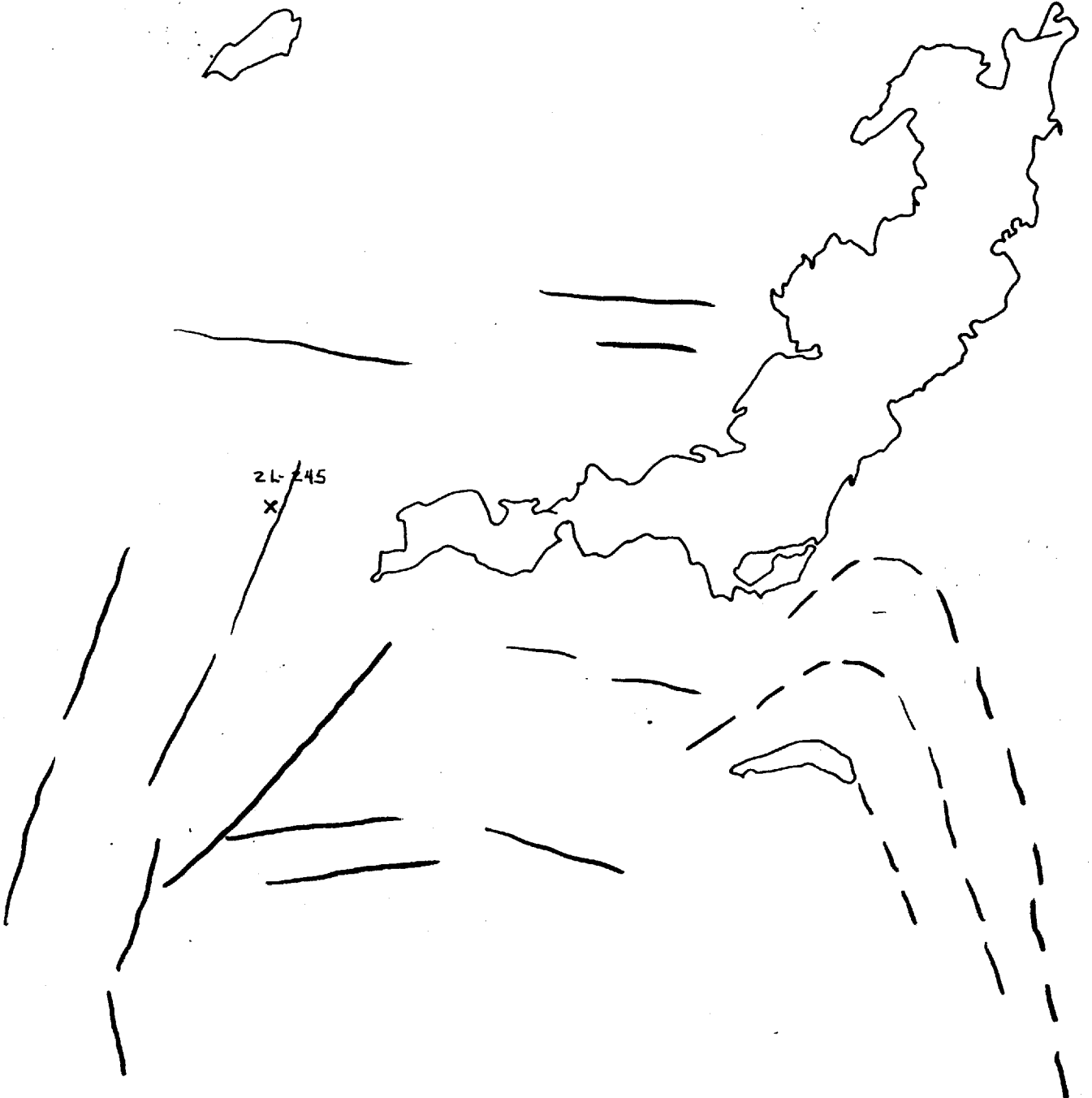
LOCALISATION: Q-63,142-53

STATISTIQUE: Vérification du vol 2B-14, recherche de l'Indice Babcock.

KM DE COUPE:

KM RADIOMETRE:

STATION	RA SPP2	DESCRIPTION	FORMATION	ECHAN- TILLON	ANALYSE
2L-245	50	<p>Quartzite laminé blanc, rouge et bleuté, laminations centimétriques (5 à 5 cm).</p> <p>Stratification très redressée, grain fin, homogène, recristallisation poussée, veine de quartz blanc en exsudation.</p> <p>Stratification entrecroisée.</p> <p>Pli anticlinal à N-70°, plongeant 10° à 20° vers l'ouest.</p> <p>Le quartzite est plus massif vers le sud et sa composition est plus homogène. Contact semblable à celui de la bordure sud du bassin, faciès pseudoéolien pris dans des quartzites massifs laminés ou des grès feldspathiques.</p> <p>Métamorphisme → formation de quartzite à séricite.</p>			



21-45
X

Q 63142-53
A-5206

PROJET: MONTS OTISH

FICHE D'AFFLEUREMENT

DATE: 13 juillet 1980

LOCALISATION: Carte 1:250,000

STATISTIQUE: Visite des points d'intérêt du bassin d'Otish avec H. Knipping et D. Faure.

KM DE COUPE:

KM RADIOMETRE:

STATION	RA SPP2	DESCRIPTION	FORMATION	ECHAN- TILLON	ANALYSE
2L-110	75- 80 N. 60° / 32°	<p>Grès rose dolonitique, grain fin, laminations centimétriques où se concentrent les silts et parfois même des carbonates dans lesquels se sont probablement développés des stromatolites.</p> <p><u>Remarques de D. Faure:</u></p> <ol style="list-style-type: none">1. Etude des argiles pour déterminer les conditions de déposition; composition diffère selon les milieux marins, lacustres, plaine de débordement.2. Pérignonca pourrait être un faciès évolué des grès grossiers de bordure, faciès de comblement d'un bassin déprimé.3. Signification de l'abondance des arkoses.			
2L-111	100	<p>Siltstone rouge à mauve; taches de décoloration beige à verdâtre en position sub-horizontale.</p> <p><u>D. Faure:</u></p> <ol style="list-style-type: none">1. Ces siltstones présentent toutes les caractéristiques d'une fin de série; remplissage de bassin.2. Recaler les affleurements et les coupes des différentes Fm par rapport à la tectonique. Eviter de faire une stratification verticale mais plutôt songer à des variations latérales de faciès.			

Statistiques

STATION	RA SPP2	DESCRIPTION	FORMATION	ECHAN- TILLON	ANALYSE
A-29		<p>Anomalie U sur couche dans des quartzites IDEM aux quartzites noirs du "G".</p> <p>Toutes les anomalies sont la preuve de préconcentrations U dans le bassin d'Otish.</p>			
2L-114		<p>Quartzite rose laminé à cuillère gigantesque, apport du N-140°. Système à basse énergie, plaine d'épandage dans laquelle on dénombre une quantité formidable de méandres.</p>			
A-67		<p>Autre preuve d'U syngénétique dans bassin d'Otish.</p>			
2L-113		<p>Blocs de grès dolonitiques à stromatolite sur moraine sableuse; blocs de taille centimétrique. La dolomie est parfois gréseuse, mais le plus souvent argileuse.</p> <p>L'uranium n'apparaît que sur une portion des blocs et l'activité maximum observée est de 3000 cps SPP2.</p> <p>La majorité des blocs de dolomie blanche, laiteuse, ne sont pas minéralisés.</p> <p>Photo 14 et 15, filon #2.</p> <p>2L-113a: Dolomie argileuse blanche.</p> <p>2L-113b: Dolomie blanche très minéralisée.</p>		<p>2L-113a</p> <p>2L-113b</p>	<p>Réf.</p>

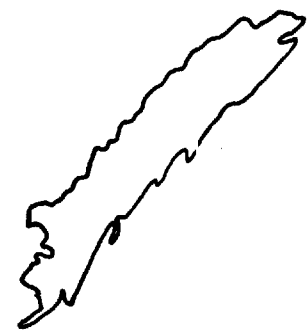
S O U S U E T



6 ⊙ A-22



⊙ 5
A-67



2L-114 ⊙ 4

2 ⊙
2L-111

A-29 ⊙ 3



1 ⊙
2L-110

⊙ 2L-113
7

Carte 23 D
Echelle 1:250000

PROJET: MONTS OTISH

FICHE D'AFFLEUREMENT

DATE: 5 septembre 1980

LOCALISATION: Visite des indices avec François Ruhlmann - Indices 'L' et 'S'
Echantillonnage pour étude métallogénique F.R.

STATISTIQUE:

KM DE COUPE:

KM RADIOMETRE:

STATION	RA SPP2	DESCRIPTION	FORMATION	ECHAN- TILLON	ANALYSE
Photo 3 4		Tranchée S ₂ , contact gabbro massif, gabbro fracturé selon la direction N.145°. Débit tectonique sur 9 m de part et d'autre de la tranchée.			
52-a		Gabbro frais massif, 2,5 m à l'est de la tranchée 52, extrémité S.E.			
52-b		Gabbro fissuré, débit tectonique N-145°, centimétrique, ½ à 15 cm.			
52-c		Gabbro fortement chloritisé, schisteux en bordure immédiate de la tranchée.			
52-d	5000	Bloc de la zone minéralisée, carbonate gréseux.			
52-e	35	Gabbro frais ? 20 m à l'ouest de 52.			
51-a		Gabbro chloriteux dans tranchée 51, extrémité E, à proximité d'une veine de carbonate de 15 cm.			
53-a	15000	Brèche.			

Statistiques

STATION	RA SPP2	DESCRIPTION	FORMATION	ECHAN- TILLON	ANALYSE
53-b		Roche aphanitique minéralisée.			
53-c		Roche aphanitique siliceuse minéralisée.			
<u>PROPRIETE 'L':</u>					
2K-23		Gabbro altéré à débit tectonique millimétrique.		→ à couper	
2K-73		Bloc de gabbro intrudé par du matériel très siliceux, riche en pyrite.			
2L-325		Bloc de gabbro intrudé par du matériel siliceux et carbonaté. Bloc centimétrique anguleux 40 x 60 cm.			
2L-325a		Bloc de gabbro intrudé par du matériel siliceux et carbonaté.		→ à couper	

PROJET: MONTS OTISH

FICHE D'AFFLEUREMENT

DATE: 6 septembre 1980

LOCALISATION: Voir les fiches de description des sites Anomalies.

STATISTIQUE: Visite des indices 'G'-2A-23, 2A-26 avec François Ruhlmann.
Echantillonnage pour étude métallogénique par F. Ruhlmann.

KM DE COUPE: KM RADIOMETRE:

STATION	RA SPP2	DESCRIPTION	FORMATION	ECHAN- TILLON	ANALYSE
VYT-41a		Grès conglomératique à faciès ocre.		→ à couper	
VYT-41b		Grès feldspathique à faciès ocre.			
Photo 4	A-46 3000	Indice 'G': faciès ocre en fuseau dans grès feldspathique et arkose conglomératique.			
Photo 5	5000	Anomalie A-31, VYT-37.			
Photo 6 7	3000	Bloc de quartzite N., hématisation discordante sur stratification, <i>virgation</i> <i>Str</i> Stratification entrecroisée avec hématite spéculaire.			
2N-21	3000	Faciès rose, feldspath minéralisé dans quartzite N stérile.			
2N-19a		Faciès vert minéralisé.			

Statistiques

STATION	RA SPP2	DESCRIPTION	FORMATION	ECHAN- TILLON	ANALYSE
2N-19b		Faciès N stérile, <i>recherche de dqt.</i> 2A-23			
2J-39a		Schiste noir ou métagrès.			
2J-39b		Bordure grès grossier, schiste noir.			
2A-26					
G-153		Sub-arkose blanche, faciès ocre à ga- lets épars de quartz. Quartzite laminé blanc et faciès ocre.			
2A-26	Bloc 2	N-5: Sub-arkose congloschisteuse.		→ à couper	
2J-39P		Schiste N, référence à conserver.			
2L-88		Faciès très oxydé, hématisé dans les grès.			
L-89	A-34	Quartzite blanc en passage sur quart- zite laminé à faciès ocre.			
2N-85a		Quartzite N laminé, A-29.			
2L-36c		Conglomérat de base polygénique in- jecté de matériel quartzo-feldspa- thique.			

Statistiques

STATION	RA SPP2	DESCRIPTION	FORMATION	ECHAN- TILLON	ANALYSE
2M-397		Mobilisat quartzo-feldspathique recou- pant les gabbros d'Otish, confirme l'hypothèse d'anatexie partielle sur l'axe Mistassini-Pluto.			
Indice 'R'		Aspect nettement second de la minéra- lisation, système minéralisé est à N-100 ^o , donc le même que dans le bas- sin. Echantillon R: témoin de celui pré- levé par F. Ruhlmann. Le 9 septembre 1980.			
2L-79		Dolomie gréseuse à stromatolite ruban- née, même trou que 2L-79, avec silt- stone mauve.			

PROJET: MONTS OTISH

FICHE D'AFFLEUREMENT

DATE: 13 septembre 1980

LOCALISATION: Voir plan joint

STATISTIQUE: Sondage du lac Lapape, 90°. ^{rr}

KM DE COUPE:

KM RADIOMETRE:

STATION	RA SPP2	DESCRIPTION	FORMATION	ECHAN- TILLON	ANALYSE
1971 - 2001	50	Grès feldspathique blanc verdâtre, micro- conglomératique, grain grossier, cailloux et granules de quartz, sub-arrondis. Grains de quartz roses à rouges. Feldspath blanc très fin en matrice. Quelques laminations grises à minéraux lourds 80° C.A. → à 1987. 1990-1992: Grès feldspathique vert à lami- nations grises.			
1954 à 1971	65	Orthoquartzite blanc à verdâtre, grain moyen, coloration verte en rotation avec la fuchsite. Laminations grises à 77° C.A. à 1965. 1958 - 1959.5 } grès feldspathique blanc 1965 - 1967 } IDEM 1971-2001 1959.5 - 1962 } 1967 - 1970.5 } pas de carotte Passage graduel orthoquartzite, grès felds- pathique à granules et cailloux.			
1930 - 1954	65	Sub-arkose microconglomératique verte à blanc verdâtre, grain grossier. Cailloux et granules de quartz sous-arrondis, ½ à 1 cm; 10 à 15% de cailloux et granules. Passées plus vertes en liaison avec la fuch- site. Quartz rouge. Laminations à 71° C.A. à 1936. Feldspath en matrice et en grain altéré blanc laiteux.			

Statistiques

STATION	RA SPP2	DESCRIPTION	FORMATION	ECHAN- TILLON	ANALYSE
1922 à 1930	50	Orthoquartzite laminé, grain moyen à fin, blanc à gris, schisteux et recristallisé. 1924 - 78 C.A. Passage graduel aux sub-arkoses conglomératiques de 1930, passée verte de 1928 à 1930.			
1893 à 1922	50	Microconglomérat de composition sub-arkosique. Granules et cailloux sub-arrondis $\frac{1}{4}$ à $\frac{1}{2}$ cm, quartz blanc, quartz rose, feldspath blanc anguleux. Alternance centimétrique des faciès grossiers et microconglomérats 20 à 30 cm. 1914 - Lamination 69 C.A. Passage aux orthoquartzites est rapide, 3 à 4 cm.			
1876 à 1893	45	Grès feldspathique à deux granulométries, grain moyen à fin. Feldspath dans les laminations plus fines, passées vertes, passées rouges, laminations 82° C.A. 1876-1877.5 - Faciès vert 1876.5-1878 - Pas de carotte 1878 - 1883 - Faciès beige passant progressivement au faciès rouge violet. 1883 - 1887 - Faciès rouge, tache verte locale. 1887 - 1890 - Faciès beige, rouge à 1890. 1890 - 1893 - Faciès vert			

Statistiques

STATION	RA SPP2	DESCRIPTION	FORMATION	ECHAN- TILLON	ANALYSE
1747 à 1893	75	<p>Microconglomérat sub-arkosique à feldspath rose, granules et cailloux de quartz sous-arrondis, feldspath anguleux.</p> <p>Laminations à 67° avec carotte à 1770.</p> <p>1760 - 1768.5 - Grès rouge laminé, hématisé, grès fin localement à granules.</p> <p>1873 - 1876 - Pas de carotte.</p>			
1704.5 à 1747	55	<p>Orthoquartzite blanc rose, grain moyen à gros, quelques passages de grès feldspathique rose, nature un peu hétérogène, laminations irrégulières.</p> <p>Passage très graduel en microconglomérat de 1747 à 1893.</p> <p>1723 - 79° C.A.</p> <p>1717 - 1719 } Microconglomérat sub- 1734 - 1740 } arkosique à feldspath } rose.</p>			
1635 à 1747		<p>Microconglomérat arkosique blanc, granules et cailloux de quartz sub-arrondis, cailloux rouges de quartz. Passage graduel aux orthoquartzites; le microconglomérat s'affine vers le sommet et devient plus quartzitique.</p> <p>1648 - 1650 - Pas de carotte</p> <p>1659 - 1660 - Quartzite laminé beige à verdâtre.</p> <p>1682.5-1684 - Orthoquartzite gris à beige, laminé, grain fin à gros. C.A. 75°</p>			

Statistiques

STATION	RA SPP2	DESCRIPTION	FORMATION	ECHAN- TILLON	ANALYSE
1627 à 1635		Orthoquartzite blanc massif, grain moyen à fin, matrice feldspathique mal triée, granulométrie hétérogène.			
1527 à 1627		Pas trouvé les boîtes.			
1197 à 1577	45- 50	Microconglomérat sub-arkosique à passages arkosiques, caractère polygénique, cailloux et granules rouges, cailloux de grès laminés rouges. Aspect massif, quoique quelques passées quartzitiques à cailloux épars.			
	2L-328	1491 - Sulfures dans une diaclase 10° , placage de fracture, feldspath jaune pâle. Conglomérat très homogène dans son hétérogénéité.		2L-328	L.M.
1140 à 1197	55	Grès feldspathique grossier à cailloux épars de quartz et granule rouge; passée de quartzite laminé et de microconglomérat feldspathique. 1141 - Laminations à 82° avec l'axe de la carotte. Passage très progressif.			
1002 à 1140		Microconglomérat sub-arkosique blanc à taches d'hématisation locale. Cailloux de quartz et granules dominant largement quelques cailloux de quartzites rouges et de quartzites gris. 1024 - Placage de sulfures et altération jaune pâle sur diaclase 45° à C.A. 1070 - Laminations à 66° .			

Statistiques

STATION	RA SPP2	DESCRIPTION	FORMATION	ECHAN- TILLON	ANALYSE
977 à 1002		Boîte manquante.			
904.5 à 977		Grès feldspathique grossier, blanc rosé, à passées hématitiques. Cailloux et granules épars de quartz. Passées microconglomératiques sub-arkosiques. Faciès carrés hématitiques à 967-968, 970-971, 972-976. Hématisation poussée et dissolution des feldspaths.			
687.5 à 904.5	55	Orthoquartzite rose massif à laminé, grain moyen à fin, laminations irrégulières, possiblement chenalisantes dans les grès. Laminations: 63° C.A. - 890° 87° C.A. - 810° 84° C.A. - 845° 76° C.A. - 870° Hématisation profonde sur quelques centimètres. Laminations: 80° C.A. - 767° 79° C.A. - 792° 80° C.A. - 733°			
675 à 687.5	55	Sub-arkose rose, grain grossier, feldspath dissout localement; cailloux épars. Passage très brusque aux orthoquartzites.			

Statistiques

STATION	RA SPP2	DESCRIPTION	FORMATION	ECHAN- TILLON	ANALYSE
655 à 675		Orthoquartzite rose massif à laminé, grain fin, IDEM 687.5 à 904.5. Laminations: 67° C.A. à 659° 73° C.A. à 663°			
652 à 655		Sub-arkose rose, IDEM 675 à 687.5			
627 à 652		Boîte manquante			
618 à 620		Microconglomérat quartzitique rose.			
620 à 627		Orthoquartzite très fin, beige à ro- se, massif, zone altérée et broyée avec hématisation très poussée.			
562 à 620		Quartzite rose laminé à massif, plus homogène que les précédents. Laminations à 86° C.A. à 610°.			
527 à 562		Orthoquartzite blanc à rose très fin à pois rouges et mauves. Quelques passées de quartzites laminés 85° C.A. à 540°. Les quartzites laminés sont à grain moyen tandis que ceux à pois sont fins.			

Statistiques

STATION	RA SPP2	DESCRIPTION	FORMATION	ECHAN- TILLON	ANALYSE
511.5 à 527		Quartzite massif, beige à grain fin. Passées de quartzite rose laminé de 512 à 515.			
453 à 511-5		Microconglomérat sub-arkosique à granules et cailloux de quartz et feldspath; cailloux rouges de la série des Otish. Interlits centimétriques de grès feldspathique et orthoquartzite. Passage très graduel aux grès feldspathiques. Couleur rose à rosée.			
422 à 453		Grès feldspathique grossier, rose à cailloux et granules de quartz blanc et rouge.			
402 à 422		IDEM 422 à 453, couleur beige, feldspath légèrement altéré, blanc laiteux. Couleur d'altération des quartzs feldspathiques ambre luisant.			
327 à 402		Boîtes manquantes.			
277 à 327		Sub-arkose microconglomératique à conglomératique; quartz rose, feldspath rose, feldspath altéré blanc laiteux. Grain de feldspath anguleux.			

Statistiques

STATION	RA SPP2	DESCRIPTION	FORMATION	ECHAN- TILLON	ANALYSE
152 à 202		Grès feldspathique rose, grossier.			
<u>NOTE:</u>		Les premières boîtes sont sans identification; la série oxydée rose montre une alternance de 40 à 50 d'orthoquartzites roses ± laminés, et de microconglomérats feldspathiques à arkosiques généralement blancs à blanc rosé.			

52°15'



sondege.

52°00'
L
72°00.

L

Carte 23 D.
Lac Naococame.
Echelle 1:250.000.